

INTERNATIONAL ASIAN CONGRESS ON CONTEMPORARY SCIENCES - XII

MARCH 25-29, 2026 / DUBAI

PROCEEDINGS BOOK

EDITORS:

Prof. Dr. Aydın GÖRMEZ

Prof. Dr. Darko TIPURIĆ

Prof. Dr. Ivana KOVAČ

ISBN: 979-8-89695-390-6



INTERNATIONAL ASIAN CONGRESS ON CONTEMPORARY SCIENCES - XII

MARCH 25-29, 2026 / DUBAI

PROCEEDINGS BOOK

EDITORS:

Prof. Dr. Aydın GÖRMEZ

Prof. Dr. Darko TIPURIĆ

Prof. Dr. Ivana KOVAČ

Copyright © Liberty

ISBN: 979-8-89695-390-6

Publication Date: 18.04.2026

Liberty Publishing House

Water Street Corridor New York, NY 10038

www.libertyacademicbooks.com

+1 (314) 597-0372

ALL RIGHTS RESERVED NO PART OF THIS BOOK MAY BE REPRODUCED IN ANY FORM, BY
PHOTOCOPYING OR BY ANY
ELECTRONIC OR MECHANICAL MEANS, INCLUDING INFORMATION STORAGE OR RETRIEVAL
SYSTEMS, WITHOUT
PERMISSION IN WRITING FROM BOTH THE COPYRIGHT OWNER AND THE PUBLISHER OF THIS
BOOK.

© Liberty Academic Publishers 2026

The digital PDF version of this title is available Open Access and distributed under the terms of the Creative Commons
Attribution-Non-Commercial 4.0 license (<http://creativecommons.org/licenses/by-nc/4.0/>) which permits adaptation,
alteration, reproduction and distribution for noncommercial use, without further permission provided the original
work is attributed. The derivative works do not need to be licensed on the same terms.

adapted by Mariam Rasulan

CONGRESS ID

CONGRESS TITLE

INTERNATIONAL ASIAN CONGRESS ON
CONTEMPORARY SCIENCES - XII

DATE and PLACE

MARCH 25-29, 2026 / DUBAI

PARTICIPATION

Keynote & Invited

ORGANIZATIONS

IKSAD Institute

CONGRESS COORDINATOR

Esmâ AKSAKAL

LANGUAGES

Turkish, English

PARTICIPANTS COUNTRY (26)

Türkiye, Azerbaijan, Croatia, Indonesia, Romania, Uganda, Ukraine,
Pakistan, Moldova, Israel/Palestine, Malaysia, Uzbekistan, India, Georgia,
Brazil, USA, Bulgaria, Morocco, Algeria, Bangladesh, Nigeria,
Turkmenistan, Georgia, China, Saudi Arabia, Vietnam

NUMBER of ACCEPTED PAPERS-98

NUMBER of REJECTED PAPERS-10

TOTAL NUMBER of PAPERS FROM TÜRKİYE- 41

TOTAL NUMBER OF INTERNATIONAL PARTICIPANTS: 57

ORGANIZING COMMITTEE

Prof. Dr. Aydın GÖRMEZ
CHAIR OF THE ORGANIZING COMMITTEE
Van Yüzüncü Yıl University Vice-Rector

Prof. Dr. Bülent Cercis TANRITANIR
Organizing Committee Member
Van Yüzüncü Yıl University

Dr. Mustafa Latif EMEK
Organizing Committee Member
President of IKSAD

Prof. Dr. Hussein Salim Malabo - Al Mamoun University College, Iraq

Prof. Dr. Ahmed Younes Hamouda - Gaza University,

Prof. Dr. Musa TÜRKER - Istanbul Yıldız Technical University, Türkiye

Prof. Dr. Cemil GÖYA - Van Yüzüncü Yıl University, Türkiye

Prof. Dr. M. Ali ÇELİKEL - Marmara University, Türkiye

Prof. Dr. Selçuk GÜMÜŞ - Bartın University, Türkiye

Prof. Dr. Rafet ÇAVUŞOĞLU - Van Yüzüncü Yıl University, Türkiye

Prof. Dr. Mehmet TAKKAÇ - Erzurum Atatürk University, Türkiye

Prof. Dr. Vahap YÖNTEN - Van Yüzüncü Yıl University, Türkiye

Assoc. Prof. Dr. Abdullah OĞRAK - Bursa Technical University, Türkiye

Assoc. Prof. Dr. Ercan ÇALIŞ - Van Yüzüncü Yıl University, Türkiye

Assoc. Prof. Dr. Gül GÖRMEZ - Van Yüzüncü Yıl University, Türkiye

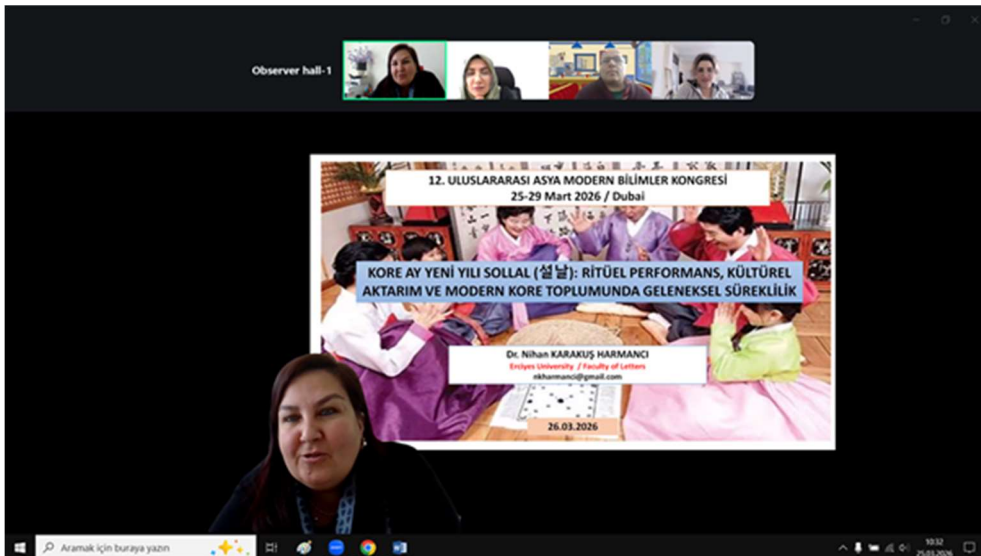
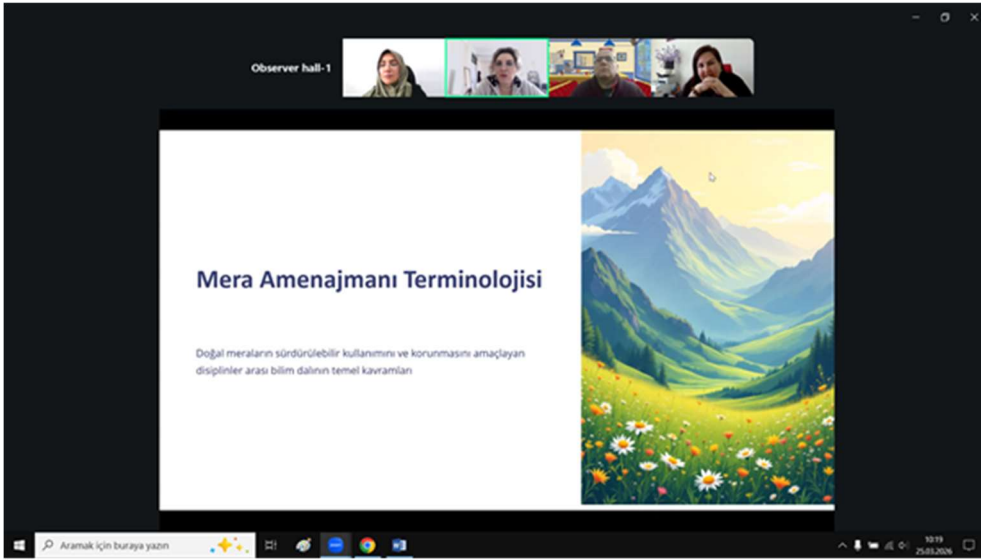
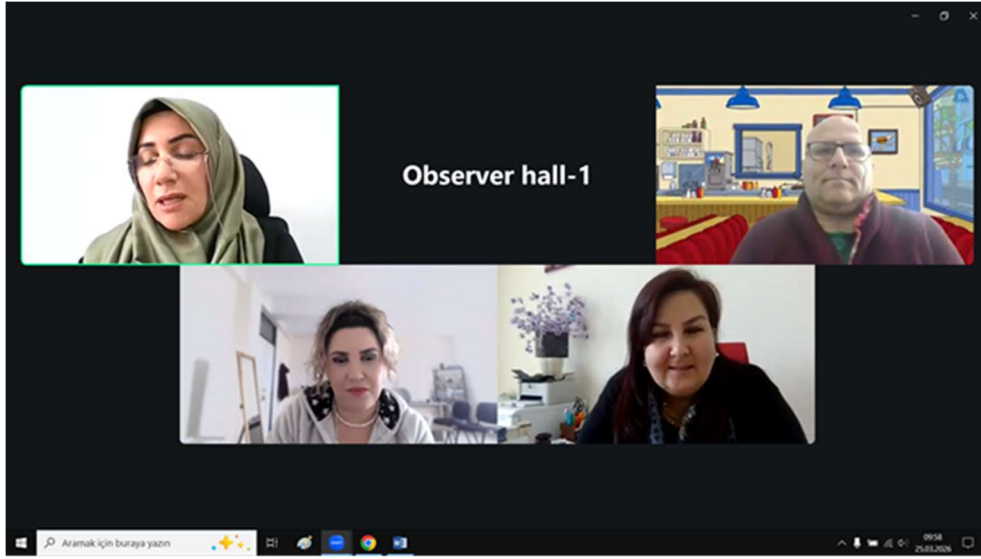
Assoc. Prof. Dr. Adhy Firdaus - University: STIE GANESHA, Jakarta, Indonesia

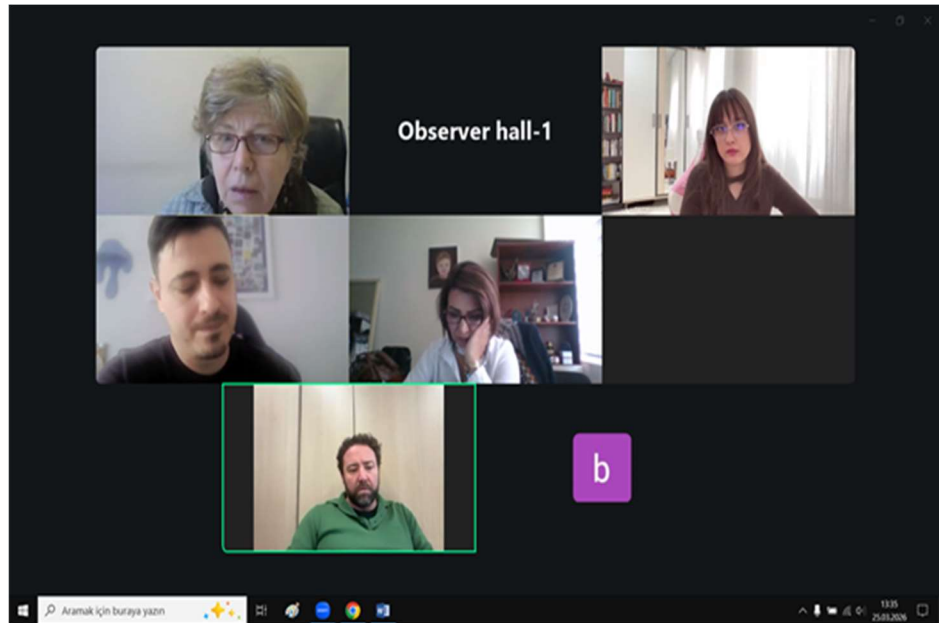
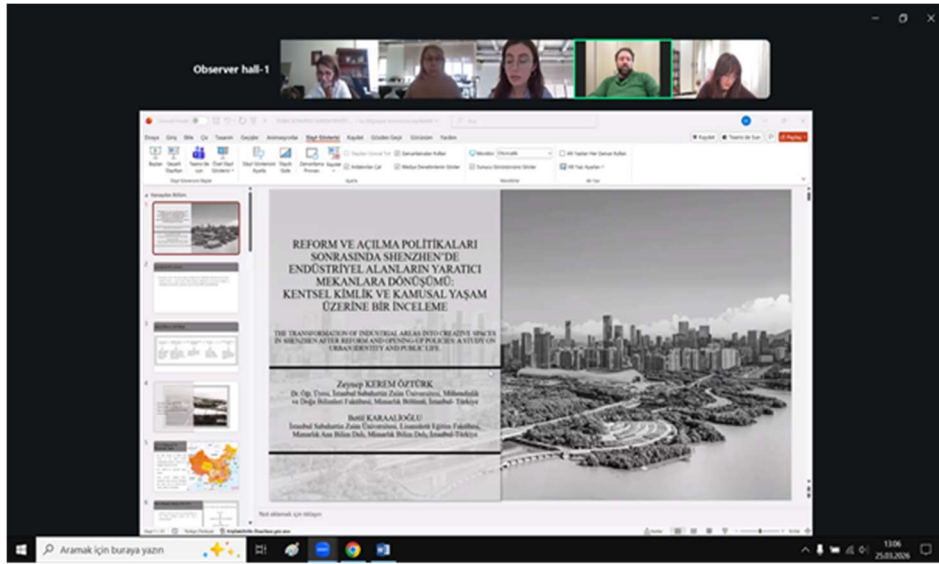
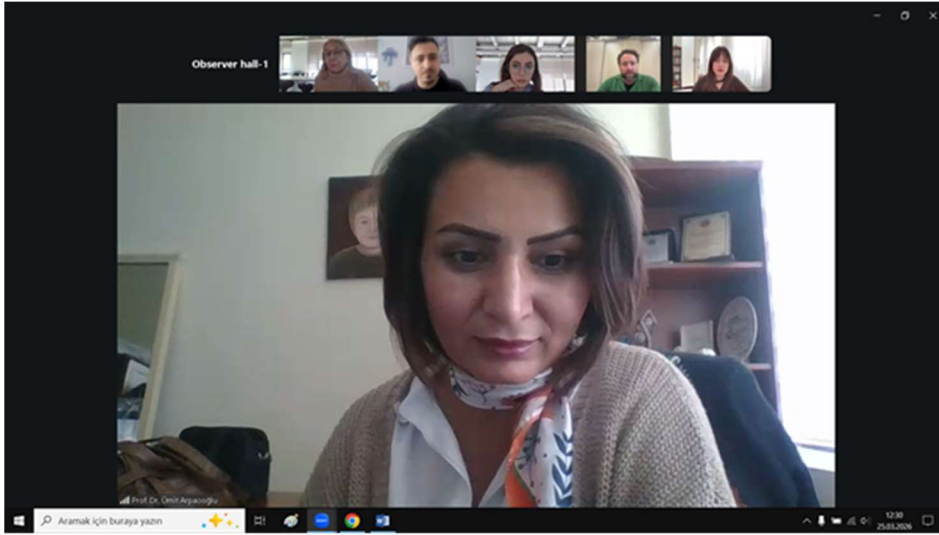
Assist. Prof. Dr. Elvan CAFAROV - Azerbaijan State Pedagogical University,
Azerbaijan

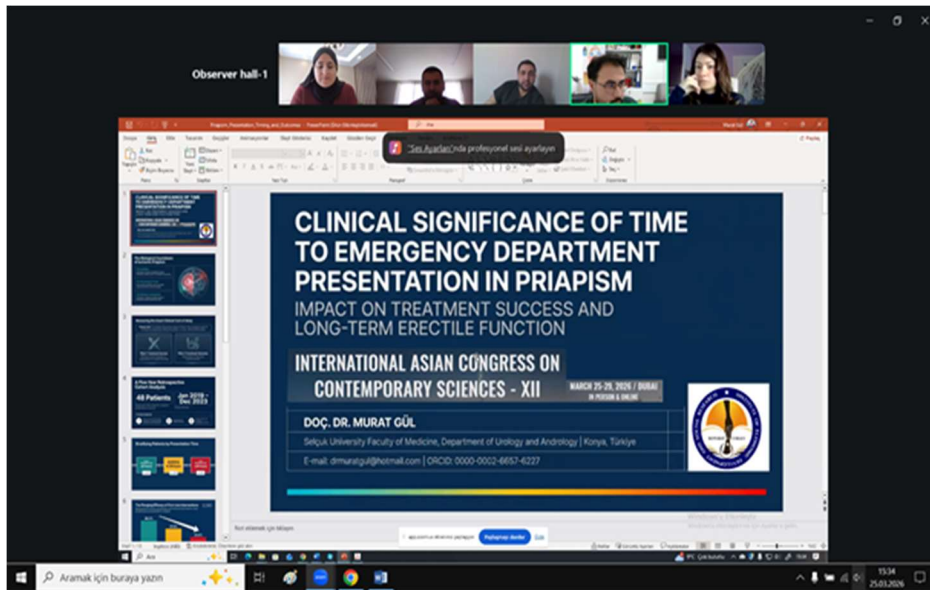
SCIENTIFIC AND ADVISORY COMMITTEE

- Prof. Elshad Mammadov - Odlar Yurdu University, Azerbaijan
Prof. Fakhraddin Mammadov - Odlar Yurdu University, Azerbaijan
Prof. Mubariz Valiyev - Odlar Yurdu University, Azerbaijan
Prof. Rashid Jabbarov - Odlar Yurdu University, Azerbaijan
Prof. Yusuf Iskandar, Nusa Putra University, Indonesia
Prof. Viveka Nand Sharma, Assam Don Bosco University, India
Prof. Ronel S. de Guzman, President Ramon Magsaysay State University, Philippines
Prof. Jesson Hero, Academic Senior High School of the City of Meycauayan, Philippines
Prof. Dr. Aldemir Malveira de Oliveira, Centro Universitário de Ensino Superior do Amazonas, Brasil
Prof. Dr. Ayşegül GÜMÜŞ, Bartın University, Türkiye
Prof. Dr. Fırat YILDIZ, Van Yüzüncü Yıl University, Türkiye
Assoc. Prof. Dr. B. Mahendran - VIT Bhopal University, India
Assoc. Prof. Dr. Cuciuc Romanescu Laura Sinziana - Ovidius University of Constanța, Romania
Assoc. Prof. Ana Maria Dodocoiu-Faculty of Horticulture, University of Craiova
Assoc. Prof. Eleonora Daniela Ciupeanu Calugaru-Faculty of Horticulture, University of Craiova
Assoc. Prof. Daniela Doloris Cichi-Faculty of Horticulture, University of Craiova
Assoc. Prof. Dr. Ayşegül TAKKAÇ TULGAR - Atatürk University, Türkiye
Assoc. Prof. Dr. Malik YILMAZ - Atatürk University, Türkiye
Asst. Dr. Rabia Sena DALKILIÇ Van Yüzüncü Yıl University, Türkiye
Assist. Prof. Dr. Navdeep Kumar - Lyallpur Khalsa College, India
Assist. Prof. Dr. Shazia Aziz - COMSATS University Islamabad, Pakistan
Assist. Prof. Dr. Sovik Mukherjee - St. Xavier's University, India
Dr. Myla Arcinas - De La Salle University, Philippines
Dr. Nemias Galang - President Ramon Magsaysay State University, Philippines
Dr. John Mark R. Asio - Gordon College, Philippines
Dr. Victoria P. Valenzuela - Bulacan State University, Philippines
Dr. Levixon Lundi - Theophany University, Haiti
Dr. Abdul Rahmat - Universitas Negeri Gorontalo, Indonesia
Dr. Bernardino Malang - Bulacan State University, Philippines
Dr. Edwin Ibanez - Central Luzon State University, Philippines
Dr. Iosefina Blazsani-Batto - Azerbaijan University of Languages, Azerbaijan
Dr. Irina-Ana Drobot - Technical University of Civil Engineering Bucharest, Romania
Dr. K.R. Padma - Sri Padmavati Mahila Visvavidyalayam (Women's) University, India
Giorgi Chubinidze, PhD – Founder of Association of Science and Technology, Assoc. Professor at Georgian-American University and Georgian Technical University, Georgia
Manuchar Shishinashvili, PhD – Head of the management board and founder of Association of Science and Technology, Assoc. Professor at Georgian-American University and Georgian Technical University
Luiza Gabunua, MD, PhD - Professor at Tbilisi State Medical University, Georgia
Elza Bitsadze, PhD - Assistant Professor at Akaki Tsereteli State University, Georgia
Prof. Dr. Şahlo Botirova - Alfraganus University, Uzbekistan
Prof. Dr. Maftuna Kurbanova - Alfraganus University, Uzbekistan
Assoc. Dr. Muhlisa Omonova - Alfraganus University, Uzbekistan
Assist. Prof. Dr. Abdussalam Ali Ahmed - Bani Waleed University, Libya
Dr. Manotar Tampubolon, Ph.D - Universitas Kristen, Indonesia
NGUYEN THI BICH VAN - University of Architecture of Ho Chi Minh City - Viet Nam
Prof. Froilan D. Mobo - Philippine Merchant Marine Academy (PMMA)
Lecturer Gilda Diana Buzatu - Faculty of Horticulture, University of Craiova
Dr. Md. Habibur Rahman - Novel Global Community Educational Foundation, Australia

CONFERENCE GALLERY







zoom Workplace Toplantı - HALL 2 Giriş yapın

Observer H-2

Hall 2-Selçuk Gümüç

Observer H-2

Hall 2. Sesiön 1. Nilüfer Demirsöy

Nurdan Kırmıoğlu

Sumru KALELİ

Hall-2. Aleya İrem Altunal

Nurdan Kırmıoğlu

Ses Video Katılımcılar 7 Sohbet Ara odalar Tepki ver Paylaş Oturum sahibi araştıran Kaydet Daha fazla Odadan çık

Benzene's Unusual Structure

1.09 Å 1.39 Å 120° 120° 120°

- All its C-C bonds are the same length: 139 pm — between single (154 pm) and double (134 pm) bonds
- Electron density in all six C-C bonds is identical
- Structure is **planar, hexagonal**
- C-C-C bond angles 120°**
- Each C is sp^2 and has a p orbital perpendicular to the plane of the six-membered ring

1.5 bonds on average

Observer H-2

Observer H-2

Hall 2-Selçuk Gümüç

Sumru KALELİ

Nurdan Kırmıoğlu

Ses Video Katılımcılar 7 Sohbet Ara odalar Tepki ver Paylaş Oturum sahibi araştıran Kaydet Daha fazla Odadan çık

GÖREV ÇUBUĞUNU GÖSTER GÖRÜNTÜ AYARLARI SLAYT GÖSTERİSİNİ SONLANDIR Giriş yapın

0:00:40 12:33 Sonraki slayt

Yüksek Proteinli Noodle Sistemlerinde Bitkisel Proteinlerin Önemi

eriş ARGE

eriş

Yüksek Proteinli Noodle Sistemlerinde Bitkisel Proteinlerin Önemi

- Dünya nüfusunda yaşanan artış → artan gıda ve dolayısıyla protein talebine eğilim.
- Fonksiyonel gıdalara artan talep → yüksek proteinli tahıl ürünlerine yönelim
- Bitkisel protein izolatları (~%80 protein) → sürdürülebilir alternatif
- Gluten matrisi ile etkileşim → yapı, reoloji ve pişirme performansını etkiler
- Protein türüne bağlı farklı fonksiyonel özellikler → ürün performansında değişiklik

Not Yok.

Observer H-2

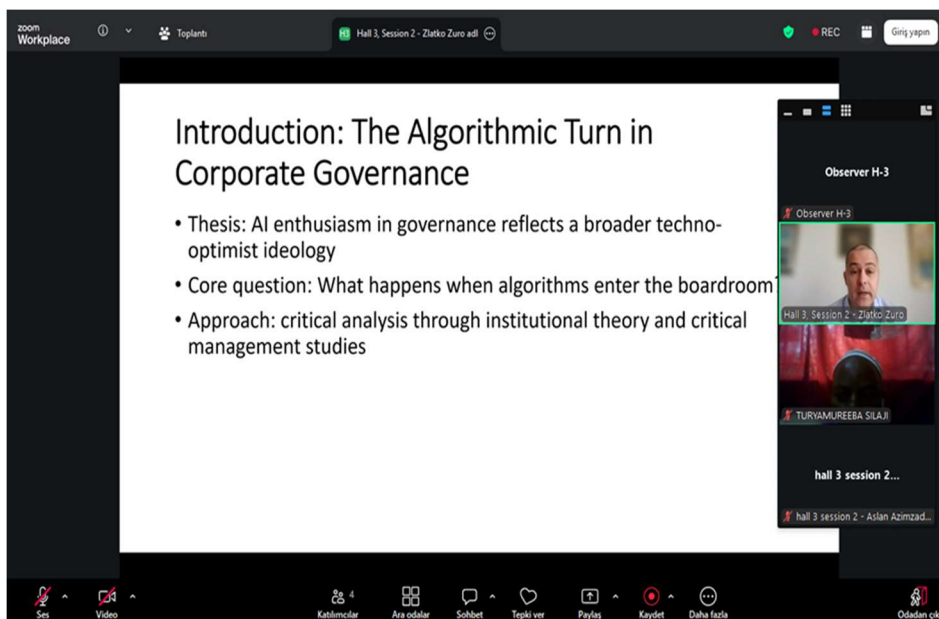
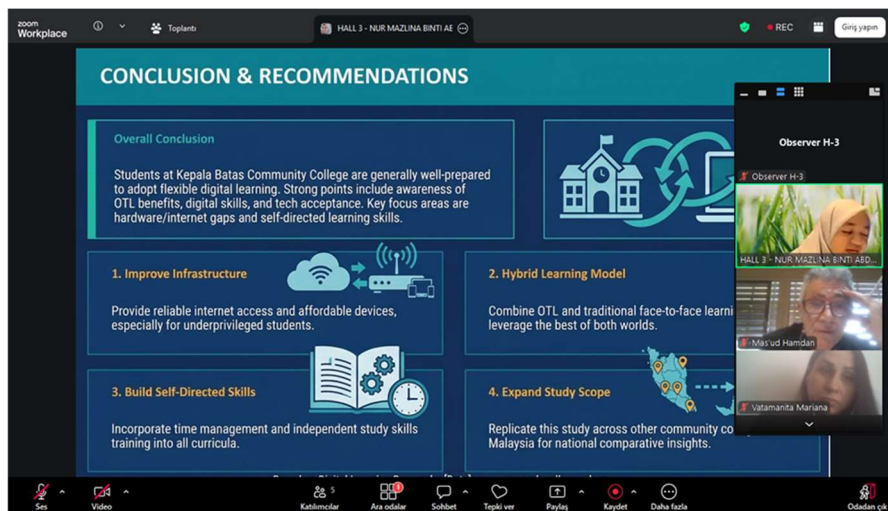
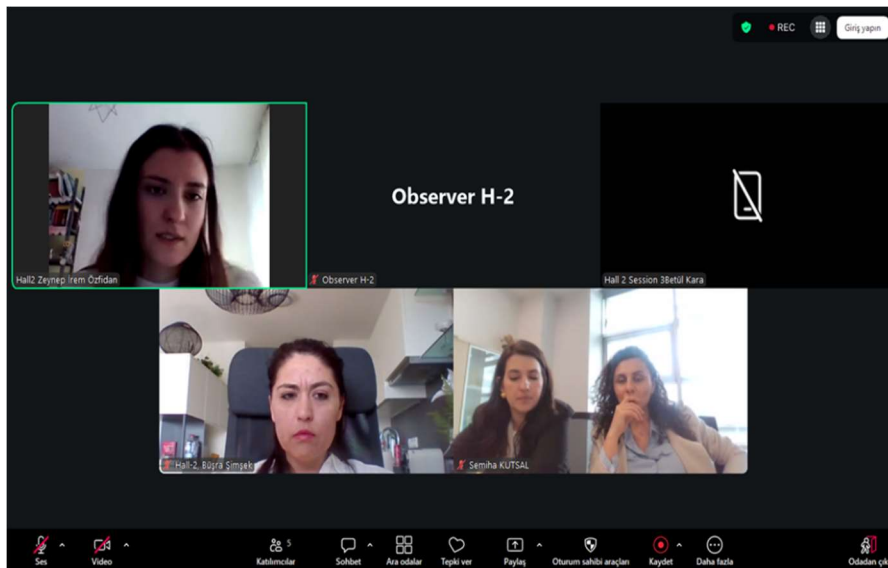
Observer H-2

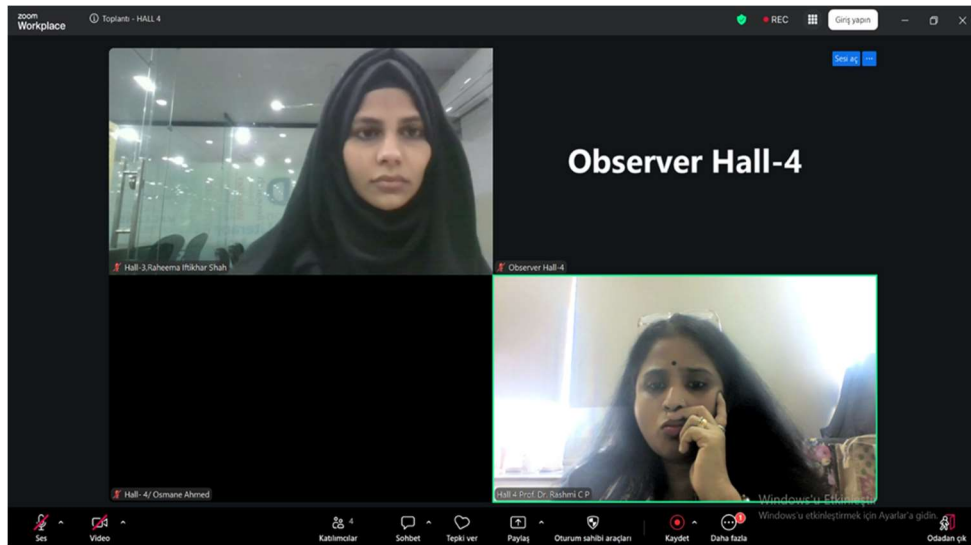
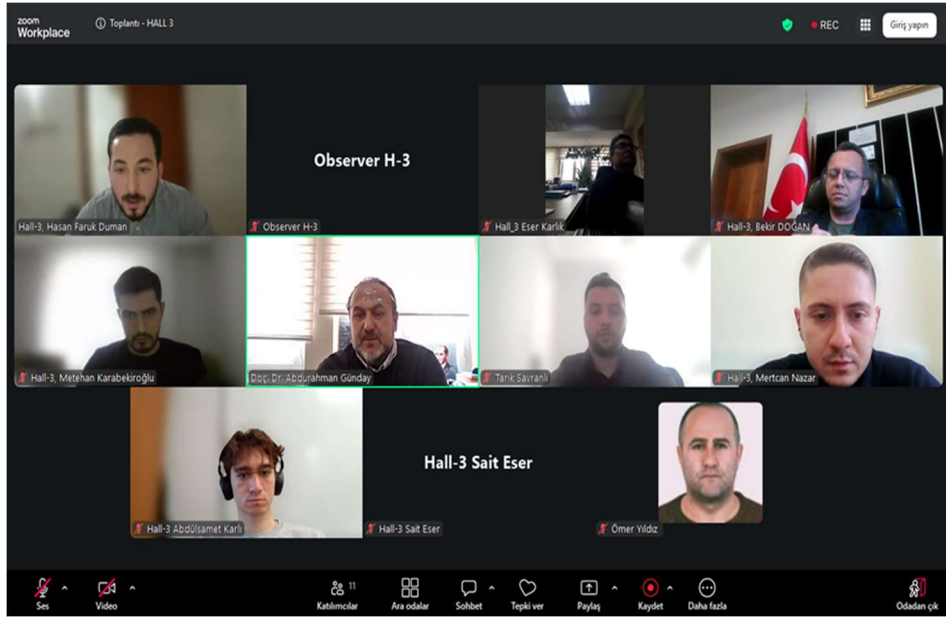
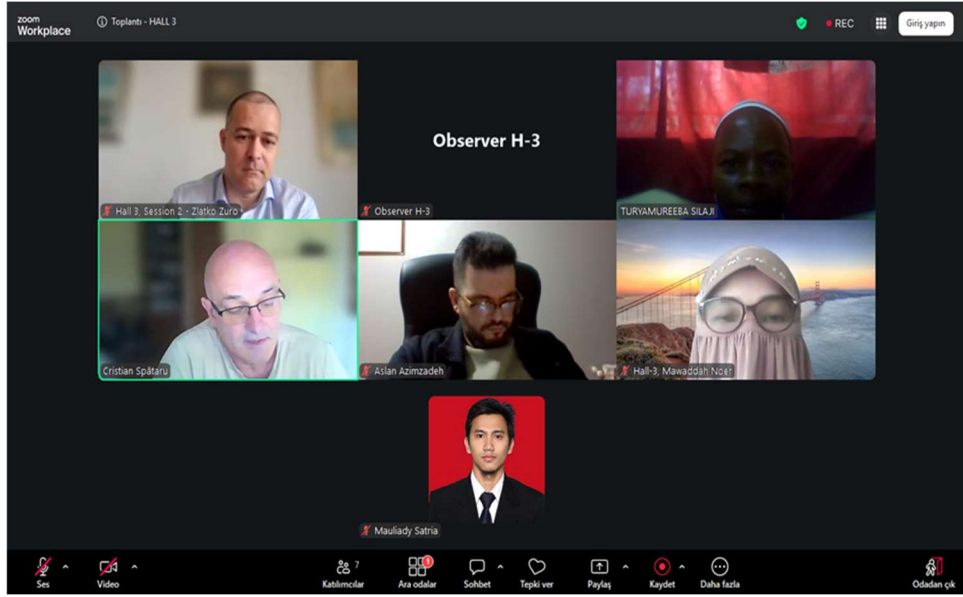
Chat Güner

Suzan YALÇIN

SEBİL PEKDOĞAN

Slayt 2/23







International Asian Congress On Contemporary Sciences - XII

MARCH 25–29, 2026 / DUBAI, UAE



Program

Participant Countries: (26)

Türkiye, Azerbaijan, Croatia, Indonesia, Romania, Uganda, Ukraine, Pakistan, Moldova, Israel/Palestine, Malaysia, Uzbekistan, India, Georgia, Brazil, USA, Bulgaria, Morocco, Algeria, Bangladesh, Nigeria, Turkmenistan, Georgia, China, Saudi Arabia, Vietnam

Total Accepted Papers from Türkiye: 41

Total Accepted Papers from other Countries: 57

ZOOM ID: 829 5595 6031

PASSCODE: 121212

LINK: <https://us02web.zoom.us/j/82955956031?pwd=w0m6CMCGx5AMjTxEPR7r1e4kj5iJQ.1>

IMPORTANT, PLEASE READ CAREFULLY

To be able to make a meeting online, login via <https://zoom.us/join> site, enter ID instead of "Meeting ID or Personal Link Name" and solidify the session. The presentation will have **15 minutes** (including questions and answers). The Zoom application is free and no need to create an account. The Zoom application can be used without registration. The application works on tablets, phones and PCs. Speakers must be connected to the session **10 minutes before** the presentation time. All congress participants can connect live and listen to all sessions. During the session, your camera should be turned on at least %70 of session period. Moderator is responsible for the presentation and scientific discussion (question-answer) section of the session.

TECHNICAL INFORMATION

Make sure your computer has a microphone and is working. You should be able to use screen sharing feature in Zoom. Attendance certificates will be sent to you as pdf at the end of the congress. Moderator is responsible for the presentation and scientific discussion (question-answer) section of the session. **Before you login to Zoom please indicate your name surname and hall number, exp. Hall-1, Assoc. Prof. Senem AKKOÇ**

ÖNEMLİ, DİKKATLE OKUYUNUZ LÜTFEN

Kongremizde Yazım Kurallarına uygun gönderilmiş ve bilim kurulundan geçen bildirimler için online (video konferans sistemi üzerinden) sunum imkanı sağlanmıştır. Sunumlar için **15 dakika** (soru ve cevaplar dahil) süre ayrılmıştır. Online sunum yapabilmek için <https://zoom.us/join> sitesi üzerinden giriş yaparak "Meeting ID or Personal Link Name" yerine ID numarasını girerek oturuma katılabilirsiniz. Zoom uygulaması ücretsizdir ve hesap oluşturmaya gerek yoktur. Zoom uygulaması kaydolmadan kullanılabilir. Uygulama tablet, telefon ve PC'lerde çalışıyor. Her oturumdaki sunucular, sunum saatinden **10 dk öncesinde** oturuma bağlanmış olmaları gerekmektedir. Tüm kongre katılımcıları canlı bağlanarak tüm oturumları dinleyebilir. Moderatör – oturumdaki sunum ve bilimsel tartışma (soru-cevap) kısmından sorumludur.

TEKNİK BİLGİLER

Bilgisayarınızda mikrofona olduğuna ve çalıştığına emin olun. Zoom'da ekran paylaşma özelliğine kullanabilmelisiniz. Katılım belgeleri kongre sonunda tarafınıza pdf olarak gönderilecektir. Kongre programında yer ve saat değişikliği gibi talepler dikkate alınmayacaktır. **Zoom'a giriş yaparken önce lütfen adınızı, soyadınızı ve SALON numaranızı yazınız, Örnek: Hall-1, Durmuş Çağrı YILDIRIM**

OPENING CEREMONY

Date: 25.03.2026 / Time: 09:40-10:00
Meeting ID: 829 5595 6031/ Passcode: 121212

Prof. Dr. Aydın GÖRMEZ
Vice Rector of Van Yüzüncü Yıl University
HEAD OF CONGRESS

25.03.2026 / Hall-1, Session-1



DUBAI LOCAL TIME



11⁰⁰ : 13⁰⁰



ANKARA LOCAL TIME



10⁰⁰ : 12⁰⁰

HEAD OF SESSION: Assoc. Prof. Dr. Gül GÖRMEZ

TOPIC TITLE	AUTHORS	AFFILIATION
AN EXAMINATION OF TEACHER AND STUDENT VIEWS ON TEACHING MULTIPLICATION IN 4TH GRADE PRIMARY SCHOOL MATHEMATICS	Mahmut ÖĞ	Ministry of National Education (MoNE), Türkiye
AN EXAMINATION OF TEACHERS' VIEWS ON THE USE OF ARTIFICIAL INTELLIGENCE IN MULTIGRADE CLASSROOMS	Mahmut ÖĞ	Ministry of National Education (MoNE), Türkiye
RANGELAND MANAGEMENT TERMINOLOGY	Asst. Prof. Dr. Derya GÜLOĞLU	Isparta Uygulamalı Bilimler University, Türkiye
SEOLLAL (설날), THE KOREAN LUNAR NEW YEAR: RITUAL PERFORMANCE, CULTURAL TRANSMISSION, AND SOCIAL CONTINUITY	Asst. Prof. Dr. Nihan KARAKUŞ HARMANCI	Erciyes University, Türkiye
CULTURAL TRANSFER IN LITERARY TRANSLATION: AN ANALYSIS OF THE TRANSLATION OF YOUR NEIGHBOUR'S TABLE (구병모-네 이웃의 식탁)	Asst. Prof. Dr. Nihan KARAKUŞ HARMANCI	Erciyes University, Türkiye
THE PROBLEM OF UNCONSCIOUS USE IN PHYTOTHERAPY: A REVIEW ON THE RISKS ASSOCIATED WITH MEDICINAL PLANT USE FROM A PUBLIC HEALTH PERSPECTIVE	Assoc. Prof. Dr. Gül GÖRMEZ	Van Yüzüncü Yıl University, Türkiye

25.03.2026 / Hall-2, Session-1



DUBAI LOCAL TIME



11⁰⁰ : 13⁰⁰



ANKARA LOCAL TIME



10⁰⁰ : 12⁰⁰

HEAD OF SESSION: Prof. Dr. Selçuk GÜMÜŞ

TOPIC TITLE	AUTHORS	AFFILIATION
COMPUTATIONAL APPROACH FOR AROMATICITY OF TRIAZAPENTACENE	Prof. Dr. Selçuk GÜMÜŞ Prof. Dr. Ayşegül GÜMÜŞ	Bartın University, Türkiye
INVESTIGATION OF POTENTIAL SEMICONDUCTORS BASED ON DONOR-ACCEPTOR TYPE SYSTEMS	Prof. Dr. Selçuk GÜMÜŞ Prof. Dr. Ayşegül GÜMÜŞ	Bartın University, Türkiye
ETHICAL PRINCIPLES AND PATIENT RIGHTS IN EMERGENCY MEDICINE: ETHICAL BALANCE IN DIFFICULT CONDITIONS	Prof. Dr. Nilüfer DEMİRSOY	Eskişehir Osmangazi University, Türkiye
DIGITALIZATION IN HOME HEALTHCARE SERVICES: ETHICAL PRINCIPLES, RISKS, AND THE TURKISH EXPERIENCE	Prof. Dr. Nurdan KIRIMLIOĞLU	Eskişehir Osmangazi University, Türkiye
AN ASYMMETRIC POWER IN POLITICAL COMMUNICATION: AN INVESTIGATION ON GUERRILLA MARKETING PRACTICES IN TURKISH POLITICS	Asst. Prof. Dr. Sumru KALELİ	Trakya University, Türkiye
MEASURING FIRM-CONSUMER INTERACTION LEVELS ON INSTAGRAM BY POST CATEGORY FOR THE BANKING SECTOR	Aleyna İrem ALTUNAL Assoc. Prof. Dr. Mikail KAR	Bursa Uludağ University, Türkiye

25.03.2026 / Hall-3, Session-1



DUBAI LOCAL TIME



11⁰⁰ : 13⁰⁰



ANKARA LOCAL TIME



10⁰⁰ : 12⁰⁰

HEAD OF SESSION: Assoc. Prof. Dr. Svitlana OLIINYK

TOPIC TITLE	AUTHORS	AFFILIATION
IMMERSIVE TECHNOLOGIES AS AN INNOVATIVE TOOL FOR TRAINING PHARMACY SPECIALISTS	Assoc. Prof. Dr. Svitlana OLIINYK Assoc. Prof. Dr. Oleksandr HONCHAROV	National University of Pharmacy, Ukraine
THE LINK BETWEEN EVERYDAY SEXISM AND WOMEN'S INTENT TO LEAVE THE WORKPLACE	Rabia Hameed Maryam Javed	Quaid-e-Azam University, Islamabad, Pakistan
INFLUENCE OF ISLAMIC WORK ETHICS ON LEADERSHIP: A QUALITATIVE EXPLORATION IN ORGANIZATIONAL CONTEXTS	Raheema Iftikhar Shah Asst. Prof. Dr. Beenish Mubeen	University of Management Technology, Pakistan
CRIMES IN CONSTRUCTION AND SOCIAL CHANGES IN THE GLOBALIZED WORLD	Vatamanita MARIANA	"Constantin Stere" University of European Political and Economic Science, Republic of Moldova
THE DISCOURSE OF POWER AND TRUTH IN POETIC WORKS (LITERATURE AND ART): AN INTRODUCTION	Mas'ud Hamdan	University of Haifa, Israel/Palestine
"THE REPORT": A SMALL TAP IN THE BIG REALM OF THE SERIO-COMICAL	Mas'ud Hamdan	University of Haifa, Israel/Palestine
A DELIBERATE HUMOUR: THE MASKS OF THE OPPRESSED TRUTH	Mas'ud Hamdan	University of Haifa, Israel/Palestine
STUDENTS' PERCEPTION OF READINESS FOR EDUCATIONAL TRANSFORMATION THROUGH ONLINE TEACHING AND LEARNING (ODLT) POST COVID-19 AT KEPALA BATAS COMMUNITY COLLEGE	Nur Mazlina Abdul Hadi	Kolej Komuniti Kepala Batas, Malaysia

25.03.2026 / Hall-4, Session-1



DUBAI LOCAL TIME



11⁰⁰ : 13⁰⁰



ANKARA LOCAL TIME



10⁰⁰ : 12⁰⁰

HEAD OF SESSION: Assoc. Prof. Dr. C P Rashmi

TOPIC TITLE	AUTHORS	AFFILIATION
STRUCTURE-BASED DRUG REPURPOSING TO INHIBIT THE DNA GYRASE OF <i>MYCOBACTERIUM TUBERCULOSIS</i>	Balasubramani G L. Rinky Rajput Manish Gupta Pradeep Dahiya Jitendra K Thakur Rakesh Bhatnagar Abhinav Grover	Jawaharlal Nehru University, New Delhi National Institute of Plant Genome Research Banaras Hindu University, India
DETOXIFICATION OF FEED USING LACTIC ACID BACTERIA	Kutlieva G.D. Turaeva B.I. Kamolova H.F Shonahunov T.	nstitute of Microbiology of the Academy of Sciences of the Republic of Uzbekistan
A FACILE SYNTHESIS OF 1,3,4-OXADIAZOLE-BASED CARBAMOTHIOATE MOLECULES: ANTISEIZURE POTENTIAL, EEG EVALUATION AND IN-SILICO DOCKING STUDIES	Zainib Razzaq Samreen Gul Khan Fozia Anjum Mehr un Nisa Sana Javaid	Government College University, Pakistan University of Lahore, Pakistan Bahauddin Zakariya University, Pakistan
BRIDGING BIOLOGY AND SOCIETY: MEDIA, COMMUNICATION AND THE WAY TO SUSTAINABLE DEVELOPMENT	Assoc. Prof. Dr. C P Rashmi Asst. Prof. Dr. Sweta	Amity University, India
THE PROBLEM OF MICROPLASTICS IN ENVIRONMENTAL MEDICINE	Mariami Managadze	Tbilisi State Medical University, Georgia
NUTRITIONAL AND HEALTH BENEFITS OF MILLET IRRIGATED BY TREATED DOMESTIC WASTEWATER BY TRICKLING FILTER TECHNOLOGY UNDER ARID CLIMATE OF NORTH AFRICA	Ahmed Osmane Khadija Zidan Moustapha Belmouden	Agadir University Ibn Zohr, Morocco University Cadi Ayyad, Morocco
HEALTH AND AGRONOMIC IMPACTS OF BARLEY IRRIGATED WITH TRICKLING FILTER-TREATED WASTEWATER IN SEMI-ARID NORTH AFRICA: MOROCCO	Ahmed Osmane Khadija Zidan Moustapha Belmouden	Agadir University Ibn Zohr, Morocco University Cadi Ayyad, Morocco

25.03.2026 / Hall-5, Session-1



DUBAI LOCAL TIME

11⁰⁰ : 13⁰⁰



ANKARA LOCAL TIME

10⁰⁰ : 12⁰⁰

HEAD OF SESSION: Assoc. Prof. Dr. Zubia Shah

TOPIC TITLE	AUTHORS	AFFILIATION
FUNCTIONAL EFFECTS OF HYALURONIC ACID AUGMENTATION OF THE MANDIBULAR ANGLE ON BITE FORCE AND OROFACIAL TISSUES	Nicole Barbosa BETTIOL Franciele Aparecida DE CARVALHO Laís Valencise MAGRI Jardel Francisco MAZZI-CHAVES Márcio DE MENEZES Giovana Dornelas Azevedo ROMERO Selma SIÉSSERE	University of São Paulo, Brazil
THE PHYSIOLOGICAL RESPONSE OF CARDIORESPIRATORY FITNESS PARAMETERS TO EXERCISE IN PREDIABETIC POPULATION: AN EXPERIMENTAL PRE-POST DESIGN	Assoc. Prof. Dr. Zubia Shah	Khyber Girls Medical College, Peshawar, Pakistan
BUSINESS ANALYTICS IN PRIVATE HEALTHCARE SYSTEMS: ASSESSING ROI AND OPERATIONAL IMPACT	Niladry Chowdhury	Trine University, USA
ARTIFICIAL INTELLIGENCE-DRIVEN PREDICTIVE ANALYTICS FOR IMPROVING HEALTHCARE OUTCOMES IN THE UNITED STATES	Anik Biswas	Trine University, USA
CORRELATION STUDY ON ETIOLOGICAL FACTORS OF HEART DISEASE IN DIABETIC PATIENTS IN LAHORE, PAKISTAN	Taskeen Fatima Anas Raza	Hajvery University, Pakistan Lahore Garrison University, Pakistan
GEOMAGIC CONTROL X FOR MULTIDISCIPLINARY 3D ACCURACY ASSESSMENT IN DENTAL PRACTICE	Diyana ZHELYAZKOVA Dobromira SHOPOVA Maria Hristozova	Medical University, Bulgaria
DO ACUTE BLOOD PRESSURE RESPONSES EXPLAIN ATTENTION GAINS AFTER HIIT? STROOP ONTIME EVIDENCE IN ADOLESCENTS (RCT SUBANALYSIS)	Rochdi DAIBI Jihane HILALI El Mokhtar ELOUALI Jaouad ROUANE Fatima Zahra LAMRANI Anas ANAAYOUB Fouad BOUGHANZAI Walid Bouzid Zakaria ABIDA Amina EL IMAM Mariam BEN SAGUA Youssef SQALLI HOUSSAINI Abdelhalem MESFIOUI	Ibn Tofail University, Morocco Hassan I University, Morocco Hassan II University, Morocco Mohammed V University, Morocco Moulay Ismail University (UMI), Morocco

25.03.2026 / Hall-1, Session-2



DUBAI LOCAL TIME



13³⁰ : 15³⁰



ANKARA LOCAL TIME



12³⁰ : 14³⁰

HEAD OF SESSION: Prof. Dr. Ümit ARPACIOĞLU

TOPIC TITLE	AUTHORS	AFFILIATION
THE TREE OF LIFE MOIF IN THE DECORATIONS OF THE DUBAI AL SEEF TOURIST ATTRACTION	Semra KILIÇ KARATAY	Aksaray University, Türkiye
AN EXAMPLE OF ARCHITECTURAL STRUCTURES EXHIBITING UNIVERSAL AESTHETICS AND CULTURAL INTERACTION IN CONTEMPORARY ISLAMIC ARCHITECTURE: THE SHEIKH ZAYED GRAND MOSQUE	Semra KILIÇ KARATAY	Aksaray University, Türkiye
A RESEARCH ON BIM-INTEGRATED LIFE CYCLE ASSESSMENT OF BUILDING ELEMENTS	Neriman Gül ÇELEBİ Prof. Dr. Ümit ARPACIOĞLU	Mimar Sinan Fine Arts University, Türkiye
THE TRANSFORMATION OF INDUSTRIAL AREAS INTO CREATIVE SPACES IN SHENZHEN AFTER THE REFORM AND OPENING-UP POLICIES: AN EXAMINATION OF URBAN IDENTITY AND PUBLIC LIFE	Asst. Prof. Dr. Zeynep KEREM ÖZTÜRK Betül KARAALIOĞLU	İstanbul Sabahattin Zaim University, Türkiye
SEMIOTIC REPRESENTATION OF NATIONAL IDENTITY ON THE NETFLIX PLATFORM: AN ANALYSIS OF THE FILM "EVET, HAYIR, BELKİ"	Asst. Prof. Dr. Murat BİROL Özge ULUSAN	Giresun University, Türkiye
THE REPRESENTATION OF MODERN SCIENCE IN POPULAR SCIENCE JOURNALISM: AN ANALYSIS OF ARTIFICIAL INTELLIGENCE NEWS	Assoc. Prof. Dr. Sergün Kurtoğlu	İstanbul University, Türkiye

25.03.2026 / Hall-2, Session-2



DUBAI LOCAL TIME



13³⁰ : 15³⁰



ANKARA LOCAL TIME



12³⁰ : 14³⁰

HEAD OF SESSION: Prof. Dr. Suzan YALÇIN

TOPIC TITLE	AUTHORS	AFFILIATION
MATCHA TEA AND ITS EFFECTS ON HEALTH	İmannur ÇAÇA Asst. Prof. Dr. Beyza MENDEŞ	Bezmalem Vakıf University, Türkiye
COMPARATIVE PERFORMANCE OF PEA, SOY, AND RICE PROTEIN ISOLATE-ENRICHED HIGH-PROTEIN NOODLES: PHYSICOCHEMICAL, TEXTURAL, AND SENSORY ASSESSMENT	Cihat GÜNER Yusuf ÇAKMAKÇI Hakan BAŞDOĞAN	Erişler Food Industry Inc., Türkiye
EFFECT OF DIFFERENT TURMERIC FORMS ON THE TEXTURAL, PHYSICOCHEMICAL, MOLECULAR, AND SENSORY PROPERTIES OF GELATIN-BASED GUMMY CANDIES	Asst. Prof. Dr. Serpil PEKDOĞAN GÖZTOK Cihat GÜNER	Siirt Üniversitesi University, Türkiye
FACTORS AFFECTING FAT AND FATTY ACID COMPOSITION IN CHICKEN MEAT	Atiye KAYNAK Prof.Dr. Suzan YALÇIN Prof.Dr. E. Ebru ONBAŞILAR	Selçuk University, Türkiye Ankara University
FACTORS AFFECTING ANTIOXIDANT LEVELS IN CHICKEN MEAT	Atiye KAYNAK Prof.Dr. Suzan YALÇIN Prof.Dr. E. Ebru ONBAŞILAR	Selçuk University, Türkiye Ankara University

25.03.2026 / Hall-3, Session-2



DUBAI LOCAL TIME



13³⁰ : 15³⁰



ANKARA LOCAL TIME



12³⁰ : 14³⁰

HEAD OF SESSION: Prof. Dr. Ivana KOVAČ Zlatko ŽURO

TOPIC TITLE	AUTHORS	AFFILIATION
THE ECLIPSE OF JUDGMENT: WHEN ALGORITHMS ENTER THE BOARDROOM	Prof. Dr. Darko TIPURIĆ Prof. Dr. Ivana KOVAČ Zlatko ŽURO	University of Zagreb, Croatia Croatian Corporate Government and Management Society
MACROECONOMIC PROPORTIONALITY AND STRUCTURAL DYNAMICS OF THE AGRICULTURAL SECTOR IN AZERBAIJAN	Aslan Azimzadeh Rauf Hasanzade	Baku Eurasian University, Azerbaijan International Maarif Schools of Bucharest, Romania
DEVELOPMENT OF THE PENTAHHELIX TO HEXAHHELIX MODEL IN RAJAPOLAH TASIKMALAYA HANDICRAFT MSME'S	Depy Muhamad Pauzy Ristina Siti Sundari Hary Firmansyah	University of Perjuangan, Indonesia
SMART GOVERNANCE IN THE IMPLEMENTATION OF PUBLIC SERVICES AT THE DEPARTMENT OF POPULATION AND CIVIL REGISTRATION IN SINJAI REGENCY	Andi Haerunnisa Muhlis Madani Jaelan Usman Haerana Fatmawati	Universitas Muhammadiyah Makassar, Indonesia
CORRUPTION DYNAMICS IN EUROPE: EVIDENCE FROM A DYNAMIC AR(2) PANEL MODEL	Cristian-Romeo SPĂTARU Cristian Constantin POPESCU	"Alexandru Ioan Cuza" University, Romania
THE RELATIONSHIP BETWEEN ORGANISATIONAL STRUCTURE DIMENSIONS AND ACADEMIC STAFF PERFORMANCE IN SELECTED PRIVATE CHARTERED UNIVERSITIES IN THE ANKOLE SUB REGION, WESTERN UGANDA	Turyamureeba Silaji Zulaihatu Lawal Bagiwa Tukur Muhammad	Kampala International University, Uganda
BIOMASS-DERIVED CARBON NANOSTRUCTURE MATERIAL FOR SUSTAINABLE ENERGY PRODUCTION THROUGH ENHANCED HYDROGEN EVOLUTION REACTION	Mauliady Satria Mawaddah Noer Tawfik Abdo Saleh	King Fahd University of Petroleum & Minerals, Saudi Arabia Universitas Syiah Kuala, Saudi Arabia
SUSTAINABLE REACTOR DESIGN FOR PHOTOCATALYTIC DEGRADATION IN WASTEWATER TREATMENT USING MODIFIED GRAPHENE OXIDE DERIVED FROM PETROLEUM REFINERY WASTE	Mauliady Satria Mawaddah Noer Tawfik Abdo Saleh	King Fahd University of Petroleum & Minerals, Saudi Arabia Universitas Syiah Kuala, Saudi Arabia

25.03.2026 / Hall-4, Session-2



DUBAI LOCAL TIME



13³⁰ : 15³⁰



ANKARA LOCAL TIME



12³⁰ : 14³⁰

HEAD OF SESSION: Helal Uddin

TOPIC TITLE	AUTHORS	AFFILIATION
PREPARATION AND PHYSICOCHEMICAL INVESTIGATION OF A NOVEL HYBRID ADSORBENT FOR THE ADSORPTIVE REMOVAL OF METHYLENE BLUE	LARBI Karima AICHOUNI Sara	Ahmed Zabana University, Algeria
COMPUTATIONAL ENERGY-LEVEL TUNING OF QUINOXALINE DONORS FOR ORGANIC SOLAR CELLS	El mostafa Benharaf Ikram Mennas Said Zouitina Zidane Zohra Ayoub cherrat Abdellah Zeroual Mohammed El idrissi	Sultan Moulay Slimane University, Morocco Chouaib Doukkali University, Morocco
FROM IRON-TITANIUM TO ITS HYDRIDES: STABILITY AND FUNCTIONAL PROPERTIES FROM FIRST PRINCIPLES	Yassin CHNIKA Abderrahim JABAR Lahoucine BAHMAD Rachid AHL LAAMARA	Mohammed V University in Rabat, Morocco Hassan II University of Casablanca
DESIGN AND HEAT TRANSFER ANALYSIS OF BATTERY THERMAL MANAGEMENT SYSTEMS FOR NEXT-GENERATION ELECTRIC VEHICLES	Helal Uddin Sharif Ibne Mizan Al Mahmud Imran Islam Rasel Ahmed Touhidur Rahman Sajib	Hajee Mohammad Danesh Science and Technology University, Bangladesh Multimedia University, Malaysia
DEVELOPMENT OF A DEEP TRANSFER LEARNING MODEL FOR SMART WASTE CLASSIFICATION IN RECYCLING FACILITIES	Sani Yakubu Khalifa Mohammed Aliyu Aliyu	Ahmadu Bello University Zaria, Nigeria
EFFECTS OF MICROSTRUCTURE EVOLUTION VIA DIRECTIONAL SOLIDIFICATION ON THERMOELECTRIC BEHAVIOUR OF BI2TE3 BASED THERMOELECTRIC MATERIALS	Gemechis Megersa Jigi Varinder Pal Bifa Shimelis Haile Femi Emmanuel Olu Chandra Sekhar Tiwary	Indian Institute of Technology, India
COLOURED CONCRETE: AN ECO-ENGINEERING SOLUTION TO RESTORE MARINE ECOSYSTEMS	Poh-Yee LOH Prof. Dr. Payam SHAFIGH	Universiti Malaya, Malaysia Wenzhou University of Technology, China

25.03.2026 / Hall-5, Session-2



DUBAI LOCAL TIME



13³⁰ : 15³⁰



ANKARA LOCAL TIME



12³⁰ : 14³⁰

HEAD OF SESSION: Assoc. Prof. Dr. Omer Shujat Bhatti

TOPIC TITLE	AUTHORS	AFFILIATION
COMPARATIVE ASSESSMENT OF AHP AND MIF MODELS FOR GROUNDWATER POTENTIAL MAPPING: VALIDATION AND TREND ANALYSIS IN THE JEL AQUIFER	Aynaou Anass Nouayti Nordine Khattach Driss Adghiss Yassine El Harouche Loubna	Abdelmalek Essaadi University, Morocco
SUSTAINABLE ARCHITECTURE: INTEGRATING TRADITIONAL BUILDING TECHNIQUES WITH MODERN TECHNOLOGY	Rahimova Yulduz Atamyradowna	Oguz han Engineering and Technology University of Turkmenistan
ENVIRONMENTAL CHANGES IN SYLHET DISTRICT (2019–2024): A CASE STUDY OF GOWAINGHAT UPAZILA	Shahriar Rahman	Metropolitan University, Sylhet, Bangladesh
SHAPING URBAN WELL-BEING: EXPLORING THE BUILT ENVIRONMENT–QUALITY OF LIFE NEXUS IN ABBOTTABAD	Usman Raza Kazmi Danish Ahsan Izza Khizra Shahzad Assoc. Prof. Dr. Omer Shujat Bhatti	University of Gujrat, Pakistan School of Architecture & Planning, Pakistan
ASSESSMENT OF TRACE METAL CONTAMINATION IN WATER IN THE SEMI-MECHANIZED GOLD MINING AREA: A CASE STUDY OF THE KONDAGO GOLD MINE, NIGER	Maman Hassan Abdourazakou	School of Mines, Niger
BLUE MATERIALS FOR GREEN ENGINEERING: REIMAGINING DREDGED MARINE SOILS FOR RECLAMATION	Chee-Ming Chan	Universiti Tun Hussein Onn Malaysia
THE COMPATIBILITY BETWEEN THE LAW ON ELECTRONIC TRANSACTIONS AND SMART CONTRACTS IN VIETNAM: LEGAL GAPS	Huỳnh Minh Quân	Sai Gon University, Vietnam

25.03.2026 / Hall-1, Session-3



DUBAI LOCAL TIME



16⁰⁰ : 18⁰⁰



ANKARA LOCAL TIME



15⁰⁰ : 17⁰⁰

HEAD OF SESSION: Assoc. Prof. Dr. Fırat AŞIR

TOPIC TITLE	AUTHORS	AFFILIATION
THE THERAPEUTIC ROLE OF SWIMMING IN POSTURAL HEALTH	Assoc. Prof. Dr. Taner YILMAZ Aleyna ÖZEL	Uşak University, Türkiye
A REVIEW ON THE IMPORTANCE OF THE PELVIC SKELETON IN GENDER	Behiye SARIYILDIZ Gizem SAKALLI	Aydın Adnan Menderes University, Türkiye
THE HISTOPATHOLOGICAL EFFECTS OF THYMOQUINONE ON THE UTERINE TUBE IN AN EXPERIMENTAL ENDOMETRIOSIS MODEL	Assoc. Prof. Dr. Fırat AŞIR Fırat ŞAHİN	Dicle University, Türkiye Prof. Dr. M. Turan Çetin IVF & Women's Health Center
THE EFFECT OF BRUXISM ON DYNAMIC BALANCE IN DESK WORKERS	Hajar ALKASSAB Vedat GÖKEN	İstinye University, Türkiye
CLINICAL SIGNIFICANCE OF TIME TO EMERGENCY DEPARTMENT PRESENTATION IN PRIAPISM	Assoc. Prof. Dr. Murat GÜL	Selçuk University, Türkiye
DISTRIBUTION OF THE SYSTEMIC IMMUNE-INFLAMMATION INDEX AND TUMOR SIZE AMONG HISTOPATHOLOGICAL SUBTYPES OF TESTICULAR TUMORS: A FOUR-GROUP COMPARATIVE ANALYSIS	Şaban Kadir KÖLELİ Nihal Nur CEYLAN Assoc. Prof. Dr. Murat GÜL	Selçuk University, Türkiye Gaziantep University, Türkiye

25.03.2026 / Hall-2, Session-3



DUBAI LOCAL TIME



16⁰⁰ : 18⁰⁰



ANKARA LOCAL TIME



15⁰⁰ : 17⁰⁰

HEAD OF SESSION: Assoc. Prof. Dr. Beyzanur ÇAYIR

TOPIC TITLE	AUTHORS	AFFILIATION
REGIONAL PRIORITIZATION OF RENEWABLE ENERGY AND ENERGY EFFICIENCY INVESTMENTS FOR REDUCING ENERGY POVERTY: A MULTI-CRITERIA APPROACH	Ertugrul AYYILDIZ Nezir AYDIN Betül KARA	Hamad Bin Khalifa University, Türkiye Karadeniz Teknik University, Türkiye
A BIBLIOMETRIC ANALYSIS OF AVIATION EMISSIONS AND LTO-BASED STUDIES	Zeynep İrem ÖZFİDAN Assoc. Prof. Dr. Beyzanur ÇAYIR ERVURAL	Necmettin Erbakan University, Türkiye
ASSESSMENT OF AIRCRAFT EMISSIONS AT THE AIRPORT LEVEL BASED ON THE LTO CYCLE	Zeynep İrem ÖZFİDAN Assoc. Prof. Dr. Beyzanur ÇAYIR ERVURAL	Necmettin Erbakan University, Türkiye
FABRIC TECHNOLOGY: A NEW GENERATION TEXTILE APPROACH WITH NATURAL FIBER, FLAME RETARDANT PROTECTION AND FLUORINE/CARBON-FREE WATER REPELLENCY	Semiha KUTSAL	Erciyes University, Türkiye
A SUSTAINABLE NON-BIOCIDAL ODOUR CONTROL APPROACH FOR BEDDING AND HOME TEXTILES	Kübra KAMANLIOĞLU	Erciyes University, Türkiye
DEVELOPMENT OF SUSTAINABLE FOAM MATERIALS FOR FURNITURE APPLICATIONS	Büşra ŞİMŞEK Fatma Pınar ŞENKON Arif AKILLILAR Prof. Dr. Mustafa ÖZMEN	Bürotime, Türkiye Selçuk University, Türkiye

25.03.2026 / Hall-3, Session-3



DUBAI LOCAL TIME



16⁰⁰ : 18⁰⁰



ANKARA LOCAL TIME



15⁰⁰ : 17⁰⁰

HEAD OF SESSION: Assoc. Prof. Dr. Abdurrahman GÜNDAY

TOPIC TITLE	AUTHORS	AFFILIATION
DECISION IN A CRISIS: BUILDING STRATEGY WHEN SYSTEMS FAIL	Emrehan TAŞTEKİN Rabia Nisa ÇINAR	Ostim Technical University, Türkiye Çankaya University, Türkiye
INTERFERENCE DETECTION SYSTEM INTEGRATED ONTO AERIAL PLATFORMS: ANALYSIS AND SIMULATION	Hasan Faruk DUMAN Metehan KARABEKİROĞLU Abdülşamet KARLI Prof. Dr. Sait Eser KARLIK	Bursa Uludağ University, Türkiye
THE EFFECTS OF CAMERA-BASED EYE-TRACKING SENSORS INTEGRATED INTO ADAS SYSTEMS ON DRIVER ATTENTION LEVEL	Assoc. Prof. Dr. Abdurrahman GÜNDAY M.Tarık Savranlı	Bursa Uludağ University, Türkiye
PRELIMINARY EVALUATION OF FUEL PROPERTIES OF PELLETS PRODUCED FROM APPLE TREE PRUNING RESIDUES	Asst. Prof. Dr. Bekir DOĞAN Asst. Prof. Dr. Ünsal AYBEK	Tokat Gaziosmanpasa University, , Türkiye
SEMANTIC SEGMENTATION OF POWER LINES FROM AIRBORNE LASER SCANNING POINT CLOUDS USING PROJECTION-BASED DEEP LEARNING METHODS	Mertcan NAZAR Prof. Dr. Umut Güneş SEFERCİK	Gebze Technical University
PREDICTION OF URBAN SURFACE DEFORMATIONS USING SENTINEL-1 PSI TIME SERIES AND LSTM NETWORKS	Mertcan NAZAR Prof. Dr. Umut Güneş SEFERCİK	Gebze Technical University

25.03.2026 / Hall-4, Session-3



DUBAI LOCAL TIME



16⁰⁰ : 18⁰⁰



ANKARA LOCAL TIME



15⁰⁰ : 17⁰⁰

HEAD OF SESSION: Usman S Rilwan

TOPIC TITLE	AUTHORS	AFFILIATION
MATHEMATICAL BIFURCATION AND STABILITY ANALYSIS OF AN SEIR EPIDEMIC MODEL WITH ENVIRONMENTAL RESERVOIR AND AWARENESS PROGRAMS	Usman S Rilwan Michael O Oni Ayuba Umar Muhammad Kabir M Tafida Musa Balarabe Yusuf Samuel Taiwo Aliyu Ibrahim Bomo	Ahmadu Bello University, Zaria-Nigeria
POLARITON PEAKS FROM THE COUPLED SYSTEM OF THE SPIN TRANSITION AND THE CAVITY	Nathalie Fokina Maia Elizbarashvili	Georgian Technical University, Georgia
MATRICES IN DATA SCIENCE AND MACHINE LEARNING	M.Varshana Deepa K.Priyanka S.Shapna K.Varshitha D.Ragavarshini S.Dhanvanthari	RMK Engineering College, India
SIMPLE APPLICATIONS OF FUNCTIONS OF SEVERAL VARIABLES AND VECTOR CALCULUS	M. Varshana Deepa K. Priyanka S. Shapna K. Varshitha D. Ragavarshini S. Dhanavanthari	RMK Engineering College, India
FLUID OSCILLATIONS IN SHELLS OF REVOLUTION WITH AND WITHOUT BAFFLES WITH BOUNDARY ELEMENTS	K.G. Degtyarev D.V. Kriutchenko M.S. Mishchenko O.M. Sierikova E.A. Strelnikova	Kharkiv National University, Ukraine
ELECTRODRIVE REVOLUTION: E-VEHICLES CHARGING THE FUTURE	DEVESH R BARANI CHANDRAN S JEYANTH R SANKESH JAIN N AKASH R LOKESHKUMAR K A. VIJAYALAKSHMI	R.M.K. Engineering College, India
RUST REAPER: CORROSION'S BILLION-DOLLAR HEIST	VARSA G AISHWARYA S THARUNIKAA P VANTHANA G M VARSHANA DEEPA A. VIJAYALAKSHMI	R.M.K. Engineering College, India

25.03.2026 / Hall-5, Session-3



DUBAI LOCAL TIME



16⁰⁰ : 18⁰⁰



ANKARA LOCAL TIME



15⁰⁰ : 17⁰⁰

HEAD OF SESSION: Zahid Ullah Khan

TOPIC TITLE	AUTHORS	AFFILIATION
ADSORPTION OF POLYPHENOLS EXTRACTED FROM OLIVE OIL BY POZZOLAN-BASED BEADS AND SODIUM ALGINATE	Ahmed Osmane Khadija Zidan Moustapha Belmouden	Agadir University Ibn Zohr, Morocco Cadi Ayyad University, Marrakech, Morocco
EXISTENCE, UNIQUENESS AND STABILITY ANALYSIS OF A Ψ -CAPUTO FRACTIONAL SPATIAL HETEROGENEOUS VIRAL INFECTION MODEL	EL HABIB BANOUISSE M'HAMED ELOMARI AZIZ EL GHAZOUANI	Sultan Moulay Slimane University, Morocco.
HYDROGEN STORAGE POTENTIAL OF LI-DECORATED TIB ₂ MBENE MONOLAYER	H. Ouhenu M. Agouri A. Waqdim S. Elfilali A. Abbassi S.Taj B. Manaut	Sultan Moulay Slimane University, Morocco
STRETCHING THE LIMITS: TRIAXIAL STRAIN UNLOCKS ENHANCED HYDROGEN STORAGE IN BE ₂ MNH ₆	H. Fatihi H. Benaali A. Zaghrane A. Abbassi M. El Idrissi S. Taj B. Manaut	Sultan Moulay Slimane University, Morocco Sidi Mohamed Ben Abdellah University, Morocco
COMPARISON OF CONICAL AND BELL-SHAPED NOZZLES IN SUPERSONIC FLOWS: A CFD-BASED ANALYSIS OF THERMAL AND THRUST PERFORMANCE	Akmal Ahmmed	Aviation and Aerospace University, Bangladesh
COUPLED ANALYSIS OF THERMAL-HUMIDITY TRANSPORT AND VORTEX FORMATION IN A STANDARDIZED NASAL AIRWAY	Zahid Ullah Khan	Northeastern University, China

CONTENTS

AUTHOR	TITLE	NO
Mahmut ÖĞ	AN EXAMINATION OF TEACHER AND STUDENT VIEWS ON TEACHING MULTIPLICATION IN 4TH GRADE PRIMARY SCHOOL MATHEMATICS	1
Mahmut ÖĞ	AN EXAMINATION OF TEACHERS' VIEWS ON THE USE OF ARTIFICIAL INTELLIGENCE IN MULTIGRADE CLASSROOMS	3
Derya GÜLOĞLU	RANGELAND MANAGEMENT TERMINOLOGY	4
Nihan KARAKUŞ HARMANCI	SEOLLAL (설날), THE KOREAN LUNAR NEW YEAR: RITUAL PERFORMANCE, CULTURAL TRANSMISSION, AND SOCIAL CONTINUITY	12
Nihan KARAKUŞ HARMANCI	CULTURAL TRANSFER IN LITERARY TRANSLATION: AN ANALYSIS OF THE TRANSLATION OF YOUR NEIGHBOUR'S TABLE (구병모-네 이웃의 식탁)	22
Gül GÖRMEZ	THE PROBLEM OF UNCONSCIOUS USE IN PHYTOTHERAPY: A REVIEW ON THE RISKS ASSOCIATED WITH MEDICINAL PLANT USE FROM A PUBLIC HEALTH PERSPECTIVE	34
Selçuk GÜMÜŞ Ayşegül GÜMÜŞ	COMPUTATIONAL APPROACH FOR AROMATICITY OF TRIAZAPENTACENE	40
Selçuk GÜMÜŞ Ayşegül GÜMÜŞ	INVESTIGATION OF POTENTIAL SEMICONDUCTORS BASED ON DONOR-ACCEPTOR TYPE SYSTEMS	49
Nilüfer DEMİRSOY	ETHICAL PRINCIPLES AND PATIENT RIGHTS IN EMERGENCY MEDICINE: ETHICAL BALANCE IN DIFFICULT CONDITIONS	60
Nurdan KIRIMLIOĞLU	DIGITALIZATION IN HOME HEALTHCARE SERVICES: ETHICAL PRINCIPLES, RISKS, AND THE TURKISH EXPERIENCE	62
Sumru KALELİ	AN ASYMMETRIC POWER IN POLITICAL COMMUNICATION: AN INVESTIGATION ON GUERRILLA MARKETING PRACTICES IN TURKISH POLITICS	64
Aleyna İrem ALTUNAL Mikail KAR	MEASURING FIRM-CONSUMER INTERACTION LEVELS ON INSTAGRAM BY POST CATEGORY FOR THE BANKING SECTOR	73
Svitlana OLIINYK Oleksandr HONCHAROV	IMMERSIVE TECHNOLOGIES AS AN INNOVATIVE TOOL FOR TRAINING PHARMACY SPECIALISTS	75

Rabia Hameed Maryam Javed	THE LINK BETWEEN EVERYDAY SEXISM AND WOMEN'S INTENT TO LEAVE THE WORKPLACE	76
Raheema Iftikhar Shah Beenish Mubeen	INFLUENCE OF ISLAMIC WORK ETHICS ON LEADERSHIP: A QUALITATIVE EXPLORATION IN ORGANIZATIONAL CONTEXTS	77
Vatamanita MARIANA	CRIMES IN CONSTRUCTION AND SOCIAL CHANGES IN THE GLOBALIZED WORLD	85
Mas'ud Hamdan	THE DISCOURSE OF POWER AND TRUTH IN POETIC WORKS (LITERATURE AND ART): AN INTRODUCTION	96
Mas'ud Hamdan	“THE REPORT”: A SMALL TAP IN THE BIG REALM OF THE SERIO-COMICAL	97
Mas'ud Hamdan	A DELIBERATE HUMOUR: THE MASKS OF THE OPPRESSED TRUTH	98
Nur Mazlina Abdul Hadi	STUDENTS' PERCEPTION OF READINESS FOR EDUCATIONAL TRANSFORMATION THROUGH ONLINE TEACHING AND LEARNING (ODLT) POST COVID-19 AT KEPALA BATAS COMMUNITY COLLEGE	99
Balasubramani G L. Rinky Rajput Manish Gupta Pradeep Dahiya Jitendra K Thakur Rakesh Bhatnagar Abhinav Grover	STRUCTURE-BASED DRUG REPURPOSING TO INHIBIT THE DNA GYRASE OF MYCOBACTERIUM TUBERCULOSIS	112
Kutlieva G.D. Turaeva B.I. Kamolova H.F Shonahunov T.	DETOXIFICATION OF FEED USING LACTIC ACID BACTERIA	113
Zainib Razzaq Samreen Gul Khan Fozia Anjum Mehr un Nisa Sana Javaid	A FACILE SYNTHESIS OF 1,3,4-OXADIAZOLE-BASED CARBAMOTHIOATE MOLECULES: ANTISEIZURE POTENTIAL, EEG EVALUATION AND IN-SILICO DOCKING STUDIES	114
C P Rashmi Sweta	BRIDGING BIOLOGY AND SOCIETY: MEDIA, COMMUNICATION AND THE WAY TO SUSTAINABLE DEVELOPMENT	115
Mariami Managadze	THE PROBLEM OF MICROPLASTICS IN ENVIRONMENTAL MEDICINE	116

Ahmed Osmane Khadija Zidan Moustapha Belmouden	NUTRITIONAL AND HEALTH BENEFITS OF MILLET IRRIGATED BY TREATED DOMESTIC WASTEWATER BY TRICKLING FILTER TECHNOLOGY UNDER ARID CLIMATE OF NORTH AFRICA	117
Ahmed Osmane Khadija Zidan Moustapha Belmouden	HEALTH AND AGRONOMIC IMPACTS OF BARLEY IRRIGATED WITH TRICKLING FILTER-TREATED WASTEWATER IN SEMI-ARID NORTH AFRICA: MOROCCO	118
Nicole Barbosa BETTIOL Franciele Aparecida DE CARVALHO Laís Valencise MAGRI Jardel Francisco MAZZI-CHAVES Márcio DE MENEZES Giovana Dornelas Azevedo ROMERO Selma SIÉSSERE	FUNCTIONAL EFFECTS OF HYALURONIC ACID AUGMENTATION OF THE MANDIBULAR ANGLE ON BITE FORCE AND OROFACIAL TISSUES	119
Zubia Shah	THE PHYSIOLOGICAL RESPONSE OF CARDIORESPIRATORY FITNESS PARAMETERS TO EXERCISE IN PREDIABETIC POPULATION: AN EXPERIMENTAL PRE-POST DESIGN	121
Niladry Chowdhury	BUSINESS ANALYTICS IN PRIVATE HEALTHCARE SYSTEMS: ASSESSING ROI AND OPERATIONAL IMPACT	122
Anik Biswas	ARTIFICIAL INTELLIGENCE-DRIVEN PREDICTIVE ANALYTICS FOR IMPROVING HEALTHCARE OUTCOMES IN THE UNITED STATES	123
Taskeen Fatima Anas Raza	CORRELATION STUDY ON ETIOLOGICAL FACTORS OF HEART DISEASE IN DIABETIC PATIENTS IN LAHORE, PAKISTAN	124
Diyana ZHELYAZKOVA Dobromira SHOPOVA Maria Hristozova	GEOMAGIC CONTROL X FOR MULTIDISCIPLINARY 3D ACCURACY ASSESSMENT IN DENTAL PRACTICE	125
Rochdi DAIBI Jihane HILALI El Mokhtar ELOUALI Jaouad ROUANE Fatima Zahra LAMRANI Anas ANAAYOUB Fouad BOUGHANZAI Walid Bouzid Zakaria ABIDA Amina EL IMAM Mariam BEN SAGUA Youssef SQALLI HOUSSAINI Abdelhalem MESFIOUI	DO ACUTE BLOOD PRESSURE RESPONSES EXPLAIN ATTENTION GAINS AFTER HIIT? STROOP ONTIME EVIDENCE IN ADOLESCENTS (RCT SUBANALYSIS)	132
Semra KILIÇ KARATAY	THE TREE OF LIFE MOIF IN THE DECORATIONS OF THE DUBAI AL SEEF TOURIST ATTRACTION	134

Semra KILIÇ KARATAY	AN EXAMPLE OF ARCHITECTURAL STRUCTURES EXHIBITING UNIVERSAL AESTHETICS AND CULTURAL INTERACTION IN CONTEMPORARY ISLAMIC ARCHITECTURE: THE SHEIKH ZAYED GRAND MOSQUE	147
Neriman Gül ÇELEBİ Ümit ARPACIOĞLU	A RESEARCH ON BIM-INTEGRATED LIFE CYCLE ASSESSMENT OF BUILDING ELEMENTS	161
Zeynep KEREM ÖZTÜRK Betül KARAALIOĞLU	THE TRANSFORMATION OF INDUSTRIAL AREAS INTO CREATIVE SPACES IN SHENZHEN AFTER THE REFORM AND OPENING-UP POLICIES: AN EXAMINATION OF URBAN IDENTITY AND PUBLIC LIFE	168
Murat BİROL Özge ULUSAN	SEMIOTIC REPRESENTATION OF NATIONAL IDENTITY ON THE NETFLIX PLATFORM: AN ANALYSIS OF THE FILM “EVET, HAYIR, BELKİ	190
Sergün Kurtoğlu	THE REPRESENTATION OF MODERN SCIENCE IN POPULAR SCIENCE JOURNALISM: AN ANALYSIS OF ARTIFICIAL INTELLIGENCE NEWS	206
İmannur ÇAÇA Beyza MENDEŞ	MATCHA TEA AND ITS EFFECTS ON HEALTH	207
Cihat GÜNER Yusuf ÇAKMAKÇI Hakan BAŞDOĞAN	COMPARATIVE PERFORMANCE OF PEA, SOY, AND RICE PROTEIN ISOLATE-ENRICHED HIGH-PROTEIN NOODLES: PHYSICOCHEMICAL, TEXTURAL, AND SENSORY ASSESSMENT	209
Serpil PEKDOĞAN GÖZTOK Cihat GÜNER	EFFECT OF DIFFERENT TURMERIC FORMS ON THE TEXTURAL, PHYSICOCHEMICAL, MOLECULAR, AND SENSORY PROPERTIES OF GELATIN-BASED GUMMY CANDIES	211
Atiye KAYNAK Suzan YALÇIN E. Ebru ONBAŞILAR	FACTORS AFFECTING FAT AND FATTY ACID COMPOSITION IN CHICKEN MEAT	213
Atiye KAYNAK Suzan YALÇIN E. Ebru ONBAŞILAR	FACTORS AFFECTING ANTIOXIDANT LEVELS IN CHICKEN MEAT	220
Darko TIPURIĆ Ivana KOVAČ Zlatko ŽURO	THE ECLIPSE OF JUDGMENT: WHEN ALGORITHMS ENTER THE BOARDROOM	226
Aslan Azimzadeh Rauf Hasanzade	MACROECONOMIC PROPORTIONALITY AND STRUCTURAL DYNAMICS OF THE AGRICULTURAL SECTOR IN AZERBAIJAN	240
Depy Muhamad Pauzy Ristina Siti Sundari Hary Firmansyah	DEVELOPMENT OF THE PENTAHHELIX TO HEXAHHELIX MODEL IN RAJAPOLAH TASIKMALAYA HANDICRAFT MSME’s	246

Andi Haerunnisa Muhlis Madani Jaelan Usman Haerana Fatmawati	SMART GOVERNANCE IN THE IMPLEMENTATION OF PUBLIC SERVICES AT THE DEPARTMENT OF POPULATION AND CIVIL REGISTRATION IN SINJAI REGENCY	247
Cristian-Romeo SPĂTARU Cristian Constantin POPESCU	CORRUPTION DYNAMICS IN EUROPE: EVIDENCE FROM A DYNAMIC AR(2) PANEL MODEL	248
Turyamureeba Silaji Zulaihatu Lawal Bagiwa Tukur Muhammad	THE RELATIONSHIP BETWEEN ORGANISATIONAL STRUCTURE DIMENSIONS AND ACADEMIC STAFF PERFORMANCE IN SELECTED PRIVATE CHARTERED UNIVERSITIES IN THE ANKOLE SUB REGION, WESTERN UGANDA	263
Mauliady Satria Mawaddah Noer Tawfik Abdo Saleh	BIOMASS-DERIVED CARBON NANOSTRUCTURE MATERIAL FOR SUSTAINABLE ENERGY PRODUCTION THROUGH ENHANCED HYDROGEN EVOLUTION REACTION	279
Mauliady Satria Mawaddah Noer Tawfik Abdo Saleh	SUSTAINABLE REACTOR DESIGN FOR PHOTOCATALYTIC DEGRADATION IN WASTEWATER TREATMENT USING MODIFIED GRAPHENE OXIDE DERIVED FROM PETROLEUM REFINERY WASTE	280
LARBI Karima AICHOUNI Sara	PREPARATION AND PHYSICOCHEMICAL INVESTIGATION OF A NOVEL HYBRID ADSORBENT FOR THE ADSORPTIVE REMOVAL OF METHYLENE BLUE	281
El mostafa Benharaf Ikram Mennas Said Zouitina Zidane Zohra Ayoub cherrat Abdellah Zeroual Mohammed El idrissi	COMPUTATIONAL ENERGY-LEVEL TUNING OF QUINOXALINE DONORS FOR ORGANIC SOLAR CELLS	282
Yassin CHNIKA Abderrahim JABAR Lahoucine BAHMAD Rachid AHL LAAMARA	FROM IRON-TITANIUM TO ITS HYDRIDES: STABILITY AND FUNCTIONAL PROPERTIES FROM FIRST PRINCIPLES	283
Helal Uddin Sharif Ibne Mizan Al Mahmud Imran Islam Rasel Ahmed Touhidur Rahman Sajib	DESIGN AND HEAT TRANSFER ANALYSIS OF BATTERY THERMAL MANAGEMENT SYSTEMS FOR NEXT-GENERATION ELECTRIC VEHICLES	285
Sani Yakubu Khalifa Mohammed Aliyu Aliyu	DEVELOPMENT OF A DEEP TRANSFER LEARNING MODEL FOR SMART WASTE CLASSIFICATION IN RECYCLING FACILITIES	286
Gemechis Megersa Jigi Varinder Pal Bifa Shimelis Haile Femi Emmanuel Olu Chandra Sekhar Tiwary	EFFECTS OF MICROSTRUCTURE EVOLUTION VIA DIRECTIONAL SOLIDIFICATION ON THERMOELECTRIC BEHAVIOUR OF Bi ₂ Te ₃ BASED THERMOELECTRIC MATERIALS	298
Poh-Yee LOH Payam SHAFIGH	COLOURED CONCRETE: AN ECO-ENGINEERING SOLUTION TO RESTORE MARINE ECOSYSTEMS	299

Aynaou Anass Nouayti Nordine Khattach Driss Adghiss Yassine El Harouche Loubna	COMPARATIVE ASSESSMENT OF AHP AND MIF MODELS FOR GROUNDWATER POTENTIAL MAPPING: VALIDATION AND TREND ANALYSIS IN THE JEL AQUIFER	300
Rahimova Yulduz Atamyradowna	SUSTAINABLE ARCHITECTURE: INTEGRATING TRADITIONAL BUILDING TECHNIQUES WITH MODERN TECHNOLOGY	301
Shahriar Rahman	ENVIRONMENTAL CHANGES IN SYLHET DISTRICT (2019–2024): A CASE STUDY OF GOWAINGHAT UPAZILA	302
Usman Raza Kazmi Danish Ahsan Izza Khizra Shahzad Assoc. Prof. Dr. Omer Shujat Bhatti	SHAPING URBAN WELL-BEING: EXPLORING THE BUILT ENVIRONMENT–QUALITY OF LIFE NEXUS IN ABBOTTABAD	303
Maman Hassan Abdourazakou	ASSESSMENT OF TRACE METAL CONTAMINATION IN WATER IN THE SEMI-MECHANIZED GOLD MINING AREA: A CASE STUDY OF THE KONDAGO GOLD MINE, NIGER	304
Chee-Ming Chan	BLUE MATERIALS FOR GREEN ENGINEERING: REIMAGINING DREDGED MARINE SOILS FOR RECLAMATION	312
Huỳnh Minh Quân	THE COMPATIBILITY BETWEEN THE LAW ON ELECTRONIC TRANSACTIONS AND SMART CONTRACTS IN VIETNAM: LEGAL GAPS	313
Assoc. Prof. Dr. Taner YILMAZ Aleyna ÖZEL	THE THERAPEUTIC ROLE OF SWIMMING IN POSTURAL HEALTH	314
Behiye SARIYILDIZ Gizem SAKALLI	A REVIEW ON THE IMPORTANCE OF THE PELVIC SKELETON IN GENDER	321
Fırat AŞIR Fırat ŞAHİN	THE HISTOPATHOLOGICAL EFFECTS OF THYMOQUINONE ON THE UTERINE TUBE IN AN EXPERIMENTAL ENDOMETRIOSIS MODEL	325
Hajar ALKASSAB Vedat GÖKEN	THE EFFECT OF BRUXISM ON DYNAMIC BALANCE IN DESK WORKERS	332
Murat GÜL	CLINICAL SIGNIFICANCE OF TIME TO EMERGENCY DEPARTMENT PRESENTATION IN PRIAPISM	334

Şaban Kadir KÖLELİ Nihal Nur CEYLAN Murat GÜL	DISTRIBUTION OF THE SYSTEMIC IMMUNE-INFLAMMATION INDEX AND TUMOR SIZE AMONG HISTOPATHOLOGICAL SUBTYPES OF TESTICULAR TUMORS: A FOUR-GROUP COMPARATIVE ANALYSIS	335
Ertugrul AYYILDIZ Nezir AYDIN Betül KARA	REGIONAL PRIORITIZATION OF RENEWABLE ENERGY AND ENERGY EFFICIENCY INVESTMENTS FOR REDUCING ENERGY POVERTY: A MULTI-CRITERIA APPROACH	336
Zeynep İrem ÖZFİDAN Beyzanur ÇAYIR ERVURAL	A BIBLIOMETRIC ANALYSIS OF AVIATION EMISSIONS AND LTO-BASED STUDIES	346
Zeynep İrem ÖZFİDAN Beyzanur ÇAYIR ERVURAL	ASSESSMENT OF AIRCRAFT EMISSIONS AT THE AIRPORT LEVEL BASED ON THE LTO CYCLE	351
Semiha KUTSAL	FABRIC TECHNOLOGY: A NEW GENERATION TEXTILE APPROACH WITH NATURAL FIBER, FLAME RETARDANT PROTECTION AND FLUORINE/CARBON-FREE WATER REPELLENCY	358
Kübra KAMANLIOĞLU	A SUSTAINABLE NON-BIOCIDAL ODOUR CONTROL APPROACH FOR BEDDING AND HOME TEXTILES	360
Büşra ŞİMŞEK Fatma Pınar ŞENKON Arif AKILLILAR Prof. Dr. Mustafa ÖZMEN	DEVELOPMENT OF SUSTAINABLE FOAM MATERIALS FOR FURNITURE APPLICATIONS	362
Emrehan TAŞTEKİN Rabia Nisa ÇINAR	DECISION IN A CRISIS: BUILDING STRATEGY WHEN SYSTEMS FAIL	364
Hasan Faruk DUMAN Metehan KARABEKİROĞLU Abdülşamet KARLI Sait Eser KARLIK	INTERFERENCE DETECTION SYSTEM INTEGRATED ONTO AERIAL PLATFORMS: ANALYSIS AND SIMULATION	372
Abdurrahman GÜNDAY M.Tarık Savranlı	THE EFFECTS OF CAMERA-BASED EYE-TRACKING SENSORS INTEGRATED INTO ADAS SYSTEMS ON DRIVER ATTENTION LEVEL	381
Bekir DOĞAN Ünsal AYBEK	PRELIMINARY EVALUATION OF FUEL PROPERTIES OF PELLETS PRODUCED FROM APPLE TREE PRUNING RESIDUES	388
Mertcan NAZAR Umut Güneş SEFERCİK	SEMANTIC SEGMENTATION OF POWER LINES FROM AIRBORNE LASER SCANNING POINT CLOUDS USING PROJECTION-BASED DEEP LEARNING METHODS	394
Mertcan NAZAR Umut Güneş SEFERCİK	PREDICTION OF URBAN SURFACE DEFORMATIONS USING SENTINEL-1 PSI TIME SERIES AND LSTM NETWORKS	407

Usman S Rilwan Michael O Oni Ayuba Umar Muhammad Kabir M Tafida Musa Balarabe Yusuf Samuel Taiwo Aliyu Ibrahim Bomo	MATHEMATICAL BIFURCATION AND STABILITY ANALYSIS OF AN SEIR EPIDEMIC MODEL WITH ENVIRONMENTAL RESERVOIR AND AWARENESS PROGRAMS	421
Nathalie Fokina Maia Elizbarashvili	POLARITON PEAKS FROM THE COUPLED SYSTEM OF THE SPIN TRANSITION AND THE CAVITY	425
M.Varshana Deepa K.Priyanka S.Shapna K.Varshitha D.Ragavarshini S.Dhanvanthari	MATRICES IN DATA SCIENCE AND MACHINE LEARNING	433
M. Varshana Deepa K. Priyanka S. Shapna K. Varshitha D. Ragavarshini S. Dhanavanthari	SIMPLE APPLICATIONS OF FUNCTIONS OF SEVERAL VARIABLES AND VECTOR CALCULUS	434
K.G. Degtyarev D.V. Kriutchenko M.S. Mishchenko O.M. Sierikova E.A. Strelnikova	FLUID OSCILLATIONS IN SHELLS OF REVOLUTION WITH AND WITHOUT BAFFLES WITH BOUNDARY ELEMENTS	436
DEVESH R BARANI CHANDRAN S JEYANTH R SANKESH JAIN N AKASH R LOKESHKUMAR K A. VIJAYALAKSHMI	ELECTRODRIVE REVOLUTION: E-VEHICLES CHARGING THE FUTURE	437
VARSA G AISHWARYA S THARUNIKAA P VANTHANA G M VARSHANA DEEPA A. VIJAYALAKSHMI	RUST REAPER: CORROSION'S BILLION-DOLLAR HEIST	439
Ahmed Osmane Khadija Zidan Moustapha Belmouden	ADSORPTION OF POLYPHENOLS EXTRACTED FROM OLIVE OIL BY POZZOLAN-BASED BEADS AND SODIUM ALGINATE	440
EL HABIB BANOUISSE M'HAMED ELOMARI AZIZ EL GHAZOUANI	EXISTENCE, UNIQUENESS AND STABILITY ANALYSIS OF A Ψ -CAPUTO FRACTIONAL SPATIAL HETEROGENEOUS VIRAL INFECTION MODEL	441
H. Ouhenou M. Agouri A. Waqdim S. Elfilali A. Abbassi S.Taj B. Manaut	HYDROGEN STORAGE POTENTIAL OF LI- DECORATED TIB ₂ MBENE MONOLAYER	442

H. Fatihi H. Benaali A. Zaghrane A. Abbassi M. El Idrissi S. Taj B. Manaut	STRETCHING THE LIMITS: TRIAXIAL STRAIN UNLOCKS ENHANCED HYDROGEN STORAGE IN BE_2MNH_6	443
Akmal Ahmmed	COMPARISON OF CONICAL AND BELL-SHAPED NOZZLES IN SUPERSONIC FLOWS: A CFD-BASED ANALYSIS OF THERMAL AND THRUST PERFORMANCE	444
Zahid Ullah Khan	COUPLED ANALYSIS OF THERMAL–HUMIDITY TRANSPORT AND VORTEX FORMATION IN A STANDARDIZED NASAL AIRWAY	445

AN EXAMINATION OF TEACHER AND STUDENT VIEWS ON TEACHING MULTIPLICATION IN 4TH GRADE PRIMARY SCHOOL MATHEMATICS

Mahmut ÖĞ

Milli Eğitim Bakanlığı, Sınıf Öğretmeni
MoNE, Primary School Teacher
ORCID ID: 0009-0005-8173-507X

ABSTRACT

This study aims to examine teacher and student views on teaching multiplication in 4th grade primary school mathematics. Multiplication is a fundamental mathematical skill that forms the basis for advanced mathematical learning. However, recent studies indicate that students often learn multiplication through rote procedures rather than conceptual understanding, which negatively affects their problem-solving skills. The study was conducted using a qualitative case study design. The participants consisted of 4th grade mathematics teachers and students. Data were collected through semi-structured interviews and analyzed using descriptive analysis. The findings reveal that teachers emphasize the importance of using concrete materials and real-life connections, while students state that visual and game-based activities facilitate their learning. The study concludes that student-centered and concept-based instructional approaches should be strengthened in multiplication teaching.

Keywords: Multiplication teaching, primary mathematics, teacher views, student views, 4th grade

İLKÖĞRETİM 4. SINIF MATEMATİK DERSİ ÇARPMA ÖĞRETİMİNE İLİŞKİN ÖĞRETMEN VE ÖĞRENCİ GÖRÜŞLERİNİN İNCELENMESİ

ÖZET

Bu çalışmanın amacı, ilköğretim 4. sınıf matematik dersi çarpma öğretimine ilişkin öğretmen ve öğrenci görüşlerini incelemektir. Çarpma işlemi, ilköğretim matematik programında dört işlem içerisinde kavramsal temeli güçlü olan ve ileri matematik öğrenmelerinin temelini oluşturan bir beceri alanıdır. Ancak literatürde, öğrencilerin çarpma işlemini ezbere dayalı olarak öğrendikleri, kavramsal anlamada güçlük yaşadıkları ve bu durumun problem çözme becerilerini olumsuz etkilediği belirtilmektedir. Bu bağlamda, öğretmen ve öğrenci görüşlerinin belirlenmesi, çarpma öğretiminde karşılaşılan sorunların anlaşılması açısından önem taşımaktadır. Araştırma, nitel araştırma yöntemlerinden durum çalışması deseniyle yürütülmüştür. Çalışma grubunu, ilköğretim 4. sınıf matematik dersini yürüten öğretmenler ile bu sınıf düzeyinde öğrenim gören öğrenciler oluşturmaktadır. Veriler, yarı yapılandırılmış görüşme formları aracılığıyla toplanmış ve betimsel analiz yöntemiyle çözümlenmiştir. Öğretmen görüşleri; ders süresi, öğrenci hazırbulunuşluk düzeyi, kullanılan öğretim yöntemleri ve materyaller başlıkları altında ele alınmıştır. Öğrenci görüşleri ise çarpma öğrenmeye yönelik tutum, yaşanan güçlükler ve öğrenmeyi kolaylaştıran etmenler çerçevesinde incelenmiştir.

Araştırma bulguları, öğretmenlerin çarpma öğretiminde somut materyal ve günlük yaşamla ilişkilendirme ihtiyacını vurguladıklarını, ancak zaman yetersizliği ve sınıf içi bireysel farklılıklar nedeniyle bu uygulamaları sınırlı düzeyde gerçekleştirebildiklerini göstermektedir. Öğrenciler ise çarpma işlemi için daha çok işlem odaklı öğrendiklerini, görsel ve oyun temelli etkinliklerin öğrenmelerini kolaylaştırdığını ifade etmişlerdir. Sonuç olarak, çarpma öğretiminde öğretmen ve öğrenci görüşlerinin dikkate alındığı, öğrenci merkezli ve kavramsal anlayışı destekleyen öğretim yaklaşımlarının geliştirilmesi gerektiği sonucuna ulaşılmıştır.

Anahtar Kelimeler: Çarpma öğretimi, ilköğretim matematik, öğretmen görüşleri, öğrenci görüşleri, 4. Sınıf.

AN EXAMINATION OF TEACHERS' VIEWS ON THE USE OF ARTIFICIAL INTELLIGENCE IN MULTIGRADE CLASSROOMS

Mahmut ÖĞ

Milli Eğitim Bakanlığı, Sınıf Öğretmeni
MoNE, Primary School Teacher
ORCID ID: 0009-0005-8173-507X

ABSTRACT

This study aims to examine teachers' views on the use of artificial intelligence (AI) in multigrade classrooms. Multigrade classrooms are common in rural and disadvantaged areas, where teachers face challenges in managing multiple grade levels simultaneously. Recent advances in AI-based educational technologies offer new opportunities to address these challenges.

The study was conducted using a qualitative phenomenological design. Participants consisted of primary school teachers working in multigrade classrooms. Data were collected through semi-structured interviews and analyzed using content analysis. Findings indicate that teachers perceive AI-supported applications as beneficial for personalized learning, time management, and assessment processes. However, lack of infrastructure and insufficient training were identified as major limitations.

Keywords: Multigrade classrooms, artificial intelligence, teacher views, rural education, primary education

BİRLEŞTİRİLMİŞ SINIFLARDA YAPAY ZEKÂ KULLANIMINA İLİŞKİN ÖĞRETMEN GÖRÜŞLERİNİN İNCELENMESİ

ÖZET

Birleştirilmiş sınıflar, özellikle kırsal ve dezavantajlı bölgelerde eğitim hizmetlerinin sürdürülebilirliği açısından önemli bir öğretim ortamıdır. Ancak bu sınıflarda öğretmenlerin aynı anda birden fazla sınıf düzeyiyle ilgilenmek zorunda kalmaları, öğretim sürecinde çeşitli güçlükleri beraberinde getirmektedir. Son yıllarda eğitimde yapay zekâ uygulamalarının yaygınlaşması, birleştirilmiş sınıflarda karşılaşılan bu güçlüklerin azaltılmasına yönelik yeni olanaklar sunmaktadır. Bu çalışmanın amacı, birleştirilmiş sınıflarda yapay zekâ kullanımına ilişkin öğretmen görüşlerini incelemektir.

Araştırma, nitel araştırma yöntemlerinden fenomenoloji deseniyle yürütülmüştür. Çalışma grubunu birleştirilmiş sınıflarda görev yapan sınıf öğretmenleri oluşturmaktadır. Veriler, yapay zekâ destekli eğitim uygulamalarının kullanımına, algılanan yararlar ve karşılaşılan sınırlılıklara odaklanan yarı yapılandırılmış görüşme soruları aracılığıyla toplanmıştır. Elde edilen veriler içerik analizi yöntemiyle çözümlenmiştir.

Araştırma sonuçları, öğretmenlerin yapay zekâ destekli uygulamaları bireyselleştirilmiş öğrenme, zaman yönetimi ve ölçme-değerlendirme süreçlerinde destekleyici bir araç olarak gördüklerini ortaya koymaktadır. Özellikle öğrenme analitikleri ve otomatik geri bildirim sağlayan yapay zekâ sistemlerinin, öğretmenin rehberlik rolünü güçlendirdiği belirlenmiştir. Bununla birlikte, altyapı yetersizliği, teknolojik donanım eksikliği ve hizmet içi eğitim ihtiyacı, yapay zekâ kullanımını sınırlandıran temel faktörler olarak ifade edilmiştir. Sonuç olarak, birleştirilmiş sınıflarda yapay zekâ uygulamalarının etkili kullanımının, öğretmen eğitimi ve kurumsal destekle doğrudan ilişkili olduğu sonucuna ulaşılmıştır.

Anahtar Kelimeler: Birleştirilmiş sınıflar, yapay zekâ, öğretmen görüşleri, kırsal eğitim, ilköğretim

RANGELAND MANAGEMENT TERMINOLOGY

Derya GÜLOĞLU

Dr. Öğr. Üyesi ,Isparta Uygulamalı Bilimler Üniversitesi, Atabey Meslek Yüksekokulu,
Bitkisel ve Hayvansal Üretim Bölümü, Isparta
Asst. Prof.Dr., Isparta University of Applied Sciences, Atabey Vocational School, Department
of Plant and Animal Production
ORCID ID: 0000-0002-1839-8710

ABSTRACT

Rangeland management is a multidisciplinary field that aims to ensure the sustainable use, conservation, and productivity of natural and semi-natural rangeland ecosystems. The success of this process largely depends on the accurate, clear, and standardized definition of the fundamental concepts and terms used in the field. However, both national and international literature reveal that key terms such as rangeland, grazing, botanical composition, stocking rate, grazing capacity, and carrying capacity are sometimes used with different meanings. This inconsistency may lead to conceptual confusion in scientific communication, difficulties in comparing research findings, and incorrect planning and management decisions in practical applications. Therefore, the systematic evaluation and standardization of rangeland management terminology are of great importance. In this study, the fundamental concepts and terms commonly used in rangeland management were examined through a comprehensive literature review and presented within a systematic framework. The terminology was classified under eight main categories: rangeland and management concepts, ecological and plant–soil related terms, vegetation and species structure, forage terminology, grazing systems, grazing timing and intensity, animal load and capacity-related terms, and concepts related to rangeland condition and improvement. Each concept was explained with its Turkish definition and corresponding English equivalent in order to ensure conceptual consistency between national and international literature. In addition to theoretical definitions, the practical implications and management-related applications of these concepts were also discussed. In conclusion, the correct and standardized use of rangeland management terminology enhances the comparability of scientific studies, improves the accuracy of grazing planning, and contributes significantly to sustainable rangeland management. A standardized terminology also facilitates the development of a common language among researchers, practitioners, and policy makers. This study serves as a fundamental conceptual reference for education, research, and practical applications in the field of rangeland management, and provides a theoretical basis for future scientific studies.

Keywords: Rangeland management, terminology, grazing management, carrying capacity, botanical composition, sustainable rangelands, rangeland improvement

MERA AMENAJMANI TERMİNOLOJİSİ

ÖZET

Mera amenajmanı, doğal ve yarı doğal mera alanlarının sürdürülebilir biçimde kullanılması, korunması ve üretkenliğinin artırılmasını amaçlayan çok disiplinli bir bilim dalıdır. Bu sürecin başarıyla yürütülebilmesi, mera ekosistemine ait temel kavram ve terimlerin doğru, açık ve standart biçimde tanımlanmasına bağlıdır. Ancak hem ulusal hem de uluslararası literatürde, mera, otlatma, botanik kompozisyon, hayvan yükü, otlatma kapasitesi ve taşıma kapasitesi gibi temel kavramların zaman zaman farklı anlamlarda kullanıldığı görülmektedir. Bu durum, bilimsel iletişimde kavramsal karışıklıklara, araştırma sonuçlarının karşılaştırılmasında zorluklara ve uygulamada hatalı planlama ve yönetim kararlarına yol açabilmektedir.

Bu nedenle mera amenajmanı terminolojisinin sistematik biçimde ele alınması ve standartlaştırılması büyük önem taşımaktadır. Bu çalışmada, mera amenajmanı alanında yaygın olarak kullanılan temel kavram ve terimler kapsamlı bir literatür taraması doğrultusunda incelenmiş ve sistematik bir çerçevede sunulmuştur. Terminoloji; mera ve amenajman kavramları, ekolojik ve bitki–toprak ilişkili terimler, vejetasyon ve tür yapısı ile ilgili kavramlar, ot ve yem terminolojisi, otlatma sistemleri, otlatma zamanı ve şiddeti, hayvan yükü ve kapasite ile ilgili terimler ile mera durumu ve ıslahına ilişkin kavramlar olmak üzere sekiz ana başlık altında sınıflandırılmıştır. Her bir kavram, Türkçe karşılığı ile birlikte İngilizce eşdeğeri verilerek açıklanmış; böylece ulusal ve uluslararası literatür arasında kavramsal uyumun sağlanması hedeflenmiştir. Ayrıca kavramların yalnızca teorik tanımları değil, mera yönetiminde pratik karşılıkları ve uygulama sonuçları da değerlendirilmiştir. Sonuç olarak, mera amenajmanı terminolojisinin doğru ve standart biçimde kullanılması, bilimsel çalışmaların karşılaştırılabilirliğini artırmakta, otlatma planlamasının doğruluğunu güçlendirmekte ve sürdürülebilir mera yönetimine önemli katkılar sağlamaktadır. Standart terminoloji hem araştırmacılar hem uygulayıcılar hem de politika yapımcılar arasında ortak bir dil oluşturulmasına yardımcı olmaktadır. Bu çalışma, mera amenajmanı alanında eğitim, araştırma ve uygulama faaliyetleri için temel bir kavramsal başvuru kaynağı niteliği taşımakta ve ileride yapılacak bilimsel çalışmalara kuramsal bir altyapı sunmaktadır.

Anahtar Kelimeler: Mera amenajmanı, terminoloji, otlatma yönetimi, taşıma kapasitesi, botanik kompozisyon, sürdürülebilir mera, mera ıslahı

GİRİŞ

Mera amenajmanı, doğal meraların sürdürülebilir biçimde kullanılması, korunması ve ıslah edilmesini amaçlayan bir bilim dalıdır. Meralar; hayvansal üretimin temel girdisi olan kaba yem ihtiyacını karşılamanın yanında, biyolojik çeşitliliğin korunması, toprak ve su kaynaklarının sürdürülebilirliği açısından stratejik bir öneme sahiptir.

Mera amenajmanı çalışmalarının etkinliği, kullanılan kavram ve terimlerin açık, doğru ve standart biçimde tanımlanması ile doğrudan ilişkilidir. Literatürde mera, otlatma, bitki örtüsü, hayvan yükü ve kapasite gibi temel kavramların farklı çalışmalarda farklı anlamlarda kullanılması; bilimsel iletişimi zorlaştırmakta, uygulamada ise yanlış planlama ve değerlendirmelere yol açabilmektedir. Bu nedenle mera amenajmanı terminolojisinin sistematik bir bütünlük içerisinde ele alınması hem akademik çalışmalar hem de saha uygulamaları açısından büyük önem taşımaktadır (Briske, 2017; Russias et al., 2025).

Bu çalışmanın amacı, mera amenajmanı alanında yaygın olarak kullanılan kavramları sınıflandırarak açıklamak; öğrenciler, araştırmacılar ve uygulayıcılar için ortak bir kavramsal çerçeve oluşturmaktır. Bölümde yer alan terimler, tanımlar ve kavramlar güncel bilimsel literatür ve uluslararası yaklaşımlar dikkate alınarak hazırlanmış; kavramların yalnızca teorik anlamları değil, mera yönetimi ve otlatma planlamasındaki pratik karşılıkları da vurgulanmıştır. Terminoloji, Türkçe olarak ve parantez içerisinde İngilizce karşılıkları ile birlikte verilmiştir. Böylece kullanıcının Türkçe ve İngilizce yayınları okuyup anlamasına büyük katkı sağlanmış olacaktır.

MERA, AMENAJMAN VE TEMEL KAVRAMLAR

Mera (Rangeland / Pasture)

Mera; üzerinde kısa boylu, otsu veya çalimsı bitki türlerinden oluşan bitki örtüsü ile kaplı, hayvanların doğrudan otlayarak yararlandığı doğal yem/otlatma alanlarıdır. Uluslararası literatürde rangeland terimi daha çok doğal ekosistemleri, pasture ise yönetilen ve otlatılan alanları ifade etmektedir. Meralar, iklim, toprak ve topoğrafik koşullara bağlı olarak farklı bitki toplulukları barındırır.

Orman İçi Mera (Forest Rangeland / Forest Grazing Land)

Orman içi meralar, orman ekosistemi içerisinde yer alan açıklıklarda veya ağaç–mera etkileşiminin belirgin olduğu alanlardaki otsu türlerin oluşturduğu mera alanlarıdır.

Nadas Merası (Fallow Rangeland):

Nadasa bırakılan tarlalarda doğal olarak yetişen otlardan oluşan geçici meralardır.

Mera Amenajmanı (Rangeland Management)

Mera amenajmanı; mera kaynaklarının verimliliğini artırırken ekolojik dengenin korunmasını hedefleyen planlama, uygulama, izleme ve değerlendirme süreçlerinin tamamıdır.

Otlatma Amenajmanı (Grazing Management)

Otlatma amenajmanı; otlatma mevsimi, otlatma periyodu, hayvan yükü ve otlatma kapasitesinin bilimsel ve teknik esaslara göre düzenlenmesini ifade eder.

Sürdürülebilir Mera Yönetimi (Sustainable Rangeland Management)

Mera bitki örtüsünün, toprağın ve hayvansal üretimin uzun vadede zarar görmeden birlikte devam ettirilmesi esasına dayalı yönetim yaklaşımıdır.

Biyçeşitlilik (Biodiversity)

Bir merada bulunan tür sayısı ve türlerin dengeli dağılımıdır.

EKOLOJİ VE BİTKİ-TOPRAK İLİŞKİLİ KAVRAMLAR

Yem Bitkisi /Yem (Forage)

Hayvanların tükettiği veya biçilerek değerlendirilen tüm bitki materyalleridir.

Vejetasyon Örtüsü (Vegetation Cover)

Mera alanını kaplayan canlı bitki örtüsünün yüzdesidir. Toprak erozyonunu ve su kaybını doğrudan etkiler.

Toprak Erozyonu (Soil Erosion)

Rüzgâr ve yağış (su) gibi etkenlerle toprak parçacıklarının taşınarak kaybı veya bozulmasıdır. Mera yönetiminde önemli bir kriterdir.

Toprak Sıkışması (Soil Compaction)

Merada aşırı hayvan trafiği sonucu toprağın hava ve su geçirgenliğinin azalması durumunu ifade eder.

VEJETASYON, TÜR YAPISI VE KLİMAKS KAVRAMLARI

Botanik Kompozisyon (Botanical Composition)

Botanik kompozisyon, merada mevcut bitki türlerinin ve bitki familyalarının nispi dağılımını ifade eder. Mera durumunun ve otlatma baskısının değerlendirilmesinde temel göstergelerden biridir.

Azalıcı Bitkiler (Decreasers)

Uygun otlatma koşullarında merada baskın olan; fakat aşırı otlatma sonucunda hızla azalan, genellikle yem değeri yüksek, hayvanların severek yedikleri türlerdir. Bu bitki türlerinde görülen azalma, mera bozulmasının erken bir göstergesi olarak kabul edilmektedir.

Çoğalıcı Bitkiler (Increasers)

Otlatmaya orta düzeyde dayanıklı ve azalıcı türlerin gerilemesiyle nispi olarak artan bitkilerdir. Bunlar çoğu zaman ortalama yem değerine sahiptir ve meranın otlatma geçmişi hakkında önemli bilgiler sunar.

İstilacı / İstenmeyen Bitkiler (Invaders)

Uzun süreli aşırı otlatma ve yanlış amenajman sonucu merada çoğalan, genellikle düşük yem değerine veya zehirli etkiye sahip bitkilerdir.

Tür Kompozisyonu (Species Composition)

Tür kompozisyonu, bir merada bulunan bitki türlerinin göreceli oranlarını ifade eder.

Hâkim Tür (Dominant Species)

Tür kompozisyonu içerisinde hâkim tür, merada kapladığı alan ve biyokütle açısından baskın olan türdür ve mera ekosisteminin işleyişinde belirleyici rol oynar.

Klimaks Bitki Topluluğu (Climax Plant Community)

Çevresel koşullar altında meranın insan müdahalesi olmaksızın ulaşabileceği en dengeli ve kararlı bitki örtüsü durumudur.

Anız (Residue):

Mera veya tarla alanlarındaki bitkilerin belli seviyelerden biçildikten veya otlatıldıktan sonra toprak yüzeyinde kalan kısımlarının ifadesidir.

OT, YEM VE VERİMLE İLGİLİ TERİMLER

Ot (Forage / Herbage)

Ot, bir merada doğal olarak yetişen veya yetiştirilen, biçilerek veya otlatılarak hayvanlara yedirilen tüm otsu bitkileri ifade eder.

Yeşil Ot (Green Forage / Fresh Herbage)

Yeşil ot ise bitkinin büyüme döneminde, yüksek su içeriğine sahip ve sindirilebilirliği yüksek otsu bitki formudur.

Kaba Yem (Roughage)

Kaba yem, lif oranı yüksek fakat besin değeri düşük olan ve ruminant beslenmesinde temel rol oynayan yem grubudur.

Yarayışlı Yem (Utilizable Forage)

Merada üretilen otun hayvanlar tarafından gerçekten tüketilebilen ve sindirilebilen kısmını ifade eder.

Faydalı Yem Miktarı (Available Forage)

Otlatmanın otlatma amenajmanı ilkelerine göre yapıldığı mera alanlarındaki yemin, mera alanında o mevsimde üretilen toplam yeme yüzde olarak oranıdır.

Ot Verimi (Forage Yield / Herbage Yield)

Birim alandan elde edilen kuru veya yaş ot miktarıdır ve mera üretkenliğinin temel göstergesidir.

Kalan Artık (Residual Biomass)

Otlatma sonrası bitkinin yeniden gelişmesi ve canlanması için bırakılan ot miktarıdır.

OTLATMA TERMINOLOJİSİ

Otlatma (Grazing)

Otlatma, hayvanların meradaki bitkileri tüketmesi sürecidir ve mera amenajmanının merkezinde yer alır.

Devamlı Otlatma (Continuous Grazing)

Devamlı otlatma, hayvanların otlatma sezonu boyunca aynı mera alanında tutulduğu, yönetimi kolay olan ancak otlatma baskısının homojen dağılamadığı otlatma şeklidir.

Münavebeli Otlatma (Rotational Grazing)

Münavebeli otlatma, meranın parçalara ayrılarak hayvanların bu parsellerde belirli sürelerle ve dönüşümlü olarak otlatılmasıdır.

Aşırı Otlatma (Overgrazing)

Bir merada bitkilerin yenilenme kapasitesini aşacak düzeyde yapılan otlatmadır.

Kısa Süreli Otlatma (Short-duration Grazing)

Otlatma baskısını zamansal olarak sınırlamak amacıyla, hayvanların bir mera parselinde kısa süre tutulup hızlı biçimde başka bir parselde alınması şeklinde yürütülen otlatmadır.

Karışık Otlatma (Mixed Grazing)

Karışık otlatma, bitkilerin daha dengeli tüketilmesini sağlamak amacıyla farklı hayvan türlerinin (sığır–koyun gibi) aynı merada birlikte veya ardışık olarak otlatılmasıdır.

Ertelenmiş Otlatma (Deferred Grazing)

Meradaki bitkilerin büyüme ve gelişmesi için otlatmanın bir süreliğinde geciktirilmesini ifade eder.

Yem Tipine Uygun Hayvanla Otlatma (Grazing With Livestock Species Adapted to Forage Type)

Bu kavram, meradaki bitki türü ve yem yapısına uygun hayvan türünün seçilmesini ifade eder.

Otlatma Parseli (Paddock)

Etrafı dikenli tel veya farklı bariyerler ile çevrelenmiş ve hayvanların otlatılmasının planlanarak yapıldığı küçük otlatma alanlarıdır.

Otlatma Şiddeti (Grazing Intensity)

Meradaki bitkilerin ne kadarının tüketildiğinin ifadesidir.

OTLATMA ZAMANI VE ŞİDDETİ İLE İLGİLİ KAVRAMLAR

Otlatma Mevsimi (Grazing Season)

Otlatmanın başlatıldığı ve sonlandırıldığı dönemi ifade eder.

Otlatma Periyodu (Grazing Period)

Hayvanların bir mera parselinde kaldığı süreyi belirtir.

Erken Otlatma (Early Grazing)

Erken otlatma, bitkiler yeterli gelişme göstermeden otlatmaya başlanmasıdır.

Mera Tahribi (Rangeland Degradation)

Meranın, sürekli aşırı otlatılması sonucu toprak ve su koruma, yem üretimi gibi asli görevlerini yerine getiremeyecek derecede tahrip edilmesidir.

HAYVAN YÜKÜ, HAYVAN BİRİMİ VE KAPASİTE İLE İLGİLİ TERİMLER

Hayvan Yüğü (Stocking Rate)

Belirli bir mera alanına, belirli bir süre için düşen hayvan sayısını ifade eder.

Hayvanın Günlük Yem İhtiyacı (Daily Dry Matter Requirement-DMI)

Hayvanın bir günlük ihtiyaç duyduğu yem miktarıdır.

Hayvan Birimi (HB) (Animal Unit)

Hayvan birimi, farklı hayvan türlerinin yem tüketimlerinin karşılaştırılabilmesi için kullanılan standart ölçüdür (genellikle 450–500 kg canlı ağırlığa sahip sığır = 1 HB).

Otlatma Kapasitesi (Grazing Capacity)

Belirli bir dönemde meranın otatabileceği hayvan miktarını ifade eder.

Taşıma Kapasitesi (Carrying Capacity)

Bir meranın uzun vadede bozulmadan besleyebileceği hayvan sayısıdır.

MERA DURUMU, ISLAH VE YÖNETİM İLE İLGİLİ KAVRAMLAR

Mera Durumu (Range Condition)

Meranın mevcut bitki örtüsü, tür kompozisyonu ve üretim kapasitesinin klimaks duruma göre değerlendirilmesidir.

Mera Eğilimi (Range Trend)

Meranın zaman içerisindeki iyileşme veya bozulma yönünü gösterir ve amenajman uygulamalarının başarısını değerlendirmede kullanılır.

Mera Islahı (Rangeland Improvement)

Mera ıslahı, bozulmuş meraların doğal veya yapay yöntemlerle ve amenajman ilkelerine uygun olarak yeniden üretken hâle getirilmesini ifade eder.

SONUÇ

Mera amenajmanı, ekolojik sürdürülebilirlik ile hayvansal üretim hedeflerini birlikte ele alan, disiplinler arası bir yönetim yaklaşımıdır. Bu yaklaşımın bilimsel ve uygulamaya dönük başarısı, kullanılan kavram ve terimlerin açık, doğru ve ortak bir anlayış çerçevesinde tanımlanmasına bağlıdır. Bu çalışmada mera, otlatma, vejetasyon, hayvan yükü, otlatma kapasitesi ve mera durumu gibi mera amenajmanının temelini oluşturan kavramlar sistematik bir bütünlük içerisinde ele alınmış; terminolojinin hem teorik hem de pratik karşılıkları ayrıntılı biçimde açıklanmıştır.

Literatürde mera ve otlatma terminolojisine ilişkin kavramların farklı disiplinler ve coğrafyalar arasında değişken biçimlerde kullanılması, bilimsel iletişimde kavramsal belirsizliklere ve uygulamada yönetim hatalarına yol açabilmektedir.

Bu bağlamda hazırlanan terminoloji çerçevesi, uluslararası literatürle uyumlu İngilizce karşılıklarıyla birlikte sunulmaktadır, Türkçe kaynaklardaki kavram birliğinin güçlendirilmesine katkı sağlamaktadır. Böylece öğrenciler, araştırmacılar ve uygulayıcılar için ortak bir dil oluşturulması hedeflenmiştir.

Çalışmada ele alınan otlama sistemleri, hayvan yükü ve taşıma kapasitesi gibi kavramların doğru tanımlanması; aşırı otlama, mera tahribi ve toprak bozulması gibi sorunların önlenmesi açısından kritik öneme sahiptir. Ayrıca botanik kompozisyon, azalıcı-çoğaltıcı-istilacı türler ve klimaks kavramlarının bütüncül biçimde değerlendirilmesi, mera durumunun izlenmesi ve ıslah stratejilerinin belirlenmesinde bilimsel bir temel sunmaktadır.

Sonuç olarak, bu bölümde sunulan mera amenajmanı terminolojisi; sürdürülebilir mera yönetimi, ekosistem hizmetlerinin korunması ve hayvansal üretimin devamlılığı açısından güçlü bir kavramsal altyapı oluşturmaktadır. Terminolojik standardizasyonun sağlanması, gelecekte yapılacak araştırmaların karşılaştırılabilirliğini artıracak; planlama, izleme ve politika geliştirme süreçlerinde daha etkin ve bilimsel kararların alınmasına katkı sunacaktır. Bu yönüyle çalışma, mera amenajmanı alanında eğitim, araştırma ve uygulamaya yönelik temel bir başvuru kaynağı niteliği taşımaktadır.

KAYNAKLAR

Akman, Y., & Ketenoğlu, O. (1992). *Vejetasyon ekolojisi ve araştırma metotları*. Ankara: Ankara Üniversitesi Döner Sermaye İşletmesi Yayınları No: 9.

Aktaş, H., & Severoğlu, S. (2025). Mera ekosistemlerinde biyoçeşitliliğin durumu, azalma nedenleri ve koruma stratejileri. *Black Sea Journal of Engineering and Science*, 8(6), 2022–2034.

Allen, V. G., Batello, C., Berretta, E. J., Hodgson, J., Kothmann, M., Li, X., ... & Sanderson, M. (2011). An international terminology for grazing lands and grazing animals. *Grass and Forage Science*, 66(1), 2–28. <https://doi.org/10.1111/j.1365-2494.2010.00780.x>

Bakır, Ö. (1987). *Çayır-mera amenajmanı*. Ankara: AÜ Ziraat Fakültesi Yay.

Briske, D. D. (2017). *Rangeland systems: Processes, management and challenges*. Cham: Springer Nature.

Çepel, N. (1996). *Çevre koruma ve ekoloji terimleri sözlüğü*. İstanbul: Tema Yayınları No: 6.

Ehlert, K. A., Brennan, J., Beard, J., Reuter, R., Menendez, H., Vandermark, L., ... & Noelle, S. (2024). What's in a name? Standardizing terminology for the enhancement of research, extension, and industry applications of virtual fence use on grazing livestock. *Rangeland Ecology & Management*, 94, 199–206. <https://doi.org/10.1016/j.rama.2024.03.004>

Güllap, M. K., & Uzun, F. (2024). Changes in Botanical Composition of Rangeland Sites Grazed at Different Intensities. *Turkish Journal of Range and Forage Science*, 5(1), 28-35. <https://doi.org/10.51801/turkjrf.1440726>

Güllap, M. K., & Kazaz, M. (2024). Changes in Feed Quality in Rangeland Sites Grazing by Different Livestock Species. *Turkish Journal of Range and Forage Science*, 5(1), 46-55. <https://doi.org/10.51801/turkjrf.1444273>

Jablonski, K. E., Derner, J. D., Bailey, D. W., Davies, K. W., Meiman, P. J., Roche, L. M., ... & Stackhouse-Lawson, K. R. (2024). Principles for successful livestock grazing management on western US rangelands. *Rangelands*, 46(2), 35–41. <https://doi.org/10.1016/j.rala.2023.11.001>

Kubkomawa, H. I., & Usman, L. A. (2021). Management practices of pasture, range and grazing reserves for livestock production in the tropics: A review. *American Journal of Entomology*, 5(2), 18–26. <https://doi.org/10.11648/j.aje.20210502.11>

- McDonald, S. E., Simmons, A. T., Harden, S., Orgill, S. E., Guerschman, J., & Strong, C. (2024). Managing grazing to increase ground cover in rangelands: Using remote sensing to detect change. *The Rangeland Journal*, 46(4). <https://doi.org/10.1071/RJ24021>
- McFadden, L. J., Menendez, H. M., Ehlert, K. A., Brennan, J. R., Parsons, I. L., & Olson, K. (2025). Integrating multiple precision livestock technologies to advance rangeland grazing management. *Frontiers in Veterinary Science*, 12, 1625448. <https://doi.org/10.3389/fvets.2025.1625448>
- Milazzo, F., Francksen, R. M., Abdalla, M., Enri, S. R., Zavattaro, L., Pittarello, M., & Smith, P. (2023). An overview of permanent grassland grazing management practices and the impacts on principal soil quality indicators. *Agronomy*, 13(5), 1366. <https://doi.org/10.3390/agronomy13051366>
- Nelson, C. J., Moore, K. J., Collins, M., & Redfearn, D. D. (2020). Perspectives, Terminology, and Classification. *Forages: The science of grassland agriculture*, 2, 3-21. <https://doi.org/10.1002/9781119436669.ch1>
- O'Grady, A. P., Mendham, D. S., Mokany, K., Smith, G. S., Stewart, S. B., & Harrison, M. T. (2024). Grazing systems and natural capital: Influence of grazing management on natural capital in extensive livestock production systems. *Science of the Total Environment*. <https://doi.org/10.1016/j.nbsj.2024.100181>
- Okatan, A. (1985). Çayır-mera vejetasyonunun kalitatif ve kantitatif karakterleri ve bu karakterlerin ölçme yöntemlerine bağlı olarak değerlendirilmesi. Trabzon: KTÜ Orman Fakültesi Yayınları No: 101.
- Reeves, M. C., Swisher, J., Krebs, M., Warnke, K., Hanberry, B. B., Hudson, T., & Hall, S. A. (2025). Data-driven decision support to guide sustainable grazing management. *Land*, 14(1), 140. <https://doi.org/10.3390/land14010140>
- Rouquette, F. M., Jr., Sollenberger, L. E., & Vendramini, J. M. B. (2023). Grazing management and stocking strategy decisions for pasture-based beef systems: Experimental confirmation vs. testimonials and perceptions. *Translational Animal Science*, 7(1), txad069. <https://doi.org/10.1093/tas/txad069>
- Russias, R., Delagarde, R., Klumpp, K., & Michaud, A. (2025). Clarifying grazing management methods: A data-driven review. *Sustainability*, 17(11), 5200. <https://doi.org/10.3390/su17115200>
- Smith, S. W., Bartzke, G. S., Baumgartner, S. A., Ploechl, J. F., Michler, L. M., & Treydte, A. C. (2024). Dry season grazing reserves show highest grass regrowth in communal semi-arid rangelands of Tanzania. *PLoS ONE*, 19(11), e03138159. <https://doi.org/10.1371/journal.pone.03138159>
- Uluocak, N. (1975). Mera ve mera amenajmanı ile ilgili kavramlar ve bazı önemli terimler. *Journal of the Faculty of Forestry Istanbul University*, 25(1), 147–168.
- Vallentine, J. F. (2000). *Grazing management*. San Diego, CA: Academic Press.
- Wang, T., & Kreuter, U. (2025). Revisiting the rotational grazing dilemma: The role of terminology in system comparison outcomes. *Rangeland Ecology & Management*, 98(1), 246–255. <https://doi.org/10.1016/j.rama.2024.06.015>

THE KOREAN LUNAR NEW YEAR SOLLAL (설날): RITUAL PERFORMANCE, CULTURAL TRANSMISSION, AND TRADITIONAL CONTINUITY IN MODERN KOREAN SOCIETY

Nihan KARAKUŞ HARMANCI

Dr., Erciyes Üniversitesi, Edebiyat Fakültesi

Dr., Erciyes University, Faculty of Letters

ORCID ID: 0000-0003-2578-1504

ABSTRACT

The Korean Lunar New Year, Sollal (설날), functions not merely as a calendrical transition but as a dynamic ritual system that enables intergenerational cultural transmission, reproduces family-centered social order, and sustains collective memory within Korean society. Although the Gregorian calendar is officially used in South Korea, the continued observance of the New Year according to the lunar calendar highlights the central position of Sollal within Korean cultural memory. This indicates that the tradition operates not as a static heritage, but as a practice continuously reproduced within contemporary social relations.

This article examines Sollal through the conceptual framework of ritual performance, performative repetition, and cultural continuity, with a particular focus on the role of ritual in reproducing social order. Adopting a qualitative research approach, the study is based on historical document analysis and literature review. Archival materials from The Academy of Korean Studies (한국학중앙연구원) and National Folk Museum of Korea (국립민속박물관) are analyzed within a folkloristic interpretive perspective. The analysis focuses on key ritual elements such as charye (차례), sebae (세배), traditional games, symbolic foods, and New Year beliefs.

The findings demonstrate that the annual performative enactment of Sollal rituals reproduces family hierarchy, reinforces social role distribution, and reflects the cultural manifestations of Confucian ethical order. Ritual practices such as charye and sebae function not merely as ceremonial acts but as performative spaces in which social order is symbolically constructed. In addition, traditional games and ritual foods operate as material and social mechanisms through which cultural knowledge is transmitted across generations.

Despite processes of modernization, urbanization, and globalization, Sollal has not disappeared; rather, it has undergone formal transformations while maintaining its functional continuity. This suggests that tradition should be understood not as a static legacy but as a dynamic cultural mechanism continuously reproduced within shifting social contexts.

This study argues that Sollal rituals should be interpreted not only as cultural heritage but also as performative practices that actively reconstruct social relations and collective identity. In this respect, the article offers an analytical contribution to discussions on ritual theory and cultural continuity.

Keywords: Seollal (설날), Korean lunar new year, ritual performance, cultural transmission, folk culture, social continuity

KORE AY YENİ YILI SOLLAL (설날): RİTÜEL PERFORMANS, KÜLTÜREL AKTARIM VE MODERN KORE TOPLUMUNDA GELENEKSEL SÜREKLİLİK

ÖZET

Ay takvimine göre kutlanan Kore Yeni Yılı Sollal (설날), Kore toplumunda yalnızca takvimsel bir yıl başlangıcını değil; kuşaklararası kültürel aktarımı, aile merkezli toplumsal düzenin yeniden üretimini ve kolektif belleğin sürekliliğini sağlayan dinamik bir ritüel sistemi olarak işlev görmektedir. Her ne kadar Kore’de resmi olarak miladi takvim kullanılmakta olsa da, yeni yıl kutlamalarının kültürel açıdan ay takvimine göre sürdürülmesi, Sollal’ın Kore kültürel hafızası içindeki merkezi konumunu açık biçimde ortaya koymaktadır. Bu durum, geleneğin tarihsel bir miras olmanın ötesinde, güncel toplumsal ilişkiler içinde sürekli yeniden üretilen bir pratik olduğunu göstermektedir.

Bu makale, Sollal geleneğini ritüel performansı, performatif tekrar ve kültürel süreklilik kavramları üzerinden ele alarak, ritüelin toplumsal düzenin yeniden üretimindeki işlevini analiz etmektedir. Nitel araştırma yaklaşımı çerçevesinde yürütülen çalışmada, tarihsel doküman analizi ve literatür taraması yoluyla elde edilen veriler yorumlanmıştır. Bu kapsamda Kore Çalışmaları Akademisi (한국학중앙연구원) ve Kore Ulusal Halk Müzesi (국립민속박물관) gibi kurumsal arşiv kaynaklarından yararlanılmıştır. Analiz, özellikle çare (차례), sebe (세배), geleneksel oyunlar, sembolik yiyecekler ve yeni yıl inançları gibi ritüel unsurlar üzerine odaklanmaktadır.

Bulgular, Sollal ritüellerinin her yıl yinelenen performatif icra süreci içinde aile hiyerarşisini, toplumsal rol dağılımını ve Konfüçyüsçü etik düzenin kültürel yansımalarını yeniden ürettiğini göstermektedir. Çare ve sebe gibi ritüellerin yalnızca törensel uygulamalar değil, toplumsal düzenin sembolik olarak kurulduğu performatif alanlar olduğu tespit edilmiştir. Ayrıca geleneksel oyunlar ve ritüel sofrada yer alan sembolik yiyeceklerin, kültürel bilginin kuşaklararası aktarımını sağlayan maddi ve sosyal araçlar olarak işlev gördüğü belirlenmiştir. Modernleşme, kentleşme ve küreselleşme süreçlerine rağmen Sollal geleneğinin ortadan kalkmadığı; aksine biçimsel dönüşümler geçirerek işlevsel sürekliliğini koruduğu görülmektedir. Bu durum, geleneğin durağan bir yapıdan ziyade, toplumsal bağlam içinde sürekli yeniden üretilen dinamik bir kültürel mekanizma olduğunu ortaya koymaktadır.

Bu çalışma, Sollal ritüellerinin yalnızca kültürel bir miras olarak değil, toplumsal ilişkileri ve kolektif kimliği performatif biçimde yeniden kuran bir pratik olarak anlaşılması gerektiğini ileri sürmektedir. Bu yönüyle çalışma, ritüel kuramı ve kültürel süreklilik tartışmalarına analitik bir katkı sunmaktadır.

Anahtar Kelimeler: Sollal (설날), Kore ay yeni yılı, ritüel performans, kültürel aktarım, halk kültürü, toplumsal süreklilik

GİRİŞ

Yeni yıl ritüelleri, birçok kültürde yalnızca takvimsel bir geçişi değil, aynı zamanda toplumsal düzenin, kültürel değerlerin ve kolektif kimliğin yeniden üretildiği kritik zaman dilimlerini temsil etmektedir. Antropolojik ve halkbilimsel yaklaşımlar, bu tür ritüelleri toplumların geçmiş ile gelecek arasında süreklilik kurmasını sağlayan performatif süreçler olarak ele almaktadır. Bu bağlamda ritüeller, yalnızca sembolik uygulamalar değil; toplumsal ilişkilerin düzenlendiği, kültürel normların yeniden üretildiği ve kolektif belleğin güncellendiği dinamik pratiklerdir (Bell, 1997; Turner, 1969). Doğu Asya kültürlerinde yeni yıl kutlamaları, ay takvimine dayalı ritüel sistemler etrafında şekillenmektedir.

Çin’de *Chunjie* (春節), Vietnam’da *Tét* ve Kore’de *Sollal* (설날) olarak adlandırılan bu kutlamalar, aile merkezli ritüeller, atalara saygı pratikleri ve sembolik kültürel uygulamalarla karakterize edilmektedir. Bu ritüeller, yalnızca yeni bir yılın başlangıcını değil, aynı zamanda toplumsal düzenin performatif biçimde yeniden kurulmasını temsil etmektedir (Kim, 2013).

Kore kültüründe *Sollal*, en önemli geleneksel bayramlardan biri olarak öne çıkmaktadır. Ay takvimine göre kutlanan bu bayram, aile bireylerinin bir araya geldiği, atalara saygı ritüellerinin icra edildiği ve toplumsal ilişkilerin yeniden düzenlendiği bir zaman dilimi sunmaktadır. Özellikle *çare* (차례) ve *sebe* (세배) gibi ritüeller, Kore toplumunda aile hiyerarşisini görünür kılan ve kuşaklar arası ilişkileri yapılandıran temel uygulamalar olarak işlev görmektedir (Janelli & Janelli, 1982; Seth, 2016).

Modernleşme, kentleşme ve küreselleşme süreçleri Güney Kore’de toplumsal yapıyı ve gündelik yaşam pratiklerini önemli ölçüde dönüştürmüştür. Bununla birlikte *Sollal* gibi ritüeller ortadan kalkmamış; aksine değişen toplumsal koşullar içinde yeni biçimler kazanarak varlığını sürdürmüştür. Bu durum, geleneğin durağan bir miras değil, sürekli yeniden üretilen bir kültürel pratik olduğunu göstermektedir (Pai, 2000; Kim, 2015).

Mevcut literatürde *Sollal* genellikle tarihsel gelişim, dini ritüeller veya aile yapısı bağlamında ele alınmıştır (Janelli & Janelli, 1982; Kendall, 1985; Kim, 2015). Ancak bu çalışmaların önemli bir bölümü, ritüellerin performatif boyutunu ve bu süreçlerin kültürel aktarım ile toplumsal süreklilik üzerindeki işlevlerini sınırlı biçimde ele almaktadır. Özellikle ritüel icranın toplumsal düzenin yeniden üretimindeki rolü literatürde yeterince derinleştirilmemiştir.

Bu makale, *Sollal* ritüellerini ritüel icra, performatif tekrar ve kültürel süreklilik çerçevesinde ele alarak, bu ritüellerin Kore toplumunda üstlendiği toplumsal ve kültürel işlevleri analiz etmektedir. Bu bağlamda çalışma, ritüel icra süreçlerinin kültürel bilginin kuşaklar arası aktarımını nasıl sağladığı ve modernleşme ile küreselleşme süreçlerinin *Sollal* geleneğini nasıl dönüştürdüğü sorularına odaklanmaktadır. Çalışma, *Sollal* ritüellerinin yalnızca geçmişten devralınan kültürel pratikler olmadığını; aksine toplumsal düzeni ve kolektif kimliği performatif biçimde yeniden üreten dinamik yapılar olarak işlev gördüğünü ileri sürmektedir.

LİTERATÜR İNCELEMESİ VE KURAMSAL ÇERÇEVE

Ritüellerin modern toplumlarda nasıl varlığını sürdürdüğü sorusu, antropoloji ve kültürel çalışmalar literatüründe uzun süredir tartışılan temel meselelerden biridir. Erken modernleşme teorilerinin ritüellerin zamanla ortadan kalkacağı yönündeki öngörülerine karşın, çağdaş çalışmalar ritüellerin yok olmadığını; aksine dönüşerek yeni toplumsal bağlamlar içinde varlığını sürdürdüğünü göstermektedir. Bu bağlamda ritüeller, durağan geleneksel kalıntılar olarak değil, toplumsal ilişkiler içinde yeniden üretilen dinamik pratikler olarak ele alınmaktadır.

Ritüel kuramı literatürü, ritüellerin toplumsal işlevlerini açıklamak üzere farklı yaklaşımlar geliştirmiştir. Arnold van Gennep’in geçiş ritüelleri kuramı, ritüelleri bireylerin ve toplumların dönüşüm süreçlerini düzenleyen sembolik yapılar olarak tanımlarken, Victor Turner bu süreci performatif bir boyuta taşıyarak ritüellerin toplumsal ilişkilerin yeniden yapılandırıldığı alanlar olduğunu ileri sürmektedir. Turner’a göre ritüeller, bireyler arasında ortak deneyim yaratarak toplumsal dayanışmayı güçlendiren kolektif süreçlerdir.

Bu yaklaşımlar, Catherine Bell’in ritüeli toplumsal güç ilişkileri ve kültürel düzenle bağlantılı stratejik bir pratik olarak ele alan yaklaşımıyla genişletilmiştir. Bell’e göre ritüeller, yalnızca kültürel değerleri yansıtan uygulamalar değil, aynı zamanda bu değerleri yeniden üreten ve meşrulaştıran pratiklerdir. Bu doğrultuda ritüel, toplumsal düzenin pasif bir yansıması değil, aktif bir üretim mekanizması olarak değerlendirilmektedir.

Kore kültürü bağlamında ritüeller, özellikle Konfüçyüsçü etik sistemle yakından ilişkilidir.

Joseon Hanedanlığı döneminde Konfüçyüsçülüğün devlet ideolojisi haline gelmesiyle birlikte aile ritüelleri, toplumsal yapıyı düzenleyen temel mekanizmalardan biri haline gelmiştir (Deuchler, 1992). Bu bağlamda ata ritüelleri ve aile törenleri, yalnızca dini uygulamalar değil, aynı zamanda aile hiyerarşisini ve toplumsal düzeni yeniden üreten sosyal pratikler olarak işlev görmektedir (Janelli & Janelli, 1982; Kendall, 1985).

Modern Kore toplumu üzerine yapılan çalışmalar ise bu ritüellerin modernleşme süreçleri içinde dönüşerek varlığını sürdürdüğünü göstermektedir. Kentleşme, endüstrileşme ve değişen aile yapıları ritüellerin icra biçimlerini dönüştürmüş olsa da, bu uygulamalar toplumsal ve kültürel işlevlerini korumaya devam etmektedir (Kim, 2015; Kim, 2013). Bu durum, ritüellerin yalnızca geçmişe ait pratikler olmadığını, aksine değişen toplumsal koşullar içinde yeniden şekillenen dinamik yapılar olduğunu ortaya koymaktadır.

Bununla birlikte mevcut literatür, Sollal ritüellerini çoğunlukla tarihsel gelişim, dini uygulamalar veya aile yapısı bağlamında ele almakta; ritüel icranın performatif boyutunu ve bu süreçlerin kültürel aktarım ile toplumsal süreklilik üzerindeki işlevlerini sınırlı biçimde incelemektedir. Özellikle ritüellerin toplumsal düzenin yeniden üretimindeki rolü, literatürde yeterince kavramsallaştırılmamıştır.

Bu makale, Sollal ritüellerini ritüel icra, performatif tekrar ve kültürel süreklilik kavramları çerçevesinde ele alarak, bu ritüellerin toplumsal düzeni nasıl yeniden ürettiğini ortaya koymaktadır. Bu bağlamda ritüeller, yalnızca geçmişten devralınan geleneksel uygulamalar olarak değil, Kore toplumunda kültürel kimliği ve toplumsal aidiyeti performatif biçimde yeniden kuran dinamik kültürel sistemler olarak değerlendirilmektedir.

SOLLAL GELENEĞİNİN TARİHSEL GELİŞİMİ

Kore’de ay takvimine dayalı yeni yıl kutlamalarının kökeni, erken tarihsel dönemlere kadar uzanmaktadır. Üç Krallık dönemi (MÖ 57 – MS 668) üzerine yapılan çalışmalar, bu dönemde gerçekleştirilen yeni yıl ritüellerinin tarımsal üretim döngüsü ve mevsimsel değişimlerle yakından ilişkili olduğunu göstermektedir (Seth, 2016). Tarım toplumlarında yılın başlangıcı, doğanın yeniden canlanmasını ve üretkenliğin artmasını simgelediğinden, bu ritüeller toplumsal refahın ve kolektif sürekliliğin sembolik ifadesi olarak işlev görmüştür. Bu durum, yeni yıl kutlamalarının erken dönemlerden itibaren yalnızca takvimsel bir başlangıç değil, toplumsal düzenin yeniden kurulmasına yönelik ritüel pratikler olduğunu ortaya koymaktadır. Sollal geleneğinin kurumsallaşması özellikle Joseon Hanedanlığı (1392–1910) döneminde belirginleşmiştir. Bu dönemde Konfüçyüsçülüğün devlet ideolojisi haline gelmesi, aile ritüellerinin ve atalara saygı pratiklerinin toplumsal yaşam içindeki konumunu güçlendirmiştir (Deuchler, 1992). Konfüçyüsçü etik sistem çerçevesinde aile, toplumsal düzenin temel birimi olarak kabul edilmiş; bu doğrultuda geliştirilen ritüel uygulamalar, aile hiyerarşisini ve kuşaklar arası ilişkileri düzenleyen mekanizmalar olarak işlev görmüştür (Janelli & Janelli, 1982). Bu bağlamda Sollal ritüelleri, yalnızca geleneksel uygulamalar değil, aynı zamanda Konfüçyüsçü sosyal düzenin performatif biçimde yeniden üretildiği kültürel alanlar olarak kurumsallaşmıştır. 20. yüzyılda Kore yarımadası, Japon sömürge yönetimi (1910–1945), Kore Savaşı (1950–1953) ve hızlı ekonomik kalkınma süreçleri gibi köklü dönüşümler yaşamıştır. Özellikle 1960’lardan itibaren hız kazanan sanayileşme ve kentleşme süreçleri, geleneksel yaşam biçimlerini önemli ölçüde dönüştürmüştür (Pai, 2000). Bu dönüşüm, birçok geleneksel pratiğin zayıflamasına yol açmış olsa da Sollal gibi ritüeller tamamen ortadan kalkmamış; aksine değişen toplumsal koşullara uyum sağlayarak varlığını sürdürmüştür.

Modern Güney Kore toplumunda Sollal, hâlâ yılın en önemli geleneksel bayramlarından biri olarak kutlanmaktadır. Bu süreklilik, ritüelin yalnızca geçmişe ait bir kültürel miras olmadığını; aksine farklı tarihsel dönemlerde yeniden biçimlenerek varlığını sürdüren dinamik bir pratik olduğunu göstermektedir. Dolayısıyla Sollal geleneği, modernleşme sürecinde dönüşerek varlığını koruyan ritüel sistemlerin tipik bir örneğini sunmaktadır.

SOLLAL RİTÜELLERİNİN KÜLTÜREL ANALİZİ

Sollal kutlamaları sırasında icra edilen ritüeller, Kore toplumunun kültürel değerlerini ve sosyal yapısını görünür kılan uygulamalar olmanın ötesinde, toplumsal düzenin performatif biçimde yeniden üretildiği alanlar olarak işlev görmektedir. Bu ritüeller, yalnızca geleneksel pratikler değil, aynı zamanda kültürel normların, hiyerarşik ilişkilerin ve kolektif kimliğin yeniden kurulduğu dinamik süreçlerdir.

Sollal ritüellerinin merkezinde yer alan çare (차례), atalara saygıyı ifade eden temel uygulamalardan biridir. Bu ritüelde hazırlanan sofraya düzeni, yalnızca maddi unsurların bir araya getirilmesinden ibaret olmayıp, aile soyunun sürekliliğini ve atalara bağlılığı sembolik olarak temsil eden düzenlenmiş bir anlam sistemini yansıtmaktadır. Ritüelin icrası sırasında aile üyelerinin belirli bir hiyerarşik sıra içinde hareket etmesi, Konfüçyüsçü etik düzenin pratik düzlemde yeniden üretilmesini sağlamaktadır. Bu yönüyle çare, yalnızca geçmişle kurulan sembolik bir bağ değil, aynı zamanda mevcut toplumsal düzenin meşrulaştırıldığı performatif bir alan olarak değerlendirilebilir (Janelli & Janelli, 1982; Bell, 1997).

Benzer şekilde sebe (세배) ritüeli, kuşaklar arası ilişkilerin düzenlenmesinde önemli bir rol oynamaktadır. Genç bireylerin büyüklerine eğilerek saygı göstermesi, yaşa dayalı hiyerarşik yapının görünür kılınmasını sağlamaktadır. Bu ritüel aracılığıyla yalnızca saygı ifadesi gerçekleştirilmemekte; aynı zamanda toplumsal normlar ve aile içi rol dağılımı yeniden üretilmektedir. Bu durum, ritüelin pedagojik bir işlev de üstlendiğini göstermektedir; zira genç bireyler bu süreçte toplumsal değerleri ve davranış kalıplarını deneyim yoluyla öğrenmektedir (Kim, 2015).

Sollal ritüellerinin maddi kültür boyutu, özellikle ritüel sofraları ve sembolik yiyecekler aracılığıyla ortaya çıkmaktadır. Örneğin tteokguk tüketimi, yeni bir yaşa girmenin sembolik bir ifadesi olarak kabul edilmekte ve bireyin toplumsal zaman içindeki konumunu yeniden tanımlamaktadır. Bu tür maddi unsurlar, ritüelin yalnızca soyut bir anlam sistemi değil, aynı zamanda somut pratikler aracılığıyla deneyimlenen bir kültürel süreç olduğunu göstermektedir. Bu bağlamda maddi kültür unsurları, kolektif belleğin sürekliliğini sağlayan taşıyıcı mekanizmalar olarak işlev görmektedir (Bell, 1997).

Ritüellerin sosyal boyutu ise geleneksel oyunlar ve ortak etkinlikler aracılığıyla görünür hale gelmektedir. Özellikle yutnori gibi oyunlar, aile üyeleri arasında etkileşimi artırmakta ve kolektif katılım yoluyla toplumsal bağların güçlendirilmesine katkı sağlamaktadır. Bu tür etkinlikler, ritüelin yalnızca törensel bir yapıdan ibaret olmadığını; aynı zamanda sosyal ilişkilerin yeniden üretildiği etkileşimsel alanlar olduğunu ortaya koymaktadır.

Tüm bu ritüel pratikler birlikte değerlendirildiğinde, Sollal kutlamalarının yalnızca geleneksel bir bayram olmadığı; aksine Kore toplumunda kültürel kimliğin, toplumsal aidiyetin ve sosyal düzenin performatif biçimde yeniden üretildiği bütüncül bir ritüel sistemi oluşturduğu görülmektedir. Bu bağlamda Sollal, ritüel icra süreçleri aracılığıyla kültürel sürekliliği sağlayan ve toplumsal yapıyı yeniden kuran dinamik bir kültürel mekanizma olarak değerlendirilebilir.

RİTÜEL PERFORMANS VE TOPLUMSAL DÜZEN

Antropoloji literatüründe ritüeller, toplumsal düzenin yeniden üretildiği performatif pratikler olarak ele alınmaktadır. Victor Turner, ritüellerin yalnızca sembolik uygulamalar olmadığını; aynı zamanda bireyler arasında kolektif bir birlik duygusu (communitas) yaratarak toplumsal ilişkilerin yeniden yapılandırıldığı süreçler olduğunu ileri sürmektedir (Turner, 1969). Bu perspektif, ritüelleri statik gelenekler olmaktan ziyade, sosyal düzenin aktif olarak kurulduğu dinamik performans alanları olarak konumlandırmaktadır.

Bu kuramsal çerçeve doğrultusunda değerlendirildiğinde, Sollal ritüelleri toplumsal düzenin performatif biçimde yeniden kurulduğu süreçler olarak işlev görmektedir.

Ritüelin icrası sırasında aile üyeleri belirli toplumsal rolleri yeniden üstlenmekte ve bu süreçte aile içindeki hiyerarşik yapı görünür hale gelmektedir. Özellikle çare (차례) ve sebe (세배) gibi ritüeller, toplumsal rollerin yalnızca temsil edilmesini değil, aynı zamanda ritüel icra yoluyla yeniden kurulmasını sağlamaktadır.

Kore toplumunda bu hiyerarşik düzen, büyük ölçüde Konfüçyüsçü etik sistem tarafından şekillendirilmektedir. Konfüçyüsçü düşünce, aileyi toplumsal yapının temel birimi olarak ele almakta ve yaşa dayalı hiyerarşik ilişkileri normatif bir çerçeveye oturtmaktadır (Park & Cho, 1995). Bu bağlamda Sollal ritüelleri, bu normatif düzenin gündelik yaşam içinde yeniden üretildiği sembolik pratikler olarak değerlendirilebilir (Deuchler, 1992). Ritüel icra süreci, bu değerlerin yalnızca temsil edilmesini değil, aynı zamanda deneyim yoluyla içselleştirilmesini mümkün kılmaktadır.

Ritüellerin performatif niteliği, kültürel bilginin kuşaklar arasında aktarılmasını da sağlayan temel bir mekanizma olarak işlev görmektedir. Ritüel süreçlere aktif katılım, bireylerin toplumsal normları yalnızca öğrenmesini değil, aynı zamanda bu normları yeniden üretmesini mümkün kılmaktadır. Bu yönüyle ritüeller, kültürel değerlerin pasif biçimde aktarıldığı araçlar değil, aktif olarak yeniden kurulduğu sosyal pratiklerdir.

Bu bağlamda Sollal ritüelleri, yalnızca geleneksel bayram uygulamaları olarak değil, Kore toplumunda toplumsal düzenin, kültürel değerlerin ve kolektif kimliğin performatif biçimde yeniden üretildiği temel kültürel mekanizmalar olarak değerlendirilmelidir.

KÜLTÜREL AKTARIM VE KUŞAKLARARASI BELLEK

Halkbilim ve antropoloji literatüründe ritüeller, kültürel bilginin kuşaklar arasında aktarılmasını sağlayan temel sosyal mekanizmalar olarak ele alınmaktadır. Ancak bu aktarım süreci, yalnızca değerlerin pasif biçimde iletilmesiyle sınırlı değildir; ritüeller aynı zamanda kültürel anlamların yeniden üretildiği performatif alanlar olarak işlev görmektedir. Bu bağlamda ritüeller, toplumsal normların, sembolik sistemlerin ve kolektif kimliğin deneyim yoluyla yeniden kurulduğu süreçlerdir (Bell, 1997).

Jan Assmann'ın kültürel bellek yaklaşımı, bu süreci açıklamak açısından önemli bir kuramsal çerçeve sunmaktadır. Assmann'a göre kültürel bellek, toplumsal grupların geçmişe ilişkin deneyimlerini ritüeller, semboller ve tekrar eden kültürel pratikler aracılığıyla yeniden üretmesiyle oluşmaktadır (Assmann, 2011). Bu perspektiften bakıldığında ritüeller, yalnızca geçmiş hatırlatan uygulamalar değil, aynı zamanda geçmişin bugünde yeniden kurulduğu dinamik bellek mekanizmalarıdır.

Kore kültüründe Sollal ritüelleri, bu yeniden üretim sürecinin somut örneklerinden birini oluşturmaktadır. Çare (차례), sebe (세배), geleneksel yemekler ve oyunlar gibi uygulamalar aracılığıyla kültürel değerler yalnızca aktarılmamakta; aynı zamanda ritüel icra sürecinde yeniden yapılandırılmaktadır. Özellikle aile ortamı, bu aktarımın gerçekleştiği temel sosyal alan olarak öne çıkmaktadır. Bu süreçte genç kuşaklar, kültürel normları yalnızca öğrenmekle kalmamakta; bu normları deneyimleyerek içselleştirmektedir.

Kore'de ata ritüelleri üzerine yapılan çalışmalar, bu uygulamaların pedagojik bir işlev de üstlendiğini göstermektedir. Roger Janelli ve Dawnhee Janelli'ye göre ritüel süreçler, aile içindeki değerlerin ve davranış kalıplarının öğrenildiği sosyalizasyon alanlarıdır (Janelli & Janelli, 1982). Bu bağlamda ritüeller, yalnızca sembolik pratikler değil, aynı zamanda toplumsal düzenin öğrenildiği ve yeniden üretildiği eğitimsel süreçlerdir.

Ritüellerin maddi kültür boyutu, bu aktarım sürecini somutlaştıran önemli unsurlar sunmaktadır. Ritüel sofraları, geleneksel yemekler, hanbok ve oyunlar, kültürel bilginin yalnızca soyut değil, aynı zamanda maddi pratikler aracılığıyla sürdürüldüğünü göstermektedir (Kim, 2013). Özellikle tteokguk tüketimi, bireyin yeni bir yaşa geçişini simgeleyerek toplumsal zaman ve statü kavramlarını yeniden tanımlayan sembolik bir pratik olarak öne çıkmaktadır.

Benzer şekilde yutnori gibi geleneksel oyunlar, kolektif katılım yoluyla toplumsal bağların güçlendirilmesini sağlamakta ve kültürel pratiklerin gündelik yaşam içinde yeniden üretilmesine katkıda bulunmaktadır. Bu tür etkileşimsel faaliyetler, ritüelin yalnızca törensel değil, aynı zamanda sosyal bir süreç olduğunu ortaya koymaktadır.

Bu çerçevede Sollal ritüelleri, Kore toplumunda kültürel belleğin sürekliliğini sağlayan ve toplumsal kimliği yeniden kuran aktif bir kültürel aktarım mekanizması olarak değerlendirilmelidir. Ritüeller, bu süreçte yalnızca geçmişin taşıyıcısı değil, aynı zamanda kültürel anlamların sürekli olarak yeniden üretildiği dinamik sosyal pratikler olarak işlev görmektedir.

MODERNLEŞME, KENTLEŞME VE RİTÜEL DÖNÜŞÜMÜ

20. yüzyılın ikinci yarısından itibaren Güney Kore’de yaşanan hızlı ekonomik kalkınma süreci, toplumsal yapıyı ve gündelik yaşam pratiklerini köklü biçimde dönüştürmüştür. Bu dönüşüm, özellikle aile yapısında belirgin değişimlere yol açmış; geleneksel geniş aile modelinin yerini giderek çekirdek aile yapısı almaya başlamıştır (Chiang, 1993). Kentleşme, endüstrileşme ve küreselleşme süreçleri, yalnızca ekonomik ve demografik yapıyı değil, aynı zamanda kültürel pratiklerin icra biçimlerini de yeniden şekillendirmiştir (Pai, 2000; Kim & Kim, 2012).

Bu bağlamda Sollal ritüelleri, modernleşme süreçleri karşısında ortadan kalkan geleneksel kalıntılar olarak değil, değişen toplumsal koşullara uyum sağlayarak dönüşen pratikler olarak ortaya çıkmaktadır. Günümüzde birçok Koreli aile, bu ritüelleri geçmişe kıyasla daha sade ve esnek biçimlerde icra etmektedir. Özellikle büyük şehirlerde yaşayan ailelerin ritüel hazırlıklarını basitleştirmesi veya bazı uygulamaları sembolik düzeye indirilmesi, ritüelin biçimsel dönüşümünü açıkça göstermektedir (Yoon, 2012).

Bununla birlikte bu dönüşüm, ritüellerin işlevsel olarak ortadan kalktığı anlamına gelmemektedir. Aksine ritüeller, değişen aile yapısı ve yaşam koşulları içinde yeniden düzenlenerek varlığını sürdürmektedir. Örneğin çare ritüeli bazı ailelerde geleneksel biçimiyle devam ederken, bazı durumlarda daha kısa ve pratik uygulamalara indirgenmektedir. Benzer şekilde ritüel sofralarının sadeleşmesi, ritüelin sembolik yapısının tamamen kaybolduğunu değil, yeniden yapılandırıldığını göstermektedir.

Bu durum, ritüellerin durağan ve değişmez yapılar olmadığını; aksine toplumsal bağlam içinde sürekli yeniden üretilen dinamik kültürel sistemler olduğunu ortaya koymaktadır (Bell, 1997). Modernleşme süreci, ritüelleri ortadan kaldırmak yerine onların biçimsel ve işlevsel olarak yeniden tanımlanmasına yol açmaktadır.

Bu çerçevede Sollal geleneği, modern Kore toplumunda süreklilik ve değişim arasındaki gerilimi görünür kılan önemli bir örnek sunmaktadır. Ritüeller bir yandan geleneksel değerleri korurken, diğer yandan modern yaşamın gerekliliklerine uyum sağlayarak varlığını sürdürmektedir. Bu yönüyle Sollal, modernleşme bağlamında dönüşerek devam eden ritüel pratiklerin tipik bir örneği olarak değerlendirilebilir.

HALLYU, KÜLTÜREL DİPLOMASİ VE SOLLAL’IN SOFT POWER BOYUTU

Son yıllarda Kore kültürünün küresel ölçekte artan görünürlüğü, yalnızca popüler kültür ürünlerinin yayılımıyla sınırlı kalmamış; aynı zamanda geleneksel kültürel pratiklerin de uluslararası alanda yeniden dolaşıma girmesine yol açmıştır. Bu süreç, genellikle Hallyu (Kore Dalgası) olarak adlandırılan kültürel yayılımın daha geniş bir çerçevede değerlendirilmesini gerektirmektedir. Hallyu, yalnızca K-pop, sinema ve televizyon içerikleri üzerinden değil, aynı zamanda geleneksel kültürel miras unsurlarının yeniden temsil edilmesi yoluyla da küresel ölçekte etkisini genişletmektedir.

Bu bağlamda geleneksel ritüeller, ulusal kültürel kimliğin uluslararası alanda temsil edilmesinde önemli araçlar haline gelmektedir.

Özellikle Sollal gibi ritüeller, Kore kültürünün tarihsel sürekliliğini ve kültürel özgünlüğünü yansıtan sembolik pratikler olarak yeniden çerçevelenmekte ve küresel izleyiciye sunulmaktadır. Bu durum, ritüellerin yalnızca yerel toplumsal düzenin yeniden üretildiği alanlar olmadığını, aynı zamanda uluslararası kültürel temsil süreçlerine dahil edilen anlam sistemleri olduğunu göstermektedir.

Joseph Nye tarafından geliştirilen soft power kavramı, bu süreci açıklamak açısından önemli bir teorik araç sunmaktadır. Nye'ye göre bir ülkenin kültürel değerleri, idealleri ve yaşam biçimleri, uluslararası alanda çekim gücü oluşturarak politik ve kültürel etki yaratabilmektedir (Nye, 2004). Bu çerçevede Kore, popüler kültür ürünleri ile geleneksel kültürel miras unsurlarını birlikte kullanarak çok katmanlı bir kültürel etki alanı oluşturmuştur.

Sollal ritüelleri bu bağlamda yalnızca geleneksel bir bayram pratiği olarak değil, aynı zamanda Kore kültürünün küresel ölçekte temsil edildiği sembolik alanlardan biri olarak değerlendirilebilir. Özellikle medya içerikleri ve kültürel etkinlikler aracılığıyla bu ritüellerin görünür hale gelmesi, onların uluslararası kültürel dolaşıma dahil olmasını sağlamaktadır. Böylece ritüeller, hem yerel toplumsal düzenin yeniden üretildiği hem de küresel kültürel kimliğin inşa edildiği çift yönlü bir işlev üstlenmektedir.

Bu durum, ritüellerin yalnızca geçmişe ait kültürel kalıntılar olmadığını; aksine hem ulusal kimliğin hem de küresel kültürel temsilin aktif bileşenleri olarak yeniden işlevselleştirildiğini göstermektedir. Bu yönüyle Sollal, yerel ritüel pratiklerin küresel kültürel ekonomi içinde nasıl yeniden konumlandığını gösteren önemli bir örnek sunmaktadır.

TARTIŞMA

Sollal ritüellerinin analizi, geleneksel kültür ile modern toplumsal yapı arasındaki ilişkinin yeniden düşünülmesini gerektiren önemli bir örnek sunmaktadır. Bu bulgular, ritüellerin modernleşme süreçleriyle ortadan kalktığı yönündeki klasik varsayımları sorgulamakta; aksine ritüellerin değişen toplumsal koşullar içinde dönüşerek varlığını sürdürdüğünü göstermektedir. Bu yönüyle çalışma, ritüellerin sürekliliğini açıklayan çağdaş antropolojik yaklaşımlarla örtüşmektedir.

Ritüel kuramı perspektifinden değerlendirildiğinde, Sollal kutlamalarının yalnızca sembolik uygulamalar değil, toplumsal düzenin performatif olarak yeniden üretildiği süreçler olduğu görülmektedir. Victor Turner'ın ritüel performansı ve communitas kavramları, bu sürecin kolektif boyutunu açıklamak açısından önemli bir çerçeve sunmaktadır. Ancak bu çalışma, Turner'ın yaklaşımını genişleterek ritüellerin yalnızca toplumsal dayanışmayı güçlendiren deneyimler olmadığını; aynı zamanda hiyerarşik ilişkileri görünür kılan ve yeniden kuran yapılar olduğunu ortaya koymaktadır. Bu durum, ritüelin hem eşitleyici hem de düzenleyici işlevlere sahip olduğunu göstermektedir.

Benzer şekilde, Catherine Bell'in ritüeli stratejik bir pratik olarak ele alan yaklaşımı, Sollal ritüellerinin toplumsal güç ilişkileriyle olan bağlantısını açıklamak açısından önemlidir. Çare ve sebe gibi ritüeller aracılığıyla Konfüçyüsçü etik sistemin yeniden üretilmesi, ritüelin yalnızca kültürel değerleri yansıtan değil, aynı zamanda bu değerleri meşrulaştıran bir mekanizma olarak işlediğini göstermektedir.

Çalışmanın bir diğer önemli bulgusu, ritüellerin kültürel aktarım sürecindeki aktif rolüdür. Jan Assmann'ın kültürel bellek yaklaşımıyla birlikte değerlendirildiğinde, Sollal ritüellerinin geçmişe ait anlamları korumaktan ziyade, bu anlamları her icrada yeniden kurduğu görülmektedir. Bu bağlamda ritüeller, kültürel bilginin yalnızca aktarılmasını değil, aynı zamanda yeniden üretimini sağlayan dinamik bellek mekanizmalarıdır.

Modernleşme ve kentleşme süreçleri bağlamında elde edilen bulgular, ritüellerin biçimsel olarak sadeleşmesine rağmen işlevsel sürekliliğini koruduğunu ortaya koymaktadır.

Bu durum, ritüellerin toplumsal bağlamdan bağımsız sabit yapılar olmadığını; aksine değişen sosyal koşullara uyum sağlayan esnek sistemler olduğunu göstermektedir. Dolayısıyla Sollal ritüelleri, süreklilik ve değişim arasındaki diyalektik ilişkinin somut bir örneğini sunmaktadır. Bu çerçevede çalışma, ritüellerin yalnızca geçmişten devralınan geleneksel pratikler olarak değil, toplumsal düzeni, kültürel kimliği ve kolektif belleği sürekli olarak yeniden kuran performatif mekanizmalar olarak anlaşılması gerektiğini ileri sürmektedir. Bu yönüyle çalışma, ritüel kuramı literatürüne, ritüellerin hem yeniden üretici hem de dönüştürücü doğasına ilişkin analitik bir katkı sunmaktadır.

SONUÇ

Sollal ritüellerinin analizi, geleneksel kültür ile modern toplumsal yapı arasındaki ilişkinin durağan değil, dinamik ve yeniden üretilebilir bir süreç olarak ele alınması gerektiğini göstermektedir. Elde edilen bulgular, ritüellerin yalnızca geçmişten devralınan kültürel pratikler olmadığını; aksine toplumsal düzeni, kültürel değerleri ve kolektif kimliği her icra sürecinde yeniden kuran performatif mekanizmalar olarak işlev gördüğünü ortaya koymaktadır.

Bu çerçevede Sollal ritüelleri, Konfüçyüsçü etik düzenin, aile hiyerarşisinin ve toplumsal rol dağılımının sembolik olarak görünür kılındığı ve yeniden üretildiği temel kültürel alanlar olarak değerlendirilebilir. Ritüel icra süreçleri, bu normların yalnızca temsil edilmesini değil, aynı zamanda deneyim yoluyla içselleştirilmesini mümkün kılmaktadır. Bu durum, ritüellerin kültürel aktarım sürecinde pasif taşıyıcılar değil, aktif üretim mekanizmaları olduğunu göstermektedir.

Modernleşme, kentleşme ve küreselleşme süreçlerine rağmen Sollal geleneğinin ortadan kalkmaması, ritüellerin değişen toplumsal koşullara uyum sağlayabilen esnek yapılar olduğunu ortaya koymaktadır. Ritüellerin biçimsel olarak sadeleşmesine karşın işlevsel sürekliliğini koruması, geleneksel kültürün durağan bir miras değil, sürekli yeniden yapılandırılan bir pratik olduğunu göstermektedir. Bu yönüyle Sollal, süreklilik ve dönüşüm arasındaki diyalektik ilişkinin somut bir örneğini sunmaktadır.

Ayrıca ritüellerin yalnızca yerel toplumsal bağlam içinde değil, aynı zamanda küresel kültürel dolaşım içinde yeniden anlam kazandığı görülmektedir. Sollal gibi geleneksel pratiklerin kültürel diplomasi ve yumuşak güç bağlamında yeniden temsil edilmesi, ritüellerin ulusal kimliğin küresel ölçekte inşasında da rol oynadığını göstermektedir.

Bu çalışma, ritüellerin yalnızca kültürel sürekliliği sağlayan araçlar değil, aynı zamanda toplumsal düzeni ve kolektif kimliği sürekli olarak yeniden kuran performatif sistemler olarak anlaşılması gerektiğini ileri sürmektedir. Bu yönüyle çalışma, ritüel kuramı, kültürel bellek ve modernleşme tartışmalarına, ritüellerin hem yeniden üretici hem de dönüştürücü doğasına ilişkin bütüncül bir katkı sunmaktadır. Gelecek araştırmaların, farklı kültürel bağlamlarda benzer ritüel sistemlerini karşılaştırmalı olarak ele alması, ritüel pratiklerin toplumsal ve kültürel işlevlerine ilişkin daha kapsamlı ve karşılaştırmalı analizlerin geliştirilmesine olanak tanımaktadır.

KAYNAKÇA

Assmann, J. (2011). *Cultural memory and early civilization: Writing, remembrance, and political imagination*. Cambridge University Press.

Bell, C. (1997). *Ritual: Perspectives and dimensions*. Oxford University Press.

Chung, E. Y. J. (2015). *Korean Confucianism: Tradition and modernity*. The Academy of Korean Studies Press.

Deuchler, M. (1992). *The Confucian transformation of Korea: A study of society and ideology*. Harvard University Press.

Janelli, R. L., & Janelli, D. Y. (1982). *Ancestor worship and Korean society*. Stanford University Press.

- Kendall, L. (1985). *Shamans, housewives, and other restless spirits: Women in Korean ritual life*. University of Hawai'i Press.
- Kim, K.-O. (1994). Ritual and ideology in the Korean New Year festival. *Anthropological Quarterly*, 67(3), 145–156.
- Kim, K. H., & Kim, J. H. (2012). Traditional family rites and family systems in contemporary Korean families: From middle-aged Koreans' perspectives. *Journal of Korean Home Management Association*, 30(6), 103–118.
- Nye, J. S. (2004). *Soft power: The means to success in world politics*. PublicAffairs.
- Pai, H. I. (2000). *Constructing Korean origins: A critical review of archaeology, historiography, and racial myth in Korean state-formation theories*. Harvard University Asia Center.
- Park, I. H., & Cho, L.-J. (1995). Confucianism and the Korean family. *Journal of Comparative Family Studies*, 26(1), 117–134.
- Seth, M. J. (2016). *A concise history of Korea: From antiquity to the present*. Rowman & Littlefield.
- Turner, V. (1969). *The ritual process: Structure and anti-structure*. Aldine.
- van Gennep, A. (1960). *The rites of passage*. University of Chicago Press. (Original work published 1909)
- Yoon, S. H. (2004). Korean ancestral rites and their social meanings. *Korea Journal*, 44(1), 118–141.
- Yoon, S. H. (2012). Tradition and transformation of Korean holiday rituals. *Acta Koreana*, 15(2), 1–22.

**CULTURAL TRANSFER IN LITERARY TRANSLATION: A STUDY OF THE
TURKISH TRANSLATION OF TABLE FOR FOUR BY GU BYEONG-MO**

(구병모-네 이웃의 식탁)

Nihan KARAKUŞ HARMANCI

Dr., Erciyes Üniversitesi, Edebiyat Fakültesi

Dr., Erciyes University, Faculty of Letters

ORCID ID: 0000-0003-2578-1504

ABSTRACT

Literary translation is not merely a process of linguistic transfer, but a multilayered practice that involves the reconstruction of cultural meanings and social contexts within the target culture. For this reason, translating literary texts requires not only achieving linguistic equivalence, but also conveying the cultural and social background embedded in the source text. Cultural references, everyday life practices, social relations, and value systems represented in literary works constitute key elements that must be carefully addressed during the translation process. In this context, the translator functions not only as a linguistic mediator but also as an interpreter who facilitates the production of meaning across cultures.

This study examines the Turkish translation of Gu Byeong-mo's novel 네 이웃의 식탁 (Your Neighbour's Table), translated into Turkish as Dört Komşunun Masası, within the framework of cultural transfer in literary translation. The primary aim of the study is to analyze how cultural elements in the text are conveyed during the translation process and to identify the translation strategies employed in this context. The study adopts a qualitative research design, and text analysis is used as the main method of data collection. The analysis focuses on narrative language, dialogue structures, cultural references, everyday practices, and expressions reflecting social relationships, which are examined through a comparative perspective.

The findings indicate that cultural elements in the source text are largely preserved in the target text. The translator predominantly adopts a meaning-oriented equivalence approach, while also employing explanatory translation and, in some cases, cultural adaptation strategies, particularly in the transfer of culture-specific concepts. Furthermore, the preservation of themes such as parenting practices, family structures, and social expectations plays a crucial role in maintaining the cultural integrity of the text. These findings suggest that translation involves not only semantic transfer but also the reconstruction of contextual and functional equivalence. In conclusion, this study demonstrates that literary translation cannot be reduced to a purely linguistic process; rather, it entails the reconstruction of cultural and social meanings in the target language. By providing a detailed analysis of cultural transfer and translation strategies, the study offers an analytical contribution to the field of translation studies and presents a concrete case that illustrates how cultural meaning is negotiated in translations of Korean literature into Turkish.

Keywords: Literary translation, cultural transfer, translation strategies, Korean society, intercultural communication

EDEBÎ ÇEVİRİDE KÜLTÜR AKTARIMI: GU BYEONG-MO'NUN DÖRT KOMŞUNUN MASASI (구병모-네 이웃의 식탁) ESERİNİN ÇEVİRİSİ ÜZERİNE BİR İNCELEME

ÖZET

Edebî çeviri, yalnızca dilsel bir aktarım süreci değil, aynı zamanda kültürel anlamların ve toplumsal bağlamın hedef kültürde yeniden yapılandırılmasını içeren çok katmanlı bir iletişim pratiğidir. Bu nedenle edebî metinlerin çevirisinde, dilsel eşdeğerliğin sağlanmasının ötesinde, metnin ait olduğu kültürel ve toplumsal arka planın hedef dile aktarılması büyük önem taşımaktadır. Edebî eserlerde yer alan kültürel referanslar, gündelik yaşam pratikleri, toplumsal ilişkiler ve değer sistemleri, çeviri sürecinde dikkatle ele alınması gereken temel unsurlar arasında yer almaktadır. Bu bağlamda çevirmen, yalnızca bir dil aktarıcısı değil, aynı zamanda kültürler arasında anlam üretimini sağlayan bir yorumlayıcı olarak konumlanmaktadır.

Bu çalışma, Gu Byeong-mo'nun 네 이웃의 식탁 adlı eserinin Türkçeye Dört Komşunun Masası adıyla yapılan çevirisini kültür aktarımı bağlamında incelemeyi amaçlamaktadır. Araştırmanın temel amacı, eserde yer alan kültürel unsurların çeviri sürecinde nasıl aktarıldığını ortaya koymak ve bu süreçte kullanılan çeviri stratejilerini analiz etmektir. Bu doğrultuda çalışmada nitel araştırma yöntemi benimsenmiş ve veri toplama yöntemi olarak metin çözümlemesi kullanılmıştır. Analiz sürecinde eserin anlatı dili, diyalog yapıları, kültürel göndermeler, gündelik yaşam pratikleri ve toplumsal ilişkileri yansıtan ifadeler karşılaştırmalı olarak değerlendirilmiştir.

İnceleme bulguları, eserde yer alan kültürel unsurların büyük ölçüde korunarak hedef dile aktarıldığını göstermektedir. Çevirmenin genel olarak anlam odaklı eşdeğerlik yaklaşımını benimsediği; ancak özellikle kültürel kavramların aktarımında açıklayıcı çeviri ve yer yer kültürel uyarılama stratejilerine başvurduğu belirlenmiştir. Bununla birlikte, ebeveynlik deneyimi, aile yapısı ve toplumsal beklentiler gibi temaların çeviri sürecinde korunması, metnin kültürel bütünlüğünün sürdürülmesi açısından belirleyici bir rol oynamaktadır. Bu durum, çeviri sürecinde yalnızca anlamın değil, aynı zamanda bağlamsal ve işlevsel eşdeğerliğin de gözetildiğini ortaya koymaktadır.

Sonuç olarak bu çalışma, edebî çeviri sürecinde kültürel unsurların aktarımının yalnızca dilsel eşdeğerlikle sınırlı olmadığını; metnin toplumsal ve kültürel bağlamının hedef dilde yeniden yapılandırılmasını gerektirdiğini göstermektedir. Bu yönüyle çalışma, edebî çeviride kültürel temsil ve çeviri stratejileri üzerine analitik bir katkı sunmanın yanı sıra, benzer çeviri incelemeleri için yöntemsel bir çerçeve önermektedir. Ayrıca çalışma, Kore edebiyatından Türkçeye yapılan çevirilerde kültürel aktarımın nasıl işlediğine dair somut bir örnek sunarak alan yazına katkıda bulunmaktadır.

Anahtar Kelimeler: Edebî çeviri, kültür aktarımı, çeviri stratejileri, Kore toplumu, kültürlerarası iletişim

GİRİŞ

Çeviri, farklı dil ve kültürler arasında anlam aktarımını mümkün kılan temel bir iletişim pratiği olmakla birlikte, özellikle edebî çeviri söz konusu olduğunda bu süreç yalnızca dilsel bir aktarım olarak değerlendirilemez. Edebî çeviri, kültürel değerlerin, toplumsal normların ve düşünce biçimlerinin hedef kültürde yeniden yapılandırılmasını içeren çok katmanlı bir anlam üretim sürecidir. Bu nedenle edebî metinlerin çevirisinde yalnızca dilsel eşdeğerliğin sağlanması yeterli değildir; metnin ait olduğu kültürel bağlamın ve toplumsal arka planın da hedef dile aktarılması gerekmektedir.

Edebî metinler, üretildikleri toplumun kültürel kodlarını, sosyal ilişkilerini ve gündelik yaşam pratiklerini yansıtan önemli kültürel temsiller olarak değerlendirilmektedir.

Bu bağlamda çevirmen, yalnızca iki dil arasında aktarım yapan bir aracı değil, aynı zamanda metnin anlamını hedef kültür bağlamında yeniden kuran bir yorumlayıcıdır (Bassnett, 2014). Çeviri sürecinde alınan kararlar, metnin hedef okuyucu tarafından nasıl algılanacağını ve yorumlanacağını doğrudan etkilemektedir.

Kültür aktarımı meselesi, çeviri çalışmalarında özellikle 20. yüzyılın ikinci yarısından itibaren kuramsal bir çerçeveye kavuşmuştur. Nida (1964), “dinamik eşdeğerlik” kavramı ile çevirinin yalnızca biçimsel değil, işlevsel ve kültürel bir süreç olduğunu ortaya koyarken; Newmark (1988), kültürel öğelerin çevirisinde farklı stratejilerin kullanılabilmesini vurgulamıştır. Bu yaklaşımlar, çeviri sürecinin kültürel bağlamdan bağımsız düşünülmemeyeceğini açıkça göstermektedir.

Son yıllarda Kore edebiyatının küresel ölçekte artan görünürlüğü, bu metinlerin farklı dillere yapılan çevirilerinin incelenmesini önemli bir araştırma alanı hâline getirmiştir. Özellikle modern Kore toplumuna özgü sosyal dönüşümleri yansıtan edebî eserler, kültürel unsurların çeviri yoluyla nasıl yeniden üretildiğini analiz etmek açısından zengin veriler sunmaktadır. Bu bağlamda Gu Byeong-mo'nun *네 이웃의 식탁* adlı romanı, ebeveynlik, aile yapısı ve bireyselleşme gibi temalar üzerinden Kore toplumundaki güncel toplumsal dinamikleri yansıtmaya bakımdan dikkat çekici bir örnek oluşturmaktadır.

Bu çalışma, söz konusu eserin Türkçeye Dört Komşunun Masası adıyla yapılan çevirisini kültür aktarımı bağlamında incelemeyi amaçlamaktadır. Çalışmanın temel amacı, metinde yer alan kültürel unsurların çeviri sürecinde nasıl aktarıldığını ve bu süreçte hangi çeviri stratejilerinin benimsendiğini ortaya koymaktır. Bu yönüyle çalışma, edebî çeviri sürecinde kültürel anlamın yalnızca aktarılmadığını, aynı zamanda hedef kültür bağlamında yeniden yapılandırıldığını göstermeyi hedeflemektedir.

Araştırmada nitel araştırma yöntemi benimsenmiş ve inceleme yöntemi olarak metin çözümlemesi kullanılmıştır. Bu kapsamda metinde yer alan gündelik yaşam pratikleri, toplumsal ilişkiler, kültürel referanslar ve diyalog yapıları karşılaştırmalı olarak analiz edilmiştir.

Bu çalışma aşağıdaki araştırma sorularına yanıt aramaktadır:

- Eserde yer alan kültürel unsurlar çeviri sürecinde nasıl aktarılmıştır?
- Çevirmen hangi çeviri stratejilerini kullanmıştır?
- Kültürel unsurların aktarımı hedef metnin anlaşılabilirliğini nasıl etkilemiştir?

KURAMSAL ÇERÇEVE

Edebî Çeviri ve Kültür Aktarımı

Edebî çeviri, çağdaş çeviri kuramlarında yalnızca dilsel bir aktarım süreci olarak değil, aynı zamanda kültürel anlamların hedef bağlamda yeniden üretildiği bir yeniden yazım pratiği olarak ele alınmaktadır. Bu yaklaşım, edebî metinlerin yalnızca sözcük düzeyinde değil, aynı zamanda ait oldukları toplumsal ve kültürel bağlam içinde değerlendirilmesi gerektiğini ortaya koymaktadır. Bu nedenle edebî çeviri, farklı kültürel sistemler arasında gerçekleşen dinamik bir anlam müzakeresi süreci olarak değerlendirilebilir.

Bassnett (2014), edebî çeviriyi iki dil arasında gerçekleşen basit bir aktarım sürecinin ötesinde, iki farklı kültür arasında kurulan bir etkileşim alanı olarak tanımlamaktadır. Bu bağlamda çevirmen, metnin anlamını hedef kültür bağlamında yeniden kuran aktif bir özne olarak konumlanmaktadır. Benzer şekilde Lefevere (1992), çeviriyi ideolojik ve kültürel normlar çerçevesinde şekillenen bir yeniden yazım süreci olarak ele almakta ve çeviri ürünlerinin hedef kültürün beklentilerine göre dönüştürüldüğünü vurgulamaktadır. Bu yaklaşımlar, çeviri sürecinin yalnızca dilsel değil, aynı zamanda kültürel ve ideolojik tercihler içeren bir yapı olduğunu göstermektedir.

Bu doğrultuda edebî çeviri, kültürlerarası iletişimin temel araçlarından biri olarak kabul edilmekte; farklı toplumlara ait değer sistemleri, yaşam biçimleri ve toplumsal ilişkiler çeviri yoluyla yeniden dolaşıma girmektedir. Dolayısıyla çeviri süreci, kültürel anlamların aktarımının ötesinde, bu anlamların hedef kültürde yeniden yapılandırıldığı bir süreç olarak değerlendirilmelidir.

Çeviri Sürecinde Kültürel Unsurlar

Edebî metinlerde yer alan kültürel unsurlar, çeviri sürecinde en problemleri alanlardan birini oluşturmaktadır. Bu unsurlar, çoğu zaman kaynak kültüre özgü anlamlar içerdiğinden, hedef dilde doğrudan karşılık bulamayabilmektedir. Bu nedenle kültürel unsurların çevirisi, yalnızca dilsel bir eşleştirme süreci değil, aynı zamanda anlamın bağlamsal olarak yeniden kurulmasını gerektiren bir süreçtir.

Newmark (1988), kültürel öğeleri ekolojik unsurlar, maddi kültür, sosyal kültür, kurumsal yapılar ve gelenekler olmak üzere çeşitli kategoriler altında sınıflandırmaktadır. Bu sınıflandırma, çeviri sürecinde hangi unsurların daha fazla zorluk yarattığını belirlemek açısından önemli bir analitik çerçeve sunmaktadır. Özellikle gündelik yaşam pratikleri, sosyal ilişkiler ve kültüre özgü kavramlar, çeviri sürecinde anlam kaybı veya anlam kayması riskinin en yüksek olduğu alanlar arasında yer almaktadır.

Bu bağlamda çevirmen, kültürel unsurları hedef dile aktarırken yalnızca biçimsel eşdeğerliği değil, aynı zamanda bu unsurların işlevsel ve bağlamsal karşılıklarını da dikkate almak durumundadır. Bu durum, çeviri sürecinde farklı stratejilerin kullanımını zorunlu kılmaktadır.

Çeviri Stratejileri

Kültürel unsurların çevirisi, çeviri çalışmalarında farklı kuramsal yaklaşımlar çerçevesinde ele alınmıştır. Nida (1964), dinamik eşdeğerlik kavramı ile çeviride hedef okuyucunun metni kaynak okuyucuya benzer biçimde algılamasını amaçlamış ve çeviri sürecinde işlevsel etkinin korunmasının önemine dikkat çekmiştir.

Newmark (1988) ise kültürel unsurların aktarımında doğrudan çeviri, açıklayıcı çeviri, kültürel uyarlama ve eşdeğer ifade kullanımı gibi çeşitli stratejiler önermiştir. Bu stratejiler, çevirmenin kaynak metindeki kültürel unsurları hedef dilde nasıl yeniden yapılandırıldığını analiz etmek açısından önemli araçlar sunmaktadır.

Venuti (1995) tarafından geliştirilen yerlileştirme (domestication) ve yabancılaştırma (foreignization) ayrımı ise çeviri stratejilerinin kültürel yönünü daha belirgin biçimde ortaya koymaktadır. Yerlileştirme yaklaşımı metni hedef kültüre yaklaştırarak okunabilirliği artırırken, yabancılaştırma yaklaşımı kaynak kültürün özgünlüğünü koruyarak okuyucunun farklı bir kültürle karşılaşmasını sağlamaktadır.

Bu çalışmada, Dört Komşunun Masası adlı eserin çevirisi incelenirken, söz konusu kuramsal yaklaşımlar analitik bir çerçeve olarak kullanılmış ve metinde yer alan kültürel unsurların hangi stratejiler aracılığıyla hedef dile aktarıldığı değerlendirilmiştir.

ARAŞTIRMA YÖNTEMİ

Bu çalışmada nitel araştırma yöntemi benimsenmiş ve veri toplama ile analiz yöntemi olarak metin çözümlemesi kullanılmıştır. Metin çözümlemesi, edebî metinlerde yer alan dilsel yapılar, anlatı unsurları ve kültürel referansların sistematik biçimde incelenmesine olanak tanıyan bir yöntem olarak, çeviri incelemelerinde yaygın biçimde tercih edilmektedir. Bu çalışma kapsamında yöntem, kaynak metin ile hedef metin arasındaki anlam, yapı ve kültürel aktarım süreçlerini karşılaştırmalı olarak analiz etmeye yönelik bir araç olarak kullanılmıştır.

Araştırmanın inceleme nesnesini, Gu Byeong-mo'nun *네 이웃의 식탁* adlı romanının kaynak metni ile bu eserin Türkçeye Dört Komşunun Masası başlığıyla yapılmış çevirisi oluşturmaktadır. Çalışmada, metinler arası karşılaştırma yoluyla özellikle kültürel unsurların çeviri sürecinde nasıl aktarıldığı incelenmiştir.

Veri seti, romanda yer alan ve kültürel anlam taşıyan ifadelerin amaçlı örnekleme yöntemiyle seçilmesiyle oluşturulmuştur. Bu kapsamda kültürel referanslar, gündelik yaşam pratikleri, toplumsal ilişkiler ve diyalog yapıları gibi unsurlar içeren ifadeler belirlenmiş ve analiz birimi olarak ele alınmıştır. Seçilen örnekler, kaynak metin ve hedef metin arasında karşılaştırmalı olarak incelenmiş; anlam aktarımı, bağlamsal uygunluk ve kültürel temsil düzeyi açısından değerlendirilmiştir.

Analiz sürecinde, çevirmenin kullandığı stratejiler Newmark (1988) ve Venuti (1995) tarafından önerilen kuramsal yaklaşımlar temelinde çözümlenmiştir. Bu doğrultuda, doğrudan çeviri, açıklayıcı çeviri, kültürel uyarlama ve eşdeğer ifade kullanımı gibi stratejiler ile yerleştirme ve yabancılaştırma yaklaşımları analitik kategoriler olarak kullanılmıştır.

İnceleme sürecinde veriler aşağıdaki kültürel kategoriler çerçevesinde sınıflandırılmıştır:

- kültürel referanslar
- gündelik yaşam pratikleri
- diyalog yapıları
- toplumsal ilişkileri yansıtan ifadeler
- aile ve toplumsal değerleri yansıtan anlatı unsurları

Bu kategoriler doğrultusunda seçilen örnekler, hem içerik hem de çeviri stratejileri açısından sistematik biçimde analiz edilmiş ve elde edilen bulgular yorumlanmıştır.

ROMANDAN ÖRNEKLERLE KÜLTÜR AKTARIMI BAĞLAMINDA ÇEVİRİ ANALİZİ

Edebî çeviri incelemelerinde kaynak metin ile hedef metin arasındaki karşılaştırmalı analiz, kültürel unsurların çeviri sürecinde nasıl yeniden yapılandırıldığını ortaya koymak açısından temel bir yöntemdir. Bu bölümde, Gu Byeong-mo'nun *네 이웃의 식탁* adlı romanından seçilen ifadeler kültür aktarımı bağlamında incelenmiştir. Analiz sürecinde Korece ifadeler, taşıdıkları kültürel ve toplumsal anlamlar doğrultusunda sınıflandırılmış ve çeviri stratejileri çerçevesinde değerlendirilmiştir.

Yapılan inceleme sonucunda, metinde yer alan kültürel unsurların beş temel kategori altında toplandığı belirlenmiştir:

- ebeveynlik deneyimini yansıtan ifadeler
- gündelik yaşam pratiklerini yansıtan ifadeler
- toplumsal söylemleri yansıtan ifadeler
- kültürel kavramlar
- sosyal ilişkileri ve iletişim biçimlerini yansıtan ifadeler

Ebeveynlik Deneyimini Yansıtan İfadeler

Modern Kore toplumunda ebeveynlik, yalnızca bireysel bir sorumluluk olarak değil, aynı zamanda toplumsal normlar ve beklentiler tarafından şekillenen bir deneyim olarak kurgulanmaktadır. Metinde yer alan ifadeler, ebeveynliğin hem bireysel hem de toplumsal boyutlarını görünür kılmakta ve bu deneyimin sosyal baskı, sorumluluk ve dönüşüm süreçleriyle iç içe geçtiğini ortaya koymaktadır.

Korece Kaynak Metin	Türkçe Çeviri	Kültürel İşlev
아이를 키우는 일은 생각보다 훨씬 힘들었다	Çocuk yetiştirmek düşündüğünden çok daha zordu	ebeveynlik deneyimi
아이를 낳고 키우는 일은 개인의 선택이 아니라 사회의 문제였다	Çocuk doğurup büyütmek yalnızca bireysel bir tercih değil, toplumsal bir meseleydi	toplumsal eleştiri
아이를 키운다는 건 하루도 쉬지 않는 일이다	Çocuk yetiştirmek bir gün bile ara verilmeyen bir iştir	ebeveynlik sorumluluğu
부모가 된다는 건 예상보다 더 큰 책임이었다	Anne baba olmak beklenenden daha büyük bir sorumluluktu	ebeveynlik rolü
아이가 태어난 뒤 삶이 완전히 달라졌다	Çocuk doğduktan sonra hayat tamamen değişti	aile dönüşümü
아이를 키우는 일은 혼자서 감당하기 어려웠다	Çocuk yetiştirmek tek başına üstesinden gelmesi zor bir işti	ebeveynlik zorlukları

Bu örnekler, ebeveynliğin bireysel bir yaşam deneyiminin ötesinde, toplumsal beklentiler ve yapısal koşullar tarafından belirlenen bir olgu olarak temsil edildiğini göstermektedir. Özellikle “아이를 낳고 키우는 일은 개인의 선택이 아니라 사회의 문제였다” ifadesi, ebeveynliğin toplumsal bir sorumluluk olarak konumlandırıldığını açık biçimde ortaya koymaktadır. Bu tür ifadeler, modern Kore toplumunda ebeveynlik pratiğinin ekonomik, sosyal ve kültürel boyutlarını yansıtan söylemsel yapılar üretmektedir.

Çeviri açısından değerlendirildiğinde, bu ifadelerin büyük ölçüde anlam odaklı eşdeğerlik stratejisiyle hedef dile aktarıldığı görülmektedir. Çevirmen, kaynak metindeki toplumsal eleştiri ve duygusal yoğunluğu koruyarak doğrudan aktarım yöntemini tercih etmiştir. Bu yaklaşım, metnin içerdiği toplumsal bağlamın hedef okuyucuya aktarılmasını mümkün kılarken, aynı zamanda metnin işlevsel etkisinin korunmasına katkı sağlamaktadır.

Bununla birlikte, çeviride tercih edilen bu strateji Venuti'nin (1995) kavramsallaştırması çerçevesinde değerlendirildiğinde, büyük ölçüde yabancılaştırmaya yakın bir yaklaşım olarak yorumlanabilir. Zira metinde yer alan ebeveynlik söylemleri, hedef kültüre uyarlanmak yerine kaynak kültüre özgü toplumsal gerçekliği yansıtan biçimiyle korunmuştur. Bu durum, okuyucunun Kore toplumuna özgü ebeveynlik deneyimiyle doğrudan karşılaşmasını sağlamaktadır.

Gündelik Yaşam Pratiklerini Yansıtan İfadeler

Gündelik yaşam pratikleri, edebî metinlerde kültürel kimliğin en görünür ve tekrar eden göstergelerinden biri olarak işlev görmektedir. Bu tür pratikler, bireylerin sosyal ilişkilerini, aile içi etkileşim biçimlerini ve kültürel normlara dayalı davranış kalıplarını yansıtan temel unsurlar arasında yer almaktadır. Kore toplumunda özellikle birlikte yemek yeme pratiği, yalnızca biyolojik bir ihtiyaç değil, aynı zamanda aile içi bağların yeniden üretildiği önemli bir sosyal ritüel olarak değerlendirilmektedir.

Bu nedenle metinde yer alan gündelik yaşam ifadeleri, bireysel deneyimlerin ötesinde, kolektif kültürel değerlerin temsil edildiği söylemsel alanlar oluşturmaktadır.

Korece Kaynak Metin	Türkçe Çeviri	Kültürel İşlev
우리는 늘 같이 밥을 먹었다	Her zaman birlikte yemek yedik	aile birlikteliği
같이 밥을 먹는 일은 하루의 중요한 순간이었다	Birlikte yemek yemek günün önemli anlarından biriydi	aile kültürü
아침마다 아이를 어린이집에 데려다주었다	Her sabah çocuğu kreşe götürürdü	gündelik ebeveynlik rutini
집에 돌아오면 늘 피곤했다	Eve döndüğünde her zaman yorgun olurdu	şehir yaşamı
하루 종일 아이와 함께 보내는 일은 쉽지 않았다	Bütün günü çocukla geçirmek kolay değildi	ebeveynlik deneyimi
주말마다 가족이 함께 시간을 보냈다	Hafta sonları aile birlikte vakit geçirirdi	aile ilişkileri

Bu örnekler, gündelik yaşam pratiklerinin metinde yalnızca betimleyici bir işlev üstlenmediğini, aynı zamanda kültürel normların ve aile içi ilişkilerin yeniden üretildiği bir anlam alanı oluşturduğunu göstermektedir. Özellikle birlikte yemek yeme pratiğine yapılan vurgu, Kore kültüründe aile içi birlikteliğin ve kolektif yaşam anlayışının merkezi konumunu ortaya koymaktadır. Bu tür ifadeler, bireysel deneyimlerin ötesinde, toplumsal olarak paylaşılan davranış kalıplarını ve değer sistemlerini görünür kılmaktadır.

Çeviri açısından değerlendirildiğinde, bu ifadelerin büyük ölçüde doğrudan ve anlam odaklı eşdeğerlik stratejisiyle hedef dile aktarıldığı görülmektedir. Çevirmen, kaynak metindeki gündelik yaşam pratiklerini hedef kültüre uyarlamak yerine, bu pratiklerin içerdiği kültürel anlamı koruyarak aktarım yapmayı tercih etmiştir. Bu yaklaşım, Newmark'ın (1988) anlam odaklı çeviri anlayışı ile uyumlu bir strateji olarak değerlendirilebilir.

Bununla birlikte, çeviride kullanılan bu yöntem Venuti'nin (1995) kavramsallaştırması çerçevesinde değerlendirildiğinde, kısmi bir yabancılaştırma eğilimine işaret etmektedir. Zira metinde yer alan gündelik yaşam pratikleri, hedef kültürde birebir karşılığı bulunmasa da açıklayıcı bir uyarlamaya gidilmeden aktarılmış ve böylece kaynak kültüre özgü yaşam biçimleri korunmuştur. Bu durum, hedef okuyucunun Kore toplumuna özgü gündelik yaşam düzeniyle doğrudan karşılaşmasını mümkün kılmaktadır.

Toplumsal Söylemi Yansıtan İfadeler

Romanda yer alan ifadeler, modern Kore toplumunda ebeveynlik ve aileye ilişkin normların yalnızca bireysel tercihler düzeyinde değil, aynı zamanda toplumsal söylemler aracılığıyla yeniden üretildiğini göstermektedir. Bu söylemler, bireylerin yaşam tercihlerini yönlendiren, sınırlandıran ve belirli davranış kalıplarını meşrulaştıran ideolojik yapılar olarak işlev görmektedir. Bu bağlamda metin, ebeveynliğe ilişkin toplumsal beklentilerin birey üzerindeki baskı mekanizmalarını görünür kılan söylemsel bir alan oluşturmaktadır.

Korece Metin	Türkçe Çeviri	Kültürel İşlev
아이를 낳지 않으면 이기적이라는 말을 듣는다	Çocuk yapmazsan bencil olduğun söylenir	toplumsal baskı
아이를 낳아야 어른이 된다고 들 했다	İnsanlar çocuk sahibi olunca gerçek yetişkin olduğunu söylerdi	toplumsal norm
결혼하면 당연히 아이를 낳아야 한다는 분위기가 있었다	Evlenen herkesin çocuk sahibi olması gerektiğine dair bir beklenti vardı	toplumsal beklenti
아이를 키우지 않는 삶은 이해받기 어려웠다	Çocuksuz bir hayat çoğu kişi tarafından anlaşılmazdı	sosyal norm
아이를 낳는 일은 가족의 의무처럼 여겨졌다	Çocuk sahibi olmak ailevi bir görev gibi görülüyordu	geleneksel değerler
아이가 있어야 완전한 가정이라고 생각했다	İnsanlar çocuklu aileyi daha “tam” bir aile olarak görüyordu	aile ideolojisi

Bu örnekler, ebeveynliğin bireysel bir tercih olmaktan ziyade, toplumsal olarak normatif bir zorunluluk şeklinde kurgulandığını ortaya koymaktadır. Özellikle “아이를 낳지 않으면 이기적이라는 말을 듣는다- Çocuk yapmazsan bencil olduğun söylenir” ifadesi, çocuk sahibi olmamanın yalnızca bireysel bir seçim olarak değil, aynı zamanda ahlaki bir sapma olarak değerlendirilebildiğini göstermektedir. Bu tür söylemler, bireylerin yaşam pratiklerini belirleyen toplumsal normların nasıl içselleştirildiğini ve yeniden üretildiğini ortaya koymaktadır.

Bu bağlamda metin, aile ve ebeveynlik kavramlarının ideolojik olarak nasıl inşa edildiğini görünür kılmaktadır. Çocuk sahibi olmanın “tam bir aile” olmanın ön koşulu olarak sunulması, aile kurumunun belirli bir normatif çerçeve içinde tanımlandığını göstermektedir. Bu durum, bireysel tercihlerin toplumsal beklentiler tarafından sınırlandırıldığı bir söylemsel yapı üretmektedir.

Çeviri açısından değerlendirildiğinde, bu toplumsal söylemlerin büyük ölçüde doğrudan ve anlam odaklı eşdeğerlik stratejisiyle hedef dile aktarıldığı görülmektedir. Çevirmen, kaynak metindeki normatif ve eleştirel söylemi koruyarak, metnin içerdiği toplumsal eleştirinin hedef okuyucuya aktarılmasını sağlamıştır. Bu yaklaşım, metnin ideolojik boyutunun korunması açısından önemli bir tercih olarak değerlendirilebilir.

Bununla birlikte, bu strateji Venuti'nin (1995) kavramsallaştırması çerçevesinde değerlendirildiğinde, belirgin bir yabancılaştırma eğilimi göstermektedir. Zira metinde yer alan toplumsal normlar ve değer yargıları hedef kültüre uyarlanmak yerine, kaynak kültüre özgü bağlamı korunarak aktarılmıştır. Bu durum, hedef okuyucunun Kore toplumuna özgü aile ve ebeveynlik ideolojileriyle doğrudan karşılaşmasını mümkün kılmakta ve metnin eleştirel boyutunu görünür kılmaktadır.

Kültürel Kavramların Çevirisi

Edebî metinlerde yer alan kültürel kavramlar, kaynak kültüre özgü sosyal pratikleri, kurumsal yapıları ve yaşam biçimlerini yansıtan yoğun anlam taşıyıcılarıdır. Bu tür kavramlar, çoğu

zaman hedef dilde doğrudan karşılık bulmayan, bağlama bağımlı ve kültürel olarak yüklü yapılar olduğundan, çeviri sürecinde özel bir problem alanı oluşturmaktadır. Dolayısıyla bu kavramların çevirisi, yalnızca sözcük düzeyinde bir eşleştirme değil, anlamın kültürel bağlamıyla birlikte yeniden yapılandırılmasını gerektiren bir süreçtir.

Gu Byeong-mo'nun *네 이웃의 식탁* adlı romanında ebeveynlik, aile yaşamı ve toplumsal ilişkilerle bağlantılı çeşitli kültürel kavramlar yer almaktadır. Bu kavramlar, modern Kore toplumunda ebeveynlik deneyiminin bireysel bir süreçten ziyade, sosyal ağlar ve kolektif pratikler aracılığıyla şekillenen bir olgu olduğunu ortaya koymaktadır.

Korece Kavram	Türkçe Çeviri	Kültürel Anlam
육아 공동체	ebeveynlik topluluğu	kolektif ebeveynlik
맘카페	anneler forumu	dijital ebeveynlik kültürü
어린이집	kreş	erken çocukluk eğitimi
학부모 모임	veli toplantısı	ebeveyn organizasyonu
육아 스트레스	ebeveynlik stresi	modern ebeveynlik
공동 육아	ortak ebeveynlik	sosyal dayanışma

Bu kavramlar, ebeveynliğin yalnızca aile içinde gerçekleşen bireysel bir sorumluluk değil, aynı zamanda toplumsal olarak paylaşılan ve dijital platformlar aracılığıyla örgütlenen kolektif bir deneyim olduğunu göstermektedir. Özellikle 맘카페 ve 육아 공동체 gibi kavramlar, modern Kore toplumunda ebeveynliğin dijitalleşmiş ve ağ temelli bir pratik hâline geldiğini ortaya koymaktadır. Bu durum, ebeveynlik deneyiminin bireysel bir sorumluluktan ziyade, kolektif bilgi paylaşımı ve sosyal dayanışma üzerinden yeniden üretildiğini göstermektedir.

Çeviri açısından değerlendirildiğinde, bu tür kültürel kavramların aktarımında çevirmenin çoğunlukla anlam odaklı eşdeğerlik stratejisini benimsediği görülmektedir. Ancak bazı kavramların hedef dilde doğrudan karşılık bulmaması, açıklayıcı çeviri ve kısmi kültürel uyarlama stratejilerinin kullanılmasını gerekli kılmıştır. Bu durum, Newmark'ın (1988) kültürel unsurların çevirisine ilişkin önerdiği stratejilerle uyumlu bir yaklaşım olarak değerlendirilebilir. Bununla birlikte, bu stratejiler Venuti'nin (1995) kuramsal çerçevesi açısından ele alındığında, hem yerlileştirme hem de yabancılaştırma eğilimlerinin birlikte kullanıldığı hibrit bir çeviri yaklaşımına işaret etmektedir. Zira bazı kavramlar hedef kültüre uyarlanarak anlaşılabilirlik artırılırken, bazıları kaynak kültüre özgü anlamlarıyla korunarak okuyucunun farklı bir kültürel bağlamla karşılaşması sağlanmıştır. Bu durum, kültürel kavramların çevirisinde tek bir stratejinin yeterli olmadığını ve çeviri sürecinin çok katmanlı bir karar alma mekanizması içerdiğini ortaya koymaktadır.

Sonuç olarak bu bölümde incelenen örnekler, kültürel kavramların çevirisinin yalnızca dilsel bir aktarım süreci olmadığını; aksine, anlamın, bağlamın ve kültürel referansların birlikte yeniden yapılandırıldığı karmaşık bir süreç olduğunu göstermektedir.

İletişim ve Diyalog Yapıları

Kore kültüründe iletişim, yalnızca bilgi aktarımına dayalı bir süreç değil, aynı zamanda toplumsal ilişkilerin düzenlenmesini sağlayan önemli bir sosyal pratik olarak işlev görmektedir. Özellikle empati, nezaket ve karşılıklı saygıyı ifade eden dilsel yapılar, bireyler arasındaki hiyerarşik ve duygusal ilişkilerin kurulmasında belirleyici bir rol oynamaktadır.

Bu bağlamda günlük iletişimde kullanılan kalıplaşmış ifadeler, yalnızca dilsel anlam taşıyan birimler değil, aynı zamanda belirli iletişimsel işlevleri yerine getiren pragmatik araçlar olarak değerlendirilebilir.

Korece	Türkçe	Kültürel İşlev
괜찮아요? 많이 힘드시죠?	İyi misiniz? Çok zorlanıyorsunuz değil mi?	empati
오늘 많이 피곤해 보이세요	Bugün çok yorgun görünüyorsunuz	nezaket
도와드릴까요?	Yardım edeyim mi?	sosyal dayanışma
정말 수고 많으셨어요	Gerçekten çok emek verdiniz	takdir
걱정하지 마세요	Endişelenmeyin	destek
같이 해결해 봅시다	Birlikte çözmeye çalışalım	kolektif yaklaşım

Bu ifadeler, Kore toplumunda iletişimin yalnızca içerik aktarımına değil, aynı zamanda ilişkisel uyumun sürdürülmesine yönelik bir işlev üstlendiğini göstermektedir. Özellikle empati ve nezaket ifadeleri, konuşmacı ile dinleyici arasındaki sosyal mesafenin düzenlenmesine ve iletişimdeki gerilimin azaltılmasına hizmet etmektedir. Bu yönüyle söz konusu dilsel yapılar, yalnızca anlam taşıyan ifadeler değil, aynı zamanda sosyal ilişkileri yeniden üreten söylemsel pratikler olarak değerlendirilebilir.

Çeviri açısından değerlendirildiğinde, bu tür ifadelerin aktarımında en önemli zorluk, yalnızca sözcük anlamının değil, aynı zamanda iletişimsel işlevin ve duygusal tonun korunmasıdır. İncelenen örneklerde çevirmenin, bu ifadeleri büyük ölçüde anlam odaklı eşdeğerlik yaklaşımıyla hedef dile aktardığı görülmektedir. Bununla birlikte çeviride asıl dikkat çekici nokta, ifadelerin taşıdığı pragmatik işlevin korunmuş olmasıdır.

Bu durum, çeviri sürecinde yalnızca semantik eşdeğerliğin değil, aynı zamanda pragmatik eşdeğerliğin de gözetildiğini göstermektedir. Özellikle empati ve nezaket ifadelerinin Türkçede doğal ve bağlama uygun karşılıklarla aktarılması, hedef okuyucunun karakterler arasındaki ilişkisel dinamikleri doğru biçimde algılamasını mümkün kılmaktadır.

Kuramsal açıdan değerlendirildiğinde, bu yaklaşım Venuti'nin (1995) çeviri stratejileri bağlamında yerleştirmeye yakın bir eğilim göstermektedir. Zira ifadeler, hedef dilde doğal ve akıcı bir iletişim yapısı oluşturacak şekilde yeniden düzenlenmiş ve okuyucunun metni yabancı bir dilsel yapı olarak değil, tanıdık bir iletişim biçimi olarak algılaması sağlanmıştır. Ancak bu süreçte, kaynak metindeki ilişkisel anlamın korunmuş olması, çevirinin işlevsel düzeyde başarılı olduğunu göstermektedir.

Sonuç olarak bu bölümde incelenen örnekler, diyalogların çevirisinde yalnızca dilsel aktarımın değil, aynı zamanda iletişimsel işlevin, duygusal tonun ve sosyal ilişkilerin de hedef dile aktarılmasının belirleyici olduğunu ortaya koymaktadır.

GENEL DEĞERLENDİRME

Yapılan analiz sonucunda romanda yer alan kültürel unsurların beş temel kategori altında toplandığı belirlenmiştir: ebeveynlik deneyimi, gündelik yaşam pratikleri, toplumsal söylemler, kültürel kavramlar ile iletişim ve diyalog yapıları. Bu kategoriler, kültürel anlamın metin içinde farklı düzlemlerde üretildiğini ve çeviri sürecinde bu anlam katmanlarının farklı stratejiler aracılığıyla yeniden yapılandırıldığını göstermektedir. İncelenen örnekler, çevirmenin genel olarak anlam odaklı eşdeğerlik yaklaşımını benimsediğini ortaya koymaktadır.

Bununla birlikte, özellikle kültürel kavramların aktarımında açıklayıcı çeviri ve kısmi kültürel uyarlama stratejilerine başvurulması, çeviri sürecinin tekil bir yöntemle sınırlı olmadığını göstermektedir. Bu durum, kültürel unsurların çevirisinde bağlamsal ve işlevsel gerekliliklere göre değişen çok katmanlı bir strateji kullanımına işaret etmektedir.

Metinde yer alan kültürel unsurların büyük ölçüde gündelik yaşam pratikleri, aile ilişkileri ve ebeveynlik deneyimi etrafında yoğunlaştığı görülmektedir. Bu durum, modern Kore toplumunda bireysel deneyimlerin toplumsal normlar ve kolektif değerler çerçevesinde şekillendiğini ortaya koymaktadır. Özellikle ebeveynlik, metinde yalnızca bireysel bir sorumluluk olarak değil, aynı zamanda toplumsal beklentiler tarafından belirlenen normatif bir alan olarak temsil edilmektedir.

Çeviri süreci bağlamında değerlendirildiğinde, bu kültürel yapıların hedef dile aktarımı, yalnızca dilsel eşdeğerliğin sağlanmasıyla sınırlı kalmamış; aynı zamanda metnin içerdiği toplumsal ve ideolojik boyutların korunmasına yönelik bir yaklaşım benimsenmiştir. Özellikle diyalog yapılarında gözlemlenen pragmatik eşdeğerlik ve toplumsal söylemlerde korunan eleştirel ton, çevirinin işlevsel düzeyde başarılı olduğunu göstermektedir.

Bununla birlikte, kültürel unsurların aktarımında hem yerlileştirme hem de yabancılaştırma stratejilerinin birlikte kullanılması, çeviri sürecinin hibrit bir yapı sergilediğini ortaya koymaktadır. Bu hibrit yapı, bir yandan hedef okuyucunun metni anlamasını kolaylaştırırken, diğer yandan kaynak kültüre özgü anlamların görünürlüğünü korumaktadır.

Sonuç olarak, bu çalışmada incelenen çeviri, kültürel anlamın yalnızca aktarılmadığını, aynı zamanda hedef kültür bağlamında yeniden yapılandırıldığını göstermektedir. Bu durum, edebî çevirinin kültürlerarası iletişimde pasif bir aktarım aracı değil, aktif bir anlam üretim süreci olduğunu ortaya koymaktadır.

SONUÇ

Bu çalışma, Gu Byeong-mo'nun *네 이웃의 식탁* adlı eserinin Türkçeye Dört Komşunun Masası başlığıyla yapılan çevirisini kültür aktarımı bağlamında incelemiş ve kültürel unsurların çeviri sürecinde nasıl yeniden yapılandırıldığını ortaya koymuştur. Elde edilen bulgular, metinde yer alan kültürel unsurların büyük ölçüde korunarak hedef dile aktarıldığını ve çevirmenin genel olarak anlam odaklı eşdeğerlik yaklaşımını benimsediğini göstermektedir. Bununla birlikte, özellikle kültüre özgü kavramların aktarımında açıklayıcı çeviri ve kültürel uyarlama stratejilerinin de devreye girdiği belirlenmiştir.

Analiz sonuçları, kültürel unsurların tekil bir stratejiyle değil, bağlama bağlı olarak değişen çok katmanlı bir çeviri yaklaşımıyla aktarıldığını göstermektedir. Bu durum, çeviri sürecinde hem yerlileştirme hem de yabancılaştırma stratejilerinin birlikte kullanıldığı hibrit bir yapı bulunduğunu ortaya koymaktadır. Özellikle toplumsal söylemler, gündelik yaşam pratikleri ve diyalog yapılarında gözlemlenen pragmatik eşdeğerlik, çevirinin yalnızca semantik düzeyde değil, aynı zamanda işlevsel ve ilişkisel düzeyde de başarılı olduğunu göstermektedir.

Bu çalışma, edebî çevirinin yalnızca dilsel bir aktarım süreci olmadığını; aksine kültürel anlamların, toplumsal normların ve ideolojik yapıların hedef dilde yeniden üretildiği bir anlamlandırma süreci olduğunu ortaya koymaktadır. Bu yönüyle çalışma, edebî çeviri incelemelerinde kültürel unsurların analizine yönelik bütüncül bir çerçeve sunmakta ve çeviri stratejilerinin bağlamsal olarak değerlendirilmesi gerektiğini vurgulamaktadır.

Son olarak, gelecekte yapılacak çalışmaların farklı edebî eserlerin çevirilerini karşılaştırmalı olarak inceleyerek kültür aktarımı süreçlerinin daha geniş bir perspektiften ele alınmasına katkı sağlayacağı düşünülmektedir.

KAYNAKÇA

- Bassnett, S. (2014). *Translation studies* (4th ed.). Routledge.
- Gu Byeong-mo. (2018). *네 이웃의 식탁*. Minumsa.
- Gu Byeong-mo. (2025). *Dört komşunun masası* (N. Karakuş Harmancı, Trans.). Lotus Yayınları.
- Lefevere, A. (1992). *Translation, rewriting and the manipulation of literary fame*. Routledge.
- Newmark, P. (1988). *A textbook of translation*. Prentice Hall.
- Nida, E. A. (1964). *Toward a science of translating: With special reference to principles and procedures involved in Bible translating*. Brill.
- Toury, G. (2012). *Descriptive translation studies and beyond* (2nd ed.). John Benjamins.
- Venuti, L. (1995). *The translator's invisibility: A history of translation*. Routledge.

**THE PROBLEM OF UNCONSCIOUS USE IN PHYTOTHERAPY: A REVIEW ON
THE RISKS ASSOCIATED WITH MEDICINAL PLANT USE FROM A PUBLIC
HEALTH PERSPECTIVE**

Gül GÖRMEZ

Doç. Dr., Van Yüzüncü Yıl Üniversitesi, Sağlık Bilimleri Fakültesi
Beslenme ve Diyetetik Bölümü

Assoc. Prof. Dr., Van Yuzuncu Yıl University, Faculty of Health Sciences, Department of
Nutrition and Dietetics

ORCID ID: 0000-0001-6980-4988

ABSTRACT

Phytotherapy, defined as the use of medicinal plants for the prevention and treatment of diseases, has been practiced for centuries and continues to play an important role in both traditional and complementary medicine. In recent years, the growing interest in natural and herbal products has led to a widespread perception among the public that “natural” substances are inherently safe. This misconception has contributed to the uncontrolled and unconscious use of medicinal plants, particularly through self-collection from nature or purchase from herbalists without professional guidance. Such practices pose significant risks to individual and public health. Unconscious use of medicinal plants is especially problematic in individuals with chronic diseases who are undergoing long-term pharmacological treatment. Patients with conditions such as hypertension, diabetes, cardiovascular disorders, epilepsy, and depression frequently consume herbal products concurrently with prescribed medications, often without informing healthcare professionals. Medicinal plants such as *Hypericum perforatum* (St. John’s wort), *Ginkgo biloba*, *Allium sativum* (garlic), and *Panax ginseng* have been reported to interact with conventional drugs through various pharmacokinetic and pharmacodynamic mechanisms. These interactions may result in reduced therapeutic efficacy, increased toxicity, or unexpected adverse effects. In addition to herb–drug interactions, other major concerns include the lack of standardization in herbal products, variability in active ingredient concentrations, improper dosing, contamination with heavy metals or pesticides, and misidentification of plant species. Such factors further increase the potential for adverse health outcomes, including organ toxicity and treatment failure. Clinical case reports and observational studies in the literature have documented serious complications related to inappropriate medicinal plant use, highlighting the need for greater awareness and regulation.

This review aims to evaluate the potential risks associated with the unconscious use of medicinal plants based on current scientific literature. By synthesizing existing evidence, the study seeks to raise awareness among healthcare professionals and the general public, emphasizing the importance of rational phytotherapy practices, patient education, and regulatory oversight to protect public health.

Keywords: medicinal plants; unconscious use; public health; herb–drug interactions; phytotherapy

**FİTOTERAPİDE BİLİNÇSİZLİK SORUNU: TIBBİ BİTKİ KULLANIMINA İLİŞKİN
RİSKLER ÜZERİNE BİR DERLEME**

ÖZET

Fitoterapi, hem geleneksel hem de tamamlayıcı tıpta önemli bir yer edinmiştir. Ancak son yıllarda tıbbi bitkilere olan ilginin hızla artması, halk arasında “doğal olan zararsızdır” algısını pekiştirmiş; bu durum ise bilinçsiz ve denetimsiz kullanımın yaygınlaşmasına neden olmuştur.

Tıbbi bitkiler halk tarafından çoğu zaman doğadan rastgele toplanmakta, etken madde içeriği ya da doz bilgisi olmadan aktar ve benzeri satış noktalarından temin edilerek kullanılmaktadır. Özellikle kronik hastalıkları olan bireylerin tıbbi bitkileri, eş zamanlı ilaç tedavileriyle birlikte bilinçsizce kullanması, ciddi klinik sonuçlara yol açabilmektedir.

Diyabet, hipertansiyon, epilepsi, depresyon ve kardiyovasküler hastalıklar gibi rahatsızlıkları olan bireylerde; St. John's wort (sarı kantaron), Ginkgo biloba, Allium sativum (sarımsak), Panax ginseng gibi tıbbi bitkilerle karşılaşılan olumsuz etkileşimler çeşitli farmakokinetik ve farmakodinamik mekanizmalarla açıklanmaktadır. Bu durumlar bazen tedavi etkinliğinin azalmasına, bazen de toksik yan etkilerin ortaya çıkmasına neden olabilmektedir. Ayrıca tıbbi bitki ürünlerinin çoğunda standart doz bulunmaması, ürün içeriklerinin güvenilirliğinin denetlenmemesi ve çoğu zaman bilimsel danışmanlık alınmadan tüketilmeleri, halk sağlığı açısından endişe verici bir tablo oluşturmaktadır.

Bu derleme çalışmasında, tıbbi bitkilerin bilinçsiz kullanımına bağlı gelişebilecek sağlık riskleri güncel literatür ışığında ele alınmıştır. Amaç; klinik gözlemler ve bilimsel çalışmalar doğrultusunda, bu alanda farkındalık yaratmak ve sağlık profesyonelleri başta olmak üzere tüm toplum kesimlerini güvenli bitkisel tedavi uygulamaları konusunda bilgilendirmektir.

Anahtar Kelimeler: tıbbi bitkiler; bilinçsiz kullanım; halk sağlığı; ilaç bitki etkileşimi; fitoterapi

1.GİRİŞ

Fitoterapi, yani tıbbi bitkilerle tedavi, insanlık tarihi boyunca birçok medeniyetin sağlık uygulamalarında yer bulmuş, günümüzde ise hem geleneksel hem de tamamlayıcı tıbbın önemli bir parçası hâline gelmiştir[1, 2]. Doğadan elde edilen bitkisel materyallerin, çeşitli hastalıkların önlenmesi ve tedavisinde kullanılması, tarih boyunca gözlemlenmiş ve deneyimle şekillenmiş bir pratik olarak aktarılmıştır. Ancak günümüzde fitoterapinin sadece geleneksel bilgiyle sınırlı kalmadığı, modern farmakognozi ve fitofarmasi alanlarındaki bilimsel çalışmalarla desteklenerek geliştiği bilinmektedir [2].

Bitkilerin tedavi amaçlı kullanımı yalnızca halk arasında değil, eczacılık ve tıp alanlarında da kurumsal bir ilgiyle ele alınmaktadır. Türkiye'de eczanelerde bulunan bitkisel ürünlerin yaygınlığı ve bu ürünlere duyulan güven, bu ilginin pratik yansımalarından biridir [6]. Ancak bu yaygınlık, beraberinde bazı riskleri de getirmektedir. Özellikle halk arasında yaygın olan “doğal olan zararsızdır” algısı, bitkisel ürünlerin bilinçsiz ve kontrolsüz bir şekilde kullanılmasına zemin hazırlamaktadır [5, 7].

Tıbbi bitkiler, çoğu zaman herhangi bir farmasötik değerlendirmeye tabi tutulmaksızın aktar gibi geleneksel satış kanallarından temin edilmekte; ürün etiketinde etken madde miktarı, dozaj bilgisi veya olası yan etkiler yer almamaktadır. Bu durum, tedavi edici etkiden çok, potansiyel zarara yol açabilecek bir tabloyu ortaya çıkarmaktadır [4, 7].

Türkiye'de bitkisel ürünlerin üretimi ve satışıyla ilgili düzenlemelere bakıldığında, 2010 yılında yayımlanan Geleneksel Bitkisel Tıbbi Ürünler Ruhsatlandırma Yönetmeliği, önemli bir adım olmakla birlikte uygulamada pek çok boşluk barındırmaktadır [4]. Bitkisel ürünlerin çoğu, hâlâ “takviye edici gıda” statüsünde değerlendirilmekte; bu da ilaç gibi değerlendirilmeden piyasaya sürülmelerine neden olmaktadır [3, 4].

Sonuç olarak, fitoterapötik ürünlerin denetimsiz kullanımı, özellikle kronik hastalığı olan bireylerde reçeteli ilaçlarla birlikte eş zamanlı kullanıldığında ciddi etkileşim risklerini gündeme getirmektedir. Bu derlemenin amacı; tıbbi bitkilerin bilinçsiz kullanımından doğan halk sağlığı risklerini bilimsel temellerle değerlendirmek, rasyonel fitoterapi uygulamaları konusunda farkındalık yaratmak ve sağlık profesyonellerine yol gösterici bir çerçeve sunmaktır.

2. TIBBİ BİTKİLERİN KULLANIMINDA BİLİNÇSİZLİK SORUNU

Tıbbi bitkilerin toplumda yaygın olarak kullanılması, genellikle onların “doğal” olmaları nedeniyle zararsız kabul edilmelerinden kaynaklanmaktadır. Bu algı, özellikle modern ilaçların yan etkilerinden endişe duyan bireyleri alternatif yollar aramaya yönlendirmekte ve çoğu zaman bilimsel temelden yoksun uygulamaların artmasına yol açmaktadır [8, 12].

Toplumda yaygın olan “doğalsı güvenlidir” inancı, bitkisel ürünlerin potansiyel farmakolojik etkilerinin göz ardı edilmesine neden olmaktadır. Oysa pek çok tıbbi bitki, içerdiği alkaloid, glikozit, flavonoid, uçucu yağ gibi etken maddeler nedeniyle güçlü fizyolojik etkiler gösterebilmektedir [8]. Bu maddelerin doz aşımı, yanlış kombinasyonu ya da diğer ilaçlarla etkileşimi, istenmeyen farmakolojik sonuçlara yol açabilir. Ancak halk arasında bu etkiler çoğunlukla bilinmemekte; ürünler “gıda” gibi algılanarak bilinçsiz şekilde tüketilmektedir [10].

2.1. Aktar Kültürü ve Bilgi Kaynaklarının Bilimsellikten Uzaklığı

Türkiye’de tıbbi bitkiler büyük oranda aktar gibi geleneksel satış noktalarından temin edilmekte, bu alanlarda çalışan kişilerin çoğunluğu herhangi bir fitoterapi ya da farmakognozi eğitimi almamaktadır. Ürünlerin ambalajsız, etiketsiz veya içerik beyanı olmadan satılması, bu durumun bir göstergesidir. Üstelik birçok aktar çalışanı, hastalara “şifalı bitki reçeteleri” önererek dolaylı bir tedavi süreci yürütmektedir. Bu da hem etik hem de sağlık açısından riskli bir tablo oluşturmaktadır [9].

Bununla birlikte, bireylerin bilgi kaynağı olarak hekim ya da eczacı yerine internet, sosyal medya ve çevresel tavsiyeleri tercih etmesi, yanlış yönlendirme riskini artırmaktadır. Süzgeç-Selçuk ve Eyisan’ın (2012) Türkiye’deki eczanelerde yaptığı çalışmada, bitkisel ürün kullanan hastaların büyük çoğunluğunun bu ürünleri eczacı danışmanlığı olmadan kullandığı ortaya konmuştur [6].

2.2. Standardizasyon ve Etken Madde Sorunu

Tıbbi bitkilerin etken madde içerikleri; yetiştirme koşulları, hasat zamanı, ekstraksiyon yöntemi gibi pek çok etkene bağlı olarak değişkenlik göstermektedir. Bu nedenle aynı bitki türünün farklı örnekleri, farmakolojik açıdan farklı etkilere sahip olabilir. Ancak halk arasında bu farklar bilinmemekte; aynı isimle satılan tüm ürünlerin eşdeğer etkiler göstereceği varsayılmaktadır [11].

Ayrıca piyasada bulunan pek çok bitkisel ürün, standart doz veya etken madde konsantrasyonu içermemektedir. Bunun yanı sıra bazı ürünlerde ağır metal kalıntıları, pestisit kontaminasyonu veya yanlış bitki türü kullanımı gibi kalite sorunları bildirilmektedir. Bu durum, özellikle kronik hastalıklarda veya ilaç tedavisi gören bireylerde ciddi etkileşimlere, toksisiteye ve tedavi başarısızlığına yol açabilmektedir. Standardizasyon eksikliği, bitkisel ürünlerin güvenli kullanımını zorlaştıran temel faktörlerden biridir.

2.3. Yasal Düzenleme Eksiklikleri

Türkiye’de tıbbi bitkisel ürünlerin üretimi ve pazarlanması, belirli yasal düzenlemeler ile çerçeve altına alınmıştır. Özellikle Geleneksel Bitkisel Tıbbi Ürünler Ruhsatlandırma Yönetmeliği ile bu ürünlerin etkinlik, güvenlik ve kalite açısından standartlara uygun hâle getirilmeleri hedeflenmiştir. Yönetmeliğin amacı; tıbbi bitkilerden hazırlanan geleneksel bitkisel ürünler için ruhsatlandırma usul ve esaslarını belirlemek, başvuru ve değerlendirme süreçlerini düzenlemek ve güvenli tüketimi sağlamaktır [13].

Bu mevzuat hükümlerine göre, TİTCK (Türkiye İlaç ve Tıbbi Cihaz Kurumu) tarafından ruhsatlandırılmayan geleneksel bitkisel tıbbi ürünler piyasaya sunulamaz ve ürünün pazarlanabilmesi için başvuru sahibi tarafından gerekli ruhsat işlemlerinin tamamlanması gereklidir.

Bu çerçevede, yalnızca bilimsel kanıt ve uygunluk doğrulaması sonrası ruhsat alan ürünler satışa çıkarılabilmektedir, aksi takdirde hem idari hem hukuki yaptırımlar söz konusu olabilir [14].

03 Şubat 2023 tarihinde yayımlanan güncel yönetmeliğe göre, geleneksel bitkisel tıbbi ürünler için kullanılacak bitkisel bileşenler ve bunların geleneksel kullanıma uygunluğu gibi kriterler belirlenmiş; bu kriterleri sağlamayan ürünlerin tıbbi ürün olarak satışına izin verilmemektedir [13]. Bu düzenleme, halk sağlığını koruma amacıyla tıbbi bitkisel ürünlerin denetim altına alınmasını amaçlasa da uygulamada etiketsiz ürünlerin perakende satışında denetim eksiklikleri ve farklı sınıflandırmalar arasındaki belirsizlik, tüketici açısından kafa karışıklığına yol açmaktadır.

Yasal düzenlemelerle birlikte bitkisel ürünlerin sınıflandırmasıyla ilgili karmaşık durumlar da ortaya çıkmaktadır. Örneğin, bazı ürünler geleneksel tıbbi ürün statüsüne girerken bazıları “gıda takviyesi” veya “özel tıbbi amaçlı gıda” gibi farklı kategorilerde değerlendirilebilmektedir; bu da ücretli danışmanlık, farmasötik denetim ve klinik gözetim gibi önemli gerekliliklerin uygulanmasını zorlaştırabilir [14]. Dolayısıyla tüketiciler arasında ürünlerin tıbbi mi yoksa takviye edici gıda mı olduğu konusunda net bir anlayış gelişmeyebilir; bu da bilinçsiz kullanım risklerini artırmaktadır.

2.4. Bilinçsiz Kullanımın Halk Sağlığına Etkileri ve Klinik Sonuçları

Tıbbi bitkilerin kontrolsüz ve bilinçsiz kullanımı, yalnızca bireysel düzeyde değil, toplum genelinde de önemli halk sağlığı riskleri doğurmaktadır. Bu riskler; yanlış doz kullanımı, tedavi gecikmeleri, ilaç-bitki etkileşimleri ve toksik reaksiyonlar şeklinde ortaya çıkabilmektedir [15]. Özellikle kronik hastalıklar nedeniyle sürekli farmakolojik tedavi alan bireylerde, herhangi bir tıbbi danışma olmaksızın bitkisel ürün tüketimi, ilaç-besin-bitki etkileşimlerini artırmakta ve tedavi etkinliğini azaltmaktadır [16].

Hastaların önemli bir kısmı bitkisel ürün kullanımını sağlık profesyonellerine bildirmemekte; bu durum klinik değerlendirme sürecinde eksik bilgiye dayalı karar verilmesine neden olmaktadır. Bitkisel ürün kullanımının hasta anamnezinde sistematik olarak sorgulanmaması, olası etkileşimlerin gözden kaçmasına yol açabilmektedir.

Literatürde, bu etkileşimlerin klinik açıdan anlamlı sonuçlar doğurabildiği gösterilmiştir. Örneğin, *Hypericum perforatum* (sarı kantaron) sitokrom P450 enzim sistemini indükleyerek birçok ilacın plazma düzeyini azaltmakta; oral kontraseptifler, varfarin, siklosporin ve bazı antidepresanlarla birlikte kullanıldığında tedavi başarısızlığı ve serotonin sendromu riskine yol açabilmektedir [17,22]. Benzer şekilde, *Ginkgo biloba*'nın antiplatelet etkisi nedeniyle aspirin ve varfarin gibi antikoagülanlarla birlikte kullanımı kanama riskini artırmakta ve intrakraniyal kanama vakaları bildirilmiştir [18,23]. *Panax ginseng*, insülin veya oral antidiyabetiklerle birlikte kullanıldığında hipoglisemiye neden olabilmekte ve varfarin ile etkileşerek kan pıhtılaşma düzeylerinde değişiklik oluşturabilmektedir [18,24]. Ayrıca *Allium sativum* (sarımsak) preparatlarının antihipertansif ve antiplatelet özellikleri, antihipertansifler ve antikoagülanlarla birlikte kullanıldığında hipotansiyon ve kanama riskini artırabilmektedir [25]. Bitkisel ürünlere bağlı advers etkilerin önemli bir kısmı sistematik olarak rapor edilmemekte; bu durum farmakovijilans verilerinin yetersiz kalmasına neden olmaktadır. Dolayısıyla gerçek risk düzeyi, bildirilen vakaların ötesinde olabilir. Dünya Sağlık Örgütü, geleneksel ve tamamlayıcı tıbbin güvenli kullanımına yönelik yayımladığı raporlarda, bu alandaki uzman eksikliğine ve denimsiz kullanımın halk sağlığı üzerindeki potansiyel olumsuz etkilerine dikkat çekmektedir [19]. Tıbbi bitkilerin “doğal” olmaları onların güvenli olduğu anlamına gelmemekte; özellikle polifarmasi uygulanan bireylerde ciddi klinik sonuçlar doğurabilmektedir. Bu nedenle bitkisel ürün kullanımı mutlaka sağlık profesyoneli danışmanlığında yürütülmeli ve halk sağlığı politikaları bu alandaki denetimi güçlendirecek şekilde düzenlenmelidir.

4. Sonuç ve Öneriler

Tıbbi bitkilerin denetimsiz ve bilinçsiz biçimde kullanılması, yalnızca bireysel sağlık tercihlerine indirgenebilecek bir durum değildir; bu olgu, klinik uygulamaları ve halk sağlığı stratejilerini etkileyen yapısal bir soruna işaret etmektedir. Özellikle kronik hastalık nedeniyle düzenli ilaç kullanan bireylerde bitkisel ürünlerin eş zamanlı tüketimi, ilaç-bitki etkileşimleri aracılığıyla tedavi etkinliğinin azalmasına, toksisite gelişimine ya da öngörülemeyen advers sonuçlara zemin hazırlayabilmektedir. Bu durum, bitkisel ürünlerin biyolojik olarak aktif bileşenler içermesi nedeniyle farmakodinamik ve farmakokinetik etkilerinin göz ardı edilemeyeceğini göstermektedir.

Güncel uygulamalarda birçok bitkisel ürünün içerik standardizasyonu, doz şeffaflığı ve kalite güvencesi bakımından yeterli düzenleyici denetime tabi olmaması, güvenilirlik açısından belirsizlik yaratmaktadır. Buna ek olarak, hastaların bu ürünleri kullandıklarını sağlık profesyonelleriyle paylaşmamaları, klinik değerlendirme süreçlerinde eksik bilgiye dayalı kararlar alınmasına neden olabilmektedir. Dolayısıyla risk, yalnızca ürünün kendisinden değil, aynı zamanda bilgi eksikliğinden ve sistemsel boşluklardan da kaynaklanmaktadır.

Bu bağlamda, güvenli kullanımın sağlanabilmesi için çok katmanlı bir yaklaşım gereklidir. Klinik pratikte bitkisel ürün kullanımının anamnez sürecine sistematik biçimde dahil edilmesi temel bir adım olmalıdır. Sağlık profesyonellerinin ilaç-bitki etkileşimleri konusundaki bilgi düzeyinin artırılması ve klinik rehberlerin bu doğrultuda güncellenmesi gerekmektedir. Ayrıca ürünlerin etiketleme standartlarının netleştirilmesi, içerik doğrulama mekanizmalarının güçlendirilmesi ve kalite kontrol süreçlerinin sıkılaştırılması düzenleyici öncelikler arasında yer almalıdır. Bitkisel ürünlere bağlı advers etkilerin ilaç güvenliği izleme sistemleri içerisinde görünür hâle getirilmesi, risk profiline daha gerçekçi biçimde ortaya konmasına katkı sağlayacaktır. Toplumsal düzeyde ise “doğal olan güvenlidir” şeklindeki genelleyici algının bilimsel veriler ışığında yeniden değerlendirilmesi önem taşımaktadır.

Sonuç olarak, fitoterapi uygulamaları mutlak biçimde reddedilmesi gereken bir alan değildir; ancak bilimsel kanıt, düzenleyici gözetim ve klinik izlem mekanizmalarıyla desteklenmediği sürece güvenli kabul edilemez. Rasyonel kullanım ilkelerinin benimsenmediği durumlarda, özellikle polifarmasi uygulanan bireylerde önlenemez sağlık riskleri ortaya çıkmaya devam edecektir. Bu nedenle fitoterapi, bireysel tercih sınırlarını aşan ve kanıta dayalı sağlık politikaları kapsamında ele alınması gereken bir alan olarak değerlendirilmelidir.

KAYNAKÇA

- 1.Çubukçu, B., Sarıyar, G., Meriçli, A.H., Sütlüpnar, N., Mat, A., Meriçli, F. (2002). *Fitoterapi Yardımcı Ders Kitabı*. İstanbul: İÜ Basım ve Yayınevi Müdürlüğü.
- 2.Hansel, R., Steinegger, E. (1988). *Lehrbuch der Pharmakognosie und Phytopharmazie*. Springer-Verlag, Berlin-Heidelberg.
- 3.Resmî Gazete. (2014). <https://www.resmigazete.gov.tr>
- 4.Türkiye İlaç ve Tıbbi Cihaz Kurumu (TİTCK). *Geleneksel Bitkisel Tıbbi Ürünler Ruhsatlandırma Yönetmeliği*. (2022). <https://www.titck.gov.tr>
- 5.Schulz, V., Blumenthal, M., Hansel, R., Tyler, V.E. (2004). *Rational Phytotherapy*. Springer.
- 6.Süzgeç-Selçuk, S., Eyisan, E. (2012). Türkiye'deki Eczanelerde Bulunan Bitkisel İlaçlar. *Marmara Pharm J*, 16, 164–180.
- 7.Zeybek, A.Ü., Özgüc, O. (2019). *Modern ve Rasyonel Fitoterapi – I. Dünya Tıp Kitabevi*, Ankara.
- 8.Posadzki, P., Watson, L. K., Alotaibi, A., & Ernst, E. (2013). Prevalence of use of complementary and alternative medicine (CAM) by patients/consumers in the UK: Systematic review of surveys. *Clinical Medicine (London)*, 13(2), 126–131.

9. Akan, H., İzbirak, G., Kaspar, E. Ç., Kaya, Ç. A., Aydın, S., Demircan, N., ... Hayran, O. (2012). Knowledge and attitudes towards complementary and alternative medicine among medical students in Turkey. *BMC Complementary and Alternative Medicine*, 12, 115.
10. Alkaya, A., & Kav, S. (2021). Herbal product use in Turkey: A cross-sectional study on prevalence, reasons and information sources. *Complementary Therapies in Clinical Practice*, 43, 101339.
11. Kunle, O. F., Egharevba, H. O., & Ahmadu, P. O. (2012). Standardization of herbal medicines – A review. *International Journal of Biodiversity and Conservation*, 4(3), 101–112.
12. Nair, A. B., & Jacob, S. (2016). A simple practice guide for dose conversion between animals and human. *Journal of Basic and Clinical Pharmacy*, 7(2), 27–31.
13. Türkiye İlaç ve Tıbbi Cihaz Kurumu. (2023). Geleneksel Bitkisel Tıbbi Ürünler Ruhsatlandırma Yönetmeliği. *Resmî Gazete*, 32093 (03.02.2023). Erişim adresi: <https://www.resmigazete.gov.tr/eskiler/2023/02/20230203-6.htm>
14. T.C. Tarım ve Orman Bakanlığı. (2013, 16 Ağustos). Türk Gıda Kodeksi Takviye Edici Gıdalar Tebliği (Tebliğ No: 2013/49). *Resmî Gazete*, 28737. Erişim adresi: <https://www.resmigazete.gov.tr/eskiler/2013/08/20130816-16.htm>
15. El-Dahiyat, F., Rashid, A., & Almasri, H. (2020). Public awareness regarding the use of herbal medicines and drug interactions: A cross-sectional study. *Pharmacy Practice*, 18(4), 2059.
16. Asher, G. N., Corbett, A. H., & Hawke, R. L. (2017). Common herbal dietary supplement–drug interactions. *American Family Physician*, 96(2), 101–107.
17. Izzo, A. A., & Ernst, E. (2009). Interactions between herbal medicines and prescribed drugs: A systematic review. *Drugs*, 69(13), 1777–1798.
18. Fugh-Berman, A. (2000). Herb–drug interactions. *The Lancet*, 355(9198), 134–138.
19. World Health Organization. (2021). Global report on traditional and complementary medicine 2021. World Health Organization.. <https://www.who.int/health-topics/traditional-complementary-and-integrative-medicine>
20. Bent, S., Goldberg, H., Padula, A., & Avins, A. L. (2005). Spontaneous bleeding associated with ginkgo biloba: A case report and systematic review of the literature. *Journal of General Internal Medicine*, 20(7), 657–661.
21. Yuan, C. S., Wei, G., Dey, L., Karrison, T., Nahlik, L., Maleckar, S., & Ang-Lee, M. (2004). American ginseng reduces warfarin's effect in healthy patients: A randomized, controlled trial. *Annals of Internal Medicine*, 141(1), 23–27.
22. Gui, Q. F., Xu, Z. R., Xu, K. Y., & Yang, Y. M. (2016). The efficacy of ginseng-related therapies in type 2 diabetes mellitus: An updated systematic review and meta-analysis. *Medicine*, 95(6), e2584.
23. Izzo, A. A. (2005). Herb–drug interactions: An overview of the clinical evidence. *Fundamental & Clinical Pharmacology*, 19(1), 1–16.
24. Ried, K., Frank, O. R., & Stocks, N. P. (2008). Garlic supplementation reduces blood pressure in hypertensive subjects: A systematic review and meta-analysis. *BMC Cardiovascular Disorders*, 8, 13.
25. Rose, K. D., Croissant, P. D., Parliament, C. F., & Levin, M. B. (1990). Spontaneous spinal epidural hematoma with associated platelet dysfunction from excessive garlic ingestion: A case report. *Neurosurgery*, 26(5), 880–882.

COMPUTATIONAL APPROACH FOR AROMATICITY OF TRIAZAPENTACENE

Selçuk GÜMÜŞ

Prof. Dr., Bartın Üniversitesi, Mühendislik, Mimarlık ve Tasarım Fakültesi
Prof. Dr., Bartın University, Faculty of Engineering, Architecture and Design

Ayşegül GÜMÜŞ

Prof. Dr., Bartın Üniversitesi, Fen Fakültesi
Prof. Dr., Bartın University, Faculty of Science

ABSTRACT

Aromaticity constitutes a fundamental concept in organic chemistry, describing the enhanced thermodynamic stability observed in certain cyclic, π -conjugated systems. This stabilization arises from the extensive delocalization of π -electrons over a closed loop of overlapping p-orbitals, resulting in a uniformly conjugated electronic structure. Such systems exhibit significantly lower energies compared to their non-aromatic counterparts, a phenomenon commonly referred to as aromatic stabilization. For a molecule to be classified as aromatic, it must conform to the well-established Hückel criterion, which stipulates that the number of π -electrons within the cyclic conjugated framework must follow the expression $(4n + 2)$, where n is a non-negative integer. Additionally, the molecular framework must adopt a planar geometry to enable effective orbital overlap and continuous electron delocalization. In contrast, cyclic systems that possess $4n$ π -electrons are categorized as antiaromatic; these species are characterized by destabilizing electron delocalization, leading to elevated reactivity and diminished stability. Prototypical aromatic compounds include benzene, naphthalene, and toluene, while extended polycyclic systems such as pentacene exemplify larger π -conjugated architectures. Pentacene consists of five linearly fused benzene rings, forming an extended delocalized system in which each benzenoid unit individually satisfies Hückel's rule. The conjugative interaction among these fused rings further enhances the overall electronic delocalization, contributing not only to the molecule's stability but also to its notable charge transport properties, which underpin its relevance in organic semiconductor applications. Heteroaromatic compounds represent a structurally related class in which one or more carbon atoms within the aromatic ring are replaced by heteroatoms such as nitrogen, oxygen, or sulfur. Despite this substitution, aromatic character is preserved provided that the system maintains cyclic conjugation and satisfies the Hückel electron count. The incorporation of heteroatoms introduces lone pair electrons and modulates the electronic distribution within the ring, thereby influencing reactivity, stability, and physicochemical properties. Representative examples include pyridine, furan, and thiophene, all of which play pivotal roles in synthetic and medicinal chemistry. Quantitative assessment of aromaticity is frequently achieved through computational approaches, among which Nuclear Independent Chemical Shift (NICS) analysis is widely employed. NICS evaluates the magnetic response of a cyclic system by calculating the shielding effects at specific spatial points, typically at or above the ring center. Aromatic systems generate diatropic ring currents under an external magnetic field, yielding negative NICS values indicative of magnetic shielding, whereas antiaromatic systems exhibit paratropic currents associated with positive NICS values. This method provides a reliable metric for comparing aromatic character across diverse molecular frameworks and for probing substituent effects. In the present study, the aromatic properties of triazapentacene derivatives were systematically examined using Density Functional Theory (DFT) calculations, specifically employing the B3LYP functional in conjunction with the 6-31G(d,p) basis set for NICS evaluations.

Substitution of carbon atoms within the pentacene backbone by electronegative nitrogen atoms is anticipated to perturb the π -electron distribution, generally leading to a reduction in aromatic stabilization. Furthermore, the positional arrangement of these nitrogen atoms is expected to exert a significant influence on the overall aromatic character of the system. Accordingly, a comprehensive set of triazapentacene isomers was considered in this investigation. To mitigate the reduction in aromaticity induced by nitrogen incorporation, additional structural modifications were explored through the introduction of electron-withdrawing nitro substituents at ring hydrogen positions, with the aim of restoring or enhancing π -electron delocalization within the framework.

Keywords: Aromaticity, Pentacene, Triazapentacene, NICS, DFT

INTRODUCTION

Aromaticity represents a central paradigm in theoretical and structural organic chemistry, denoting an exceptional degree of stabilization observed in specific cyclic π -electron systems. Although the term historically originated from the sensory properties of certain organic substances, its modern usage is strictly confined to the description of electronic structure. In this context, aromaticity arises from the cyclic and continuous delocalization of π -electrons over a conjugated framework, producing a stabilization effect that significantly exceeds that of isolated or linearly conjugated unsaturated systems.

The prototypical illustration of this phenomenon is benzene (C_6H_6), whose chemical behavior long challenged early structural interpretations. Despite possessing a molecular formula indicative of high unsaturation, benzene does not exhibit the reactivity typical of alkenes or alkynes. Structural models based on alternating single and double bonds proved insufficient until experimental evidence, particularly from X-ray diffraction studies, demonstrated that all carbon-carbon bonds are equivalent and intermediate in length. This uniformity is now understood as a manifestation of complete π -electron delocalization across the planar ring, where overlapping p-orbitals generate a continuous electron cloud above and below the molecular plane.

A rigorous framework for rationalizing aromatic behavior was established through the principles formulated by Erich Hückel. According to this theoretical model, aromaticity is contingent upon several essential criteria. The molecular structure must be cyclic and adopt a planar geometry to enable effective orbital overlap. Furthermore, the system must be fully conjugated, meaning that each atom in the ring contributes a p-orbital to the delocalized network. Most critically, the total number of π -electrons must conform to the $(4n + 2)$ relationship, where n is a non-negative integer. This electron count corresponds to a closed-shell configuration in molecular orbital terms, wherein all bonding orbitals are fully occupied, resulting in maximal stabilization.

Deviations from this electron count lead to markedly different behavior. Systems containing $4n$ π -electrons are classified as antiaromatic and are intrinsically destabilized due to the presence of partially filled or degenerate orbitals. Such configurations give rise to increased reactivity and, in many cases, structural distortion as the molecule attempts to avoid planarity and thereby circumvent antiaromaticity. Alternatively, some compounds adopt non-planar conformations that disrupt conjugation entirely, rendering them non-aromatic despite possessing cyclic structures and multiple π -bonds.

Beyond simple hydrocarbons, the concept of aromaticity extends to heterocyclic systems in which one or more carbon atoms are replaced by heteroatoms such as nitrogen, oxygen, or sulfur. These heteroaromatic compounds preserve aromatic character provided that the requirements of cyclic conjugation and appropriate π -electron count are satisfied.

The incorporation of heteroatoms introduces additional electronic complexity, as lone pair electrons may either participate in the delocalized π -system or remain localized, depending on orbital orientation and hybridization. Consequently, heteroaromatic systems display a broad spectrum of electronic properties, influencing their chemical reactivity, acid–base behavior, and coordination capabilities.

The reactivity patterns of heteroaromatic compounds are strongly governed by their electron distribution. Electron-rich systems, in which heteroatom lone pairs contribute to the aromatic sextet, tend to undergo electrophilic substitution more readily, whereas electron-deficient systems favor nucleophilic processes. Additionally, the availability of non-delocalized lone pairs can enhance basicity and facilitate interactions with metal centers, further diversifying the chemical behavior of these molecules.

Quantitative evaluation of aromaticity has become increasingly reliant on computational methodologies. Among these, Nuclear Independent Chemical Shift (NICS) analysis provides a widely accepted magnetic criterion for assessing aromatic character. By calculating the magnetic shielding at specific points within or above a ring system, NICS values offer insight into the presence and magnitude of induced ring currents. Negative values are indicative of diatropic currents associated with aromatic stabilization, whereas positive values reflect paratropic behavior characteristic of antiaromatic systems.

In the present investigation, a theoretical analysis was conducted to elucidate the impact of incorporating centrally positioned triaza motifs into an anthracene-based framework. The study further examines how different substituents and their positional arrangements modulate the electronic structure and aromatic character of the resulting derivatives. To this end, Density Functional Theory (DFT) calculations were employed, and aromaticity was evaluated through NICS parameters in conjunction with electronic energy analyses. This approach enables a detailed understanding of how structural modifications influence π -electron delocalization and overall molecular stability within these heteroaromatic systems.

METHOD OF CALCULATION

Initial geometries of all molecular systems were generated and pre-optimized employing the semi-empirical PM3 approach within a restricted self-consistent field (SCF) molecular orbital framework, enabling the identification of plausible minimum-energy conformations. These preliminary structures were subsequently refined through density functional theory (DFT) calculations using the B3LYP exchange–correlation functional in conjunction with the 6-31G(d,p) basis set, with no symmetry constraints imposed during the optimization procedure. The B3LYP functional integrates a hybrid formulation that incorporates a fraction of exact Hartree–Fock exchange with density-based exchange and correlation contributions. Specifically, it includes Becke’s gradient-corrected exchange term, the Vosko–Wilk–Nusair (VWN) local correlation functional, and the Lee–Yang–Parr (LYP) correlation correction. This combination has been demonstrated to yield significantly improved accuracy over conventional Hartree–Fock methods, particularly in reproducing experimentally observed molecular properties.

To verify the nature of the optimized geometries, vibrational frequency analyses were performed. The absence of imaginary frequencies across all $3N-6$ normal modes confirmed that each structure corresponds to a true local minimum on the potential energy surface. Nuclear magnetic resonance (NMR) shielding tensors were calculated using the Gauge-Independent Atomic Orbital (GIAO) method at the same level of theory, based on the DFT-optimized geometries. Aromaticity indices were obtained via Nucleus-Independent Chemical Shift (NICS) calculations, evaluated at the geometric centers of the rings (NICS(0)).

All quantum chemical computations were carried out using the Gaussian 16 program suite.

RESULTS AND DISCUSSION

Nucleus-Independent Chemical Shift (NICS) analysis has emerged as a fundamental computational approach for evaluating aromatic character, offering a quantitative probe of the magnetic properties associated with cyclic π -electron delocalization. Aromaticity itself is inherently multifaceted, encompassing electronic delocalization, magnetically induced ring currents, and characteristic shielding phenomena. Conventional structural or energetic descriptors—such as bond length equalization or resonance stabilization—capture only limited aspects of this phenomenon, whereas NICS provides a more unified metric that reflects both electronic structure and magnetic response.

The theoretical basis of NICS lies in the interaction of a molecular system with an external magnetic field. In aromatic systems, the circulation of delocalized π -electrons generates diatropic ring currents, which induce magnetic shielding and yield negative NICS values at or near the center of the ring. In contrast, antiaromatic systems exhibit paratropic currents that produce deshielding effects, resulting in positive NICS values. Systems lacking significant cyclic delocalization typically display values close to zero. These computed magnetic properties show strong correspondence with experimentally observable trends in nuclear magnetic resonance (NMR) spectroscopy, thereby providing a meaningful connection between theoretical predictions and empirical data.

Although early implementations of this method focused on NICS(0), evaluated at the geometric center of the ring, subsequent studies revealed that σ -electron contributions could obscure the π -electron effects at this position. To address this limitation, alternative formulations such as NICS(1), calculated at a distance of 1 Å above or below the ring plane, and the tensor component NICS(1)({zz}), which isolates the perpendicular magnetic contribution, were introduced. These refinements enable a more selective assessment of π -electron delocalization and facilitate spatial analysis of aromatic behavior across molecular frameworks.

One of the principal advantages of NICS is its applicability across a broad range of chemical systems. Unlike certain geometric or energetic criteria that may vary with molecular size or substitution, magnetic shielding values provide a relatively consistent basis for comparison. Consequently, NICS has proven particularly valuable in the study of structurally diverse systems, including polycyclic aromatics, heteroaromatic compounds, organometallic clusters, and non-classical aromatic systems where traditional rules may not be directly applicable. Its compatibility with density functional theory further enhances its utility, allowing for efficient and reliable evaluation of aromaticity in complex molecules.

While aromaticity cannot be fully characterized by a single parameter, NICS is widely regarded as one of the most direct and informative indicators of π -electron delocalization. Its magnetic origin renders it less sensitive to geometric distortions or formal resonance descriptions, and its various extensions such as NICS scans and tensor analyses—have significantly expanded its interpretative power. As a result, it has become an indispensable tool in computational chemistry, contributing to the rational design of molecules, prediction of stability trends, and development of functional materials.

In this study, the complete set of triazaanthracene isomers is illustrated in Figure 1. The introduction of heteroatoms into aromatic frameworks, as well as substitution at peripheral positions, represents a well-established strategy for modulating electronic properties. Accordingly, all conceivable triazaanthracene derivatives, along with their nitro-substituted analogues, were systematically investigated at the B3LYP/6-31G(d,p) level of theory to evaluate their relative stability and aromatic characteristics. Structural modifications involving mono- or dicyclic disruptions at ring junctions were deliberately excluded, as such perturbations compromise the integrity of the conjugated system and lead to loss of aromaticity, as depicted in Figure 1.

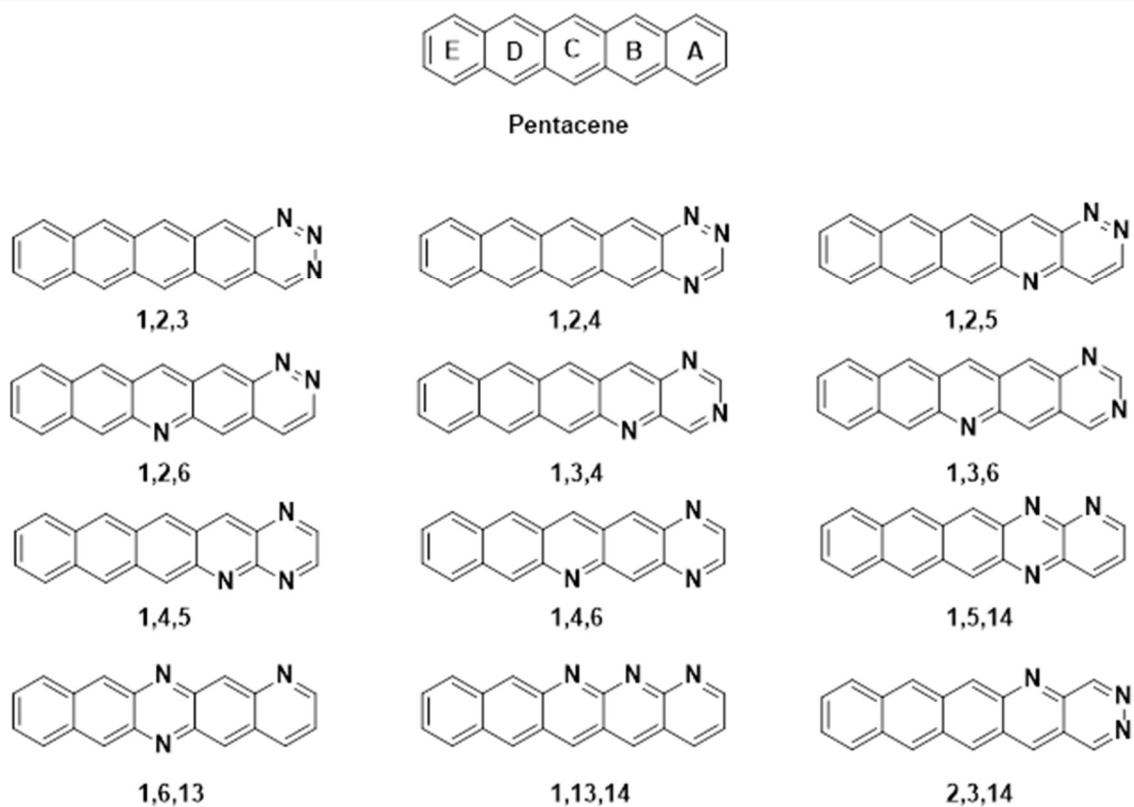


Figure 1. Structures of the triazapentacene derivatives under study

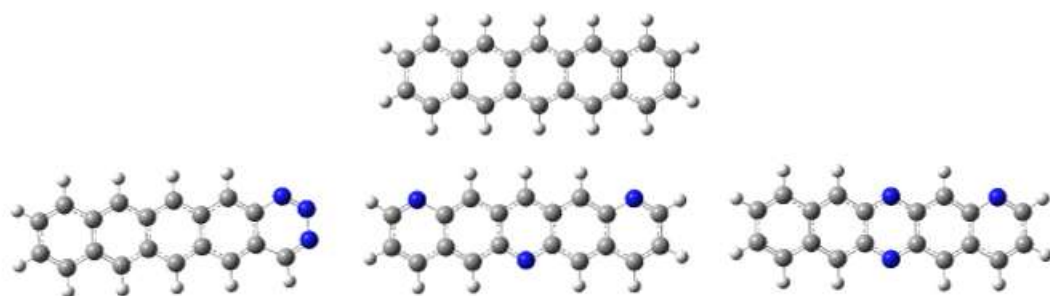


Figure 2. Geometry optimized structures of pentacene, 1,6,11-triazapentacene and 1,6,13-triazapentacene

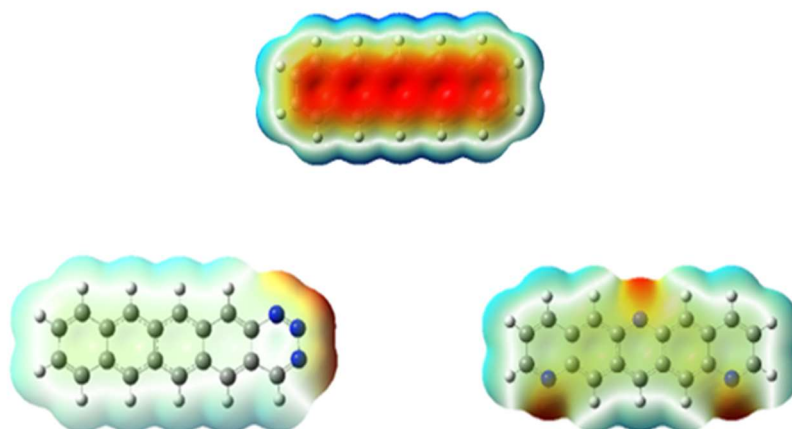


Figure 3. 3D molecular electrostatic maps of pentacene, 1,2-triazapentacene, 1,4-triazapentacene and 5,14-triazapentacene

The fully optimized geometries of pentacene and selected nitrogen-substituted analogues—namely 1,2,3-triazapentacene, 1,6,11-triazapentacene, and 1,6,13-triazapentacene—are presented in Figure 2. In addition, Figure 3 illustrates the molecular electrostatic potential (MEP) surfaces of representative heteroaromatic polycyclic systems in which two nitrogen atoms are incorporated into a single ring. These surfaces provide a visual representation of charge distribution across the molecular framework: regions depicted in red to orange correspond to areas of higher electron density and negative electrostatic potential, whereas blue to green regions indicate comparatively electron-deficient zones with positive potential. The presence of electronegative nitrogen atoms induces localized increases in electron density in their vicinity, thereby perturbing the overall electronic distribution within the conjugated system. Such variations directly influence chemical reactivity by defining preferential sites for electrophilic or nucleophilic attack, reflecting modifications in π -electron delocalization upon heteroatom incorporation.

From a theoretical perspective, aromaticity remains a concept with multiple interpretative frameworks, as emphasized in the literature, where discrepancies often arise between structural, energetic, and magnetic criteria. Among these, magnetic descriptors such as NICS offer a particularly informative measure by probing the extent of π -electron delocalization through induced ring currents. The degree of aromatic stabilization in a given ring system is therefore closely associated with its ability to sustain an appropriate delocalized electron count.

Benzene represents the archetypal aromatic system, characterized by complete delocalization of six π -electrons. Substitution of carbon atoms with heteroatoms disrupts this uniform distribution, generally leading to a reduction in aromatic character. This effect becomes more pronounced with increasing heteroatom content, as observed in the systems investigated in this work. The calculated NICS values for pentacene and its nitrogen-containing derivatives, summarized in Table 1, clearly reflect this trend. For clarity, the five fused rings of pentacene are designated as A through E. In the parent compound, the central ring typically exhibits a strongly negative NICS value (approximately -12.4 ppm), indicative of significant aromatic stabilization. Upon nitrogen incorporation, however, this value progressively shifts toward less negative values. For instance, diaza-substituted derivatives display markedly reduced aromaticity, with central ring NICS values decreasing to -2.3 ppm for the 1,2,3-isomer and -4.5 ppm for the 1,2,4-isomer. Similarly, mono- and alternative diaza substitutions result in intermediate reductions, with values around -8.0 ppm and -3.4 ppm, respectively. These findings demonstrate that heteroatom substitution within the pentacene framework systematically attenuates aromatic stabilization by perturbing the delocalized π -electron network.

Table 1. Calculated NICS data for the present systems

Structures	A	B	C	D	E
Pentacene	8.0	9.2	12.4	9.2	8.0
1,2,3	2.3	9.1	12.4	9.2	8.0
1,2,4	4.5	9.1	12.3	9.2	8.1
1,2,5	4.4	6.0	12.2	9.0	8.0
2,3,5	2.7	6.1	12.4	9.0	8.0
1,2,13	4.1	3.2	12.4	9.2	8.0
1,2,14	4.1	9.2	3.4	9.2	8.1
1,6,11	6.2	6.8	12.4	9.2	6.3
4-nitro-1,2,3	4.7	9.1	12.4	9.2	8.0
13-nitro-1,6,11	4.9	9.1	12.3	9.2	8.1



Figure 4. 3D molecular electrostatic maps of 4-nitro-1,2,3-triazapentacene and 13-nitro-1,6,11-triazapentacene

Nevertheless, the attenuation of aromatic character induced by heteroatom incorporation can be mitigated to a certain extent through strategic peripheral substitution. In particular, replacement of ring hydrogen atoms with highly electron-withdrawing substituents introduces a redistribution of electron density within the conjugated framework. The nitro group, owing to its strong $-I$ and $-M$ effects, effectively withdraws electron density from the heteroatom and redirects it toward the π -system of the ring. This redistribution partially compensates for the disruption in delocalization caused by nitrogen incorporation, thereby enhancing the overall electronic uniformity and restoring a degree of aromatic stabilization. The impact of such substitution is evident from the trends observed in Figure 4 and the corresponding NICS data summarized in Table 1.

CONCLUSION

In summary, incorporation of nitrogen atoms into the anthracene framework exerts a pronounced influence on its aromatic character, as consistently evidenced by both magnetic and structural aromaticity descriptors. The NICS results indicate a substantial attenuation of aromaticity, reflected by a shift toward less negative values, which signifies a disruption in the continuity of π -electron delocalization upon heteroatom substitution. This behavior can be attributed to the electron-withdrawing nature of nitrogen, which perturbs the electronic uniformity of the conjugated system and diminishes the extent of aromatic stabilization.

Complementary to these findings, the HOMA (Harmonic Oscillator Model of Aromaticity) index further corroborates the decline in aromatic character. The observed increase in bond length alternation, deviating from the idealized geometry of a fully delocalized aromatic system, indicates reduced structural uniformity within the ring framework. Such geometric distortions are directly associated with a loss of effective π -conjugation and planarity, both of which are essential for sustaining aromatic stabilization.

Taken together, the agreement between NICS and HOMA analyses provides a coherent picture: nitrogen substitution in anthracene systematically weakens aromaticity by altering both the electronic distribution and geometric parameters of the system. These results offer valuable insight into the role of heteroatoms in modulating the stability and electronic behavior of extended aromatic compounds.

REFERENCES

Becke, A. D. (1988). Density-functional exchange-energy approximation with correct asymptotic behavior. *Physical Review A*, 38(6), 3098-3100. <https://doi.org/10.1103/PhysRevA.38.3098>

Brogli, F., Heilbronner, E., & Kobayashi, T. (1972). Photoelectron spectra of azabenzenes and azanaphthalenes, II. A reinvestigation of azanaphthalenes by high-resolution photoelectron spectroscopy. *Helvetica Chimica Acta*, 55, 274-288. <https://doi.org/10.1002/hlca.19720550131>

Cyranski, M. K., Krygowski, T. M., Katritzky, A. R., & Schleyer, P. R. (2002). To what extent can aromaticity be defined uniquely? *Journal of Organic Chemistry*, 67(4), 1333-1338. <https://doi.org/10.1021/jo016255s>

Frisch, M. J., Trucks, G. W., Schlegel, H. B., Scuseria, G. E., Robb, M. A., Cheeseman, J. R., Scalmani, G., Barone, V., Petersson, G. A., Nakatsuji, H., Li, X., Caricato, M., Marenich, A. V., Bloino, J., Janesko, B. G., Gomperts, R., Mennucci, B., Hratchian, H. P., Ortiz, J. V., Izmaylov, A. F., Sonnenberg, J. L., Williams-Young, D., Ding, F., Lipparini, F., Egidi, F., Goings, J., Peng, B., Petrone, A., Henderson, T., Ranasinghe, D., Zakrzewski, V. G., Gao, J., Rega, N., Zheng, G., Liang, W., Hada, M., Ehara, M., Toyota, K., Fukuda, R., Hasegawa, J., Ishida, M., Nakajima, T., Honda, Y., Kitao, O., Nakai, H., Vreven, T., Throssell, K., Montgomery, Jr., J. A., Peralta, J. E., Ogliaro, F., Bearpark, M. J., Heyd, J. J., Brothers, E. N., Kudin, K. N., Staroverov, V. N., Keith, T. A., Kobayashi, R., Normand, J., Raghavachari, K., Rendell, A. P., Burant, J. C., Iyengar, S. S., Tomasi, J., Cossi, M., Millam, J. M., Klene, M., Adamo, C., Cammi, R., Ochterski, J. W., Martin, R. L., Morokuma, K., Farkas, O., Foresman, J. B., & Fox, D.J. (2016) Gaussian, Inc., Wallingford CT.

Ghiasi, R. (2005). The mono- and di-silanaphthalene: Structure, properties, and aromaticity. *Journal of Molecular Structure (Theochem)*, 718, 225-233. <https://doi.org/10.1016/j.theochem.2004.11.038>

Glukhovtsev, M. N. (1997). Aromaticity today: Energetic and structural criteria. *Journal of Chemical Education*, 74(2), 132-136. <https://doi.org/10.1021/ed074p132>

Gümüş, S. (2011). The aromaticity of substituted diazanaphthalenes. *Computational Theoretical Chemistry*, 963, 263-267. <https://doi.org/10.1016/j.comptc.2010.10.026>

Gümüş, S. (2011). A computational study on substituted diazabenzenes. *Turkish Journal of Chemistry*, 35(6), 803-808.

Hehre, W. J., Radom, L., Schleyer, P. R., & Pople, J. A. (1986). *Ab Initio Molecular Orbital Theory*. Wiley, New York.

Heinis, T., Chowdhury, S., & Kebarle, P. (1993). Electron affinities of naphthalene, anthracene, and substituted naphthalenes and anthracenes. *Organomass Spectrometry*, 28(4), 358-365. <https://doi.org/10.1002/oms.1210280416>

Jiao, H., & Schleyer, P. R. (1998). Aromaticity of pericyclic reaction transition structures: Magnetic evidence. *Journal of Physical Organic Chemistry*, 11(8-9), 655-662. [https://doi.org/10.1002/\(SICI\)1099-1395\(199808/09\)11:8/9<655::AID-POC66>3.3.CO;2-](https://doi.org/10.1002/(SICI)1099-1395(199808/09)11:8/9<655::AID-POC66>3.3.CO;2-)

Kaim, W., Tesmann, H., & Bock, H. (1980). Me₃C-, Me₃Si-, Me₃Ge-, Me₃Sn- and Me₃Pb-substituted benzol- and naphthalene derivatives and their radical anions. *Chemische Berichte*, 113, 3221-3234. <https://doi.org/10.1002/cber.19801131010>

Kitagawa, T. (1968). Stark spectroscopy of molecular crystals. *Journal of Molecular Spectroscopy*, 26, 1-23. [https://doi.org/10.1016/0022-2852\(68\)90139-2](https://doi.org/10.1016/0022-2852(68)90139-2)

Klasinc, L., Kovac, B., & Gusten, H. (1983). Photoelectron spectra of acenes. Electronic structure and substituent effects. *Pure and Applied Chemistry*, 55(2), 289-298. <https://doi.org/10.1351/pac198855020289>

Kohn, W., & Sham, L. J. (1965). Self-consistent equations including exchange and correlation effects. *Physical Review*, 140(A1133-A1138). <https://doi.org/10.1103/PhysRev.140.A1133>

Krygowski, T. M., Cyranski, M. K., Czarnocki, Z., Hafelinger, G., & Katritzky, A. R. (2000). Aromaticity: A theoretical concept of immense practical importance. *Tetrahedron*, 56(10), 1783-1796. [https://doi.org/10.1016/S0040-4020\(99\)00979-5](https://doi.org/10.1016/S0040-4020(99)00979-5)

Lardin, H. A., Squires, R. R., & Wenthold, P. G. (2001). Determination of the electron affinities of alpha- and beta-naphthyl radicals using the kinetic method with full entropy analysis. *Journal of Mass Spectrometry*, 36(7), 607-615. <https://doi.org/10.1002/jms.159>

Lee, C., Yang, W., & Parr, R. G. (1988). Development of the Colle-Salvetti correlation-energy formula into a functional of the electron density. *Physical Review B*, 37, 785-789. <https://doi.org/10.1103/PhysRevB.37.785>

Meot-Ner, M., Liebman, J. F., & Kafafi, S. A. (1988). Ionic probes of aromaticity in annelated rings. *Journal of the American Chemical Society*, 110(16), 5937-5941. <https://doi.org/10.1021/ja00226a001>

Minkin, V. I., Glukhovtsev, M. N., & Simkin, B. Y. (1994). *Aromaticity and Antiaromaticity: Electronic and Structural Aspects*. Wiley, New York.

Parr, R. G., & Yang, W. (1989). *Density Functional Theory of Atoms and Molecules*. Oxford University Press, London.

Patchkovskii, S., & Thiel, W. (2002). Nucleus-independent chemical shifts from semiempirical calculations. *Journal of Molecular Modeling*, 6, 67-75. <https://doi.org/10.1007/PL00010736>

Pulay, P., Hinton, J. F., & Wolinski, K. (1993). Nuclear magnetic shieldings and molecular structure. In J. A. Tossel (Ed.), *NATO ASI Series C*, vol. 386 (pp. 243-268). Kluwer, The Netherlands.

Quinonero, D., Garau, C., Frontera, A., Ballester, P., Costa, A., Deya, P. M. (2002). Quantification of aromaticity in oxocarbons: The problem of the fictitious "nonaromatic" reference system. *Chemistry - A European Journal*, 8(2), 433-438. [https://doi.org/10.1002/1521-3765\(20020118\)8:2<433::AID-CHEM433>3.3.CO;2-K](https://doi.org/10.1002/1521-3765(20020118)8:2<433::AID-CHEM433>3.3.CO;2-K)

Schafer, W., Schweig, A., Markl, G., & Heier, K. H. (1973). Zur elektronenstruktur der λ^3 - und λ^5 -phosphanaphthaline - ungewöhnlich grosse Modestabilisierungen. *Tetrahedron Letters*, 3743-3746. [https://doi.org/10.1016/S0040-4039\(01\)87025-8](https://doi.org/10.1016/S0040-4039(01)87025-8)

Schafer, W., Schweig, A., Vermeer, H., Bickelhaupt, F., & Graaf, H. D. (1975). On the nature of the "free electron pair" on phosphorus in aromatic phosphorus compounds: The photoelectron spectrum of 2-phosphanaphthalene. *Journal of Electron Spectroscopy and Related Phenomena*, 6, 91-98. [https://doi.org/10.1016/0368-2048\(75\)80001-6](https://doi.org/10.1016/0368-2048(75)80001-6)

Schiedt, J., Knott, W. J., Barbu, K. L., Schlag, E. W., & Weinkauff, R. (2000). Microsolvation of similar-sized aromatic molecules: Photoelectron spectroscopy of bithiophene, azulene, and naphthalene-water anion clusters. *Journal of Chemical Physics*, 113, 9470-9478. <https://doi.org/10.1063/1.1319874>

Schleyer, P. R. (2001). Introduction: Aromaticity. *Chemical Reviews*, 101(4), 1115-1118. <https://doi.org/10.1021/cr0103221>

Schleyer, P. R., & Jiao, H. (1996). What is aromaticity? *Pure and Applied Chemistry*, 68(2), 209-218. <https://doi.org/10.1351/pac199668020209>

INVESTIGATION OF POTENTIAL SEMICONDUCTORS BASED ON DONOR-ACCEPTOR TYPE SYSTEMS

Selçuk GÜMÜŞ

Prof. Dr., Bartın Üniversitesi, Mühendislik, Mimarlık ve Tasarım Fakültesi
Prof. Dr., Bartın University, Faculty of Engineering, Architecture and Design

Ayşegül GÜMÜŞ

Prof. Dr., Bartın Üniversitesi, Fen Fakültesi
Prof. Dr., Bartın University, Faculty of Science

ABSTRACT

Thermally activated delayed fluorescence (TADF) materials constitute an important category of organic emitters distinguished by their ability to utilize thermal energy to facilitate light emission. Unlike conventional fluorescent systems, TADF compounds involve both singlet (S_1) and triplet (T_1) excited states that are energetically close. This small energy difference enables an efficient reverse intersystem crossing (RISC) process, whereby triplet excitons—typically non-emissive—are thermally upconverted into emissive singlet states. As a result, these systems exhibit delayed fluorescence, arising from the time required for thermal activation and state conversion prior to photon emission. The capacity of TADF materials to harness both singlet and triplet excitons significantly enhances their internal quantum efficiency, making them highly attractive for applications in organic light-emitting diodes (OLEDs) and related optoelectronic technologies. By improving exciton utilization and minimizing non-radiative losses, TADF-based emitters contribute to superior electroluminescent performance, improved color purity, and reduced energy consumption. Consequently, they are considered promising candidates for next-generation display systems, solid-state lighting, and sustainable energy devices. From a molecular design perspective, TADF emitters are typically constructed using donor–acceptor architectures. The incorporation of electron-donating and electron-withdrawing moieties promotes spatial separation of frontier molecular orbitals, thereby reducing the singlet–triplet energy gap (ΔE_{ST}). Fine-tuning these electronic interactions enables control over photophysical properties such as emission wavelength, efficiency, and stability. In the present study, a series of donor–acceptor systems incorporating a 2,9-diniro-1,10-phenanthroline-based acceptor unit were theoretically investigated. Their electronic structures and photophysical characteristics were analyzed using density functional theory (DFT) and time-dependent density functional theory (TD-DFT), employing multiple hybrid exchange–correlation functionals alongside various basis sets. The computational results indicate that the majority of the designed molecules exhibit small singlet–triplet energy separations, suggesting strong potential for TADF behavior. Furthermore, their predicted optoelectronic properties highlight their suitability as efficient emitters in OLED applications. Based on these findings, experimental synthesis and characterization of these compounds are strongly encouraged to validate their performance and advance the development of high-efficiency TADF materials.

Keywords: Thermally Activated Delayed Fluorescence, Organic Light-Emitting Diodes, 2,9-diniro-1,10-phenanthroline, donor, acceptor.

INTRODUCTION

Organic light-emitting diodes (OLEDs) represent a major advancement in modern display and illumination technologies, distinguished by their high performance, mechanical flexibility, and energy efficiency. In contrast to conventional light-emitting diodes (LEDs), which are based on inorganic semiconductors, OLEDs utilize organic, carbon-based compounds as the active emissive medium.

This fundamental distinction in material composition enables a diverse range of applications, including ultra-thin, lightweight, and flexible electronic devices. The operating principle of OLEDs is rooted in electroluminescence, whereby light is generated through the recombination of charge carriers injected under an applied electric field.

Structurally, OLED devices consist of multiple thin organic layers, among which the emissive and charge-transport layers play central roles. Light emission occurs in the emissive layer, where electrons injected from the cathode recombine with holes from the anode, forming excitons that subsequently decay radiatively. Unlike liquid crystal displays (LCDs), which require an external backlight, OLEDs are inherently self-emissive, with each pixel functioning as an independent light source. This characteristic leads to superior contrast ratios, true black levels, and enhanced color fidelity (Adachi et al., 2001; Aydemir et al., 2016; Atkins et al., 2006; Baldo et al., 1998, 1999).

One of the most significant advantages of OLED technology is its structural adaptability. OLED devices can be fabricated on flexible substrates such as plastics or textiles, enabling the development of bendable, foldable, and rollable electronic systems. This flexibility has facilitated innovative design concepts, including curved displays, wearable electronics, and rollable screens. Additionally, the minimal thickness of OLED layers contributes to reduced device weight and improved energy efficiency compared to traditional display technologies.

OLEDs have achieved widespread adoption in consumer electronics, particularly in high-end televisions, smartphones, tablets, and monitors. Their ability to deliver high color accuracy, rapid response times, and exceptional contrast has positioned them as a superior alternative to LCD technology. The capability to switch off individual pixels allows OLED displays to achieve true black levels, resulting in more vivid and immersive visual experiences. Furthermore, OLEDs exhibit improved power efficiency when displaying darker content, as energy consumption is directly related to the number of active pixels.

Beyond display applications, OLEDs have also emerged as promising candidates for next-generation lighting technologies. OLED lighting panels produce uniform, diffuse illumination that is softer and more aesthetically pleasing than that of conventional light sources such as LEDs and fluorescent lamps. Their thin, lightweight, and design-flexible nature enables integration into architectural elements, automotive components, and novel lighting fixtures embedded within surfaces. Moreover, OLED-based lighting systems offer environmentally favorable characteristics due to their energy efficiency and reduced material usage (Binggeli et al., 2012; Tsai et al., 2014; Czerwieniec et al., 2011; Çiçek et al., 2018; de Sá et al., 2000; Endo et al., 2009, 2011).

Despite these advantages, several technical challenges continue to limit the widespread deployment of OLED technology. A primary concern is the intrinsic instability of organic materials, particularly in blue-emitting devices, which are prone to degradation during operation (Fourassier, 1984; Förster and Kasper, 1954; Ivanov et al., 2006; Kalyani et al., 2017). This degradation manifests as reduced luminance, spectral shifts, and shortened device lifetimes. Additionally, OLEDs are highly sensitive to environmental factors such as oxygen and moisture, necessitating effective encapsulation strategies to ensure device stability. Another persistent issue is image retention or “burn-in,” which arises from prolonged display of static content and results in irreversible pixel degradation and non-uniform color output. Furthermore, the relatively high fabrication costs associated with OLED production—stemming from complex processing techniques and material expenses—remain a barrier, although ongoing technological advancements are expected to reduce these costs over time.

From a photophysical perspective, the operation of OLEDs is closely related to the processes of fluorescence and phosphorescence, both of which fall under the broader category of photoluminescence. These processes involve the absorption of energy followed by its re-emission as light, yet they differ fundamentally in their mechanisms and timescales.

Fluorescence is characterized by prompt emission, typically occurring on the nanosecond timescale, as excited electrons return from singlet excited states to the ground state. This process is highly efficient but ceases almost immediately once the excitation source is removed, making it suitable for applications requiring rapid and sensitive optical responses.

Phosphorescence, in contrast, involves a transition from an excited singlet state to a triplet state via intersystem crossing, followed by a radiative return to the ground state. Due to the spin-forbidden nature of this transition, the emission process is significantly slower, ranging from microseconds to several hours. This delayed emission underlies applications such as persistent luminescent materials, safety indicators, and security technologies that rely on prolonged afterglow effects.

The interplay of these radiative and non-radiative processes is commonly illustrated in the Jablonski diagram, a conceptual framework used in photophysics to depict electronic states and transitions within a molecule. In this representation, singlet states (S_0 , S_1 , S_2) and triplet states (T_1 , T_2) are shown along with the various pathways connecting them. Upon photon absorption, a molecule is promoted from the ground state (S_0) to an excited singlet state. It may then undergo non-radiative relaxation processes such as internal conversion before returning to the ground state via fluorescence. Alternatively, intersystem crossing can populate a triplet state, from which the molecule may emit light more slowly through phosphorescence. The Jablonski diagram thus provides a comprehensive visualization of the fundamental photophysical mechanisms governing light absorption and emission in molecular systems (Figure 1)

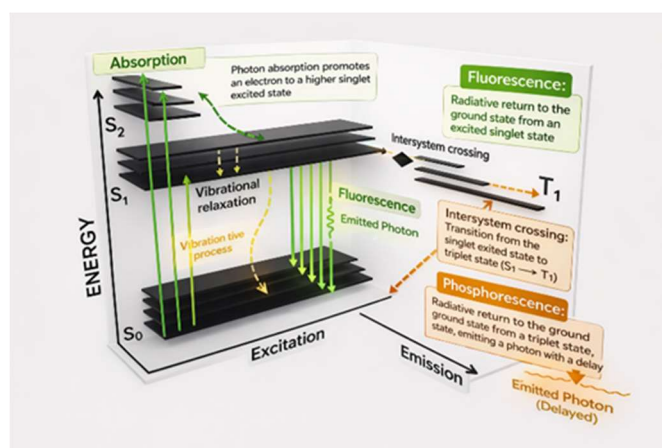


Figure 1. Three dimensional Jablonski Diagram

A series of nitro phenanthroline-based molecules (Figure 2) were designed and analyzed to investigate their structural and electronic properties using Density Functional Theory (DFT). These donor acceptor (D- π -A) systems display promising characteristics for applications in organic optoelectronic technologies, such as organic solar cells, OLEDs, and fluorescent organic materials.

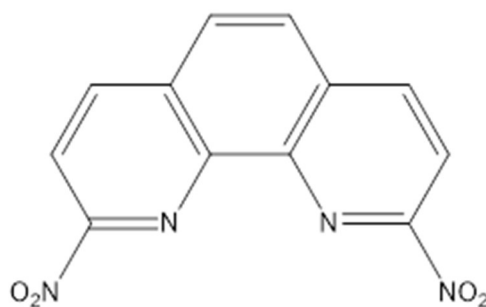


Figure 2. Structure of the parent compound (2,9-dinitro-1,10-phenanthroline-P)

METHOD OF CALCULATION

The equilibrium geometries of all investigated molecules in their singlet ground state (S_0) were determined through Density Functional Theory (DFT) calculations carried out with the Gaussian 16W software package (Frisch et al., 2016). Two hybrid exchange–correlation functionals, B3LYP and CAM-B3LYP, were employed. The B3LYP functional integrates Becke’s three-parameter exchange formulation (Becke, 1988) with the Lee–Yang–Parr correlation functional (Lee et al., 1988). These approaches, supplemented by semi-empirical corrections derived from the uniform electron gas model (Zhao and Truhlar, 2006, 2008; Karton et al., 2008), improve the treatment of dispersion interactions and mitigate known deficiencies of conventional DFT methods.

To verify the nature of the optimized structures, harmonic vibrational frequency calculations were performed at the same level of theory. The absence of imaginary frequencies confirmed that all geometries correspond to true local minima on the potential energy surface. Additionally, vibrational analyses were conducted over the full set of $3N-6$ normal modes, where N denotes the total number of atoms in each molecule.

Subsequently, excited-state geometries were optimized to locate minimum-energy conformations for the lowest-lying singlet (S) and triplet (T) states. Electronic excitation properties were investigated using Time-Dependent Density Functional Theory (TD-DFT) with various hybrid functionals and basis sets. Vertical excitation energies and oscillator strengths were computed at the ground-state geometries, enabling the characterization of absorption features such as maximum absorption wavelengths, transition intensities, and the principal electronic configurations involved (Casida et al., 1998).

Although discrepancies between theoretical and experimental values may arise, previous studies have demonstrated that hybrid functionals such as PBE0, wB97XD, and CAM-B3LYP often provide improved accuracy in predicting excitation energies (Yanez et al., 2017). In this work, TD-DFT calculations were primarily performed at the B3LYP/6-311++G(d,p) level, and the obtained results were comparatively evaluated.

RESULTS AND DISCUSSION

The increasing need for sustainable and scalable energy technologies has driven the exploration of alternative material platforms that are cost-effective, environmentally benign, and structurally versatile. In this regard, organic semiconductors present a compelling alternative to conventional inorganic materials such as silicon, owing to their low fabrication costs, mechanical flexibility, and lightweight nature. These advantages are largely attributed to their high optical absorption coefficients, which enable efficient light–matter interactions in thin-film devices.

In conventional fluorescent organic systems, the fraction of excitons contributing to radiative emission is inherently limited to approximately 25%, due to spin statistics governing singlet and triplet formation (Baldo et al., 1999; Segal et al., 2003). The introduction of phosphorescent emitters has addressed this limitation by enabling the utilization of both singlet and triplet excitons, achieving near-unity internal quantum efficiencies through strong spin–orbit coupling effects. These effects are typically induced by heavy metal centers such as iridium or platinum (Baldo et al., 1998; Wilson et al., 2001; Sun et al., 1999; Adachi et al., 2001; O’Brien et al., 1999). However, the dependence on scarce and expensive noble metals poses economic and sustainability challenges for large-scale applications. As a result, devices based on purely fluorescent and phosphorescent mechanisms have historically exhibited external quantum efficiency (EQE) limits of approximately 5% and 20%, respectively. To overcome these constraints, alternative mechanisms capable of harvesting non-emissive triplet excitons have been proposed, including triplet-to-singlet upconversion processes (Meerholz and Müller, 2001).

One of the most promising approaches in this context is Thermally Activated Delayed Fluorescence (TADF), which has stimulated extensive research into the design and synthesis of suitable molecular systems (Endo et al., 2009, 2011; Czerwieniec and Yersin, 2011; Leidl et al., 2013). The TADF mechanism relies on reducing the energy gap (ΔE_{ST}) between the lowest singlet (S_1) and triplet (T_1) excited states. When this gap is sufficiently small, thermal energy can facilitate reverse intersystem crossing (RISC), allowing triplet excitons to be converted back into singlet excitons in accordance with Boltzmann population distributions. This “singlet harvesting” mechanism significantly enhances the proportion of radiative decay pathways, enabling EQE values that rival those of phosphorescent systems (Endo et al., 2011; Leidl et al., 2013).

A key molecular design principle for achieving efficient TADF involves minimizing orbital overlap between the highest occupied molecular orbital (HOMO) and the lowest unoccupied molecular orbital (LUMO), thereby reducing ΔE_{ST} . This is typically accomplished by spatially separating electron-donating and electron-accepting moieties within a molecule. In such architectures, the HOMO is predominantly localized on donor units, while the LUMO resides on acceptor fragments. Further reduction of orbital overlap can be achieved through steric engineering, such as the incorporation of bulky substituents or rigid structural motifs (e.g., spiro linkages), which enforce a twisted conformation and enhance electronic decoupling (Endo et al., 2011).

In line with these design strategies, the present study focuses on a series of donor–acceptor (D– π –A) derivatives based on the 2,9-dinitro-1,10-phenanthroline core. Structural modification of this scaffold was achieved through the incorporation of π -conjugated linkers (–ene units) and various electron-donating groups, including anthracene (A1), pyrene (A2), and triphenylamine (A3). The selection of this molecular framework is informed by prior spectroscopic investigations of the parent 2,9-dinitro-1,10-phenanthroline system (Khodaei et al., 2012; Nishida et al., 2004; Ivanov et al., 2006). By integrating strong electron-withdrawing functionalities with tailored donor components, this work aims to develop new molecular candidates exhibiting efficient TADF behavior through optimized electronic structure and excited-state dynamics.

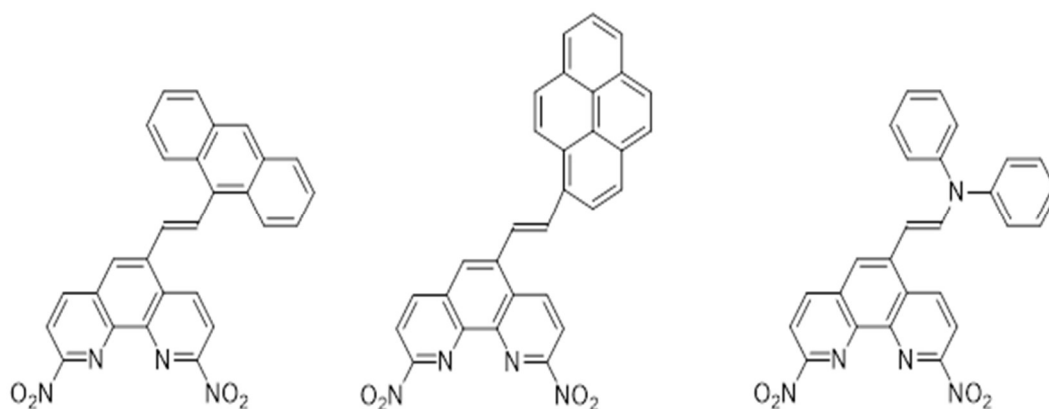


Figure 3. Structures of the compounds in this study

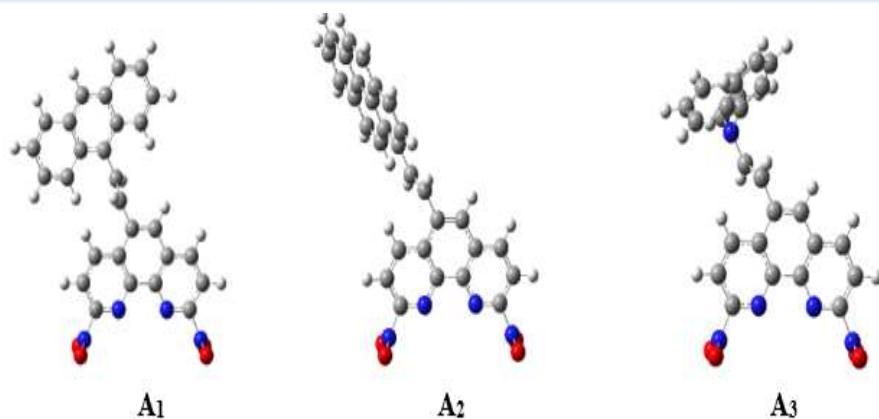


Figure 4. Geometry optimized structures of the compounds in this study

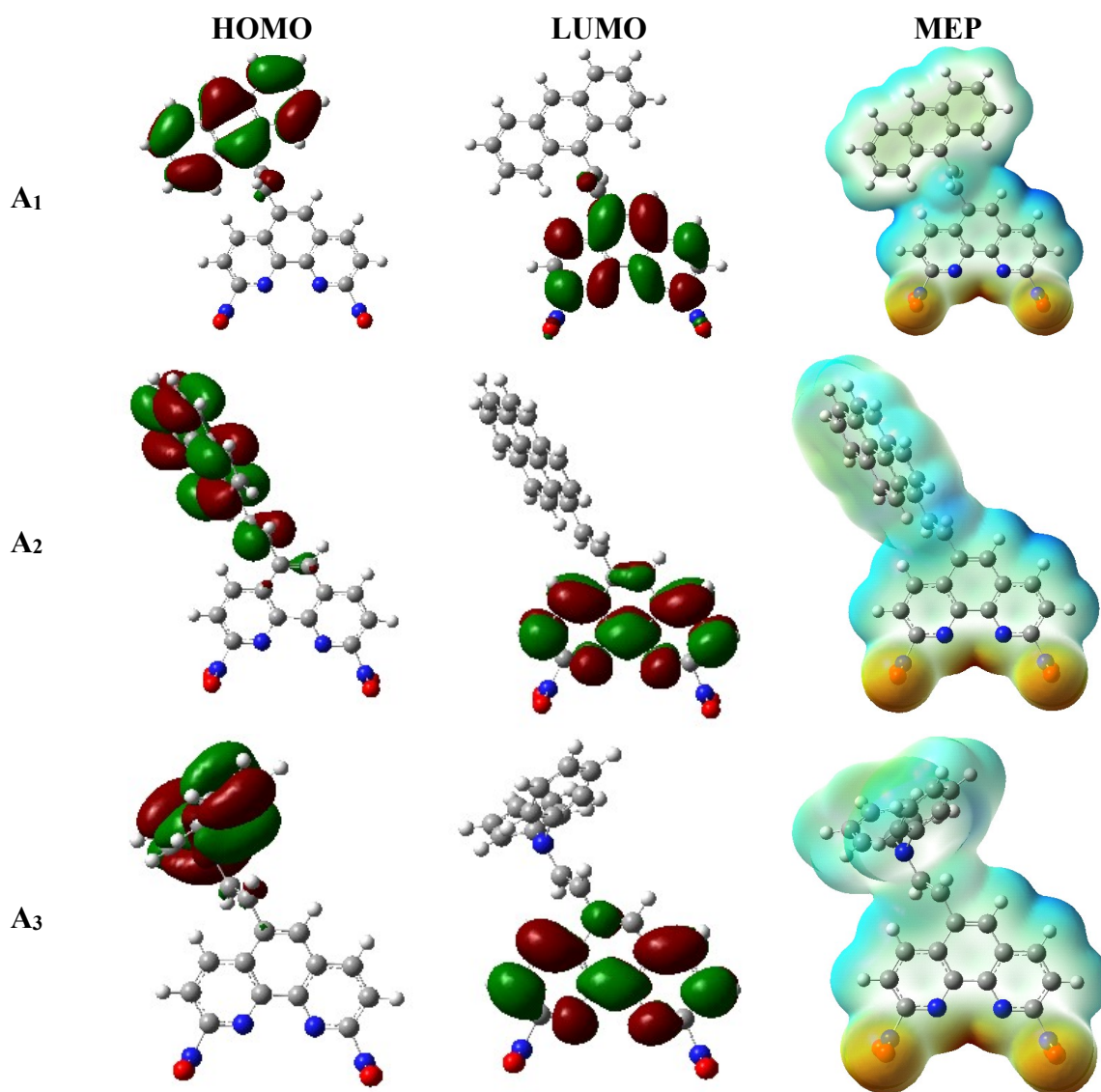


Figure 5. illustrates the frontier molecular orbital (FMO) distributions together with the molecular electrostatic potential (MEP) surfaces for compounds A1, A2 and A3.

The results clearly demonstrate a pronounced spatial separation between the highest occupied molecular orbital (HOMO) and the lowest unoccupied molecular orbital (LUMO).

Specifically, the HOMO is predominantly localized over electron-donating (electron-rich) regions of the molecular framework, whereas the LUMO is mainly distributed across electron-accepting (electron-deficient) segments.

From an electronic structure perspective, the HOMO corresponds to the energetically highest filled orbital and is therefore closely associated with electron donation and chemical reactivity. In contrast, the LUMO represents the lowest-energy vacant orbital and serves as the primary site for electron acceptance. This donor–acceptor-type orbital separation is indicative of intramolecular charge transfer characteristics within the studied systems.

The presence of strongly electron-withdrawing cyano substituents significantly modulates the overall electron density distribution. These groups effectively draw electron density away from the conjugated framework, particularly influencing the phenanthroline core. This effect is consistently observed in both the FMO representations and the MEP surfaces. The MEP analysis further supports this interpretation by revealing regions of negative electrostatic potential concentrated around electron-rich domains, while areas of positive potential are associated with comparatively electron-deficient sites, including those influenced by substituent effects.

Such an uneven electrostatic landscape has important implications for the chemical behavior of these molecules. Electron-deficient regions are more prone to nucleophilic interactions, whereas electron-rich domains are more likely to participate in electrophilic processes. Consequently, the observed electronic distributions provide valuable predictive insight into site-selective reactivity.

Overall, the combined FMO and MEP analyses offer a comprehensive understanding of the electronic architecture of these compounds, which is critical for evaluating their reactivity profiles as well as their suitability in electronic and optoelectronic applications, where efficient charge separation and transfer are essential.

Table 1. Results of computations for A1, A2 and A3 (All data are in eV)

Compound	DFT			TD-DFT (ΔE_{ST})
	B3LYP/6-311++(d,p)			B3LYP
	HOMO	LUMO	ΔE	6-311++(d,p)
P	-5.73	-1.63	4.10	0.52
A1	-5.26	-2.86	2.40	0.26
A2	-5.21	-2.67	2.54	0.14
A3	-5.14	-3.22	1.92	0.12

Minimization of the singlet–triplet energy splitting (ΔE_{ST}) between the first excited singlet (S_1) and triplet (T_1) states is a fundamental design criterion for high-performance thermally activated delayed fluorescence (TADF) systems. Efficient TADF arises when the exchange interaction between these states is sufficiently small, thereby enabling thermally assisted reverse intersystem crossing, as outlined by Turro (Turro, 1991). Contemporary molecular design strategies have therefore concentrated on intramolecular donor–acceptor (D–A) architectures, similar to those examined in the present study, where electronic decoupling between frontier orbitals can be systematically controlled (Li et al., 2014). In particular, the rational selection of donor and acceptor fragments is essential for achieving spatial separation of the highest occupied molecular orbital (HOMO) and lowest unoccupied molecular orbital (LUMO), a prerequisite for tuning emission across the visible spectrum.

To elucidate the electronic and structural characteristics of the investigated systems (A1, A2, and A3), Time-Dependent Density Functional Theory (TD-DFT) calculations were conducted at the B3LYP/6-311++G(d,p) level of theory. The computed HOMO–LUMO energy levels and corresponding Δ EST values are compiled in Table 1. The extent of spatial and energetic separation between these frontier orbitals plays a decisive role in reducing Δ EST. For reference, the parent phenanthroline system (P) exhibits a Δ EST value of 0.52 eV at the same level of theory. In contrast, all designed derivatives display substantially lower Δ EST values, falling below the commonly accepted threshold of 0.26 eV required for effective TADF behavior. Among the studied compounds, A3 is particularly noteworthy, as it demonstrates an almost vanishing energy difference between the S_1 and T_1 states. This feature, combined with its highly twisted molecular conformation and pronounced spatial segregation of HOMO and LUMO densities, suggests a strong propensity for efficient reverse intersystem crossing. Consequently, A3 emerges as a highly promising candidate for TADF-based optoelectronic applications.

CONCLUSION

In the present work, a series of 2,9-dinitro-1,10-phenanthroline-derived systems (A1, A2, and A3) were systematically examined using computational approaches in order to elucidate their structural and electronic properties. Given the well-established relevance of such organic frameworks in organic light-emitting diode (OLED) technologies, particular emphasis was placed on evaluating their semiconducting behavior. In addition, their suitability as Thermally Activated Delayed Fluorescence (TADF) materials was explored, with the aim of assessing their ability to enhance emission efficiency via thermally assisted upconversion processes.

The molecular design strategy incorporated recognized electron-donating units, such as anthracene, in combination with established acceptor moieties to promote donor–acceptor interactions favorable for TADF activity. Density Functional Theory (DFT) calculations, performed at multiple levels of theory, were utilized to characterize both the optimized geometries and the electronic structures of the proposed compounds. Among the investigated systems, A3 was identified as the most promising candidate, exhibiting pronounced spatial separation between the HOMO and LUMO distributions alongside a suitably small singlet–triplet energy gap (Δ EST).

Moreover, all examined derivatives displayed frontier orbital energy gaps below 4.0 eV, indicating their potential applicability as organic semiconductors. These findings suggest that the studied compounds are viable candidates for integration into OLED architectures as well as other optoelectronic devices requiring efficient charge transport and emission properties.

REFERENCES

- Adachi, C., Baldo, M. A., Thompson, M. E., & Forrest, S. R. (2001). Nearly 100% internal phosphorescence efficiency in an organic light-emitting device. *Journal of Applied Physics*, 90(10), 5048–5051. DOI: 10.1063/1.1417016
- Aydemir, M., Haykır, G., Battal, A., Jankus, V., Sugunan, S. K., Dias, F. B., Attar, H., Türksoy, F., Tavaslı, M., & Monkman, A. P. (2016). High efficiency OLEDs based on anthracene derivatives: The impact of electron donating and withdrawing group on the performance of OLED. *Organic Electronics*, 30, 149–157. DOI: 10.1016/j.orgel.2016.01.012
- Atkins, P., Overton, T., Rourke, J., Weller, M., Armstrong, F., & Shriver, D. (2006). *Inorganic Chemistry* (4th ed.). Oxford University Press.
- Baldo, M. A., O'Brien, D. A., Thompson, M. E., & Forrest, S. R. (1999). Excitonic singlet-triplet ratio in a semiconducting organic thin film. *Physical Review B*, 60(20), 14422–14428. DOI: 10.1103/PhysRevB.60.14422

Baldo, M. A., O'Brien, D. F., You, Y., Shoustikov, A., Sibley, S., Thompson, M. E., & Forrest, S. R. (1998). Highly efficient phosphorescent emission from organic electroluminescent devices. *Nature*, 395(6698), 151–154. DOI: 10.1038/25955

Baldo, M. A., Lamansky, S., Burrows, P. E., Thompson, M. E., & Forrest, S. R. (1999). Very high-efficiency green organic light-emitting devices based on electrophosphorescence. *Applied Physics Letters*, 75(1), 4–6. DOI: 10.1063/1.124289

Becke, A. D. (1988). Density-functional exchange-energy approximation with correct asymptotic behavior. *Physical Review A*, 38(6), 3098–3100. DOI: 10.1103/PhysRevA.38.3098

Binggeli, C. (2012). *Interior Graphic Standards: Student Edition*. Wiley.

Tsai, Y. S., Hong, L. A., Juang, F. S., & Chen, C. Y. (2014). Blue and white phosphorescent organic light emitting diode performance improvement by confining electrons and holes inside double emitting layers. *Journal of Luminescence*, 153, 312–316. DOI: 10.1016/j.jlumin.2014.05.030

Casida, M. E., Jamorski, C., Casida, K. C., & Salahub, D. R. (1998). Molecular excitation energies to high-lying bound states from time-dependent density-functional response theory: Characterization and correction of the time-dependent local density approximation ionization threshold. *Journal of Chemical Physics*, 108(11), 4439–4449. DOI: 10.1063/1.476037

Czerwieniec, R., Yu, J., & Yersin, H. (2011). Blue-Light Emission of Cu(I) Complexes and Singlet Harvesting. *Inorganic Chemistry*, 50(17), 8293–8301. DOI: 10.1021/ic2012898

Çiçek, B., Çalışır, Ü., Tavaslı, M., Tülek, R., & Teke, A. (2018). Synthesis and optical characterization of novel carbazole Schiff bases. *Journal of Molecular Structure*, 1153, 42–47. DOI: 10.1016/j.molstruc.2017.10.078

de Sa, G. F., Malta, O. L., de Mello, D. C., Simas, A. M., Longo, R. L., Santa-Cruz, P. A., & da Silva, E. F. (2000). Spectroscopic properties and design of highly luminescent lanthanide coordination complexes. *Coordination Chemistry Reviews*, 196, 165–195. DOI: 10.1016/S0010-8545(99)00152-7

Endo, A., Ogasawara, M., Takahashi, A., Yokoyama, D., Kato, Y., & Adachi, C. (2009). Thermally activated delayed fluorescence from Sn⁴⁺-porphyrin complexes and their application to organic light emitting diodes — A novel mechanism for electroluminescence. *Advanced Materials*, 21(45), 4802–4806. DOI: 10.1002/adma.200902276

Endo, A., Sato, K., Yoshimura, K., Kai, T., Kawada, A., Miyazaki, H., & Adachi, C. (2011). Efficient up-conversion of triplet excitons into a singlet state and its application for organic light emitting diodes. *Applied Physics Letters*, 98(8), 083302–083302. DOI: 10.1063/1.3551298

Frisch, M. J., Trucks, G. W., Schlegel, H. B., Scuseria, G. E., Robb, M. A., Cheeseman, J. R., Scalmani, G., Barone, V., Petersson, G. A., Nakatsuji, H., Li, X., Caricato, M., Marenich, A. V., Bloino, J., Janesko, B. G., Gomperts, R., Mennucci, B., Hratchian, H. P., Ortiz, J. V., Izmaylov, A. F., Sonnenberg, J. L., Williams-Young, D., Ding, F., Lipparini, F., Egidi, F., Goings, J., Peng, B., Petrone, A., Henderson, T., Ranasinghe, D., Zakrzewski, V. G., Gao, J., Rega, N., Zheng, G., Liang, W., Hada, M., Ehara, M., Toyota, K., Fukuda, R., Hasegawa, J., Ishida, M., Nakajima, T., Honda, Y., Kitao, O., Nakai, H., Vreven, T., Throssell, K., Montgomery, Jr., J. A., Peralta, J. E., Ogliaro, F., Bearpark, M. J., Heyd, J. J., Brothers, E. N., Kudin, K. N., Staroverov, V. N., Keith, T. A., Kobayashi, R., Normand, J., Raghavachari, K., Rendell, A. P., Burant, J. C., Iyengar, S. S., Tomasi, J., Cossi, M., Millam, J. M., Klene, M., Adamo, C., Cammi, R., Ochterski, J. W., Martin, R. L., Morokuma, K., Farkas, O., Foresman, J. B., & Fox, D. J. (2016). *Gaussian, Inc., Wallingford CT*.

Fourassier, C. (1984). *Luminescence*. *Encyclopedia of Inorganic Chemistry*. Academic Press.

Förster, T., & Kasper, K. (1954). Ein Konzentrationsumschlag der Fluoreszenz. *Zeitschrift für Physikalische Chemie*, 1(5–6), 275–277. DOI: 10.1515/zpch-1954-0109

Ivanov, M. A., Puzyk, M. V., & Balashev, K. P. (2006). Spectroscopic and electrochemical properties of dichlorodiimine complexes of Au(III) and Pt(II) with 1,4-diazine derivatives of o-phenanthroline. *Russian Journal of General Chemistry*, 76(6), 843–848. DOI: 10.1134/S107036320606022X

Kalyani, N. T., Swart, H., & Dhoble, S. J. (2017). Principles and applications of organic light emitting diodes (OLEDs). Woodhead Publishing.

Kohn, W., & Sham, L. J. (1965). Self-consistent equations including exchange and correlation effects. *Physical Review*, 140(4A), 1133–1138. DOI: 10.1103/PhysRev.140.A1133

Karton, A., Tarnopolsky, A., Lamre, J. F., Schatz, G. C., & Martin, J. M. L. (2008). Highly accurate first-principles benchmark data sets for the parametrization and validation of density functional and other approximate methods. Derivation of a robust, generally applicable, double-hybrid functional for thermochemistry and thermochemical kinetics. *Journal of Physical Chemistry A*, 112(50), 12868–12886. DOI: 10.1021/jp805586g

Khodae, Z., Yahyazadeh, A., Mahmoodi, N. O., Zanjanchi, M. A., & Azimi, V. (2012). One-pot synthesis and characterization of new cuprous pyrazinoporphyrazines containing peripherally functionalized units. *Journal of Molecular Structure*, 1029, 92–97. DOI: 10.1016/j.molstruc.2012.03.037

Lee, C., Yang, W., & Parr, R. G. (1988). Development of the Colle–Salvetti correlation energy formula into a functional of the electron density. *Physical Review B*, 37(2), 785–789. DOI: 10.1103/PhysRevB.37.785

Leitl, M. J., Küchle, F. R., Mayer, H. A., Wesemann, L., & Yersin, H. (2013). Brightly blue and green emitting Cu(I) dimers for singlet harvesting in OLEDs. *Journal of Physical Chemistry A*, 117(48), 11823–11836. DOI: 10.1021/jp407706u

Li, P., Cui, Y., Song, C., & Zhang, H. (2017). A systematic study of phenoxazine-based organic sensitizers for solar cells. *Dyes and Pigments*, 137, 12–23. DOI: 10.1016/j.dyepig.2016.09.023

Li, J., Zhang, Q., Nomura, H., Miyazaki, H., & Adachi, C. (2014). Thermally activated delayed fluorescence from $n\pi^*$ to $n\pi^*$ up-conversion and its application to organic light-emitting diodes. *Applied Physics Letters*, 105(1), 013301–013304. DOI: 10.1063/1.4891059

Lindsey, J., et al. (2014). Anthracene. PhotochemCAD. Retrieved February 20, 2014, from <https://www.photochemcad.com>

Liu, Y. F., Feng, J., Zhang, Y. F., Cui, H. F., Yin, D., Bi, Y. G., Song, J. F., Chen, Q. D., & Sun, H. B. (2014). Improved efficiency of indium-tin-oxide-free flexible organic light-emitting devices. *Organic Electronics*, 15, 478–483. DOI: 10.1016/j.orgel.2013.11.014

McKeever, S. W. (1985). *Thermoluminescence in Solids*. Cambridge University Press.

Meerholz, K., & Müller, D. C. (2001). Outsmarting waveguide losses in thin-film light-emitting diodes. *Advanced Functional Materials*, 11(4), 251–253. DOI: 10.1002/1616-301X(200103)11:4<251::AID-ADFM251>3.0.CO;2-H

Mehes, G., Nomura, H., Zhang, Q., Nakagawa, T., & Adachi, C. (2012). Enhanced electroluminescence efficiency in a spiro-acridine derivative through thermally activated delayed fluorescence. *Angewandte Chemie International Edition*, 51(47), 11311–11315. DOI: 10.1002/anie.201205398

Nakagawa, T., Ku, S. Y., Wong, K. T., & Adachi, C. (2012). Electroluminescence based on thermally activated delayed fluorescence generated by a spirobifluorene donor–acceptor structure. *Chemical Communications*, 48(52), 9580–9582. DOI: 10.1039/c2cc34898j

Nasu, K., Nakagawa, T., Nomura, H., Lin, C. J., Cheng, C. H., Tseng, M. R., Yasuda, T., & Adachi, C. (2013). A highly luminescent spiro-anthracenone-based organic light-emitting diode exhibiting thermally activated delayed fluorescence. *Chemical Communications*, 49(50), 10385–10387. DOI: 10.1039/c3cc45871f

Nishida, J. I., Murai, S., Fujiwara, E., Tada, H., Tomura, M., & Yamashita, Y. (2004). Preparation, characterization, and FET properties of novel dicyanopyrazinoquinoxaline derivatives. *Organic Letters*, 6(11), 2007–2010. DOI: 10.1021/ol0493039

ETHICAL PRINCIPLES AND PATIENT RIGHTS IN EMERGENCY MEDICINE: ETHICAL BALANCE IN DIFFICULT CONDITIONS

Nilüfer DEMİRSOY

Prof. Dr., Eskişehir Osmangazi University, Faculty of Medicine, Department of History of
Medicine and Ethics, Eskişehir, Türkiye

Prof. Dr., Eskişehir Osmangazi University, Faculty of Medicine, Department of History of
Medicine and Ethics, Eskişehir, Türkiye

ORCID ID: 0000-0002-2647-0807

ABSTRACT

Emergency medicine practices are one of the clinical areas where ethical decision-making processes are most intense, with time pressure, uncertainty, limited resources, and life-threatening risks coexisting. In this environment, healthcare professionals must strike a delicate balance between the necessity of providing rapid and effective intervention and the responsibility to protect patient rights and fundamental ethical principles. Respect for autonomy, beneficence, non-maleficence, and justice principles often conflict in emergency department settings, leading to ethically complex situations.

The aim of this presentation is to address how the relationship between ethical principles and patient rights in emergency medicine is shaped under challenging clinical conditions and to discuss ethical dilemmas encountered in clinical practice within the framework of ethical theories. In this context, situations where informed consent is limited, triage practices, protection of patient privacy, end-of-life decisions, and care processes for vulnerable groups are evaluated from an ethical perspective. Furthermore, it is emphasized that decisions made in emergency departments should be based not only on medical necessities but also on human dignity and ethical responsibility.

The study demonstrates that protecting patient rights is not only a legal obligation but also an integral part of the professional ethical responsibility of healthcare professionals. It also considers that ethical dilemmas experienced in the emergency department environment can increase the risk of moral stress and burnout among healthcare workers. In conclusion, increasing ethical awareness in emergency medicine practice, strengthening ethical decision-making skills, expanding case-based ethics training, and developing institutional ethics guidelines are critically important for both effectively protecting patient rights and reducing the ethical burden on healthcare professionals.

Keywords: Emergency medicine, ethical principles, patient rights, ethical dilemmas, triage, autonomy, justice, clinical decision-making

ACİL TIPTA ETİK İLKELER VE HASTA HAKLARI: ZOR KOŞULLARDA ETİK DENGE

ÖZET

Acil tıp uygulamaları; zaman baskısı, belirsizlik, sınırlı kaynaklar ve hayati risklerin aynı anda var olduğu, etik karar verme süreçlerinin en yoğun yaşandığı klinik alanlardan biridir. Bu ortamda sağlık profesyonelleri, hızlı ve etkili müdahalede bulunma zorunluluğu ile hasta haklarını ve temel etik ilkeleri koruma sorumluluğu arasında hassas bir denge kurmak durumundadır. Otonomiye saygı, yararlılık, zarar vermeme ve adalet ilkeleri, acil servis koşullarında sıklıkla birbiriyle çatışabilmekte ve etik açıdan karmaşık durumların ortaya çıkmasına neden olabilmektedir. Bu sunumun amacı, acil tıpta etik ilkeler ile hasta hakları arasındaki ilişkinin zorlayıcı klinik koşullar altında nasıl şekillendiğini ele almak ve klinik pratikte karşılaşılan etik ikilemleri etik kuramlar çerçevesinde tartışmaktır.

Bu kapsamda; bilgilendirilmiş onamın sınırlı olduđu durumlar, triyaj uygulamaları, hasta mahremiyetinin korunması, yaşam sonu kararlar ve kırılğan gruplara yönelik bakım süreçleri etik açıdan değerlendirilmektedir. Ayrıca, acil servislerde alınan kararların yalnızca tıbbi gerekliliklere değil, aynı zamanda insan onuruna ve etik sorumluluğa dayandırılması gerekliliđi vurgulanmaktadır.

Çalışmada, hasta haklarının korunmasının yalnızca hukuki bir yükümlülük olmadığı; sağlık profesyonellerinin mesleki etik sorumluluğunun ayrılmaz bir parçası olduđu ortaya konulmaktadır. Acil servis ortamında yaşanan etik ikilemlerin, sağlık çalışanları üzerinde ahlaki stres ve tükenmişlik riskini artırabileceđi de dikkate alınmaktadır. Sonuç olarak, acil tıp uygulamalarında etik farkındalıđın artırılması, etik karar verme becerilerinin güçlendirilmesi, vaka temelli etik eğitimlerin yaygınlaştırılması ve kurumsal etik rehberlerin geliştirilmesi; hem hasta haklarının etkin biçimde korunması hem de sağlık profesyonellerinin etik yükünün azaltılması açısından kritik öneme sahiptir.

Anahtar Kelimeler: Acil tıp, etik ilkeler, hasta hakları, etik ikilemler, triyaj, otonomi, adalet, klinik karar verme

DIGITALIZATION IN HOME HEALTHCARE SERVICES: ETHICAL PRINCIPLES, RISKS, AND THE TURKISH EXPERIENCE

Nurdan KIRIMLIOĞLU

Prof. Dr., Eskişehir Osmangazi University, Faculty of Medicine, Department of History of Medicine and Ethics, Eskişehir, Türkiye

Prof. Dr., Eskişehir Osmangazi University, Faculty Of Medicine, Department Of History Of Medicine And Ethics, Eskişehir, Türkiye

ORCID ID: 0000-0003-3156-6616

ABSTRACT

The integration of digital health technologies into home healthcare services has the potential to increase access to healthcare and continuity of care, but it also brings with it significant ethical challenges. The aim of this study is to evaluate the digital transformation in home healthcare services in Turkey within the framework of traditional medical ethical principles (autonomy, beneficence, non-maleficence, and justice) and to develop solutions to the emerging ethical risks.

The study is based on descriptive and normative ethical analysis methods. Turkey's digital health policies, legislation, and practices are examined in the context of telemedicine, remote patient monitoring systems, AI-supported decision support tools, and centralized health data platforms (especially e-Nabız). Ethical issues such as digital consent, data privacy, algorithmic bias, and the digital divide are analyzed in light of fundamental ethical principles.

It is observed that digital home healthcare applications increase access to healthcare services, especially in rural areas, provide benefits in monitoring chronic patients, and offer time and cost effectiveness. However, the adequacy of informed consent processes in the digital environment, privacy and data security risks due to centralized data collection, inequalities stemming from lack of digital literacy, and the possibility of algorithmic bias in AI-based systems stand out as significant ethical issues. It has been determined that current legal regulations provide limited protection against these problems.

Digital transformation in home healthcare services can create risks in terms of patient rights and justice if it is not structured in accordance with ethical principles. The development of human-centered, transparent, and accountable digital health policies; updating legislation to address ethical risks and strengthening multidisciplinary ethical oversight mechanisms are necessary.

Keywords: Digital health; home healthcare services; medical ethics; data privacy; digital divide; Türkiye

EVDE SAĞLIK HİZMETLERİNDE DİJİTALLEŞME: ETİK İLKELER, RİSKLER VE TÜRKİYE DENEYİMİ

ÖZET

Dijital sağlık teknolojilerinin evde sağlık hizmetlerine entegrasyonu, sağlık hizmetlerine erişimi ve bakım sürekliliğini artırma potansiyeline sahip olmakla birlikte, önemli etik sorunları da beraberinde getirmektedir. Bu çalışmanın amacı, Türkiye’de evde sağlık hizmetlerinde dijital dönüşümü geleneksel tıbbi etik ilkeler (özerklik, yararlılık, zarar vermeme ve adalet) çerçevesinde değerlendirmek ve ortaya çıkan etik risklere yönelik çözüm önerileri geliştirmektir. Çalışma, betimleyici ve normatif etik analiz yöntemine dayanmaktadır.

Türkiye'nin dijital sağlık politikaları, mevzuatı ve uygulamaları; tele-tıp, uzaktan hasta izleme sistemleri, yapay zekâ destekli karar destek araçları ve merkezi sağlık veri platformları (özellikle e-Nabız) bağlamında incelenmiştir. Dijital onam, veri gizliliği, algoritmik yanlılık ve dijital uçurum gibi etik sorunlar temel etik ilkeler ışığında analiz edilmiştir.

Dijital evde sağlık uygulamalarının, özellikle kırsal bölgelerde sağlık hizmetlerine erişimi artırdığı, kronik hastaların izleminde yararlılık sağladığı ve zaman ile maliyet etkinliği sunduğu görülmektedir. Ancak dijital ortamda aydınlatılmış onam süreçlerinin yeterliliği, merkezi veri toplama nedeniyle mahremiyet ve veri güvenliği riskleri, dijital okuryazarlık eksikliğine bağlı eşitsizlikler ve yapay zekâ temelli sistemlerde algoritmik önyargı olasılığı önemli etik sorunlar olarak öne çıkmaktadır. Mevcut yasal düzenlemelerin bu sorunlara yönelik sınırlı koruma sağladığı tespit edilmiştir.

Evde sağlık hizmetlerinde dijital dönüşüm, etik ilkelerle uyumlu biçimde yapılandırılmadığında hasta hakları ve adalet açısından riskler doğurabilmektedir. İnsan merkezli, şeffaf ve hesap verebilir dijital sağlık politikalarının geliştirilmesi; mevzuatın etik riskleri kapsayacak şekilde güncellenmesi ve multidisipliner etik denetim mekanizmalarının güçlendirilmesi gerekmektedir.

Anahtar Kelimeler: Dijital sağlık; evde sağlık hizmetleri; tıp etiği; veri gizliliği; dijital uçurum; Türkiye

**AN ASYMMETRIC POWER IN POLITICAL COMMUNICATION: AN
INVESTIGATION ON GUERRILLA MARKETING PRACTICES IN TURKISH
POLITICS**

Sumru KALELİ

Dr. Öğr. Üyesi, Trakya Üniversitesi, Keşan Yusuf Çapraz Uygulamalı Bilimler Yüksekokulu,
Keşan/EDİRNE

Asst. Prof. Dr., Trakya University, Keşan Yusuf Çapraz School of Applied Sciences, Keşan,
Edirne, Türkiye

ORCID ID: 0000-0003-2057-1700

ABSTRACT

Just as in commercial marketing, a desensitization towards traditional advertising messages has developed in political marketing among voters positioned as consumers. In addition to this, the high costs of traditional media channels drive political actors and agencies to develop alternative strategies. Guerrilla marketing practices, which have long been utilized in commercial marketing, stand out as a strategic asymmetric power element, particularly for opposition parties with limited financial resources, due to their structure based on low budgets and creativity.

The aim of this study is to describe the concept of guerrilla marketing, which goes beyond traditional campaign methods in practice, through three specific application examples representing different periods and methods in Turkish political life, and to examine it within the context of the literature. In this study, the case study design, one of the qualitative research methods, was employed. These cases, representing different types of guerrilla marketing, were included in the study by being selected through the purposive sampling method. The selected case examples are as follows;

1. Genç Party and Cem Uzan (2002): An example of “Event Marketing” that combines the classic political rally format with a “concert and food” concept,
2. "Çare Sarıgül" Campaign (2013-2014): An example of “Ambient Marketing” that utilizes wall writings (graffiti) and street furniture instead of traditional billboards,
3. Saadet Party (Post-2018): An example of “Digital Guerrilla and Newsjacking” that overcomes the traditional media barrier by using pop culture icons and humor.

It is observed that each of the examined examples exhibits the fundamental characteristics of guerrilla marketing, such as 'being unexpected (surprise),' 'low budget/high visibility,' and 'viral spread.' In particular, how political actors who cannot find coverage in traditional media overcome the 'gatekeeper' barriers in the media industry through alternative channels provided by guerrilla tactics is detailed through case analyses. Furthermore, these examples reveal how guerrilla tactics used in Turkish political communication have undergone a transformation depending on time and technology, not only in digital media but also on the streets and rally grounds. These practices are also significant as they demonstrate that political communication has evolved from one-way propaganda to a participatory culture where the voter is also a content creator.

Keywords: Political Marketing, Guerrilla Marketing, Political Communication.

**SIYASAL İLETİŞİMDE ASİMETRİK BİR GÜÇ: TÜRK SİYASETİNDE GERİLLA
PAZARLAMA UYGULAMALARI ÜZERİNE BİR İNCELEME**

ÖZET

Ticari pazarlamada olduğu gibi siyasal pazarlamada da, tüketicisi konumundaki seçmenler nezdinde geleneksel reklam mesajlarına karşı duyarsızlaşma gelişmiştir.

Bununla birlikte geleneksel medya kanallarının yüksek maliyetleri, siyasal aktörleri ve ajansları alternatif stratejiler geliştirmeye itmektedir. Ticari pazarlamada uzun dönemdir yararlanılan gerilla pazarlama uygulamaları; düşük bütçe ve yaratıcılık temelli yapısıyla, özellikle kısıtlı maddi kaynaklara sahip, muhalefette yer alan partiler için stratejik bir asimetrik güç unsuru olarak öne çıkmaktadır.

Bu çalışmanın amacı; uygulamada geleneksel kampanya yöntemlerinin dışına çıkılan gerilla pazarlama kavramını, Türk siyasi hayatında farklı dönem ve yöntemleri temsil eden üç spesifik uygulama örneği üzerinden betimlemek ve literatürdeki yeri bağlamında incelemektir. Çalışmada nitel araştırma yöntemlerinden örnek olay deseni kullanılmıştır. Gerilla pazarlamanın farklı türlerini temsil eden bu vakalar, amaçlı örneklem yöntemiyle seçilerek çalışmaya dâhil edilmişlerdir. Seçilen örnek vakalar şunlardır;

1. Genç Parti ve Cem Uzan (2002): Klasik siyasi miting formatını "konser ve yemek" konseptiyle birleştiren "Etkinlik Pazarlaması (Event Marketing)" örneği,
2. "Çare Sarıgül" Kampanyası (2013-2014): Geleneksel reklam panoları yerine; duvar yazıları (graffiti) ve şehir mobilyalarını kullanan "Mekân ve Sokak (Ambient) Pazarlaması" örneği,
3. Saadet Partisi (2018 Sonrası): Popüler kültür ikonlarını ve mizahı kullanarak geleneksel medya engelini aşan "Dijital Gerilla ve Gündem Gaspı (Newsjacking)" örneği.

İncelenen örneklerin her birinin; "beklenmedik olma (şaşırtma)", "düşük bütçe/yüksek görünürlük" ve "viral yayılım" gibi özellikleriyle gerilla pazarlamanın temel karakteristiklerini taşıdığı görülmektedir. Özellikle geleneksel medyada yer bulamayan siyasal aktörlerin, medya endüstrisindeki 'eşik bekçisi' (gatekeeper) engellerini, gerilla taktiklerin sunduğu alternatif kanallar sayesinde nasıl aştığı vaka analizleri üzerinden detaylandırılmıştır. Ayrıca bu örnekler, Türk siyasal iletişimde kullanılan gerilla taktiklerin sadece dijital mecralarda değil; sokakta ve miting alanlarında da zaman ve teknolojiye bağlı olarak nasıl bir dönüşüm geçirdiğini ortaya koymaktadır. Söz konusu uygulamalar, siyasal iletişimin tek yönlü bir propagandanın, seçmenin de içerik üreticisi olduğu katılımcı bir kültüre evrildiğini göstermesi açısından da önem arz etmektedir.

Anahtar Kelimeler: Siyasal Pazarlama, Gerilla Pazarlama, Siyasal İletişim.

1. GİRİŞ

Teknolojik gelişmeler ve seçmen davranışlarındaki dönüşüm, siyasal iletişim uygulamalarına sürekli bir devinim ve yenilik getirmektedir. Geleneksel kitle iletişim araçlarıyla temellenmiş, mesajın alıcıya tek yönlü bir biçimde iletildiği, didaktik propaganda yöntemleri, Blumler ve Kavanagh'ın (1999) 'Siyasal İletişimin Üçüncü Çağı' olarak tanımladığı günümüzün aşırı iletişim (over-communication) ortamında etkinliğini her geçen gün yitirmektedir. Özellikle televizyon reklamları, billboardlar ve kitlesel mitingler gibi geleneksel kampanya iletişimi araçları seçmen nezdinde bir duyarsızlaşma ve reklam körlüğü yaratmaktadır. Aynı zamanda bu yöntemler, siyasal partilerin kampanya bütçelerinde sürdürülemez maliyetler yaratmaktadır (Negrine, 2008). Bilhassa bütçeleri kısıtlı ve devlet imkânlarından faydalanamayan, muhalefette yer alan partiler bu reklam ortam ve araçlarını etkin şekilde kullanamamaktadırlar. Seçmenler modern demokrasilerde, bir günde binlerce ticari ve siyasi mesaja maruz kalmaktadırlar. Mesajlardaki bu yoğunluk, seçmenin bilişsel filtrelerini devreye sokmasına ve klasik siyasi vaatlere karşı savunma mekanizmaları geliştirmesine neden olmaktadır (McNair, 2011). Bu bağlamda siyasal aktörler için temel sorun artık sadece "mesajı iletmek" değildir. Mesajın gürültü (noise) arasından sıyrılarak, temel hedeflerinden biri olan "dikkat çekme" nin sağlanmasıdır. Türkiye gibi siyasal rekabetin yoğun yaşandığı ülkelerde de aday imajı ve kampanya yönetiminde farklılaşma arayışları, partileri standart yöntemlerin dışına itmektedir (Uztuğ, 2004).

Siyasal aktörler, bu verimsizliği aşmak için ticari pazarlamada uzun süredir kullanılan ancak siyaset arenasında görece yeni uygulanan "asimetrik" iletişim stratejilerine yönelmektedir. Bu stratejilerin başında gelen stratejilerden biri de "Gerilla Pazarlama"dır. Gerilla pazarlama, dev kampanya bütçeleri yerine hayal gücünü, zamandan tasarrufu ve enerjiyi merkeze alan yapısıyla geleneksel uygulamalardan ayrılmaktadır. Bilhassa muhalefet partileri ve medya ambargosuyla karşılaşan adaylar için, bir tercih olmaktan öte, seslerini duyurabilecekleri stratejik bir zorunluluk haline gelmiştir.

Bu çalışmanın amacı; siyasal iletişimde geleneksel yöntemlerin kısıtlarına bir alternatif olarak sunulan gerilla pazarlama kavramını ele almak ve Türk siyasi hayatından seçilen farklı vakalar üzerinden, bu taktiklerin sahadaki uygulanış biçimlerini ve literatürdeki yerini betimlemektir.

2. SİYASAL PAZARLAMADA GERİLLA TAKTİKLER

Kavramsal kökenini askeri terminolojiden alan "gerilla" ifadesi, düzenli ve büyük ordulara karşı savaşılan küçük, hareketli ve düzensiz birliklerin taktikleri olarak tanımlanmaktadır. Ernesto Che Guevara ve Mao Zedong gibi liderlerin askeri literatürde teorize ettiği bu asimetrik savaş doktrini (Guevara, 1961), 1984 yılında Jay Conrad Levinson tarafından pazarlama disiplinine uyarlanmıştır. Levinson'a (1984) göre gerilla pazarlama; 'bütçesi küçük ancak hayalleri büyük' girişimcilerin, pazar liderlerine karşı rekabet edebilmesi için geliştirdiği, geleneksel olmayan pazarlama stratejilerinin tamamıdır. Bu tanımda dikkat edilmesi gereken noktalardan biri gelenekselin dışında kalan "tüm" uygulamanın gerilla pazarlama uygulaması olarak sayılabileceğidir. Dolayısıyla uygulamalar yaratıcılıkla sınırlı, diğer bir ifadeyle sınırsızdır.

Siyasal pazarlama uygulamaları yeniliğe duyulan ihtiyaçla yıllar içinde evrim geçirmiş, siyasal alanda da çok çeşitli gerilla pazarlama uygulamasıyla karşılaşılmaya başlanmıştır. Teknik, ticari alanda olduğu gibi siyasal alanda da askeri stratejideki mantığını korumaktadır. Buna göre temelde bu teknik, bütçe ve medya gücü bakımından kaynakları sınırlı olan tarafın, kaynakları sınırsız olan egemen güce karşı yürüttüğü asimetrik bir iletişim savaşındır (Hutter, 2005).

Siyasal gerilla pazarlama, literatürde sadece bir 'reklam tekniği' değil, stratejik bir 'savaş doktrini' olarak da ele alınmaktadır. Kotler ve Singh (1981), pazarlama savaşlarını askeri stratejilerle ilişkilendirdikleri temel çalışmalarında, pazar liderine (iktidar partisine) karşı mücadele eden daha küçük partiler için 'Kanat Saldırısı' (Flanking Attack) ve 'Gerilla Savaşı' stratejilerini önermektedir. Bu yaklaşıma göre; elinde bulundurduğu geleneksel medya kanalları gibi liderin güçlü olduğu cepheden ona saldırmak adeta 'intihar' etmek, kaybedileceği baştan belli olan bir savaşa girmek demektir. Bunun yerine, rakibinin savunmasız olduğu, boş bıraktığı veya hantal kaldığı alanlara (örneğin sokak araları, mizah, sosyal medyadaki anlık reflexler) ani ve şaşırtıcı saldırılar düzenlenmelidir.

Benzer şekilde McNair (2011), modern medya ortamının, ana akım medyanın tekeline kırarak daha küçük siyasal aktörlere de alan açtığını vurgular. Siyaset bilimi literatüründe 'Underdog Etkisi' (Ezilenin Yanında Olma) olarak da bilinen bu durum; seçmenin, devasa kampanya bütçelerine sahip iktidar odaklarına karşı, kısıtlı imkânlarla mücadele eden tarafa sempati duyma eğilimini de güçlendirmektedir.

Siyasal gerilla pazarlamayı gelenekselden ayıran en temel nokta, bütçe ve mecra kullanımındır. Geleneksel pazarlama 'para' odaklıyken, gerilla pazarlama 'zaman, enerji ve hayal gücü' odaklıdır. Diğer tüm diğer yöntemlerden ayrılan temel unsuru orijinallik ve dikkat çekme olan bu tekniğin, temel karakteristikleri şu şekilde özetlenebilir (Ay ve Aytekin, 2005);

- **Beklenmedik Olma:** Gerilla taktikler sayesinde, seçmen savunmasız olduğu, politik bir mesaj beklemediği anlarda ve yerlerde bu mesajlara yakalanır. Bu sayede, seçmen geliştirebileceği mantıki savunma mekanizmalarını devreye sokamaz.
- **Virallik:** Eylemin kendisi yerel veya küçük ölçekli olsa dahi, yarattığı etki kitle iletişim araçları veya sosyal medya sayesinde kitleseldir ve mesajlar bir virüs gibi hızlıca yayılır.

- **Mizah ve Yaratıcılık:** Mesajlarda öğretici bir siyasi söylem kullanılmaz. Mesajlar zekâ pırıltıları taşıyan, özgün içeriklerden oluşur. Siyasette gerilla pazarlamadan faydalanılmasının bir diğer artısı ise bilhassa medya sahipliğinin belirli gruplarda ve/veya iktidarda yoğunlaştığı ülkelerde, sektördeki ‘eşik bekçileri’ (Shoemaker ve Vos, 2009) bu tekniklerle atlatılabilir. Geleneksel medya organlarında yer bulamayan mesajlar, gerilla taktikler sayesinde sokağın ve -günümüz teknolojisinde- sosyal medyanın gündemine oturabilmektedir.

3. YÖNTEM

Araştırmada veri toplama tekniği olarak doküman incelemesi yöntemi kullanılmıştır. İnceleme kapsamına; konuyla ilgili dijital kayıtlar, kampanya videoları, gazete arşivleri ve sosyal medya içerikleri gibi görsel ve yazılı materyaller dâhil edilmiştir.

Araştırmanın evrenini Türk siyasal iletişimindeki kampanya uygulamaları, örneklemini ise amaçlı örneklem (Purposive Sampling) tekniği ile seçilen üç spesifik vak’a oluşturmaktadır. Bu vak’alar seçilirken; (1) geleneksel kampanya yöntemlerinin dışına çıkmaları, (2) literatürdeki gerilla pazarlama kriterlerini (beklenmedik olma, yaratıcılık, viral etki) taşımaları ve (3) farklı dönemleri (2002, 2014, 2018 sonrası) temsil etmeleri esas alınmıştır.

4. BULGULAR

Bu bölümde, seçilen üç vak’a kronolojik sırayla incelenmiştir. Uyguladıkları gerilla taktikler konuyla ilgili pazarlama literatürü çerçevesinde analiz edilerek değerlendirilmiştir.

4.1. Vak’a 1: Genç Parti ve Cem Uzan (2002)- Siyasette Popülist Şok ve Eğlence

Ekonomik krizin etkisinde gerçekleşen 3 Kasım 2002 Genel Seçimleri, Türk siyasal hayatında tüm merkez partilerin baraj altı kaldığı bir kırılma noktası olmuştur. Tam da bu ortamda siyaset sahnesine çıkan Genç Parti ve lideri Cem Uzan, uygulanan ‘Hibrit’ bir gerilla stratejisiyle, bilhassa kendini apolitik olarak tanımlayan, siyasetle ilgilenmeyen kitleleri harekete geçirmeyi başarmış bir örnektir. Cem Uzan’ın siyaset yapma şekli yerleşik ideolojilerin keskin söylemleriyle değil, seçmene sağlanacak günlük faydaların vurgulanması temeline dayalıdır. Popülist söylemlerle duyguların yükselmesi hedeflenmektedir.

Uygulanan Taktik: Etkinlik Pazarlaması (Event Marketing)

Genç Parti kampanyasını diğerlerinden ayıran en temel unsur, klasik ‘siyasi miting’ formatının terk edilerek, kampanya sürecini bir konser ve şov ortamına dönüştürmesidir. Ferdi Tayfur, İbrahim Tatlıses, Ebru Gündeş gibi dönemin en popüler sanatçılarının konserleri miting alanına entegre edilerek verilen siyasal mesajlar ‘eğlencenin’ içine ustaca yerleştirilmiştir. Literatürde reklam ve eğlencenin bileşimi ‘Advertainment’ (Advertising + Entertainment) olarak adlandırılan (Kretchmer, 2004) bu yöntemle normal şartlarda bir siyasetçiyi dinlemeyecek olan binlerce seçmen miting meydanlarına toplanmıştır.

Kullanılan Gerilla Unsurlar ve Analizleri:

Hediye Dağıtımı:

Ticari pazarlamada satış geliştirme faaliyetleri içinde sıklıkla başvurulan bir yöntem olan hediye/eşantıyon dağıtımı, Genç Parti’nin mitinglerinde de bir satış geliştirme aracı olarak kullanılmış, mitinglerde dağıtılan yemekler ise ilgiyi daha da arttırmıştır. Ekonomik krizin etkisindeki seçmene sunulan ‘döner-ayran’ ikramları, onların, Maslow’un ihtiyaçlar hiyerarşisinin en alt basamağı olan fizyolojik ihtiyaçlarına hitap eden agresif bir pazarlama taktiğidir de (Şener, 2004). Bu sayede, seçmenin gözünde mitingler kitlesel bir ‘ziyafet ve eğlence’ etkinliğine dönüştürmüştür. Ayrıca geleneksel medyaya ait dönemin en çok satan gazetelerinden biri olan Star Gazetesi Cem Uzan’a aitti.

Seçim öncesi dönemde gazeteyle birlikte okuyucuya hediye eden ‘Pringles’ cipsler, gazete satışlarını ve bilsassa genç seçmenin partiye ve liderine olan sevgisini arttırmıştır.

Söylem ve İmaj Konumlandırma:

Cem Uzan, Türk siyasetinde geçmişten beri seçmenin zihnine yerleşmiş olan ‘kravatlı ve ciddi devlet adamı’ kodlarını bilinçli bir şekilde yıkmıştır. Mitinglerde Uzan’ın beyaz gömleğinin kollarını sıvaması, kravat takmaması ve elinde mikrofonla sahnenin en ucuna kadar giderek agresif ve güçlü bir dille rakiplerine ‘Sen’ diye hitap etmesi, seçmenin zihninde onu yerleşik siyasi elitin karşısında duran ‘Anti-Establishment’ (Düzen Karşıtı) bir figür olarak konumlandırmıştır. Dönemin siyasetçilerinin yaş ortalamasının yüksekliğine karşın Cem Uzan’ın gençliği ve dinamikliği de miting ve reklamlarında sıklıkla vurgulanmıştır. Hatta bir reklam görselinde Türkiye Cumhuriyeti’nin kurucu lideri Mustafa Kemal Atatürk’e atıf yapılarak “O da sarı saçlı, O da mavi gözlü” ifadelerine yer verilmiştir. Burada Uzan, seçmenin gözünde kendi konumunu rakiplerinden üstün, hatta siyaset üstü bir noktaya taşımaya çalışmış, genç, farklı ve kurtarıcı bir lider rolüne bürünmeyi amaçlamıştır.

Şok Etkisi Yaratma:

Gerilla pazarlamanın ‘beklenmedik olma ve şaşırtma’ kuralına, Cem Uzan’ın vaatlerinde de sıklıkla rastlanmaktadır. "Mazot 1 YTL olacak" (Hürriyet, 2007) gibi o dönem için şok edici ve rasyonel zemini tartışmalı vaatler, basitliği ve tekrar sıklığı sayesinde seçmenin zihnine kazınmıştır.

Benzer biçimde gençlere yönelik beklenmedik ve şaşırtıcı vaadi o iktidara geldiğinde üniversite sınavının tamamen kaldırılacak olmasıdır. Bununla birlikte Uzan, mevcut üniversite sayısını da 4 katına çıkaracağını vaatleri arasına eklemiştir (Türk, 2007; SETA, 2019). Şok edici vaatler bunlarla sınırlı kalmamış, ülkenin ekonomik olarak dar boğazda sayıldığı o yıllarda tüm işsizlere dönemin parasıyla “350 milyon” aylık maaş bağlanacağını söylemiştir.

Genç Parti, bu agresif ve etkinlik odaklı kampanya sayesinde, kurulduktan yalnızca 3 ay sonra girdiği seçimde %7.25 gibi yüksek bir oy oranına ulaşmıştır. Bu durum, siyasal içerik ve ideolojik zemin ne kadar zayıf olursa olsun, doğru kurgulanmış bir ‘Etkinlik Pazarlaması’ stratejisinin, seçmenin düşünceleri ve davranışları üzerinde kısa vadede nasıl bir manipülasyon yaratabileceğinin örneğidir.

4.2. Vak’a 2: ‘Çare Sarıgül’ Kampanyası (2013-2014) - Mekân ve Sokak (Ambient) Pazarlaması

30 Mart 2014 Yerel Seçimleri sürecinde, Mustafa Sarıgül’ün İstanbul Büyükşehir Belediye Başkan Adaylığı ekseninde gelişen kampanya, geleneksel reklam mecralarının ötesine geçmiş, sokağın kendini bir iletişim mecrasına dönüştürmüş haliyle siyasal reklam uygulamaları alanında özgün bir yere sahiptir. Bu tarz kampanyalar, literatürde ‘Ambient Marketing’ (Gambetti, 2010) olarak tanımlanmaktadır. Ambient Marketing tüketicinin günlük yaşamında karşılaştığı fiziksel çevrenin ve nesnelerin birer reklam alanına dönüştürülmesi stratejisinin en net örneğidir.

Uygulanan Taktik: Sokak Sanatı ve Graffiti

Geleneksel siyasal kampanyalardaki mesajlar belirli süreliğine kiralanan pano ve billboardlarda verirken, Sarıgül kampanyasında alışıl gelmişin dışında ortamlar seçilmiştir. Mesajlar ‘steril olmayan’ alanlara, doğrudan sokağın kaotik ve spontan dokusuna işlemiştir. ‘Çare Sarıgül’ sloganı, sprey boyalarla duvarlara, kaldırımlara, elektrik trafolarına, çöp konteynerlerine ve hatta dağ yamaçlarına yazılarak, kentin fiziksel dokusu adeta kampanyanın bir parçası haline getirilmiştir (Doğan, 2009).

Kullanılan Gerilla Unsurlar ve Analizleri:

Minimalizm ve Tekrar:

Siyasal mesajların uzun vaatler ve karmaşık metinlerden oluştuğu bir ortamda, kampanya iki kelimeye -Çare Sarıgül- indirgenmiştir. Bu bakımdan minimalist bir strateji izlendiği rahatlıkla söylenebilir. Pazarlamadaki ‘Basitlik İlkesi (KISS - Keep It Simple, Stupid)’ (Rich, 1995) gereği, mesajın kısalığı ve yüksek frekansta tekrarıyla seçmen zihninde güçlü bir marka bilinirliği yaratılmıştır. Slogan, bir süre sonra adayın isminden bağımsızlaşarak hatta isminin üzerinde bir kalıp haline gelmiştir.

Her Yerde Olma Algısı:

Gerilla pazarlamanın bir amacı da, olduğundan daha büyük ve güçlü görünmektir. Genelde kısıtlı kaynaklarla geleneksel medya araçlarını kullanma imkânı sınırlı olan ya da hiç olmayan markaların ise büyük ve güçlü görünmesi bir hayli zordur. Sarıgül kampanyası kurgulanırken bu durum göz önünde bulundurulmuştur. Sloganların şehrin en lüks semtinden, kenar mahallelere kadar her yerde eş zamanlı olarak görülmesi, seçmende ‘herkes onu konuşuyor’ duygusu yaratarak aynı zamanda ‘çok güçlü bir dip dalga geliyor’ algısı oluşturmuştur. Resmi reklam panolarının sınırlı erişimine karşın, sokak yazıları 7/24 görünür kalarak ‘Görünürlük Maliyeti’ bakımından da kampanya sahiplerine rakipsiz bir maliyet avantajı sağlamıştır.

İnteraktif Katılım:

Bu kampanyayı diğerlerinden en farklı kılan başarısı, propagandanın parti genel merkezinden çıkıp tabana yayılmasıdır. Duvar yazılarını gören vatandaşlar, benzer yazıları kendi mahallelerine yazarak veya yazılanları sosyal medyada paylaşarak kampanyanın gönüllü birer taşıyıcısı, elçisi, çalışanı haline gelmişlerdir. Bu durum, siyasal iletişimin tek yönlü bir monologdan, seçmenin de içerik ürettiği interaktif bir sürece dönüştüğünü göstermektedir. ‘Çare Sarıgül’ örneği, yüksek bütçeli medya satın almalarına gerek kalmadan, sadece sprey boya ve sokağın kodlarının doğru kullanıldığı doğru bir sloganla ulusal çapta bir gündem yaratılabileceğini kanıtlamıştır. Kampanya, adayı seçimi kazanmaya götürmemiş olsa da, yarattığı marka bilinirliği ve iletişimsel etki açısından Türk siyasi tarihinin en başarılı gerilla uygulamalarından biri olarak kayda geçmiştir.

4.3. Vak’a 3: Saadet Partisi (2018 Sonrası) - Dijital Gerilla ve Gündem Gaspı (Newsjacking)

2018 Genel Seçimleri ve akabindeki siyasal süreç, Türkiye’de medya sahipliğinin belirli bloklarda yoğunlaşmasıyla, muhalif siyasi seslerin televizyon ve gazete gibi geleneksel medya araçlarında görünürlük elde etmekte zorlandıkları bir dönem haline gelmiştir. Adeta maruz kalan bu medya ambargosunda Saadet Partisi, Milli Görüş çizgisinden gelen köklü ve geleneksel bir parti olmasına rağmen, iletişim dilini radikal bir şekilde değiştirmiş, büyük ölçüde ‘Dijital Gerilla’ taktiklerine yönelmiştir (Marketing Türkiye, 2018) Parti, ana akım medyadaki ‘eşik bekçilerini’ (gatekeepers) aşmak için sosyal medyayı sadece bir duyuru panosu olarak değil, bir içerik üretim tesisi olarak kullanmıştır.

Uygulanan Taktik: Gündem Gaspı (Newsjacking) ve Video Aktivizmi

Saadet Partisi'nin bu dönemdeki kurguladığı strateji, temelde David Meerman Scott'ın (2011) ‘Newsjacking’ (Gündem Gaspı) olarak tanımladığı kavramdan ilham almaktadır. Bu taktik; enflasyon, ekonomik kriz ya da yargı sorunları gibi o an için gündemde olan sıcak bir gelişmeyi anlık refleksiyle yakalayıp, konuyu kendi markasının veya mesajının lehine çevirmek, o konu başlığı üzerinden harekete geçmekle gerçekleşmektedir. Saadet Partisi bu stratejiyi profesyonelce kurgulanmış animasyonlar, kısa filmler ve mizahi videolar aracılığıyla uygulamıştır (Saadet Partisi, 2026).

Kullanılan Gerilla Unsurlar ve Analizleri:

Mizahın Politik Silah Olarak Kullanımı:

Siyasal iletişimin genellikle yaşlı, asık suratlı ve didaktik olduğu bir iklimde, Saadet Partisi 'mizahı' bir bakıma bir Truva Atı gibi kullanmıştır. Ana akım medyadaki egemenlerden oluşan eşik bekçilerini aşmayı amaçlayan Saadet Partisi, 2018 seçimlerinde Türkiye siyasi tarihinde son derece özgün bir adım atmış ve 'E-Miting' konseptini hayata geçirmiştir. Bu sayede doğrudan dijital platformlar üzerinden kitlelerle buluşmuştur. Siyasi eleştiriler; Süpermen, Game of Thrones, Matrix gibi popüler kültür ikonları üzerinden veya 'Süper Mario' gibi oyun metaforlarıyla (Gamification) anlatılmıştır. Bu yöntem, mesajın 'sıkıcı bir siyasi propaganda' algısını kırarak, apolitik gençler ve Z kuşağı tarafından da tüketilmesini ve paylaşılmasını sağlamıştır (Saadet Partisi, 2018).

Yüksek Prodüksiyon Kalitesi ve "Content Is King" Yaklaşımı:

Genellikle düşük bütçeli partilerden beklenen amatör görsellerin aksine, Saadet Partisi ajans kalitesinde (high-end) video içerikleri üretmiştir. Bill Gates'in literatüre kattığı 'Content is King' (1996) yaklaşımıyla kurgulanan içeriklerdeki kalite ve mizahi zekâ, izleyiciyi hangi partiden olduğuna bakmaksızın videoyu izlemeye ve paylaşmaya itmiştir. Bu durum, seküler seçmenler başta olmak üzere partinin kendi tabanı dışındaki seçmen gruplarına da ulaşmasını sağlayan bir 'Yankı Odasını Kırma' (Breaking the Echo Chamber) etkisi yaratmıştır.

Sansürü Yaratıcılıkla Aşmak:

Saadet partisi seçim öncesi dönemde ana akım medya kanallarının kendi mitinglerini yayınlamamalarına karşı, bu durumu mağduriyet edebiyatı yaparak karşılamak yerine bir fırsata çevirmeye çalışmıştır. Dijital mecralarda yayınladıkları videolar, kısa sürede milyonlarca izlenmeye ulaşarak televizyon kanallarında izlenen reklamların etkisini geride bırakmıştır. Bu strateji, klasik medyanın 'gündem belirleme' (agenda-setting) gücü üzerinde de bir tehdit oluşturmuştur. Böylece gündemin sosyal medya üzerinden de belirlenebileceğini kanıtlamıştır. Saadet Partisi örneği, maddi kaynakları ve medya gücü ne kadar kısıtlı olursa olsun, doğru kurgulanmış bir 'Dijital Gerilla' stratejisiyle, en katı medya duvarlarının dahi aşılabileceğini göstermektedir. Parti, bu stratejiyle oy oranında kayda değer bir yükseliş elde edemese de marka imajını gençleştirmiştir. Bu sayede dijital dünyada en çok etkileşim alan ve konuşulan siyasi aktörlerden biri olmayı başarmıştır.

5. SONUÇ VE TARTIŞMA

Bu çalışmada, Türk siyasi hayatında geleneksel kampanya yöntemlerinin dışına çıkan gerilla pazarlama uygulamaları; Genç Parti (2002), Çare Sarıgül Kampanyası (2013-2014) ve Saadet Partisi (2018 sonrası) örnekleri üzerinden incelenmiştir. Yapılan vak'a analizleriyle, gerilla pazarlamanın Türk siyasetinde dönemsel ve teknolojik gelişmelere paralel bir evrim geçirdiğini ortaya koymaktadır.

Araştırma bulgularına dayanarak şu temel sonuçlara ulaşılmıştır:

Mecra Değişse de Mantık Aynıdır:

İncelenen üç örnekte kullanılan başlıca araçlar -miting alanı, duvarlar ve dijital videolar farklıdır. Ancak stratejinin özündeki mantık temelde aynıdır: Asimetri. Her üç vak'a da, rakiplerine göre daha az ekonomik kaynağa veya medya gücüne sahip olan aktörlerin, yaratıcılık kullanılarak bu dezavantajı avantaja çevirme çabasıdır. Cem Uzan bunu 'yemek ve konserle', Sarıgül 'duvar yazılarıyla', Saadet Partisi ise 'animasyonlarla' gerçekleştirmiştir.

Muhalefet İçin Bir "Hayatta Kalma" Stratejisidir:

Siyasal gerilla pazarlama, Türkiye gibi medya sahipliğinin belirli odaklarda yoğunlaştığı ülkelerde, muhalif partiler için bir tercihten öte bir zorunluluk haline gelmiştir. Geleneksel medyadaki eşik bekçileri (gatekeepers) tarafından görünmez kılınan aktörler, gerilla taktiklerin sunduğu başta sokak ve sosyal medya olmak üzere alternatif kanallar sayesinde adeta kendi 'mikro-medyalarını' yaratarak seçmene ulaşabilmektedirler.

İçerik, Şeklin Önüne Geçmiştir:

Analiz edilen kampanyaların başarısı, vaat edilen politikaların derinliğinden ziyade, sunuş biçimlerindeki yeniliklerden kaynaklanmaktadır. Döner-ekmek dağıtımı, duvar yazısı veya Süpermen kılığında bir lider, seçmenin ilgisini politik içerikten kampanyanın kendisine doğru çekmiştir. Bu durum, siyasetin eğlenceleşmesi (politainment) (Dörner, 2001) tartışmalarını da destekler niteliktedir.

Katılımcı Kültür ve Viral Etki:

Bilhassa Sarıgül ve Saadet Partisi örnekleri, kampanyanın sadece merkezden yönetilmediğini, kampanya üretiminde ve üretilen mesajın hedef kitleye dağıtılmasında seçmenin de aktif rol oynayarak sürece dâhil edildiğini göstermiştir. Hatta duvar yazısı yazan veya üretilen videoyu paylaşan seçmen, mesajın yayılımında partiden çok daha etkin bir rol oynamaktadır. Seçmenlerin her gün çok sayıda mesaja maruz kalarak reklam körlüğü yaşadığı ve geleneksel medya maliyetlerinin arttığı günümüz dünyasında, gerilla pazarlama uygulamaları siyasal iletişimin geleceğinde çok daha baskın bir rol oynayacağı aşikârdır. Gelecek araştırmalarda, bu uygulamaların sadece görünürlük ve dikkat çekme üzerindeki etkisine değil, oy verme davranışı üzerindeki somut etkilerine de odaklanması faydalı olacaktır.

KAYNAKÇA

- Ay, C., & Aytekin, P. (2005). Gerilla pazarlama stratejisi ve uygulamaları. *Pazarlama Dünyası Dergisi*, 2005(1), 14-22.
- Blumler, J. G., & Kavanagh, D. (1999). The third age of political communication: Influences and features. *Political Communication*, 16(3), 209-230.
- Doğan, Y. (2009, 17 Kasım). Çare Sarıgül. *Hürriyet*. (Çevrim içi: <https://www.hurriyet.com.tr/yazarlar/yalcin-dogan/çare-sarigul-12964087>), Erişim Tarihi: 05.03.2026
- Dörner, A. (2001). *Politainment: Politik in der medialen Erlebnisgesellschaft*. Frankfurt am Main: Suhrkamp Verlag.
- Gambetti, R. C. (2010). Ambient communication: How to engage consumers in urban touch-points. *Management Decision*, 48(1), 34-51.
- Gates, B. (1996, 3 Ocak). 'Content is king'. Microsoft. (Çevrim içi <http://web.archive.org/web/20010126005200/http://www.microsoft.com/billgates/columns/1996essay/essay960103.asp>), Erişim Tarihi: 02.03.2026
- Guevara, E. C. (1961). *Guerrilla warfare*. New York: Monthly Review Press.
- Hutter, M. K. (2005). *Gerilla marketing: Unkonventionelle Werbung*. Berlin: VDM Verlag.
- Hürriyet. (2007, 22 Mayıs). Genç Parti'nin seçim bildirgesi: Mazot 1 YTL olacak'. *Hürriyet Gazetesi Arşivi*.
- Kotler, P., & Singh, R. (1981). Marketing warfare in the 1980s. *Journal of Business Strategy*, 1(3), 30-41.
- Kretchmer, S. B. (2004). Advertainment: The evolution of product placement as a mass media marketing strategy. *Journal of Promotion Management*, 10(1-2), 37-54.

Levinson, J. C. (1984). *Guerrilla marketing: Secrets for making big profits from your small business*. New York: Houghton Mifflin.

Marketing Türkiye, (2018, 18 Haziran). Bir animasyon da Saadet Partisi'nden: Süpermen Karamollaoğlu. (Çevrim içi: <https://www.marketingturkiye.com.tr/haberler/bir-animasyon-da-saadet-partisinden-supermen-karamollaoglu/>), Erişim tarihi: 28.02.2026

McNair, B. (2011). *An Introduction to political communication*. London: Routledge.

Meerman Scott, D. (2011). *Newsjacking: How to inject your ideas into a breaking news story and generate tons of media coverage*. Wiley.

Negrine, R. (2008). *The transformation of political communication: Continuities and changes in media and politics*. London: Palgrave Macmillan.

Rich, B. R. (1995). *Clarence Leonard (Kelly) Johnson 1910–1990: A Biographical memoir*. Washington, DC: National Academies Press.

Saadet Partisi, (2026). (Çevrim içi: <https://www.youtube.com/SaadetPartisiTv>), Erişim Tarihi: 09. 03. 2026

Saadet Partisi, (2018, 1 Haziran). E-Miting Tekirdağ - Cumhurbaşkanı adayı Temel Karamollaoğlu. (Çevrim içi: <https://www.youtube.com/watch?v=gONE08tuyhU>), Erişim Tarihi: 28.02.2026

SETA. (2019, 3 Mart). Biz ne seçimler gördük, ne vaatler duyduk!. Siyaset, Ekonomi ve Toplum Araştırmaları Vakfı. (Çevrim içi: <https://www.setav.org/biz-ne-secimler-gorduk-ne-vaatler-duyduk>), Erişim Tarihi: 26.02. 2026

Shoemaker, P. J., & Vos, T. P. (2009). *Gatekeeping theory*. New York: Routledge.

Şener, N. (2004). *Uzanlar: Bir korku imparatorluğu çökerken*. İstanbul: Güncel Yayıncılık.

Türk, H. B. (2007). *Genç Parti'yi anlamak: Parti, lider ve kitle üzerine bir çalışma*. Doktora Tezi. Ankara Üniversitesi Sosyal Bilimler Enstitüsü, Ankara.

Uztuğ, F. (2004). *Siyasal marka: Seçim kampanyaları ve aday imajı*. Ankara: MediaCat Kitapları.

MEASURING FIRM-CONSUMER INTERACTION LEVELS ON INSTAGRAM BY POST CATEGORY FOR THE BANKING SECTOR

Aleyna İrem ALTUNAL

Bursa Uludağ Üniversitesi, İktisadi ve İdari Bilimler Fakültesi
Bursa Uludağ University, Faculty of Economics and Administrative Sciences
ORCID ID: 0009-0008-7664-6998

Mikail KAR

Doç. Dr., Bursa Uludağ Üniversitesi, İktisadi ve İdari Bilimler Fakültesi
Assoc. Prof. Dr., Bursa Uludağ University, Faculty of Economics and Administrative Sciences
ORCID ID: 0000-0002-4036-7355

ABSTRACT

Today, with the advancement of communication technologies, the increasing rate of social media usage has brought about certain changes in business models. As a result of these changes, companies are trying to strategically manage social media platforms and make significant expenditures in this direction with the aim of making their brands much more visible and gaining a competitive advantage by establishing communication channels with existing or potential consumers thru social media platforms. This communication between companies and consumers is addressed in the literature as firm-consumer interaction. Measuring the levels of firm-consumer interaction is important for seeing the impact and results of spending, but a review of the existing literature shows that studies on this topic are insufficient. In this context, this study measures the levels of firm-consumer interaction on Instagram for private deposit banks operating in the Turkish banking sector and analyzes the change in these interaction levels based on the category of posts. In line with the stated purpose, the posts were first divided into 6 categories: services, sustainability-social responsibility projects, campaign promotions, achievements and awards, special days, and other. Subsequently, data from the official Instagram accounts of private deposit banks with Turkish content in their posts were obtained for the last 70 posts before 01.01.2025, and the posts were classified into appropriate categories. The interaction levels of the banks included in the study were revealed with the help of a set of measurements applied to the data, and the change was analyzed based on the content of their Instagram posts. The analysis shows that the levels of company-consumer interaction vary significantly across shipment categories for the banking sector. According to the method used in the analysis, a high number of followers or a high frequency of sharing may not guaranty the highest engagement. The number of followers and the number of likes, comments, and shares per post should be evaluated together.

Keywords: Firm-Consumer Interaction, Deposit Banks, Banking Sector, Instagram, Post Category

Acknowledgments: We would like to thank TÜBİTAK (Project application number: 1919B012421550) for their support of this study.

BANKACILIK SEKTÖRÜ İÇİN INSTAGRAM'DAKİ GÖNDERİ KATEGORİSİNE GÖRE FİRMA-TÜKETİCİ ETKİLEŞİM DÜZEYLERİNİN ÖLÇÜLMESİ

ÖZET

Günümüzde iletişim teknolojilerinin gelişmesiyle artan sosyal medya kullanım oranı iş yapış modellerinde birtakım değişimler meydana getirmiştir.

Bu deęişimler sonucu firmalar, sosyal medya platformları aracılıęıyla mevcut veya potansiyel tüketicilerle iletişim kanalları oluşturarak markalarını çok daha görünür kılmak ve rekabet avantajı elde etmek gibi amaçlarla sosyal medya platformlarını stratejik olarak yönetmeye çalışmakta ve bu doğrultuda önemli harcamalar yapmaktadırlar. Firmalar ve tüketiciler arasındaki bu iletişim, literatürde firma-tüketici etkileşimi olarak ele alınmaktadır. Firma-tüketici etkileşim düzeylerinin ölçülmesi, yapılan harcamaların etki ve sonuçlarını görmek açısından önem teşkil etmektedir ancak mevcut literatür incelendiğinde bu konuyla ilgili çalışmaların yetersiz olduğu görülmektedir. Bu bağlamda bu çalışma, Türk bankacılık sektöründe faaliyet gösteren özel mevduat bankaları için Instagram'daki firma-tüketici etkileşim düzeylerini ölçmekte ve bu etkileşim düzeylerinin paylaşım kategorisine göre deęişimini analiz etmektedir. Belirtilen amaç doğrultusunda öncelikle gönderiler hizmet, sürdürülebilirlik-sosyal sorumluluk projeleri, kampanya tanıtımları, başarılar ve ödüller, özel gün ve diğer olmak üzere 6 kategoriye ayrılmıştır. Daha sonra gönderi içerikleri Türkçe olan özel mevduat bankalarının resmi Instagram hesaplarındaki 01.01.2025 öncesi son 70 gönderiye ait veriler elde edilerek gönderiler uygun kategoride sınıflandırılmıştır. Çalışma kapsamındaki bankaların etkileşim düzeyleri verilere uygulanan bir ölçüm seti yardımıyla ortaya konmuş ve Instagram'daki gönderi içeriklerine göre deęişimi analiz edilmiştir. Analiz sonucunda bankacılık sektörü için gönderi kategorilerine göre firma tüketici etkileşim düzeylerinin birbirinden oldukça farklılaştığı görülmektedir. Analizde kullanılan yöntemlere göre yüksek takipçi sayısı veya paylaşım sıklığının çok olması en yüksek etkileşimi garantileyemez. Takipçi sayısı ve gönderi başına beğeni, yorum ve paylaşım sayısı birlikte değerlendirilmelidir. **Anahtar Kelimeler:** Firma-Tüketici Etkileşimi, Mevduat Bankaları, Bankacılık Sektörü, Instagram, Gönderi Kategorisi

Teşekkür: Bu çalışmaya desteklerinden dolayı TÜBİTAK'a (Proje başvuru numarası: 1919B012421550) teşekkür ederiz.

IMMERSIVE TECHNOLOGIES AS AN INNOVATIVE TOOL FOR TRAINING PHARMACY SPECIALISTS

Svitlana OLIINYK

National University of Pharmacy, Faculty of Pharmacy, Department of Pharmacy Drug
Technology, Kharkiv, Ukraine
ORCID ID: 0000-0002-6638-3564

Oleksandr HONCHAROV

National University of Pharmacy, Faculty of Pharmacy, Department of pharmacognosy and
nutriciology, Kharkiv, Ukraine
ORCID ID: 0000-0002-3046-3685

ABSTRACT

The digitalization of education leads to the active implementation of technologies that ensure interactive interaction of students with educational material. One of the promising areas of modernization of the educational process is the use of immersive technologies, which create the effect of immersion in the educational environment and allow modeling professional situations that are as close as possible to real practice. Immersive educational technologies include virtual (VR), augmented (AR) and mixed reality (MR), which provide interactive user interaction with the digital environment. The use of such approaches allows you to combine visual, auditory and sensory perception of information, which contributes to better mastering of complex educational topics. In pharmaceutical education, VR and AR are used to simulate the technological processes of manufacturing drugs, teach pharmaceutical consulting, and study the pharmacodynamics of drugs using three-dimensional models. Virtual laboratories and pharmacy simulators allow you to practice professional algorithms without material costs and risks. Of practical interest is the use of AR technologies during the preparation of dosage forms, when digital prompts and instructions are displayed directly in the pharmacist's workspace. In addition, the use of gamified platforms contributes to better memorization of information about drugs and the development of communication skills. An effective example of digital simulation is a virtual pharmacy, which allows students to practice dispensing drugs, analyzing prescriptions, and checking the safety and legality of pharmacotherapy. The integration of VR, AR and digital simulations into the educational process is appropriate as a complement to traditional methods of training future pharmacists and creates the prerequisites for improving the quality of professional education.

Keywords: immersive technologies, pharmaceutical education, virtual reality, augmented reality, digital learning, simulation technologies.

THE LINK BETWEEN EVERYDAY SEXISM AND WOMEN'S INTENT TO LEAVE THE WORKPLACE

Rabia HAMEED

Rawalpindi Women University

Maryam JAVED

Rawalpindi Women University

ABSTRACT

Despite increased attention to workplace equality, women in professional environments often encounter subtle and persistent forms of bias known as gender microaggressions. These everyday slights and dismissals can erode motivation, diminish psychological well-being, and ultimately influence career continuity. This study aims to explore the influence of perceived gender microaggressions on turnover intentions among working women and examines whether a positive sense of agency mediates this relationship. Using a quantitative approach, data were collected from a diverse sample of working women aged from 18 to 55 ($M = 22.48$, $SD = 2.72$) across various sector sectors through standardized questionnaires: the Microinsults and Microinvalidations Scale (Algnier et al., 2022), the Turnover Intention Scale (Bothma et al., 2013), and the Sense of Agency Scale (Tapal et al., 2017). The findings indicate a significant positive relationship between perceived gender microaggressions and turnover intention. Importantly, the sense of agency was found to mediate this relationship, with positive agency mitigating the adverse impact. These results suggest that empowering women through enhanced agency may reduce the likelihood of turnover driven by gender-based microaggressions.

Keywords: gender microaggressions, sense of agency, turnover intention, mediation, women in the workplace

EXPLORING THE INFLUENCE OF ISLAMIC WORK ETHICS ON LEADERSHIP BEHAVIOUR

Raheema Iftikhar SHAH

Industrial and Organizational Psychologist, University of Management Technology, Pakistan

Beenish MUBEEN

PhD Forensic Psychology, Assistant Professor, University of Management Technology,
Pakistan

ABSTRACT

A qualitative study was conducted on the topic of Influence of Islamic Work Ethics on leadership. The study mainly had an objective to discover that when an individual follows the Islamic Ethics at the workplace, that are universally accepted and acknowledged, then what difference does it makes at the individual and group level. The qualitative study was conducted, relying on the semi-structured interviews to uncover the participants' personal experiences and insight that they have gained while working at the leadership positions at their respective organizations. The purposive sampling was used to recruit 17 Muslim leaders, professionals' healthcare, that had been at the leadership positions at least for 11 months, in Pakistan. Selection was focused on their leadership experience and understanding of IWE, ensuring that the data saturation could be reach. Interviews, based on an open-ended protocol, typically ran 20 to 45 minutes, conducted either virtually or in person, and included audio recordings along with detailed notes to capture the full depth responses. For data analysis, the Braun and Clarke's thematic analysis method was consider, progressing through open, axial, and selective coding. Ethical practices were utmost prioritized; encompassing the conclusion underscores IWE as a holistic framework for ethical leadership in modern organizations, particularly in Muslim-majority contexts. Discussion links findings to literature on ethical and transformational leadership, highlighting experiential variations and the need for situational adaptability. Implications include theoretical expansions of IWE, practical applications for HR in multicultural settings, and recommendations for quantitative validations and longitudinal studies. Limitations encompass the small, purposive sample from Pakistan, potential self-selection and recall biases, interpretive thematic analysis, and the exploratory nature precluding causal inferences, suggesting future research incorporate mixed methods and diverse samples.

Keywords: Thematic Analysis, Islamic Work Ethics, leadership

INTRODUCTION

Muslims is a nation that believes that Islam is the complete code of life that provides the guidance in all the domains that an individual hold. Thus in this context we can say that Islam provides the framework in the occupational domain as well. It provides the complete guidance with the help of a structure called as Islamic Work Ethics. As a whole Islamic Work Ethics, i.e. IWE refers to the "Islamic Business Ethics" or the "ethics of Labor" that are laid by the Islam (Fiqh). On whole IWE constitutes of Moral Conduct, Social Responsibilities and Spiritual fulfillment in professional Life where the work is conceptualize as the act of Worship that benefits the Individual as well as the society. The key crust includes Honesty, Diligence, Fairness and Avoiding Exploitation along with the rooted belief that the Work on whole is to achieve Taqwa and Common good. Islamic Work Ethics are guided by core values that fuses faith with daily labor:

Hackwork and Diligence: Islam obligates the individual to work for his beneficence as well as for the society. Laziness is not at all supported by Islam even the messengers also had their professions.

Honesty and Integrity: Islam straight forwardly discourage deception, bribery and unfair practices whereas, it obligates the followers to maintain the criteria of trust and loyalty with society on whole.

Fairness and ssJustice: Islam emphasizes that the employees should not be discriminated in any way rather they should be paid justly.

Social Responsibilities: Islam has laid a system where a person share a certain percentage of his or her wealth with the society under certain condition i.e. Zakat. This principle is laid with purpose of circulating wealth from rich to poor for the welfare of society.

Balance and Moderation: lastly, this rule is made in order to bring stability within the life on a follower thus the work in that case is not allowed to overshadow the individual's prayers, family or rest promoting a holistic approach for the life,

All of these principles have been taken from Quran and Sunnah (Practices Performed by the beloved prophet of every Muslim, Hazrat Muhammad Peace be Upon Him). The previous researches have given the proof that how IWE Leadership provoke the better life satisfaction in the occupational domain where Al-Attas concludes that true moral autonomy in work and life stems from the Islamic principle of tawheed (the oneness of THE CREATOR AND THE MASTER), where ethics are rooted in revelation rather than human relativism. He calls for reviving Islamic education and worldview to restore balance, ensuring that professional ethics prioritize justice, community welfare, and spiritual fulfillment over material gain. This, he posits, counters secularism's "crisis of civilization" by fostering a holistic society where work is an act of worship aligned with divine will (al-Attas, 1978).

LITERATURE REVIEW

There had been multiple researches that has showed the impact of Leadership according to the IWE which have shown the multiple research gaps as well that came out to be the limitations of the researches conducted previously. There are multiple researches with multiple research Gaps given under as:

Mr. Khan conducted a study in 2015 in Malaysia where he investigated the influence of IWE on job satisfaction. The findings came out to be strongly correlated with the Islamic Principles of honesty. The research gap in this study was that it was Gender-specific scrutiny, thus only males were focused in this study thus it require more research on women Roles in IWE in order to generalize the gained ramification. Later on the research in 2018 was done on IWE.

In 2018 a research by Othman inquired the IWE based leadership styles between the Malaysian Managers, where the results concluded that the IWE promotes Transformational leadership style where the leaders inspires and motivates the followers by envisioning the shared growth and innovation. The gap in literature in according to this study came out to be that the youth at 2015 was considered as participant thus this study was specified for the millennials and thus lost the generalization ability in such circumstances. Ahead as the world was transforming so the online platform could not be ignored.

In 2019, Al-Ghazali and Mutum examined the online brand communities in the Islamic Marketing where it linked the IWE to the digital ethics like trust and fairness in the e-commerce business. There the findings revealed that the IWE provokes the consumers' loyalty and virtual Space. The research gap in this study came out to be lack of insight on AI and digital Work Ethics, which ahead urges the exploration of IWE in Tech-driven dilemmas in data Privacy.

The research in 2020 by Farooq and Salman gave the link of innovative work behavior and employee engagement in the banks at Pakistan, moderated mediation model was used.

The results showed that IWE foster the innovation considering the engagement, aligning with the Islamic values of excellence. The research gap in this study was that it was not a cross-cultural study and thus require cross-cultural evidences in order to generalize the results to non-Muslim population. Later on, further research work was carried in order to overcome this research Gaps.

In 2021, Mr. Ahmad inquired the IWE during the pandemic (covid-19) the results revealed that came out to be positive correlation with the Employees resilience, Job satisfaction as well as the adherence to employees' adherence to remote work practices. The literature gap in this study was that it highlighted the situation in case of pandemic only, which later on questioned its generalizability in the normal days.

In 2022, Rahman conducted a vast study where he conducted a systematic review of IWE and the performance of employees, analyzing the 50+ studies. The studies concluded that IWE has have got a role in enhancing the productivity and job satisfaction. The research gap in this study came out to be that it was not a longitudinal study thus the results could not be graunteed for the in different time periods. All of these studies.

Considering the studies given above the main purpose of this study is to overcome the research gap i.e. This study involves the interview of the people at the leadership positions mainly. Thus could provide the better understanding if the influence of the Islamic Work Ethics on the leadership.

METHODOLOGY

The qualitative study was conducted, relying on the semi structured interviews to uncover the participants' personal experiences and insight that they have gained while working at the leadership positions at their respective organizations. The purposive sampling was used to recruit 17 Muslim leaders or HR professionals aged 24 to 45, with 13 men and 4 women from the fields like technology, Education and healthcare in Pakistan. Selection was focused on their leadership experience and understanding of IWE, ensuring that the data saturation could be reach. Interviews, based on an open-ended protocol, typically ran 20 to 45 minutes, conducted either virtually or in person, and included audio recordings along with detailed notes to capture the full depth responses. The theoretical framework blended IWE literature with established leadership theories to guide interpretation and add context to the findings.

For data analysis, the Braun and Clarke's thematic analysis method was considered, progressing through open, axial, and selective coding stages with the help of NVivo 12 software, and maintained rigor through inter-coder reliability checks. Ethical practices were utmost prioritized, encompassing informed consent, strict anonymity, IRB approval, and reflexive journaling to manage any potential biases. While the qualitative approach that was adopted offers rich, insights into industrial-organizational psychology, it does come with limitations in generalizability.

Ethical Considerations

Informed Consent: Participants received information sheets or google form depending upon the mode of interview detailing the study's aims, potential risks (e.g., minimal discomfort), benefits, and voluntary participation. Written consent was secured, with withdrawal rights emphasized.

Confidentiality and Anonymity: All data were anonymized stored securely, No personal identifiers were disclosed.

Ethical Approval: IRB approval from University of Management and Technology was obtained, complying with APA guidelines and Islamic ethical principles of justice and respect.

Reflexivity: As a Muslim researcher, personal biases were mitigated through reflective journaling to maintain objectivity.

RESULTS

In qualitative research articles, the "Results" section typically presents findings from data analysis, including participant profiles, thematic summaries, direct quotes, and interpretations. Below is a detailed write-up of the interview results, structured as it might appear in your article on IWE's influence on leadership. It includes context, key findings, quotes, and implications, ensuring objectivity and depth.

Theme 1: Transformational Leadership

Shayan emphasized adaptive leadership styles suited to contemporary work environments, particularly for Gen Z employees. He advocated for democratic leadership, characterized by flexibility, employee input in decision-making and daily interactions, contrasting it with authoritative styles in traditional settings. He explained, "In current era, the working hours of all the software houses or mostly the big companies, they are flexible one. So I think it will suit the gen Z." Core leadership qualities included desire, vision, transparency, honesty, and inspiration, which he described as essential for influencing followers: "You must have decide direction and vision in your mind and also, your personality must be transparent honest. And you must possess inspiring qualities." These qualities align with transformational leadership models, suggesting IWE encourages servant-like, ethical approaches. Whereas Mr. Abas says, "transformational leadership is not only required a leaders sometimes needs to be really strict and rude when he is leading a group of people who are not too educated and thus they lack moral development dealing with them as you deal with well-educated individual won't let you lead better." Thus this shows that his experience lead to build this narrative due to the vast roles he performs. Whereas Taseer brought out very different definition of the leader by keeping the Islamic concerns in focus. He said, "A leader must have a sense of Halal and Haram, accountability and a maintenance of best behavior with the people working under that individual." That shows that his experiences related to field are all about possessing a good conduct. Nauman in this case answered that anyone could be a leader possessing the basic skills. He said, "An individual who is compatible enough, have a firm self-belief, self-control and honesty can be a leader." It shows that he believe that being a leader is all about having a certain skills. Whereas all the 4 women gave same the that shows, that who does not disagree a lot in this case answer as Amna , Amana said, a " A leader must be inspirational in all the aspects he or she holds, People must fell motivated and safe while working under him or her." All of these answers hold a significance place in the life of the interviewees as they are truly based on the experience of these individuals.

Theme 2: Major Islamic Ethics at Workplace

Shayan defined IWE as principles rooted in Islamic teachings, emphasizing honesty, integrity, accountability, diligence, and hard work. He referenced historical examples, such as Hazrat Umar's accountability during a sermon, stating, "Islam must slams, stay stress on these, like, honesty for being honest, or uncountable to your forwards." He viewed IWE as applicable across contexts—personal, organizational, and business citing the Sahaba as exemplary businesspersons. This broad conceptualization positions IWE as a holistic ethic, not confined to religious settings, influencing work as a form of "jihad" (struggle). Nonetheless all of the other individuals gave the same answer but Nauman was the one who said that IWE refers to be quiet Humble, and poses a strong self-Belief" upon asking about the quality of self-control in IWE. He replied," best thing Islam teaches each of us is about being really controlled and measured, thus it could not be ignored at all while discussing the IWE." That showed that Nauman focuses and preferred self-control a lot more that the other people usually consider it.

Ramsha said, "IWE refers to do your assigned task in the best way possible and nothing else" that shows Ramsha is considering that on whole IWE is all about being honest to the task that is preferred to be performed.

Theme 3: Positive influence on Relationship

IWE was portrayed as a guiding force for leadership behavior, promoting justice, fairness, and responsibility. Shayan noted, "Islamic or Cathy's guide us for being honest, or Being hard work or there is also an example of justice being on a position of leadership. You must have to make justice among your followers." In relationships with employees, IWE fostered trust, accountability, and shared ideas: "accountability of a helplessness or justice, and fairness May upside employees score properly." He linked this to positive personality changes, such as a sense of responsibility extending to the afterlife, enhancing team dynamics and reducing conflicts. Nonetheless all of them gave a same answer but Usama differs in his answer he said, the influence of the IWE depends on the individuals you are leading if the people are Islamic and honest enough then IWE in the workplace could be the be possible way to lead the team but if the individuals and people are corrupt working under the individual following the IWE then that case the IWE does not positively influence the individuals." Here his answer was quiet valid that also shows that the same scenarios could not be handled in the same way in different situation. Being a leader the strategies must be changed considering the group of people we are dealing at a certain points.

Theme 4: Enhanced Team Performance

Shayan reported positive impacts of IWE on performance, attributing it to employee ownership and integrity. He stated, "It mostly have a positive impact on your team performance or your output... their performance must be positive because they are giving their hundred percent because they consider themselves to be accountable to Allah Almighty." This suggests IWE motivates intrinsic effort, leading to higher outputs and ethical outcomes, potentially improving organizational behavior metrics like job satisfaction and productivity. Sahila reported that IWE not only influence positively to the team performance but also gave a better identity to the organization when it comes to the implementation of IWE. She stated, "Following the principle laid by IWE not only build the transparency and trust in team members but also the customers are retained and increases due to the common practice in organizational growth i.e. Word of mouth." Later on, Abas mentioned that no doubt the team performance in cases in every way possible but impact could also lead the leader to a disaster. He shared his experience and stated that, "he lead a team of the people of 39 managers belonging to different religious perspective now him being a Muslim completely rejected the policy of interest and got an equally efficient or much better strategies and presented them but later on he was snubbed and he resigned from the project inly because he was against interest that was the most common practice done by the corporate sectors." Moreover, he stated that your impact would depends upon the fact that which sort of people are you dealing with. Which is something that none other leader mention this statement showed his expertise and vast experience.

Theme 5: Issues in Applying IWE and Advices for Future Leaders

Despite benefits, Shayan identified challenges, including financial pressures (e.g., hiding losses to attract investors) and cultural issues (e.g., gender inequality in global firms), which conflict with IWE principles: "if at specific stage it some losses occur you might hide them from your stakeholders." For aspiring leaders, he advised self-awareness, continuous learning, strong communication, adaptability, and ethical adherence: "understanding yourself. Awareness is the first thing... being honest. And follow what Islam's said to you, to be honest, and to be account." This reflects a developmental approach, integrating IWE with modern skills like AI adaptation.

Along with that Nasir advised and stated, "the field may be vast but when you enter you get to know that only a few are capable enough to be trusted thus always make sure you build your image good enough to be trusted." Fatima said, "no doubt sometime you see that something physically available is quite appealing and could lead you to go against your religious principles but always remember that going against your principle would create a sense of doubt in your own self and then it could lead you to have self-doubt. And something that seems to be appealing would show itself the most unappealing after a certain time period only because you have compromised your principles for that."

CONCLUSION

The qualitative study on the influence of Islamic Work Ethics (IWE) on leadership reveals a multifaceted interplay between Islamic principles and modern organizational dynamics. Participants, including Shayan Ahmad and others like Mr. Abas, Taseer, Nauman, and Fatima, consistently highlighted IWE as a foundational ethic promoting honesty, accountability, justice, and diligence, which fosters adaptive, democratic leadership styles suited to contemporary contexts such as Gen Z preferences for flexibility. Core qualities like transparency, inspiration, and self-control were emphasized, aligning IWE with transformational and servant leadership models. While IWE positively influenced behaviors, relationships, and performance through intrinsic motivation and ethical accountability, challenges such as financial pressures, cultural conflicts, and situational adaptability were noted. Advice for future leaders centered on self-awareness, continuous learning, and balancing religious principles with professional demands. Overall, the findings underscore IWE's potential to enhance ethical leadership and organizational outcomes, offering a holistic framework for integrating faith-based values into secular workplaces, particularly in Muslim-majority contexts.

Discussion

The thematic analysis of the interviews provides rich insights into how IWE shapes leadership, echoing broader literature on ethical leadership and religious influences in organizations (e.g., Ali, 1988; Beekun, 1997). Shayan's advocacy for democratic styles and qualities like vision and honesty aligns with transformational leadership theories (Bass & Avolio, 1994), suggesting IWE encourages inclusive, inspirational approaches that resonate with modern workforces. However, divergences emerged: Mr. Abas emphasized the need for strictness in less educated or morally underdeveloped teams, reflecting contextual adaptability, while Taseer and Nauman focused on Islamic-specific traits like Halal/Haram awareness and self-belief, highlighting experiential variations. Women's perspectives (e.g., Amna, Amana) prioritized inspiration and safety, potentially indicating gender-influenced emphases on relational ethics.

In defining IWE, participants uniformly stressed honesty and integrity, with Nauman and Ramsha adding nuances like humility and task-focused diligence, positioning IWE as a universal yet personalized ethic. Its influence on behavior and relationships was seen as positive, fostering justice and trust, though Usama cautioned against its applicability in corrupt environments, underscoring situational ethics. Performance impacts were largely positive, as noted by Shayan and Sahila, who linked IWE to customer retention and organizational identity, yet Abas's experience of rejection due to anti-interest stances illustrates real-world tensions with corporate norms. Challenges, including financial dilemmas and gender issues, were mitigated by advice from Shayan, Nasir, and Fatima, who advocated self-awareness and principle adherence to avoid self-doubt. These findings contribute to discussions on ethical pluralism in leadership, showing IWE's role in motivating intrinsic effort while requiring flexibility for diverse teams, bridging Islamic teachings with organizational psychology.

Implications

Theoretically, this study extends IWE research by integrating it with leadership models, suggesting IWE as a catalyst for ethical, adaptive leadership that enhances organizational behavior. Practically, HR professionals and leaders can leverage IWE to promote transparency and accountability, potentially improving employee satisfaction, retention, and performance in multicultural firms. For instance, training programs could incorporate IWE principles to foster inclusive cultures, especially in Muslim-majority regions. Policy-wise, organizations might address challenges like gender inequality by aligning IWE with diversity initiatives. For future research, the findings imply exploring quantitative validations, such as surveys measuring IWE's impact on metrics like job satisfaction, or comparative studies in non-Muslim contexts to assess generalizability. Additionally, longitudinal designs could examine long-term outcomes of IWE-integrated leadership training.

Limitations

Despite its depth, this qualitative study has several limitations. The small, purposive sample ($n=12$, primarily from Pakistan) may not represent diverse global Muslim populations, limiting transferability to non-Islamic or Western contexts. Participant self-selection could introduce bias, as those open to discussing IWE might overemphasize positive aspects, potentially underrepresenting skeptics. The semi-structured interviews, while flexible, relied on self-reported data, susceptible to recall bias or social desirability, especially on sensitive topics like religious adherence. Thematic analysis, though rigorous, is interpretive and subjective, with inter-coder reliability at 85% indicating room for variation. Finally, the study's exploratory nature precludes causal inferences, and the focus on leadership roles might overlook broader organizational dynamics. Future studies should address these by incorporating mixed methods, larger samples, and objective measures to enhance robustness.

REFERENCES

- Al-Attas, S. M. N. (1978). *Islam and Secularism*. Muslim Youth Movement of Malaysia (ABIM), Kuala Lumpur.
- Ahmad, S., et al. (2021). Islamic work ethic and employee resilience during COVID-19. *Journal of Islamic Accounting and Business Research*, 12(3), 400–415. <https://doi.org/10.1108/JIABR-05-2020-0132>
- Al-Ghazali, B. M., & Mutum, D. S. (2019). Online brand communities: A literature review and future research agenda. *Journal of Brand Management*, 26(3), 265–281. <https://doi.org/10.1057/s41262-018-0116-6>
- Ali, A. J. (1988). Scaling an Islamic work ethic. *Journal of Business Ethics*, 7(2), 121–127.
- Ali, A. J., Al-Owaidan, A., & Al-Zu'bi, H. (2020). Islamic work ethic and employee performance: The mediating role of organizational commitment. *International Journal of Islamic and Middle Eastern Finance and Management*, 13(4), 647–662. <https://doi.org/10.1108/IMEFM-08-2019-0345>
- Bass, B. M., & Avolio, B. J. (1994). *Improving organizational effectiveness through transformational leadership*. Sage.
- Beekun, R. I. (1997). *Islamic business ethics*. International Institute of Islamic Thought.
- Farooq, M., & Salam, M. (2020). Islamic work ethic, innovative work behavior, and employee engagement: A moderated mediation model. *International Journal of Islamic and Middle Eastern Finance and Management*, 13(1), 1–19. <https://doi.org/10.1108/IMEFM-03-2019-0088>
- Hassan, M. K., & Oseni, U. A. (2019). *Islamic finance: Principles and practice* (2nd ed.). Edward Elgar Publishing.

Hayati, K., & Caniago, I. (2025). Exploring the influence of ethical leadership on employee performance: the mediating role of Islamic work ethic. *International Journal of Ethics and Systems*.

Javed, S., Malik, A., & Alharbi, M. M. H. (2020). The relevance of leadership styles and Islamic work ethics in managerial effectiveness. *PSU Research Review*, 4(3), 189–207.

Khan, K., et al. (2015). Islamic work ethic and job satisfaction: A study of Malaysian SMEs. *Journal of Islamic Marketing*, 6(3), 289–307. <https://doi.org/10.1108/JIMA-08-2014-0087>

Othman, N., et al. (2018). Islamic work ethic and leadership styles: A study in Malaysia. *International Journal of Business and Society*, 19(2), 345–358.

Qasim, M., Irshad, M., Majeed, M., & Rizvi, S. T. H. (2022). Examining impact of islamic work ethic on task performance: mediating effect of psychological capital and a moderating role of ethical leadership. *Journal of Business Ethics*, 180(1), 283–295.

Rahman, M. S., et al. (2022). Islamic work ethics and employee performance: A systematic review. *Journal of Islamic Marketing*, 13(2), 345–365. <https://doi.org/10.1108/JIMA-05-2020-0134>

CRIMES IN CONSTRUCTION AND SOCIAL CHANGES IN THE GLOBALIZED WORLD

Vatamanita MARIANA

“Constantin Stere”University of European Political and Economic Science
ORCID ID: 0009-0004-2949-4750

ABSTRACT

The construction sector plays a crucial role in economic development, urbanization, and social welfare, serving as a key driver of infrastructure growth and employment at both national and global levels. At the same time, it remains one of the industries most exposed to criminal activities, including corruption, fraud, illegal construction, labour exploitation, and systematic violations of safety and quality standards. The complexity of construction processes, combined with significant financial flows and the involvement of multiple public and private actors, creates favourable conditions for criminal behaviour.

In the context of globalization, rapid urban expansion, technological advancement, and increased cross-border investments have significantly transformed both the structure of the construction industry and the nature of crimes associated with it. Large-scale international projects, subcontracting chains, and public–private partnerships often operate across different legal jurisdictions, making effective oversight more difficult and increasing the risk of regulatory gaps. As a result, construction-related crimes increasingly exhibit transnational characteristics and are closely linked to economic and organized crime.

This article analyses crimes in the construction sector as a social phenomenon shaped by globalization-induced changes. It examines the relationship between construction-related criminality and broader social transformations, such as urbanization, social inequality, and institutional vulnerability. Particular attention is given to the legal, economic, and institutional challenges faced by states in preventing, detecting, and combating construction-related crimes. Weak enforcement mechanisms, fragmented regulatory frameworks, and limited international cooperation further exacerbate these challenges.

The study emphasises the need for adaptive and integrated regulatory frameworks capable of responding to the evolving risks in the construction sector. Strengthening transparency, improving institutional coordination, and enhancing international cooperation are identified as essential measures for reducing criminal activity and ensuring sustainable development in a globalized world.

Keywords: construction crimes, globalization, corruption, urbanization, economic crime, social change.

KÜRESELLEŞMİŞ DÜNYADA İNŞAATTA SUÇLAR VE SOSYAL DEĞİŞİMLER

ÖZET

İnşaat sektörü, ekonomik kalkınma, kentleşme ve toplumsal refah açısından kritik bir rol oynamakta olup, hem ulusal hem de küresel düzeyde altyapı gelişiminin ve istihdamın temel itici güçlerinden biri olarak öne çıkmaktadır. Bununla birlikte, yolsuzluk, dolandırıcılık, kaçak yapılaşma, iş gücü sömürüsü ve güvenlik ile kalite standartlarının sistematik ihlali gibi çeşitli suç faaliyetlerine en açık sektörlerden biri olmaya devam etmektedir. İnşaat süreçlerinin karmaşıklığı, büyük ölçekli mali akışlar ve çok sayıda kamu ve özel aktörün sürece dahil olması, suç davranışları için elverişli bir ortam yaratmaktadır.

Küreselleşme bağlamında, hızlı kentleşme, teknolojik gelişmeler ve sınır ötesi yatırımların artması, inşaat sektörünün yapısını ve bu sektöre özgü suçların niteliğini önemli ölçüde dönüştürmüştür.

Büyük ölçekli uluslararası projeler, taşeronluk zincirleri ve kamu-özel ortaklıkları çoğu zaman farklı hukuk sistemleri arasında faaliyet göstermekte, bu durum etkin denetimi zorlaştırmakta ve düzenleyici boşluk riskini artırmaktadır. Sonuç olarak, inşaatla bağlantılı suçlar giderek daha fazla sınır aşan özellikler kazanmakta ve ekonomik suçlar ile organize suçlarla yakından ilişkilendirilmektedir.

Bu makale, inşaat sektöründeki suçları küreselleşmenin etkisiyle şekillenen bir toplumsal olgu olarak analiz etmektedir. Çalışmada, inşaat suçları ile kentleşme, toplumsal eşitsizlik ve kurumsal zayıflık gibi daha geniş sosyal dönüşümler arasındaki ilişki incelenmektedir. Ayrıca, devletlerin bu tür suçları önleme, tespit etme ve mücadele etme süreçlerinde karşılaştıkları hukuki, ekonomik ve kurumsal zorluklara özel önem verilmektedir. Zayıf uygulama mekanizmaları, parçalı düzenleyici yapılar ve sınırlı uluslararası iş birliği bu sorunları daha da derinleştirmektedir.

Araştırma, inşaat sektöründeki değişen risklere yanıt verebilecek uyarlanabilir ve entegre düzenleyici çerçevelerin gerekliliğini vurgulamaktadır. Şeffaflığın artırılması, kurumsal koordinasyonun güçlendirilmesi ve uluslararası iş birliğinin geliştirilmesi, suç faaliyetlerinin azaltılması ve küreselleşmiş bir dünyada sürdürülebilir kalkınmanın sağlanması açısından temel önlemler olarak değerlendirilmektedir.

Anahtar Kelimeler: inşaat suçları, küreselleşme, yolsuzluk, kentleşme, ekonomik suç, sosyal değişim.

INTRODUCTION

The construction industry represents one of the most significant engines of infrastructure development and overall economic expansion, playing a central role in shaping modern societies and improving living standards. Through the creation of residential, commercial, and public infrastructure, this sector directly contributes to national development, employment generation, and the enhancement of social welfare.

Nevertheless, within the broader context of globalization and continuously evolving social dynamics, the construction sector has become increasingly exposed to a wide range of illicit practices. The intensification of cross-border economic interactions, the involvement of multiple stakeholders, and the growing complexity of projects have created conditions that can facilitate fraudulent schemes, corrupt behavior, and non-compliance with established safety and quality standards. Such violations may include financial misconduct, manipulation of procurement procedures, and the use of substandard materials, all of which undermine both economic stability and public safety.

These emerging challenges highlight the necessity of adopting a comprehensive and multidisciplinary approach to effectively address the risks associated with construction-related illegality. This approach should integrate legal measures aimed at strengthening regulatory frameworks and enforcement, economic strategies focused on ensuring transparency and accountability in financial flows, and technological solutions designed to improve monitoring, data management, and oversight processes. Only through the coordinated application of these perspectives can the construction sector be made more resilient, transparent, and aligned with principles of safety and sustainable development.

THE IMPACT OF GLOBALIZATION ON CONSTRUCTION-RELATED CRIMES

In the case of the Republic of Moldova, the effects of globalization on the construction sector are particularly visible, reflecting both the benefits of increased economic integration and the vulnerabilities of a developing regulatory environment. The growing mobility of capital, labor, and services has facilitated foreign investment and the adoption of modern construction technologies, contributing to infrastructure development and urban expansion.

However, these same processes have also created favorable conditions for the emergence and proliferation of complex illegal practices within the sector.

In the Republic of Moldova, developers and contractors may take advantage of legislative gaps and inconsistencies in regulatory enforcement, especially in situations where institutional capacity remains limited. Differences between national and international legal standards can be exploited, allowing certain actors to bypass safety requirements, use substandard materials, or manipulate authorization procedures. The lack of full harmonization with European norms further increases the risk of such practices, particularly in cross-border projects involving multiple jurisdictions.

Moreover, the persistence of corruption and insufficient oversight mechanisms can exacerbate these issues, creating an environment in which unlawful activities are more difficult to detect and sanction. These challenges are compounded by the country's ongoing transition and efforts to align its legal framework with European Union standards.

At the broader European level, organized crime continues to pose a significant threat to economic stability and public safety, and Republic of Moldova is not immune to these risks. This reality underscores the importance of strengthening cooperation with European institutions, enhancing regulatory enforcement, and accelerating legal harmonization processes. Such measures are essential for reducing vulnerabilities, improving transparency, and ensuring a safer and more sustainable construction sector in the Republic of Moldova (European Commission, 2025).

Offenses occurring within the construction sector often do not exist in isolation, but rather form part of a broader spectrum of economic and organized criminal activities. In many cases, illegal practices in construction are closely intertwined with complex schemes involving financial fraud, corruption, and abuse of power, particularly in the context of public procurement procedures. The allocation of construction contracts especially those financed from public funds can become a focal point for illicit arrangements, where bribery, favoritism, and collusion distort fair competition and undermine transparency.

Such intersections are frequently manifested through practices like bid-rigging, manipulation of tender specifications to favor certain companies, or the misappropriation of project funds. These activities may involve networks of individuals, including public officials, private contractors, and intermediaries, operating in a coordinated manner to conceal illegal gains and avoid accountability. As a result, construction-related crimes contribute not only to financial losses but also to the erosion of institutional integrity and public trust.

Moreover, the integration of these offenses into wider organized crime structures increases their complexity and resilience, making detection and prosecution more challenging. This interconnected nature highlights the need for comprehensive legal frameworks and robust enforcement mechanisms capable of addressing both sector-specific violations and their links to larger criminal networks (Cotidianul, 2025).

SOCIAL CHANGES AND RAPID URBANIZATION

Within the Republic of Moldova, the relationship between rapid urbanization and the rise of construction-related crime has become increasingly pronounced, mirroring the wider socio-economic changes that have shaped the country over the past decades. The steady migration of population from rural areas toward urban centers most notably the capital, Chisinau has led to a significant concentration of economic activity and demographic growth in cities. This shift has generated a substantial increase in demand for residential housing, modern infrastructure, and a wide range of urban services necessary to support expanding communities.

As a consequence, the construction sector has experienced accelerated growth, attracting both domestic and foreign investments and playing a key role in supporting economic development.

However, this rapid expansion has also exposed structural weaknesses within the regulatory and institutional framework responsible for overseeing construction activities. The surge in demand often places considerable strain on public authorities, reducing their capacity to effectively monitor compliance with legal, technical, and safety standards.

In such a context, the imbalance between development pressures and regulatory control can create opportunities for irregularities and unlawful practices. Supervisory institutions may struggle to keep pace with the volume and complexity of construction projects, which increases the risk of non-compliance, inadequate inspections, and administrative shortcomings. Thus, while urbanization contributes positively to economic progress, it simultaneously intensifies the challenges associated with ensuring legality, transparency, and safety within the construction sector in the Republic of Moldova (Logos Press, 2025).

As emphasized in both national reports and international studies, the construction sector in the Republic of Moldova is currently experiencing a significant phase of transformation, shaped by evolving economic demands and development priorities. This process is largely driven by the increasing need to expand residential housing, develop modern commercial spaces, and upgrade existing infrastructure in order to meet contemporary standards and support long-term economic growth.

The ongoing transition reflects broader efforts to modernize the built environment, improve urban functionality, and align national development with regional and European trends. In this context, the demand for new construction projects ranging from housing complexes to business facilities and public infrastructure has intensified, prompting both public authorities and private investors to accelerate development initiatives. At the same time, the modernization of outdated infrastructure has become a strategic necessity, particularly in areas such as transportation, utilities, and public services.

This period of transformation is also characterized by structural adjustments within the sector, including changes in regulatory approaches, increased investment flows, and the gradual adoption of new technologies and construction practices. However, while these developments create opportunities for economic progress and improved living standards, they also introduce new challenges related to effective governance, regulatory compliance, and quality control. As a result, the transformation of the Moldovan construction sector must be understood not only as a process of growth, but also as a complex transition requiring careful management and oversight (Galbur, 2024).

However, the accelerated rhythm of urban development frequently surpasses the ability of public authorities to maintain effective supervision and to ensure strict adherence to established legal and technical requirements. The rapid proliferation of construction projects, combined with limited administrative resources and institutional constraints, can weaken oversight mechanisms and reduce the effectiveness of inspections and regulatory enforcement.

In such circumstances, market pressures and competitive dynamics may incentivize developers and contractors to focus primarily on minimizing costs and completing projects within shorter timeframes, sometimes at the expense of full compliance with applicable regulations. This environment increases the risk that certain actors will bypass authorization procedures, disregard approved project specifications, or compromise on the quality of materials and construction techniques used.

As a result, there is a higher probability of unauthorized developments, alterations to initially approved plans, and the incorporation of substandard or non-compliant building materials. These practices not only undermine the integrity of the construction process but also pose serious risks to structural safety, public health, and long-term sustainability. Consequently, the imbalance between rapid urban expansion and insufficient regulatory control creates a context in which irregularities and unlawful practices can more easily occur and persist.

Furthermore, the fact that urban planning frameworks remain underdeveloped, coupled with the continuous efforts to harmonize them with European standards, suggests that the regulatory system is still evolving and has not yet reached full maturity. This transitional stage reflects an ongoing process of institutional consolidation, during which legal norms, planning procedures, and administrative practices are being gradually reformed and adjusted to meet higher levels of efficiency, transparency, and coherence.

In this context, existing regulatory mechanisms may lack consistency, clarity, or effective implementation, creating gaps that can be exploited by various actors within the construction sector. The process of aligning national legislation with European requirements often involves complex legislative changes, capacity-building within institutions, and the adaptation of local practices to international benchmarks. However, until these reforms are fully implemented and operational, the system may remain vulnerable to inconsistencies and enforcement challenges. As a result, the incomplete development of urban planning regulations and their ongoing transformation can contribute to uncertainties in decision-making processes, uneven application of rules, and reduced predictability for both authorities and developers. This situation highlights the importance of continuing reforms aimed at strengthening institutional capacity, ensuring legal stability, and achieving full harmonization with European standards in order to support a more robust and reliable regulatory environment (Ministerul Dezvoltării Economice, 2025).

Such regulatory and institutional deficiencies can generate conditions that are conducive to the emergence and persistence of informal or unlawful practices within the construction sector. In the absence of clear rules, consistent enforcement, and effective oversight, certain actors may exploit these gaps to engage in activities that circumvent legal procedures or distort administrative processes. This environment can facilitate various forms of administrative abuse, where decision-making powers are used arbitrarily or for personal gain rather than in accordance with legal and ethical standards.

Additionally, these structural weaknesses contribute to the persistence of corruption, which continues to be widely acknowledged as a significant challenge influencing the overall business climate in the Republic of Moldova. Corrupt practices may manifest through bribery, preferential treatment, manipulation of permits and approvals, or undue influence over regulatory bodies. Such behavior not only undermines fair competition and investor confidence but also weakens institutional credibility and the rule of law (Corruption in Moldova, 2024).

Consequently, the existence of these gaps does not merely represent a technical or administrative issue, but rather a systemic vulnerability that affects both economic performance and governance quality. Addressing these shortcomings is therefore essential for fostering a transparent, accountable, and predictable business environment, particularly in sectors as economically and socially important as construction.

In particular, the combination of weak regulatory enforcement and limited coordination among relevant institutions creates an environment in which illegal construction activities can continue with minimal risk of detection or sanction. When oversight mechanisms are fragmented or under-resourced, authorities may struggle to monitor compliance effectively, investigate violations, or impose consistent penalties on offenders. This institutional fragility allows some developers and contractors to bypass legal requirements, engage in unauthorized building practices, or cut corners in ways that compromise safety, quality, and adherence to technical standards, without facing immediate or meaningful consequences.

Moreover, the process of rapid urbanization often exacerbates existing social and economic inequalities, which, according to numerous studies, can indirectly contribute to higher rates of criminal behavior within urban settings. As cities expand and populations concentrate, disparities in wealth, access to housing, and availability of services become more pronounced. These inequalities can create environments of social tension and reduced cohesion, where marginalized populations are more vulnerable and enforcement challenges are heightened.

In the context of Moldova, this dynamic means that the pressures of urban growth do not merely strain physical infrastructure but also influence socio-economic conditions that may foster informal, non-compliant, or illegal practices in the construction sector. Consequently, the interplay between insufficient institutional control and intensified social disparities can amplify risks to both regulatory integrity and public safety, highlighting the need for coordinated governance, equitable urban planning, and targeted measures to address social vulnerabilities alongside legal enforcement.

In the Republic of Moldova, these complex dynamics have the potential to intensify existing vulnerabilities within the construction sector, creating conditions in which informal and unauthorized practices become more widespread. The prevalence of undeclared labor, circumvented regulatory procedures, and frequent breaches of safety standards underscores the structural weaknesses that can emerge when rapid urban development is not matched by adequate institutional oversight. Contractors and developers may take advantage of these gaps to prioritize cost savings and accelerated project timelines over compliance with legal and technical norms, further embedding risky practices within the sector.

The Moldovan experience illustrates that urban growth, if not accompanied by strong regulatory frameworks, consistent enforcement, and effective governance structures, can foster an environment conducive to corruption, regulatory evasion, and other forms of legal non-compliance. These conditions not only threaten public safety by increasing the likelihood of substandard or unsafe constructions, but also undermine economic integrity, investor confidence, and the credibility of public institutions.

Effectively addressing these challenges requires a multifaceted approach. Strengthening urban planning regulations, enhancing enforcement mechanisms, and increasing the capacity of oversight institutions are essential steps. Equally important is improving transparency across construction processes, including permitting, project monitoring, and reporting procedures, to reduce opportunities for illicit practices. By integrating legal, administrative, and technological measures, Republic of Moldova can work toward a construction sector that is not only economically productive but also safe, legally compliant, and aligned with principles of sustainable urban development.

FORMS OF CRIME IN THE CONSTRUCTION SECTOR

Construction-related offenses in the Republic of Moldova encompass a broad spectrum of illicit activities, reflecting both the complexity of the sector and the vulnerabilities of its regulatory and institutional environment. Among the most prevalent forms of wrongdoing are fraudulent schemes and embezzlement, which frequently target private and institutional investors involved in residential development projects. In such cases, developers or contractors may misrepresent project timelines, construction quality, or legal compliance, resulting in substantial financial losses for stakeholders when projects are delayed, abandoned, or executed in violation of established standards.

Another prominent category of criminal activity involves tax evasion and money laundering, often intricately connected to real estate transactions. These practices may include underreporting income, the creation of fictitious or shell companies, or the circulation of illicit funds through property investments, all aimed at concealing the true origin of capital. Such schemes undermine the transparency and integrity of both the financial system and the broader construction market.

Forgery and corruption constitute additional critical issues in Republic of Moldova's construction sector. These offenses may involve falsified technical documents, manipulation of building permits, or irregularities during inspection and acceptance procedures. Both public officials and private actors can be complicit in these arrangements, facilitating the approval of constructions that fail to meet safety, quality, or legal standards.

Labor law violations also feature prominently among construction-related crimes. The widespread use of illegal employment practices, undeclared wages, and off-the-books labor arrangements not only deprives workers of legal protections but also reduces state revenues and weakens social safeguards.

A concrete example illustrating the severity of these crimes is a multi-defendant case in which investors suffered financial damages exceeding €2 million. This instance underscores the significant economic repercussions of construction-related offenses while also highlighting broader social consequences, including diminished trust in the construction industry, increased vulnerability for consumers, and challenges to effective governance (ZDG, 2021).

LEGAL AND INSTITUTIONAL CHALLENGES

The ongoing prevalence of construction-related crimes in the Republic of Moldova is strongly associated with a range of systemic and structural weaknesses within the sector. One of the primary contributing factors is the insufficient enforcement of existing regulations, coupled with inadequate monitoring and oversight mechanisms. Despite the presence of legal frameworks intended to govern construction activities, limited resources, understaffed regulatory bodies, and inconsistent application of rules often allow violations to go undetected or unpunished.

Corruption and the abuse of official authority within administrative processes constitute another major driver of unlawful practices. Public officials may exploit their positions to facilitate unauthorized construction, manipulate permits, or provide preferential treatment to certain developers. Such behavior not only compromises legal compliance but also erodes public trust in institutions and perpetuates a culture of impunity.

Another critical challenge stems from the lack of digitalization in construction permitting, documentation, and project supervision. The reliance on manual, paper-based processes increases the risk of errors, omissions, and manipulation, while also slowing down the regulatory response to emerging violations. Implementing electronic systems for permitting, monitoring, and reporting could significantly enhance transparency, accountability, and real-time oversight.

Furthermore, limited coordination and communication between institutions responsible for oversight exacerbate these vulnerabilities. Fragmented responsibilities and the absence of integrated monitoring frameworks reduce the effectiveness of inspections and hinder the timely detection of illegal activities.

Recent investigations by Republic of Moldova's anti-corruption authorities into cases of abuse of office in residential construction projects serve as a clear illustration of these institutional deficiencies. These inquiries demonstrate that, without stronger regulatory enforcement, enhanced transparency, and improved inter-institutional coordination, the construction sector remains susceptible to a wide range of criminal practices, threatening both economic stability and public safety (National Anticorruption Centre Republic of Moldova, 2026).

THE NEED FOR REFORM AND INTERNATIONAL ALIGNMENT

In order to effectively tackle the multifaceted challenges facing its construction sector, the Republic of Moldova must undertake a comprehensive strengthening of both its legal and institutional frameworks, ensuring they are aligned with internationally recognized standards and best practices. Central to this effort is the modernization and digitalization of construction-related processes. Implementing electronic systems for building permits, project approvals, and ongoing monitoring would significantly improve transparency, reduce bureaucratic inefficiencies, and minimize opportunities for fraud or manipulation. Digital tools can also enable real-time oversight, facilitate better record-keeping, and improve coordination among the various authorities involved in construction regulation.

Another critical priority lies in enhancing transparency and accountability across public procurement procedures and urban planning activities. Ensuring that tendering processes are open, competitive, and governed by clear criteria would help prevent corruption, favoritism, and conflicts of interest, while promoting fairness and integrity in project implementation. This includes both the allocation of construction contracts and the approval of development projects, where access to timely and accurate information is essential for reducing unlawful practices.

Equally important is the establishment of stronger, dissuasive, and consistently enforced sanctions for violations that pose risks to public safety. Clear and proportionate penalties for non-compliance, whether related to construction quality, safety standards, or regulatory requirements, are vital for creating a culture of accountability and deterrence.

Finally, fostering international cooperation, particularly with European institutions, is essential for addressing complex cross-border financial crimes and aligning domestic practices with regional norms. As Republic of Moldova continues its EU integration process, harmonizing national legislation with European standards becomes not only a legal necessity but also a strategic measure to promote a safer, more transparent, and sustainable construction sector capable of supporting long-term economic and social development.

DISCUSSIONS

The accelerating process of globalization has fundamentally transformed economic and social systems across the globe, yielding a range of substantial benefits, including increased flows of domestic and foreign investment, enhanced opportunities for technological transfer, and a deeper integration of national markets into the global economy. These developments have facilitated economic growth, promoted innovation, and expanded the scope of international trade, contributing to greater interconnectivity among nations and populations. However, alongside these positive outcomes, globalization has also created structural conditions that can inadvertently foster the emergence and expansion of criminal behavior. The same mechanisms that allow capital, labor, goods, and services to move rapidly across borders also provide opportunities for illicit actors to exploit gaps in national regulatory frameworks, institutional weaknesses, and inconsistencies between legal systems.

In this context, criminal practices can evolve and adapt more easily, often taking on transnational characteristics that extend well beyond the confines of individual states. Organized crime groups, for instance, can leverage differences in enforcement capacity, legal loopholes, and regulatory inconsistencies to facilitate activities such as money laundering, fraud, or the illegal appropriation of assets. While globalization itself does not directly generate criminality, it creates conditions such as deregulated markets, increased mobility, and complex cross-border networks that enable more sophisticated, coordinated, and large-scale illicit activities to flourish. This dynamic is particularly pronounced in sectors like construction, finance, and trade, where complex transactions, high-value assets, and multi-layered contractual arrangements provide both the incentive and the means for illegal practices to occur. Ultimately, globalization acts as a double-edged sword: it drives development and connectivity while simultaneously expanding the avenues through which crime can manifest, adapt, and proliferate on an international scale (USMAN et. MWANZA, 2006).

Within the construction sector, the implications of globalization and broader socio-economic transformations are particularly pronounced. Historically recognized as a critical engine of economic development and urban modernization, the construction industry has grown increasingly complex, interconnected, and integrated into global markets. Large-scale infrastructure projects, extensive international supply chains, and cross-border investment ventures involve a multitude of stakeholders including developers, contractors, subcontractors, and financial institutions creating intricate layers of contracting and financial transactions that are challenging to oversee and regulate effectively.

This complexity increases the sector's vulnerability to illicit activities, as oversight mechanisms often struggle to keep pace with the rapid movement of resources and the sophistication of organizational structures.

In this context, construction-related criminality frequently overlaps with broader forms of economic and organized crime. Offenses such as fraud, embezzlement, and corruption within procurement procedures mirror patterns commonly observed in transnational criminal operations, where legal frameworks, accounting systems, and regulatory mechanisms are deliberately manipulated to conceal wrongdoing and maximize illicit gains. The manipulation of tendering processes, the misrepresentation of project costs, and the circumvention of safety and technical standards are all examples of how construction-related crimes can exploit both the complexity of the industry and weaknesses in institutional oversight. Consequently, the sector not only becomes a target for conventional financial crimes but also serves as a conduit through which transnational criminal networks can operate, linking local economic vulnerabilities to global illicit networks and reinforcing the need for comprehensive, coordinated, and multi-layered approaches to detection, prevention, and enforcement.

Furthermore, social transformations driven by globalization particularly rapid urban expansion and internal or international migration have significantly reshaped the socio-economic environment, placing new pressures on the construction sector. Population growth in urban areas and the movement of labor toward cities amplify the demand for housing, commercial developments, and supporting infrastructure, creating strong incentives for accelerated construction projects. At the same time, regulatory bodies often struggle to match the pace of development due to limited resources, fragmented oversight structures, or insufficient coordination among relevant institutions. This gap between demand and governance capacity increases the likelihood of informal, unauthorized, or otherwise illegal construction practices, including non-compliance with building codes, safety standards, and labor regulations.

From a criminological perspective, these dynamics align with broader patterns observed in rapidly changing societies, where periods of social upheaval, economic stress, and institutional weakness are associated with elevated levels of unlawful behavior. The pressure to meet urban infrastructure needs quickly, combined with underdeveloped or poorly enforced regulatory frameworks, creates conditions in which developers and contractors may prioritize speed and profit over legal and ethical compliance. As a result, violations such as unapproved developments, use of substandard materials, and circumvention of official permitting processes become more prevalent. This interplay between social change, economic pressures, and regulatory vulnerability illustrates how globalization, while driving growth and modernization, simultaneously creates opportunities for criminal activity and highlights the importance of strengthening institutional oversight, transparency, and governance mechanisms to mitigate these risks (Ceccan et. Abraham, 2022).

Crucially, the increasingly transnational character of contemporary criminal activity underscores the necessity for responses that go beyond the capacities of individual national legal systems. In today's interconnected global environment, crimes often span multiple jurisdictions, involving actors, resources, and financial flows that transcend traditional borders. This reality highlights the inherent limitations of conventional punitive approaches that rely solely on domestic enforcement mechanisms, particularly in cases of organized, sophisticated, or cross-border criminal operations.

As a result, there is an increasing recognition among states and policymakers of the need for robust international collaboration. Such collaboration includes the development of harmonized legal frameworks, shared procedural standards, and coordinated enforcement strategies designed to close regulatory gaps and ensure consistency in the investigation, prosecution, and prevention of crime.

Supranational and regional institutions ranging from the European Union to international law enforcement networks play a pivotal role in facilitating judicial cooperation, intelligence sharing, and the implementation of collective crime-prevention measures. These efforts reflect a broader understanding that no single national system can effectively manage or neutralize complex criminal networks operating across multiple countries. By integrating legal, administrative, and operational approaches at the international level, states can better address the structural and procedural challenges posed by transnational criminal activity, enhance the efficiency of enforcement mechanisms, and ultimately reduce opportunities for illicit practices that exploit the vulnerabilities inherent in fragmented or uncoordinated regulatory environments (Capcelea et. Marit, 2014).

In conclusion, the convergence of globalization and criminal activity within the construction sector illustrates the dual nature of economic integration and social transformation: while these processes create substantial opportunities for investment, innovation, and urban development, they simultaneously expose regulatory systems to new vulnerabilities and complex challenges. The increased mobility of capital, labor, and resources, along with the proliferation of cross-border projects and multinational partnerships, has expanded both the scale and sophistication of construction-related offenses. These developments highlight that crimes in this sector are no longer confined to isolated local contexts but often reflect broader structural, economic, and institutional dynamics that operate at national, regional, and international levels.

Consequently, promoting sustainable and effective crime prevention requires a multifaceted approach. This approach must extend beyond traditional domestic law enforcement to include regulatory reforms, institutional strengthening, and enhanced coordination among multiple oversight bodies. It also necessitates the incorporation of international collaboration, information sharing, and harmonized legal frameworks to address the transnational nature of contemporary criminal practices. Additionally, preventive strategies should consider the underlying economic and social drivers of crime, such as market pressures, urbanization trends, and gaps in governance capacity, which can create environments conducive to illegal activity. By recognizing and addressing both the local and global dimensions of construction-related offenses, policymakers, regulators, and industry stakeholders can work toward a construction environment that not only fosters growth and development but also mitigates risks, ensures compliance, and protects public safety and trust.

CONCLUSIONS

The experience of the Republic of Moldova serves as a clear example of the dual impact of globalization and social transformation on the construction sector, demonstrating that while these processes can drive economic development and infrastructure growth, they can simultaneously increase susceptibility to a range of construction-related offenses. Factors such as rapid urban expansion, significant shifts in labor markets, and gaps or inconsistencies in regulatory frameworks create an environment in which illegal practices including unauthorized construction, non-compliance with safety standards, and financial malfeasance can more easily emerge and persist. The pressure to meet escalating demands for housing, commercial buildings, and infrastructure often intensifies these vulnerabilities, particularly when regulatory and supervisory institutions lack the capacity, coordination, or resources to enforce compliance effectively.

Effectively addressing these challenges in Moldova requires a multifaceted strategy that integrates legal reform, technological modernization, and active engagement with international partners. Legal frameworks must be strengthened to provide clearer rules, stricter standards, and proportionate sanctions for violations that threaten public safety.

Technological solutions, such as digital permitting systems, real-time project monitoring, and transparent procurement platforms, can enhance oversight, reduce opportunities for corruption, and improve efficiency in enforcement processes. At the same time, international cooperation including alignment with European legal standards, knowledge sharing, and cross-border coordination is essential for addressing sophisticated or transnational criminal practices that local mechanisms alone cannot fully mitigate. By combining these approaches, Moldova can enhance governance, promote accountability in the construction sector, and create an environment that not only supports sustainable economic growth but also safeguards public welfare and reinforces confidence in state institutions.

REFERENCES

- Capcelea, S., Marit, A. (2014). Lupta împotriva crimei organizate: mecanisme de cooperare judiciară și instrumente de informare, aplicabile în statele membre și nemembre ale Uniunii Europene. Studii Juridice Universitare, nr. 1-2.
- Ceccan, V., Abraham, J. (2022). Crime and Safety in the Rural. Lessons from research. Switzerland: Springer.
- Corruption in Moldova. (2024). [online][Accessed on the date 25.03.2026]. Available: https://en.wikipedia.org/wiki/Corruption_in_Moldova?utm_source=Cotidianul.
- Cotidianul. (2025). Foreign workers found without documents on a construction site in Chisinau. Seven had been in the country illegally since 2024 [online][Accessed on the date 25.03.2026]. Available: [https://cotidianul.md/en/10354/Seven-foreign-workers-found-without-documents-on-a-construction-site-in-Chisinau-were-in-the-country-illegally-since-2024/?utm_source=European](https://cotidianul.md/en/10354/Seven-foreign-workers-found-without-documents-on-a-construction-site-in-Chisinau-were-in-the-country-illegally-since-2024/?utm_source=European%20Commissio)
- European Commission. (2025). Organised crime [online][Accessed on the date 25.03.2026]. Available: https://home-affairs.ec.europa.eu/policies/internal-security/organised-crime_en?utm_source=GALBUR.
- GALBUR, I. (2024). Current trends in the construction sector. International Scientific Conference Development through Research and Innovation IDSC-2024, Vth Edition, Chisinau, Republic of Moldova, 178-182.
- Logos Press. (2025). Illegals predominate in the construction sector[online][Accessed on the date 25.03.2026]. Available: [https://logos-pres.md/en/news/illegals-predominate-in-the-construction-sector/?utm_source=Ministerul](https://logos-pres.md/en/news/illegals-predominate-in-the-construction-sector/?utm_source=Ministerul%20Dezvoltarii%20Economice)
- Ministerul Dezvoltării Economice. (2025). Reform Agenda under the Republic of Moldova's Growth Plan for the years 2025-2027[online][Accessed on the date 25.03.2026]. Available: [https://mded.gov.md/wp-content/uploads/2025/05/Agenda-260-en.pdf?utm_source=National](https://mded.gov.md/wp-content/uploads/2025/05/Agenda-260-en.pdf?utm_source=National%20Anticorruption%20Centre)
- National Anticorruption Centre Republic of Moldova. (2026). The NAC Synthesis: Searches in high-profile cases, 44 new criminal cases and seizures of over 3.3 million lei[online][Accessed on the date 25.03.2026]. Available: https://cna.md/en/node?utm_source=Usman
- Usman, A., K, Mwanza, J. Globalisation and Crime. Bangladesh e-Journal of Sociology. Vol. 3, nr. 1, 2006, 1-14.
- ZDG. (2021). Five Employees of a Construction Company were Put on Trial after Producing Damages of over 2 Million Euros to 56 Investors [online][Accessed on the date 25.03.2026]. Available: https://www.zdg.md/en/five-employees-of-a-construction-company-were-put-on-trial-after-producing-damages-of-over-2-million-euros-to-56-investors/?utm_source=

**THE DISCOURSE OF POWER AND TRUTH IN POETIC WORKS (LITERATURE
AND ART): AN INTRODUCTION**

Mas'ud HAMDAN

Dr., University of Haifa, Faculty of humanities, Depts of Arabic Language and literature &
Theatre Performance, Israel/Palestine

ABSTRACT

Friedrich Nietzsche argued that truth is nothing but “a mobile army of metaphors and metonyms” and that knowledge is one of the forms of “the will to power.” Following Nietzsche, Foucault (pragmatist philosopher as Nietzsche) created his archaeology out of this specific point. Truth is what is considered true if reinforced by the discourse of power. For Rorty, another pragmatist philosopher, truth is high esteem, approval, and “social commendation.” That is, truth is a social construct that lacks any obligation or necessity that might be inherent in the nature of things.

Therefore, it can be concluded that whomever does not exercise power, does not possess the truth either.

However, examining power relations as a comprehensive network that encompasses all aspects of human activity, leads the pragmatist to strip the ethical distinction between the oppressor and the oppressed of its meaning. This is because every individual's will, is subsumed under the will to power.

Although initially, we follow Rorty's model—which replaces objectivity with two methods, ‘ironism’ versus solidarity, i.e., adopting concepts and values through the creation of the self by individual freedom of choice, we still in this paper insist on challenging the pragmatic method through discussing the following question:

What about the truth (reflected in poetic works) that is, in its essence, an absolute rejection of the will to power?

Keywords: Nietzsche, Foucault, Rorty, truth, power, pragmatic method.

THE REPORT: A SMALL TAP IN THE BIG REALM OF THE SERIO-COMICAL

Mas'ud HAMDAN

Dr., University of Haifa, Faculty of humanities, Depts of Arabic Language and literature &
Theatre Performance, Israel/Palestine

ABSTRACT

This paper focuses on the esthetic interaction between absurd, comedy, satire and tragedy, in the Syrian film *The Report* (Al-Taqrir, 1986) written by the late Muhammad Al-Maghut (scriptwriter, 1934-2006) & directed by Durayd Lahham (director, 1934-). The distinctive way in which the filmmakers combine these features has a significant role in directing the audience from the absurd to the catharsis of sublime emotions.

Carnavalesque humor within the Satire genre, play a major part in highlighting the paradoxical and “the ridiculous” absurdity in social and political life in Syria during the seventies and eighties of the twentieth century. By the satirical sharpening of the gap between what is desirable and what is found, filmmakers try to convince us to reject out of hand low standards and corrupted norms.

‘Azmi Baik, the principled anti-hero, matches one of the most prominent carnivalesque characters as Bakhtin describes it when he refers to the polyphonic Novels of Fyodor Dostoevski. Especially, the total fusion of the character between personal life and worldview. carnivalesque humor, even if progressively and indirectly, has a temporary comic release; an “emancipatory”, “liberatory” and also perhaps occasionally a “revolutionary” function. However, because release is momentary, the absurd still “raises its head” approximately in every corner. Therefore, in order to liberate us from the absurd, filmmakers lead us to an uplifting path where in the last scene we arrive at the tragic catharsis once we reveal the horrifying consequences of the harsh confrontation between an innocent carnivalesque hero and a suspicious reality.

No doubt that this satiric film functions as a clear, direct and powerful condemnation of a corrupted regime. Yet, it is also a barefaced confession regarding the impotence of the struggle against injustice as long as it is only a lost combat of an isolated, decent, eccentric intellectual.

Keywords: Absurd, Bakhtin, Carnavalesque, Satire, Tragicomic.

A DELIBERATE HUMOUR: THE MASKS OF THE OPPRESSED TRUTH

Mas'ud HAMDAN

Dr., University of Haifa, Faculty of humanities, Depts of Arabic Language and literature &
Theatre Performance, Israel/Palestine

ABSTRACT

The mask has been recognized as an essential accessory for both ritualistic and artist purposes. Its qualities, which highlight the fictional over the real, contributed to its artistic use, which has been common, since the beginning of theatre. The mask had established types for tragedy, satirical plays, and comedy, where the caricatured-grotesque character was emphasized. The era of the “corona mask”, social distancing, and restrictions of freedom of speech, bring forth various connotations. One of them is the mask of “madness” in Arab culture. This is not a material mask that covers the nose and mouth to protect against a mysterious virus, but a mask-like figure through which one can express the forbidden, and protest against “political” and institutional “viruses” in a familiar, humoristic, carnivalesque atmosphere that brings people together. The figure of the “fool-wise” in ancient Arab culture is a clear representation of the dialectic of “truth and falsehood”. In the face of the silence of common sense and its obedience, this figure is forced to wear the mask of a fool in order to express her truth. Through the voice of madness that emerges as an authentic protest from the throat of an inconsequential, marginal, funny and ridiculous actor, the “fool-wise” ensures protection against any harm, while finding a way to convey his message in a play titled “reality of Tyranny”. This article discusses this figure and the nature of the mask it wears, its various reflections in ancient Arab culture, and its development in the Arab popular comedy and satirical theatre in the twentieth century.

Keywords: Carnival, Clown, Comedy, humour, karakoz, Laughter, Mask, The Tragic Fool, Zanni.

STUDENTS' PERCEPTION OF READINESS FOR EDUCATIONAL TRANSFORMATION THROUGH ONLINE TEACHING AND LEARNING (ODLT) POST COVID-19 AT KEPALA BATAS COMMUNITY COLLEGE

Nur Mazlina Abdul HADI

Unit Animasi 2D, Kolej Komuniti Kepala Batas, 13200, Pulau Pinang, Malaysia.

ABSTRACT

The rapid digital transformation in education, accelerated by the COVID-19 pandemic, has reshaped teaching and learning practices across higher education institutions. In the post-pandemic era, Flexible Digital Learning has emerged as an important pedagogical approach that integrates online platforms, digital tools, and technology-enhanced learning strategies to support more adaptive and student-centred learning environments. Understanding students' readiness to engage in such learning environments is crucial to ensuring the effectiveness and sustainability of digital education initiatives. This study aims to explore students' readiness and perceptions towards Flexible Digital Learning in post-pandemic community college education at Kepala Batas Community College, Malaysia. Specifically, the study examines students' levels of awareness, acceptance, and readiness in adapting to digital learning environments.

A quantitative research design was employed using an online questionnaire distributed to 60 students selected randomly from four academic programmes: 2D Animation Certificate, Architectural Technology Certificate, Manufacturing Technology Certificate, and Light Vehicle Service Certificate. Data were analyzed using the Statistical Package for Social Sciences (SPSS) version 27.0 to obtain descriptive statistics, including frequency, percentage, and mean values. The reliability analysis produced a Cronbach's alpha value of 0.617, indicating acceptable internal consistency of the measurement instrument. The findings revealed that students generally demonstrate positive perceptions and readiness towards Flexible Digital Learning. Respondents acknowledged that digital learning environments offer greater flexibility, accessibility, and opportunities for independent learning. However, several factors such as technological competency, digital learning experience, and learning adaptability were found to influence students' readiness levels.

Overall, this study highlights the importance of strengthening digital learning strategies and institutional support systems to enhance the effectiveness of Flexible Digital Learning in community colleges. The findings provide valuable insights for educators, institutional administrators, and policymakers in improving technology-enhanced teaching and learning practices in the evolving post-pandemic educational landscape.

Keywords: Perception, Acceptance, Readiness for Online Teaching and Learning (OTL), Post-COVID-19 OTL

INTRODUCTION

The global shift to digital education has been expedited by the COVID-19 pandemic. To maintain the continuity of teaching and learning activities, higher education institutions were forced to implement online and technology-enhanced learning strategies. In the post-pandemic period, more sustainable modes of flexible digital learning have taken precedence over emergency remote instruction. Weaknesses in current learning can be addressed via Online Teaching and Learning (OTL). OTL learning can enhance aptitude and ability during the learning process. Additionally, the Ministry of Higher Education encourages teachers to implement a range of learning strategies that can yield wider advantages. OTL is a more thorough and successful learning approach. Teaching techniques can be taught synchronously (at the same time) or asynchronously (at different times). Teaching and learning materials delivered through this medium include text, graphics, animation, simulation, audio, and video.

It should also offer online discussion groups and content. According to Harding (2010), online learning is a learning method that combines traditional face-to-face learning with distance learning using online methods and various communication methods used by teachers.

The COVID-19 pandemic in Malaysia is part of the ongoing global coronavirus disease 2019 (COVID-19) outbreak, caused by the increase in severe acute respiratory syndrome coronavirus 2 (SARS-CoV-2). To date, Malaysia ranks third in Southeast Asia in terms of COVID-19 cases, behind Indonesia and Vietnam. As of 20 February 2023, Malaysia has a total of 5,041,174 confirmed cases, with a total of 4,994,887 fully recovered cases, 36,957 deaths, and 9,330 active cases. The reason for this pandemic is that Online Teaching and Learning (OTL), commonly known as student-centred learning, also involves the use of the latest technology applications, communication, and a variety of multimedia resources. After the analysis, there are three success stories known to be able to implement education abstractly through internet access: first, the increase in technology to allow students to access websites and learning materials to create two-way interactions between students and lecturers. Next, it involves the attitude and technical competence of lecturers towards students. The final factor is the students' own perception of the involvement of technology in learning.

The OTL method's advantages also include its ease of adaptation to particular situations, open acceptance across several platforms, ease of access at any time and location, and consistency when applied. The purpose of this study is to confirm students' understanding of and receptivity to the OTL application. In fact, the researcher also seeks to identify factors that impact students' use of various platforms in OTL, examine how these factors impact students' motivation to learn OTL, and further explore how this approach might help with issues resulting from traditional learning.

PROBLEM STATEMENT

The OTL method was implemented in several community colleges around 2018. It focuses on 21st-century teaching methods and principles that integrate conventional learning and online learning. Mohd Gaus (2014) argues that given the effectiveness of today's information and multimedia technology as a new alternative to help individuals manage their time, work and daily lives, it is appropriate that the use of technology in teaching and learning is increasing. Malaysia has been dealing with COVID-19 for almost three years, so it is important to know how students respond and accept the OTL learning norms. Therefore, this study was conducted to interpret students' perceptions of learning with OTL.

Kepala Batas Community College also uses this alternative to implement teaching and learning (PdP) in the form of OTL. Therefore, PdP based on OTL needs to be implemented not only to meet the IPT policy itself, but also to meet the national education needs. The study conducted by the researchers focused on student responses to OTL and the aspects of the causes that influence students when using OTL, including issues, problems and challenges in implementing this OTL. Internet access is said to be one of the biggest issues and challenges in implementing OTL (Thannimalai & Baloh, 2021). This study is also an attempt to review the problems faced by students in line with the new norm in implementing OTL in the COVID-19 pandemic situation.

STUDY HIGHLIGHTS

Digital Transformation in Education

Various studies have been conducted on OTL. One of these studies looked at how students and lecturers responded to its implementation in institutions. According to Nor Asmihan (2016), a survey about the success of online learning sessions at Sultan Mizan Zainal Abidin Polytechnic revealed that students need smartphones and computers. More than 80% of students meet these requirements. However, this advantage will disappear if internet access becomes unreliable.

Nasroddin, Norhan, and Abdullah (2022) conducted a study at Mersing Polytechnic that examined student readiness for OTL, revealing important insights on related issues.

Additionally, many students reported that using the OTL approach made them more proactive in searching for materials and reference sources independently. They found it easier to understand lessons and conduct their own research on relevant topics. This method increased students' potential and understanding of a generative learning approach. Critical thinking also helped students analyze statements and gather strong evidence before making decisions (Nurul Nadirah & Fariza, 2016). Fong et al. (2007) explored the positive interaction between students' acceptance of OTL and their voluntary participation in an online course. The survey data indicated that the respondents were experienced internet users, with 72.5% having at least three years of online experience. This study employed the Technology Acceptance Model (TAM) to explain users' motivation, attitude, readiness, perception, and acceptance of OTL. The findings showed that the reliability and validity of student acceptance of OTL were very high. The study emphasized the significance of internet quality on students' attitudes and acceptance of OTL.

Flexible Digital Learning

Analysis of the Digital Learning Path Model

The Digital Learning Path diagram illustrates a conceptual framework that explains the development of students' readiness in a digital learning environment. The model highlights the relationship between three key input factors Digital Awareness, Digital Skills, and Technology Acceptance which collectively contribute to Student Readiness and ultimately lead to the successful implementation of Flexible Digital Learning.

1. Input Level: Foundational Factors for Digital Learning

At the initial stage, the framework identifies three important elements that influence students' readiness for digital learning.

Digital Awareness

Digital awareness is students' understanding of the role and significance of digital technology in education and daily life. It encompasses familiarity with digital platforms, online learning environments, and cybersecurity practices. Students with strong digital awareness are better equipped to recognize and use digital tools to support their learning. This foundation enables effective engagement in digital learning environments.

Digital Skills

Digital skills are the abilities students need to use digital technologies, apps, and online platforms well. These skills cover things like using learning management systems, finding information online, communicating through digital tools, and working with educational software. When students have strong digital skills, they can more easily adjust to flexible learning. They are able to find resources, finish assignments, and join in online activities on their own.

Technology Acceptance

Technology acceptance represents students' attitudes and willingness to adopt digital technologies for learning purposes. It is closely related to students' perceptions of the usefulness and ease of use of digital learning platforms. When students perceive digital technologies as beneficial and user-friendly, they are more likely to accept and integrate them into their learning practices. Positive technology acceptance, therefore, plays a crucial role in encouraging active engagement with digital learning systems.

Together, these three elements function as key input variables that shape students' preparedness for digital learning environments.

Intermediate Stage: Student Readiness

The framework highlights student readiness as the intermediate stage that links the input factors to successful learning outcomes. Student readiness refers to the extent to which students are prepared to participate in and adapt to digital learning environments.

This readiness involves not only technical competencies but also psychological aspects such as motivation, self-discipline, adaptability, and independent learning ability. In flexible digital learning environments, students must be capable of managing their own learning processes while maintaining engagement and responsibility for their academic progress.

Therefore, the integration of digital awareness, digital skills, and technology acceptance contributes significantly to developing students' readiness for digital learning.

Final Stage: Successful Implementation of Flexible Digital Learning

The final stage of the model represents success outcomes, specifically the effective implementation of Flexible Digital Learning. Flexible digital learning enables students to access educational resources anytime and anywhere through digital technologies.

This learning approach provides several advantages, including:

- improved accessibility to learning materials
- increased flexibility in time and location of learning
- promotion of independent and self-directed learning
- enhanced integration of technology in education

When students demonstrate a high level of readiness, the implementation of flexible digital learning becomes more effective, leading to improved learning experiences and academic outcomes.

Conclusion of the Model Analysis

Overall, the Digital Learning Path model demonstrates that the success of flexible digital learning depends on three critical factors: digital awareness, digital skills, and technology acceptance. These factors collectively influence students' readiness, which serves as a key mediator in achieving successful digital learning outcomes. The framework highlights the importance of developing students' readiness to support the ongoing digital transformation of education in the post-pandemic era.

Students' Readiness for Digital Learning

The degree to which students have the skills, dispositions, and resources needed to engage successfully in technology-enhanced learning environments is referred to as their preparedness for digital learning. The effectiveness of flexible and online learning implementations in higher education institutions is now largely dependent on students' preparedness for digital learning in the context of post-pandemic education. Previous research indicates that technological proficiency, the capacity for self-directed learning, motivation, and favourable attitudes toward digital technology are all important components of students' preparation. Higher degrees of digital readiness enable students to interact with digital learning resources, adjust to online environments, and take charge of their own learning.

Additionally, research has shown that students' confidence in utilizing technology for academic reasons and their familiarity with digital tools have a significant impact on their digital preparedness. For example, research indicates that students who are more digitally literate typically perform better and are more engaged in online learning environments (Tang et al., 2022).

Additionally, students' readiness to embrace digital learning strategies is significantly influenced by their acceptance of technology. Students are more likely to have favourable attitudes about online and flexible learning systems when they believe that digital technologies are practical and simple to use (Al-Adwan et al., 2023). In addition, self-regulated learning skills, such as time management, independent learning strategies, and self-discipline, are crucial components that contribute to students' readiness for digital learning (Bond et al., 2024).

In the context of community college education, students' readiness for digital learning is particularly important as institutions increasingly integrate flexible and technology-enhanced learning approaches into their teaching practices. Understanding students' readiness can help educators design more effective digital learning environments and provide appropriate support mechanisms to improve students' learning experiences. Therefore, examining students' readiness for digital learning is essential in ensuring the successful implementation of flexible digital learning in the evolving post-pandemic educational landscape.

Post-Pandemic Learning Environment

The term "post-pandemic learning environment" describes the changing educational landscape that resulted from the COVID-19 pandemic's worldwide disruption. In order to maintain teaching and learning activities throughout the pandemic, educational institutions all around the world quickly embraced online and remote learning strategies. Because of this, even after the pandemic, many universities have made the shift to more adaptable and technologically advanced learning settings. Digital tools, online learning platforms, and hybrid teaching approaches that facilitate both in-person and virtual learning experiences have all been integrated as a result of this shift.

Flexibility, accessibility, and the widespread use of digital technologies to support teaching and learning processes are becoming more and more characteristics of learning environments in the post-pandemic period. According to studies, educational institutions are transitioning from emergency remote instruction to more organized and long-lasting digital learning ecosystems that integrate in-person instruction with online learning elements (Bond et al., 2022). In order to improve student engagement and learning results, this change has also prompted the implementation of cutting-edge pedagogical strategies, including flipped classrooms, blended learning, and adaptable digital learning models (Dhawan, 2022).

Additionally, the post-pandemic learning environment highlights the significance of students' digital competency, flexibility, and self-regulated learning. According to research, in order for students to succeed in technology-enhanced learning environments, they must acquire higher digital literacy skills and the capacity for independent learning (Al-Adwan et al., 2023). In order for students to successfully engage in these new learning settings, educational institutions must provide sufficient digital materials, instructional assistance, and technological infrastructure.

All things considered, the post-pandemic learning environment signifies a substantial change in educational practices, with digital technology and flexible learning strategies being progressively incorporated into traditional teaching and learning methods. In order to create effective learning techniques that enhance students' preparation for digital and flexible learning systems in higher education, educators and policymakers must have a thorough understanding of this new educational landscape.

RESEARCH METHODOLOGY

This study employed a descriptive research design to examine the characteristics of the population and to analyze students' responses toward digital learning practices. A total of 60 students from Kepala Batas Community College were selected as respondents for this study.

The respondents consisted of students from four academic programmes, namely the 2D Animation Certificate, the Architectural Technology Certificate, the Manufacturing Technology Certificate, and the Light Vehicle Service Certificate. The participants were selected randomly to represent each academic unit within the institution.

A structured questionnaire was used as the primary instrument for data collection. The questionnaire consisted of two main sections. The first section gathered demographic information, including gender, age, ethnicity, and programme of study. The second section focused on students' readiness and perceptions towards the transformation of education through Online Teaching and Learning (OTL) at Kepala Batas Community College.

A five-point Likert scale was used to measure students' responses in the questionnaire. The scale ranged from 1 (Strongly Disagree), 2 (Disagree), 3 (Neutral), 4 (Agree), and 5 (Strongly Agree). This scale was used to evaluate students' attitudes, perceptions, and readiness toward digital learning practices.

To determine the reliability of the questionnaire, a Cronbach's Alpha reliability test was conducted. The analysis produced a Cronbach's Alpha value of 0.617, indicating an acceptable level of internal consistency for the measurement instrument used in this study.

Research Hypotheses

H1: Digital Awareness → Student Readiness

H1:

Digital awareness has a significant positive relationship with students' readiness for flexible digital learning.

Explanation:

Students who possess higher awareness of digital technologies and online learning platforms are more likely to understand the benefits of digital learning and demonstrate greater readiness to participate in flexible digital learning environments.

H2: Digital Skills → Student Readiness

H2:

Digital skills have a significant positive influence on students' readiness for flexible digital learning.

Explanation:

Students with stronger digital competencies, such as the ability to use learning management systems, online collaboration tools, and digital resources, are better prepared to engage in technology-enhanced learning environments.

H3: Technology Acceptance → Student Readiness

H3:

Technology acceptance positively affects students' readiness for flexible digital learning.

Explanation:

When students perceive digital technologies as useful and easy to use, they are more likely to adopt digital learning platforms and demonstrate higher levels of readiness for flexible digital learning.

H4: Student Readiness → Flexible Digital Learning

H4:

Students' readiness significantly influences the effectiveness of flexible digital learning implementation.

Explanation:

Higher levels of student readiness enable learners to adapt more effectively to flexible digital learning environments, resulting in improved engagement and learning experiences.

Simplify Model Hypothesis

<i>Hypothesis</i>	<i>Relationship</i>
<i>H1</i>	Digital Awareness → Student Readiness
<i>H2</i>	Digital Skills → Student Readiness
<i>H3</i>	Technology Acceptance → Student Readiness
<i>H4</i>	Student Readiness → Flexible Digital Learning

STUDY FINDINGS

Demographic Profile of Respondents

The findings presented in Table 1 illustrate the general demographic profile of the respondents involved in this study. The table provides an overview of the respondents' characteristics based on gender, age, and ethnicity. The results show that 42 respondents (70%) were male, while the remaining 18 respondents (30%) were female, with ages ranging between 18 and 22 years old.

Table 1. Demographic Distribution of Respondents

<i>Gender</i>	<i>Frequency</i>	<i>Percentage (%)</i>
<i>Male</i>	42	70.0
<i>Female</i>	18	30.0
<i>Total</i>	60	100.0
<i>Age</i>	<i>Frequency</i>	<i>Percentage (%)</i>
<i>18 – 19 years</i>	23	38.3
<i>20 – 21 years</i>	34	56.7
<i>21 years and above</i>	3	5.0
<i>Total</i>	60	100.0

<i>Ethnicity</i>	<i>Frequency</i>	<i>Percentage (%)</i>
<i>Malay</i>	53	88.3
<i>Chinese</i>	6	10.0
<i>Indian</i>	1	1.7
<i>Total</i>	60	100.0

Demographic Distribution of Respondents

The demographic distribution of respondents involved in this study is presented in Table 1. The table describes the respondents based on gender, age, and ethnicity.

The results indicate that 42 respondents (70%) were male, while 18 respondents (30%) were female. This shows that the majority of respondents involved in this study were male students.

In terms of age distribution, most respondents were between 20 and 21 years old, representing 34 students (56.7%), followed by 23 students (38.3%) aged between 18 and 19 years, while only 3 students (5.0%) were aged 21 years and above. This indicates that the majority of respondents were within the typical age range of community college students.

In terms of ethnicity, the majority of respondents were Malay students (53 respondents or 88.3%), followed by Chinese students (6 respondents or 10.0%), and Indian students (1 respondent or 1.7%). This distribution reflects the demographic composition of students enrolled at Kepala Batas Community College.

Table 2. Distribution of Students Based on Programme

<i>Programme</i>	<i>Frequency</i>	<i>Percentage (%)</i>
<i>2D Animation Certificate</i>	24	40.0
<i>Architectural Technology Certificate</i>	16	26.7
<i>Manufacturing Technology Certificate</i>	9	15.0
<i>Light Vehicle Service Certificate</i>	11	18.3
<i>Total</i>	60	100.0

Table 2 presents the number of students involved in this research based on their academic programmes. Four programmes were included in this study. The largest group of respondents came from the 2D Animation Certificate programme with 24 students (40.0%), followed by the Architectural Technology Certificate with 16 students (26.7%). Meanwhile, the Light Vehicle Service Certificate recorded 11 students (18.3%), and the Manufacturing Technology Certificate recorded 9 students (15.0%).

This distribution indicates that students from the 2D Animation programme contributed the highest proportion of respondents, while the Manufacturing Technology programme recorded the lowest participation among the selected respondents.

Table 3. Students' Readiness Mean Score Based on Gender

<i>Item</i>	<i>Male (Mean)</i>	<i>Female (Mean)</i>	<i>Mean Difference</i>
<i>I1 Self-directed learning ability</i>	2.35	2.54	0.19
<i>I2 Independent in completing assignments</i>	3.34	3.30	0.04
<i>I3 Comfortable using technology for learning</i>	3.89	3.72	0.17
<i>I4 No difficulty understanding OTL methods</i>	3.46	3.36	0.10
<i>I5 Traditional learning should not be abandoned</i>	4.34	4.34	0.00
<i>I6 OTL has advantages and disadvantages</i>	4.07	4.05	0.02
<i>I7 Prefer hybrid learning (conventional + OTL)</i>	3.63	3.48	0.15
<i>I8 More interested in OTL than face-to-face</i>	3.35	3.23	0.12
<i>I9 Will consistently participate in OTL</i>	3.67	3.72	0.05
<i>I10 Ready to face OTL challenges</i>	3.61	3.52	0.09

Table 3 presents the mean scores of students' readiness for Online Teaching and Learning (OTL) based on gender. Overall, the results indicate that both male and female students demonstrate relatively similar perceptions and readiness levels toward OTL.

The findings show that the highest mean score for both genders is Item 5 (Mean = 4.34), which indicates that students strongly agree that traditional learning should not be completely replaced, as it still provides certain advantages. This suggests that students prefer maintaining elements of conventional learning despite the increasing implementation of digital learning methods.

In addition, both male and female students agree that OTL has both advantages and disadvantages, as reflected in Item 6 (Mean = 4.07 for males and 4.05 for females). This indicates that students possess a balanced perception of online learning approaches.

For technology-related readiness, Item 3 shows relatively high mean scores (3.89 for males and 3.72 for females), indicating that students generally feel comfortable using technology for learning and information searching. This suggests that students have adequate digital familiarity and technological competence, which supports the implementation of digital learning environments.

Meanwhile, Item 1 recorded the lowest mean score, particularly among male students (Mean = 2.35). This finding indicates that some students may still face challenges in self-directed learning, which is an important component in online and flexible learning environments.

The results also indicate that students show moderate agreement toward hybrid learning approaches. Item 7 (Mean = 3.63 for males and 3.48 for females) suggests that many students prefer a combination of conventional face-to-face learning and online learning, rather than relying entirely on one method.

Overall, the mean differences between male and female students are relatively small, indicating that gender does not significantly influence students' readiness toward OTL in this study. Both groups demonstrate similar perceptions regarding the advantages, challenges, and preferences associated with online teaching and learning environments.

Table 4 shows the elements of students' acceptance level towards online teaching and learning (OTL). Data analysis was done with mean values. The results of the study are as follows.

Figure 2: Mean Level of Student Acceptance Towards Online Teaching and Learning (OTL)

Table 4. Mean Level of Student Acceptance Towards Online Teaching and Learning (OTL)

<i>No.</i>	<i>Item</i>	<i>Mean Score</i>	<i>Interpretation</i>
1	I am happy to carry out learning activities online.	3.81	High
2	Due to limited knowledge and facilities, I rarely participate in OTL activities.	3.50	Moderate
3	I have been involved in the OTL learning process recently.	3.82	High
4	I know how to use online applications from various platforms for the learning process.	4.06	High
5	I have joined one of the online classes in Teaching and Learning (PdP).	3.76	Moderate

Key Findings:

- Highest acceptance (Item 4, M=4.06): Students demonstrate strong confidence in using online applications across multiple platforms—indicating good digital literacy.
- Positive engagement (Items 1 & 3): Students generally feel happy about online learning (3.81) and report recent involvement (3.82), both at high levels.

3. Barriers exist (Item 2, $M=3.50$): The moderate agreement with limited knowledge/facilities hindering participation suggests infrastructural or skill gaps remain a concern.

4. Moderate participation in formal classes (Item 5, $M=3.76$): While close to high, this suggests not all students have fully transitioned to formal online classes.

Overall Pattern: Students possess the skills and willingness for OTL, but external constraints (facilities, resources) partially limit full participation. Addressing infrastructure gaps could elevate acceptance further.

Table 5. Mean Level of Students' Acceptance Toward Online Teaching and Learning (OTL)

<i>Item</i>	<i>Mean Score</i>	<i>Interpretation</i>
1. The OTL process is able to increase students' confidence in the learning process.	4.18	High
2. The learning process becomes more engaging and effective while reducing boredom.	3.98	High
3. Various assignments can be completed through OTL.	3.76	Moderate
4. Classroom activities can be carried out more quickly.	4.20	High
5. Paper usage can be reduced and costs can be saved when OTL is implemented.	4.22	High

Table 5 presents the mean scores of students' acceptance toward the implementation of Online Teaching and Learning (OTL) at Kepala Batas Community College. Overall, the findings indicate that students demonstrate a high level of acceptance toward OTL, as most of the items recorded mean scores between 3.98 and 4.22, which fall within the high interpretation category. Among the five items measured, Item 5 recorded the highest mean score ($M = 4.22$). This result suggests that students strongly agree that the implementation of OTL helps reduce paper usage and operational costs, highlighting one of the practical advantages of digital learning environments. The finding reflects students' awareness of the sustainability and efficiency benefits associated with technology-based learning approaches.

Similarly, Item 4 also achieved a high mean score ($M = 4.20$), indicating that students perceive that classroom activities can be conducted more quickly and efficiently through OTL platforms. This suggests that digital learning tools may facilitate faster communication, assignment submission, and interaction between lecturers and students.

In addition, Item 1 ($M = 4.18$) indicates that students believe OTL can increase their confidence in the learning process. This finding implies that online learning environments may provide students with greater flexibility and autonomy, allowing them to engage with learning materials at their own pace.

Furthermore, Item 2 ($M = 3.98$) also falls within the high interpretation category, suggesting that students perceive OTL as making the learning process more engaging and effective while reducing boredom. The integration of multimedia tools, interactive platforms, and digital resources may contribute to a more dynamic learning experience.

However, Item 3 recorded a moderate mean score ($M = 3.76$), which indicates that students are somewhat neutral regarding the statement that various assignments can be completed through OTL. This finding may suggest that certain tasks or assessments are still perceived as more suitable for conventional face-to-face learning environments, particularly those requiring direct supervision, practical work, or collaborative interaction.

Overall, the findings indicate that students at Kepala Batas Community College generally accept the implementation of OTL and recognize its benefits in enhancing learning efficiency, engagement, and sustainability. Nevertheless, the moderate score in Item 3 suggests that a balanced or hybrid learning approach may be more effective, combining both online and traditional learning methods to support different types of learning activities.

CONCLUSION OF THE STUDY FINDINGS

The results of this study clearly show that most students are aware of the concept of OTL learning, are sensitive, and accept this form of learning. Students are aware that this new norm learning method not only improves their understanding of current technology. Students are also aware of the benefits they gain from this learning process compared to traditional learning methods. However, efforts in this direction are hampered when students do not have computers and good Internet access.

The study's conclusions regarding the acceptance of the majority of students through the OTL process during the pandemic season that is currently hitting our country. Students agree that OTL offers many advantages and benefits. Students' efforts to use this method show that online teaching and learning practices are generally well-received by students.

Mean Analysis of Students' Readiness for Flexible Digital Learning

To analyze students' readiness for Flexible Digital Learning, the responses collected from the questionnaire were measured using a five-point Likert scale ranging from 1 (Strongly Disagree) to 5 (Strongly Agree). The data obtained were analyzed using the Statistical Package for the Social Sciences (SPSS) to determine the mean values for each item.

The interpretation of the mean scores in this study is based on the following scale:

<i>Mean Score Range</i>	<i>Interpretation</i>
1.00 – 2.33	Low
2.34 – 3.66	Moderate
3.67 – 5.00	High

The results indicate that students generally demonstrate a high level of readiness towards flexible digital learning. Most of the questionnaire items recorded mean scores above 3.67, indicating that respondents showed positive perceptions and readiness in adopting digital learning practices.

Students agreed that digital learning platforms enable them to access learning materials more easily and provide greater flexibility in managing their learning schedules. In addition, the findings suggest that students are comfortable using digital tools and are capable of adapting to online learning environments. This indicates that the integration of Online Teaching and Learning (OTL) within the institution has been positively accepted by students.

Furthermore, the results also demonstrate that students possess adequate digital skills and awareness, which contribute to their readiness to engage in technology-enhanced learning environments. These findings are consistent with previous studies, which suggest that digital literacy and positive attitudes toward technology significantly influence students' readiness for online and flexible learning environments.

Overall, the mean analysis suggests that students at Kepala Batas Community College are well prepared to participate in flexible digital learning systems in the post-pandemic educational environment.

The factor that influences students who use OTL is the attitude factor of the students themselves. Most students are interested, willing to try, and comfortable with this type of learning method.

Incentives from faculty, departments, lecturers, peer encouragement factors, and top management also influence students to use this type of learning process. The benefits achieved through OTL are able to influence students to continue using this method. Students believe that OTL can save time and money and facilitate learning activities. The last factor that influences students is the infrastructure that provides easy access for students to learn materials and encourages knowledge seeking. In short, students consider OTL to be easier, more interesting, and more motivating than the conventional talk and chalk method.

CONCLUSION

According to the results of this study, the students demonstrate a high level of acceptance of the implementation of OTL. The result coincides with current studies, which claim that digital learning environments have been widely accepted in higher education after the COVID-19 pandemic. Dhawan (2022) states, an online learning environment provides flexibility, accessibility and learning opportunities with the help of digital platforms. In the same wavelength, Bond et al. (2023) state that if technology is integrated well within the learning process, then students often exhibit a positive attitude towards digital learning. The high mean score for Item 5 which emphasizes on less paper usage and cost imply that they are aware of using e-learning instead of paper. According to Al-Azawei and Alowayr (2023), digital learning platforms can significantly reduce administrative and material costs while improving institutional efficiency.

In the meantime, Item 4 has a fairly high score, meaning students feel online learning applications can speed up classroom activities. These findings are in line with those of Martin and Bolliger (2022), who recognized that digital learning tools promote efficiency in communication and faster interaction between students and instructors. Nevertheless, the moderate score recorded for item 3 indicates that some academic tasks may not be able to be taught with OTL effectively. According to Hrastinski (2023), some kinds of learning activities requiring practice, collaboration and laboratory work may require face-to-face instruction as per the above observation.

As a result, the findings of this article are consistent with recent literature suggesting that the most effective learning environment in the post-COVID-19 world may be a hybrid or blended learning environment. As per Bozkurt et al. (2024), the harmony of online lessons and face-to-face physical sessions by institutions balances technological benefits with pedagogical effectiveness. On the whole, the results support the view that although learners accept OTL, the combination of online learning and traditional learning is likely to produce a better learning experience.

REFERENCES

- Abdul Karim, L. A. (2020, April 16). PKP: e-Pembelajaran tidak segerak sesuai di luar bandar, pedalaman. *Berita Harian Online*. Retrieved from
- Bernama. (2020, April 17). Akses internet terhad antara cabaran belajar, mengajar dalam talian. GPS Bestari. Retrieved from <https://www.gpsbestari.com/berita/kualalumpur/akses-internet-terhad-antara-cabaran-belajar-mengajar-dalam-talian-1.934103>
- Chung, E., Subramaniam, G., & Dass, L. C. (2020). Online Learning Readiness among University Students in Malaysia amidst COVID-19. *Asian Journal of University Education (AJUE)*, 19, 46–58.
- Dan, I., & Pelaksanaan, C. (2022). Impak Dan Cabaran Pelaksanaan Pengajaran Dan Pembelajaran Atas Talian Semasa Perintah Kawalan Pergerakan (Impact and Challenges of Implementation Current Online Teaching and Learning Movement Control Order). January.
- Al-Adwan, A. S., Al-Adwan, A., & Smedley, J. (2023). Exploring students' acceptance of e-learning technologies in higher education. *Education and Information Technologies*.

Bond, M., Bedenlier, S., Marín, V. I., & Händel, M. (2024). Self-regulated learning and digital learning environments in higher education. *Computers & Education*.

Tang, Y., Chen, P., Law, K. M. Y., et al. (2022). Comparative analysis of students' readiness for online learning in higher education. *Educational Technology Research and Development*.

Dhawan, S. (2022). Online learning: A panacea in the time of the COVID-19 crisis and beyond. *Journal of Educational Technology Systems*.

Hung, M. L., Chou, C., Chen, C. H., & Own, Z. Y. (2010). Learner readiness for online learning: Scale development and student perceptions. *Computers and Education*, 55(3), 1080–1090. <https://doi.org/10.1016/j.compedu.2010.05.004>

Mohammad, R. (2020). Pembelajaran dalam talian bergerak: kepuasan pelajar terhadap penggunaan Microsoft Teams. *Journal of Quality Measurement and Analysis*, 16(2), 219–230.

Muhammad Amirul, A., Mohamad Najib N., & Saidatul Nizan N. (2022). Kesiediaan Pelajar Politeknik Mersing Mengikuti Pembelajaran dan Pengajaran Secara Dalam Talian Bagi Kursus Matematik. *Proceedings of National Digital Technology and Education Conference (NaDiTEC) 2022*. Malaysia, 178 – 179.

Muhammad Rafie Bin Hamzah (2017). Kesiediaan Pelajar Terhadap E-Pembelajaran: Kajian Terhadap Pelajar Jabatan Perdagangan, Politeknik Muadzam Shah, Pahang. *National Innovation and Invention Competition through Exhibition (ICompEx'17)*.

Munirah, S., Mohd Faisal, J., Noor Syaheeda, M. S., & Julia, M. Y. (2021). Tinjauan Keberkesanan Pembelajaran Secara dalam Talian Ketika Pandemik Covid-19: Perspektif Pelajar Sains Kejuruteraan Politeknik Ibrahim Sultan. *Jurnal Dunia Pendidikan*, 3(1), 374–384.

Nor Fauziana M.S. (2020). Pandemik Coronavirus (Covid-19): Pembelajaran Dan Pengajaran Secara Atas Talian Suatu Keperluan Di Malaysia. *Simposium Bicara Profesional @ Kk Wilayah Timur*. 98-105

Quah, W. B., Ahmad, R., & Desa, N. M. (2021). Kesiediaan Pembelajaran Dan Pengajaran Dalam Talian (OTL) Dan Penguasaan Kemahiran Teknologi Oleh Staf Kolej Komuniti Sungai Petani: Satu Tinjauan. *Malaysian Online Journal of Education*, 5(June), 46–53. <https://www.ajouronline.com/index.php/AJEEL/article/view/6921/3747>

Sarimah, Ibrahim (2015). Motivasi pelajar dalam pembelajaran Bahasa Melayu menggunakan teknologi multimedia pada abad ke-21 (Doctoral dissertation, Universiti Malaysia Sarawak, (UNIMAS)).

Simsek, I., Kucuk, S., Köse Biber, S., & Can, T. (2021). Online Learning Satisfaction in Higher Education Amidst the COVID-19 Pandemic. *Asian Journal of Distance Education*, 16(1), 247–261.

Thorne, K. (2003). *Blended learning: How to integrate online and traditional learning*. London: Kogan Page.

Zulkifli, N., Hamzah, M. I., Abdul Razak, K. (2020). Isu dan cabaran penggunaan MOOC dalam proses pengajaran dan pembelajaran. *Journal of Research, Policy & Practice of Teachers & Teacher Education*, 10(1), 77-79. Retrieved from

**STRUCTURE-BASED DRUG REPURPOSING TO INHIBIT THE DNA GYRASE OF
MYCOBACTERIUM TUBERCULOSIS**

Balasubramani G. L.

School of Biotechnology, Jawaharlal Nehru University, New Delhi

Rinky RAJPUT

School of Biotechnology, Jawaharlal Nehru University, New Delhi

Manish GUPTA

School of Biotechnology, Jawaharlal Nehru University, New Delhi

Pradeep DAHIYA

National Institute of Plant Genome Research, Aruna Asaf Ali Marg, New Delhi

Jitendra K. THAKUR

National Institute of Plant Genome Research, Aruna Asaf Ali Marg, New Delhi

Rakesh BHATNAGAR

Banaras Hindu University, Banaras, Uttar Pradesh, India

Abhinav GROVER

School of Biotechnology, Jawaharlal Nehru University, New Delhi

ABSTRACT

Drug repurposing is an alternative avenue for identifying new drugs to treat tuberculosis (TB). Although TB can be cured with anti-tubercular drugs, the emergence of multidrug-resistant and extensively drug-resistant strains of *Mycobacterium tuberculosis* H37Rv (Mtb), as well as the significant death toll globally, necessitate the development of effective drugs to treat TB.

Experiments and Key result findings:

In this study, drug repurposing approach was employed to address this drug resistance problem by screening drugbank database to identify novel inhibitors of the Mtb target enzyme, DNA gyrase. The compounds were screened against the ATPase domain of gyrase B subunit (MtbGyrB47), and the docking results showed Echinacoside, Doxorubicin, Epirubicin, and Idarubicin possess high binding affinities against MtbGyrB47. Comprehensive assessment using fluorescence spectroscopy, SPR, and CD titration studies revealed that Echinacoside as a potent binder against MtbGyrB47. Further, ATPase, and DNA supercoiling assays exhibited IC₅₀ values of 2.1-4.7 μ M for Echinacoside, Doxorubicin, Epirubicin, and Idarubicin. Among these compounds, the least MIC₉₀ of 6.3 μ M and 12 μ M were observed for Epirubicin and Echinacoside, respectively. Hence, our findings indicate that Echinacoside and Epirubicin target mycobacterial DNA gyrase, inhibit its catalytic cycle, and retard mycobacterium growth. Further these compounds exhibits potential scaffolds for optimizing novel anti-mycobacterial agents that can act on drug-resistant strains.

Keywords: Drug repurposing; DNA gyrase inhibition; *Mycobacterium tuberculosis*

DETOXIFICATION OF FEED USING LACTIC ACID BACTERIA

Kutlieva G.D.

Institute of Microbiology of the Academy of Sciences of the Republic of Uzbekistan
ORCID ID: 0000-0001-6480-181

Turaeva B.I.

Institute of Microbiology of the Academy of Sciences of the Republic of Uzbekistan

Kamolova H.F.

Institute of Microbiology of the Academy of Sciences of the Republic of Uzbekistan

Shonahunov T.

Institute of Microbiology of the Academy of Sciences of the Republic of Uzbekistan

ABSTRACT

Contamination of feed with mycotoxins (toxicogenic mold metabolites) poses a serious problem for livestock farming. Consumption of such feed results in mycotoxicosis, which leads to decreased productivity, increased resistance to infectious diseases, and mortality in farm animals and poultry. One of the promising methods of feed detoxification is the use of probiotic bacteria that degrade mycotoxins. Biodegradation (biodetoxification) of mycotoxins is the process of breaking down toxic mycotoxin molecules with the help of living organisms (bacteria, yeast, fungi) or their enzymes to non—toxic or less toxic compounds. Lactic acid bacteria (LAB) are specific strains of lactobacilli that have the ability to neutralize mycotoxins. Some probiotics are able to modify the structure of aflatoxin AFB1, ochratoxin A, converting it into less toxic compounds. For example: *Bacillus subtilis* and *B. licheniformis* produce enzymes (e.g., laccases) that break down aflatoxin and ochratoxin into safe metabolites. The *Lactobacillus plantarum* strain and *L. reuteri* hydrolyze the toxin, reducing its activity. To reduce the decrease in bioavailability and body protection of LAB, probiotics minimize the negative effects of mycotoxin on the body by reducing absorption into the intestine. In addition, LAB protect the liver of animals. *Lactobacillus rhamnosus* and *L. brevis* strains reduce oxidative stress and liver damage caused by mycotoxin. Probiotics have an immunosuppressive effect on AFB1 aflatoxin, enhancing the immune system response. To date, Bacell-M probiotic complexes based on *Bacillus subtilis* are used in animal husbandry for detoxification of feed and LAB can be used as functional products to reduce the risk of aflatoxicosis in humans. Thus, lactic acid bacteria and probiotics are promising, safe tools for neutralizing mycotoxins, especially in combination with physico-chemical methods. Lactic acid bacteria (lactobacillus) have a whole arsenal of methods for survival under the influence of mycotoxins. The most valuable and promising strains are those capable of not only binding, but also biotransforming toxins into non-toxic forms, which is the most reliable and promising mechanism of detoxification. Their use helps to reduce economic losses and increase the safety of the food chain.

Keywords: Lactic acid bacteria (LAB); Mycotoxin detoxification; Probiotics

**A FACILE SYNTHESIS OF 1,3,4-OXADIAZOLE-BASED CARBAMOTHIATE
MOLECULES: ANTISEIZURE POTENTIAL, EEG EVALUATION AND IN-SILICO
DOCKING STUDIES**

Zainib RAZZAQ

Department of Chemistry, Drug Design and Medicinal Chemistry Laboratory, Faculty
of Physical Science, Government College University, Faisalabad 38000, Pakistan

Samreen Gul KHAN

Department of Chemistry, Drug Design and Medicinal Chemistry Laboratory, Faculty
of Physical Science, Government College University, Faisalabad 38000, Pakistan

Fozia ANJUM

Department of Chemistry, Drug Design and Medicinal Chemistry Laboratory, Faculty
of Physical Science, Government College University, Faisalabad 38000, Pakistan

Mehr un NISA

Department of Chemistry, University of Lahore, Lahore 40100, Pakistan

Sana JAVAID

Department of Pharmacology, Faculty of Pharmacy, Bahauddin Zakariya University, 60800
Multan, Pakistan

ABSTRACT

In present work, a series of novel structural hybrids of 1,3,4-oxadiazole and carbamothioate was designed by chemical modification of 2-(4-isobutylphenyl) propanoic acid. Target compounds (7a-f) were synthesized in significant yields (84-88%) by coupling compound (4) with different electrophiles under different reaction conditions. The structures of oxadiazole based carbamothionate derivatives were confirmed by spectroscopic (FTIR, ¹HNMR, ¹³CNMR) and physiochemical methods. During in-vivo experimentation, all synthesized compounds were tested through 6 Hz (32 mA) and PTZ (80 mg/kg) mouse seizure models. The 7b and 7c showed significant outcomes (P<0.05) in terms of seizure severity, protection and mortality. The behavioural outcomes of PTZ tests were further strengthened with video electroencephalogram (vEEG) findings in which EEGs were analyzed for epileptic spikes to understand the impact of 7b and 7c treatment on these ictal activities. The 7b was found most efficient in reducing the seizure spiking activity in brains of PTZ-treated mice while both 7b and 7c significantly reduced overall PTZ-induced seizure severity. The molecular docking studies also predicted the BBB permeability, reduced binding energies and good compound interaction with GABAA receptors and SV2A protein. Therefore, the observed pharmacological outcomes might be attributed to the GABAA agonistic and SV2A modulating potential of these oxadiazole-carbamothioate hybrid compounds.

Keywords: Epilepsy, 6 Hz, PTZ, 1,3,4-oxadiazole, carbamothioate, Electroencephalogram, Seizure

**BRIDGING BIOLOGY AND SOCIETY: MEDIA, COMMUNICATION AND THE
WAY TO SUSTAINABLE DEVELOPMENT**

C. P. RASHMI

Assoc.Prof. Dr., Amity School of Communication, Amity University Bengaluru

Sweta

Assist. Prof. Dr., Amity Institute of Pharmacy, Amity University Bengaluru

ABSTRACT

The rapidly rising global polycrisis, which is characterized by climate change, biodiversity loss, and frequent health crises, supports the key positions of the life sciences in the realization of sustainable development. Although biology offers the pivotal information and solutions in line with the United Nations Sustainable Development Goals (SDGs), there is still a gap that exists between scientific and popular knowledge. The paper explores the role played by media as an essential mediator between the laboratory research, policy frameworks and social action. Based on the theories of science communication, such as the Deficit, Dialogue and Participatory models, and the notion of Media Ecology, the research examines the influence of traditional, digital, and immersive media to inform a population about the biological concerns. The article reveals such ethical issues as misinformation and sensationalism and politicization of science with examples of climate communication, health literacy and agricultural sustainability. It proposes the participatory interdisciplinary system of communication, which involves a synthesis of pedagogy, policy and media practice in the construction of scientific literacy and democratic decision making. In the end, the paper proposes good life science communication as the cornerstone of creating informed, strong, and sustainable communities.

Keywords: Life Science Communication, Sustainable Development Goals (SDGs), Media Ecology, Environmental Communication, Health Communication, Participatory Science Communication.

THE PROBLEM OF MICROPLASTICS IN ENVIRONMENTAL MEDICINE

Mariami MANAGADZE

Student of the Faculty of Public Health, Tbilisi State Medical University

ABSTRACT

Introduction: Microplastics represent one of the most significant challenges in modern environmental medicine due to their widespread distribution and potential adverse effects on human health. These compounds enter the environment through various routes, including marine and freshwater sources, ambient air, and food products, increasing human exposure.

The study aimed to analyze the main sources, global distribution, and pathophysiological effects of microplastics on human health based on recent scientific literature.

Study Methods and Materials: This study is based on a narrative literature review conducted in accordance with PRISMA guidelines to ensure methodological transparency and accuracy. A comprehensive search was performed in the PubMed and Google Scholar databases, covering the period from 2014 to 2024. The following keywords were used: “microplastics,” “human health,” “bioaccumulation,” “microplastics ingestion,” and “toxicology of microplastics.”

Inclusion criteria were: Peer-reviewed studies focusing on the impact of microplastics on human health, Systematic reviews, meta-analyses, original research articles. After initial screening of 134 articles, 37 met the final eligibility criteria and were analyzed in depth.

Literature management was conducted using Zotero, while Microsoft Excel was used for data synthesis and thematic organization.

Results: The findings indicate that microplastics have bio accumulative properties and are linked to serious health effects, including endocrine disruption, inflammation, immune dysfunction, cancer risk, and neurodegenerative diseases.

Conclusion: Strengthening control measures across drinking water, food, and air quality to mitigate microplastic exposure, supported by coordinated efforts in environmental regulation, public health, and education.

Keywords: Microplastics, Health risks, Environmental medicine, Bioaccumulation.

**NUTRITIONAL AND HEALTH BENEFITS OF MILLET IRRIGATED BY TREATED
DOMESTIC WASTEWATER BY TRICKLING FILTER TECHNOLOGY UNDER
ARID CLIMATE OF NORTH AFRICA**

Ahmed OSMANE

Laboratory of Organic Chemistry and Physical Chemistry (Fundamental and Applied
Chemistry) Faculty of Sciences, Agadir University Ibn Zohr
Laboratory of Biomolecular and Medicinal Chemistry, Faculty of Science Semlalia,
University Cadi Ayyad, Marrakech, Morocco.
ORCID ID: 0000-0003-0246-2885

Khadija ZIDAN

National Center for Studies and Research on Water and Energy (CNEREE), Cadi Ayyad
University, Marrakech, Morocco.
Laboratory of Water, Biodiversity and Climate Change, Faculty of Sciences Semlalia, Cadi
Ayyad University, Marrakech, Morocco
ORCID ID: 0000-0003-3466-2323

Moustapha BELMOUDEN

Laboratory of Organic Chemistry and Physical Chemistry (Fundamental and Applied
Chemistry) Faculty of Sciences, Agadir University Ibn Zohr
ORCID ID: 0000-0002-3083-2620

ABSTRACT

Millets are important crops for dry land farmers. They are highly nutritious and climate compliant crops, millet also known as Bachna (Illane), is one of the four most important cereals (rice, maize, sorghum and millets) grown in the semi-arid tropical regions of the world, mainly in Africa (North of Africa imntanoute marrakech – Morocco) and Asia. Our aim is to topic the potential health benefits of millet. it is rich in a number of nutrients and non-nutrients such as phenols. It is high in energy, contains less starch, lots of fibre (1.2 g/100 g, most of which is insoluble), 8 to 15 times more α -amylase activity than wheat, a low glycaemic index (55) and is glutenfree. The protein content varies from 8 to 19% and millet is low in lysine, tryptophan, threonine and sulphur amino acids. The energy content of millet is higher than that of sorghum and almost equal to that of brown rice, as the fat content is generally higher (3 to 6%). millet can be recommended in the treatment of coeliac disease, constipation and a number of noncommunicable diseases. Nutritional studies on the population living in the millet belts of the world and clinical trials on the impact of millet in specific pathological conditions are needed. An experimental reuse study was performed using raw (RWW) and treated urban wastewater (TWW) by Trickling Filter (TF) process to irrigate millet in comparison to well water (WW) as a control over a period of 5 months the highest productivity of millet and leaf area were obtained in response to irrigation with RWW and TWW compared to WW; while macroelements (TP, TKN, and K) were also affected in millet irrigated with RWW compared to TWW and WW. However, the plants irrigated with well water accumulate more Ca, Na, and Mg than those irrigated with RWW and TWW, the biochemical parameters (protein and sugar content) were adversely affected in millet irrigated with RWW as compared to TWW and WW. Moreover, the use of treated urban wastewater

Keywords: Millet ; nutritional ,health , irrigation; treated wastewater reuse; physiological proprieties; Trickling Filter.

**HEALTH AND AGRONOMIC IMPACTS OF BARLEY IRRIGATED WITH
TRICKLING FILTER-TREATED WASTEWATER IN SEMI-ARID NORTH AFRICA:
MOROCCO**

Ahmed OSMANE

Laboratory of Organic Chemistry and Physical Chemistry (Fundamental and Applied
Chemistry) Faculty of Sciences, Agadir University Ibn Zohr
Laboratory of Biomolecular and Medicinal Chemistry, Faculty of Science Semlalia,
University Cadi Ayyad, Marrakech, Morocco.
ORCID ID: 0000-0003-0246-2885

Khadija ZIDAN

National Center for Studies and Research on Water and Energy (CNEREE), Cadi Ayyad
University, Marrakech, Morocco.
Laboratory of Water, Biodiversity and Climate Change, Faculty of Sciences Semlalia, Cadi
Ayyad University, Marrakech, Morocco
ORCID ID: 0000-0003-3466-2323

Moustapha BELMOUDEN

Laboratory of Organic Chemistry and Physical Chemistry (Fundamental and Applied
Chemistry) Faculty of Sciences, Agadir University Ibn Zohr
ORCID ID: 0000-0002-3083-2620

ABSTRACT

Barley is a concentrated source of insoluble fibre and wheat . Fibre intakes are generally lower than recommendations. This paper reviews the physiological effects of barley bran and the health benefits it may provide in terms of the prevention of diseases such as colon and breast cancers, cardiovascular disease, obesity and gastrointestinal diseases. In recognition of the weight of evidence, the African Food Safety Authority has recently approved two health claims for wheat and barley and gastrointestinal health. Wheat is the major staple food in many diets and Barley. Based on the increase in worldwide mortality attributable to diet-related chronic diseases, there is an increasing interest in identifying wheat species with greater health potential, more specifically for improved anti-oxidant and anti-inflammatory properties. In particular, ancient varieties (defined as those species that have remained unchanged over the last hundred years) are gaining interest since several studies suggested that they present a healthier nutritional profile than modern wheats. This manuscript reviews the nutritional value and health benefits of ancient barley varieties, providing a summary of all in vitro, ex vivo, animal and human studies that have thus far been published. Differences in chemical composition, and biochemical and clinical implications of emmer, einkorn, spelt, khorasan and various regional Italian varieties are discussed. Although many studies based on in vitro analyses of grain components provide support to the premise of a healthier nutritional and functional potential of ancient barley, other in vitro studies performed are not in support of an improved potential of ancient varieties. In the light of existing evidence derived from in vivo experiments, the ancient barley varieties have shown convincing beneficial effects on various parameters linked to cardio-metabolic diseases such as lipid and glycaemic profiles, as well as the inflammatory and oxidative status. However, given the limited number of human trials, it is not possible to definitively conclude that ancient wheat varieties are superior to all modern counterparts in reducing chronic disease risk

Keywords: Ancient barley ,diseases ,food; Health, Nutrition , Grain

**FUNCTIONAL EFFECTS OF HYALURONIC ACID AUGMENTATION OF THE
MANDIBULAR ANGLE ON BITE FORCE AND OROFACIAL TISSUES**

Nicole Barbosa BETTIOL

Department of Basic and Oral Biology, Ribeirão Preto School of Dentistry, University of São Paulo, Brazil

Franciele Aparecida DE CARVALHO

Department of Basic and Oral Biology, Ribeirão Preto School of Dentistry, University of São Paulo, Brazil

Laís Valencise MAGRI

Department of Restorative Dentistry, Ribeirão Preto School of Dentistry, University of São Paulo, São Paulo, Brazil

Jardel Francisco MAZZI-CHAVES

Department of Restorative Dentistry, Ribeirão Preto School of Dentistry, University of São Paulo, São Paulo, Brazil

Márcio DE MENEZES

School of Health Science, State University of Amazonas, Manaus, Brazil

Giovana Dornelas Azevedo ROMERO

Department of Basic and Oral Biology, Ribeirão Preto School of Dentistry, Uni, Brazil

Selma SIÉSSERE

Department of Basic and Oral Biology, Ribeirão Preto School of Dentistry, University of São Paulo, Brazil

National Institute and Technology-Translational Medicine (INCT.TM), Ribeirão Preto, Brazil

Simone Cecilio Hallak REGALO

Department of Basic and Oral Biology, Ribeirão Preto School of Dentistry, University of São Paulo, Brazil

National Institute and Technology-Translational Medicine (INCT.TM), Ribeirão Preto, Brazil

Marcelo PALINKAS

Department of Basic and Oral Biology, Ribeirão Preto School of Dentistry, University of São Paulo, Brazil

National Institute and Technology-Translational Medicine (INCT.TM), Ribeirão Preto, Brazil

ABSTRACT

The aim of this longitudinal observational study was to examine potential changes in molar bite force and orofacial tissue pressures following hyaluronic acid injections in the mandibular angle area. The sample consisted of ten adults (eight women and two men) with a mean age of 34.3 ± 11.2 years. The MD Codes standardized facial mapping protocol was adopted to define the injection sites, and 2 mL of hyaluronic acid was administered in the mandibular angle. Maximum molar bite force (right and left sides) was recorded using dynamometer. Pressures generated by orofacial structures, (tongue, lips, and cheeks) were measured with the Pró-Fono Biofeedback device.

Assessments were carried out before the procedure and repeated at 15, 30, and 60 days after the aesthetic intervention. Statistical analysis was performed using repeated-measures ANOVA with Bonferroni adjustment ($p < 0.05$). The results showed no statistically significant changes in maximum molar bite force across the evaluation periods, indicating maintenance of masticatory performance. Regarding orofacial function, a significant variation was detected only in tongue pressure between 30 and 60 days after treatment, whereas lip and cheek pressures remained unchanged. These findings suggest that mandibular contouring with hyaluronic acid, when properly planned and executed, does not impair chewing function and has minimal overall impact on the stomatognathic system. Nonetheless, subtle functional adaptations of the tongue may occur. The study protocol was approved by the Ethics Committee of the University of São Paulo, Ribeirão Preto School of Dentistry, Brazil (process # 79298124.2.0000.5419).

Keywords: Mandible. Hyaluronic Acid. Bite Force. Orofacial Pressure

**THE PHYSIOLOGICAL RESPONSE OF CARDIORESPIRATORY FITNESS
PARAMETERS TO EXERCISE IN PREDIABETIC POPULATION: AN
EXPERIMENTAL PRE-POST DESIGN**

Zubia SHAH

Assoc. Prof. Dr., Associate Dean Undergraduate
Chairperson, Department of Physiology
Khyber Girls Medical College, Peshawar, Pakistan

ABSTRACT

Background: The cardiorespiratory fitness in the prediabetic population at pre- and post-interventional stages after 8 weeks of moderate intensity exercise was determined. This study is part of a PhD project and was conducted in the Physiology Department, Institute of Basic Medical Sciences, Khyber Medical University, Peshawar, Pakistan.

Methods: An experimental study design was used. Adult prediabetics (n=50), 22 females and 28 males aged 18 to 35 years, were included in the study. Diagnosis of prediabetes was made with HbA1c falling in the range of 5.7– 6.4%, and fasting blood glucose (100-125mg/dL). Cardiorespiratory fitness parameters (Ventilation, oxygen consumed during exercise VO₂, carbon dioxide exhaled VCO₂, metabolic equivalents (ME), heart rate (HR), heart rate reserve (HRR), rate of carbohydrate oxidation (RCHO), fat oxidation (RFO), and energy expenditure (EE)) were determined at pre- and post-exercise intervention using a breath-by-breath analyzer. The participants performed a 30-min moderate-intensity exercise protocol (HRmax% of 70 ± 5%) 5 days per week for 8 weeks during their leisure time, monitored with pedometers.

Results: The post-exercise analysis showed a significant improvement in cardiorespiratory fitness parameters. Similar changes were observed for fasting blood glucose (P value < 0.001) and HbA1c (P value < 0.001).

Conclusion: Moderate physical activity for 8 weeks resulted in significant Improvements in cardiorespiratory fitness parameters and glycaemic status in patients with prediabetes.

Keywords: Exercise, Prediabetes, glycaemic status, cardiorespiratory fitness.

BUSINESS ANALYTICS IN PRIVATE HEALTHCARE SYSTEMS: ASSESSING ROI AND OPERATIONAL IMPACT

Niladry CHOWDHURY

College of Graduate and Professional Studies, Trine University, USA

Email: niladrych@gmail.com

ORCID ID: 0009-0009-9912-3716

ABSTRACT

Private healthcare systems are grappling with escalating costs and operational inefficiencies. Business Analytics offers a strategic solution, delivering data-driven insights that optimize patient care, streamline operations, and reduce expenditures. This work evaluates the return on investment (ROI) of implementing analytics in private healthcare settings, focusing on its impact on resource utilization, patient outcomes, and financial performance. Through case studies, predictive modeling, and examples of operational analytics, the paper illustrates how analytics can boost efficiency, cut unnecessary costs, and facilitate personalized medicine. The findings indicate that business analytics not only improves hospital profitability but also benefits public health by enabling proactive care and evidence-based management. This study concludes that integrating business analytics is no longer a competitive advantage but a strategic necessity, essential for balancing the dual pressure of maintaining high-quality patient outcomes and ensuring institutional solvency.

Keywords: Private Healthcare Systems, Business Analytics, Healthcare Analytics, Return on Investment (ROI), Operational Efficiency, Predictive Analytics, Resource Optimization

**ARTIFICIAL INTELLIGENCE-DRIVEN PREDICTIVE ANALYTICS FOR
IMPROVING HEALTHCARE OUTCOMES IN THE UNITED STATES**

Anik BISWAS

College of Graduate and Professional Studies

Master of Science in Information Studies

Trine University

ORCID ID: 0009-0007-0392-7740

ABSTRACT

The United States healthcare system faces persistent challenges including rising costs, unequal access to care, delayed diagnosis, and inefficient resource allocation. With healthcare expenditures exceeding 17% of the national GDP, there is an urgent need for data-driven solutions to enhance system efficiency and patient outcomes. This study explores the role of Artificial Intelligence (AI)-driven predictive analytics in improving healthcare delivery across hospitals and public health systems in the United States.

The research proposes a machine learning-based predictive framework capable of analyzing electronic health records (EHR), patient demographics, and historical clinical data to identify high-risk patients and forecast disease progression. By applying supervised learning algorithms such as Random Forest and Gradient Boosting, the system aims to improve early diagnosis rates, reduce hospital readmissions, and optimize clinical decision-making. Additionally, the study evaluates ethical considerations, including data privacy compliance under HIPAA regulations and algorithmic bias mitigation strategies.

Findings suggest that AI-based predictive models can significantly enhance preventive care strategies and reduce unnecessary healthcare expenditures. The integration of AI technologies into healthcare infrastructure can strengthen population health management and contribute to national healthcare sustainability. This research highlights the transformative potential of AI in modernizing the U.S. healthcare system and emphasizes the importance of interdisciplinary collaboration between computer scientists, healthcare professionals, and policymakers.

Keywords: Artificial Intelligence; Predictive Analytics; U.S. Healthcare System; Machine Learning; Health Informatics

**CORRELATION STUDY ON ETIOLOGICAL FACTORS OF HEART DISEASE IN
DIABETIC PATIENTS IN LAHORE, PAKISTAN**

Taskeen FATIMA

Hajvery University, Lahore, Pakistan

Anas RAZA

Lahore Garrison University, Pakistan

ABSTRACT

Diabetes is a chronic disorder and inability to process and regulate blood glucose levels. This disorder may arise from excessive secretion of insulin by pancreas in our body. Type I diabetes is a chronic autoimmune disease characterized by deficiency of insulin, resulting in an increase in blood glucose level in body. This dysfunction includes autoimmune destruction of beta cells in pancreas leads to complete lack of insulin production. Type 2 diabetes is most prevalent metabolic disorder characterized by inadequate insulin production and impaired response of tissues to insulin. Global burden of diabetes mellitus represents a significant public health challenge. Heart disease is a serious health condition that affects millions of people. Heart diseases include coronary artery disease (CAD), myocardial infarction, angina, heart failure, congenital heart disease, Atrial fibrillation and heart valve disorder. Etiological factors of heart disease are modifiable factors, conventional factors, environmental factors, non- traditional factors and psychological factors that collectively contribute to diabetes prevalence. Modifiable factors include high blood pressure, obesity and metabolic syndrome while conventional factors include age, gender and family history. Complications related to diabetes like liver cirrhosis, alcohol related liver disease and renal disease also promote cardiovascular disorders. Different risk factors show different level of correlation with each other. Age limit, duration of diabetes and high level of cholesterol has significant level of positive correlation. Moreover, high levels of cholesterol in diabetic patients correlate with normal systolic blood pressure which is also an indication of prevalence of heart disease in diabetic patients. Treatment and preventions focus on stress management, lifestyle interventions and balanced diet.

Keywords: Heart Patient, CAD, T2DM, Correlation Study

GEOMAGIC CONTROL X FOR MULTIDISCIPLINARY 3D ACCURACY ASSESSMENT IN DENTAL PRACTICE

Diyana ZHELYAZKOVA

Department of Prosthetic Dentistry, Faculty of Dental Medicine, Medical University -Plovdiv,
Bulgaria

ORCID ID: 0009-0002-2728-4907

Dobromira SHOPOVA

Department of Prosthetic Dentistry, Faculty of Dental Medicine, Medical University -Plovdiv,
Bulgaria

ORCID ID: 0000-0003-1287-930X

Maria HRISTOZOVA

Department of Prosthetic Dentistry, Faculty of Dental Medicine, Medical University -Plovdiv,
Bulgaria

ORCID ID: 0000-0001-9705-9604

Svetlin ALEXANDROV

Department of Prosthetic Dentistry, Faculty of Dental Medicine, Medical University -Plovdiv,
Bulgaria

ORCID ID: 0000-0002-4319-6360

ABSTRACT

The rapid digitization of dental diagnostics and clinical workflows has led to a significant expansion in the use of 3D scanning technologies for evaluating the accuracy of dental impressions, casts, restorations, and treatment simulations. Ensuring the metrological reliability of these digital datasets is essential for successful prosthodontic, orthodontic, surgical, and laboratory procedures. This literature review provides a comprehensive overview of the principles, workflows, and applications of Geomagic Control X—one of the most advanced metrological software platforms used for 3D accuracy assessment in dentistry.

The software enables detailed surface-to-surface comparison through high-precision alignment algorithms, root mean square (RMS) error calculation, and color-coded deviation mapping. These tools support objective quantification of linear and volumetric discrepancies between datasets originating from conventional impression materials, stone models, laboratory scanners, intraoral scanners, and virtual wax-ups. Reported studies demonstrate that Geomagic Control X offers high reproducibility, operator-independent measurement consistency, and the ability to visualize both global and localized deviations with clinically meaningful resolution.

Findings from the reviewed literature highlight the multidisciplinary relevance of the software, with successful implementation in evaluating impression accuracy, detecting trueness and precision of digital scanners, validating surgical guide fabrication, and analyzing orthodontic model superimpositions. The evidence suggests that Geomagic Control X serves as a reliable gold-standard tool for advanced 3D metrological analysis, supporting the standardization and quality assurance of digital workflows across various dental specialties.

Keywords: Geomagic Control X; digital dentistry; 3D analysis; metrology; RMS deviation; ICP algorithm; intraoral scanning; prosthodontics; orthodontics; oral surgery

INTRODUCTION

Digital technologies have radically transformed diagnostic and restorative procedures in contemporary dentistry, enabling the transition from conventional impression-based workflows to highly precise, fully digitized clinical and laboratory processes. As noted by Ahlholm et al. (2018) and Javaid & Haleem (2019), the advancement of digital technologies has significantly reshaped diagnostic and restorative workflows, contributing to improved precision and reproducibility. The widespread adoption of intraoral scanners, laboratory scanners, CAD/CAM systems, and 3D printing has created a growing need for accurate and reproducible evaluation of digital datasets, as emphasized by O'Toole et al. (2020) and Mourouzis (2025). Ensuring the metrological reliability of 3D models is fundamental for the success of prosthodontic rehabilitation, implant planning, orthodontic assessment, and surgical guide fabrication. Clinical reports such as those by Gigov et al. (2025, 2024) highlight the critical role of precise three-dimensional assessment in evaluating extensive facial defects and reconstructive outcomes.

As highlighted by Gu et al. (2020) and Li et al. (2020), 3D comparison software platforms have become essential tools for objectively quantifying deviations between scanned datasets, validating the accuracy of impression materials, and assessing the trueness and precision of digital scanning systems. These platforms allow the superimposition of digital models, calculation of root mean square (RMS) error values, and visualization of linear and volumetric discrepancies through color-coded deviation maps. Among the available options, Geomagic Control X has emerged as one of the most advanced metrological solutions, offering high-resolution surface comparison, robust alignment algorithms, and operator-independent reproducibility.

Several dental disciplines now rely on standardized 3D comparison workflows to evaluate the dimensional stability of impression materials, analyze differences between intraoral and laboratory scans, and validate the accuracy of CAD/CAM restorations and orthodontic simulations. However, despite the increasing clinical relevance of digital metrology, the literature remains heterogeneous in methodology, reporting standards, and interpretation of deviation analysis.

The aim of this literature review is to provide a comprehensive, structured overview of the principles, workflows, and clinical applications of Geomagic Control X in dentistry, focusing on its metrological capabilities, reliability, and multidisciplinary value across prosthodontic, orthodontic, and oral-surgical contexts.

Software Solutions for 3D Model Comparison

1. Metrological software

Metrological software platforms are designed for high-precision dimensional analysis and are considered the most reliable tools for dental 3D comparison. They support certified measurement

protocols, advanced alignment algorithms, and reproducible workflows.

The most commonly used metrological programs in dentistry are:

- Geomagic Control X – industrial-grade software offering precise scan-to-scan and scan-to-CAD alignment, color deviation maps, RMS calculation, volumetric and linear analysis, and automated workflows.
- GOM Inspect – high-accuracy inspection software used for validating prosthodontic, orthodontic, and implant models.
- Materialise 3-matic – advanced mesh-processing platform suitable for detailed segmentation and local deviation analysis.

Cakmak et al. (2022) and Dhingra et al. (2022) report that metrological software provides the most consistent and reproducible results, regardless of operator experience.

2. Non-metrological software

Non-metrological solutions are widely accessible and useful for visualization and basic measurements but do not meet industrial metrology standards. They may generate higher variability and lower reproducibility.

Commonly used non-metrological programs include:

- CloudCompare – open-source software for point-cloud and mesh comparison; offers ICP alignment and deviation maps but lower stability in high-precision tasks.
- MeshLab – open-source mesh-editing tool with basic comparison capabilities.
- Medit Link / Ortho Analyzer – scanner-integrated modules allowing simple comparisons, not suitable for metrology-grade evaluation.

These platforms can be used for preliminary assessment but are not recommended when accuracy is critical.

3. Core algorithms used for 3D comparison (ICP and RMS)

Although software platforms differ, most rely on two essential algorithms:

3.1 Iterative Closest Point (ICP)

According to Cheng et al. (2017), the Iterative Closest Point (ICP) algorithm is considered the standard method for aligning and superimposing 3D datasets.

It:

- finds closest corresponding points in the two models,
- minimizes the distance between them,
- achieves optimal alignment through iterative improvements.

Proper initial alignment and mesh quality greatly influence its accuracy.

3.2 Root Mean Square (RMS) deviation

As demonstrated by Figueras-Alvarez et al. (2025), RMS deviation quantifies the average distance between aligned 3D surfaces and serves as a reliable metric for trueness and precision assessment:

- Low RMS → high accuracy
- High RMS → significant discrepancy

RMS values, together with color-coded deviation maps, allow both quantitative and visual evaluation of trueness and precision.

The comparison workflow begins with the acquisition of point clouds, which represent discrete spatial points captured during the scanning process (Figure 1). These point clouds are subsequently converted into surface meshes for reliable alignment and deviation analysis.

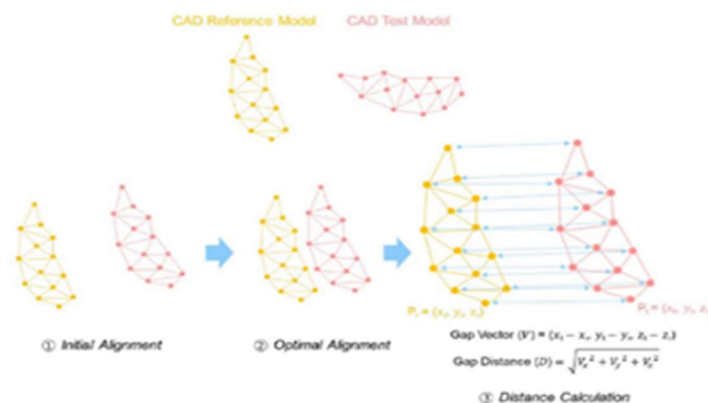


Figure 1. Schematic representation of the alignment and distance calculation procedure.

Source: (Son et al., 2021)

Materials and Methods - Demonstrative Comparative Analysis

This narrative literature review summarizes the methodological approaches reported in studies that apply Geomagic Control X in oral and maxillofacial surgery, orthodontics, and prosthodontics. In surgical applications, the software is used to compare planned and postoperative 3D models through ICP-based alignment and deviation analysis, with color maps visualizing discrepancies. Chen et al. (2019) and Lin et al. (2020) demonstrate that accurate three-dimensional assessment is crucial in maxillofacial surgery, a concept further supported by clinical case reports describing the complexity of soft-tissue reconstruction after oncologic excisions (Gigov et al., 2025; Gigov et al., 2024). Although these studies do not employ Geomagic Control X specifically, they highlight the clinical importance of precise defect evaluation and postoperative outcomes—areas in which metrological 3D software is widely applicable.

In orthodontics, Geomagic Control X enables precise superimposition of dental arches and assessment of virtual tooth movements, with several studies demonstrating significant inter-software differences illustrated through deviation maps as shown by Adel et al. (2022) and Dhingra et al. (2022). In prosthodontics, the software is employed to evaluate the trueness and precision of intraoral and laboratory scanners, implant scan bodies, and impression techniques, typically following a workflow of STL acquisition, alignment, and deviation mapping as noted by Ahlholm et al. (2018) and Verniani et al. (2024).

To demonstrate the versatility of Geomagic Control X, a partially edentulous maxilla model with implant scan bodies was analyzed using two intraoral scanners (Trios 3 and Medit i700) and a reference laboratory scanner. The resulting STL files were superimposed onto the reference model through three-point and best-fit alignment, and trueness and precision were assessed using RMS values and 3D deviation maps (Verniani et al., 2024) (Fig. 2).



Figure 2. The .stl file obtained with the IOS is superimposed on the RM reference model.
Source: (Verniani et al, 2024)

Geomagic Control X demonstrates significant multidisciplinary potential, as the approach for 3D metrological evaluation and software-based interpretation can be applied not only in prosthodontics but also in orthodontics and oral/maxillofacial surgery. In the orthodontic context, a study published in BMC Oral Health showed that Geomagic provides high consistency for linear tooth movements, with correlation coefficients above 0.90 for maxillary measurements (Adel et al., 2024). In oral surgery, a study in MDPI utilized the ICP algorithm in Geomagic Control X to compare planned and postoperative 3D models in orthognathic surgery, reporting reproducible and clinically acceptable deviations.

Additionally, Hexagon reports the use of Geomagic Control X for automatic alignment of virtual models in patients treated with aligners, facilitating the tracking of tooth movements (extrusion/intrusion, position control) in real clinical cases. This broad range of applications highlights that reliable and precise 3D comparison software like Geomagic Control X can be key to ensuring the clinical applicability and safety of digital models across different dental specialties. (Fig. 3).

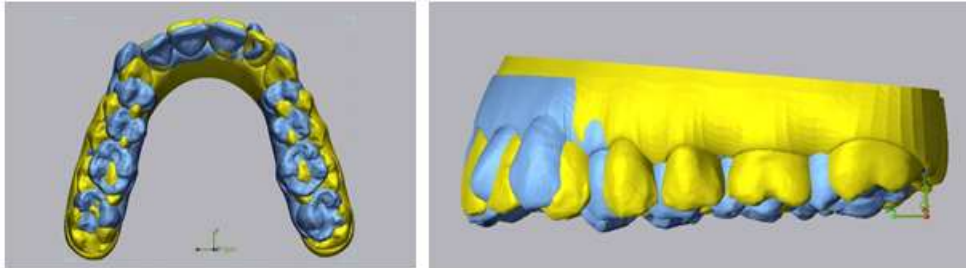


Figure 3. Superimposing 3D images of teeth before and after the treatment in Geomagic Control X can help determine how well the protocol predicted movement

In addition to the literature-based overview, a brief demonstrative analysis was included to illustrate the standard metrological workflow applied in Geomagic Control X.

As an illustrative example complementing the literature review, a comparative assessment of two impression materials was performed using a plastic master model with prepared abutments. Impressions were taken with addition silicone (A-silicone) and condensation silicone (C-silicone), after which the master model and both impressions were digitized using a laboratory scanner to obtain STL files (Fig. 4). According to Joshi et al. (2009) and Naumovski & Kapushevskaja (2017), addition silicones generally demonstrate superior dimensional stability compared to condensation silicones.

The files were imported into Geomagic Control X (3D Systems, Oqton Inc.), where the scanned impressions were aligned to the reference model through Initial Alignment and Best Fit Alignment. The 3D Compare function was used to generate deviation maps and numerical parameters, including minimum and maximum deviation, RMS error, standard deviation, and the percentage of points within a ± 0.1 mm tolerance.

This demonstrative comparison illustrates the standard metrological workflow applied in surface deviation analysis.

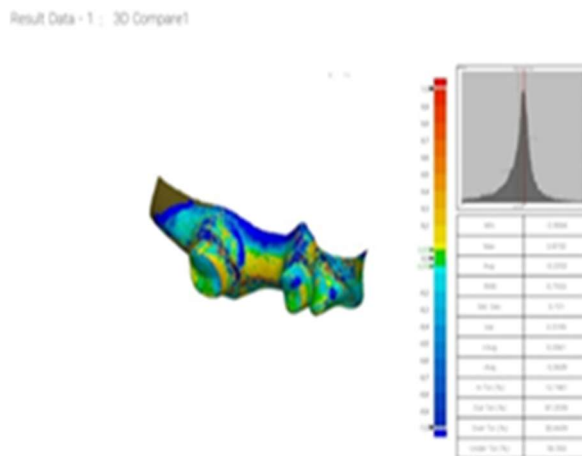


Figure 4. Color map of deviations in the 3D comparison between the scanned impression and the master model, Source: Author's own images

Conclusion

The findings of this study demonstrate that Geomagic Control X is a versatile and reliable tool for 3D analysis across multiple dental disciplines. Its application allows accurate evaluation of digital impressions, intraoral scans, and virtual orthodontic setups, providing both quantitative metrics (RMS values, deviation percentages) and visual assessment via color-coded maps. The software proved effective in assessing trueness and precision of prosthodontic models, as well as in comparing tooth movements across different orthodontic software platforms, highlighting the influence of software choice on clinical outcomes. Moreover, the multidisciplinary potential of Geomagic Control X extends to oral and maxillofacial surgery, where it enables reproducible comparison between planned and postoperative 3D models. Overall, the integration of precise metrological evaluation and software-based interpretation ensures the clinical applicability, reproducibility, and safety of digital workflows, supporting more accurate treatment planning and improved patient care in prosthodontics, orthodontics, and surgical procedures. The importance of accurate 3D analysis is further emphasized in maxillofacial reconstruction cases, such as those reported by Gigov et al. (2025; 2024), where detailed assessment of postoperative outcomes is essential for evaluating treatment success.

REFERENCES

- Ahlholm, Pekka, et al. "Digital versus conventional impressions in fixed prosthodontics: a review." *Journal of Prosthodontics* 27.1 (2018): 35–41.
- Adel, Samar M., et al. "Digital model superimpositions: are different software algorithms equally accurate in quantifying linear tooth movements?." *BMC Oral Health* 22.1 (2022): 103.
- Brychtová, Alžběta, and Arzu Çöltekin. "The effect of spatial distance on the discriminability of colors in maps." *Cartography and Geographic Information Science* 44.3 (2017): 229–245.
- Cakmak, Gulce, et al. "Comparison of measured deviations in digital implant scans depending on software and operator." *Journal of Dentistry* 122 (2022): 104154.
- Chen, L.; Lin, W. S.; Polido, W. D.; Eckert, G. J.; Morton, D. "Accuracy, reproducibility, and dimensional stability of additively manufactured surgical templates." *The Journal of Prosthetic Dentistry* 122 (2019): 309–314.
- Cheng, S.; Marras, I.; Zafeiriou, S.; Pantic, M. "Statistical non-rigid ICP algorithm and its application to 3D face alignment." *Image and Vision Computing* 58 (2017): 3–12.
- Dhingra, Azad, et al. "Comparing 3D tooth movement when implementing the same virtual setup on different software packages." *Journal of Clinical Medicine* 11.18 (2022): 5351.
- Figueras-Alvarez, Oscar, et al. "A comparative analysis of soft tissue volumetric alterations utilizing root mean square and positive and negative average calculations through two software." *Journal of Dentistry* 156 (2025): 105730.
- Gu, Xuejing, Xu Wang, and Yucheng Guo. "A review of research on point cloud registration methods." *IOP Conference Series: Materials Science and Engineering* 782.2 (2020).
- Haleem, Abid, and Mohd Javaid. "3D scanning applications in the medical field: a literature-based review." *Clinical Epidemiology and Global Health* 7.2 (2019): 199–210.
- Hexagon. Geomagic Control X. [hexagon.com](https://www.hexagon.com).
- Holz, D.; Ichim, A. E.; Tombari, F.; Rusu, R. B.; Behnke, S. "Registration with the point cloud library: A modular framework for aligning in 3-D." *IEEE Robotics and Automation Magazine* 22 (2015): 110–124.
- Javaid, Mohd, Abid Haleem, and Lalit Kumar. "Current status and applications of 3D scanning in dentistry." *Clinical Epidemiology and Global Health* 7.2 (2019): 228–233.
- Joshi, Pramod Raj, G. Sudhrakara Bhrat, and Vidya Shrenoy. "Comparative Evaluation of Dimensional Accuracy of Addition Silicone and Condensation Silicone Impression Materials-An in-vitro Study." *Malaysian Dental Journal* 30.1 (2009).

Li, P.; Wang, R.; Wang, Y.; Tao, W. "Evaluation of the ICP Algorithm in 3D Point Cloud Registration." *IEEE Access* 8 (2020): 68030–68048.

Lin, C. C.; Ishikawa, M.; Huang, B. H.; Huang, M. S.; Cheng, H. C.; Maida, T.; Endo, K. "In vitro accuracy of static guided implant surgery measured by optical scan: Examining the impact of operator experience." *Applied Sciences* 10 (2020): 2718.

Marcel, R.; Reinhard, H.; Andreas, K. "Accuracy of CAD/CAM-fabricated bite splints: Milling vs 3D printing." *Clinical Oral Investigations* 24 (2020): 4607–4615.

Mourouzis, Petros. "Critical methodological factors influencing the accuracy of intraoral scanners in digital dentistry research." *Computers in Biology and Medicine* 187 (2025): 109780.

Naumovski, Borjan, and Biljana Kapushevsk. "Dimensional stability and accuracy of silicone-based impression materials using different impression techniques—a literature review." *Prilozi* 38.2 (2017): 131–138.

O'Toole, Saoirse, et al. "Influence of scanner precision and analysis software in quantifying three-dimensional intraoral changes: two-factor factorial experimental design." *Journal of Medical Internet Research* 22.11 (2020): e17150.

Patel, Chhaya, et al. "Accuracy and Comfort in Digital and Conventional Impression in Pediatric Dental Patients: A Randomized Comparative Study." *Cureus* 17.1 (2025).

Verniani, G., et al. "Accuracy evaluation of two different intraoral scanners in implant prosthodontics. A comparative in vitro study." *Journal of Osseointegration* 16.1 (2024): 61–64.

Gigov, Kostadin; Ginev, Ivan; Kavradzhieva, Petra. "Mustardé Cheek Rotation-Advancement Flap: A Case-Based Experience in Reconstruction of a Large Defect of the Lower Eyelid Due to Squamous Cell Carcinoma." *Clinical Practice* 15(9) (2025): 165.

Gigov, Kostadin; Ginev, Ivan; Minev, Ivaylo; Kavradzhieva, Petra. "Three-Layer Reconstruction of a Full-Thickness Nasal Alar Defect after Basal-Cell Carcinoma Removal." *Reports* 7(3) (2024): 75.

**DO ACUTE BLOOD PRESSURE RESPONSES EXPLAIN ATTENTION GAINS
AFTER HIIT? STROOP ON-TIME EVIDENCE IN ADOLESCENTS (RCT
SUBANALYSIS)**

Rochdi DAIBI

Laboratory of Biology and Health, Faculty of Sciences, Ibn Tofail University, Kenitra,
Morocco

Jihane HILALI

Institute of Sports Professions, Interdisciplinary Laboratory of Sport Sciences, Ibn Tofail
University, Kenitra, Morocco

El Mokhtar ELOUALI

Institute of Sports Sciences, Hassan I University, Settat, Morocco

Jaouad ROUANE

Laboratory of Biology and Health, Faculty of Sciences, Ibn Tofail University, Kenitra,
Morocco

Fatima Zahra LAMRANI

Laboratory of Biology and Health, Faculty of Sciences, Ibn Tofail University, Kenitra,
Morocco

Anas ANAAYOUB

Laboratory of Nervous System Diseases, Neurosensory Disorders and Disability, Faculty of
Medicine and Pharmacy of Casablanca (FMPC), Hassan II University of Casablanca,
Morocco

Fouad BOUGHANZAI

Laboratory of Electronic Systems, Information Processing, Mechanics and Energy, Ibn Tofail
University, Kenitra, Morocco

Walid BOUZID

Institute of Sports Sciences, Hassan I University, Settat, Morocco

Zakaria ABIDA

Laboratory of Biology and Health, Faculty of Sciences, Ibn Tofail University, Kenitra,
Morocco

Amina EL IMAM

Natural Resources, Health and Environment Laboratory, Moulay Ismail University (UMI),
Meknes, Morocco

Mariam BEN SAGUA

Faculty of Medicine and Pharmacy of Rabat, Mohammed V University in Rabat, Morocco

Youssef SQALLI HOUSSAINI

Laboratory of Biology and Health, Faculty of Sciences, Ibn Tofail University, Kenitra,
Morocco

Abdelhalem MESFIOUI

Laboratory of Biology and Health, Faculty of Sciences, Ibn Tofail University, Kenitra,
Morocco

ABSTRACT

Background: High-intensity interval training (HIIT) can acutely enhance cognitive performance in youth, yet it remains unclear whether acute hemodynamic reactivity (blood pressure changes) is linked to selective-attention improvements. **Objective:** To determine whether the acute pressor response to HIIT—indexed by the change in mean arterial pressure (Δ MAP)—is associated with acute changes in selective attention (Stroop reaction time) in healthy high-school adolescents. **Methods:** In a randomized controlled trial, healthy high-school students completed a 6-week HIIT program (2 sessions/week). The present analyses focused on the experimental group ($n = 23$; 11 boys/12 girls; mean age 17.91 years). Selective attention was assessed using a smartphone-based Stroop task (EncephalApp), with OnTime recorded in seconds. Systolic and diastolic blood pressure were measured at the brachial artery in the seated position using a validated automated cuff. Mean arterial pressure (MAP) was derived as $MAP = DBP + (SBP - DBP)/3$. For each participant, Δ MAP was computed as post-pre MAP and averaged across three protocol interventions. Stroop change was summarized as the pre-post change in OnTime reaction time (positive values indicate faster performance). Because reaction-time change was non-normally distributed, Spearman's correlation was used. An exploratory moderation model tested whether sex modified the Δ MAP–Stroop association. **Results:** Stroop selective-attention performance improved across the protocol (OnTime3 $p = 0.009$). Mean Δ MAP was 2.15 ± 12.06 mmHg, and mean OnTime improvement was 11.11 ± 8.26 s. There was no association between Δ MAP and OnTime improvement (Spearman $\rho = 0.076$, $p = 0.730$; $n = 23$). Sex did not moderate the relationship (interaction $p = 0.76$; model $R^2 = 0.026$, $p = 0.91$). **Conclusion:** In healthy high-school adolescents undergoing HIIT, acute selective-attention improvement was not explained by inter-individual differences in acute MAP reactivity, and the association did not differ by sex. These findings suggest that acute cognitive responses to HIIT may depend on mechanisms other than pressor magnitude, warranting larger controlled mechanistic studies.

Keywords: high-intensity interval training; adolescents; selective attention; Stroop; mean arterial pressure; hemodynamic reactivity.

THE TREE OF LIFE MOIF IN THE DECORATIONS OF THE DUBAI AL SEEF TOURIST ATTRACTION

Semra KILIÇ KARATAY

Aksaray Üniversitesi, Eğitim Fakültesi, Güzel Sanatlar Eğitimi, Aksaray/Türkiye

ABSTRACT

This research aims to evaluate the decorative elements used in the Al Seef district, located on the coast of Dubai Creek, where the cultural heritage of the Emirates has been rebuilt with a contemporary interpretation, particularly through the motif of the tree of life. Al Seef stands out as a unique cultural and tourist area that carries traces of the past through its architectural form, street texture, and decorative examples, yet is shaped by a modern urban design approach. The aim of the study is to examine the tree of life motif, which is actively used in Al Seef decorations and identified in multiple forms. The tree of life motif symbolises the order of the universe, the continuity of life, the relationship between nature and humans, and the connection between the past, present, and future through its roots, trunk, and branches. In Al Seef, this motif is seen in different forms on various surfaces, such as architectural facade decorations, door and window panels. The study examines the formal diversity, compositional characteristics, and symbolic meanings of the tree of life motif in Al Seef from an academic perspective. The study aims to express that, in the example of Al Seef, decoration is not merely a decorative element, but also a fundamental language of expression that integrates with contemporary architecture, providing cultural continuity and frequently using the tree of life motif in decorative art. The fieldwork was conducted on Al Seef Street, where images of tree of life motifs used in decorations on door and window frames were archived. The meaning and significance of these motifs were examined through written literature sources, assessments were made regarding their purpose in decorations, and the aim was to share the visual and data obtained.

Keywords: Dubai, Al Seef, decoration, tree of life, motif, culture

DUBAİ AL SEEF TURİSTİK GEZİ YERİ SÜSLEMELERİNDE HAYAT AĞACI MOTİFİ

ÖZET

Bu araştırma, Dubai Koyu kıyısında yer alan ve Emirlik kültürel mirasının çağdaş bir yorumla yeniden inşa edildiği Al Seef bölgesinde kullanılan süsleme unsurlarını, özellikle hayat ağacı motifi üzerinden değerlendirmeyi hedeflemektedir. Al Seef, mimari biçimlenişi, sokak dokusu ve bezeme örnekleri ile geçmişin izlerini taşıyan, ancak modern kentsel tasarım anlayışıyla şekillenen özgün bir kültürel bir turistik bölge olarak dikkat çekmektedir. Çalışmanın amacı, Al Seef süslemelerinde aktif biçimde kullanılan ve birden fazla formda tespit edilen hayat ağacı motifi oluşturmaktadır. Hayat ağacı motifi; kök, gövde ve dal yapısıyla evrenin düzenini, yaşamın sürekliliğini, doğa ile insan arasındaki ilişkiyi ve geçmiş, bugün ve gelecek arasındaki bağlantıyı simgelemektedir. Al Seef’ te bu motifin mimari cephe süslemeleri, kapı ve pencere panoları gibi farklı yüzeylerde, farklı formlarının kullanıldığı görülmektedir. Araştırmada, hayat ağacı motifinin Al Seef’ teki biçimsel çeşitliliği, kompozisyon özellikleri ve sembolik anlam anlamları akademik bir bakış açısıyla ele alınmıştır. Çalışma, Al Seef örneğinde süslemenin yalnızca dekoratif bir unsur değil, aynı zamanda kültürel sürekliliği sağlayan ve süsleme sanatında sıkça kullanılan hayat ağacı motifinin çağdaş mimariyle bütünleşerek temel bir anlatım dili olduğunu ifade etmeyi amaçlamaktadır.

Çalışma Al Seef sokaklarında yapılan alan çalışması olup kapı ve pencere üstlüklerinde süslemelerde kullanılan hayat ağacı motiflerinin görselleri arşivlenmiş, bu motiflerin anlam ve önemi yazılı literatür kaynakları üzerinden incelenmiş, süslemelerde kullanılma amacı üzerine değerlendirmeler yapılmış ve elde edilen görsel ve verilerin paylaşımı amaç edinilmiştir.

Anahtar Kelimeler: Dubai, Al Seef, süsleme, hayat ağacı, motif, kültür

GİRİŞ

Kültürel mirasın korunması ve yeniden yorumlanması, çağdaş kentsel tasarım yaklaşımlarının temel meselelerinden biridir. Özellikle hızlı kentleşme ve modernleşme süreçleri yaşayan şehirlerde, geçmişe ait mimari ve süsleme unsurlarının yeni mekânlarda nasıl temsil edileceği önemli bir tartışma alanı oluşturmaktadır. Orta Doğu kentleri içerisinde Dubai, bu tartışmanın en belirgin örneklerinden birini sunmaktadır. Bir yandan küresel ölçekte modern mimari projelere ev sahipliği yapan kent, diğer yandan geleneksel Emirlik kültürünü görünür kılmaya yönelik projeler geliştirmektedir. Küreselleşme süreciyle birlikte kentler, yalnızca ekonomik ve teknolojik gelişim alanları değil, aynı zamanda kültürel kimliğin yeniden tanımlandığı ve temsil edildiği mekânlar hâline gelmiştir. Özellikle Orta Doğu coğrafyasında yer alan modern kentlerde, geleneksel mimari ve süsleme unsurlarının çağdaş tasarım anlayışıyla yeniden yorumlanması, kültürel sürekliliğin korunması açısından önemli bir yaklaşım olarak öne çıkmaktadır. Bu bağlamda Dubai, hızlı modernleşme sürecine rağmen tarihsel ve kültürel mirasını görünür kılmaya yönelik kentsel projeleriyle dikkat çekmektedir.

Türk-İslam sanatında, Orta Asya kökenli inanç sistemlerinden itibaren varlığını sürdüren bu motif, mimari süsleme, dokuma, ahşap ve metal işçiliği gibi pek çok sanat dalında farklı biçimlerde kullanılmıştır. Al Seef'te hayat ağacı motifinin kullanımı, bu köklü sembolik mirasın çağdaş bir kentsel bağlamda yeniden ele alınması açısından önem taşımaktadır. Motifin tek tip bir formda değil, farklı formlarının kullanılması, tasarım sürecinde bilinçli bir çeşitlendirme anlayışının benimsendiğini göstermektedir. Bu çeşitlilik, hem estetik zenginlik yaratmakta hem de hayat ağacı motifinin çok katmanlı anlam dünyasını görünür kılmaktadır.



Şekil 1. Al Seef'ten bir kare (<https://www.visitdubai.com/tr/explore-dubai/dubai-neighbourhoods/al-seef> (17.01.2026))

Al Seef Birleşik Arap Emirlikleri'nin Dubai kentinin Al Fahidi semtinde, Dubai Körfezi kıyısında 1,8 km'lik bir sahil gezinti yeridir. Kentin kültürel merkezlerinden birine bağlı olan kıyıları, küçük sikkaları (ara sokaklar) ve tarihi rüzgâr kulelerine sahip kum renkli yapılarıyla Emirlik mirasını onurlandırmaktadır <https://www.visitdubai.com/tr/explore-dubai/dubai-neighbourhoods/al-seef> (17.01.2026)

Al Seef turistik bölgesinin en belirgin özelliklerinden biri rüzgâr kuleleridir. Bu kuleler, doğal bir iklimlendirme sistemi görevi görerek evlerin içini serin tutar (<https://www.avruparuyasi.com.tr/eski-dubai-al-fahidi-gold-> 17.01.2026)



Şekil 2. Günümüz Al Seef rüzgar kuleleri (Kılıç Karatay, 2026).

Dubai Koyu'nun etkileyici manzaralarına hâkim, tarihsel dokusu ve denizle kurduğu güçlü ilişkiyle öne çıkan Al Seef, bölge kültürünün modern bir yorumla yeniden ele alındığı önemli bir kentsel mekân niteliği taşımaktadır. Bölge, Dubai'nin kültürel merkezlerinden biriyle doğrudan bağlantılı olan kıyı şeridi, dar sokak dokusunu yansıtan geleneksel kuleleriyle donatılmış kum tonlarındaki mimari yapılarıyla tarihinin izlerini çağdaş bir çerçevede yansıtmaktadır. Bu mimari yaklaşım, geçmişin yapı teknikleri ve estetik anlayışının günümüz kentsel yaşamına uyarlanmasına imkân tanımaktadır.

Dubai Al Seef, estetik tasarım, desenler, formlar ve temaların daha fazla turist çekmek için kavramsal tasarım aşamasında dikkate alınması gereken temel unsurlar olduğu bir ticari projedir. Bu projenin hedeflerinden biri, hem miras hem de çağdaş alanları bir araya getirerek eski ve yeni Dubai'yi uyumlu hale getirmektir (Chen ve ark., s: 168).



Şekil 3. Al Seef sokak süslemelerinden detay (Kılıç Karatay, 2026).



Şekil 4. Al Seef sokaklarından kareler (Kılıç Karatay, 2026).

Dubai Al Seef, sermaye, kişiler, işaretler ve bilginin ağ bağlantılı hareketliliği sayesinde ekonomik ve kültürel olarak üretilmiştir. Dubai'de bulunan ve başlangıçta yerel yerleşimciler tarafından kurulan Al Seef, güney Creek kıyısındaki Al Bastakiya'nın tarihi bölgesidir (<https://www.godwinaustenjohnson.com/alseef>, 02.02.2026)

1890 yılında, 60 evden oluşan bölge dar ve dolambaçlı sokaklardan oluşan bir labirent olmasına rağmen 1980 yılında bu bölgenin büyük bir kısmı yıkılarak Eski Dubai'nin imajını güçlendirmek, sokakları, çarşıları ve karakteristik yerel rüzgar kulelerini korumak için 1,6 km uzunluğundaki Creekside bölgesini yeniden yapılmıştır. Arapça'da sahil veya kıyı anlamına Al Seef Dubai şehrinin canlı denizcilik köklerinin ve sürekli gelişen çok uluslu kültürünü yaşatmak için tasarlanmıştır (<https://landezine-award.com/al-seef-heritage-waterfront/> 02.02.2026)

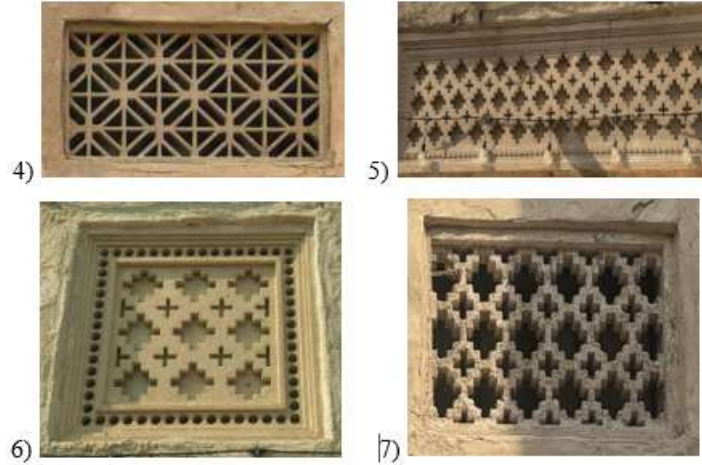
Al Seef projesi Godwin Austen Johnson tarafından tasarlanmıştır. Projenin amacı dönüştürülmüş bir alan inşa ederek otantik bir miras deneyimi sunup geleneksel Emirlik mimarisini ve yerel zanaatları koruyup sergilenmesi amaçlanmıştır (<https://www.godwinaustenjohnson.com/alseef>, 02.02.2026).

Fisher ve Harby'nin 2018'de yazmış oldukları Robert Venturi's Rome adlı yayımlarında "bu proje geçmişin son derece detaylı ve özgün bir ifadesini temsil etmektedir. Bununla birlikte, bu proje, eskitme teknikleri ve işçilikle yapılan restorasyonun bir tezahürüyle sınırlıdır (Fisher & Harby, 2018, s:15).

Bölge sokaklarında Emirlik el sanatlarına ait özgün ürünler, yerel tasarımlar ve geleneksel kokuların satıldığı mekânlar, kültürel belleğin gündelik yaşamla bütünleştiği bir ortam yaratmaktadır. Al Seef bölgesi, bu yaklaşımın somut bir örneğini teşkil etmektedir. Bu yeniden yorumlama sürecinde dinin etkisinde kullanılan süsleme unsurları, özellikle de sembolik değeri yüksek motifler önemli bir rol oynamaktadır. Süsleme, Al Seef'te süsleme öğeleri mekâna anlam yükleyerek kültürel bir bağ kuran temel bir tasarım ögesi olarak karşımıza çıkmaktadır. Bu bağlamda hayat ağacı motifi, Al Seef süslemelerinde en dikkat çekici ve en yoğun kullanılan motiflerden biri olarak öne çıkmaktadır. Ayrıca süslemelerde hayat ağacı motifinin yanı sıra göz, penç ve bereket motifinin stilize edilmiş üsluplarının da kullanıldığı görülmektedir.

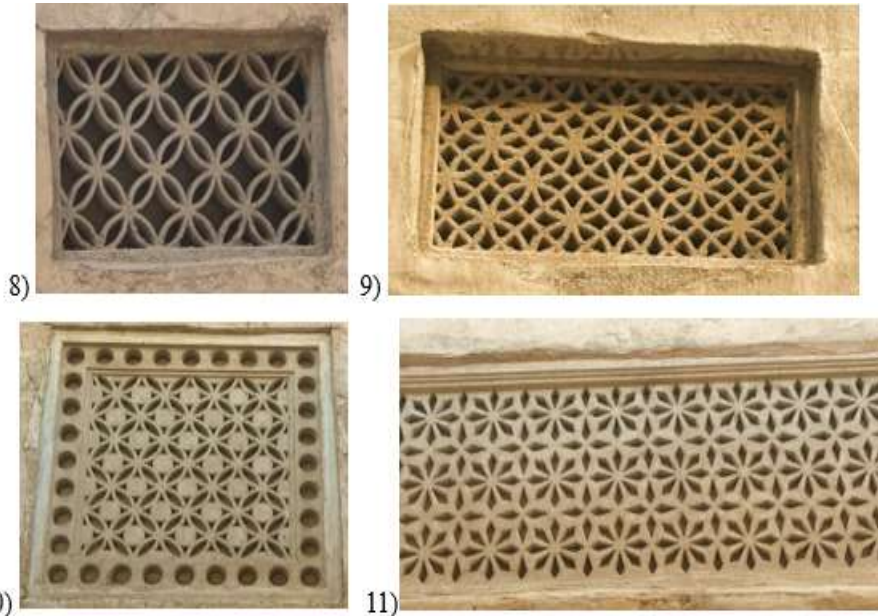
Pencere üstlüklerinde göz motifi, penç ve yıldız motifinin sık kullanıldığı görülmektedir. Bazı pencere üstlüklerinde dört yapraklı penç motifinin daireler içine alındığı, bazı örneklerde ise göz motifinin farklı formları bazı örneklerde ise yıldız motifi kullanılmıştır. Göz motifinin kullanıldığı pencere üstlükleri geometrik olarak 1/2 simetri tekniğinde tahta veya mermer malzeme kullanılarak kare ve dikdörtgen çerçeve tekniğinde tahta ve oyma tekniği ile yerleştirilmiştir.

Göz motifi genel olarak kötü kem gözden korunmak amaçlı kullanılan evrensel bir motiftir. İyi niyetli olmayan insanların bakışının göz değerek nazara sebep olduğu düşünülmektedir. Nazar, Arapça bir kelime olup; “N-Z-R” kökünden gelen bir mastardır. Yine Türkçede beğenilen bir şeye kıskançlıkla bakmak ve zarar verecek şekilde onu etkilemek manasında “nazar etmek (göz değmesi)”, Arapçada “nazra (isabetü’layn) şeklinde kullanılmaktadır (Hançerlioğlu, 1984, s;410) Nazar kelimesi, kem göz manasına gelmekle beraber daha ziyade gelme, uğrama, değme ve etme fiilleriyle birlikte; nazara gelme, nazara uğrama, nazar değmesi ve nazar etme şeklinde kullanılmaktadır (Kuşat, 2003, s;16).



Şekil 5. Pencere üstlükleri süslemelerinde göz motifi örnekleri(Kılıç Karatay, 2006)

Penç motifi pencere üstlüklerinin süsleme kompozisyonlarında kullanılan motiflerdendir. Desen kompozisyonlarında penç motifi kullanılmıştır. Kompozisyonlarda $\frac{1}{4}$ rapor tekniğinde tekrar eden birim tekrarı motifler kullanılmıştır.



Şekil 6. Pencere üstlükleri süslemeleri penç motifi örnekleri(Kılıç Karatay, 2006)

Küçük kare formlar içerisinde yıldız motifi örnekleri de süsleme ögesi olarak kullanıldığı örnekler bulunmaktadır.



Şekil 7. Pencere üstlükleri süslemelerinde yıldız motifi örnekleri(Kılıç Karatay, 2006)

Al Seef sokaklarında ahşap kapı süsleme kompozisyonlarında stilize edilmiş bereket, muska ve mihrap motifi kullanılmıştır.



13)



14)

Şekil 8. Ahşap kapı süsleme örnekleri(Kılıç Karatay, 2006)



15)



16)



17)

Şekil 9. Ahşap kapı süslemelerinde kullanılan motifleri (Kılıç Karatay, 2006)

2. Hayat Ağacı Motifinin Al Seef'te Mekânsal Dağılımı

Hayat ağacı motifi; kozmolojik, dinsel, mitolojik ve kültürel anlamlarıyla Orta Asya'dan Ortadoğu'ya uzanan geniş bir coğrafyada süreklilik gösteren evrensel bir motiftir. Al Seef örneğinde bu motifin, mimari cephe süslemelerinde farklı formlarının kullanıldığı görülmektedir. Bu bağlamda süsleme anlayışı, yalnızca estetik bir tercih değil; kültürel kimliğin yeniden inşası, belleğin mekâna aktarılması ve geleneksel motiflerin modern bağlamda sürekliliğinin sağlanması açısından önem arz etmektedir. Hayat ağacı, kökleri yeraltına, dalları gökyüzüne uzanan yapısıyla evrenin düzenini, yaşamın sürekliliğini, doğum, ölüm ve yeniden doğuş döngüsünü simgeleyen bir motiftir. Türk-İslam sanatında, Orta Asya şamanist inanç sistemlerinden itibaren varlığını sürdüren bu motif, farklı coğrafyalarda farklı biçimsel özellikler kazanmıştır.

Ağaç, dünya kültürlerinde doğurganlığın, türemenin, ölümsüzlüğün, şansın, bereketin, sağlığın, hastalıktan kurtulmanın sembolüdür. Tabiat olayları da ağaç vasıtasıyla düzene girmiştir. Dünya toplumlarında ağaçlara canlı ulûhiyetler olarak bakılmıştır (Öztekin, 2008, s; 22).

Dünya kültürlerinde kullanılan en eski kutsal ağaç formu hayat ağacıdır (Belli, 1982, s;8). “Hayat Ağacı” kültü, bütün dünya kültürlerinde en yaygın inançlardan biridir. Ağaca, dünyanın düzeni üzerinde, insanların yaşayışlarını tertiplemede ve toplumla bir bağ kurma konusunda misyonlar yüklenmiştir. (Aslan, 2014, s;64) En eski inanışlardan biri olduğu anlaşılan ‘Hayat ağacı’na ilişkin ilk izlere somut olarak M.Ö. 3000 ve sonrasında Aşağı Mezopotamya’da rastlanılan iki hayvan arasındaki bitki ögesi yaşam ve ölüm arasındaki sürekli döngünün sembolü olarak Sümerlerde rastlanır (Belli, 1982, s;8)

İslam sanatında ağaç, çok sık kullanılan bir motiftir. Özellikle bu kullanımlar içerisinde hayat ağacı mimari, el sanatları, edebiyat vb. birçok sanat dalında yaygın bir şekilde işlenmiştir. İslam sanatında çok erken dönemlerden itibaren hayat ağacı motifine rastlanır(Öney, 1968, s;25). Kuran’da ağacın ilahi lütuf ve kudret eseri olarak yaratıldığı belirtilerek birçok canlılığın ağaç olmaksızın yaşayamayacağı gerçeğine dikkat çekilmiştir (Öztürk Ateş, 2012: 59).

Allah’ın nurunun “Hayat Ağacı” üzerine indiği ve kutlu doğumların bu şekilde gerçekleştiğine inanılmaktadır. Kutsal dinlerde vahiyler ışık-ateş-nur şeklinde kutsal ağaç üzerine indiği, hakanlar, hakanların evlendiği kadınlar yine “Hayat Ağacını sembolize eden ağaca inen nurdan doğduğu ve o ağaçtan beslendiklerine inanılmaktadır (Ergun,2004, s; 145-146.)

Farklı yorumlara rağmen genellikle hayat ağacı dünya kültürlerine dünyanın merkezinde ve göbek çukurundadır. Bu merkezde yeraltı yeryüzü ve gökyüzü arasındaki iletişimi sağlayan temel bir eksen bulunur (Eliade, 1991, s;17).

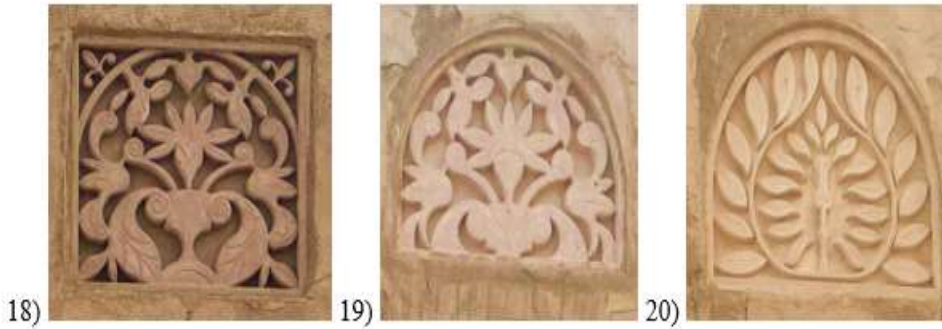
Al Seef'te kullanılan hayat ağacı motifleri de bu çok katmanlı sembolik mirası çağdaş bir bağlamda yeniden üretmektedir. Süsleme, Al Seef'te yalnızca yapıları görsel açıdan zenginleştiren bir unsur değil, aynı zamanda mekâna kültürel anlam yükleyen bir anlatım dilidir. Bu anlatımın merkezinde ise hayat ağacı motifi yer almaktadır. Hayat ağacı, kökleri yeraltına uzanan, gövdesi yeryüzünde yükselen ve dalları gökyüzüne açılan yapısıyla evrenin bütünlüğünü simgelemektedir. Bu motif, Orta Asya'dan Mezopotamya'ya, İslam sanatından Anadolu Türk sanatına kadar geniş bir coğrafyada farklı biçimlerde varlığını sürdürmüştür.

Kentsel mekânlar, yalnızca fiziksel olarak algılanmamalı aynı zamanda toplumların tarihsel birikimin sonucu olarak kültür kimliklerini somutlaştığı ortamlardır. Özellikle modernleşme sürecini hızla yaşayan kentlerde, geleneksel mimari ve süsleme unsurlarının nasıl korunacağı, dönüştürüleceği ya da yeniden üretileceği önemli bir tartışma alanı oluşturmaktadır. Bu tartışma, Orta Doğu kentleri bağlamında daha da belirgin hâle gelmektedir. Zira bu coğrafyada yer alan kentler, bir yandan küresel ölçekte çağdaş mimari projelerle öne çıkarken, diğer yandan köklü kültürel ve sanatsal miraslarını görünür kılma ihtiyacı duymaktadır. Dubai, bu ikili sürecin en çarpıcı örneklerinden biridir. Kent, modern gökdelenleri, ileri teknolojiye dayalı yapıları ve küresel ölçekte ses getiren projeleriyle çağdaş mimarinin simgelerinden biri hâline gelmiştir.

Bununla birlikte, geleneksel Emirlik yaşam biçimini ve kültürel mirasını temsil eden alanların korunması ve yeniden işlevlendirilmesi yönünde de önemli adımlar atılmıştır. Al Seef bölgesi, bu bağlamda Dubai'nin kültürel mirasa yaklaşımını yansıtan en dikkat çekici kentsel projelerden biri olarak değerlendirilmektedir. Bölge; dar sokakları, rüzgâr kuleleri, yapı cepheleri, geleneksel yapıları ve zengin süslemeleri ve tarihsel gelişimini yansıtmaktadır.

Mimari süslemelerde kullanılan hayat ağacı motifi, taşıdığı derin sembolik anlam ve biçimsel çeşitlilik sayesinde öne çıkmaktadır. Hayat ağacı, farklı kültürlerde ve inanç sistemlerinde evrenin düzenini, yaşamın sürekliliğini ve doğa ile insan arasındaki dengeyi simgeleyen evrensel bir motif olarak karşımıza çıkmaktadır. Motifin farklı formlarda kullanılması, kültürel anlamın tek bir yorumla sınırlandırılmadığını göstermektedir. Hayat ağacı motifi, Al Seef süslemelerinde yaşamın sürekliliğini, doğayla uyumu ve kültürel köklere bağlılığı simgelemektedir. Kökler geçmiş, gövde bugünü, dallar ise geleceği temsil etmektedir. Bu sembolik yapı, Al Seef'in geçmiş ile modern yaşam arasında kurduğu dengeyi görsel olarak ifade etmektedir.

Al Seef'te süsleme; mimari form, malzeme seçimi, oran-orantı ilişkileri ve mekânsal organizasyonla bütünleşik bir anlayış içinde aşırı bezemeden kaçınılmış, süsleme unsurları yapının kimliğini vurgulayan sembolik öğeler olarak değerlendirilmiştir. Motifin en yoğun kullanıldığı alanlar, kullanıcıyla doğrudan etkileşim kurulan yüzeylerdir. Kapı girişleri ve cephe panolarında kullanılan süsleme elemanları, motifin sembolik anlamını görünür kılmayı amaçlamaktadır. Al Seef süslemelerinde tespit edilen hayat ağacı motifleri, biçimsel açıdan büyük bir çeşitlilik göstermektedir. Hayat ağacı motifinin en geleneksel yorumlarından biri olan kök, gövde ve dallar belirgin biçimde ayrılmış; simetri esas alınmıştır. Simetrik yapı, düzen ve denge kavramlarını ön plana çıkarmaktadır. Bu formda dallar daha serbest ve akışkan bir biçimde düzenlenmiştir. Doğal bitki formuna yakın bir anlayış hâkimdir. Motif, temel geometrik şekillerle soyutlanmış ve modern bir estetik anlayışla sunulmuştur. Bu form, İslam süsleme sanatında yaygın olarak kullanılan palmet ve rumi motifleriyle ilişkilidir.



Şekil 10. Palmet ve Rumi motifi bulunan hayat ağacı motifleri (Kılıç Karatay, 2006)

Hayat ağacının dalları, palmet benzeri kıvrımlarla sonlanmakta ve yüzeyde ritmik bir hareket oluşturmaktadır. Bu formda hayat ağacı, birden fazla dal katmanıyla zenginleştirilmiştir. Kompozisyon, derinlik ve hacim algısını güçlendirmektedir. Al Seef'te bu tür örnekler, geniş cephe yüzeylerinde tercih edilmiştir. Spiral dallanma, motifin dinamizmini artıran bir unsurdur. Bu form, yaşamın döngüsellik ve sürekliliğini sembolize etmektedir.

Bu kullanımda motif, geometrik kafes sistemleriyle bütünleştirilmiştir. Kafes yapısı, ışık ve gölge oyunları oluşturarak motifin algısını zenginleştirmektedir. Kapı ve yapı duvarlarında bulunan nişler içerisinde panolar halinde görülen bu formda motif, belirli bir çerçeve içine alınarak vurgulanmıştır. Çerçeve, motifin kutsallık ve değer atfedilen bir unsur olarak algılanmasını sağlamaktadır. Zeminlerde kullanılan dairesel formlar, hayat ağacını evrenin merkezine yerleştiren kozmolojik bir anlayışı yansıtmaktadır. Bu formda motif, en temel çizgilerine indirgenmiştir. Minimalist yaklaşım, çağdaş tasarım anlayışıyla doğrudan ilişkilidir.

Hayat ağacının dalları çiçek motifleriyle zenginleştirilmiş, bereket ve çoğalma temaları ön plana çıkarılmıştır. Dal uçlarında kullanılan düğüm motifleri, sonsuzluk fikrini vurgulamaktadır.



21.



22)

23)

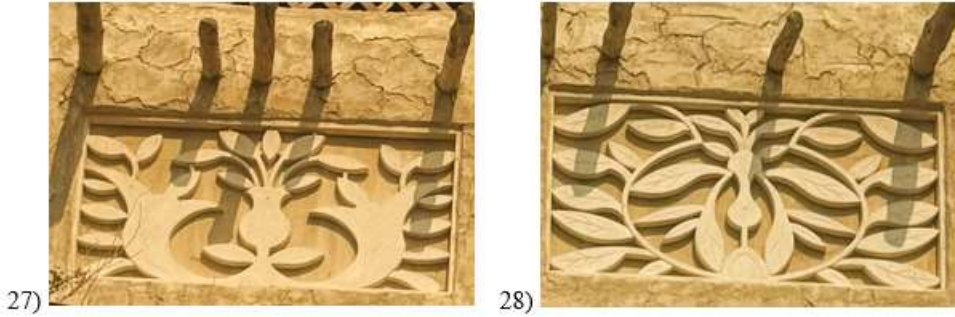
Şekil 11. Duvar üzerinde kapalı nişler içerisinde hayat ağacı (Kılıç Karatay,2026)

Hayat ağacı motifi, Al Seef süslemelerinde yalnızca estetik bir tercih olarak değil, derin sembolik anlamlar taşıyan bir anlatı unsuru olarak ele alınmıştır. Bu motifin kök, gövde ve dal yapısı; insanlık tarihinin en eski kozmolojik tasavvurlarından biri olan evrenin üç katmanlı düzenini simgelemektedir. Kökler yeraltını, gövde yeryüzünü, dallar ise gökyüzünü temsil etmekte; böylece motif, varoluşun bütüncül yapısını görsel bir dile dönüştürmektedir. Al Seef'te kullanılan hayat ağacı formlarında bu üçlü yapı, farklı derecelerde vurgulanmıştır. Bazı örneklerde kökler açık biçimde gösterilerek geçmişle kurulan bağ ön plana çıkarılmış, bazı örneklerde ise dallar zenginleştirilerek geleceğe yönelik süreklilik ve umut kavramları vurgulanmıştır. Bu durum, motifin tek bir anlamla sınırlandırılmadığını, aksine çok katmanlı bir sembolik dil sunduğunu göstermektedir. Hayat ağacının dallarının yukarı doğru yönelmesi, yükselme, gelişme ve manevi arınma fikrini çağrıştırmaktadır.



Şekil 12. Kapalı nişler içerisinde hayat ağacı motifi (Kılıç Karatay,2026)

Al Seef’te özellikle ibadet mekânlarına yakın alanlarda ve kamusal geçiş noktalarında kullanılan bu formlar, mekânın ruhsal ve kültürel anlamını güçlendiren bir işlev üstlenmektedir. Böylece süsleme, mekânın yalnızca fiziksel değil, aynı zamanda manevi algısını da şekillendirmektedir.



Şekil 13. Kapı üstlüklerinde kullanılan hayat ağacı motifi (Kılıç Karatay,2026)

Al Seef’te hayat ağacı motifinin bu geleneksel unsurlarla bütünleştirilmesi, yerel kültürel düşüncelerin çağdaş bir sembol üzerinden yeniden yorumlanmasına olanak tanımıştır. Al Seef’teki hayat ağacı formlarının bazıları, palmiye ağacını çağrıştıran dikey ve ritmik bir dallanma düzenine sahiptir. Bu bağlamda hayat ağacı, Al Seef’te evrensel bir sembol ile yerel kültürel değerler arasında köprü kuran bir araç olarak işlev görmektedir. Motifin biçimsel çeşitliliği, bu uyum sürecinin bilinçli bir tasarım tercihi olduğunu ortaya koymaktadır. Bu uygulamalarda oyma ve kabartma teknikleri tercih edilmiş, motifin dokunsal etkisi ön plana çıkarılmıştır. Hayat ağacı motifi, bu bağlamda geçmiş ile bugünü birleştiren bir sembolik aracıya dönüşmektedir.

Süsleme unsurlarının mekânsal algı üzerindeki etkisi, kullanıcı deneyimi açısından önemli bir değerlendirme alanıdır. Al Seef’te hayat ağacı motifinin yoğun ve çeşitli biçimlerde kullanılması, ziyaretçilerin mekânla kurduğu ilişkiyi doğrudan etkilemektedir. Motif, kullanıcılar için görsel bir algı oluşturmakta ve mekânın kültürel kimliğini okunur kılmaktadır.



Şekil 14. Balkon korumalıklarında kullanılan hayat ağacı motifi (Kılıç Karatay,2026)

Hayat ağacı motifinin tekrar eden ancak biçimsel olarak çeşitlenen kullanımı, mekânda ritmik bir algı oluşturmaktadır. Motifin tanındıklığı, kültürel bir aidiyet hissi yaratırken; biçimsel çeşitlilik, merak ve keşif duygusunu canlı tutmaktadır. Bu bağlamda hayat ağacı, yalnızca geçmişe referans veren bir sembol değil, aynı zamanda çağdaş kullanıcı deneyimini zenginleştiren bir tasarım aracıdır. Kentsel kimlik, bir yerin fiziksel özellikleri kadar sembolik ve kültürel unsurlarıyla da şekillenmektedir. Hayat ağacının çok biçimli kullanımı, Al Seef'in tek bir tarihsel döneme sıkışmadığını, aksine geçmişten günümüze uzanan süreklilik fikrini temsil ettiğini göstermektedir. Bu durum, bölgenin hem yerel halk hem de ziyaretçiler tarafından kültürel bir merkez olarak algılanmasına katkı sağlamaktadır.

Çağdaş mimarlık ve kentsel tasarım alanında kültürel mirasın yeniden üretimi, yalnızca fiziksel yapıların korunmasıyla sınırlı olmayan çok katmanlı bir süreçtir. Bu süreçte semboller, motifler ve süsleme anlayışları, geçmişle bugün arasında kurulan ilişkinin en görünür unsurları hâline gelmektedir. Al Seef bölgesi, bu bağlamda geleneksel Emirlik mirasının çağdaş bir anlatı diliyle yeniden kurgulandığı bir örnek olarak değerlendirilebilir. Hayat ağacı motifi, Al Seef'te bu çağdaş miras üretiminin merkezinde yer almaktadır. Motifin tarihsel kökenlere dayanan sembolik anlamı, modern kentsel bağlamda yeniden yorumlanarak güncel bir anlatı unsuru hâline getirilmiştir. Bu durum, mirasın donmuş bir geçmiş temsili olmaktan çıkarılıp yaşayan ve dönüşen bir değer olarak ele alındığını göstermektedir. Al Seef'te hayat ağacı motifinin en farklı formlarının kullanılması, miras üretiminde tek tipçi bir yaklaşımın benimsenmediğini ortaya koymaktadır. Aksine, motifin farklı biçimsel yorumları aracılığıyla kültürel çeşitlilik ve estetik zenginlik ön plana çıkarılmıştır. Bu yaklaşım, çağdaş miras kavramının dinamik ve çok sesli doğasıyla örtüşmektedir.

Kültürel kimlik, süreklilik duygusu üzerinden inşa edilen bir kavramdır. Bu süreklilik, yalnızca tarihsel olayların aktarımıyla değil, semboller ve görsel anlatılar aracılığıyla da sağlanmaktadır. Hayat ağacı motifi, Al Seef süslemelerinde bu sürekliliğin en güçlü simgelerinden biri olarak karşımıza çıkmaktadır. Motifin kökleri geçmişe, gövdesi bugüne, dalları ise geleceğe uzanan yapısı, Al Seef'in kentsel kimliğini oluşturan temel anlatıyı görselleştirmektedir.

Al Seef, bu yönüyle geçmişi idealize eden nostaljik bir mekân değil; geçmişten beslenen, ancak çağdaş yaşamla bütünleşen bir kentsel alan olarak konumlanmaktadır. Hayat ağacı motifi, bu konumlanmayı destekleyen sembolik bir omurga işlevi görmektedir.

Al Seef’te süsleme unsurlarının algısal etkisi, mekânın genel deneyimini doğrudan şekillendirmektedir. Hayat ağacı motifinin tekrar eden ancak biçimsel olarak çeşitlenen kullanımı, mekânda süreklilik hissi yaratmaktadır. Bu tekrar, monotonluk yaratmamakta; aksine, farklı formlar aracılığıyla zenginleşen bir görsel ritim oluşturmaktadır. Ziyaretçiler, Al Seef sokaklarında ilerlerken hayat ağacı motifini farklı formlarını görebilmektedir. Bu durum, mekânın zihinsel haritalanmasını kolaylaştırmakta ve bölgenin kimliğinin bellekte kalıcı hâle gelmesini sağlamaktadır. Hayat ağacı, bu bağlamda yalnızca görülen bir motif değil, deneyimlenen bir sembol olarak değerlendirilebilir. Al Seef’te hayat ağacı motifinin çok biçimli kullanımı, mekânsal bir anlatı oluşturma amacına hizmet etmektedir. Her bir form, motifin farklı bir yönünü vurgulamakta; kimi zaman doğallık, kimi zaman düzen, kimi zaman ise soyutlama ön plana çıkarılmaktadır. Bu çok biçimlilik, hayat ağacının tek bir anlamla sınırlandırılmamasını sağlamaktadır. Bu durum, ziyaretçilere açık uçlu bir okuma alanı sunmaktadır. Hayat ağacı, her kullanıcı için farklı çağrışımlar yaratabilmekte ve kişisel deneyimlerle yeniden anlamlandırılmaktadır. Böylece süsleme, pasif bir görsel unsur olmaktan çıkarak aktif bir anlatı aracına dönüşmektedir.

SONUÇ

Bu araştırma ile Dubai Koyu kıyısında yer alan Al Seef bölgesi mimari süslemelerinde kullanılan hayat ağacı motifinin süsleme kompozisyonunda ana motif olduğu ve bu motifin birden fazla formlarının kullanıldığı tespit edilmiştir. Hayat ağacı motifinin Al Seef’teki kullanımı, yalnızca estetik bir tercih olarak değil; kültürel kimliğin sürekliliğinin sağlandığını ve geçmişle bugün arasında anlamlı bir bağ kurulduğunu göstermektedir.

Araştırma, hayat ağacı motifinin biçimsel çeşitliliğinin, Al Seef’in çağdaş miras üretimi anlayışını yansıttığını ortaya koymuştur. Motifin farklı formlarda yorumlanması, kültürel mirasın tek tip bir form üzerinden değil aksine birden fazla aynı motifin mesajı topluma iletmeye çalışılmıştır. Bu yaklaşım, Al Seef’i yalnızca geçmişi temsil eden bir alan olmaktan çıkararak, yaşayan ve dönüşen bir kültürel mekân hâline getirmektedir.

Sonuç olarak Al Seef süslemelerinde hayat ağacı motifi, tarihin izleri ile çağdaş kentsel tasarım anlayışı arasında güçlü bir köprü kurmaktadır. Motif, hem görsel hem de ifade anlamı mimarinin kimliğini şekillendirmekte; kültürel sürekliliği görünür kılan temel bir anlatım aracı olarak işlev görmektedir. Bu yönüyle Al Seef, çağdaş kentlerde kültürel mirasın süsleme yoluyla nasıl yeniden üretilebileceğine dair önemli bir örnek olarak gösterilebilir. Hayat ağacı motifi, geçmişten gelen sembolik anlamları modern mekâna taşıyarak, kültürel belleğin canlı tutulmasına katkı sağlamaktadır. Bu yönüyle Al Seef, çağdaş kentlerde kültürel mirasın nasıl yorumlanabileceğine dair önemli bir örnek oluşturmaktadır.

KAYNAKLAR

(<https://landezine-award.com/al-seef-heritage-waterfront/> 02.02.2026)

(<https://www.godwinaustenjohnson.com/alseef>, 02.02.2026)

(<https://www.godwinaustenjohnson.com/alseef>, 02.02.2026).

Arslan S.(2014). Türklerde Ağaç Kültü ve “Hayat Ağacı” IJOSES, Uluslararası Sosyal ve Eğitim Bilimleri Dergisi

Belli O.(1982) ‘Urartularda Hayat Ağacı İnancı’, Anadolu Araştırmaları, İstanbul

Belli O.(1982). “Urartularda Hayat Ağacı İnancı”, Anadolu Araştırmaları, sayı VIII, İstanbul. Çoruhlu Y (2002). Türk Mitolojisinin Ana Hatları, İstanbul.

Eliade, M.(1991) Kutsal ve Din Dışı, (Çev. Mehmet Ali Kılıçbay), Ankara,

Ergun, P. Türk Kültüründe Ağaç Kültü, Atatürk Kültür Merkezi Başkanlığı Yayınları, Ankara, 2004. s. 145-146.

Fisher F. and Harby S.. Robert Venturi's Rome. Novato, (CA: ORO Editions, 2018), 15.

Hançerlioğlu, O. (1984). İslam İnançları Sözlüğü. Remzi Kitabevi. İstanbul

<https://www.avruparuyasi.com.tr/eski-dubai-al-fahidi-gold-souk-ve-duabi-creek-gezi-rehberi>

<https://www.visitdubai.com/tr/explore-dubai/dubai-neighbourhoods/al-seef>

Kuşat, A. (2003). Türk Toplumunda Nazar Olgusu ve Psikolojik Bir Yaklaşım. Lâçin yayınları ,Kayseri.

Öney Gönül (1968) “Anadolu Selçuklu Sanatında Hayat Ağacı Motifi”, Belleten, c. XXXII, , Ankara

Öztekin Selma (2018) Dinlerde Hayat Ağacı, Ankara Üniversitesi Sosyal Bilimler Enstitüsü Felsefe ve Din Bilimleri (Dinler Tarihi) Anabilim Dalı Yüksek Lisans Tezi

ÖZTÜRK Ateş Ş (2012). Yakındoğu Demirçığ Uygarlıklarında Hayat Ağacı İnanç. (Yayımlanmamış Yüksek Lisans Tezi) Dicle Üniversitesi, Sosyal Bilimler Enstitüsü, Diyarbakır.

XIJING Chen, XINYU Wang, JONATHAN Hale, LAURA Hanks Developing The Local Community To Enhance The Global Cultural Identity In Dubai Al Seef , University Of Nottingham, UK

AN EXAMPLE OF ARCHITECTURAL STRUCTURES EXHIBITING UNIVERSAL AESTHETICS AND CULTURAL INTERACTION IN CONTEMPORARY ISLAMIC ARCHITECTURE: THE SHEIKH ZAYED GRAND MOSQUE

Semra KILIÇ KARATAY

Aksaray Üniversitesi, Eğitim Fakültesi, Güzel Sanatlar Eğitimi, Aksaray/Türkiye

ABSTRACT

Beyond being one of the most magnificent examples of contemporary Islamic architecture, Sheikh Zayed Grand Mosque is a monumental structure that reinterprets the historical accumulation of Islamic aesthetic tradition through its approach to ornamentation in the architectural language of today. Sheikh Zayed Grand Mosque stands out as one of the most comprehensive and holistic examples of ornamentation in contemporary Islamic architecture. The mihrab, qibla wall, columns, courtyard mosaics, carpet, chandeliers, calligraphic bands and lighting system have been evaluated as a whole, reflecting the concepts of unity, continuity and divine order in Islamic art. This study examines the mosque's decorations, aiming to reveal that ornamentation is not merely an aesthetic element but also a symbolic, cultural, and ideological language of expression. The marble, mosaic, semi-precious stones, glass, calligraphy, light, and water elements used in the structure are evaluated within a composition that combines the historical accumulation of Islamic art with contemporary technical and aesthetic understanding.

Keywords: Sheikh Zayed Grand Mosque, Universal, Ornamentation, Mosque, Modern, Art

ÇAĞDAŞ İSLAM MİMARİSİNDE EVRENSEL ESTETİK VE KÜLTÜREL ETKİLEŞİM GÖRÜLEN MİMARİ YAPILARA BİR ÖRNEK “ŞEYH ZAYİD ULU CAMİİ”

ÖZET

Şeyh Zayid Ulu Camii, çağdaş İslam mimarisinin en görkemli örneklerinden biri olmasının ötesinde, süsleme anlayışıyla İslam estetik geleneğinin tarihsel birikimini günümüz mimari diliyle yeniden yorumlayan anıtsal bir yapıdır. Şeyh Zayid Ulu Camii, çağdaş İslam mimarisinde süsleme anlayışının ulaştığı en kapsamlı ve bütüncül örneklerden biri olarak öne çıkmaktadır. Mihrap, kible duvarı, sütunlar, avlu mozaikleri, halı, avizeler, yazı kuşakları ve aydınlatma sistemi, İslam sanatında birlik, süreklilik ve ilahi düzen düşüncesini yansıtan bir bütünlük içinde değerlendirilmiştir. Bu inceleme caminin süslemeleri ele alınarak; tezyinatın yalnızca estetik bir unsur değil, aynı zamanda sembolik, kültürel ve ideolojik bir anlatım dili olduğunu ortaya koymayı amaçlamaktadır. Yapıda kullanılan mermer, mozaik, yarı değerli taş, cam, yazı, ışık ve su öğeleri; İslam sanatının tarihsel birikimiyle çağdaş teknik ve estetik anlayışın birleştiği bir kompozisyon içinde değerlendirilmiştir.

Anahtar Kelimeler: Şeyh Zayid Ulu Cami, Evrensel, Süsleme, Cami, modern, sanat

GİRİŞ

İslam mimarisinde süsleme, yapının taşıyıcı unsurlarından bağımsız, ikincil bir bezeme faaliyeti değil; aksine mimari kurgunun anlam zenginliğini derinleştiren temel bir ifade aracıdır. İslam mimarisinde süsleme, yapının fiziksel sınırlarını aşarak manevi bir anlam alanı oluşturan temel bir unsurdur. Mimari yüzeyler, yalnızca boşluk dolduran dekoratif alanlar olarak değil; inanamı tefekküre yönlendiren, ilahi düzeni hatırlatan ve kutsal olanla bağ kurmasını sağlayan birer anlatı düzlemi olarak kurgulanmıştır. Bu bağlamda tezyinat, İslam sanatında estetik ile anlamın ayrılmaz biçimde birleştiği bir ifade biçimi olarak karşımıza çıkar.

Erken dönemden itibaren cami mimarisi, işlevsel gerekliliklerin ötesinde, ilahi olanı hatırlatma ve insanı manevi bir atmosfere yönlendirme amacıyla şekillenmiştir.

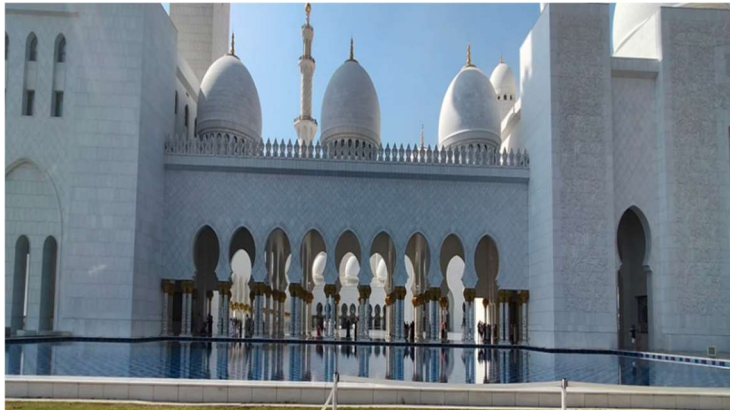
Bu bağlamda süslemeler; geometri, bitkisel bezeme, yazı gibi bezemelerle yapılmaktadır. Cami mimarisi, bu anlayışın en yoğun biçimde hissedildiği yapı türüdür. Süsleme, camide ibadet eden bireyin zihinsel ve ruhsal yönelimini belirleyen bir araçtır. Geometrik düzenlemeler, bitkisel motifler, yazı kuşakları ve ışık kullanımı, ibadet mekânını dünyevi olandan ayırarak kutsal bir atmosfer yaratır.

Şeyh Zayed Ulu Camii, 2004 yılında vefat eden Birleşik Arap Emirlikleri'nin kurucusu Şeyh Zayed bin Sultan Al Nahyan'ın anısına yapılan anıtsal bir yapıdır. 2007 yılında Kurban Bayramı namazı ile ibadete açılan dini yapı İtalya, Almanya, Fas, Hindistan, Türkiye ve Çin başta olmak üzere birçok ülkeden gelen tursitlerin ziyaret ettiği kültürler arası bir birlikteliği yansıtmaktadır. Şeyh Zayed Ulu Camii süslemeleri ile dini, kültürel ve insani değerleri yansıtan bir mimari dini yapı niteliği taşımaktadır.



Şekil 1. Şeyh Zayed Ulu Camii minyatürü ve karekodlu bilgilendirme notu(Kılıç Karatay, 2026).

Şeyh Zayed Ulu Camii ile ilgili olarak gerek mimari yapı içerisinde yer alan bilgilendirme notları gerekse internet ve diğer yazılı kaynaklardan elde edilen bilgiler caminin süslemelerinde kullanılan süsleme malzemelerinin birden fazla ülkeden getirdiğini, caminin inşaat süresinin 11 yıl sürdüğünü ve üç binden fazla işçi çalıştığı bilgilerini vermektedir. 6 Ağustos 1966'da Abu Dabi Emirliği'nin yönetimini devralarak yeni bir kalkınma dönemine taşıyan; ileri görüşlü liderliği sayesinde yedi Emirliği bir araya getirerek 2 Aralık 1971'de Birleşik Arap Emirlikleri'nin kurulmasını sağlayan Şeyh Zayed' in vizyonunu ve liderlik anlayışını simgeleyen anıtsal bir yapı olarak onun anısına yapıldığı bilgileri elde edilmektedir (<https://szgmc.gov.ae/ar/individual-booking>, 26.01.2026)



Şekil 2. Şeyh Zayed Ulu Camisinden bir kare (Kılıç Karatay, 2026).

Şeyh Zayid Ulu Camii, bu geleneği çağdaş ölçekte yeniden yorumlayan, süsleme programı son derece bilinçli ve kapsamlı bir yapı olarak öne çıkmaktadır. Zayid Ulu Camii, bu köklü geleneğin çağdaş bir yorumunu sunan, süsleme programı bakımından son derece kapsamlı ve bilinçli bir yapı olarak öne çıkar. Şeyh Zayid Ulu Camii'nin süsleme anlayışı, İslam sanatının temel ilkelerinden biri olan "vahdet" düşüncesi üzerine kurulduğu görüşü yaygındır. Yapının her unsurunda görülen tekrar, simetri ve ritim; Allah'ın birliğini ve kainattaki düzeni hatırlatmayı amaç edinmektedir. Caminin kültürel önemi, öncelikle İslam'ın hoşgörü, birlik ve birlikte yaşama ilkelerini görünür kılan mimari dili üzerinden şekillenmektedir. Dünyanın farklı coğrafyalarından temin edilen doğal taşlar, mermerler, yarı değerli taşlar ve zanaatkârlık teknikleri, camiye küresel bir kültürel üretimin mekânı hâline getirmiştir. Bu çeşitlilik, İslam sanatının tarih boyunca farklı kültürlerle kurduğu etkileşimin çağdaş bir yansıması olarak değerlendirilebilir. Böylece cami, tek bir coğrafyaya ait bir yapı olmaktan çıkarak, evrensel bir kültürel miras anlatısı sunmaktadır. Yapı, farklı kültürlerden gelen ziyaretçileri ve ibadet edenleri aynı mekânda buluşturarak, İslam medeniyetinin kapsayıcı özelliğini somut olarak yansıtmaktadır. Bu durum, camiye yalnızca Müslümanlar için değil, farklı inanç ve kültürlerle mensup bireyler için de anlamlı bir kültürel merkez hâline getirmektedir. Cami, düzenlenen etkinlikler, rehberli ziyaretler ve kültürel programlar aracılığıyla, İslam kültürü ve mimarisi hakkında bilgi aktarımı geçmiş ile günümüz arasında bir köprü işlevi yaparak yaşayan bir kültür mekânı konumundadır.



Şekil 3. Bahçede bulunan mermer sütunlar ve süslemelerinden detaylar (Kılıç Karatay)

Şeyh Zayid Ulu Camii'nin süsleme programı, İslam sanatının köklü motif koleksiyonunu çağdaş bir mimari anlayışla yeniden yorumlayan kapsamlı ve bilinçli bir tasarım anlayışını yansıtmaktadır. Yapıda kullanılan motifler, yalnızca yüzeyleri estetik açıdan zenginleştiren bezeme unsurları olarak değil; anlam, sembolizm ve kültürel süreklilik taşıyan görsel bir dil olarak kurgulanmıştır. Bu bağlamda caminin süslemelerinde öne çıkan motifler; bitkisel, geometrik ve yazı temelli kompozisyonlar olup, renk, malzeme ve ışıkla desteklenerek çok katmanlı bir estetik bütünlük oluşturmuştur.



Şekil 4. Cami bitkisel süslemelerinden örnekler (Kılıç Karatay, 2026).

Bitkisel motifler, caminin süsleme anlayışında en baskın unsurlar arasında yer almaktadır. Avlu zeminlerinden sütun gövdelerine, iç mekân duvarlarından mihrap ve minber detaylarına kadar geniş bir alanda kullanılan bu motifler; doğurganlık, bereket, süreklilik ve ilahi düzen kavramlarını simgelemektedir. Özellikle çiçek formları, İslam sanatında cennetin tasviriyle ilişkilendirilen bir süsleme geleneğinin devamı niteliğindedir. Şeyh Zayid Ulu Camii'nde kullanılan çiçek motifleri, soyutlanmış ve stilize edilmiş biçimleriyle doğrudan doğayı taklit etmekten ziyade, onun ruhunu ve düzenini yansıtan sembolik anlatımlar sunmaktadır. Lavanta, zambak, iris ve bölgeye özgü bitki türlerinden ilham alan bu motifler, mekâna canlılık kazandırırken aynı zamanda evrensel bir estetik dil kurmaktadır.



Şekil 5. Cami geometrik simetri süslemelerinden örnekler (Kılıç Karatay, 2026).



Şekil 6. Cami geometrik simetri süslemelerinden örnekler (Kılıç Karatay, 2026).

Geometrik motifler, caminin süsleme programında düzen, denge ve birlik fikrini güçlendiren temel öğeler olarak karşımıza çıkar. Özellikle zemin kaplamalarında, kubbe geçişlerinde ve mimari yüzeylerin bölümlenmesinde kullanılan geometrik düzenlemeler, İslam sanatında sıkça rastlanan tekrar ve simetri anlayışını yansıtır. Bu motifler, sonsuzluk hissi uyandıran yapılarıyla ilahi varlığın sınırsızlığını sembolize ederken, aynı zamanda mimari mekânın algısını yönlendiren görsel bir ritim oluşturur. Geometrik süslemelerin ölçülü kullanımı, caminin genelinde hâkim olan sadelik ve ihtişam dengesini korumaya hizmet etmektedir.



Şekil 7. Cami yazı süslemelerinden örnekler (Kılıç Karatay, 2026).

Yazı motifleri, Şeyh Zayid Ulu Camii'nin süsleme anlayışında anlam taşıyıcı bir unsur olarak öne çıkar. Kible duvarında ve kubbe içlerinde yer alan hat örnekleri, Kur'an ayetleri ve Allah'ın güzel isimleri etrafında şekillenmiştir. Bu yazılar, yalnızca okunabilir metinler olarak değil; biçim, ritim ve ışıkla bütünleşen görsel kompozisyonlar olarak tasarlanmıştır. Kufi, sülüs ve nesih yazı türlerinin kullanımı, İslam hat sanatının tarihsel çeşitliliğini yansıtırken, yazının süsleme ile ibadet arasındaki bağını güçlendirmektedir.

Şeyh Zayid Ulu Camii, Birleşik Arap Emirlikleri'nin kültürel kimliğinin uluslararası alanda görünür kılınmasında önemli bir rol oynamaktadır. Yapı, modern bir devletin köklerine, inançlarına ve kültürel mirasına duyduğu saygıyı simgeleyen güçlü bir mimari ifade olarak değerlendirilebilir. Bu bağlamda cami, ulusal kimlik ile evrensel değerler arasında kurulan dengeli ilişkinin mekânsal bir temsilidir.



Şekil 8. Camii içi süslemelerinde kullanılan beyaz mermerler (Kılıç Karatay, 2026)

Caminin süsleme anlayışında öne çıkan unsurlardan biri beyaz mermer kullanımınıdır. Beyaz renk, saflık, barış ve hoşgörü kavramlarını temsil eden güçlü bir sembol olarak yapının tümünde hâkimdir. Dış cephelerde ve iç mekânlarda kullanılan beyaz mermer, ışığı yansıtma özelliği sayesinde mekâna ferahlık ve dinginlik kazandırırken, süsleme unsurlarının ön plana çıkmasını sağlar. Mermer yüzeyler, bitkisel motifler ve mozaik kakmalarla zenginleştirilmiş, böylece sadelik ile ihtişam arasında dengeli bir ilişki kurulmuştur. Mermerlerin duvarların süslemelerinde dal, yaprak, penç, goncagül ve gül gibi bitkisel kökenli motifler kullanılmıştır. Cam vitray kapı giriş ve üstlerinde de bitkisel motifler kullanılmıştır.



Şekil 9. Cami minareleri (Kılıç Karatay, 2026).

Şeyh Zayed Ulu Camii, çağdaş İslam mimarisinin tarihsel birikimle kurduğu güçlü ilişkiyi yansıtan anıtsal bir yapı olarak öne çıkmaktadır. Cami avlusunun dört köşesinde yer alan ve yaklaşık 107 metre yüksekliğe ulaşan minareler, farklı İslam dönemlerine ait mimari üslupların bütüncül bir tasarım anlayışı içinde bir araya getirildiğini göstermektedir. Altın hilallerle taçlandırılan bu minareler, yalnızca işlevsel bir unsur olarak değil, aynı zamanda caminin sembolik ve görsel kimliğini güçlendiren öğeler olarak değerlendirilmelidir. Minarelerin, İslam mimarisinde dini bilginin yayılmasını simgeleyen birer “ışık kaynağı” niteliği taşıması, yapının anlam dünyasını derinleştirmektedir.

İslamiyet’in en önemli sembolü ve camilerin vazgeçilmez bir mimari elemanı olan minareler, sadece ezanın okunması için değil, önceki dönemlerde haberleşmek amacıyla da inşa edilmiş olan yapılardır (Yurttaş & Gökler, 2020, s:120)

Araplar menâre kelimesini, aslında İskenderiye Feneri için söylemektedirler (Söylemezoğlu, 1954, s:53). Aslı Arapça olan kelime, sözlükte ışık (nûr) veya ateş (nar) çıkan/görünen yer anlamına gelmektedir (Gündüz, 2005, s:98). Minarelerin zigguratlardan, kulelerden, deniz fenerlerinden, çan veya gözetleme kulelerinden esinlendiği düşünülmektedir (Uysal, 1990, s:505)

Caminin kubbelerinin, minarelerinin ve duvarlarının dış yüzeyleri, Makedonya'dan ithal edilen 165.000 metrekareden fazla en kaliteli ve parlak Sevik mermeriyle kaplıdır; caminin içindeki beyaz mermer ise İtalyan ocaklarından temin edilmiştir. Dış avlu (sahn), çeşitli İtalyan, Hint, Yunan ve Çin mermerlerinden yapılmış yüz binlerce mozaik parçasıyla kaplı olup, caminin mimari detaylarında dünya kültürlerinin birleşmesini temsil etmektedir.



Şekil 10. Caminin kubbeleri (Kılıç Karatay, 2026).

Caminin kubbe yapıları da oldukça görkemlidir. Yazılı kaynaklardan edinilen bilgilere göre İslâm mimarisinin ilk anıtsal kubbe örneği Kubbetü's Sahre olup zengin bir geçmişe sahiptir. Kubbetüs sahra kubbesi Muallak taşı olarak bilinen bir kaya üzerine inşa edilmiştir.

Arapça kökenli kelime olan “kubbe”nin esas anlamı içi boş üstü yarım küredir. Kubbe, camilerin cephesindeki belirgin şekli oluşturmasının yanı sıra işlevsel, sembolik veya yapısal gerekçe olmaksızın camilerin örtülmesi gibi amaçlarla kullanılması nedeniyle en önemli unsurlardan biri olarak kabul edilmektedir (Hasan & Koç, 2025, s:2)

Kubbe, insan kibrinin insan bencilliğinin dizginidir. İnsanın etrafını çeviren âlem ile mimarının şekillendiği mekân birbirini tamamlayan forumlar olarak algılanmıştır. Bu, hayatın her aşamasını kapsayan, belirleyen ve nurla sınırları içinde bulunanları kutsayan bir form olarak sonsuzluğa giden anlatımı içermektedir (Nasr, 2019, s.98). Kubbe, şekil olarak, merkezi teşkil eden kilit taşından başlayarak çemberin her bir noktasına eşit uzaklıktaki yapısı ile merkez sembolizminin bir diğer yapı elamanıdır. Kubbenin simgesel boyutu bütün kültür çevrelerince kabul görmüş, ancak bu çevrelerce değişik anlamlar yüklenmiştir (Çaycı, 2017, s.202).

İslâmî gelenekte bu kaya, "Mukaddes Kaya" veya "Muallak Taşı" olarak adlandırılmaktadır. İslâm inancına göre bu kayanın önemi, Hz. Muhammed'in Miraç hadisesi esnasında yeryüzünde bastığı son nokta olduğuna inanılmasından kaynaklanmaktadır (Bozkurt, 2004, s:29-298).

Caminin ana ibadet salonu üzerinde bulunan bir büyük ve iki küçük olmak üzere büyük kubbeler bulunmaktadır. Ana ibadet salonunda bulunan halı dokuması göbeğinde bulunan bitkisel motiflerden desen konpozisyonu oluşturulan el dokuması halı üzerinde bulunan ana kubbe ve diğer iki kubbe süslemelerinde bitkisel motifler kullanılmıştır. Ana kubbeden sonra yardımcı iki kubbenin süslemelerinde rumi motifi ile bezenmiş çarkifelek motifi kullanılmıştır. Kasnak bölümünde ise kufi hat yazısı bulunmaktadır. Kubbenin Diğer kubbe örneklerinde ise içleri yaprak, dal ve rumi motiflerinin kullanıldığı dikdörtgen geometrik formlar yer almaktadır. Ana ve yardımcı iki kubbenin yanında sayısı onun üzerinde küçük kubbeler bulunmaktadır.



Şekil 11. Caminin yardımcı iki kubbesinin iç süsleme örnekleri(Kılıç Karatay, 2026).

Küçük kubbe süslemelerinde içerisinde yaprak, çiçek, dal ve rumi motifleri ile desen kompozisyonu oluşturulan kare formlar bulunmaktadır. Kubbe kasnak kısmında yazı süslemeleri, bitkisel motifli ışıklandırma pencereleri ve tavan süslemesinde adeta bir dantel görünümünde içleri bitkisel motiflerle bezenmiş süslemeler bulunmaktadır. Ana kubbe ve yardımcı iki büyük kubbenin yanında farklı ebatlarda birden fazla kubbe örneği bulunmaktadır. Bu kubbelerin süslemelerinde de bitkisel motifler kullanılmıştır. Kubbenin tepe kısmı süslemesinde içi farklı formlarda rumi motifi ile içi bezenmiş çarkıfelek motifi kullanılmıştır.



Şekil 11. Caminin küçük kubbelerinin iç süsleme örnekleri(Kılıç Karatay, 2026).



Şeki 12. Caminin küçük kubbelerinin iç süsleme örnekleri(Kılıç Karatay, 2026).



Şekil 13. Caminin küçük kubbelerinin iç süsleme örnekleri(Kılıç Karatay, 2026).

Mihrap, İslami mimaride camilerin ve ibadethanelerin en önemli unsurlarından biridir. Genellikle kible duvarının ortasında yarım daire şeklinde tasarlanır. Mihrap, caminin süsleme programının en yoğun anlam yüklü unsurlarından biridir.

Mihrap islam mimarisinde cami, mescid ve namazgâhlarda kibleyi ve imamın namaz kıldırırken duracağı yeri gösteren mimari elemanın isimdir. Bunlar, cami ve mescitlerde kible tarafında bulunan duvara oyuk bir girinti şeklinde yapılır. Kökü Arapça olan kelime “saray, sarayın harem kısmı veya hükümdarın tahtının bulunduğu bölüm, Hristiyan azizlerinin heykel hücresi, çardak, oda, köşk, yüksekçe yer, meclisin baş tarafı, en şerefli kısmı manalarına gelmektedir (Kağnıcı, 2020, s:81).

Mihrabın dini mimarideki gelişimi uzun bir zamana yayılmıştır. İlk mescitlerden biri olan Mescidi Nebevî’de mihrabının olmadığı sadece Hz. Muhammed’in namaz kıldırıldığı yerin belli olduğu bilinmektedir (Erzincan, 1989, s: 30, 31).

Şeyh Zayid Ulu Camii’nin mihrabı, dalgalı beyaz ve altın renkli çizgilerle tasarlanmış olup, Kur’an-ı Kerim’de tasvir edilen cennet nehirlerinden ilham almıştır. Altın varaklı yüzeyler bal nehirlerini, beyaz dalgalı çizgiler ise süt nehirlerini sembolize eder. Bu tasarım, yalnızca estetik bir tercih değil; ibadet eden bireyi ilahi vaatlerle buluşturan sembolik bir anlatıdır. Mihrabın üst kısmında yer alan bal peteği formu, bereket ve ilahi lütuf kavramlarını çağrıştırarak süsleme ile anlam arasındaki bağı güçlendirir.



Şekil 14. Zayed Ulu Camii Mihrabı (Kılıç Karatay, 2026)

Kible duvarı, süsleme anlayışının yazı sanatıyla birleştiği önemli bir yüzeydir. Duvar üzerinde yer alan ve Allah’ın doksan dokuz ismini temsil eden çiçek motifleri, tezyinatın sembolik boyutunu derinleştirir. Kufi hatla yazılmış bu isimler, fiber optik aydınlatma sistemiyle vurgulanarak yazının yalnızca okunur değil, aynı zamanda görsel bir unsur haline gelmesini sağlamaktadır. Duvarın büyük ölçüde beyaz bırakılması, süsleme yoğunluğunun bilinçli bir şekilde sınırlandırıldığını ve ibadet edenin dikkatinin dağılmamasının amaçlandığını göstermektedir.



Şekil 15. Zayed Ulu Camii kiblesi süslemeleri (Kılıç Karatay, 2026)

Allah'ın ismi bu motiflerin merkezinde yer almaktadır. Birleşik Arap Emirlikleri'nden hattat Muhammed Mandi Al-Tamimi, bu motifleri fiber optik aydınlatmalı duvarlarda Kufi yazısıyla oluşturmuş, bitki dallarını aydınlatarak özel bir estetik dokunuş katmıştır (https://szgmc.gov.ae/ar/islamic- , 28.01.2026)



Şekil 16. Zayed Ulu Camii minberi ve süslemeleri süslemeleri (Kılıç Karatay, 2026)

Minber, camilerde hatibin hutbe okurken daha iyi görülmek ve sesini daha iyi duyurmak üzere çıktığı basamaklı bir bölümdür. Minber, mihrabın sağ tarafında bulunmaktadır. Kürsü, cami ve medreselerde vaaz veya eğitim öğretim amaçlı kullanılan, üst bölgeye merdivenle çıkılan mimari öğedir (Yaman & Sağıroğlu, 2020, s:40).

İç mekânda yer alan minber, erken dönem İslam mimarisinden itibaren süregelen gelenekle uyumlu biçimde mihrabın sağında konumlandırılmış olup, sedir ağacından üretilmiş zengin bezemeleriyle dikkat çekmektedir. Bitkisel motifler, sedef ve beyaz altın kakmalarla süslenen minber, hem işlevsel hem de sanatsal açıdan yapının en nitelikli unsurlarından biridir.



Şekil 17. Zayed Ulu Camii avlusu(Kılıç Karatay, 2026)

Caminin avlusu, süsleme anlayışının en geniş ölçekte uygulandığı alanlardan biridir. On binlerce metrekarelik bu alan, milyonlarca mozaik parçasından oluşan mermer kompozisyonlarla kaplanmıştır. Avlunun merkezine doğru kıvrılarak ilerleyen çiçek motifleri, doğanın canlılığını ve sürekliliğini temsil eder. Kullanılan bitkisel motifler, Orta Doğu coğrafyasına özgü çiçeklerden ilham alarak tasarlanmış, böylece yerel kimlik evrensel bir estetik dil içinde sunulmuştur. Avlu süslemeleri, yalnızca zemini bezemekle kalmaz; ibadet edenlerin hareketlerini yönlendiren, mekân algısını güçlendiren bir işlev de üstlenir.



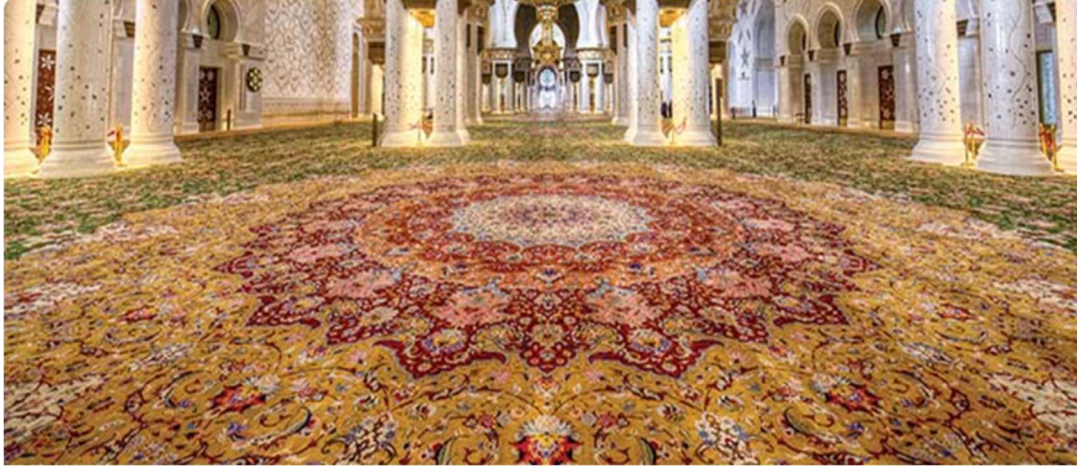
Şekil 18 Zayed Ulu Camii sütun süslemeleri (Kılıç Karatay, 2026)

Cami içi geçişlerinde yer alan kolonlar üzerinde bitkisel motiflerden elde edilen desen kompozisyonu bulunmaktadır. Desen kompozisyonları yaprak, dal ve rumi motifleri kullanılmıştır. Cami içerisinde birbiri tekrarı yapan birim motiflerin sık kullanıldığı gözlemlenmiştir.



Şekil 19. Zayed Ulu Camii kolon süslemeleri (Kılıç Karatay, 2026)

Sütunlar, caminin süsleme programında önemli bir ritmik unsur olarak karşımıza çıkar. Dış revaklarda yer alan yüzlerce sütun, yarı değerli taşlarla işlenmiş çiçek motifleriyle süslenmiştir. Bu sütunlarda kullanılan kakma tekniği, İslam sanatında sabır ve ustalık gerektiren bir üretim sürecini yansıtır. Palmiyeden ilham alınarak tasarlanan sütun formları, bereket, hayat ve süreklilik kavramlarını sembolize eder. Sütun başlıklarında kullanılan altın renkli detaylar, yapının genel süsleme anlayışıyla uyumlu bir ihtiyaç sunar.



Şekil 20. Ana ibadet salonunda bulunan dokuma halı (<https://szgmc.gov.ae/ar/islamic->, 28.01.2026)

Şeyh Zayed Ulu Camii'nin ana ibadet salonunda, 2017 yılında Guinness Dünya Rekorları tarafından tescillenen dünyanın en büyük halısı bulunmaktadır. Eşsiz tasarımı, tüm zenginliği ve çeşitliliğiyle otantik İslami sanatın yeniden canlandırılmasıdır (<https://szgmc.gov.ae/ar/islamic->, 28.01.2026)

İç mekânda yer alan halı, süsleme programının zeminle kurduğu ilişkiyi temsil eder. Dünyanın en büyük el dokuması halılarından biri olan bu eser, bitkisel motifler ve madalyon düzenlemeleriyle tasarlanmıştır. Halının merkezinde yer alan desen, yukarıdan sarkan avizeyle görsel bir bütünlük oluşturur. Halı üzerindeki namaz saflarını belirleyen çizgiler, estetikten ödün vermeden işlevselliği ön plana çıkaran bir anlayışın ürünüdür.



Şekil 21. Camii ana ibadet salonunda bulunan avize (<https://szgmc.gov.ae/ar/islamic-> 28.01.2026)

Avizeler, süsleme anlayışının ışıkla birleştiği noktalardır. Kristal ve altın kaplamalı bu büyük avizeler, yalnızca aydınlatma unsuru değil; mekânın sembolik merkezleri olarak tasarlanmıştır. Palmiye ağacından ilham alan avize formları, köklenme, yükselme ve bereket kavramlarını çağrıştırır. Kristallerden yansıyan ışık, süsleme unsurlarını daha görünür kılarak mekânın ruhani atmosferini güçlendirir.

Caminin çevresini kuşatan yansıtma havuzları, İslami bahçe geleneğinde su unsurunun taşıdığı estetik ve sembolik değeri çağdaş bir yorumla yansıtmaktadır. Dikdörtgen formlu havuzlar, mavi tonlardaki mozaik kaplamalarıyla yapının mimari etkisini güçlendirmekte; gündüz ve gece farklı ışık koşullarında caminin silüetini yansıtarak görsel zenginlik kazandırmaktadır. Bu yansımalar, caminin vurguladığı kültürel çeşitlilik, hoşgörü ve birlikte yaşama düşüncesi olarak kabul edilebilir.



Şekil 22. Zayed Ulu Camii havuzlarından kareler (Kılıç Karatay, 2026)



Şekil 23. Zayed Ulu Camii gece görünümü ve havuzlara yansımaları (Kılıç Karatay, 2026)

Cami çevresine dağıtılmış 840'tan fazla aydınlatma ünitesiyle çalışan "Ay Işığı" sistemi, düzgün ve düzenli bir ışığı hassas ışık huzmeleriyle duvarlarına yansıtırken, camiyi çevreleyen yirmi iki aydınlatma kulesi de bulut oluşumunun ışıklarla estetik uyumunu sergiliyor. Caminin mimari estetiğiyle uyumlu olacak şekilde tasarlanan bu kulelerin her birinde 9 ila 13 arasında spot ışığı bulunuyor (<https://szgmc.gov.ae/ar/islamic->, 28.01.2026)

Caminin dış ve iç aydınlatma sistemi, süsleme anlayışının zamansal bir boyut kazandığı özgün bir uygulamadır. Ayın evrelerine göre değişen ışık tonları, İslam kültüründe önemli bir yere sahip olan ay takvimine gönderme yapar.

Böylece süsleme, yalnızca mekânsal değil; zamansal bir deneyime de dönüşür. Işık ve gölge arasındaki bu bilinçli ilişki, yapının estetik algısını sürekli olarak yeniden üretir.

SONUÇ

Şeyh Zayid Ulu Camii, süsleme anlayışıyla çağdaş İslam mimarisinde ayrıcalıklı bir konuma sahiptir. Yapının tezyinat programı, yalnızca estetik kaygılarla değil; sembolik, kültürel ve ideolojik bir bilinçle oluşturulmuştur. Mermer, mozaik, yazı, ışık ve su gibi unsurlar, bir bütünlük içinde ele alınarak İslam sanatının temel ilkelerini çağdaş bir dille yeniden yorumlamıştır. Caminin süslemeleri, İslam'ın hoşgörü ve birlik mesajını görünür kılan güçlü bir anlatı sunmaktadır. Bu yönüyle Şeyh Zayid Ulu Camii, yalnızca bir ibadet mekânı değil; kültürlerarası iletişimi teşvik eden, evrensel değerleri mimari bir dil aracılığıyla ifade eden anıtsal bir yapı olarak değerlendirilebilir. Süsleme, bu yapıda mimarinin tamamlayıcısı değil; onun anlam dünyasını inşa eden temel unsur olarak karşımıza çıkmaktadır. Şeyh Zayid Ulu Camii, kültürel açıdan hoşgörü, birlik, tarihsel süreklilik ve kültürlerarası etkileşim kavramlarını bünyesinde barındıran çok yönlü bir anıt olarak kabul edilebilir. Mimari kurgusu, süsleme anlayışı ve toplumsal işlevleriyle cami, çağdaş dünyada İslam kültürünün estetik ve düşünsel boyutlarını temsil eden güçlü bir kültürel sembol niteliği taşımaktadır.

KAYNAKLAR

- Bozkurt, Nebi, “Mescid-i Aksa”, “TDV İslam Ansiklopedisi”, Ankara: TDV Yay., 2004), 29/268-271.
- Çaycı, A. (2017). İslam Mimarisinde Anlam ve Sembol, Konya: Palet Yayınları.
- Erzincan, T. (1989). “Mihrap”, Türkiye Diyanet Vakfı İslam Ansiklopedisi. (30).
- Gündüz, Filiz, (2005). “Minare” TDVİA, C30, 98-101.
- Hasan Gouran, Koç Canan (2025) Gelenek Ve Modernite Çatışmasında Camilerin Mimari Unsurları (Kubbeler), Yalvaç Akademi Dergisi, 10-1
<https://szgmc.gov.ae/ar/individual-booking>, 26.01.2026
<https://szgmc.gov.ae/ar/islamic->, 28.01.2026
- Kağnıcı Nihat (2020) Konya Alâeddin Camii Mihrap Yüzeyindeki Selçuklu Sülüsü Yazıların Hat Sanatı Açısından Değerlendirilmesi, Necmeddin Erbakan Üniversitesi, Konya Sanat Dergisi
- Nasr, S. H. (2019). İslam Sanatı ve Maneviyatı (Çev. Ahmet Demirhan), İstanbul: İnsan Yayınları.
- Söylemezoğlu, Kemali, (1954). İslam Dini İlk Camiler ve Osmanlı Camileri, İstanbul, 53.
- Uysal, A. Osman, (1990). “Anadolu Selçuklularında Erken Osmanlı Dönemine Minare Biçimindeki Gelişmeleri”, Ankara Üniversitesi Dil ve Tarih-Coğrafya Fakültesi Dergisi, Ankara, 505.
- Yaman Muammer, SAĞIROĞLU Özlem (2020), Osmanlı Dini Mimarisinde Akustik Performansın Geleneksel Yapım Teknikleri Çerçevesinde İncelenmesi, TÜBAV Bilim Dergisi
- Yurttaş Hüseyin, Gökler Burak Muhammet (2020) Bir Minare İki Usta, Atatürk Üniversitesi, Doğu Esintileri Dergisi, s:13

A RESEARCH ON BIM-INTEGRATED LIFE CYCLE ASSESSMENT OF BUILDING ELEMENTS

Neriman Gül ÇELEBİ

Dr. Mimar Sinan Fine Arts University, Graduate School, Department of Architecture, Istanbul,
Türkiye.

ORCID ID: 0000-0003-0478-0449

Ümit ARPACIOĞLU

Prof. Dr., Mimar Sinan Fine Arts University, Faculty of Architecture, Department of
Architecture, Istanbul, Türkiye.

ORCID ID: 0000-0001-8858-7499

ABSTRACT

Today's world faces significant environmental problems such as climate change, global warming, and ozone depletion. The construction industry places a significant burden on the environment due to the energy consumed and environmental emissions produced by building elements or components throughout their lifecycle. In this respect, building design is of great importance in terms of reducing greenhouse gas emissions and energy consumption on a global and national scale, and the building's environmental performance throughout its lifecycle is an important issue. As an important environmental management tool, life cycle assessment (LCA) is an internationally accepted metric. Building Information Modeling (BIM) is characterized by its ability to transfer information, parameterize models, integrate data, collaborate, utilize parametric thinking, provide lifecycle-oriented analysis, use logic for transitioning from BIM to BEM (Building Energy Modeling), and connect projects from various disciplines. A BIM-based LCA approach is important for optimum performance and process analysis. Studies on BIM and LCA integration exist in the literature, but data on this subject is limited, and BIM-LCA integration is an area requiring further development. In this regard, this study aims to develop a systematic evaluation framework by addressing BIM and LCA integration within the context of building elements. Beyond tool usage, the focus is primarily on the integration of principles. The study systematically handles the integration of building elements with BIM at every stage of their life cycles. Studies in this area are analyzed in light of the developed framework. The findings show the importance of BIM and LCA integration and the relationship between building elements.

Keywords: Life Cycle Assessment, BIM-Integrated LCA, Building Elements.

INTRODUCTION

Buildings account for a large percentage of energy consumed worldwide, and the building industry has a crucial impact on total natural resource consumption and emissions. Current environmental challenges resulting from the construction sector necessitate tools to help reduce environmental impact and resource consumption (Gao et al., 2019). Life Cycle Assessment (LCA) is an internationally recognized, integrated environmental management tool widely used to measure the environmental impacts of the construction sector (Soust-Verdaguer et al., 2017; Albanese et al., 2026; Obrecht et al., 2020). LCA is the evaluation and calculation of the inputs, outputs, and potential environmental impacts of a product system throughout its lifecycle. Building elements create operational and embodied loads on the environment throughout their life cycles. From this perspective, analyzing the environmental impact of building elements throughout their lifespan is of great importance.

BIM is a modern data management tool and information platform that supports the development of sustainable buildings.

Utilizing lifecycle-oriented analysis, BIM-to-BEM (Building Energy Modeling) transition logic, integrating data, collaborating, transferring information, utilizing parametric thinking, and connecting projects from various disciplines are characteristic properties of Building Information Modeling (BIM) (Maglad et al., 2023; Vaz et al., 2024; Ciccozzi et al., 2025). The potential of BIM for sustainable design stems from its ability to improve the flow of information within a project, thereby enabling better performance and quality. Improving time management, optimizing workflows, focusing on high-value-added services, and fully automated processes are among the principles of BIM. BIM is not only a software type, but a human activity involving paradigmatic process changes in design and construction management. BIM focuses on the communication and modeling of graphical and non-graphical information, providing the extraction of material properties and quantities for buildings, facilities, and infrastructure (Mora et al., 2020). In this context, it is generally accepted that BIM (Building Information Modeling)-LCA integration can optimize lifecycle implementation (Soust-Verdaguer et al., 2017; Mora et al., 2020).

Although BIM-LCA integration can reduce and improve the time required to assess the buildings' environmental performance from the early design stages, some methodological challenges have been identified theoretically (Soust-Verdaguer et al., 2017). The lack of studies in the literature on the BIM and LCA integration, and their use as an environmental impact assessment tool for building elements, is a significant gap. The integration of LCA software with BIM software is an area that needs further development. In this respect, the reduction of studies to the software aspect of integration is also a deficiency in the literature. In this context, this study prioritizes the necessity of defining system boundaries for analyzing the building elements' environmental impact and explains the importance of the fundamental principles of BIM-LCA integration. Accordingly, the aim is to propose a sustainability assessment framework.

METHODOLOGY

This study primarily develops a holistic approach or framework for BIM-integrated LCA evaluations of building elements based on LCA system boundaries and principles, and BIM principles (Figure 1). System frames are defined for building elements in accordance with structural systems and the building envelope. Relevant studies in the literature are analyzed in accordance with this developed framework. The analysis is conducted using the main headings of Environmental Impact Categories, LCA System Boundary, BIM Principles, and LCA-BIM Integration. The findings are explained comprehensively.

The life cycle methodology for buildings is defined in the international standard EN 15978:2011, and the assessment framework developed in this study was developed in light of this standard. In the defined system, life cycle assessment consists of the material production, construction, use, and end-of-life phases, and the LCA energy & emission recovery module. The production phase includes raw material procurement, transportation, and manufacturing/production modules. The construction phase includes the construction and transportation modules of the structure. The use phase includes repair, maintenance, replacement, refurbishment, and operational energy consumption modules. The end-of-life phase includes demolition/dismantling of the structure, transportation, waste processing, and landfill modules. The recovery module (D) represents the recycling potential of the material or structural element.

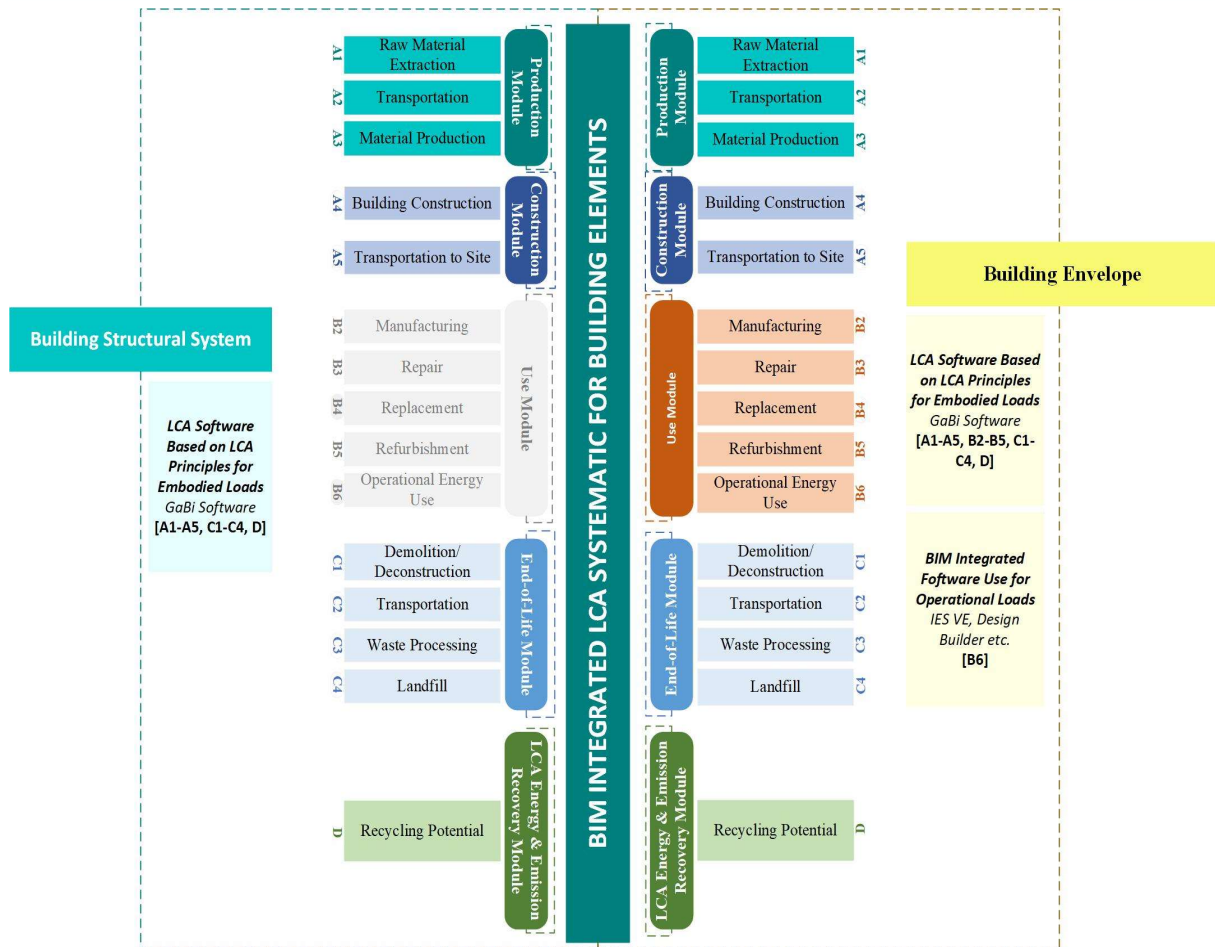


Figure 1. Developed BIM Integrated LCA Framework for Building Elements (Created by the authors)

Energy consumption occurs in each module for building elements or components, resulting in carbon emissions and other environmental emissions. The loads that a building element creates on the environment during the LCA system are defined as operational and embodied loads. Operational energy can be defined as the energy demand for a building's heating, cooling, air conditioning, ventilation, and equipment needs (Lechner, 2015). Operational loads are related to the operation of the building and occur during the use phase. Embodied loads, on the other hand, are the loads resulting from the activities of all other modules and sub-parameters. In terms of the system boundaries defined in this study, the operational phase of the load-bearing systems was not included in the evaluation; only the building envelope was included.

The building envelope is a building element that acts as a divider between the interior and exterior spaces and facilitates heat exchange, significantly impacting a building's operational energy and carbon loads, and consequently its lifecycle environmental impact. Structural systems, however, are not building elements that directly affect a building's operational loads. Activities such as maintenance and repair, included in the Operation Module, can be evaluated for load-bearing systems, but this requires a static performance analysis. This study, in line with its architectural design perspective and expertise, did not include activities that would create embodied loads during the operational phase within the system boundary.

This study proposes GaBi thinkstep for embodied loads in LCA analyses, as the goal is to provide a framework for optimal performance evaluation. GaBi is a leading LCA software used in academic and scientific studies. While it does not offer BIM integration, it provides high data quality through its robust interface and database.

França et al. (2021), in their study on life cycle assessment and cost integration, noted that two more commonly used software tools are SimaPro and GaBi. In this context, it is suggested that data on the quantity surveying of building elements be collected through BIM software (Revit, Tekla Structures) for process optimization. For operational energy and carbon values, BIM-integrated software such as IES VE and Design Builder are suggested to obtain robust data and perform optimal performance analysis.

Data transfer between BIM and LCA is a crucial aspect of integrating both tools. One of the most important uses of BIM during LCA implementation is obtaining material quantity lists (Soust-Verdaguer et al., 2017). However, the principles of integration, data quality, and optimal efficiency are the primary factors that need to be considered. Soust-Verdaguer et al. (2017) concluded in their study that the ability of BIM software to automatically quantify and model various building components and materials may condition or limit the input data.

FINDING AND DISCUSSION

In this section, the studies by Röck et al. (2018) and Mohammed et al. (2025) are systematically analyzed and evaluated in accordance with the developed framework. Data related to the studies analyzed under the main headings of Environmental Impact Categories, LCA System Boundary, BIM Principles, and LCA-BIM Integration are shown in Table 1.

Table 1. BIM-Integrated LCA Analysis of Studies

Studies	Environmental Impact Categories	LCA System Boundary	BIM Principles	LCA-BIM Integration
(Röck et al., 2018)	Embodied Carbon (GWP)	The LCA system boundary is restricted to the embedded effects of the building materials.	Parametric modeling, visual scripting, Data transfer and automation, Information integration, visualization and decision support, life cycle-oriented approach.	To automatically establish a link between the BIM model (Autodesk Revit) and the Ecoinvent LCA database (MS Excel), a custom script was developed using visual programming software (Autodesk Dynamo).
(Mohammed et al., 2025)	GWP, P, EP, ODP, POCP, ADP	Cradle-to gate (A1-A5, B, C, D LCA modules)	Parametric modeling, automatic data transfer with BIM plugins (Tally + e-tool LCD).	Integration with LCA plugins in Revit has been provided.

In their study, Röck et al. (2018) proposed an approach using BIM to employ decision-making during the early design phase, evaluating a wide variety of construction alternatives and their associated environmental impacts. They developed a conceptual BIM model to evaluate diverse material combinations for different building components and the possible contribution of these elements to the overall impact of the building design.

The BIM model provides a design-specific quantity list and properties (e.g., quantity, geometry, and area) for various building elements, while the LCA database supplies details regarding the embodied impact of the building element per area.

In this process, since the geometric objects in the BIM model were defined, the methodology was further improved by color-coding the objects in the digital building model's 3D view to provide an intuitive presentation of the relevant information. This study presents a method for identifying and visually communicating the potential for improving a building from various building types during the early design phase.

The method was tested using a case study example, demonstrating its ability to quickly identify which elements at the building scale possess the greatest potential for improvement and to determine the parameters that should be focused on during the conceptual design phase (Röck et al., 2018).

Mohammed et al. (2025) aimed to evaluate and compare the data acquired from analyses using E-tool LCD and Tally LCA plugin tools, which are used as BIM-based LCA tools. E-tool LCD and Tally use Environmental Product Declaration (EPD) databases that differ in various regions, and this can cause differences in LCA results. Another objective of the study is to identify these differences in LCA results. The analyses were performed for a steel factory building. LCA analyses were conducted for the following impact categories: Global Warming Potential (GWP), Eutrophication Potential (EP), Acidification of Soil and Water Potential (AP), Ozone Depletion Potential (ODP), Abiotic Depletion Potential (ADP), and Photochemical Ozone Creation Potential/Smog Formation (POCP). The findings showed that the use of regionally varying EPD databases significantly affected the LCA results.

The methodology proposed in the study by Röck et al. (2018) focuses on the embodied carbon values of building elements and handles the limitations of the LCA system. It should be noted that it is not possible to analyze all stages of LCA using a static database. While the study provides a valuable systematic approach, it needs further development for comprehensive and detailed BIM-LCA studies, as the authors also point out. It is particularly important to include operational energy in the scope of the study, especially for building elements such as envelope or facade systems.

In the study by Mohammed et al. (2025), LCA tools used as plugins were selected as analysis tools. The Tally and E-tool LCD plugins had several disadvantages, including limitations of the LCA framework, restricted impact categories, and data inputs for operational energy. Therefore, the system developed in this study does not require BIM integration of the LCA software for embodied loads. Selecting the most suitable software tool, considering data quality in line with environmental principles and sustainability goals, is of great importance. In light of developments in data flow between software in the context of evolving BIM LCA integration, tool selection can be evaluated for decision support systems.

CONCLUSION AND SUGGESTIONS

This study presents a framework for BIM-integrated life cycle assessments (LCA) of building elements. By defining the relationship between LCA and building elements, the importance of the fundamental integration between BIM and LCA is emphasized. The findings show that the developed framework, by integrating BIM principles with LCA, can significantly impact building element-focused decision-making processes. While software integration is important, principle-based integration and data quality should be considered the primary criteria.

Besides simplifying input processes, BIM should focus particularly on how it can contribute to optimizing outputs. Developing a physical model can provide elements that designers can manage from the early stages of the design defined in BIM modeling.

However, to provide optimal performance evaluation processes, sustainability and efficiency principles beyond software integration must be considered. Digital integration can limit the scope of the study and the findings obtained.

The literature clearly indicates that BIM-LCA research is an area that needs further development. Furthermore, Soust-Verdaguer et al. (2017) stated that the data available in BIM databases is insufficient for the development of LCA implementation.

Developing BIM-LCA integration:

- Integrating BIM as a tool in the life cycle inventory (LCI) phase for the building elements or materials quantification,
- It can be described as the automated process development that combines different software and data.

The integration of BIM and LCA approaches, whose purpose is to build sustainable and carbon-neutral environments, should be evaluated from an integrated and large-scale perspective. Studies in this area are quite limited, and BIM LCA integration is presented in the literature as an area requiring further development. In this respect, the framework presented in this study for BIM-LCA integration is pioneering for future research.

REFERENCES

Albanese, P. M., Baglivo, C., & Congedo, P. M. (2026). Integrating LCA with BIM-Based Technologies in the Building Construction Context: A Review. *Buildings*, 16(1), 168. <https://doi.org/10.3390/BUILDINGS16010168/S1>

Ciccozzi, A., Santavicca, A., de Rubeis, T., & Ambrosini, D. (2025). BIM-BEM interoperability for energy analysis: A comparative study of different strategies. *Energy Reports*, 13(16), 4705–4718. Doi: <https://doi.org/10.1016/j.egy.2025.04.027>

EN 15978, BS EN 15978:2011 – Sustainability of construction works – assessment of environmental performance of buildings – calculation method, Int. Stand. (2011).

França, W. T., Barros, M. V., Salvador, R., de Francisco, A. C., Moreira, M. T., & Piekarski, C. M. (2021). Integrating life cycle assessment and life cycle cost: a review of environmental-economic studies. *The International Journal of Life Cycle Assessment* 2021 26:2, 26(2), 244–274. <https://doi.org/10.1007/s11367-020-01857-y>

Gao, H., Koch, C., & Wu, Y. (2019). Building information modelling based building energy modelling: A review. *Applied Energy*, 238, 320–343. Doi: <https://doi.org/10.1016/j.apenergy.2019.01.032>

Lechner, N. (2015). *Heating, Cooling, Lighting: Sustainable Methods for Architects* (fourth edition). John Wiley and Sons.

Maglad, A. M., Houda, M., Alrowais, R., Khan, A. M., Jameel, M., Rehman, S. K. U., Khan, H., Javed, M. F., & Rehman, M. F. (2023). Bim-based energy analysis and optimization using insight 360 (case study). *Case Studies in Construction Materials*, 18, e01755. Doi: <https://doi.org/10.1016/j.cscm.2022.e01755>

Mohammed, A., Elmasoudi, I., & Ghannam, M. (2025). Life cycle environmental impact assessment of steel structures using building information modeling. *Innovative Infrastructure Solutions* 2024 10:1, 10(1), 36-. <https://doi.org/10.1007/S41062-024-01840-8>

Mora, T. D., Bolzonello, E., Cavalliere, C., & Peron, F. (2020). Key Parameters Featuring BIM-LCA Integration in Buildings: A Practical Review of the Current Trends. *Sustainability* 2020, Vol. 12, Page 7182, 12(17), 7182. <https://doi.org/10.3390/SU12177182>

Obrecht, T. P., Röck, M., Hoxha, E., & Passer, A. (2020). BIM and LCA Integration: A Systematic Literature Review. *Sustainability* 2020, Vol. 12, Page 5534, 12(14), 5534. <https://doi.org/10.3390/SU12145534>

Röck, M., Hollberg, A., Habert, G., & Passer, A. (2018). LCA and BIM: Visualization of environmental potentials in building construction at early design stages. *Building and Environment*, 140, 153–161. <https://doi.org/10.1016/J.BUILDENV.2018.05.006>

Soust-Verdaguer, B., Llatas, C., & García-Martínez, A. (2017). Critical review of BIM-based LCA method to buildings. *Energy and Buildings*, 136, 110–120. <https://doi.org/10.1016/J.ENBUILD.2016.12.009>

Vaz, C. F., Guilherme, L. L. de F., Maciel, A. C. F., De Araujo, A. L., Da Costa, B. B. F., & Haddad, A. N. (2024). Building Information Modeling/Building Energy Simulation Integration Based on Quantitative and Interpretative Interoperability Analysis. *Infrastructures* 2024, Vol. 9, Page 84, 9(5), 84. Doi: <https://doi.org/10.3390/infrastructures9050084>

**THE TRANSFORMATION OF INDUSTRIAL AREAS INTO CREATIVE SPACES IN
SHENZHEN AFTER THE REFORM AND OPENING-UP POLICIES: AN
EXAMINATION OF URBAN IDENTITY AND PUBLIC LIFE**

Zeynep KEREM ÖZTÜRK

Dr. Öğr. Üyesi, İstanbul Sabahattin Zaim Üniversitesi, Mühendislik Ve Doğa Bilimleri
Fakültesi, Mimarlık Bölümü, Küçükçekmece, İstanbul.

Asst. Prof. Dr., İstanbul Sabahattin Zaim University, Faculty of Engineering and Natural
Sciences, Department of Architecture, Küçükçekmece, İstanbul.

ORCID ID: 0000-0001-7691-9126

Betül KARAALIOĞLU

Yüksek Lisans Öğrencisi, İstanbul Sabahattin Zaim Üniversitesi, Lisansüstü Eğitim Enstitüsü,
Mimarlık Anabilim Dalı, Küçükçekmece, İstanbul.

Master's Student, İstanbul Sabahattin Zaim University, Graduate Education Institute,
Department of Architecture, Küçükçekmece, İstanbul.

ORCID ID: 0009-0001-7205-3000

ABSTRACT

The process of industrialization has fundamentally transformed the spatial and social structure of cities worldwide. However, for China, this process unfolded differently from the Industrial Revolution in the West, progressing through a development guided by the political regime. Therefore, Chinese cities experienced industrialization and urbanization through gradual transformation.

This study aims to define the stages of adapting former industrial areas to current needs. It specifically evaluates the impact of their transformation into creative spaces focused on culture and design on urban identity and public life. Furthermore, the rapid spatial and social transformation that occurred in Shenzhen following China's Reform and Opening-Up policies is examined as a case study in this research. The study was conducted using a literature review technique within the scope of qualitative research methodology. The transformation of Shenzhen, formerly a fishing village, first into a production-oriented industrial city, and then into an urban structure shaped by creative industries, forms the main theme of the study. This urban transformation demonstrates that, along with the change in the economic structure, the city's identity, spatial structure, and public life patterns have been significantly transformed.

In Shenzhen's urban transformation process, vacant factory areas and derelict coastal regions have been repurposed. This transformation has implications for urban identity, cultural production, and the use of public spaces. The study examines examples such as Dalang Fashion Creative Park, OCT Loft, ID Town, Pingshan Sculpture and Creativity Park, Shenzhen Bay Culture Park, and Bao'an Coastal Culture Park. Furthermore, the pre-transformation functions and post-transformation functions of these areas are identified and evaluated through the design approaches that define urban identity. In this context, the study reveals how the stages of transition from industrial production to cultural production are reflected in public life.

The transformation projects implemented in Shenzhen demonstrate a holistic approach that enhances cultural vibrancy, strengthens social interactions, and creates a new urban identity alongside economic growth. The re-establishment of the production-design relationship in Dalang Fashion Creative Park; the integration of industrial heritage with cultural functions in OCT Loft and ID Town; the creation of public meeting spaces in the Pingshan and Shenzhen Bay projects; and the construction of a new coastal identity in Bao'an Coastal Culture Park are key examples of this transformation.

Shenzhen's transformation process demonstrates that culture and design-oriented urban transformation in the post-industrial era can have powerful effects on urban identity, socio-economic structure, and public life. It can be concluded that transformations prioritizing urban design principles, featuring culture-focused public spaces and architecturally innovative buildings, are inevitably successful.

Keywords: Shenzhen, creative industries, Special Economic Zone, urban identity, public life

REFORM VE AÇILMA POLİTİKALARI SONRASINDA SHENZHEN'DE ENDÜSTRİYEL ALANLARIN YARATICI MEKANLARA DÖNÜŞÜMÜ:KİMLİK VE KAMUSAL YAŞAM ÜZERİNE BİR İNCELEME

ÖZET

Sanayileşme süreci, dünya genelinde kentlerin mekânsal ve toplumsal yapısını köklü biçimde dönüştürmüştür. Ancak Çin için bu süreç, Batı'daki Sanayi Devrimi'nden farklı olarak siyasal rejimin yönlendirdiği bir gelişim içinde ilerlemiştir. Bu nedenle Çin'deki kentler, sanayileşme ve kentleşme süreçlerini aşamalı dönüşüm ile deneyimlemişlerdir.

Bu çalışma, eski sanayi alanlarının günümüzdeki ihtiyaçlara göre yeniden uyarlama aşamalarını tanımlamayı amaçlamaktadır. Özellikle kültür ve tasarım odaklı yaratıcı mekânlara dönüştürülmesinin kentsel kimlik ve kamusal yaşam üzerindeki etkileri değerlendirilmektedir. Ayrıca araştırmada, Çin'in Reform ve Açılma politikalarının ardından Shenzhen kentinde ortaya çıkan hızlı mekânsal ve toplumsal dönüşüm, örnek olay olarak ele alınmıştır. Çalışma, nitel araştırma yöntemi kapsamında literatür taraması tekniği kullanılarak gerçekleştirilmiştir. Geçmişte bir balıkçı kasabası olan Shenzhen'in önce üretim odaklı bir sanayi kentine, ardından yaratıcı endüstrilerle şekillenen bir kentsel yapıya dönüşümü çalışmanın ana temasını oluşturmaktadır. Bu şehirdeki kentsel dönüşüm, ekonomik yapının değişimiyle birlikte, kentin kimliğini, mekânsal yapısını ve kamusal yaşam şekillerinin önemli ölçüde dönüştüğünü göstermektedir.

Shenzhen'in kentsel dönüşüm sürecinde boşalan fabrika alanları ile atıl durumdaki kıyı bölgeleri yeniden işlevlendirilmiştir. Bu dönüşümün kentsel kimlik, kültürel üretim ve kamusal mekân kullanımı üzerinde etkileri bulunmaktadır. Çalışma kapsamında Dalang Moda Kreatif Parkı, OCT Loft, ID Town, Pingshan Heykel ve Yaratıcılık Parkı, Shenzhen Körfezi Kültür Parkı ve Bao'an Sahil Kültür Parkı örnekleri incelenmiştir. Ayrıca ele alınan bölgelerin dönüşüm geçirmeden önceki eski işlevleri ve dönüşüm sonrası kazandıkları yeni işlevleri belirlenerek kent kimliğini belirleyen tasarım yaklaşımları üzerinden değerlendirilmiştir. Bu bağlamda, sanayi üretiminden kültürel üretime geçişteki evrelerin kamusal yaşamda nasıl karşılık bulduğu ortaya konulmuştur.

Shenzhen'de yürütülen dönüşüm projeleri ekonomik büyümeyle birlikte kültürel canlılığı artıran, sosyal etkileşimleri güçlendiren ve yeni bir kentsel kimlik üreten bütüncül bir yaklaşım sunduğunu göstermektedir. Dalang Moda Kreatif Parkı'nın üretim-tasarım ilişkisini yeniden kurması; OCT Loft ve ID Town'in endüstriyel mirası kültürel işlevlerle bütünleştirilmesi; Pingshan ve Shenzhen Körfezi projelerinin kamusal buluşma alanları yaratması ve Bao'an Sahil Kültür Parkı'nın yeni bir kıyı kimliği inşa etmesi bu dönüşümün temel örnekleridir.

Shenzhen'in dönüşüm süreci, sanayi sonrası dönemde kültür ve tasarım odaklı kentsel dönüşümün kentsel kimlik, sosyo-ekonomik yapı ve kamusal yaşam üzerinde güçlü etkiler yaratabildiğini göstermektedir. Kültür odaklı, kamusal alanların ve farklı yaratıcı tasarımlardan oluşan mimari binaların yer aldığı, kentsel tasarım ilkelerinin öncelikli olduğu dönüşümlerin karşılık bulmasının kaçınılmaz olduğu sonucuna varılabilmektedir.

Anahtar kelimeler: Shenzhen kenti, Yaratıcı endüstri, Özel Ekonomik Bölge, Kentsel kimlik, Kamusal yaşam,

GİRİŞ

Hızlı bir şekilde dönüşüm geçiren kentlerde, ekonomik değişiklikler, sanayisizleşme ve nüfus hareketleri, kentsel dokuyu yeniden şekillendirmektedir. Bu nedenle kentsel dönüşüm politikaları fiziksel, toplumsal ve ekonomik yapıyı birlikte ele alan bütüncül müdahaleler hâline gelmiştir. Atıl durumda kalan eski sanayi bölgeleri bir yandan mekânsal sorunlar yaratırken, öte yandan yaratıcı endüstriler, kültürel üretim ve sosyal yaşam için önemli fırsatlar sunmaktadır. Bu bağlamda sanayi sonrası kentsel dönüşüm uygulamaları, günümüzde kent kimliğinin değişmesinde ve kamusal yaşamın canlandırılmasında önemli bir rol üstlenmektedir.

1978 yılında Çin’de yürürlüğe giren Reform ve Açılma politikaları, ülkenin ekonomik yapısını köklü biçimde dönüştürmüştür (Naughton, 2007). Hızlı kentleşme, artan sanayi üretimi ve piyasa odaklı planlama yaklaşımları, kentlerin mekânsal yapısını önemli ölçüde değiştirmiştir (Friedmann, 2005; Zacharias & Tang, 2010). Bu dönüşümün en erken ve en dikkat çekici örneği Shenzhen’dir. Shenzhen 1980’de Özel Ekonomik Bölge ilan edilmesinin ardından balıkçı kasabasından üretim odaklı bir sanayi kentine, oradan da yaratıcı endüstrilerle güçlenen bir metropole evrilmiştir. Kentin bu hızlı dönüşümü, ekonomik büyüme ile birlikte mekânsal ve toplumsal yeniden yapılanmanın birlikte ilerlediğini göstermektedir (World Bank, 2009).

Shenzhen’in sanayileşme süreci, 2000’li yıllardan itibaren merkezde geniş ölçekli kullanılmayan fabrika alanlarının oluşmasına yol açmıştır. Kentteki üretim faaliyetlerinin kent dışındaki yeni sanayi bölgelerine taşınmasıyla birlikte birçok endüstriyel yapı işlevsiz kalmıştır (Zacharias & Tang, 2010; Rexila, 2020). Yerel yönetim, bu alanları yıkıp yeniden değerlendirmek yerine, kenti kültür, sanat ve tasarım alanlarında yeniden konumlandırmayı amaçlayan bütüncül bir dönüşüm planı benimsemiştir. Bu doğrultuda Yerel yönetim Dalang Moda Kreatif Parkı, OCT Loft, ID Town, Pingshan Heykel ve Yaratıcılık Parkı, Shenzhen Körfezi Kültür Parkı ve Bao’an Sahil Kültür Parkı gibi projelerle, endüstriyel mirası yeni mekânsal odaklar olarak şekillendirmiştir. Bu alanlarda üretimden kültürel üretime geçişi mümkün kılan tasarım planları, mekânsal süreklilik ve kamusal yaşam açısından yeni deneyim biçimleri üretmiştir (UN-Habitat, 2019).

Mevcut literatür, Shenzhen’in ekonomik reformlarını, planlama politikalarını ve teknolojik gelişimini detaylı biçimde ele almaktadır. Ancak eski sanayi alanlarının kültür ve tasarım odaklı yaratıcı mekânlara dönüşümünün kentsel kimlik, kent belleği ve kamusal yaşam üzerindeki etkilerini ayrıntılı inceleyen çalışmaların sınırlı olduğu görülmüştür. Özellikle Yaratıcı endüstri temelli mekânsal dönüşümlerin sosyal etkileşimi, kültürel üretimi ve kamusal alan kullanımını nasıl değiştirdiğini inceleyen somut ve karşılaştırmalı araştırmaların eksikliği dikkat çekmektedir.

YÖNTEM VE KAPSAM

Bu çalışmanın kapsamında, literatür taramalarıyla öncelikle Shenzhen’in Reform ve Açılma dönemi sonrasında geçirdiği ekonomik ve mekânsal dönüşüm süreci ve kentin sanayi temelli üretim modelinden kültür ve tasarım odaklı endüstrilere yönelişinin tarihsel süreci incelenmiştir. Bu doğrultuda Shenzhen’in farklı dönemlerde hazırlanan kentsel planları, resmi belgeleri ve mekânsal gelişim raporları değerlendirilmiştir. Kentte sanayi alanlarının boşalmasına yol açan nedenler tarihsel-analitik bir yaklaşımla ele alınmıştır. Çalışmanın sonraki aşamasında, Shenzhen’de sanayi sonrası dönemde yaratıcı endüstrilere dönüşen örnek projelerin (OCT Loft, Dalang Moda Kreatif Parkı, ID Kasabası, Pingshan Heykel ve Yaratıcılık Parkı, Bao’an Sahil Kültür Parkı) eski işlevi, dönüşüm süreci, mekânsal organizasyonu, kullanım biçimleri değerlendirilmiştir. Analiz sürecinde özellikle dönüşüm projelerinin Shenzhen’in kentsel kimliği, sosyal etkileşim yapıları ve kamusal alan kullanımı üzerindeki etkileri araştırılmıştır. Bu bulgular Shenzhen’in kültürel dönüşümünü oluşturan mekânsal yaklaşımların değerlendirilmesinde kullanılmıştır.

Çalışmada nitel araştırma yöntemi kullanılmıştır. Birçok tez ve makale ve yazılı literatürden yararlanılmıştır. Shenzhen'in ekonomik reformlar sonrası hızlı dönüşümünü açıklayan çok sayıda çalışma bulunduğu görülmektedir. Ancak eski sanayi alanlarının kültür ve tasarım odaklı yaratıcı mekânlara dönüştürülmesinin kentsel kimlik, kültürel üretim ve kamusal yaşam üzerindeki etkilerini bütüncül biçimde ele alan araştırmaların sınırlı olduğu dikkat çekmektedir. Bu eksiklik, özellikle yaratıcı endüstrilerin sosyal etkileşim ve kent belleği üzerindeki etkilerini inceleyen karşılaştırmalı çalışmalarda daha belirgindir. Bu çalışma, söz konusu boşluğu doldurarak Shenzhen'in sanayi sonrası dönüşümünün mekânsal, kültürel ve toplumsal boyutlarıyla analizinden bir sonuç çıkarmayı ve farklı dönüşüm çalışmalarına model oluşmasında yardımcı olmayı amaçlamaktadır.

REFORM VE AÇILMA SÜRECİ BAĞLAMINDA ÇİN'DE KENTSEL DÖNÜŞÜMÜN ARKA PLANI

Çin'de Planlı Ekonomi Döneminde Kentsel ve Mekânsal Yapının Oluşumu (1949–1980)

Çin, Doğu Asya'da 1,4 milyarı aşan nüfusu ve 9,6 milyon km²'lik yüzölçümüyle dünyanın en geniş ve en kalabalık ülkelerinden biridir. Tarih boyunca çeşitli hanedanlıklarla yönetilmiştir. Ayrıca Çin kültürel birikimi, coğrafi çeşitliliği ve stratejik konumu nedeniyle bölgesel gelişmeleri doğrudan etkilemiştir (Fairbank & Goldman, 2006). Günümüzde Pekin yönetim, Şanghai finans, Guangzhou sanayi ve ticaret, Chongqing ağır sanayi, Xi'an ise kültürel-turistik merkez olarak öne çıkmaktadır. Bu çok merkezli ekonomik yapı, Çin'in modernleşme sürecinin şehirlere göre farklı ölçeklerde ve çeşitlenerek ilerlediğini göstermektedir (Şekil 1)(Naughton,2007)



Şekil 1. Çin'in dünya ölçeğindeki konumu, Shenzhen'in Guangdong bölgesindeki yeri
Kaynak:Manaz, Çin Siyasi Haritası

1949 yılında Çin Halk Cumhuriyeti'nin kurulmasıyla birlikte ülke, Mao Zedong liderliğinde sosyalist planlı ekonomi modeline geçmiştir. Bu dönemde özel mülkiyet kaldırılmış, tarım kolektifleştirilmiş ve sanayi üretimi devlet kontrolüne alınmıştır. 1953 yılında uygulamaya konulan Birinci Beş Yıllık Plan ile Sovyet modeli benimsenmiş olup, ağır sanayi öncelikli bir kalkınma yaklaşımı izlenmiştir. Ancak bu süreç, kırsal kesimin ihmal edilmesine ve bölgesel eşitsizliklerin artmasına neden olmuştur (Shirk, 1993). 1950'li ve 1960'lı yıllarda uygulanan hızlı sanayileşme politikaları ve ideolojik dönüşüm süreçleri, ekonomik ve toplumsal yapıyı önemli ölçüde etkilemiştir. "Büyük İleri Atılım" ve ardından gelen Kültürel Devrim, üretim sisteminde aksamalara, kurumsal yapının zayıflamasına ve toplumsal yaşamda sorunlara yol açmıştır (Dikötter, 2010; Fairbank & Goldman, 2006; MacFarquhar & Schoenhals, 2006). 1978 yılında Deng Xiaoping liderliğinde başlatılan Reform ve Açılma politikaları, Çin'in planlı ekonomiden piyasa temelli sosyalist modele geçişinin başlangıcını oluşturmuştur.

Bu süreçte tarımda hane halkı sorumluluk sistemi uygulanmış, özel girişimcilik teşvik edilmiş ve dışa açılma politikaları benimsenmiştir (Naughton, 2007; Vogel, 2011). Bu doğrultuda Shenzhen'in Özel Ekonomik Bölge olarak seçilmesi, Çin'in yeni ekonomik modelini mekânsal ölçekte uygulamaya yönelik stratejik bir adım olarak değerlendirilebilir.

Balıkçı Kasabası Shenzhen'in Özel Ekonomik Bölge Olarak Kurgulanması

Shenzhen, Guangdong Eyaleti'nin güneyinde, Hong Kong'un bitişiğinde, İnci Nehri Deltası üzerinde yer alan stratejik bir liman kentidir(Şekil 2). Yaklaşık 2.050 km² yüzölçümüne ve 17,99 milyon nüfusa sahiptir. Şehir, Çin'in en kalabalık üçüncü kenti Guangzhou'nun yaklaşık 100 kilometre güneyinde bulunmaktadır (Shenzhen Municipal People's Government, 2023). Shenzhen, Hong Kong ile Çin'in iç bölgeleri arasında bir geçit işlevi gördüğünden hem bölgesel ulaşım hem de uluslararası ticaret açısından önemli bir konuma sahiptir. Hong Kong üzerinden küresel pazarlara açılan bir kapı niteliği taşımaktadır (Baik, 2020).



Şekil 2. Shenzhen'in bölgesel konumu ve idari bölgeleri Kaynak:Manaz, Çin Siyasi Haritası

1980 yılına kadar Shenzhen, tarım ve balıkçılık yapılan ve köylerden oluşan kırsal bir yerleşim alanı olarak, Hong Kong ve Guangzhou gibi iki büyük kentin arasında yer almasına rağmen uzun yıllar düşük nüfuslu, ekonomisi sınırlı ve bölgesel ölçekte geri planda kalan bir yerleşim olarak varlığını sürdürmüştür. Bu tarihsel ve mekânsal özellikler, Shenzhen'in Reform ve Açılma sürecinde Özel Ekonomik Bölge (SEZ) olarak seçilmesinin temel nedenlerini oluşturmaktadır(Xu, 2013). Bölgenin düşük nüfus yoğunluğu, geniş ve yeniden planlanabilir arazi kapasitesi, merkezi hükümetten uzak olması ve özellikle Hong Kong'a komşu bir konumda olması, yeni ekonomik politikaların kontrollü biçimde uygulanabileceği ideal bir deney alanı yaratmıştır (Zacharias & Tang, 2010).

Bölgenin başlangıçtaki yoğunluğunun düşük olması planlamada esneklik ve hızlı dönüşümüne olanak tanımıştır(Xu, 2013). Bu nedenle Shenzhen'in SEZ olarak seçilmesinin ekonomik bir tercih olmakla birlikte Çin'in yeni kalkınma modelini denemek üzere bilinçli olarak oluşturulmuş mekânsal strateji olduğu görülmektedir. Hong Kong'a komşu olması, başlangıçtaki düşük yoğunluklu yapısı ve yeniden planlamaya uygun geniş arazileri, Shenzhen'i deneysel politikaların uygulanabileceği en esnek bölge hâline getirmiştir. Bu durum, kentin sonraki yıllarda gösterdiği olağanüstü büyümeyi açıklayan en temel etkenlerden biridir. Böylece Shenzhen'in dönüşümü, ülke ekonomik hedefleri ile kentin koşulların birleşmesiyle oluşmuştur. Bu da bölgeyi Çin'in modernleşme politikasının hem sembolü hem de deney alanı hâline getirmiştir.

SHENZHEN'İN SANAYİ KENTİNDEN METROPOLE DÖNÜŞÜM SÜRECİ

1980 'lerden itibaren Shenzhen, birçok ilke imza atmıştır. 1982'de ülkenin ilk yurtdışı bankası Shenzhen'de açılmıştır. 1987'de ise Çin'de mülk mülkiyetine izin veren ilk şehir olmuştur. Bu dönemde şehirde ilk arazi ihale sistemi başlamıştır.(Frongillo, 2017) Bu sayede şehir büyük altyapı projelerini finanse edebileceği bir sermaye elde etmiştir(Zacharias & Tang, 2010; Xu, 2013).



Kentin hızlı genişlemesinde, bölgedeki hızlı sanayileşme ve ekonomik büyüme etkili olmuştur (Şekil 3). Bu bağlamda 1993 yılında Bao'an ve Longgang ilçeleri Shenzhen Belediyesi'ne dahil edilmiştir. Bu dönemde kentin gelirinin büyük kısmı düşük işgücüne dayalı sanayi üretiminden gelmektedir. Bu durumun sebebi kente, kırsal bölgelerinden gelen büyük işgücü göçüdür (Frongillo, 2017; World Bank, 2009). Öte yandan, kentin ekonomisi hâlen merkezi hükümet bağlı olduğu için yerel yönetimin kentin kaynak ve varlıklarını tamamen kontrol etmesi sınırlı kalmıştır. 2000'li yılların başında, Shenzhen'in ekonomik gelişim olarak bir adım ileriye geçmeye hazır olduğu görülmüştür ve yüksek teknoloji, endüstrisi şehrinin temel sektörü hâline gelmeye başlamıştır. Bu dönemde şehir, Çin'in önde gelen teknoloji şirketlerine ev sahipliği yapmaktadır ancak ekonomisi hâlen kitlesel üretim ve imalata dayanmaktadır. Şehirde sürekli değişen koşullar nedeniyle birçok şirket fabrikalarını şehir dışındaki yeni alanlara taşımış ve büyük sanayi alanları boş kalmıştır (Zacharias & Tang, 2010; World Bank, 2009).

Bu değişimler, Shenzhen'in kendini yeniden konumlandırarak varlıklarını yeni biçimlerde değerlendirmesi ve inovasyon ile yaratıcı sektörlerle odaklanmasının zorunlu hâle geldiğini göstermektedir (UN-Habitat, 2019).

Bu dönemin en dikkat çekici yanı, Shenzhen kentinin kendi geleceğini yeniden tasarlamak için stratejik bir karar verme aşamasına gelmiş olmasıdır. Özellikle fabrikaların şehir dışına taşınmasıyla boşalan geniş sanayi alanları, Shenzhen için bir sorun gibi görünse de aslında yeni bir dönüşüm fırsatı yaratmıştır. Bu alanların nasıl değerlendirileceği, kentin kimliğini şekillendiren belirleyici soruya dönüşmüştür. Dolayısıyla Shenzhen'in 2000'lerden itibaren izlediği dönüşümün yalnızca ekonomik baskılarla açıklanamayacağı söylenebilir. Ayrıca, kentin geleceğine yönelik yeni bir vizyon geliştirme çabası bu sürecin yönlenmesinde etkili olmuştur. Yaratıcı endüstrilere yönelme kararının arkasında da tam olarak bu vizyonun bulunduğu söylenebilir.

Ekonomik Dönüşümün Mekânsal Gelişime Etkisi

Çin'deki kentleşme örneklerinden biri olan Shenzhen gelişimini benzeri olmayan bir hızla gerçekleştirmiştir. Shenzhen kırsal bir yerleşimden kısa sürede güçlü bir ekonomik merkez hâline gelmiştir ve bu durum onu ülkedeki ilk örnek konumuna getirmiştir. 1980–2001 yılları arasında şehir nüfusu 23 kat, ekonomik üretim 724 kat ve dış ticaret hacmi 3918 kat artmıştır (Guangdong Statistical Bureau, 2002). Shenzhen'in Özel Ekonomik Bölge (SEZ) statüsü kazanması ile birlikte şehirde ekonomik ve politik anlamda büyük bir dönüşüm yaşanmıştır.

Şehir bu dönemde, hızla büyüyen sanayi ve ticaret faaliyetlerini destekleyebilmek için yeni alanlara ve altyapılara ihtiyaç duyulmuştur(WorldBank,2009). Dönemin ekonomik koşullarında şehir planlaması ile ekonomik planlama süreçleri birbirini tamamlayan yapılar hâline gelmiştir, bu bağlamda sosyo-ekonomik ve mekânsal planlama büyümenin temel araçlarından biri haline gelmiştir (Xu, 2008). Bu iki planlama anlayışının birlikte yürütülmesi, Shenzhen'in gelişiminde etkili bir rol oynamıştır ve bu bağlamda planlar şehirde inovatif ve kreatif ekonomi anlayışının temellerinin atılmasına katkı sağlamıştır(UN-Habitat, 2019). Bu durum, Shenzhen'in gelişimi ekonomik kararlara birlikte mekânsal planlamanın da uyumlu bir şekilde ilerlemesi sayesinde mümkün olduğunu göstermektedir. Ekonomik büyüme hedefleri ile kentin yeniden kurgulanması arasındaki uyum, Shenzhen'in ilerleyen dönemlerde yaratıcı endüstrilere dönüşmesini mümkün kılan temel zemini hazırlamıştır.

Kentsel Ana Planlar Üzerinden Shenzhen'in Mekânsal Dönüşümü:1986-2000

1980'li yıllarda hızla gelişmeye başlayan Shenzhen'in büyüme süreci, 1986 yılında hazırlanan Özel Ekonomik Bölge (ÖEB) Ana Planı ile gerçekleşmiştir. Planın amacı, kentin Hong Kong ile ilişkilerini güçlendirmek, yeni piyasa ekonomisi sistemine uyum sağlamak ve komünist sistemi esneterek Çin'in dış dünyaya açılmasını sağlamaktır. Bu doğrultuda "hafif, küçük ölçekli ve yüksek teknolojiye dayalı sanayi modeli" önerilmiştir, Bu öneride doğu-batı yönünde gelişen doğrusal bir kent formu tasarlanmıştır(Shenzhen Municipal People's Government, 2008)(Jiang, 2018). Ayrıca plan, altı işlevsel grup ve bunları birbirinden ayıran yeşil kuşaklar aracılığıyla mekânsal organizasyonu sağlamıştır, "üç yatay ve on iki dikey" yol sistemiyle ulaşımın düzenlenmesini hedeflemiştir(Rexila, 2020).Bu plan, Shenzhen'in fiziksel gelişimi ile birlikte aynı zamanda sosyal ve ekonomik yapısının dönüşümünü de yönlendirmiştir. Ancak uygulama sürecinde, hızlı nüfus artışı ve sanayi yoğunluğu gibi durumlar planın öngördüğü dengeleri zorlaştırmıştır. Özellikle hızlı gelişen şehirleşme sebebiyle ikamet-istihdam dengesindeki bozulma görülmüştür. Ayrıca kentleşme oranının artması şehirdeki yaşam alanlarının ve sanayi bölgelerine kaymasına neden olmuştur. Sanayi bölgelerinin SEZ dışına taşınması ve altyapı yetersizlikleri, Shenzhen'in sonraki dönem planlamalarında yeni yaklaşımların geliştirilmesine neden olmuştur (Shenzhen Municipal People's Government, 2008).

1986 Ana Planı'na bakıldığında, planın yalnızca kentsel düzenlemeleri belirlemediği, Planın aynı zamanda ekonomik dönüşümün şehirde nasıl şekilleneceğini de tanımladığı görülmektedir. Hızlı nüfus artışı, sanayi yoğunluğu ve altyapı baskısı planın öngördüğü dengeleri zorlamıştır, fakat bu dönemde alınan ilk mekânsal düzenleme kararları kentin ilerleyen aşamalarda teknoloji ve yenilik odaklı bir yapıya dönüşmesine zemin hazırlamıştır.. Özellikle işlevsel gruplara dayalı kentsel model ile ulaşım ağının sistematik olarak tanımlanması, Shenzhen'in ilerleyen dönemde kültürel ve yaratıcı sektörlerle yönelimini destekleyen bir mekânsal zemin oluşturmuştur.

Kentsel Ana Planlar Üzerinden Shenzhen'in Mekânsal Dönüşümü:1996-2010

Haziran 1993'te başlatılan ve 1996'da tamamlanan Shenzhen Ana Planı (Shenzhen Municipal Planning and Natural Resources Bureau, 1996), kentin özel ekonomik bölgeden bütüncül bir şehir yapısına geçişi için hazırlanmıştır. Bu dönemde Shenzhen, hızla büyüyen sanayi üretimi, nüfus artışı ve Hong Kong ile yakın ekonomik ilişkileri nedeniyle mekânsal ve işlevsel yeniden yapılanmaya yönelmiştir. Planın temel amacı, modern ve uluslararası bir kent kimliği oluşturmaktır aynı zamanda kentsel işlevleri yeniden tanımlamak ve sürdürülebilir kalkınma ilkelerini planlama sürecine dahil etmektir. Ana plan, şehir ölçeğini ve mekânsal örgütlenmesini belirlemiştir. Ayrıca yeni endüstriyel gelişim bölgelerini tanımlayarak uzun vadeli kentsel gelişim için bir çerçeve oluşturmuştur. (Shenzhen Municipal Planning and Natural Resources Bureau, 1996).

Aynı zamanda plan Shenzhen ile Hong Kong arasındaki ekonomik iş birliğini güçlendirmeyi ve İnci Nehir Delta bölgesiyle uyumlu bir kalkınma modeli kurmayı hedeflemiştir. 1997’de Hong Kong’un Çin’e devredilmesiyle beraber kentin ticaret kapasitesi artmıştır. Bu sayede Shenzhen de sanayi ile birlikte kültürel gelişmeler de hızlanmıştır.

Şehir planının mekânsal kurgusu, “üç eksen, dokuz işlevsel grup, altı bağımsız kasaba ve üç merkezli dairesel yapı” ilkesi üzerine kurulmuştur(Rexila,2020). Bu model, kentin belirli bir eksen boyunca planlı biçimde büyümesini sağlayarak ,farklı işlevlerin dengeli bir şekilde kente dağıtılmasını hedeflemektedir. Bunun yanında, “yaşanabilir şehir” anlayışı çerçevesinde insan merkezli, ekolojik ve sürdürülebilir bir yaşam ortamı oluşturmak planın öncelikli hedeflerden biri olmuştur. Arazi kullanımı açısından plan, kenti sekiz farklı kategoriye ayırarak (tarımsal koruma alanı, su kaynakları, yeşil kuşak, turizm alanı, kırsal bölge, ekolojik alan, uzun vadeli gelişim bölgesi ve kentsel yerleşim alanı) her biri için özel koruma ve kullanım politikaları geliştirmiştir (Shenzhen Municipal People’s Government, 2008).

1996 Ana Planı’nın uygulanmasıyla birlikte Shenzhen, ekonomik ve mekânsal açıdan önemli sonuçlar elde etmiştir. Bu plan sayesinde altyapı yatırımlarının artmasıyla şehir daha işlevsel hale gelmiştir. Liman, havaalanı ve toplu taşıma ağları modernleşmiştir. Shenzhen Limanı dünyanın en büyük konteyner limanlarından biri haline gelmiştir. Ve havalimanı bölgesel bir ulaşım merkezi konumuna yükselmiştir. Ancak, planın uygulama sürecinde çeşitli sorunlar da ortaya çıkmıştır. İlçe düzeyindeki kamu hizmetleri yetersiz kalmıştır. Özel ekonomik bölge dışındaki altyapı projeleri istenilen hızda ilerleyememiştir. Ayrıca ekolojik yapının bozulması, nehir suyu kalitesinin düşmesine neden olmuştur. Ve motorlu taşıtlardan kaynaklanan hava kirliliği gibi çevresel sorunlar da bu dönemde dikkat çeken sorunlardandır(Rexila,2020). Tüm eksikliklerine rağmen 1996 Ana Planı, Shenzhen’in mekânsal gelişimi açısından dört temel rol oynamıştır; Kentin yapısal çerçevesini oluşturmuş, Altyapı ve kamu tesisleri inşaatını yönlendirmiş, Arazi kullanımını rasyonelleştirmiş, Bir sonraki planlama süreci için sağlam bir temel oluşturmuştur (Shenzhen Municipal People’s Government, 2008; Shenzhen Municipal Planning and Natural Resources Bureau, 1996).

Bu planlama süreci incelendiğinde, 1996 Ana Planı’nın sadece Shenzhen’in gelişiminde yeni bir mekânsal düzen oluşturmayı amaçlamadığı aynı zamanda kentin ilerleyen yıllarda teknoloji, kültür ve yaratıcı sektörlerle yönelmesini destekleyen daha esnek bir kentsel çerçeve oluşturmayı amaçladığı görülmektedir. Planın ulaşımdan çevre politikalarına kadar geniş bir alanı düzenlemesi, kentin hızlı büyüme baskısına karşı daha kontrollü bir gelişme sağlamıştır. Ancak ekolojik sorunlar ve nüfus artışı gibi konular planın bazı hedeflerinin sınırlı ölçüde gerçekleşmesine neden olmuştur. Bu durum, Shenzhen’de planlamanın tek seferlik bir müdahale olmadığını yeni ihtiyaçlara göre sürekli güncellenen bir süreç olarak ele alındığını göstermektedir. Ayrıca bu dönemde planlama kararları ekonomik yatırımlarla birlikte yürütülmüştür ve bu sayede şehirde kültürel ve mekânsal dönüşümü hızlandırmıştır. Bu açıdan bakıldığında, 1996 planı eksiklerine rağmen Shenzhen’in gelecekteki çok merkezli, yaratıcı ve yenilikçi kent modeline geçişinde temel bir aşama niteliği taşımaktadır.

Kentsel Ana Planlar Üzerinden Shenzhen’in Mekânsal Dönüşümü: 2010 Ve Sonrası

Shenzhen’in 2010–2020 dönemini kapsayan Ana Planı, Ekim 2006 – Ocak 2008 tarihleri arasında hazırlanmıştır. Plan kenti ekonomik bir merkez haline getirip, uluslararası bir şehir olarak gelişimini yönlendirmeyi amaçlamıştır(Shenzhen Municipal People’s Government, 2008)(Web20,2010). Planın bir diğer amacı ise, Shenzhen-Hong Kong işbirliğini güçlendirerek, bölgesel bağlantıları arttırmayı ve kentin mekânsal yapısını “üç eksenli, iki kayışlı, çok merkezli” bir düzene kavuşturmayı hedeflemiştir. Bu bağlamda kentte dört ilçe ve beş hatta kontrol uygulanmıştır. Sanayi, konut, kamu hizmetleri ve yeşil alanlar için entegre bir destek sistemi geliştirilmiştir (Shenzhen Municipal People’s Government, 2008;Rexila,2020).

Planın temel hedefleri, ekonomik, sosyal ve çevresel kalkınma ile uyumlu bir toplum yaratmak ve sosyalist model şehir vizyonunu gerçekleştirmek olarak belirlenmiştir. Bu doğrultuda alt hedefler arasında bölgesel işbirliği, ekonomik dönüşüm, sosyal uyum ve ekolojik koruma öncelikli olarak yer almıştır (Shenzhen Municipal People's Government, 2008). Mekânsal organizasyon açısından şehirde, coğrafi ve ekolojik faktörler ile reform ihtiyaçları dikkate alınarak beş alt bölgeye ayrılmıştır. Her bir bölgeye farklı gelişim stratejileri uygulanmıştır (Shenzhen Municipal People's Government, 2009).

Bu plan, kentin fiziksel gelişimini ile birlikte dijital dönüşümü de yönlendiren bir çerçeve işlevi görmüştür. 2010 sonrasında Shenzhen Çin'in akıllı şehir politikasının uygulandığı öncü kentlerden biri olmuştur. Çin hükümetinin 2010'lu yıllarda geliştirdiği Yeni Tip Kentleşme stratejisi kapsamında Smart City politikası hazırlamıştır. Bu politika Shenzhen'in ekonomik dönüşüm modelinde karşılık bulmuştur. Kent artık sanayi ve üretim merkezinin ilerisine geçerek, dijital altyapı, yeşil teknoloji sistemleri ile inovasyon laboratuvarına dönmüştür. Bu sebeple Shenzhen'in 2010-2020 Ana Planı sayesinde kentin hızlı büyüyen bir üretim kenti olmakla birlikte aynı zamanda bilinçli biçimde geleceğin yaşam modeli olarak kurgulanan bir şehir hâline geldiği görülmektedir. Akıllı şehir stratejilerinin ulaşım, altyapı, çevre ve kamu hizmetleriyle birlikte ele alınması sayesinde Shenzhen'in dijitalleşme ve inovasyon süreçlerini planlı bir şekilde yönlendirmesine imkân tanımıştır. Bu durum, kentin dönüşümünün, ekonomi ile birlikte aynı zamanda toplumsal yaşam kalitesini yükseltme hedefiyle tasarlandığını düşündürmektedir. Bu açıdan 2010–2020 Ana Planı, Shenzhen'in hem mekânsal hem de kültürel gelişimini sürdürülebilirlik ilkeleriyle uyumlu biçimde yeniden tanımlayan kritik bir aşama olarak değerlendirilebilir.

Tablo 1. Farklı Dönemlerdeki Kentsel Ana Planların Karşılaştırması

DÖNEM	PLANIN TASARIM AMACI	PLANLAMA MODELİ	UYGULAMA SONRASI BÖLGEDE KARŞILAŞILAN SORUNLAR
1986 ANA PLANI	Shenzhen'i uluslararası nitelikli bir üretim merkezi haline getirmekti. Hong Kong ile ilişkilerini güçlendirmek ve Çin'in dış dünyaya açılmasını sağlamaktır.	Plan kapsamında Shenzhen için doğu-batı doğrultusunda gelişen lineer bir kent modeli önerilmiştir. Kent altı farklı işlevsel bölgeye ayrılmış ve bu bölgeler yeşil kuşaklarla birbirinden ayrılmıştır	Hızlı gelişen şehirleşme sebebiyle ikamet-istihdam dengesindeki bozulma görülmüştür. Şehirdeki yaşam alanlarının ve sanayi bölgelerine kaymasına neden olmuştur. Sanayi bölgelerinin SEZ dışına taşınması ve altyapı yetersizlikleri oluşmuştur.
1996 ANA PLANI	Shenzhen'i modern ve uluslararası bir kent haline getirmektedir. Kentsel işlevlerin yeniden tanımlanmasını sağlamak. Sürdürülebilir kalkınma ilkelerinin planlama sürecine dahil edilmesini hedeflemiştir.	Şehir planının mekânsal kurgusu, "üç eksen, dokuz işlevsel grup, altı bağımsız kasaba ve üç merkezli dairesel yapı" ilkesi üzerine kurulmuştur. Bu model, şehrin planlı biçimde büyümesini ve farklı işlevlerin dengeli şekilde dağıtılmasını amaçlamaktadır.	1996 Ana Planı'nın uygulanmasıyla birlikte Shenzhen'de altyapı yatırımları hız kazanmıştır. Liman ve havaalanı gibi ulaşım altyapıları modernleşmiştir. Şehir bölgesel bir ticaret merkezi haline gelmiştir. Ancak hızlı kentleşme süreci bazı çevresel sorunların oluşmasına neden olmuştur.
2010 ANA PLANI	Ekonomik, sosyal ve çevresel kalkınma ile uyumlu bir toplum yaratmak ve sosyalist model şehir vizyonunu gerçekleştirmek.	Shenzhen için üç eksenli, iki kayışlı ve çok merkezli bir mekânsal gelişim modeli ilkesi üzerine kurulmuştur. Alt hedefler arasında bölgesel işbirliği, ekonomik dönüşüm, sosyal uyum ve ekolojik koruma öncelikli olarak yer almıştır.	Aşırı hızlı dönüşümün yönetim zorluklarına neden olmuştur.

Tablo 2. Shenzhen'in Farklı Dönemlerdeki Dönüşüm Dinamikleri

SHENZHEN'İN FARKLI DÖNEMLERDEKİ DÖNÜŞÜM DİNAMİKLERİ			
DÖNEM	KENTSEL-EKONOMİK YAPI	DÖNÜŞÜM STRATEJİLERİ	ORTAYA ÇIKAN MEKANSAL VE TOPLUMSAL ETKİLER
1980 Öncesi (Mao dönemi)	Tarım ve düşük ölçekli üretim, merkezi planlama, düşük kentleşme	Bölgesel planlamanın temelleri atıldı	Özel mülkiyet yoktu - Ekonomik çeşitlilik yoktu Kentleşme kapasitesi çok sınırlıydı
1980–1996 (SEZ'nin kuruluşu ve hızlı sanayileşme)	Shenzhen Özel Ekonomik Bölge ilan edildi; ucuz işgücü, ihracata dayalı sanayi	İlk arazi ihale sistemi Yabancı yatırım girişinde büyük artış Altyapı yatırımlarının hızlanması	Aşırı hızlı nüfus artışı Sanayi kirliliği ve çevresel baskı
1996–2006 (Metropolleşme ve entegrasyon dönemi)	Bölgesel ölçekli planlama, toplu taşıma yatırımları	Liman ve havaalanı gelişimi Kent merkezlerinin çok odaklı hâle gelmesi	Ekolojik alan baskısı İlçelerde altyapı eşitsizliği Hızlı yapılaşmanın sosyal uyum sorunları
2006–2016 (Teknoloji ve yaratıcı ekonomi dönemi)	Üretimden inovasyona geçiş, kültür politika odaklı mekânsal dönüşüm	Endüstri mirasının kültür merkezlerine dönüşmesi (OCT Loft, Dalang) Akıllı şehir altyapısının kurulması Kültürel ve yaratıcı sektörlerin gelişmesi	Gelir eşitsizlikleri Konut fiyatlarının keskin biçimde artması Kültürel alanların ticarileşme riski

ENDÜSTRİYEL MİRASIN MEKANLARA DÖNÜŞÜMÜ

Shenzhen'in dönüşümü sadece mekânsal ve ekonomik planlarla kalmamıştır aynı zamanda sosyal ve kültürel faktörlerden de etkilenerek şekillenmiştir. Kentte artan turist sayısı, değişen demografik yapı ve kültürel altyapının gelişimi sayesinde mimari anlayışta yenilikçi yaklaşımların benimsenmesine sebep olmuştur. Bu nedenle kamusal alanların işlevselleştirilmesi şehirdeki insanların refah seviyesindeki artışla paralel olarak çeşitlenmiştir. Parklar, meydanlar gibi sosyalleşme alanları, estetik, toplumsal ve ekonomik olarak da ön plana çıkmıştır. Bu sosyal ve kültürel dönüşüm, mekânlara da yansımıştır. Kentin eski fabrika, depo ve sanayi binaları gibi kullanılmayan mekânları, kültürel sektörlerin ihtiyacına uygun şekilde yeniden işlevselleştirilmiştir. Böylece Shenzhen, ekonomi ile birlikte kültürel üretim ve sosyal etkileşim bakımından da yeni bir kentsel kimlik geliştirmiştir. Bölgedeki eski sanayi alanları, kentteki değişen yaşam tarzlarına uyum sağlayan esnek ve çok işlevli mekânlara dönüşmüştür.

Shenzhen Deniz Dünyası: Kıyı Endüstri Alanından Kültürel Odak Noktasına Dönüşüm

Eskiden liman ve ticaret bölgesi olarak kullanılan bu alan, zamanla işlevini yitirmesi ve eski yoğunluğunu kaybetmesi nedeniyle bölgede yeniden değerlendirilmesi gereken bir alan hâline gelmiştir. Bu doğrultuda bölgeyi kültürel bir merkez olarak yeniden canlandırmak amacıyla dönüşüm kararı alınmıştır. Shenzhen Deniz Dünyası Kültür ve Sanat Merkezi, 2014 yılında China Merchants Group tarafından planlanmıştır (Şekil 4). Proje, Deniz Dünyası bölgesindeki ticari ve konut alanlarını kültürel bir odak noktasına dönüştürmeyi hedeflemiştir. Böylece bölgeye hem yeni bir kimlik hem de güçlü bir kamusal çekim alanı kazandırmayı amaçlamışlardır. (China Merchants Group, 2017).

Tablo 3. İncelenen Yapıların Shenzhen Haritası Üzerindeki Konumu



Proje Shekou Yarımadası'nın güneydoğu kesiminde, okyanus ve Hong Kong manzarasına hâkim bir noktada konumlanmıştır ve 70.000 metrekarelik bir alanı kapsamaktadır (Design Society, 2017). Yapıda Japon mimar Fumihiko Maki'nin tasarımıyla üç ana etkinlik alanı oluşturulmuştur, çatıda yer alan üç bölüm, deniz, dağlar ve kenti simgeleyerek yerel coğrafyayı yansıtmaktadır(Şekil5) (Maki and Associates, 2017).

Kompleks, galeriler, müzeler, mağazalar ve etkinlik alanlarını bir araya getirerek çok işlevli bir yapı olarak tasarlanmıştır. Aralık 2017'de halka açılan merkez, Tasarım Topluluğu adıyla faaliyet göstermektedir. Ayrıca tasarım sergileri, tiyatro ile çok amaçlı alanlar aracılığıyla topluluk etkinliklerine ev sahipliği yapmaktadır. Bu proje, Shenzhen'in yaratıcı endüstrisini desteklemeyi ve Çin tasarım kültürü ile küresel etkileşimi artırmayı amaçlamaktadır (Maki and Associates, 2017).



Şekil 4. Shenzhen Deniz Dünyasının kıyı ilişkisi ve mekânsal yerleşim şeması
Kaynak:Maki&Associates,Shuixiang;Archdaily (erişim:26.01.2026)

Bu dönüşüm sayesinde kentin kültürel kimliği güçlenmiş, marka değeri artmış ve yerel ekonomi canlanmıştır. Ziyaretçi sayısındaki artış, çevredeki hizmet sektörünün gelişmesine katkı sağlamıştır. Aynı zamanda kent sakinleri arasında kültürel etkileşimi ve toplumsal bağları güçlendirmiştir. Bu proje dikkat çeken nokta, kültür odaklı bir müdahalenin yalnızca estetik bir dönüşüm yaratmakla kalmayıp, sosyal yaşamı da canlandırmasıdır. Yapının bölgeye kazandırdığı yeni kullanım biçimleri, Shenzhen'in endüstriyel ağırlıklı kimliğinden kültürel üretim merkezine geçiş sürecini somut şekilde görünür kılmaktadır.

ID Kasabası: Endüstriyel Mirasın Doğal Peyzajla Bütünleştirilmesi

Shenzhen'in Dapeng Yeni Turizm Bölgesi'nde bulunan ID Kasabası, eski Honghua Boyama Fabrikası'nın dönüştürülmesiyle oluşturulmuştur. Kasaba, Güney Çin Denizi kıyısına yakın yamaçlar ve dağlarla çevrilidir. Kompleksin tasarımında, endüstriyel geçmiş ile çevresel topografyadan ilham almıştır(Şekil 5) (Du, 2017). Fabrika alanı iki ana bölüme ayrılmıştır: Kuzeydeki yamaç konutları "Hill Town" (H-Town) olarak adlandırılmış, güneydeki vadi platformundaki üretim alanı ise "Valley Town" (V-Town) olarak adlandırılmıştır. V-Town'un da bulunan beş ana atölye, tek katlı ve beton çatılı olarak tasarlanmıştır. Yapının sütun aralıkları 6 metre olacak şekilde düzenlenmiştir. Penceresiz ve kapısız olarak tasarlanan yapılar, beton çatılar altında yeşil doğayla bütünleşen özgün açık alanlar oluşturmuştur (Archilovers, 2014). Kasabadaki gerçekleştirilen ilk dönüşüm, kompleksin en uzun atölyesi olan "Z Galerisi" nin yeniden işlevlendirilmesidir. Galeride aynı alanda yedi sanatçı stüdyosu yer almaktadır. Ve yeni müdahaleler mevcut yapılarla mesafeyi koruyarak tarihi doku ve doğal peyzajın etkileşimini devam ettirmeyi hedeflemiştir. Z Galerisi, eski atölye kalıntıları üzerine yükselen siyah çelikten lineer bir yapı olarak tasarlanmıştır, aynı zamanda yapıda sergi, kafe ve küçük toplantı alanları da yer almaktadır. Galeride döner duvarlar ve sürgülü cam kapılar kullanılarak , mekâna esneklik kazandırırken enerji verimliliğini de arttırmayı amaçlamışlardır (Archilovers, 2014; Frongillo,2017). Sanatçı stüdyoları, Z Galerisi ile hizalanmış ve eski makine tabanları arasında zigzag bir düzenle konumlandırılmıştır. Her stüdyo, hem çalışma hem de sergi alanı olarak işlev görerek fabrika alanını keşfetme olanağı sunmaktadır. Yarı-açık metal köprü ve platformlar, yeni yapıları peyzajla bütünleştirerek ID Kasabası'na özgün bir tasarım ve sanat kimliği kazandırmıştır(Du, 2017).



Şekil 5. ID Kasabasının dış mekân görünümü ve yapının içerisine eklenen Z Gallery'nin iç mekân görünümü (Kaynak: Chaos.z.)

Eski boya fabrikasının ID Kasabası'na dönüştürülmesi, yapının yeniden işlevlendirilmesinin yanı sıra aynı zamanda bölgeye yeni iş olanakları kazandıran, yerel ekonomiyi canlandıran ve toplumsal etkileşimleri güçlendiren çok katmanlı bir kentsel dönüşüm sürecidir. Endüstriyel miras niteliği taşıyan fabrikanın kültürel ve yaratıcı üretime yönelik bir merkez hâline getirilmesi, Shenzhen'in işlevini yitirmiş sanayi yapılarından sosyal ve kültürel değer üreten yeni mekânlar oluşturma yönündeki stratejik yaklaşımını ortaya koymaktadır.

Bu süreçte tarihî dokunun korunması, doğal peyzajla kurulan uyum ve kamusal alan düzenlemelerinin birlikte ele alınması, projeye mekânsal açıdan nitelikli bir bütünlük kazandırmıştır. ID Kasabası'nda yaratıcı sektörlerle yönelik esnek kullanım alanlarının, sanat üretim mekânlarının ve kültürel etkinliklere ev sahipliği yapan kamusal odakların bulunması, kentin kültürel altyapısını güçlendirerek önemli bir katkı sunmaktadır. Bu dönüşüm, Shenzhen'in son yıllarda daha özgün ve nitelikli yaratıcı mekânlar üretme eğiliminin somut bir örneği olarak değerlendirilebilir. Böylece ID Kasabası, hem şehrin yeni kentsel kimliğinin güçlü bir temsilcisi hâline gelmiş hem de yaratıcı ekonominin kent içerisindeki görünürlüğünü artıran önemli bir odak noktası oluşturmuştur.

Dalang Moda Kreatif Parkı: Üretimden Tasarım Odaklı Yaratıcı Ekosisteme Geçiş

Shenzhen'in Longhua bölgesinde eski sanayi alanından dönüşen Dalang Moda Kreatif Parkı, yaklaşık 4,59 km²'lik alana yayılmaktadır. Kompleksin 2003'te proje çalışmaları başlamıştır ve 2014'te ulusal bağımsız inovasyon gösteri alanı kapsamına alınmıştır (SZHome, 2012; Longhua District Government, 2024). Park, moda sektörünü ile birlikte ticaret, sergi, medya gibi işlevlere yaratıcı ekosistem sunmaktadır (Şekil 8). Günümüzde Marsfield, Caldenton, Fansino ve Golis gibi yaklaşık 100 marka parkta faaliyet göstermektedir (Longhua District Government, 2024).

Park, dört ana bölgeye ayrılmıştır; A Bölgesi: Endüstriyel merkez; 22 markanın genel merkezi burada bulunmaktadır. B Bölgesi: Ticari ve yaşam destek alanı; 100.000 kişilik kullanıcı kapasitesi hedeflenmiştir. C Bölgesi: AR-GE ve eğitim alanı; moda okulu yer almaktadır (Şekil 6). D Bölgesi: Yeşil alan ve ekoturizm; 2 km²'den fazla planlı park alanı mevcuttur.



Şekil 6. dalang moda kreatif parkının kuş başı görüntüsü Kaynak: Shenzhen News (erişim: 26.03.2026)

Marsfield merkezi otel, kafe, sergi ve çatı bahçesi gibi çok işlevli alanlara ev sahipliği yapmaktadır. A ve C bölgeleri aktif olarak kullanılmaktadır ve markalar ofislerini bağımsız yönetebilmektedir. Altyapı ve kamu hizmetleri tamamlanmıştır, sergi ve eğitim platformları da sunulmaktadır. Shenzhen Belediyesi ve Longhua yönetimi, finansal ve politik destekle parkın gelişimini teşvik etmektedir. Ayrıca "Shenzhen Uluslararası Marka Giyim Fuarı", "Shenzhen Moda Haftası" ve "Dalang Cup" gibi etkinlikler parkın ulusal ve uluslararası görünürlüğünü artırmaktadır (Frongillo, 2017).

Dalang Moda Kreatif Parkı'nın dönüşümü sayesinde bölgedeki küçük işletmeler için yeni alanlar açılmıştır, böylece bölgede istihdam ve ekonomik hareketlilik artmıştır.

Parkta düzenlenen defileler, sergiler ve çeşitli yaratıcı etkinlikler, bölgeye daha fazla ziyaretçi çekmesini sağlamıştır ayrıca çevredeki restoran, kafe ve mağazaların gelirlerini artırmakta ve yerel ekonomiyi canlandırmaktadır. Bunun yanında kamusal alanlar, yerel halk ile ziyaretçilerin bir araya geldiği, etkileşim kurduğu sosyal alanlara dönüşmüştür. Bu yönüyle park, Shenzhen'in genel planlama hedefleriyle uyumlu bir dönüşüm süreci örneklerinden biri haline gelmiştir. Ekonomik odaklı dönüşüm ile kültürel üretimin aynı mekânda birleşebilmesi, Shenzhen'in endüstri sonrası dönemde geliştirdiği yeni kentsel modellerin somut bir göstergesi olarak değerlendirilebilir. Ayrıca parkın esnek mekânsal organizasyonu, yaratıcı sektörlerin değişen ihtiyaçlarına uyum sağlayabilen sürdürülebilir bir kentsel ekosistem oluşturulduğunu ortaya koymaktadır.

OCT Loft: Sanayi Alanından Kültürel Üretim Odaklı Mekâna Dönüşüm

Loft Shenzhen'in Nanshan bölgesinde bulunan eski bir sanayi alanıdır. Alan, OCT Loft olarak yeniden işlevlendirilmiştir. Fabrika kompleksi şehirdeki ilk endüstriyel yapılardan biridir. Bu bağlamda kompleksin dönüşümü Shenzhen'in üretim odaklı kimliğinden yaratıcı ekonomi odaklı bir şehir anlayışına geçişinin sembolü hâline gelmiştir(Frongillo, 2017). Süreç 2003 yılında Hexiangning Güzel Sanatlar Müzesi deposunun çağdaş sanat merkezine dönüştürülmesiyle başlamış ve bölgenin yaratıcı endüstriler için düzenlenmesine öncülük etmiştir. Dönüşümde mevcut endüstriyel doku korunmuştur(Şekil 7) atölyeler, sanat galerileri, kitapçılar, kafeler, tasarım mağazaları ve sanatçı stüdyoları gibi yeni işlevler eklenmiştir Chinese Architects, n.d.).

Tasarım ekibi, yeni yapılarında mevcut binalarla bütünleşen esnek bir planlama tercih etmişlerdir.(Şekil 8)(OCT Loft Creative Culture Park, n.d.). Ayrıca kompleksin açık alanları canlandırılmış ve kullanıcılar arasında etkileşimi destekleyen yarı kamusal mekânlar oluşturulmuştur.



Şekil 7. OCT Loft'un Cephe görünümü ve OCT Loft'ta gerçekleştirilen yeni mekânsal düzenlemeler Kaynak: Urbanus Architecture Design, Chinese-Architects üzerinden (erişim: 26.01.2026)

Böylece OCT Loft tasarımıyla hem sanayi mirası korunmuştur hemde kente canlı bir kültürel topluluk alanı kazandırılmıştır. Bölgedeki yaratıcı sektörlerle yönelik yeni iş fırsatları oluşmuştur. Düzenlenen sergiler, konserler ve kültürel etkinlikler sayesinde bölgenin turist çekiciliği artmıştır ve yerel ekonomi ve hizmet sektörü canlanmıştır. Sanat galerileri, tiyatrolar, müzik ve tasarım atölyeleri şehirde kültürel canlılığın artmasını sağlamıştır . Genç ve yaratıcı bireylerin bir araya gelmesini sağlayan bu yapı, toplumsal etkileşimin ve sosyal ilişkilerin güçlenmesine katkıda bulunmuştur. Bununla birlikte, çevresindeki kamusal alanların canlanması ve kullanım çeşitliliğinin artmasıyla bölge daha yaşanabilir bir hâle gelmiştir.

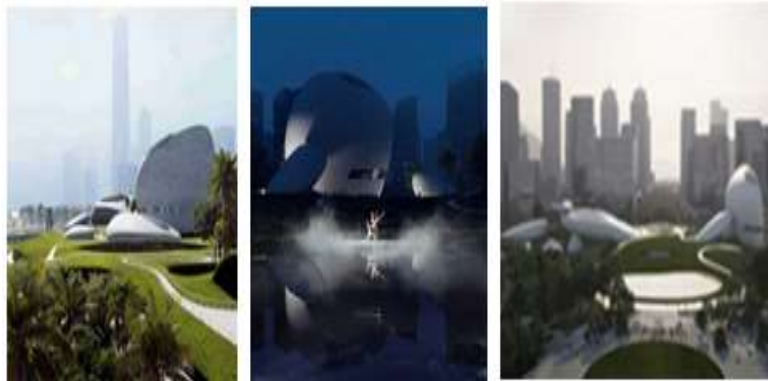


Şekil 8. OCT loft Master plan diyagramı Kaynak: Urbanus Architecture & Design, Chinese-Architects üzerinden (erişim: 26.01.2026)

OCT Loft'un bu dönüşümü, Shenzhen'in endüstri sonrası dönemde nasıl kültür odaklı bir kentsel kimlik geliştirdiğini göstermesi açısından önem taşımaktadır. Mevcut yapıları tamamen yıkmak yerine onları kültürel üretim mekanlarına dönüştürme yaklaşımı, kentin sürdürülebilirlik ve kimlik oluşturma hedefleriyle uyumludur. Bu nedenle OCT Loft'un, Shenzhen'in yaratıcı ekonomi stratejilerinde hem mekânsal hem de toplumsal açıdan öne çıkan bir dönüşüm modeli oluşturduğunu görülmektedir.

Shenzhen Körfezi Kültür Parkı: Kıyı Alanlarının Kamusal ve Kültürel Mekâna Dönüşümü

Shenzhen Körfezi Kültür Parkı, kamusal yaşamla mimariyi bütünleştirmeyi amaçlayan kapsamlı bir dönüşüm projesidir. Yaklaşık 51.000 m² arazi üzerinde kurulu bir komplekstir. Park Shenzhen Bilim ve Teknoloji Müzesi, Yaratıcı Tasarım Salonu ve kıyı boyunca uzanan kamusal yeşil alanları içeren çok işlevli bir kültür merkezi olarak hizmet vermektedir (MAD Architects, n.d.; Mimarinspace, 2025). MAD Architects tarafından tasarlanan park, topografyaya uyumlu yeşil çatılar, teraslar ve avlular aracılığıyla yapay ve doğal alanlar arasında geçirgen bir ilişki kurmaktadır(Şekil10) (MAD Architects, n.d.; Parametric Architecture, n.d.). Zemin kotunda sergi salonları, kütüphane, tiyatro, kafe ve eğitim alanları kamusal kullanımı desteklemektedir. Projede çatı düzlemi parkın bir uzantısı olarak tasarlanmıştır ve farklı yüksekliklerdeki avlularla sürekli bir dolaşım sağlanmıştır. Bu üç boyutlu planlama, alanın hem 24 saat yaşayan bir kamusal alan hem de kültürel performans sahnesi olmasına imkân vermektedir.



Şekil 9. Shenzhen Körfezi Kültür Parkı'nda kamusal alan ve yapı ilişkisini gösteren genel görünüm Kaynak: Parametric Architecture. Shenzhen Bay Culture Park.(Erişim: 26.01.2026)

Parkın odak noktasındaki yansıtıcı havuz bulunmaktadır. Bu havuz hem estetik bir su ögesi hem de 10.000 kişilik açık hava amfityatrosu olarak işlev görmektedir. Geniş yeşil çatılar ve açık alanlar, müzik ve sanat etkinlikleri için esnek kullanım sağlamaktadır. Ayrıca kuzey ve güney pavyonları, kıyı manzarasıyla bütünleşen formlarıyla kentin simgeleri hâline gelmiştir (MAD Architects, n.d.; Mimarinspace, 2025). Nanshan bölgesindeki teknoloji merkezlerine yakınlığı, projeye güçlü bir ekonomik ve kültürel bağlam kazandırmıştır. Alibaba Cloud, Huawei ve Tencent gibi şirketlere yakın konumuyla park, kültür, teknoloji ve kamusal yaşamın kesiştiği bir noktadır (ArchDaily, 2022). Shenzhen Körfezi Kültür Parkı, yeşil bir alan olmakla birlikte aynı zamanda kentin “dünya çapında etkiye sahip kültür şehri” vizyonunun mekânsal bir yansımasıdır. Park, turist ve ziyaretçi çekerek çevredeki restoran, kafe, mağaza ve hizmet sektörlerinin gelirlerini artırmaktadır. Düzenlenen kültürel ve eğlence etkinlikleri, bölgedeki yaratıcı ekonomi girişimlerini destekleyerek yeni iş olanaklarının oluşmasına katkı sağlamaktadır. Kamusal buluşma alanları, şehirde yaşayanlara sosyal etkileşim ve kültürel deneyim fırsatı sunmaktadır ve toplumsal yaşamı canlandırmaktadır. Ayrıca, eski sahil ve endüstri alanlarının kamusal ve kültürel mekânlara dönüştürülmesi, bölgedeki kentsel yoğunluğu ve kullanım çeşitliliğini artırarak mekânsal dönüşüme örnek teşkil etmektedir.

Bu projenin ortaya koyduğu yaklaşım, Shenzhen’in kültür odaklı dönüşüm stratejisini yansıtmaktadır. Kıyı alanlarının yalnızca rekreatif birer boşluk olarak ele alınmaması dikkat çekicidir. Bu alanlar aynı zamanda kültürel üretimi ve kamusal etkileşimi destekleyen çok katmanlı mekânlara dönüştürülmüştür. Bu yaklaşım, kentin son yıllarda izlediği planlama anlayışıyla da uyum göstermektedir. Bu nedenle Körfez Kültür Parkı, Shenzhen’in teknolojik gelişimini kültürel altyapıyla bütünleştirme yönündeki çabasının mekânsal açıdan güçlü bir örneği olarak değerlendirilebilir.

Shenzhen Pingshan Heykel Sanat ve Yaratıcı Parkı: Endüstriyel Mirasın Sanat ve Tasarım Odağına Dönüştürülmesi

Shenzhen’in Pingshan Bölgesi, Maluan Dağı eteklerinde yer alan Pingshan Heykel Sanatı ve Yaratıcılık Parkı, eski bir sanayi alanının çağdaş bir kültür merkezine dönüştürülmesiyle yeniden işlevlendirilmiştir (Atelier XI, n.d.; ArchDaily, 2022). Yaklaşık 30.000 m²’lik park, heykel, resim ve hat sanatı gibi sanatlarla ilgilenen sanatçılara stüdyo ve sergi alanları sağlamaktadır. (Atelier XI, n.d.). Tasarım sürecinde mevcut fabrikaların endüstriyel dokusu korunmuştur, yeni yapılar farklı ölçek ve malzemelerle eklenerek alanın tarihî kimliğiyle diyalog kurmuştur (Şekil 10) (ArchDaily, 2022; goood, n.d.). Uzun süre kullanılmayan güvenlik kulübesi, çağdaş bir sanat fenerine dönüştürülerek ziyaretçilere bilgi ve buluşma merkezi olarak hizmet vermekte, geçici sergi alanı olarak da kullanılmaktadır (Şekil 11). Ana sergi salonundaki iç kazı çalışmaları, tavan yüksekliğini artırarak modern sanat eserlerinin sergilenmesine uygun bir ortam yaratmıştır (goood, n.d.).



Şekil 10.A. Shenzhen Pingshan Heykel Sanat ve Yaratıcı Parkı’nda hat boyunca yer alan yapılar ve ek mekânsal düzenlemeler

B. Pingshan Heykel Sanat ve Yaratıcı Parkı’nda işlevli dönüştürülmüş güvenlik yapısı

Parkta açık alanlar, kamusal koridorlar ve yeşil alanlar bir arada bulunmaktadır; böylece sanatçılar üretim yapabilirken ziyaretçilerin de deneyimleyebileceği çok yönlü bir mekân sunulmuştur (ArchDaily, 2022). Bu yaklaşım, alanın endüstriyel geçmişini korurken yaratıcı ve sosyal işlevlerle yeniden canlanmasını sağlamıştır. Günümüzde Pingshan Parkı, Shenzhen'in kültür ve sanat üretimini destekleyen, yaratıcı topluluklara ilham veren ve sanayi sonrası alanların kentsel dönüşümüne örnek teşkil eden bir merkez olarak faaliyet göstermektedir. Bu dönüşüm sayesinde o bölgede yeni iş olanakları sağlanmıştır. Düzenlenen sergiler, performanslar ve kültürel etkinlikler, turist çekiciliği oluşturarak çevredeki ekonomik faaliyetleri ve hizmet sektörünü canlandırmaktadır. Genç ve yenilikçi nüfus için bir yaratıcı ekonomi ekosistemi oluşturarak sosyal bağların ve kültürel etkileşimin güçlenmesine katkı sağlamaktadır. Bu örnek, Shenzhen'in endüstriyel mirası yalnızca korumakla yetinmeyip, aynı zamanda toplumsal ve kültürel yaşamı besleyen yeni işlevlerle yeniden değerlendirme yönünde tutarlı bir strateji izlediğini göstermesi açısından dikkat çekicidir. Parktaki müdahalelerin ölçeği, kullanılan malzemeler ve mekân kurgusu incelendiğinde, şehrin dönüşüm yaklaşımında yalnızca fiziksel yenileme değil, kültürel üretimi destekleyen bir çevre oluşturma hedefinin de belirleyici olduğu görülmektedir. Ayrıca sanatçı stüdyoları, kamusal koridorlar ve esnek açık alanların birlikte kullanımı, Shenzhen'in yaratıcı toplulukların ihtiyaçlarına duyarlı bir mekânsal alan geliştirmek istediğini göstermektedir. Bu yönüyle Pingshan Parkı, şehrin kültürel kimliğini güçlendiren ve yaratıcı sektörlerin mekânsal taleplerine yanıt veren güncel dönüşüm politikalarının bir örneği olarak değerlendirilebilir.

Shenzhen Bao'an Sahil Kültür Parkı: Kıyı Alanlarının Çok İşlevli Kamusal Mekâna Dönüşümü

Shenzhen Bao'an Sahil Kültür Parkı, yaklaşık 380.000 m²'lik alanıyla şehir sakinlerine yeni bir kültürel ve rekreasyon alanı sunmaktadır (ArchDaily, n.d.; SWA Group, n.d.). Kıyı şeridinde kültür, sanat, eğlence ve ticaret işlevlerini bir araya getiren park, uluslararası standartlarda bir kıyı alanı oluşturmayı amaçlamaktadır (ArchDaily, n.d.). Parkın simgesel öğelerinden biri, 128 metre yüksekliğindeki "Bay Glory" dönme dolabıdır. Bu dönme dolap ziyaretçilere Qianhai Körfezi'nin panoramik manzarasını sunmaktadır (Şekil 12) (ArchDaily, n.d.). Parkın merkezinde yer alan "Bay Voice" Performans Sanatları Merkezi ise 1.500 kişilik ana tiyatro ve 600 kişilik çok amaçlı salonuyla müzik, tiyatro ve festival etkinliklerine ev sahipliği yapmaktadır (ArchDaily, n.d.). Tasarım, deniz ve su öğeleriyle bütünleşen mimari formuyla hem görsel hem de deneyimsel etkileşim sağlamaktadır.



Şekil 12. Bao'an Sahil Kültür Parkı'nda kıyı hattı ve kamusal alan düzenlemeleri

Doğu yakasında Sanat Parkı, çelik yapı sanat enstalasyonları ve etkileşimli peyzajla ziyaretçilere sürekli değişen deneyimler sunarken; batı yakasındaki Spor Parkı, kaykay alanları, çocuk oyun parkları ve yürüyüş yollarıyla aktif yaşamı desteklemektedir (Şekil17). Park boyunca yer alan ticari alanlar, oteller ve restoranlar, doğal peyzaj ve kıyı manzarasıyla bütünleşerek kentsel yaşam ile kültürel deneyimi bir arada sunar (SWA Group, n.d.). Açık alanlar ve sahil boyunca düzenlenen etkinlikler, kültürel turizmi ve kamusal yaşamı canlandırmıştır ve de Shenzhen'in kıyı aksını hareketlendirmektedir (ArchDaily, n.d.). Bao'an Sahil Kültür Parkı, şehir ile doğayı, kültür ile eğlenceyi ve teknoloji ile toplumsal etkileşimi bir araya getiren çok yönlü bir kent yaşam alanı olarak öne çıkmaktadır. Park, turist ve yerel ziyaretçileri çekerek çevredeki restoran, kafe ve hizmet sektörlerinin canlanmasına katkı sağlamaktadır. Düzenlenen kültürel etkinlikler ve açık hava aktiviteleri, yaratıcı sektör girişimleri için yeni fırsatlar oluşturarak bölgedeki kültürel üretimi teşvik etmektedir. Ayrıca, konserler, festivaller, sergiler ve spor etkinlikleri aracılığıyla kentin kültürel ve sosyal yaşamını desteklemekte ve kamusal alan kullanımını çeşitlendirmektedir. Tüm bu özellikleriyle Shenzhen Bao'an Sahil Kültür Parkı, şehrin kültürel ve yaratıcı kimliğini güçlendirmiş; yerel ve uluslararası ziyaretçiler için önemli bir çekim merkezi hâline gelmiştir.

Bu proje, Shenzhen'in kıyı alanlarını yalnızca rekreatif birer boşluk olarak değil, kültürel üretim, sosyal etkileşim ve turizm potansiyeli açısından çok katmanlı kamusal mekânlara dönüştürme amacının bir örneğini sunmaktadır. Parkta kültür, eğlence ve teknoloji odaklı işlevlerin birlikte kurgulanması, kentin son yıllarda benimsediği yaşam kalitesini artırmaya yönelik mekânsal stratejilerle uyumludur. Ayrıca alanın hem yerel halk hem de turistler tarafından yoğun şekilde kullanılabilmesi, Shenzhen'in kamusal alan tasarımında erişilebilirlik, çeşitlilik ve deneyim odaklı bir yaklaşımı önemsendiğini göstermektedir. Bu yönüyle Bao'an Sahil Kültür Parkı, kentin kültürel yapısını güçlendirirken, yaratıcı ekonomi ve sosyal yaşam açısından da sürdürülebilir bir alan oluşturmaktadır.

Tablo 4. Shenzhen Kültür Ve Sanat Merkezlerinin Karşılaştırılması

SHENZHEN KÜLTÜR VE SANAT MERKEZLERİNİN KARŞILAŞTIRILMASI					
İNCELENEN ALAN	KONUM	ESKİ İŞLEV	DÖNÜŞÜM SONRASI İŞLEV	DÖNÜŞÜM YAKLAŞIMI	İŞLEVSEL KARAKTER
Shenzhen Deniz Dünyası Kültür ve Sanat Merkezi	Shekou, Nanshan	Liman ve Ticaret Bölgesi	Müze, galeri, Kültür ve sanat merkezi	Yeniden İşlevlendirme+Yeni yapı	Turizm çekim gücü
ID Kasabası	Dapeng	Baskı ve Boya Fabrikası	Sanat köyü, galeri, atölye	Endüstriyel mirasın yeniden işlevlendirilmesi	Fabrika dokusu korunmuş, sanatsal gelişim
Dalang Moda Vadisi	Longhua	Eski Sanayi Alanı	Moda merkezi, tasarım ofisleri	Tematik kentsel dönüşüm	Moda ekosistemi, doğa ile entegrasyon
OCT Loft	Nanshan	Elektronik Fabrikaları	Yaratıcı stüdyolar, kafeler, galeriler	Endüstriyel miras dönüşüm	Tasarım odaklı, yaratıcı kümelenme
Bao'an Sahil Kültür Parkı	Bao'an	Eski liman/ kıyı endüstrisi	Kültürel Park ,sanat alanı	Kıyı dönüşümü	Kamusal alan, sürdürülebilir peysaj
Shenzhen Körfezi Kültür Parkı	Nanshan	Boş kıyı alanı	Müzeler Performans merkezleri	Yeni kentsel gelişim	Ulusal düzeyde kültür kompleksi
Pingshan Heykel Sanatı ve yaratıcılık Parkı	Pinghan	Terk edilmiş fabrika	Heykel atölyeleri, sergi alanları	Endüstriyel mirasın yaratıcı kullanımı	Yerel sanat desteği

7.BULGULAR

Bu bölümde, Shenzhen örneği üzerinden yürütülen inceleme sonucunda elde edilen bulgular bütüncül bir çerçevede değerlendirilmektedir. Kentin sanayi sonrası dönüşüm sürecinin mekânsal, kültürel ve toplumsal boyutları birlikte ele alınmaktadır. Çalışma kapsamında incelenen dönüşüm projeleri, Shenzhen'in üretim odaklı bir sanayi kentinden kültür ve yaratıcı endüstrilerle şekillenen çok katmanlı bir kentsel yapıya evrildiğini ortaya koymaktadır. Bu inceleme sonucunda elde edilen bulgular, kentin dönüşüm sürecinin ekonomik büyüme odaklı bir yeniden yapılanma ile birlikte aynı zamanda mekânsal, kültürel ve sosyal ölçeklerde bütüncül bir dönüşümü içerdiğini göstermektedir. İncelenen örnek projeler, özellikle eski sanayi alanlarının yaratıcı endüstrilere uyarlanmasıyla, kente yeni işlevsel ve sosyal alanlar eklediğini ortaya koymaktadır. Dalang Moda Kreatif Parkı gibi projelerde üretim-tasarım ilişkisi yeniden tanımlanmaktadır. OCT Loft ve ID Town gibi örneklerde ise endüstri mirasının korunarak kültürel üretime yönelik çağdaş mekânlara dönüştürüldüğü görülmektedir. Bu projelerde temel yaklaşım, mevcut yapıyı tamamen yok etmek yerine onu koruyup yeni bir işleve göre yeniden tasarlamaktır. Bu yönüyle Shenzhen'deki süreç, yapıları yıkıp yeniden inşa etmeye dayanan klasik kentsel dönüşüm modellerinden farklılaşmaktadır. Shenzhen'in dönüşümünü etkileyen üç ana etken dikkat çekmektedir.

İlk olarak, yaratıcı endüstriler yalnızca yeni ekonomik alanlar yaratmakla kalmamıştır aynı zamanda kentin kimliğinin yeniden üretilmesinde de belirleyici olmuştur. Shenzhen başlangıçta “üretim kenti” olarak konumlanırken, bugün kültür, tasarım ve inovasyon odaklı bir “yaratıcı şehir” kimliği kazanmıştır. Bu kimlik değişimi, mimari dönüşümle birlikte kültür politikaları, kamusal alan stratejileri ve yaratıcı toplulukların birleşimi ile güçlenmiştir. İkinci olarak, eski sanayi bölgelerinin kültür ve tasarım mekânlarına dönüştürülmesi sayesinde sosyal etkileşimi artıran yeni kamusal alanlar yaratılmıştır. Shenzhen Körfezi Kültür Parkı ve Pingshan Heykel Sanatı ve Yaratıcılık Parkı, Bu alanlar, insanların günlük yaşamlarında rahatça kullanabilecekleri kültürel ve sosyal mekânlarını oluşturmuştur. Bu durum, kentsel deneyimi zenginleştirirken kentin sosyal dokusunu da güçlendirmiştir. Üçüncü olarak, Shenzhen'in dönüşümü ekonomik çeşitliliği artıran bir etken olmuştur. Endüstriyel üretime dayalı tek odaklı ekonomik yapı, yaratıcı sektörlerin eklenmesiyle çok yönlü bir ekonomik modele evrilmiştir. Bu süreç kenti küresel pazarda daha güçlü bir konuma getirmiştir.

Bu çalışmanın literatüre temel katkısı, Shenzhen'in dönüşümü planlama kararları ile birlikte mekânsal pratikler, kültürel üretim biçimleri ve yaratıcı ekonomi stratejileri üzerinden birlikte okunabileceğini ortaya koymasıdır. Literatürde çoğu çalışma Shenzhen'i ekonomik büyüme bağlamında ele almaktayken bu araştırma mekânsal yeniden kullanımların ve kültür odaklı dönüşümün kent kimliği üzerindeki etkilerini bütüncül bir yaklaşım ile değerlendirmektedir. Çalışma ayrıca, endüstriyel mirasın korunarak yeniden işlevlendirilmesinin, hızlı kentleşen şehirlerde sürdürülebilir bir yöntem oluşturabileceğini göstermektedir. Bu açıdan araştırma, yaratıcı endüstri odaklı dönüşümlerin mekânsal, kültürel ve ekonomik etkilerini bir arada inceleyerek literatürde eksik kalan bir boşluğu doldurmaktadır. Shenzhen örneği üzerinden geliştirilen bu değerlendirme, hızlı büyüyen benzer kentlerde uygulanabilir bir yöntem sunması açısından da önem taşımaktadır.

SONUÇ

Bu çalışma kapsamında, Reform ve Açılma politikalarının ardından Shenzhen'in geçirdiği hızlı mekânsal ve kültürel dönüşüm süreci incelenmiştir ve ekonomik politikaların kentleşme süreçleri, mekânsal yapı ve toplumsal yaşam üzerindeki etkileri değerlendirilmiştir. Bulgular, Mao dönemi planlı ekonomi anlayışının Shenzhen'in erken dönem kentsel gelişimini sınırlayan bir çerçeve sunduğunu göstermektedir. Ayrıca bu dönemde kentleşme, ağırlıklı olarak üretime dayalı, merkezi kararlarla şekillenen ve kültürel işlevlerin sınırlı kaldığı bir özellik sergilemiştir.

Bu nedenle Shenzhen, reform sürecine kadar uluslararası ölçekte rekabet edebilecek mekânsal ve işlevsel esnekliği yeterince geliştirememiştir.

1980’lerden sonra uygulanan Reform ve Açılma politikalarıyla birlikte Shenzhen’in Özel Ekonomik Bölge olarak konumlandırılması, kentin mekânsal ve ekonomik yapısında köklü bir değişimi mümkün kılmıştır. Bu süreçte altyapı, konut, sanayi ve yeşil alanlar daha orantılı bir planlama anlayışıyla ele alınmıştır. Uluslararası yatırımlar, teknoloji odaklı kalkınma stratejileri ve Hong Kong ile kurulan güçlü ekonomik ilişkiler, kentin mekânsal kullanımını ve büyüme şeklini hızla dönüştürmüştür. Böylece Shenzhen, ekonomik olmakla birlikte aynı zamanda planlama ve mekânsal organizasyon açısından da yeni bir kentsel modele geçiş yapmıştır.

Çalışma kapsamında incelenen Dalang Moda Kreatif Parkı ve OCT Loft gibi projeler, eski sanayi alanlarının kültür ve tasarım odaklı yaratıcı mekânlara dönüştürülmesi sayesinde kentin üretim odaklı yapısından uzaklaşarak yaratıcı bir kent kimliği geliştirdiğini göstermektedir. Shenzhen Körfezi Kültür Parkı, Pingshan Heykel ve Yaratıcılık Parkı ile Bao’an Sahil Kültür Parkı gibi örnekler ise bu dönüşümün kamusal yaşam üzerindeki etkilerini ortaya koymaktadır. Söz konusu projeler, sosyal etkileşimi ve kültürel üretimi destekleyen yeni kamusal mekânlar oluşturarak kentte gündelik yaşam deneyimlerini çeşitlendirmiş ve kamusal alanın kullanımını güçlendirmiştir.

Bu bağlamda Shenzhen’deki dönüşüm süreci, fiziksel mekânların yenilenmesi ile birlikte kentsel kimliğin yeniden üretilmesi ve kamusal yaşamın yeniden tanımlanması olarak görülmelidir. Endüstriyel mirasın korunarak yeniden işlevlendirilmesi, hem mekânsal sürekliliğin sağlanmasına hem de geçmiş ile güncel kentsel kullanımlar arasında bir ilişkinin kurulmasına katkı sağlamıştır. Bu yönüyle Shenzhen örneği, yıkım temelli dönüşüm yaklaşımlarından farklılaşarak daha sürdürülebilir ve çok boyutlu bir kentsel dönüşüm modeli sunmaktadır.

Sonuç olarak Shenzhen deneyimi, ekonomik reformlar, kentsel planlama ve kültürel gelişimin bir arada ele alınabileceğini gösteren bütüncül bir dönüşüm anlayışını ortaya koymaktadır. Sanayi temelli bir üretim kentinden, kültür ve yaratıcı endüstrilerle desteklenen çok işlevli bir kentsel yapıya geçiş süreci sayesinde kentsel kimlik, kamusal yaşam ve mekânsal sürdürülebilirlik arasındaki ilişkinin önemini açık biçimde göstermektedir. Bu çalışma, hızlı kentleşen ve sanayi sonrası dönüşüm sürecine giren kentler için, endüstriyel mirasın korunmasıyla birlikte kültür ve tasarım odaklı yaklaşımların uygulanabilir olabileceğini ve sürdürülebilir bir kentsel dönüşüm modeli sunabileceğini ortaya koymaktadır. Shenzhen örneği, benzer sosyo-ekonomik koşullara sahip kentler için karşılaştırmalı araştırmalar açısından önemli bir referans oluşturma potansiyeline sahiptir.

KAYNAKLAR

ArchDaily. (n.d.). Renovation of Shenzhen Pingshan Sculptural Art and Creative Park – Atelier Xi. <https://www.archdaily.com/980251/renovation-of-shenzhen-pingshan-sculptural-art-and-creative-park-atelier-xi>

ArchDaily. (n.d.). Shenzhen Bao’an Waterfront Cultural Park – AUBE Conception. <https://www.archdaily.com/971635/shenzhen-baoan-waterfront-cultural-park-aube-conception>

ArchDaily. (2022, April 19). MAD reveals the Shenzhen Bay Culture Park masterplan. <https://www.archdaily.com/942442/mad-reveals-the-shenzhen-bay-culture-park-masterplan>

Archilovers. (n.d.). Z Gallery in ID Town. <https://www.archilovers.com/projects/122119/z-gallery-in-id-town.html>

Maki and Associates. (n.d.). Project details. <http://www.maki-and-associates.co.jp/details/index.html?pcd=142>

Atelier XI. (n.d.). Pingshan sculptural art & creative park. <https://www.atelierxi.com/pingshan-sculpture-park>

- Baidu Baike. (2020). Shenzhen. <https://baike.baidu.com/item/深圳/140588>
- CEIC. (2023). Shenzhen tourism revenue (domestic and foreign). <https://www.ceicdata.com/en/china/tourism-revenue-domestic-prefecture-level-city/cn-tourism-revenue-domestic-guangdong-shenzhen>
- China Academy of Urban Planning and Design, Shenzhen Branch. (1986). 深圳经济特区总体规划 1986–2000 [Master plan of Shenzhen Special Economic Zone 1986–2000].
- China Merchants Group. (2017). Sea World Culture & Arts Center project overview. <https://www.cmhk.com>
- Chinese Architects. (n.d.). OCT Loft renovation. <https://chinese-architects.com/nl/urbanus-architecture-and-design-shenzhen-and-beijing/project/oct-loft-renovation>
- CIA. (2023). The World Factbook: China. <https://www.cia.gov/the-world-factbook/countries/china/>
- Design Society. (2017). Sea World Culture and Arts Center. <https://www.designsociety.cn/en>
- Dikötter, F. (2010). Mao's great famine: The history of China's most devastating catastrophe, 1958–1962. Bloomsbury Publishing.
- Du, J. (2017, December). Industrial strength: Galleries and youth hostel, iD Town, Shenzhen, China by O-office. *The Architectural Review*. <https://www.architectural-review.com/buildings/industrial-strength-galleries-and-youth-hostel-id-town-shenzhen-china-by-o-office/10026241.article>
- Fairbank, J. K., & Goldman, M. (2006). *China: A new history* (2nd ed.). Belknap Press.
- Friedmann, J. (2005). China's urban transition. *Urban Studies*, 42(12), 2055–2070.
- Frongillo, M. P. (2017). Creativity-led urban development in China: The case of Shenzhen's OCT Loft (Master's thesis, Ca' Foscari University of Venice).
- gooooo editorial team. (n.d.). Shenzhen Pingshan sculptural art and creative park renovation design by Atelier XI. <https://www.gooooo.cn/shenzhen-pingshan-sculptural-art-creative-park-renovation-design-china-by-atelier-xi.htm>
- Guangdong Statistical Bureau. (2002). *Guangdong statistical yearbook*. China Statistics Press.
- Hu, R. (2019). The state of smart cities in China: The case of Shenzhen. *Energies*, 12(22), 4375. <https://doi.org/10.3390/en12224375>
- Jiang, D. (2018, October 8). 造城记——亲历深圳经济特区总体规划 [City making—Experience the master plan of Shenzhen Special Economic Zone]. *Pengpai News*.
- Li, X., Liu, Y., & Dai, H. (2019). Smart city development in China: The case of Shenzhen. *Energies*, 12(22), 4375. <https://www.mdpi.com/1996-1073/12/22/4375>
- Longhua District Government. (2024, November 22). Dalang Fashion Town. https://www.szlhq.gov.cn/english/licc/ic/rp/content/post_10889031.html
- MacFarquhar, R., & Schoenhals, M. (2006). *Mao's last revolution*. Belknap Press.
- Maki and Associates. (2017). Sea World Culture and Arts Center. <https://www.maki-and-associates.co.jp/works/sea-world-culture-and-arts-center/>
- Mimarinspace. (n.d.). Betonun ötesinde bir doğa rüyası: Shenzhen Bay Culture Park. <https://mimarinspace.com/betonun-otesinde-bir-doga-ruyasi-shenzhen-bay-culture-park/>
- Naughton, B. (2007). *The Chinese economy: Transitions and growth*. MIT Press.
- OCT Loft Creative Culture Park. (n.d.). About OCT Loft. <https://www.octloft.cn>
- Parametric Architecture. (n.d.). Juxtaposes of ancient & future: Shenzhen Bay Culture Park. <https://parametric-architecture.com/juxtaposes-of-ancient-future-shenzhen-bay-culture-park/>

Peng, Y. (2019). Lessons learned from the preparation for the 13th Five Year Plan for large and complex smart cities in China. IADIS International Journal. <https://www.iadisportal.org/ijcsis/papers/2019140205.pdf>

Rexila, K. (2020). 20. yüzyılda yeni şehirlerin gelişim süreçlerinin analizi: Çin'in Shenzhen şehri örneği (Master's thesis, Gebze Teknik Üniversitesi).

Shenzhen Municipal People's Government. (2008). 深圳市城市总体规划 2007–2020 [Shenzhen city master plan 2007–2020].

Shenzhen Municipal People's Government. (2009). 深圳市城市总体规划 2009–2020 [Shenzhen city master plan 2009–2020].

Shenzhen Municipal People's Government. (2023). City profile. https://www.sz.gov.cn/en_szgov/aboutsz/profile/content/post_11666623.html

Shenzhen Municipal Planning and Natural Resources Bureau. (1996). 深圳市城市总体规划 1996–2010 [Shenzhen Urban Master Plan 1996–2010].

Shirk, S. L. (1993). The political logic of economic reform in China. University of California Press.

Spence, J. D. (1999). The search for modern China (2nd ed.). W. W. Norton & Company.
SWA Group. (n.d.). Bao'an Waterfront Cultural Park. <https://www.swagroup.com/projects/baoan-waterfront-cultural-park/>

SZHome Forum. (n.d.). Shenzhen project discussion. <https://bbs.szhome.com/30-10002-article-252580-0-1-1.html>

UN-Habitat. (2019). The story of Shenzhen: Its economic, social and environmental transformation. https://unhabitat.org/sites/default/files/2019/05/story_of_shenzhen_combined-pages-deleted-merged_1_1.pdf

Vogel, E. F. (2011). Deng Xiaoping and the transformation of China. Belknap Press.
Web 20. (2010). Project information on Shenzhen planning. http://www.szcaupd.com/project-ztgh-i_11235.htm

World Bank. (2009). Building engines for growth and competitiveness in China. <https://doi.org/10.1596/978-0-8213-7683-9>

Xu, Y. (2013). The role of Special Economic Zones in China's development (Master's thesis, Massey University). <https://mro.massey.ac.nz/bitstreams/f7d642f6-6740-4f9b-9fcd-ad1d036fc307/download>

Yue, H., Li, Y., & Mao, R. (2024). The evolution of smart city policy in China: A quantitative study based on policy texts. Buildings, 15(1), 7. <https://www.mdpi.com/2075-5309/15/1/7>

Zacharias, J., & Tang, Y. (2010). Restructuring and repositioning Shenzhen, China's new mega city. Progress in Planning, 73, 209–249.

**SEMIOTIC REPRESENTATION OF NATIONAL IDENTITY ON THE NETFLIX
PLATFORM: AN ANALYSIS OF THE FILM “EVET, HAYIR, BELKİ”**

Murat BİROL

Dr. Öğr. Üyesi , Giresun Üniversitesi, Tirebolu İletişim Fakültesi, Radyo, Televizyon ve
Sinema Bölümü, Tirebolu, Giresun.

Asst. Prof. Dr., Giresun University, Tirebolu Faculty of Communication, Department of
Radio, Television and Cinema, Tirebolu, Giresun.

ORCID ID: 0000-0001-6559-9403

Özge ULUSAN

Yüksek Lisans Öğrencisi, Giresun Üniversitesi, Sosyal Bilimler Enstitüsü, Radyo, Televizyon
ve Sinema Ana Bilim Dalı, Giresun.

Master’s Student, Giresun University, Institute of Social Sciences, Department of Radio,
Television and Cinema, Giresun.

ORCID ID: 0009-0000-1940-5380

ABSTRACT

The digitalization of cinema has influenced its transformation not only as an architectural venue of cultural activity but also as a readily accessible and portable medium of consumption, accelerating and diversifying film production. Within this context, individuals have transferred their film-viewing practices from the public sphere to the domain of domestic activities, maintaining these practices within a structure that has shifted from public to private space. Home cinema, which is primarily experienced in the private sphere, can also transition back into the public sphere through the sharing of viewing experiences via mobile and portable devices on social media platforms. Although the boundary between these two domains appears increasingly blurred, such ambivalence is characteristic of postmodernism. In this regard, Netflix emerges as one of the leading platforms within the field of digitalized cinema. At the same time, within the framework of postmodernism, the concept of identity has evolved into a phenomenon that continually reproduces itself in ways specific to the contemporary era. Over time, identities may transform into stereotypical forms and generate binary oppositions in relation to social identities. In cinema, texts that are reflected in the script as conflicts between characters contribute to the construction of a social perception that produces cultural meaning. Through their representation in media, these narratives support a screen culture in which the structural nature of identity is displayed. Each society is able to present its own values to global television and streaming platforms through different productions, shaped by economic-political or sociocultural dynamics. Within this framework, the film selected as the case study in this research has found the opportunity to reach the global market through the Netflix platform. National identity thus emerges as a key concept in this context. Considering the representation of identity in the digital world, it becomes evident that the film -constructed through binary oppositions- also brings a postcolonial dimension to the forefront. Accordingly, the aim of this study is to evaluate the film “Evet, Hayır, Belki” on the digital streaming platform Netflix within the framework of the construction of national identity. The methodology of the study is based on the semiotic analysis model developed by Roland Barthes. The findings reveal that, within a postcolonial framework, the film reproduces the Western gaze toward the East and presents viewers with certain ideological messages that contribute to the formation of stereotypical perceptions.

Keywords: Communication Studies, Digital Platform Film, National Identity, Stereotype, Semiotics.

ULUSAL KİMLİĞİN NETFLİX PLATFORMUNDAKİ GÖSTERGESEL SUNUMU: “EVET, HAYIR, BELKİ” FİLMİ İNCELEMESİ

ÖZET

Sinemanın dijitalleşmesi, mimari bir etkinlik alanı olması dışında tüketim aracı olarak kolay ulaşılabilir olması, taşınabilir olması ve üretiminin hızlanarak çeşitlendirilmesini etkilemiştir. Bu bağlamda bireyler, film izleme alışkanlıklarını ev faaliyetleri alanına taşıyarak kamusal alandan özel alana dönüşen yapısıyla sürdürmektedirler. Özel alanda izlenen ev sineması, mobil taşınabilir cihazların sosyal medya kanalları yoluyla paylaşımında bulunarak özel alandan kamusal alana bir geçiş de yapabilmektedir. İki alan arasındaki ayrımın silikleştiği görülse de postmodernizm bu ikircikliği bünyesinde taşır. Netflix de dijitalleşen sinema kavramının öncü faaliyet alanlarından biri olarak karşımıza çıkmaktadır. Öte yandan, postmodernizm çerçevesinde kimlik kavramı kendisini geliştirerek çağa özgü yeniden üretimde bulunan bir olgu hâline gelmiştir. Kimlikler belirli bir zaman sonrasında stereotipik biçime dönüşebilmektedir. Sosyal kimlikler adına ikili karşıtlıklar yaratabilmektedir. Sinemada senaryoya karakterlerin çatışması olarak yansıtılan metinler kültürel anlamı üretmede toplumsal bir algı inşa etmektedir. Bu da medyada gösterilerek kimliğin yapısallığının yansıtıldığı ekran kültürünü desteklemektedir. Her toplum küresel ölçekteki dizi platformlarına farklı yapımlarla kendi değerlerini ekonomipolitik ya da sosyokültürel biçimde sunabilmektedir. Bu çerçevede çalışmada örneği seçilen film Netflix platformunda dünya pazarına sunulma olanağı bulmuştur. Ulus kimliği de burada kilit bir kavram niteliğindedir. Kimliğin dijital dünyada temsili düşünüldüğünde ikili karşıtlıkla kurgulandığı filmin postkolonyal bağlamı da gündeme taşıdığı görülür. Buradan hareketle çalışmanın amacını ulusal kimliğin inşa edilmesi çerçevesinde dijital izleme platformu olan Netflix'teki “Evet, Hayır, Belki” filminin değerlendirilmesi oluşturmaktadır. Yönteminin Roland Barthes'ın geliştirdiği göstergebilimsel çözümleme modelinden oluşturulduğu çalışmanın sonucunda postkolonyal çerçevede Batı'nın Doğu'ya bakışını yeniden üreten filmin stereotipik algının oluşmasında izleyiciye ideolojik birtakım mesajlar sunduğu görülmüştür.

Anahtar Sözcükler: İletişim Çalışmaları, Dijital Platform Filmi, Ulusal Kimlik, Stereotip, Göstergebilim.

GİRİŞ

Dijitalleşen sinema ile izleyici bugün yalnızca bilet alınarak gidilen fizikî bir ortamda değil eşzamanlı birden çok ortamda izleme alışkanlığını sürdürebilmektedir. Gazete sayfalarından vizyona bu hafta girecek filmlerin takip edilmesi süreci yerini dijital ortamlarda izleyicilerin bireysel hesaplarıyla filmlerin kendi hesaplarından yayınlanan fragman, kamera arkaları, kısa film kesitleri, oyuncu röportajları, makyaj-kostüm çekimlerinin takip edilebildiği sürece bırakmıştır. Dolayısıyla sinema kendi hanesinden ayrılarak milenyum çağıyla birlikte bugün de rağbet gösterilmese de süregiden alışveriş merkezlerinin son katlarındaki yerinden kısmen ayrılarak bireylerin önceden satın aldığı televizyon paketlerine benzer biçimde ev sineması paketlerinden izlenmeye olanağı tanıyan bir evreye geçmiştir. Sinema kamusal bir alandan özel bir alana taşınarak toplum içinde belirli saatlerce toplumla birlikte tüketilen bir faaliyet alanı olma dışında, bireylerin kendi ev ortamlarında tüketebildikleri etkinlik alanına dönüşmüştür. Bu dönüşümle birlikte evde film izleme alışkanlığı kazanan bireylere çeşitli platformlar eşlik etmektedir. Bu platformlar yıldan yıla artış göstererek ve çeşitlenerek abonelik sistemleriyle birlikte ev içi hizmette bulunma özelliğine sahiptir. Disney Plus, Tabii, Amazon Prime, HBO gibi çeşitlilik taşıyan dijital izleme platformlarının en popülerleri Netflix'tir.

Geçmiş yıllardaki Cine5 ya da DigiTurk paketleri, izleyiciye dönük spor ya da film paketleriyle ya da çocuklara yönelik çizgi film paketleriyle hizmet verse de bugün de benzer biçimde içerisinde farklı kategorilerden filmler bulunan (animasyon, belgesel, komedi, müzikal, dram vb.) ev sineması paketleri geçmişteki izleri sürdürmektedir.

Ayrıca vizyondan ayrılan filmin daha sonra televizyon ekranlarında belirli bir kanalla anlaşarak o filmin “TV’de ilk kez” ve sonralarında da aynı kanalda sunulmasına benzer biçimde bugün de her bir filmin ya da dizinin anlaşması bulunan dijital platform anlaşmaları bulunmaktadır. Sahiplik ve aidiyetlik yapısı içerisinde filmler gösterimden kalkarken belirli bir zaman sonra yeniden aynı platformda gösterime sunulabilmekte ya da platformdaki yayın süresi dolduktan sonra başka bir platforma da geçiş yaparak yayınlanabilmektedir.

Bugünkü ev sineması kolay erişilebilir, taşınabilir, hızlı ya da çeşitlilik özelliğiyle avantajlı gibi görülse de aslında geçmişteki televizyon abonelikleri, medya sahiplikleri ve yayın sözleşmeleri ve/veya anlaşmalarına bakıldığında benzerlik taşıdıkları görülmektedir. Geçmişin izleri eşliğinde abonelik sistemiyle de yıllık ücretlendirmeye tabi tutulan izleyici dilediği zaman film izleme ritüeli içerisinde kendini bulabilmektedir. DVD ya da VCD almaksızın, arşivinde, her daim elinin altındaki filmleri duraklatarak ya da farklı dillerde ya da izleme mod’larında izleyebilmektedir. Burada kategorileşen filmleri kendi de kategorileştirerek, izleme listesi yaratabilmekte ve “yakında veda etmeden” o filmleri de (uyarı ya da bildirimlerle dikkat çekilerek) kendi süresi içerisinde izleyebilmektedir. İzleyici dijital platformlarda sürekli etkin tutularak “yeni gelenler”, “en çok izlenenler”, “seçtikleri” ya da “bunları da beğenebilecekleri” yönünde bilgilendirilmekte ve izleme ritüeline teşvik edilmektedir. Öte yandan, yapay zekâ teknolojisiyle birlikte zaman ve mekân açısından da birtakım bütçe olanakları değişim göstermiştir. Böylelikle filmin üretim öncesi, üretim aşaması, üretim sonrası ve dağıtım aşamaları da değişime uğramıştır. Erkökçü (2016, s. 94-95), filmin endüstriyel üretiminde hız, düşük maliyet, kolay erişim, sesin ve rengin gelişkin kullanımı, renk düzeltme ve alternatif kurgu seçeneklerinin olması, kolaylıkla üretilen özel efektler, dağıtım ve gösterim aşamalarında maliyetlerin düşmesi, yeni medya araçlarından alternatif gösterim olanaklarının yaratılması gibi avantajlarını belirtmiştir.

Öte yandan, çağın getirdiği alan belirsizliğine değinmek gerekir. Ortamların iç içe geçmesiyle birlikte liberal çerçeveden bakıldığında dikkat çeken iki alan söz konusudur. Habermas’ın ayırımında dikkat çeken alan kavramından hareketle, devletin ve toplumun alanı ile ev alanı eşdeyişle devlet tanımı gereği kamusal ile aile ve mahrem yaşam gereğince özel alan kavramları da bu noktada önemlidir (akt. Bora, 1997, s. 85-86). Nitekim sinemanın kamusal alandan mahrem olan özel alana geçişinde toplumun ekonomipolitik dinamiğinin de tarihsel süreç içerisinde ele alınması gerekir. Özel alanın ya da mahrem yaşantının da paylaşılarak başkaları tarafından gözetlendiği toplumda özel alandan kamusal alana geçişin de ve iki alanın bir arada kullanılmasıyla ayırımın keskinliğini kaybettiği söylenebilir. Flou olan iki alan arasındaki ayırım bugün silikleşerek araçsal bağlamında bir alandan diğerine geçişi kolaylaştırmaktadır. Buradan hareketle postmodernizm de “muğlaklık, risk, tehlike ve hata içermeyen, her şeyi kucaklayan, tam ve nihai bir yaşam formu bulacağını artık umut etmez ve bunun tersini vaat eden her sese büyük bir kuşkuyla yaklaşır (...) Postmodern zihin, insanlık durumunun karışıklığının kalıcı olduğu düşüncesiyle uzlaşmıştır” (Bauman, 2016, s. 331). İlk kez kullanıldığı 1950’lerden bu yana, diyalektik bir kavram olarak nitelendirdiği postkolonyalizm, Young’a göre (2016, s. 77-79) hem sömürsüzleştirilmenin genel tarihsel gerçeklerini ve egemenliğin kararlı bir biçimde kazanılmasını hem de iktisadi tahakkümün ve hatta siyasal tahakkümün sürdüğü yeni bir emperyalist bağlamın içine doğan ulusların gerçeklerini göstermektedir. Kimlik konusu da yalnızca ortak bilinçte değil, eğitilmiş kesimin tartışmalarında da aniden merkezi yer edinmiş merak uyandıran sosyolojik bir sorun olmaktadır.

Ayrıca ulusal kimlik diğer kimlik türlerinden farklı olarak rekabeti kabul etmeyen, “biz” ve “onlar” arasında sınır çizmek için tekeli bir hakkı amaç edinen devlet ve temsilcileri tarafından titizlikle inşa edilen bir kavrama karşılık gelmektedir (Bauman, 2022, s. 26, 32). Anlatım ve resimlerden algılanan bir dünyada Walter Lippmann’ın (2020, s. 121) “stereotip” kavramı da insanların “bir konu hakkında deneyim yaşamadan da o konu hakkında düşünce sahibi olabilir” görüşünü açıklamaktadır.

Bu bağlamda çalışma, dijital dizi-film izleme platformu olan Netflix’teki “Evet, Hayır, Belki” filmini ulusal kimliğin inşası perspektifinden değerlendirmektedir. Diğer dijital izleme platformları ve Netflix’teki başka dizi ya da filmler çalışmanın dışında tutulmuştur. Roland Barthes’ın geliştirdiği göstergebilimsel çözümleme modeli çalışmanın yöntemi olarak belirlenmiştir. Çalışmada ele alınan filmin kimlik, postmodernizm ve postkolonyalizm çerçevesinde daha önceden ele alınmaması çalışmayı önemli kılmakta, sonraki çalışmalarda yapılan film incelemelerinde çalışma bu alanda ya da başka konularda farklı bakışlar sunabilmektedir.

KİMLİK VE STEREOTİPLER

Kimliği anlamak için toplum ve kültüre bakılması gerekmektedir. Kimlik, katmanlaşma ya da tabakalaşmanın en ayırıcı ve fark yaratıcı yönlerinden biridir (Bauman, 2022, s. 51). Kültür ise bir toplumun aidiyetliği ve/veya nitelendirilme biçimlerini gösterir. “Kimlik daha çok ruha, düşünceye, zihniyete, sanata ve kültüre ait olan ve her türlü varlık ve oluş biçimine damgasını vuran karakteristiğe işaret eder” (Şentürk, 2016, s. 9). Bu noktada kültürler yalnızca değişmez değil, dinamikler ve içeriği de değişebilir. Kültürlerin oluşumunda farklı grupların etkisi olduğundan yalnızca bir ulusun malı olamazlar (Bade, 1994, s. 136-137). 1960’lara bakıldığında da kimlik ve temsillerin gerçek yaşamdan yansımalarını göstermesi adına sinema sektöründe belirginlik kazandığı görülür. Türkiye’de Yeşilçam sineması olarak anılan dönem incelendiğinde toplumsal gerçekçi filmlere rastlanılır. Filmlerde işlenen uluslararası arenada toplumsal hareketlilik/göç pazarı, yurtiçi ve/veya yurtdışı göç, göçmenlik, misafir işçilik gibi konular dikkat çekmektedir. Bu noktada Almanya’ya yönelik işçi göçünün temsilinin Türk sinemasına yansımalarının etkisi de görülmektedir. “30 Ekim 1961’de Türkiye ve Almanya arasında imzalanan işgücü anlaşması sonrasında, en başında geçici olması beklenen Almanya’ya göç, oradaki işçi talebi ve Türklerin isteği ile zamanla kalıcı hâle gelmiştir. Almanya’da 1961 yılına kadar yaklaşık 7 bin Türk vatandaşı bulunurken bu sayı bir yıl içerisinde 15 bin 558’e, 1967’ye gelindiğinde ise 204 binlere ulaşmıştır. İyî’nin BAMF’tan aktarımına göre 2020’ye değin Almanya’da 3 milyona yakın Türk vardır ve bunun da 1,5 milyonu Alman vatandaşıdır. Ayrıca Türkler, Almanya’da kalış süresi ve diğer etnik kökenler bakımından diğerlerinden fazla sayıda olmasıyla farklılık göstermektedir” (İyî, 2021, s. 122). Bu zihinsel kestirme yollar bireysel algıyı şekillendirmekle birlikte toplumsal aidiyetin ve benlik algısının temeli olan kimlik kavramının inşasında belirleyici rol oynar. Ortadoğu’nun ve Batı’nın tanımlanması Hall’un inşacı temsil yaklaşım modeline uygun düşmektedir. Nitekim Hall bu yaklaşımı tanımlarken dilin; sosyal ve kamusal karakteri onayladığından söz etmiştir. Şey’lerin anlamı yoktur. İşaretler, kavramlar ve temsil sistemleri kullanılarak bu anlamı birey inşa eder (Hall, 2017, s. 36-37).

Toplumsal yapıda oluşan bu köklü demografik değişim, kaçınılmaz olarak sanata ve sinemaya da etki etmiştir. Kracauer’e göre, bir çağın tarihsel süreçte tuttuğu yer, o çağın kendisi hakkındaki yargularından öte yalın ve yüzeysel dışavurumlarının analiziyle belirlenebilir. Sinema, bu dışavurumların en önemlilerinden biridir, çünkü “film maddi dünyanın tamamını oyuna katar; tiyatro ve resmin ötesine geçerek, ilk defa, varolanı harekete geçirir” (Kracauer, 2015, s. 38). Sinemanın gelişini hissettirdiği süreç başta resim olmak üzere; yakından ilişkili olduğu, tiyatro, roman ve fotoğrafta kendisini gösteren avangard akımlarla paralel giden, mimesisin terk edilmesiyle başlanan süreçtir (Yaşartürk, 2013, s. 15).

McLuhan'ın belirttiği gibi, iletişim teknolojileri (sinema ve televizyon gibi) “dünyayı benzeri duyuların paylaşıldığı global bir köy” hâline getirerek toplumsal yapıyı kökten değiştirmiştir. Ona göre araç mesajın kendisidir, çünkü sinema toplumsal olaylardan beslenir (akt. Rigel vd., 2005, s. 9-48).

Hiçbir film, kurmaca dahi olsa gerçeklikten tamamen kopuk olamaz; içinde üretildiği toplumu ve zamanın ruhunu yansıtan bir ayna işlevi görür. Bununla birlikte dijital dünyadaki her kimlik kimi zaman gerçeği yansıtmamakta, insanı yanıltabilmektedir. Kişi, kendini olduğundan farklı biçimlerde gösterebilmektedir (Özdemir, 2020, s. 22).

Dijitalleşmeyle birlikte beyaz perdeden beyaz cama ya da ekrana kayan filmlerde yaratılan stereotiplere günümüzde de rastlanılmaktadır. Biçimsel olarak değişmiş bu anlatıların, içeriksel olarak eski Oryantalist kodlardan ne kadar ayrılabilirdiği tartışma konusudur. Dijitalleşen kültürle birlikte perdeden ekrana geçiş, gerçeğin yerini görüntünün alması sürecini hızlandırmıştır. Baudrillard'a göre modern çağda “gerçek, artık minyatürleştirilmiş hücrelerden, matrislerden ve hafızalardan türetilmektedir”. Artık kökeni veya gerçekliği olmayan bir “hipergerçeklik” söz konusudur. Dolayısıyla sinemadaki Oryantalist stereotipler, dijital ortamda da “gerçeğin yerini alan modeller” olarak varlığını sürdürmektedir (akt. Rigel vd., 2005, s. 211-214).

Türkçeye “kalıpyargılar” olarak geçmiş “stereotipler” filmlerde ve dizilerde sıkça karşılaşılan insan tipleridir. “Hatta stereotipler, medya metinleri ile karşılaşan bireylerin de anlamlandırma ve çözümlenme noktalarından biridir. Bu açıdan klişeler ve stereotiplerle düşünme biçiminin dışına çıkmak ve eleştirel bir bakış açısı geliştirmek için de aslında insan zihninin kestirme yollarını bilmek gerekir” (Yıldırım Becerikli, 2020, s. 31). Kimlik oluşturma sürecinde medya ve yeni medya en etkili faktörlerdendir. İnsanlar yayınlardan ve medya ürünlerinden etkilenmektedir. “Kimlik, bir taraftan farklılığın bir taraftan da aynılığın aktarılmasını sağlamaktadır. Bu da hem kişinin hem de nesnenin kimliğinin onu diğerlerinden ayıran kendine özgü niteliklerin bütünü ve onun diğerleriyle ortak zeminde olduğu alanlardaki benzerlikler üzerinden açıklanabildiği anlamını taşımaktadır. Bu yönüyle kavram, birliktelik ve ayrışma, aynı olma ve farklı olma düalizmini bünyesinde barındırmaktadır” (Kaya, 2021, s. 1405). Kimlikler belirli gruplara aidiyet hissi oluşturmaktadır. Kimlik bireyin “Ben kimim?” sorusuna verilen cevabıdır. Fakat kimlik yalnızca bireysel bir gerçeklik değildir, içinde yaşanan toplumsal yapı ve ötekiyle de kimlik tanımlanır. Connolly de (1995, s. 92) bir kimliğin toplumsal olarak kabul edilmiş bir dizi farklılıkla olan ilişkisi yoluyla oluşturulduğunu belirterek bu farklılıkların onun varlığı için yaşamsal önem taşıdığını vurgulamıştır.

Ulus devlet anlayışının bir sonucu olarak çok kültürlü bir sosyal yapıda olmayan toplumların kimlik bunalımı önemli değildir. Bu tür yapılar genel olarak ulus değerleri etrafında şekillenmişlerdir. Fakat postmodern denilen toplum yapılarında özellikle de küreselleşmeye bağlı olarak, önceki kuşaklardan farklı toplum yapıları ve kimlikler ortaya çıkmaktadır. Kimlik oluşumu bu çok kültürlü toplumlarda farklı gruplar, kendi göçmen anlatıları veya adaptasyon süreçlerine bağlı olarak kendi kimliklerini değiştirmektedir (Hattatoğlu & Yakushko, 2014, s. 27). Bu toplumsal ilişki ağının en geniş katmanlarından biri olan ulusal kimlik ise; ortak bir tarih, dil, kültür ve gelecek ideali etrafında birleşmiş toplulukların paylaştığı “biz” duygusunu temsil eder. Bauman'ın “kimlik” düşüncesi aidiyet krizinden ve bu krizin “olması gereken” ile “olan” arasındaki uçurumu kapatmak ve gerçeği bu düşünce tarafından oluşturulmuş standartlar seviyesine çekmek için tetiklediği çabadan doğmuştur. Bu, gerçeği zehabın suretinde yeniden yaratmaktır ifadesi, Ortadoğu'nun benimsediği kimlik üzerinden yorumlandığında, misyonerlerin ve diğer ulusların politikalarının baskısıyla kendisi için uygun gördüğü kimlik, “olması gereken” olarak yoruma açıktır. “Olan”ın ne olduğu ise tartışmaya açıktır (Bauman, 2022, s. 30). Ulusal kimlik, doğuştan gelen sabit bir veri olmaktan öte, semboller, anlatılar ve efsanelerle sürekli yeniden üretilen bir kurgudur. Bu noktada, Lippmann'ın bahsettiği (2020, s. 117) “stereotip” kavramı devreye girer.

Çünkü ulusal kimliğin sınırları, genellikle “bizim kim olduğumuz” kadar “onların (ötekinin) kim olduğu” üzerinden çizilir. Medya ve sinema, ürettiği stereotipler aracılığıyla “bizden olanı” ve “yabancı olanı” kodlayarak, izleyicinin zihnindeki ulusal kimlik şablonlarını pekiştirir. Dolayısıyla filmlerdeki tipler, basit birer kurgu karakter olmanın ötesinde, ulusal kimliğin sürdürülmesi ve “öteki”nin konumlandırılması için kullanılan kültürel araçlara dönüşmektedir (akt. Yaylagül, 2010, s. 140). Stereotiplerin belirli kimlikleri inşa sürecindeki temsiliyeti bir etkinlik alanı içerisinde dijital platformlarda dikkat çekerken film tüketim sürecindeki algıda belirginleşmektedir.

DİJİTAL PLATFORMLAR YOLUYLA FİLM TÜKETİMİ

Sinema, insanların bir araya geldiği, toplumsal yaşamın bulunduğu bir kamusal alandır. Yalnızca film izlenen mekân değil, toplumsal yaşamın kesiştiği bir kamusal alan olarak geçmişten bugüne değişime uğramıştır (Aksoy, 2026, s. 36). Ritzer’in “tüketim katedralleri” olarak söz ettiği şekilde, sinema salonları, alışveriş merkezleri ya da bugünkü ticaret merkezlerinin asma katlarını süsleyen, alt kata araçlarını park ederek yukarıda giyim, dekor ya da mutfak malzemelerini alan ardından hoşça zaman geçirdiği vakti kendini ödüllendiren yemek yiyerek ve film izleyerek gününü taçlandırılan insanlara hizmet eden ortamlar hâline gelmiştir. Postmodernlikle ilgili her şeyin iç içe geçişinde hem bir fırsat hem de tehlike olduğunu belirten Ritzer (2011, s. 258), bazı tüketim katedrallerinin iç içe geçmesi sonucunda yeniden büyüleyici hâle gelmişken ötekilerin (örneğin siber alışveriş merkezlerinin) bu iç içe geçme sayesinde mümkün olduğunun altını çizmiştir. Burada bir AVM sinemasında tüketilen içeriğe ait karakterlerin (Harry Potter, SüngerBob, Rafadan Tayfa vb.) aynı katta bulunan bir kırtasiye/kitap satış mağazasından alınan aynı figürlü bardağı ya da boyama kitabı, yine aynı kattaki yeme-içme yerinde çocuk menüsünde bulunan figürlü oyuncakı hatta bir alt katındaki çamaşır ya da giyim mağazasında yer alan figürlü tişört ya da pijaması örnek verilebilir. Benzer biçimde siber dünyaya yansımada da bu durum satın alınan “figür”ün yer aldığı objenin (kalem, cep telefonu kılıfı, çorap, biblo ya da neversim takımı) mağaza fark etmeksizin benzer kategorilerinin kullanıcı karşısına çıkıp “vitrin” alışverişine benzeyen bir tavır sergilemesinden oluşmaktadır. Alışveriş sitelerinde film karakterlerinin uzantısı gibi algılanan objelerle kurulu bir dünya yaratmaya yönelik pazarlama stratejileri sunulurken; film arşivlerinin siber dünyada her geçen gün yenilenmesi, çeşitlenmesi, güncellenmesi ve değişmesiyle birlikte izleyici rutin yaşamından uzaklaşarak ev konforunda film izleme alışkanlığı edinmekte, istediği ortamda, hızlı bir biçimde, arzuladığı süreçte ve kendi ayarlamasında (geri alarak, duraklatarak, altyazılı ya da dublaj özellikleriyle vb.) film tüketiminde bulunabilmektedir.

21. yüzyılda geleneksel yayıncılığın, dijital yayıncılığa kayması ve dijital yayın platformlarının yaygınlaşması insanların film izleme pratiklerini değiştirmiştir. Rıfat Erkek’in (2019, s. 123) yapmış olduğu araştırmaya göre “yeni medya teknolojilerinin birbiriyle yöndeşmesi, televizyon yayıncılığı, basın, fotoğraf, radyo, sinema gibi geleneksel medya araçlarını önemli bir biçimde değiştirmiştir”. Kitle iletişim araçlarının gelişimi, toplumların kendilerine ve “ötekine” bakışlarını dönüştürmüştür. İnsan eliyle oluşturulmuş, yeterince gelişmiş her yapının dünya kullanıcıyı kendi içine alma eğilimi gösterdiğine dikkat çekilir. Teknoloji, insan duyularından herhangi bir tanesini öne çıkarmaya zorlar, aynı anda öteki duyularla ya zayıflatılır ya da geçici olarak tümüyle ortadan kaldırılır. Yeterince ileri gidildiğinde de böylelikle insanoğlu “kendi makinesinin bir yaratığı hâline gelir” (Rigel, 2005, s. 26). Bu dijitalleşme süreci, küreselleşen dünyada sinemayı ulusal sınırların ötesine taşıyarak küresel bir kültür endüstrisinin parçası hâline getirmiştir.

“Her ne kadar Netflix’in Türkiye merkezli içerik üretiminde temel motivasyonu ticari kazanç elde etmek olsa da bu içerikler aynı zamanda Türkiye’yi ve Türk toplumunu uluslararası düzeyde temsil eden kültürel araçlara dönüştürdüğü için dijital platformlar üzerinden yürütülen kültürel üretim süreçleri, günümüzün dönüşen diplomasi pratikleri bağlamında ‘dijital kültür diplomasisi’ olarak tanımlanmakta; ulusların, toplumsal grupların ve ideolojik yapıların küresel düzeyde temsili için yeni bir mecra sunmaktadır” (Toy, 2025, s. 213).

EMPERYALİZM, POSTKOLONYALİZM VE POSTMODERNİZM

Oryantalizm ve postkolonyal tartışmalar çerçevesinde Batının yapmış olduğu modern kültür emperyalizmi günümüzde kitle iletişim araçları ve medya yoluyla yürütülmektedir. Bu çerçevede dijital platformlarda sunulan “hibrit kimlik” modellerinin aslında kültürel bir zenginleşme mi yoksa egemen ideolojiye eşdeyişle Batı normlarına eklenmiş bir asimilasyon süreci mi olduğu tartışılmaktadır. Emperyalizmin günümüzdeki yansıması medya ve medya araçlarıdır. Schiller kültür emperyalizmini özellikle medya boyutuyla ele almaktadır. Schiller kültürel ve ekonomik alanların birlikte hareket ettiğini savunmaktadır. Schiller’e göre (1993’ten akt. Yaylagül, 2020, s. 160) “medya, ekonomik işlevlerinin yanı sıra ideolojik bir araçtır ve toplumu manipüle ederek zihinleri yönlendirmekte ve topluma paketlenmiş bilinç sunmaktadır”.

Emperyalizm, iktidarın ya doğrudan fetih yoluyla ya da ucu sonucunda ilkinde benzer bir tahakküme çıkan biçimde, siyasal ve iktisadi nüfuz dolayısıyla kullanılması şeklinde nitelendirilmektedir. Bu iki tür de iktidarın yardımcı kurumlar ve ideolojiler yoluyla kullanılmasını gerektirir. “Sömürgecilik”, “emperyalizm” gibi kavramların aksine postkolonyalizm, bir yandan uluslararası adaleti sağlamaya yönelik siyasi ülkülere muhalefet eder; öte yandan da muhalefet ettiği bu ülkülere gönülden bağlıdır. Bir yandan hegemonyacı iktisadi emperyalizmin statükosuna, sömürgecilik tarihine ve emperyalizm tarihine karşı saldırıya geçer; öte yandan Marksizm ve feminizmin yolundan giderek, yeni kimyasal kimliklere ve olumlu siyasal konumlarla kurulan eylemci bağın varlığına işaret etmektedir (Young, 2016, s. 36, 78). Batıdaki temsil ve bilgiyle Batının maddi gücü arasındaki ilişkiye işaret eden ilk husus, postkolonyal teorinin genel anlamıyla en önemli ayaklarından biridir. Temsil yalnızca Batılı politikacıların Doğuya ilişkin konuşmalarıyla üretilmemekte, aynı zamanda akademik disiplin içerisinde üretilen metinleri de kapsayan bir şey olmaktadır. Bu bağlamda da postkolonyal teori geleneksel uluslararası ilişkiler ile sorunludur ve Doğu ile Batı arasındaki asimetric ilişkiden bu teorileri de sorumlu tutar. İkinci olarak postkolonyal teori, Doğu-Batı arasındaki asimetric ilişkinin oluşmasında, ulusal kimliklerin kurulmasında, göç olgusunda ve güvenlik algılarında merkezi bir rolü olduğuna inandığı ırk ve cinsiyeti analizin merkezine taşır. Temsil, ırk ve cinsiyet etrafında dönen analizleri yaparken postkolonyal teorinin sürekli hatırdaki tuttuğu şey ise, Batı ve Batı-dışı dünyanın arasındaki asimetric ilişkinin maddi zeminini oluşturan kültürel kapitalizmdir (Balci, 2019, s. 39-40). 20. yüzyıl eleştiri kuramı olarak postkolonyalizm, yaklaşık yüzyılın son döneminde sömürge sonrası duruma göndermede bulunarak ekonomi, psikoloji, sosyoloji, dil, din, kültür vb. bağlamlarda ortaya çıkan Batı odaklı sömürgeci dayatmalara, sınıflandırmalara ve yok saymalara bir başkaldırı olarak kendisini gösterir (Oğuz, 2019, s. 55). Azınlık ve çoğunluğun doğal varlıklar değil, inşa edilmiş kategoriler olduğunu belirten Chakrabarty de (2021, s. 191) söz konusu kavramların gündelik yaşamdaki anlamlarının istatistiksel olduğunu vurgulamış, sayısal üstünlüğün kendi başına çoğunluk olma statüsünün garantörü olmadığını dile getirmiştir. Oran ise (2014, s. 30), “Türkiye’de azınlık denilince, önce ‘resmî görüşe göre mi yoksa dünya standartlarına göre mi?’ sorusunu sormak gerek”tiğini belirtmişlerdir. Öte yandan Fanon’un (2023, s. 170) Hegel’in görüşlerini yorumladığı şu sözler de dikkat çeker: “İnsan yalnızca bir başkası kendisini tanısin diye ona kendini dayatmak istediği ölçüde insandır.

Öteki onu gerçekten tanımadığı sürece, eylemi her zaman ötekine yöneliktir. İnsanlık değeri ve gerçekliği bu ötekine, ötekinin kendisini tanımasına bağlıdır ki yaşamının anlamı da ötekinde yoğunlaşır”.

Kapitalizmin iki aşaması arasında, ekonominin daha önceki biçimlerinin, eski emek biçimleri ve emeğin geleneksel örgütsel kurum ve kavramlarını da içeren küresel ölçekte yeniden yapılandırılma sürecinde olduğu bir geçiş döneminden fazlası olarak postmodernizmi ele alan Jameson’a göre (2022, s. 436, 459), postmodern bireysel dillerin sonuncu ve en görünür olanları, bizzat göstergebilimsel kodun çıplak konuşlandırılması nedeniyle en görünür ve dramatik olanlarıdır.

Berger de (2018, s. 110) bazı eleştirmenlere göre postmodernizmin Amerikan kültür ve toplumuna etkileri olduğu ayrıca Amerikalıların bilincinin biçimlenmesinde büyük rol olduğuna değinerek, Jameson’ın ise postmodernizmin kapitalizmin son aşamasını yansıtan “kültürel bir hâkim” olduğunu, başkalarının da bu düşünüşe karşı çıkıldığını ifade etmiştir.

YÖNTEM

Metin çözümlerinde, özellikle anlam ve tümce yapılarına ilişkin olan çözümlenme yöntemlerinde, metni tümüyle tüketme hem kendi içinde hem de kendi dışında çözümlenme yöntemidir (İnceoğlu ve Çomak, 2009, s. 19). Bir metin çözümlenirken onun neye ait olduğu, nasıl bir görüşte yapılandığı, içeriğinde neler kullanıldığı, görseliyle işitsel bölümlerinin uyumu göstergebilimsel çözümlenme yöntemiyle açıklanabilmektedir. Bu bağlamda çalışmada kullanılan göstergebilimsel çözümlenme modeli Roland Barthes’ın okumalarından hareketle anlam kazanmaktadır. Gösteren ve gösterilen kavramlarından oluşan gösterge örüntüsü ile anlamın katman yapıları incelenirken mit kavramıyla öykülerin yeniden inşası sürecine odaklanılmaktadır. Tüm bu çerçevede ideoloji yan anlamda işlenirken yeniden üretim mekanizması mit yapılarıyla ilişki kurmaktadır.

Göstergebilimin anlam sağlayıcı her türlü yapıda anlamın işleyişiyle anlamın oluşum ve düzenleniş biçimleriyle ilgilendiğine değinen Günay (2012, s. 19), anlam yaratan her gösterge grubunun aynı özellikte olmayacağını belirterek göstergenin kendisi ya da kodundan kaynaklanan özellikleri olacağını vurgulamıştır. Her göstergebilimsel söylemde olduğu gibi, görsel iletilerde de anlatım ve içerik düzlemi bulunmaktadır (İnceoğlu ve Çomak, 2009, s. 294). Saussure’ün görüşlerine dayanarak gösterenin anlatım, gösterilenin ise içerik olduğu kavranan göstergebilimsel çözümlenme modelinde Barthes’a göre izleyici fiziksel ve kültürel iletiyi aynı anlamda alımlamaktadır (akt. Günay, 2012, s. 24; Barthes, 1964, s. 42). Bu noktada ikonik göstergeler de evrende bulunan nesnelerin imge düzleminde dönüştürülmüş ve/veya yeniden oluşturulmuş biçimine karşılık gelerek çoğunlukla tanınan varlıklardan oluşmaktadır (İnceoğlu ve Çomak, 2009, s.300-302). Mitler de bu anlamlandırma sürecine yardım eder, çünkü mit bir anlamlandırma biçimidir. Sözle değil görsellerle de karşımıza çıkmaktadır (Barthes, 2014, s. 179). Böylelikle metni oluşturan göstergeler paradigması ve düzenleniş biçimleri göstergebilimin inceleme alanı içerisinde yerini almaktadır (Fiske, 2013, s. 121-130).

ARAŞTIRMA VE BULGULAR

“Evet, Hayır, Belki” filmi 2025 yılı Almanya yapımı Netflix’ten ulaşılan bir filmidir. Film, Türk-Alman coğrafya, kültür ve insanı üçgeninde kimlik ve göç konusunu romantik-komedi türünde işleyen, konuyu karakterlerin gözünden ele alan bir inceleme alanı sunmaktadır. Filmin orijinal adına bakıldığında “She Said Maybe” olduğu dikkat çekmektedir. Burada evlilik teklifi sonrası sıklıkla “she said yes!” kalıbı “maybe/belki” ile yer değiştirmiştir. Bu da teklife kadar olan sürecin çelişkili olduğunun bir göstergesidir. Film de evliliğe kadar olan süreci yansıtmaması bakımından filmin adına göndermede bulunarak Türkçe adıyla da tüm yanıtlara yer vererek karışık bir yapıda olduğunu belirtmiştir. Filmin künyesine ilişkin bilgiler şöyle sunulmuştur:

Tablo 1. “Evet, Hayır, Belki” Filminin Künyesi

Yönetmen	The Chau Ngo, Buket Alakus
Senarist	İpek Zübert
Başlıca Oyuncular	Beritan Balcı (Mavi Şimşek), Meral Perin (Yadigâr), Sinan Güleç (Can), Mehmet Ateşçi (Edo), Serkan Çayoğlu (Kent Wolf), Cansu Tosun (Leyla) Kerem Can (Güney) İlknur Boyraz (Aynur Şimşek) Alperen Şahin (Private Butler)
Yapım	CB Medya ve Dark Bay Eine O3 Medya Produktion
Türü	Romantik Komedi

Film, Hamburg, İstanbul ve Kapadokya ekseninde gelişen öyküsüyle, diaspora sinemasının sıkça başvurduğu “köklere dönüş” temasını yapıbozumuna uğratmaktadır. Ana karakter Mavi Şimşek, Almanya’da yetişmiş, Türk-Alman melezliğine (“hibrit”) sahip bir özne (melez kadın stereotipi) olarak karşımıza çıkar. Mavi, karakterin adı dolayısıyla bir renk olarak bilinse de çağrışımı deniziyle İstanbul’a aidiyetini vurgulamaktadır. “Mavi”yi renklerin en derin olanı şeklinde ele alan Ersoy da (2007, s. 452-453), “mavi” sözcüğünün Arapça kökenli olduğunu belirterek su rengi anlamına geldiğini açıklamıştır. Mavi ve benzer bir arkaplana sahip sevgilisi Can (melez erkek stereotipi), Homi Bhabha’nın “Üçüncü Alan” (Third Space) olarak tanımladığı, “ne tam olarak ‘oraya’ ne de tam olarak ‘buraya’ ait olan bir kültürel kodlama”yı temsil ederler (Bhabha, 2016, ss. 99-100). Mavi’nin İstanbul’a gelişi ve Bilgin Ailesi ile tanışması, karakterin yalnızca coğrafi değil, ontolojik bir yer -dolayısıyla düzen, yeni yaşam biçimi- değiştirmesine de neden olur. “Bilgin Hanedanı” olarak tasvir edilen aile, filmin evreninde Batılılaşmış, seküler ve ekonomik sermayesi yüksek bir sınıfı (burjuvazi/“Beyaz Türk”) temsil etse de; aile içi dinamikleri feodal bir hiyerarşiye dayanmaktadır. Babaanne Yadigâr Bilgin’in (“modern” görünümlü, taşralı, yaşlı, varlıklı kadın stereotipi), torununu bir bireyden öte “sürdürülebilirliğin teminatı” ve bir “vâris” olarak görmesi, Mavi’nin bireysel özgürlük alanı (Hamburg) ile kolektif aile mirası (İstanbul) arasında sıkışmasına yol açar. Varlıklı olma durumu bir gösterilen olarak mekânda yalı göstereninde, dev salonu, deniz manzarası, yüksek tavanlı ortama ilişkin mobilyalarıyla ev dekorasyonundaki yerini alırken; karakterde (Yadigâr) dolgun büyüklükteki takı (Batı/modern göstergesiyle inci takı, Doğu/geleneksel göstergesiyle altın takı) ve broşlarıyla, parlak sarı-altın ve bej tonlarındaki giysi gösterenine yedirilerek sunulmaktadır. Altın sarısı, “daha çok entelektüeller tarafından tercih edilmekte, insanların yönetmeye ve hükmetmeye olan ilgilerini göstermektedir” (Ersoy, 2007, s. 448). Mavi ve Can, ortama yeni ayak uydurmaya çalışan genç karakterler olarak duruşları meraklı ve mahcup biçimde ekrana yansır.



Görsel 1. Babaanne Yadigâr



Görsel 2. Mavi ve Can

Mavi ve Can, Hamburg'dan İstanbul'a geldiklerinde Yadigâr ile tanışır ve Mavi burada bir ailesi olduğunu öğrenir. Yaşamını kaybetmiş babasından sonra annesi de Yadigâr'dan torunu olduğunu gizlemiştir. Bu tanışmada Mavi ve Yadigâr duygusal bir kavuşmadan öte, daha çok iş birliği için anlaşmış iki şirket gibi birbirlerine tepki vermişlerdir. Yadigâr, şirketi için bir halef bulduğu için mutludur, Mavi de artık yalnız hissetmeyeceği için mutludur. Filmin 15. dakikasında Görsel 1'de ekrana yansıyan diyalog şöyle gelişir:

Yadigâr: “Mavi, ailenin geri kalanıyla tanışmaya ne dersin, eminim çok mutlu olurlar”.

Mavi: “Evet çok güzel olur”.

Yadigâr: “O zaman bir parti verelim, yarından sonra”.

Bu sahne filmin geri kalan kısmı için kilit noktayı oluşturmuştur. Türk dizi ya da film örneklerinde, partiler, düğünler ya da benzeri kamusal alanlar tanışma bölümü sonrası çatışmanın başlayacağını bir işarettir, klişedir. Film de bu klişeden beslenmiştir. Bilgin Ailesi bir yandan kendini Doğu'nun (geleneksel) karşısında konumlandırmış Batı'yı temsil ederken; öte yandan da Batılılaşmış (kendince “modern”) ve hibrit kimliğe sahip olmuş yerli/yöresel kimlikleri temsil etmektedir. Ancak Bilgin'ler kültür emperyalizmine uğramış, özünü, değerini, kimliğini ve aile yapısını kaybetmiş yozlaşmış bir grup olarak sunulmaktadır.



Görsel 3. Kuzen Edo ve Kuzen Leyla



Görsel 4. Kuzen Edo ve Mavi

Çırağan Sarayı sahnesi 19. dakikada Mavi ve kuzenleri Edo ve Leyla (havalı, modern görünümlü genç kadın ve erkek stereotipi) bir araya gelmektedir. Kuzeniyle yeni tanışan Mavi, Edo ve Leyla'nın akıcı Almanca konuşmasından dolayı şaşkındır. Mavi, “Almanca da gayet iyiymiş” demesine karşın Edo'nun “Almanca iyidir, görgü gereği canım” sözleri, Almanca ve Alman kültürüne olan bakışını gözler önüne sermektedir. “Almanca konuşmak görgü ise, Almanca konuşmayanlar görgüsüz sayılırlar” anlamına gelen bu sözler Bilgin ailesinin genel yapısını yansıtmaktadır. Söylenen sözler karşısında, söylenmeyenler daha önemlidir. Burada da ima kullanılarak Avrupaî imajlarında (gösteren bakımlı erkek ve kadın figürü; gösterilen “cool”/“havalı” olmak, ihtişam, şaşaa, gösteriş) sunulan karakterlere Batılı kimliği verilmiştir. Sahneler, Edo ve Leyla'nın Mavi'yi partiye hazırlama ve adapte etmeye çalışmasıyla sürdürülür. Burada yeni cemiyeti adına erillik/dişilik, yenilik, güzellik, kültür ve kahramanlık mitleri dikkat çekmektedir. Bu sahneler Türk filmlerindeki “köylü kadınların” “modern kadına” öykünme serüvenine bir göndermedir. Türk filmi klişesi burada da kendisini gösterir.



Görsel 5. Edo ve Mavi

Filmin 25. dakikasında kuzenler, Can ve Mavi gece kulübüne gitmiştir. Edo ve Mavi (Görsel 5) orada sohbet etmektedir. Edo, garsona Türk toplumunda kullanılan beden dili ile sipariş verir, Mavi ise Edo'nun sergilediği bu jest ve mimikler -beden dili- karşısında şaşırması anlayamamıştır, çünkü Mavi hibrit bir kimliktir. Karakter ne tam Alman olabilmıştır ne de tam Türk olabilmıştır. Türkiye'de yetişmediği için kendi toplumuna yabancılaşır. Aidiyetlik gösterileninde buradaki jest ve mimikler önemli göstergeler olmuştur. Sahnede söz yoktur, anlam beden diliyle üretilir ve bilenler adına anlam kazanır. Garson ve Edo'nun anlaşması (içki seçimi, değerlendirme ve teşekkür mimikleri) Mavi'yi geri plana iterek onu ötekileştirir. Olay örgüsü şu sözlerle gösterilir:

Mavi: “Bu da nedir böyle?”

Edo: “Bu bir nevi işaret dili, Türkiye'de iletişimin temel taşıdır, annen hiç Türk jest ve mimiklerini sana öğretmedi mi?” sözleri ile Mavi'yi kültürüne ait olamamasından dolayı kınamakta ve ötekileştirmektedir. Ulusal bir kimliğe sahip olmayan bir diğer hibrit kimlik Edo bu sözleriyle aslında karma kimliğe sahip insanların da kendi aralarında bir ortak kimliğe sahip olamamasına kanıt niteliğinde konuşmuştur. Bu nedenle ilerleyen sürede Mavi'ye Türk jest ve mimiklerinden örnekler göstererek onu eğitmiştir. Zira her toplum bir arada durabilmek için ortak değerler ve kodlara gereksinim duymaktadır. Bu yüzden akan süredeki sahnelerde “hayır, eh biraz işte (orta), ‘ne var lan/kaybol hadi’, gelsene, ödüm koptu!, ‘hey! bekleme yapma kardeş’, ‘nazar değmesin inşallah’, ‘buraya bak’ (küfür)” gibi ifadelerin jest ve mimikleri Edo tarafından Mavi'ye sunulur. Mavi ise belirsiz, bunları bilmemesine karşın mahcup ifadelerle Edo karşısında ezilir, ancak ilk kez karşılaştığı bu eğitim paketi sayesinde de güler eğlenir. Edo'nun “hadi dans edelim” sorusuna yanıt olarak Mavi “cık” diye gözünü kapatarak kafasını yukarı kaldırır. Edo'dan hemen öğrenmesi üzerine de “aferrin”i alır.



Görsel 6. Edo, Leyla, Can, Mavi ve Butler



Görsel 7. Edo ve Mavi

Filmin 27. dakikasına gelindiğinde partiye hazırlık süreci gündeme gelir (Görsel 6). “Akıl hocası” Edo'dan Türk geleneğinin jest ve mimiklerini öğrenen Mavi'nin toplum içinde ne giyerek nerede nasıl davranacağına ilişkin sahneler de burada gösterilir. Can ve Mavi burada Bilgin Ailesine eşdeyişle bir “kraliyet ailesi”ne uyum sağlayabilmek, aralarına girebilmek için kendilerine yeni bir dış görünüş ve yeni normlar inşa etmişlerdir. Edo bu sahnede “bu ikisine acilen yardım gerek, mucize burada gerçekleşecek” ifadeleriyle amacından söz etmiştir. Bilgin Ailesinin parti kurallarını Mavi'ye hazırlanması sırasında tek tek sıralamıştır (Görsel 7). Parti kuralları Edo tarafından şu şekilde aktarılır: “Parti günü için birinci kural kimseye güvenme, özellikle Güney'e; ikinci kural gülümse ve selamla; üçüncü kural fazla içki içme; dördüncü kural herkesin elini öp, bu çok önemli; beşinci kural kimseye güvenme, hiç kimseye, parti köpek balıklarıyla dolu”. Ailesi ile tanışmaya hazırlanan Mavi bu kurallar karşısında aileden çok bir oyuna hazırlanır gibi sunulmaktadır. Aile güven ve sevgiyle inşa edilen toplumun temel taşı olduğuna göre burada aile kavramı yıkılmış ve yeniden inşa edilmiştir. Hem Doğu hem Batı'nın değerleri -geleneksel ve modern aile ikilemi- gözetilerek oluşturulmuş bu kurallar ne Türk kimliğini yansıtmakta ne de Alman kimliğini temsil etmektedir. Partiyeye yalnızca yakın arkadaşlar ve ailenin geleceği ifade edilmesine karşın, Edo partinin “köpek balıklarıyla dolu olacağı” konusunda uyarır.

Burada “köpek balığı” metaforik bir anlam kazandırılan diğer insanlar için kullanılmış ve onlara vahşi, sinsisi, acımasız, kan emici şeklinde olumsuz anlamlar yüklenmiştir.



Görsel 8. Mavi ve Yedigâr



Görsel 9. Yedigâr el öpme sahnesi

Parti sahnesine gelindiğinde (30. dakika) Yedigâr ve Mavi “prenses” ilan edilen klişe sahnelerinde olduğu gibi Çırağan Sarayı'nın bahçesine inerler ve “halkı” benzer ifadeyle aile ve yakın dostlarını selamlarlar. Yedigâr, onlara doğru yaklaşan bahçıvanlarının ailesini göstererek “bu bahçıvanımız ve ailesi, çok çalışkan ve sâdıktırlar, böylesini severiz” sözleriyle bahçıvan ve ailesini Mavi'ye tanıtmıştır. Buna karşın; bahçıvan, Yedigâr'ın elini öpmüştür. Ve fakat saygı göstergesi olarak Türk kültüründe büyüklerin eli öpülmesine rağmen, Mavi, bahçıvanın eline doğru yeltendiğinde herkes şaşırır ve bahçıvan da geri çekilir. Bu sahnede yalnızca anlatılan saygı değil, Bilgin Ailesinin “Bilgin” olabilmesi için karşısında madunu göstermesidir. Bilgin Ailesi, Almanca bilen, varlıklı, hibrit ve “iyi” bir kimliği yansıtırken; bahçıvan, bunların tam karşısı olan özellikleri temsil ettiği için anlatıyı pekiştirmektedir. Aynı sahnede Mavi'ye bahçıvanın elini öpmesini uzaktan jest ve mimikleriyle işaret eden Edo'dur ve Mavi de Edo'ya güvenerek hamlesini yaptığı anda Edo yelpazesi ardına gizlenerek “beşinci kural olan kimseye güvenme”yi ona hatırlatır. Edo'ya güvenen Mavi burada saf durumuna ve komik konuma düşer. Yedigâr “çalışanlar bizlere saygılarını göstermek için elimizi öperler, ama biz öpmeyiz” cümlesini kurar ve bu cümleyi Almanca kurduğu için dili bilmeyen bahçıvan anlamaz. Dil anlam pratiğini bilen kişi üzerinden kazanır. Bu sırada arkadan Edo'nun kahkahası duyulmaktadır. Edo böylelikle partinin son kuralını uygulamalı biçimde Mavi'ye kanıtlamıştır. Partide ayrıca, çift merdivenli sarayın bahçesi kullanılırken Almanca ya da Türkçe değil uluslararası bir dil olan İngilizce “Welcome Mavi” yazısı dikkat çekmektedir. Kırmızı halı üzerinde salınan şık-zarif giysiler (göstereni omuz dekolteli kırmızı tuvalet giysi, dikkat çekicilik gösterileniyle Mavi karakteri üzerinden sunulur) kadınlar ve erkekler tarafından üzerlerinde sergilenerek güzellik, varlıklı olma durumu, erillik ve dişilik, iyilik ve kötülük mitleri sahnede yeniden üretilmiştir. Kırmızının çağlar boyu, iktidar, zenginlik ve güç göstergesi olduğunu belirten Gülşen de (2022, s. 38, 59) kırmızı ve kırmızı halının da Rönesans Dönemi'nden bu yana kraliyet/kraliyet statüsü ve kutsallıkla ilişkilendirilerek zenginlik göstergesi olduğunu vurgulamıştır. Sahnede ayrıca, güneşli hava ışığı dengelerken, çalışanlar, gazeteciler, hafif müzik, mekân ve deniz de mitleri destekleyici unsurlar olmuştur.



Görsel 10. Mavi



Görsel 11. Yedigâr'ın arkadaşları

Filmin 43. dakikasında bir zeytin sahnesi bulunur. Zeytin, topluluk içinde yenirken el ile yenilmesi uygun görülmemeyen, yuvarlak ve yağlı olması özelliğiyle çatala erişilmesi de zor bir besindir. Görgü kuralları gereğince çekirdeğinin çatala tabağa konulması sahnede konu edilmiştir. Saf, komik ve sakar olabilen ana karakter için oldukça riskli bir yiyecek karşısında durmaktadır. Mavi, babaannesi ve babaannesinin arkadaşlarıyla bir sofrada otururken görülür. Sahnede arkadaşlar kahve falıyla ilgilenmekte Mavi ise bu konulara uzak sunulmaktadır. Yedigâr ona açıklama yaparken Almanca konuşmaktadır, fakat arkadaşları yine “Öteki” konumundadır ve Türkçe konuşmaktadırlar. Mavi’nin söz konusu sahnede zeytin yediği görülür. Mavi, Bilginlerin âdetlerine hâkim olmadığı ve onlarla yetişmediği için basit bilgilerden dahi habersizdir, böylelikle “yeni”ce içlerine karıştığı kendi ailesinde de yabancı ve “Öteki” konumundadır. Yenilik miti, burada, yeni bir kültürü tanınması ve karşılaştıkları açısından Mavi için üretilirken; izleyiciye çoğu kez, onu saf duruma düşürdüğünden güldürü unsuru olarak sunulur. Yediği zeytin Mavi’nin boğazına kaçar ve öksürürken çekirdeği arkadaşlarının tabağına düşer, özür diler. Ardından yan masada oturan Butler’e dikkat kesilen Mavi yeniden zeytini eliyle ağzına atıp elini peçeteye sildikten sonra çekirdeğini Butler’in gösterdiği şekilde çatala çıkarır (Görsel 10). “Başardı” derken kolu kayar ve bu kez de yanlışlıkla çekirdek kadının üzerine fırlamıştır (Görsel 11). Bu olay üzerine Yedigâr Türkçe konuşmaya başlar: “Ne beklediniz, bizden uzakta büyüyünce işte...” sözlerini kullanır. Bu sözler ile Mavi “Öteki” konuma getirilir ve bu da buraya kadarki bahsedilen gerçekleri destekler niteliktedir. Yedigâr “böyle bir annenin yanında büyüdüğü için, böyle oluyor” derken, aslında söylenmeyeniyle “bizimle büyüse böyle olmazdı”yı vurgulamaktadır.

Sonraki sahnede Mavi annesini arar, durumu ona anlatır ve filmde 45. dakikaya gelindiğinde Mavi’nin annesi Aynur “yapma Mavi, sen çok farklı bir ortamda yetiştin, kendin gibi ol” der. Mavi bunu keserek söze girer: “Kendim gibi mi, kendim gibi olamam, bilmediğim kültürel bir şey çıkıyor nasıl bir his sence? Kendimi Alman gibi hissediyorum” demektedir. Burada Mavi ile aynı kimliğe sahip annesi (Aynur) onu kendisi olması için telkin ederek aslında olduğu kimliği benimsemesini söyler, fakat Mavi ne Türk kimliğine ne de Alman kimliğine sahiptir, zaten bu nedenle kendisi gibi olmak istemez. Kendi sözleri ile vurguladığı gerçek, arada kalmışlığın ifade edilmesidir. Kendini Alman gibi hissetmesi normal, orada büyümüştür, fakat aslında iki tarafa da uyum sağlayamayan hibrit bir kimliktir. Tüm bu yaşadıkları da bunun bir göstergesidir. Yaşadıkları ikircikli, çelişkili ilişkiler, belirsiz ve/veya flu olan kurallar karşısındaki şaşkınlıkları da postmodernizmin kendisine dayattıklarıdır.

TARTIŞMA VE SONUÇ

Kimlik yapıları ve kimlik inşa etme süreçleri, içinde bulunulan toplumsal yapı ve kültür donatılarıyla doğrudan ilişkilidir (Öcal, 2022, s. 20). “Evet, Hayır, Belki” yalnızca film olarak değerlendirilmemelidir. Türkiye’yi dış dünyaya tanıtan unsurların yanında, kimlik mücadelesi, kültürel farklılıklar, aşk ve aile yaşantısındaki çıkar çatışmaları ve beklentiler üzerine de kurgulandığı görülür. Buna ek olarak filmdeki diyaloglar, söylem, stereotipler, mekân ve nesne kullanımları ya da göstergeler yeniden anlam üretme aracı olarak kullanılmıştır. Yaşamın doğal akışı gibi gösterilen fakat bu akışa ters düşen anlatı, ütopyik bir evren yaratmakta ve medyatik bağlamda bir algı aracı olarak kullanılmaktadır. Doğu’nun gözünden Batı “iyi” ve Batı’nın gözünden Doğu’nun “kötü” gösterilmesi doğrultusunda günümüz enformasyon çağına güç savaşlarının kapsamlı bir örneğini oluşturmaktadır. Bu noktada iyilik ve kötülük mitleri, kültürel farklılık üzerinden çatışırken; göstergelerle kimi sahnelerde ikonik kimi sahnelerde klişeler yoluyla yeniden üretilir. Türk kimliğine ilişkin geleneksel kodlardan yararlandığı hamam, mantı, kahve falı sahneleriyle birlikte Almanya doğumlu olduğu bilinen Tarkan şarkısına da (sözleri Sezen Aksu’ya ait olan “Şımarık”) final sahnesinde yer verilir. Hall’a göre de varolan varlığını temsil etmemektedir. İzleyici ona görünen, olan üzerine anlamlar inşa ederek bir temsil modeli belirlemektedir.

Hall, kimliği ele alırken, onu Batı modernitesinin standardize ettiği biçimde, “tamamlanmış” bir varlık kipi (“being”) değil, her zaman için “oluş” (“becoming”) içerisinde bulunan bir “süreci” imlediğini kaydetmiştir (Hall, 1990, s. 225). Chambers’a göre (2005, s. 37) temsil ise hem başkasının adına konuşmak hem de başkasına vekâlet etmekle eşdeğerdir. Çalışmayla birlikte Netflix platformundaki “Evet, Hayır, Belki” filmi merkeze alınarak yapılan inceleme gösterir ki; söz konusu yapım, rastgele çekilmiş sahnelerden oluşan basit bir romantik komedi türü değildir. Aksine, her bir karesi, diyalogu ve karakter kurgusuyla Batı’nın Doğu’ya bakışını yeniden üreten ve izleyicinin bilinçaltına “paketlenmiş mesajlar sunan” ideolojik bir araçtır. Ulusal kimliğin ve göçmenliğin dijital çağda nasıl kurgulandığını, Batı’nın (Almanya), Doğu kimliğine nasıl etki ettiğini sorgulamaktır.

Filmdeki “Bilgin Ailesi”, kültürel bir zenginliği değil, öz değerlerinden kopmuş ve yozlaşmış bir “hibrit kimlik” modelini temsil etmektedir. Sadakatini sevdiğini söylemesine karşın, kendi bahçivanına “öteki” muamelesi yapan, torunuyla duygusal bağ kurmak yerine onu bir “şirket vârisi” gibi (Kapadokya macerası sonrası olaylar çözümlenirken) gören ve Batılı normları (Almanca konuşmayı, el öpmemeyi vb.) bir “görgü” ölçütü sayan yapı; aslında Batı’nın görmek istediği “ehlileştirilmiş Doğu”yu temsil etmektedir. Said de (2013, s. 49) Balfour ve Cromer gibi Şarklının mantıksız, ahlâksız, çocuksu ve farklı olduğunu; buna karşılık Avrupalının ise akli başında, erdemli, olgun ve “normal” olduğu yönündeki yayılan bilginin yanlış olduğu görüşlerini doğrulamıştır. Mavi karakterinin yaşadığı sıkışmışlık ve finalde kendini “Alman gibi hissetmesi”, filmin sunduğu çözümün bir uyum değil, karakterin kimlik katmanının derinliğine göndermede bulunarak onun asimile yolculuğunu kanıtlar niteliktedir. Senaryo ya da film sahneleri, bilinçli bir biçimde oluşturulmuş, bir anlam yaratma doğrultusunda inşa edilmiş ve bir amaca hizmet eden yapıtlardır. Senaryoda kullanılan her bir sözcük ve cümle bir bütünün parçasıdır ve o bütüne hizmet etmektedir. Anamlar ise “Evet, Hayır, Belki” filminde yalnızca Almanya ve Türkiye arasındaki yapıyı Batı gözünden anlatmamıştır, ayrıca Batı toplumlarının Doğu toplumlarını gördüğü ya da olmasını istediği şekilde yansıtmıştır. Bu üretilen yeni kimlik Batı elinde kurulmuştur, Doğu negatif olarak yansıtılmış ve yine Doğu ülkelerine pazarlanmıştır. İzleyicinin aklında oluşturmayı hedeflediği “gelişmek için Batı’ya öykünme gereksinimi” yine Doğu’nun kaynakları kullanılarak, Doğu karşıt gösterilerek ve Batı çıkarları gözetilerek oluşturulmuştur. İstenilen toplumun inşası noktasında duygu yönetiminde bulunularak izleyici kendi kimliğini yeniden inşa etmektedir. Kişi kendini Batı’nın gözünde olmasını istediği konuma itmektir. Geçmişte silahlar ile yapılan mücadele, bugün enformasyon, duygu ve bilinç yönetimine yerini bırakmıştır. Dijital platformların yaygınlaşmasıyla birlikte kültür emperyalizmi de boyut değiştirmiştir. Materyaller fizikî değil, dijitaldir; algılar, duygular ve “imajlar” üzerinden yürütülen bir güç (“yumuşak güç”) mücadelesi söz konusudur. Bu film örneğinde görüldüğü üzere, Netflix gibi platformlar ulusal kimlikleri küresel pazarın isteklerine göre yeniden inşa etmekte; Doğu toplumlarına, kendi kaynakları kullanılarak yine “Batı’ya öykünme” gereksinimi pazarlanmaktadır.

Dijital çağda sunulan bu içerikler masum birer eğlence aracı olarak görülmemelidir. “Evet, Hayır, Belki”, yüzeysel anlatıda iki kültür arasında sıkışmış bir aşk hikâyesi anlatıyor gibi görünse de derin anlamında Doğu’nun kendi kimliğine yabancılaşmasını ve Batı normlarını “olması gereken” tek gerçeklik olarak kabul etmesine dikkat çekmektedir. Benzer bir ifadeyle, film Batı’nın Doğu’ya bakışını ve Doğu’nun kendine bakışını içerisinde barındırır. İzleyiciye sunulan içerik, göstergesel bütünlüğü ele alındığında, kültürel bir sentezle ikili karşıtlık üzerinden kapitalist ideolojinin onayıyla kurgulanmış yapay bir kimlik inşasıdır. Ana karakter olan hibrit kimliğin (Mavi), film içerisinde ilerleyen öğrenme sürecindeki imaj ve davranış değişimleri de bunları örnekler niteliktedir.

KAYNAKLAR

- Aksoy, T. (2026). "Sinema, salonlar ve sokaklar". Milliyet Sanat, 802/Şubat: 36-37.
- Bade, K. (1994). Das manifest der 60: Deutschland und die einwanderung. München Verlag C.H.Beck.
- Balcı, A. (2019). Ordadoğu ve postkolonyalizm. (2. Baskı). İstanbul: Pınar Yayınları.
- Barthes, R. (1964). Rhetorique de l'image". Paris: Communications.
- Barthes, R. (2014). Çağdaş söylenler (Çev: T. Yücel). İstanbul: Metis Yayınları.
- Bauman, Z. (2016). Postmodern etik. (Çev: A. Türker). (3. Baskı). İstanbul: Ayrıntı Yayınları.
- Bauman, Z. (2022). Kimlik. (Çev: M. Hazır). (6. Baskı). Ankara: Heretik Yayınları.
- Berger, A. A. (2018). Medya çözümleme teknikleri. (Çev: N. Pembecioğlu). (5. Basım). Ankara: Nobel Yayıncılık.
- Bhabha, H. (2016). Kültürel konumlanış (Çev: T. Uluç). İstanbul: İnsan Yayınları.
- Bora, Aksu (1997). "Kamusal alan/Özel alan: Mahrumiyet-özgürleşme ikileminin ötesi". Toplum ve Bilim, 75/Kış: 85-93.
- Chakrabarty, D. (2021). Avrupa'yı taşralaştırmak: Postkolonyal düşünce ve tarihsel farklılık. (Çev: İ. Cörüt). İstanbul: Dergâh Yayınları.
- Chambers, I. (2005). Göç, kültür, kimlik. (Çev: İ. T. Beşikçi). İstanbul: Ayrıntı Yayınları.
- Connolly, W. E. (1995). Kimlik ve farklılık: Siyasetin açmazlarına dair demokratik çözüm önerileri. (Çev:F. Lekesizalın). İstanbul: Ayrıntı Yayınları.
- Erkek, R. (2019). "Yeni medya teknolojilerinin film endüstrisine etkileri: Netflix örneği". Yüksek Lisans Tezi, İstanbul Üniversitesi Sosyal Bilimler Enstitüsü, İstanbul.
- Erkılıç, H. (2016). "Dijital sinema: Yapım pratiği ve kuramsal tartışmalar üzerine". (Edit: R. Şentürk). içinde Dijital sinema kuramdan tekniğe. İstanbul: İnsan Yayınları.
- Ersoy, N. (2007). Semboller ve yorumları. (3. Baskı). İstanbul: Dönence.
- Fanon, F. (2023). Siyah deri beyaz maskeler. (Çev: O. Türkay). İstanbul: Metis Yayınları.
- Fiske, J. (2015). İletişim çalışmalarına giriş. (Çev: S. İrvan). Ankara: Pharmakon Yayınları.
- Gülşen, P. (2022). Renkler: Tarih, kültür, sanat, psikoloji. (3. Baskı). İstanbul: Destek Yayınları.
- Günay, D. (2012). "Görsel göstergebilim ve imgenin anlamlandırılması". (Edit: V. D. Günay ve A. F. Parsa). içinde Görsel göstergebilim: İmgenin anlamlandırılması. 11-54. İstanbul: Es Yayınları.
- Hall, S. (1990). Cultural identity and diaspora. (Edit: J. Rutherford). içinde Identity: Community, culture and difference. London: Lawrence and Wishart Pub.
- Hall, S. (2017). Kültürel temsiller ve anlamlandırma uygulamaları. (Çev: İ. Dündar). İstanbul: Pinhan Yayıncılık.
- Hattatoğlu, P. ve Yakushko, O. (2014). Experiencing the formation of hybrid cultural identities in first-generation Turkish immigrants to the United States. Journal of Identity and Migration Studies, 8(1), 27-46.
- İnceoğlu, Y. G. ve Çomak, N. A. (2009). Metin çözümlenmeleri. İstanbul: Ayrıntı Yayınları.
- İyi, M. M. (2021). Almanya'daki Türklerin 60 yılının akademik çalışmalara yansımaları: Değişen ilgi alanları, dönüşen yaklaşımlar ve araştırılması gereken konular. Turkish Journal of Diaspora Studies, 1(2), 121-156.
- Jameson, F. (2022). Postmodernizm ya da geç kapitalizmin kültürel mantığı. (Çev: C. Gönenç). İstanbul: Alfa.
- Kaya, S. (2021). "Sosyal medya kullanıcılarının dijital kimlik inşası sürecinde kültürel faaliyet ve sanat ile ilgili paylaşımlarının rolü". The Turkish Online Journal of Design Art and Communication, 11(4), 1403-1419.
- Kracauer, S. (2015). Film teorisi (Çev: Ö. Çelik). İstanbul: Metis Yayınları.

- Lippmann, W. (2020). Kamuoyu. (Çev: O. D. Yılmaz). İstanbul: Kabalcı Yayınevi.
- Netflix Online Video İzleme Platformu. (2026). [“Evet, Hayır, Belki” Filmi]. <https://www.netflix.com/search?q=evet&jbv=81620086>.
- Oğuz, A. (2019). Feminizm, postkolonyal feminizm ve toplumsal cinsiyet: Buchi Emecheta'nın the bride price adlı romanı. İstanbul: Çizgi Kitabevi.
- Oran, B. (2014). “Azınlıklar nasıl azınlık oldu”. (Edit: Y. İnceoğlu ve S. Çoban). içinde Azınlıklar, Ötekiler ve Medya. 17-49. İstanbul: Ayrıntı.
- Öcal, D. (2022). “Kültürlerarasılık: Kavramsal ve kuramsal bir yaklaşım”. (Edit: İ. Özdemir ve S. Yetkin Işık). içinde Kültürlerarası İletişim. 13-36. Ankara: Siyasal Kitabevi.
- Özdemir, H. (2020). Dijital mahremiyet: Özel hayatınız ne kadar gizli? (2. Baskı). İstanbul: İnsan ve Hayat Kitaplığı.
- Rigel, N., Batuş, G., Yücedoğan, G. ve Çoban, B. (2005). Kadife karanlık: 21. yüzyıl iletişim çağını aydınlatan kuramcılar. (2. Baskı). İstanbul: Su Yayınevi.
- Ritzer, G. (2011). Büyüsü bozulmuş dünyayı büyülemek. (Çev: Ş. Süer Kaya). (2. Baskı). İstanbul: Ayrıntı Yayınları.
- Said, E. (2013). Şarkiyatçılık: Batı'nın Şark anlayışları. (Çev: B. Ülner). (7. Basım). İstanbul: Metis Yayınları.
- Şentürk, R. (2016). Müzik ve kimlik. İstanbul: Küre Yayınları.
- Toy, M. E. (2025). Netflix orijinal Türk dizilerinin dijital kültür diplomasisi bağlamında uluslararası öğrenciler tarafından alınması üzerine bir araştırma. İletişim ve Toplum Araştırmaları Dergisi, 5(1), 189-214.
- Yaşartürk, G. (2013). Ve sinema: Resim, tiyatro, müzik, edebiyat, mimari, fotoğraf, felsefe, psikanaliz, sosyoloji, tarih, çağdaş sanatlar ve Türk Sineması. 15-30. İstanbul: Doruk Yayınları.
- Yaylagül, L. (2010). Kitle iletişim kuramları: Egemen ve eleştirel yaklaşımlar. Ankara: Dipnot Yayınları.
- Yıldırım Becerikli, S. (2020). “Akademik değerlendirmeler”. (Edit: O. D. Yılmaz). içinde Walter Lippmann Kamuoyu. İstanbul: Kabalcı Yayınevi.
- Young, R. J. (2016). Postkolonyalizm: Tarihsel bir giriş. (Çev: B. Toksabay Köprülü ve S. Şen). İstanbul: Matbu Kitap.

**THE REPRESENTATION OF MODERN SCIENCE IN POPULAR SCIENCE
JOURNALISM: AN ANALYSIS OF ARTIFICIAL INTELLIGENCE NEWS**

Sergün KURTOĞLU

Assoc. Prof. Dr., Istanbul University, Faculty of Communication, Public Relations and
Publicity, Istanbul, Turkiye

ORCID ID: 0000-0002-5109-9931

ABSTRACT

This study examines how artificial intelligence is represented in popular science journalism at the level of headlines and subheadings. It aims to reveal which evaluative criteria are foregrounded in AI news, within which frames the issue is presented, and how AI is constructed as a subject. For this purpose, the study draws on priming and framing approaches and employs a conventional qualitative content analysis in which categories are derived directly from the data through headlines and subheadings. The sample consists of 23 artificial intelligence-focused news items published in Scientific American's online news stream between February 15 and March 15, 2026. The news items were evaluated in terms of their headlines and subheadings, priming criteria, dominant and secondary framing structures, rational-emotional tone, and the mode through which AI was constituted as a subject.

The findings show that AI news most frequently directs readers to evaluate artificial intelligence through the axes of performance and functionality, trust and ethics, and institutional-social transformation. At the framing level, AI is constructed primarily in terms of trust/bias, human-AI partnership, progress/innovation, and institutional transformation. At the level of headlines, the most visible cluster is human-AI partnership and practical support, followed by scientific/technical innovation, risk-trust-ethics issues, and institutional-social transformation. In addition, AI appears in most news items not as a neutral technical tool, but predominantly as a supportive/assisting subject and, in some cases, as a risky/problematic or autonomous/active one. The coexistence of rational and emotional tones further demonstrates that AI is presented not only as a scientific development but also as a public issue that generates anxiety, hope, curiosity, and unease. Overall, the study shows that headlines and subheadings are not merely short texts that introduce AI; they are condensed sites of meaning production that shape how AI is understood and according to which criteria it is evaluated.

Keywords: Artificial intelligence, popular science journalism, framing, priming, science communication

MATCHA TEA AND ITS EFFECTS ON HEALTH

İmannur ÇAÇA

Bezmialem Vakıf Üniversitesi, Sağlık Bilimleri Fakültesi, Beslenme ve Diyetetik Bölümü
Bezmialem Vakıf University, Faculty of Health Sciences, Department of Nutrition and
Dietetics

ORCID ID: 0009-0002-0924-0820

Beyza MENDEŞ

Dr. Öğr. Üyesi, Bezmialem Vakıf Üniversitesi, Sağlık Bilimleri Fakültesi, Beslenme ve
Diyetetik Bölümü

Asst. Prof. Dr., Bezmialem Vakıf University, Faculty of Health Sciences, Department of
Nutrition and Dietetics

ORCID ID: 0000-0002-4182-1273

ABSTRACT

In recent years, increasing interest in functional foods has led to a growing number of scientific studies focusing on the health effects of foods rich in bioactive compounds. In this context, matcha tea, an important component of traditional Japanese tea culture, has attracted considerable attention due to its dense nutritional profile and potential physiological benefits. Matcha tea is a special type of green tea obtained from the young leaves of *Camellia sinensis*, and unlike conventional green tea, the entire leaf is consumed in powdered form. Shading and specialized processing techniques applied during production result in a rich composition of chlorophyll, catechins, L-theanine, caffeine, vitamins, and minerals. The aim of this review is to evaluate the chemical composition of matcha tea and its effects on health in light of current scientific literature. Existing studies indicate that matcha tea exhibits strong antioxidant and anti-inflammatory properties, mainly due to its high content of epigallocatechin gallate (EGCG). The synergistic interaction between EGCG and caffeine has been reported to increase metabolic rate, enhance fat oxidation, and positively influence body composition. Furthermore, the combination of L-theanine and caffeine in matcha tea is associated with improved mental focus and a balanced stimulatory effect on cognitive performance. Evidence also suggests that matcha tea may contribute to glycemic control by improving insulin sensitivity and modulating gut microbiota, leading to increased production of short-chain fatty acids. In addition, its rich polyphenol and catechin content may support cardiovascular health by reducing lipid oxidation and improving endothelial function. In conclusion, matcha tea can be considered a functional beverage with the potential to provide multifaceted health benefits when consumed in moderation. However, further long-term, large-scale randomized controlled human studies are required to clearly elucidate these effects.

Keywords: Matcha tea, green tea, catechins, EGCG, functional foods

MATCHA ÇAYI VE SAĞLIK ÜZERİNE ETKİLERİ

ÖZET

Son yıllarda fonksiyonel gıdalara olan ilginin artmasıyla birlikte, biyoaktif bileşenler açısından zengin bitkisel ürünlerin sağlık üzerindeki etkileri bilimsel araştırmaların odağı haline gelmiştir. Bu bağlamda, geleneksel Japon çay kültürünün önemli bir parçası olan matcha çayı, sahip olduğu yoğun besin içeriği ve potansiyel fizyolojik etkileri nedeniyle dikkat çekmektedir. Matcha çayı, *Camellia sinensis* bitkisinin genç yapraklarından elde edilen ve yaprağın tamamının toz halinde tüketildiği özel bir yeşil çay türüdür.

Üretim sürecinde uygulanan gölgeleme ve özel işleme teknikleri sayesinde klorofil, kateşinler, L-teanin, kafein, vitaminler ve mineraller bakımından zengin bir bileşime sahiptir. Literatürde yer alan çalışmalar, matcha çayının yüksek epigallokateşin gallat (EGCG) içeriği sayesinde güçlü antioksidan ve antiinflamatuvar özellikler gösterdiğini ortaya koymaktadır. EGCG ve kafeinin sinerjik etkisiyle metabolik hızın artması, yağ oksidasyonunun desteklenmesi ve vücut kompozisyonu üzerinde olumlu etkiler sağlanabileceği bildirilmektedir. Ayrıca matcha çayında bulunan L-teanin ve kafein kombinasyonunun, zihinsel odaklanmayı artırdığı ve bilişsel performans üzerinde dengeli bir uyarıcı etki oluşturduğu bildirilmektedir. Matcha çayının kan şekeri dengesi üzerine etkilerinin, insülin duyarlılığının iyileştirilmesi ve bağırsak mikrobiyotası aracılığıyla kısa zincirli yağ asidi üretiminin artırılmasıyla ilişkili olabileceği öne sürülmektedir. Bunun yanı sıra, içerdiği polifenoller ve kateşinler sayesinde lipid oksidasyonunun azaltılması ve endotel fonksiyonlarının desteklenmesi yoluyla kardiyovasküler sağlık üzerinde de olumlu etkiler gösterebileceği ifade edilmektedir. Sonuç olarak, matcha çayı çok yönlü biyolojik etkileri sayesinde sağlık üzerinde destekleyici potansiyele sahip fonksiyonel bir içecek olarak değerlendirilmektedir. Bununla birlikte, bu etkilerin daha net ortaya konabilmesi için uzun süreli ve geniş örneklemleri randomize kontrollü insan çalışmalarına ihtiyaç duyulmaktadır. Bu derleme çalışmasının amacı, matcha çayının kimyasal bileşimi ile sağlık üzerindeki etkilerini güncel bilimsel literatür ışığında değerlendirecektir.

Anahtar Kelimeler: Matcha çayı, yeşil çay, kateşinler, EGCG, fonksiyonel gıdalar

**COMPARATIVE PERFORMANCE OF PEA, SOY, AND RICE PROTEIN ISOLATE-
ENRICHED HIGH-PROTEIN NOODLES: PHYSICOCHEMICAL, TEXTURAL, AND
SENSORY ASSESSMENT**

Cihat GÜNER

Dr., Erişler Gıda A.Ş., Research And Development Center
ORCID ID: 0000-0002-7935-4674

Yusuf ÇAKMAKÇI

Erişler Gıda A.Ş., Research And Development Center
ORCID ID: 0000-0002-5136-9102

Hakan BAŞDOĞAN

Dr., Erişler Gıda A.Ş., Research And Development Center
ORCID ID: 0000-0001-9332-4618

ABSTRACT

This study comparatively evaluated the effects of pea, soy, and rice protein isolates ($\approx 80\%$ protein content) on the quality characteristics of high-protein noodle systems. Each plant protein source was incorporated into wheat flour-based noodle formulations and compared with a control sample. The objective was to investigate how different plant protein isolates interact with the gluten matrix and how these interactions influence technological and sensory performance.

Physicochemical analyses included moisture content, water absorption, cooking loss, oil retention capacity, and color parameters (CIE Lab*). Optimum cooking time and cooking yield were also determined. Textural properties were assessed using Texture Profile Analysis (TPA), including hardness, springiness, cohesiveness, and chewiness.

The results demonstrated that protein source significantly affected structural integrity and cooking performance of the noodles. Soy protein isolate contributed to improved structural firmness, whereas pea and rice proteins exhibited distinct influences on color stability and sensory attributes. Variations in surface appearance and chromatic properties were observed depending on the protein type.

Sensory evaluation was conducted with semi-trained panelists assessing mouthfeel, aroma, taste balance, and overall acceptability. Differences in flavor perception and texture acceptance were identified among the protein-enriched samples.

Overall, the findings indicate that plant protein source is a critical determinant of both technological functionality and sensory performance in high-protein cereal-based products. These results provide valuable insights for the development of nutritionally enhanced noodle formulations..

Keywords: Plant protein, Noodles, Protein isolate, Texture profile analysis, Cooking properties, Sensory evaluation.

**BEZELYE, SOYA VE PİRİNÇ PROTEİN İZOLATLARI İLE ZENGİNLEŞTİRİLMİŞ
YÜKSEK PROTEİNLİ NOODLE SİSTEMLERİNDE FİZİKOKİMYASAL,
TEKSTÜREL VE DUYUSAL PERFORMANSIN KARŞILAŞTIRMALI ANALİZİ**

ÖZET

Bu çalışmada yaklaşık %80 protein içeriğine sahip bezelye, soya ve pirinç protein izolatlarının yüksek proteinli noodle sistemlerinde kalite özellikleri üzerine etkileri karşılaştırmalı olarak değerlendirilmiştir.

Her protein kaynađı buđday unu bazlı noodle formülasyonuna belirli oranlarda ilave edilerek örnekler üretilmiş ve kontrol grubu ile karşılaştırılmıştır. Çalışmanın amacı, farklı bitkisel protein kaynaklarının gluten matriksi ile etkileşimini ve bunun ürün performansına yansımaları ortaya koymaktır.

Fizikokimyasal analizler kapsamında nem içeriđi, su absorpsiyonu, pişme kaybı, yağ tutma kapasitesi ve renk parametreleri (CIE Lab*) belirlenmiştir. Ayrıca optimum pişme süresi ve pişme verimi değerlendirilmiştir. Tekstürel özellikler Texture Profile Analysis (TPA) yöntemi ile incelenmiş; sertlik, elastikiyet, kohezivite ve çignenebilirlik parametreleri analiz edilmiştir. Sonuçlar, protein kaynađının noodle matriksinin yapısal bütünlüğü ve pişme performansı üzerinde belirleyici olduğunu göstermiştir. Soya protein izolatının daha yüksek yapısal dayanım sağladığı; bezelye ve pirinç proteinlerinin ise renk ve duyuşal özellikler üzerinde farklı etkiler oluşturduğu gözlenmiştir. Özellikle renk stabilitesi ve yüzey homojenliđi protein türüne bađlı olarak deđişim göstermiştir. Duyusal analiz yarı eğitimli panelistler ile gerçekleştirilmiş; ağız hissi, aroma, tat dengesi ve genel kabul edilebilirlik parametreleri değerlendirilmiştir. Protein kaynađına bađlı olarak lezzet algısı ve tekstürel kabul düzeylerinde farklılıklar belirlenmiştir. Bu bulgular, bitkisel protein kaynađının yüksek proteinli tahıl bazlı ürünlerin teknolojik ve duyuşal performansında kritik bir faktör olduğunu ortaya koymakta ve fonksiyonel noodle geliştirme çalışmalarına bilimsel katkı sağlamaktadır.

Anahtar Kelimeler: Bitkisel protein, Noodle, Protein izolatı, Tekstür analizi, Pişme özellikleri, Duyusal değerlendirme.

**EFFECT OF DIFFERENT TURMERIC FORMS ON THE TEXTURAL,
PHYSICOCHEMICAL, MOLECULAR, AND SENSORY PROPERTIES OF
GELATIN-BASED GUMMY CANDIES**

Serpil PEKDOĞAN GÖZTOK

Dr. Öğr. Üyesi, Siirt Üniversitesi, Teknik Bilimler Meslek Yüksekokul, Gıda İşleme, Siirt,
Türkiye.

Asst. Prof. Dr., Siirt University, Vocational School of Technical Sciences, Food Processing,
Siirt, Türkiye.

ORCID ID: 0000-0002-6589-1217

Cihat GÜNER

Dr., Karakuru Baharat, Research and Development Center

ORCID ID: 0000-0002-7935-4674

ABSTRACT

In this study, the effects of three different commercial forms of turmeric (powdered spice, oleoresin, and aroma extract) and a control (turmeric-free) on textural, physicochemical (dry matter, color, density), molecular (FT-IR), and sensory properties of gelatin-based gummy candies were comparatively investigated. All samples were prepared using a standard formulation containing sucrose–glucose syrup–gelatin and cooked until the sugar syrup reached 85 ± 1 °Brix. The aim of the study was to determine how changing only the form of turmeric influences the physicochemical, textural, molecular, and sensory properties of the gel matrix.

The textural properties of turmeric-containing gummy candies varied in hardness from 1398.14 to 1816.29 g, with the highest value observed in the spice-containing sample and the lowest in the oleoresin-containing sample ($p < 0.05$). Hardness and gumminess values of the spice-containing sample were significantly higher than those of other samples ($p < 0.05$). Springiness was highest in the oleoresin-containing sample (0.9550) and lowest in the spice-containing sample (0.8490). Cohesiveness ranged from 0.9353 to 0.9827, with the highest value observed in the control sample ($p < 0.05$). No significant differences were observed among groups in chewiness ($p > 0.05$). Resilience values ranged from 0.7218 to 0.8043, with the control sample exhibiting higher resilience compared to some other samples ($p < 0.05$).

The density of gummy candy samples varied between 1.1662 and 1.2889 g/mL, with no statistically significant differences among groups ($p > 0.05$). Different forms of turmeric had significant effects on the color properties of gummy candies. L^* values ranged from 15.10 to 21.79, with the highest brightness observed in spice-containing samples ($p < 0.05$). The lowest a^* value was observed in aroma-containing samples, while the control sample showed the highest value ($p < 0.05$). b^* and chroma values increased notably with the addition of turmeric, particularly in spice- and aroma-containing samples, indicating higher yellowness and color saturation ($p < 0.05$). No significant differences were observed in hue angle among groups ($p > 0.05$).

FT-IR analysis was performed in the 4000–600 cm^{-1} range. Bands at 3200–3400 cm^{-1} (hydrogen-bonded O–H/N–H stretching region) and 1600–1700 cm^{-1} (protein-derived amide I and/or aromatic C=C vibrations) were comparatively evaluated. Sensory analysis was conducted with semi-trained panelists, assessing color intensity, aroma perception, taste balance, texture acceptability, and overall acceptability. Overall trends indicated that the form of turmeric influenced aroma perception and texture acceptance differently.

In conclusion, the physical form of turmeric is an important variable affecting both textural and sensory properties of gummy candies.

This study provides scientific data highlighting the critical role of form selection in the incorporation of functional spice components into gel matrix systems.

Keywords: Turmeric, Gummy Candy, Oleoresin, FT-IR, Texture Analysis, Sensory Evaluation

ZERDEÇALIN FARKLI FORMLARININ JELATİN BAZLI JEL TİPİ ŞEKERLEMELERİN TEKSTÜR, FİZİKOKİMYASAL, MOLEKÜLER VE DUYUSAL ÖZELLİKLERİ ÜZERİNE ETKİSİ

ÖZET

Bu çalışmada, zerdeçalın üç farklı ticari formu (toz baharat, oleoresin ve aroma ekstraktı) ve kontrol (zerdeçal içermeyen) örnek olmak üzere toplam dört jel tipi şekerleme örneklerinin tekstür, fizikokimyasal (kuru madde, renk, yoğunluk), moleküler (FT-IR) ve duyuşsal özellikler açısından karşılaştırmalı olarak incelenmiştir. Tüm örnekler sakkaroz–glikoz şurubu–jelatin içeren standart bir formülasyon ile hazırlanmış ve şeker şurubu 85 ± 1 °Brix'e ulaşınca kadar kaynatılmıştır. Çalışmanın amacı, yalnızca zerdeçal formunun deęiştirilmesiyle jel matriksinin fizikokimyasal, tekstürel, moleküler ve duyuşsal özelliklerindeki deęişimlerin belirlenmesidir.

Zerdeçalın farklı formlarını içeren jel tipi şekerleme ürünlerinin tekstürel özellikleri incelendiğinde, sertlik deęerlerinin 1398,14–1816,29 g aralığında deęiştiięi, en yüksek deęerin baharat içeren örneklerde, en düşük deęerin ise oleoresin içeren örneklerde belirlendięi görülmüştür ($p < 0,05$). Baharat içeren örneklerin sertlik ve sakızimsılık deęerleri dięer örneklerle kıyasla daha yüksek bulunmuştur ($p < 0,05$). Esneklik deęerleri açısından en yüksek deęer oleoresin içeren örneklerde (0,9550), en düşük deęer ise baharat içeren örneklerde (0,8490) tespit edilmiştir. Kohezyon deęerleri 0,9353–0,9827 aralığında deęişmiş ve en yüksek deęer kontrol örneğinde belirlenmiştir ($p < 0,05$). Çiğnenebilirlik bakımından gruplar arasında istatistiksel olarak anlamlı bir fark saptanmamıştır ($p > 0,05$). Geri kazanım deęerleri ise 0,7218–0,8043 arasında deęişmiş ve kontrol grubunun bazı dięer örneklerle kıyasla daha yüksek geri kazanım deęerine sahip olduęu belirlenmiştir ($p < 0,05$).

Jel tipi şekerleme örneklerinin yoğunluk deęerleri 1,1662–1,2889 g/mL aralığında deęişmiş olup gruplar arasında istatistiksel olarak anlamlı bir fark belirlenmemiştir ($p > 0,05$). Zerdeçalın farklı formlarının jel tipi şekerleme örneklerinin renk özellikleri üzerinde önemli etkiler oluşturduęu belirlenmiştir. L^* deęerleri 15,10–21,79 aralığında deęişmiş ve en yüksek parlaklık deęeri baharat içeren örneklerde tespit edilmiştir ($p < 0,05$). a^* deęerleri açısından en düşük deęer aroma içeren örneklerde belirlenirken, kontrol örneęi en yüksek deęeri göstermiştir ($p < 0,05$). b^* ve kroma deęerleri zerdeçalın farklı formlarının ilavesiyle önemli düzeyde artmış, özellikle baharat ve aroma içeren örneklerde daha yüksek sarılık ve renk doygunluęu saptanmıştır ($p < 0,05$). Hue açısı bakımından ise gruplar arasında istatistiksel olarak anlamlı bir fark belirlenmemiştir ($p > 0,05$).

FTIR analizleri $4000\text{--}600\text{ cm}^{-1}$ dalga sayısı aralığında gerçekleştirilmiştir. Özellikle $3200\text{--}3400\text{ cm}^{-1}$ (hidrojen baęlanmış O–H/N–H gerilme bölgesi) ile $1600\text{--}1700\text{ cm}^{-1}$ aralındaki bantlar (protein kaynaklı amide I ve/veya aromatik C=C titreşimleri) karşılaştırmalı olarak deęerlendirilmiştir. Duyusal analiz yarı eęitimli panelistler ile gerçekleştirilmiş; renk yoğunluęu, aroma algısı, tat dengesi, tekstür uygunluęu ve genel kabul edilebilirlik parametreleri puanlanmıştır. Genel eęilim, zerdeçal formunun aroma algısı ve tekstür kabulü üzerinde farklı etkiler oluşturduęunu göstermiştir.

Sonuç olarak, zerdeçalın fiziksel formu jel tipi şekerleme örneklerinde hem tektürel hem de aduyusal özellikleri etkileyen önemli bir deęişken olarak ortaya çıkmaktadır. Bu çalışma, fonksiyonel baharat bileşenlerinin jel matriks sistemlerine entegrasyonunda form seçiminin kritik rolüne yönelik bilimsel veri sunmaktadır.

Anahtar Kelimeler: Zerdeçal, Jel tipi şekerleme, Oleoresin, FTIR, Tekstür Analizi, Duyusal Deęerlendirme.

FACTORS AFFECTING FAT AND FATTY ACID COMPOSITION IN CHICKEN MEAT

Atiye KAYNAK

Selçuk University, Institute of Health Sciences,
Department of Food Hygiene and Technology, Konya, Turkey
ORCID ID: 0009-0004-3038-9835

Suzan YALÇIN

Prof.Dr., Selçuk University, Faculty of Veterinary Medicine,
Department of Food Hygiene and Technology, Konya, Turkey
ORCID ID: 0000-0002-3937-6705

E. Ebru ONBAŞILAR

Prof.Dr., Ankara University, Faculty of Veterinary Medicine,
Department of Animal Husbandry, Ankara, Turkey
ORCID ID: 0000-0002-1321-0280

ABSTRACT

The lipid content and fatty acid profile of chicken meat are key factors influencing its nutritional quality, sensory attributes, and overall acceptability. Poultry meat is globally preferred due to its comparatively lower fat levels and more desirable fatty acid composition than red meat. Nevertheless, both the amount and type of fat present in chicken meat are affected by multiple variables such as genetic background, feeding strategies, management systems, and environmental influences. Among these, nutrition plays a particularly significant role in shaping fatty acid composition. Incorporating various lipid sources, including plant oils, oilseeds, and marine oils, into poultry diets can markedly alter the proportions of saturated, monounsaturated, and polyunsaturated fatty acids in muscle tissues. Especially, diets enriched with omega-3 fatty acids have been shown to enhance the health value of poultry meat. Genetic characteristics such as breed type and growth performance also influence fat deposition and lipid metabolism. Fast-growing broilers tend to accumulate fat differently compared to slower-growing or native breeds. Furthermore, factors like age, sex, and physiological condition contribute to variations in fat distribution across tissues. External conditions, including ambient temperature, housing environment, and production practices, can also impact lipid metabolism. After slaughter, processing methods, storage duration, and exposure to oxygen and light may affect fatty acid stability, particularly in polyunsaturated fats that are prone to oxidation. Therefore, a comprehensive understanding of these factors is essential to improve meat quality and produce healthier poultry products. Strategic nutrition and management approaches can help optimize fatty acid composition for better consumer health outcomes.

Keywords: Chicken meat, fat content, fatty acid composition, lipid metabolism, meat quality

INTRODUCTION

Chicken meat is one of the most widely consumed animal protein sources worldwide due to its favorable nutritional profile, relatively low fat content, and high digestibility (Petracci and Cavani 2012). Meat quality is influenced not only by protein levels but also by the quantity and type of lipids it contains, particularly the proportions of saturated fatty acids (SFA), monounsaturated fatty acids (MUFA), and polyunsaturated fatty acids (PUFA) (Dal Bosco et al 2012). These lipid components play a crucial role in determining flavor, texture, shelf stability, and nutritional value.

A range of internal and external factors, including genetics, feeding regime, physiological status, environmental conditions, and post-processing techniques, collectively shape the fat content and fatty acid composition of poultry meat (Petracchi and Cavani 2012). Understanding these relationships is essential for improving meat quality and aligning poultry production with consumer expectations for healthier and sustainable foods (Dal Bosco et al 2012).

1. Genetic Factors

Genetic makeup is a primary determinant of both fat accumulation and fatty acid composition in poultry. Differences among chicken breeds and strains are closely related to variations in lipid metabolism, growth rate, and the activity of enzymes responsible for fatty acid synthesis and desaturation. Commercial broilers that have been intensively selected for rapid growth and high breast muscle yield generally exhibit higher levels of fat deposition compared to slow-growing or indigenous genotypes.

Genetic differences also affect enzymes such as fatty acid desaturases, which are involved in the synthesis of long-chain PUFA. These enzymes influence the balance between omega-3 and omega-6 fatty acids in meat (Boschetti et al 2016). Additionally, fat cell development (adipogenesis) is regulated by transcription factors that control lipid storage and synthesis (Nematbakhsh et al 2021).

The influence of genotype reared under organic system on lipid content and fatty acid composition in chicken meat has been clearly demonstrated as shown in Table 1. Dal Bosco et al (2012) reported that certain genotypes (Ancona and Leghorn) exhibited lower lipid levels in breast meat, whereas commercial strains (Naked neck, Kabir, and Ross) showed higher fat content, with crossbred chickens presenting intermediate values. In addition, meat from slow-growing genotypes was explained by a higher proportion of total PUFA, including both omega-3 and omega-6 fractions, compared to commercial lines. Despite increased fresh forage intake in slow-growing genotypes, the relatively low levels of α -linolenic acid may be characterized by its more efficient conversion into long-chain PUFA derivatives (Dal Bosco et al 2012).

2. Nutritional Factors

Diet is one of the most influential determinants of fat deposition and fatty acid profiles in chicken meat. The type, amount, and balance of nutrients supplied in the feed can modify both total lipid content and the proportions of SFA, MUFA, and PUFA in muscle and adipose tissue (Crespo and Esteve-Garcia 2001, Dal Bosco et al 2012).

a) Dietary Lipid Source

The type of dietary lipid is a major factor influencing the fatty acid composition of poultry meat, as birds efficiently incorporate dietary fatty acids into body tissues with minimal modification. Consequently, the fatty acid profile of feed is often directly reflected in muscle lipids (Crespo and Esteve-Garcia 2001).

Plant-based oils, rich in linoleic acid, generally increase omega-6 fatty acid levels in chicken meat (Crespo and Esteve-Garcia 2001). Conversely, adding omega-3-rich ingredients such as flaxseed, fish oil, or microalgae enhances the deposition of beneficial long-chain omega-3 fatty acids like eicosapentaenoic acid (EPA) and docosahexaenoic acid (DHA), thereby improving the ratio of omega-6 to omega-3 in meat (Rymer and Givens 2005; Poureslami et al 2010).

However, increasing PUFA content, especially omega-3, can reduce oxidative stability, making the meat more susceptible to lipid oxidation. Therefore, antioxidants such as vitamin E are often included in diets to maintain quality and shelf life (Barroeta 2007).

Table 1. Summary of lipid fractions (fat, g/100 g of meat; fatty acid composition, g/100 g of fatty acids) in breast meat across genotypes (Data summarized and adapted from Dal Bosco et al 2012)

	Genotypes					
	R	A	NN	K	L	CL
Fat	1.30 ^c	0.22 ^a	0.73 ^b	0.85 ^b	0.32 ^a	0.50 ^{ab}
∑ SFA	43.7 ^b	45.9 ^b	43.6 ^a	44.0 ^b	47.1 ^b	44.9 ^b
∑ MUFA	25.7 ^b	19.4 ^a	27.94 ^b	26.4 ^b	17.8 ^a	25.3 ^b
∑ omega-3	2.40 ^b	4.79 ^c	2.68 ^b	1.80 ^a	3.76 ^c	1.57 ^a
omega-6/omega-3	10.4 ^{ab}	6.23 ^a	9.62 ^a	15.5 ^b	8.32 ^b	17.9 ^c
∑ PUFA	28.7 ^a	34.7 ^b	28.5 ^a	29.6 ^a	35.1 ^b	29.8 ^a

a,b,c: Values with different superscripts within a column significantly differ ($p < 0.05$).

R: Ross, A: Ancona, NN: Naked neck, K: Kabir, L: Leghorn, CL: crossbreed Cornish x Leghorn, ∑SFA: total saturated fatty acid, ∑MUFA: total monounsaturated fatty acid, ∑PUFA: total polyunsaturated fatty acid.

b) Energy and Protein Balance

The balance between dietary energy and protein significantly affects fat accumulation. Adjustments in dietary energy can directly influence the extent of body fat accumulation. For instance, reducing the metabolizable energy content of the diet from 3200 to 3000 kcal/kg during the grower-finisher period (21–42 days) has been shown to decrease abdominal fat proportion and overall body fat without adversely affecting growth performance, feed intake, or carcass yield (Kassim and Suwanpradit 1996).

Protein level is another critical factor affecting lipid deposition. Lower levels of crude protein in the diet are generally associated with increased fat deposition. In line with this, Collin et al (2003) observed that broilers consuming protein-deficient diets exhibited a higher proportion of abdominal fat compared to those fed diets with sufficient protein content.

Recent findings by Zhou et al (2024) indicate that crude protein and metabolizable energy levels in the diet, along with their interaction, play a significant role in shaping fatty acid composition across various tissues, including breast muscle, thigh muscle, and liver ($p < 0.05$). Diets with higher energy levels increased the concentration of several fatty acids in the liver, including stearic, arachidic, behenic, erucic, linoleic, linolenic, and docosahexaenoic acids. In contrast, low-protein diets were associated with higher levels of palmitic, myristoleic, oleic, and docosapentaenoic acids, along with higher proportions of total SFA, MUFA, and unsaturated fatty acids (UFA) compared to other dietary treatments.

c) Other Nutrients and Feed Additives

Apart from essential nutrients, different feed additives have the potential to modify lipid deposition and fatty acid profile in chicken meat, although their effects are inconsistent and largely influenced by their type and dietary level.

Sopian et al (2025) reported that dietary inclusion of *Camelina sativa* residue led to a significant reduction in certain fatty acids, including C12:0, C20:1n9, and C22:1n9. However, *Camelina sativa* residue supplementation did not affect the overall levels of SFA, MUFA, or PUFA, nor the omega-6 - omega-3 fractions. Furthermore, including *Camelina sativa* residue in the diet, especially at a 2% level, led to a significant reduction in breast meat fat content ($p < 0.05$).

In a similar manner, Onbaşilar et al (2024) reported that adding shrimp waste to broiler diets had no significant effect on the fatty acid profile of either thigh or breast meat. In addition, no significant interaction was detected between dietary treatment and meat type.

In a subsequent study, Onbaşilar et al (2025) indicated that supplementation with zinc amino acid complexes (ZnAA) did not significantly influence the fat content of thigh or breast meat.

However, a significant interaction between diet and meat type was observed for fat content ($p < 0.05$), suggesting that breast and thigh tissues responded differently. Independent of dietary treatment, meat type itself played a major role in determining fatty acid composition. Significant differences were identified in several SFA, including lauric, myristic, and behenic acids, as well as in total SFA levels. Despite these differences, ZnAA supplementation did not significantly affect either individual or total SFA, except for a minor interaction observed in lauric acid ($p < 0.05$). For MUFA, meat type significantly influenced both palmitoleic acid and total MUFA content, with higher values generally found in thigh meat. However, ZnAA inclusion did not result in any notable changes in MUFA composition, and no interaction effects were observed. With respect to PUFA, differences between thigh and breast meat were evident for linoleic, eicosatrienoic, and arachidonic acids, with breast meat typically showing higher total PUFA levels ($p < 0.05$). Nevertheless, ZnAA supplementation had no significant impact on PUFA or total UFA levels. Furthermore, lipid-related indices such as MUFA/SFA, UFA/SFA, and desirable fatty acids were significantly higher in thigh meat compared to breast meat. Despite these inherent differences between tissues, ZnAA supplementation did not significantly modify these ratios, nor did it show any interaction with meat type.

3. Physiological Factors (Age, Sex, Growth Rate)

Characteristics related to the physiology of birds, including age at slaughter, gender, and growth rate, significantly influence both lipid deposition and fatty acid profiles in chicken meat.

Age is a key factor influencing lipid metabolism and fatty acid profile. Li et al (2021) reported that increasing slaughter age, particularly up to 120 days or at sexual maturity, was associated with reductions in omega-3 - omega-6 fatty acids, total PUFA, as well as decreases in the PUFA/SFA and omega-6/omega-3 ratios. In general, fat accumulation tends to increase with age, although the extent and pattern of deposition may differ between sexes and according to the stage of sexual maturity.

Differences in lipid metabolism between males and females are primarily influenced by hormonal regulation. Sex hormones in both genders modulate the activity of enzymes responsible for lipid synthesis and modification, which in turn affects the fatty acid profile of meat (Li et al 2015, Zhang et al 2017). From a nutritional standpoint, these differences are significant because they can alter health-related lipid indices, including atherogenic and thrombogenic values (Chen and Liu 2020).

The combined effects of age and sex have also been demonstrated in more recent studies. Marçal et al (2024) showed that sexual maturity and slaughter age significantly affect fatty acid composition in different cuts. In breast meat, mature birds exhibited higher PUFA levels, whereas drumstick samples showed reduced MUFA content. In both muscle cuts, SFA levels were reduced at 180 days of age. In addition, sex-related differences were noted in drumstick meat, with females showing higher concentrations of MUFA, particularly palmitoleic acid and oleic acid. Overall, meat from older birds displayed more favorable nutritional characteristics, with lower atherogenicity and thrombogenicity indices.

Similarly, Poureslami et al (2010) reported that age significantly influenced SFA and MUFA contents (with the exception of C22:0), with higher levels observed between 21 and 42 days of age. Sex differences also influenced a number of fatty acids, such as palmitic acid, stearic acid, and oleic acid, along with total SFA and MUFA levels, which were generally higher in females than in males.

4. Environmental and Management Factors

Environmental conditions together with management practices are key factors influencing lipid metabolism and fatty acid profile in broiler chickens.

Variables such as temperature, housing system, feeding strategies, stocking density, and transport conditions can all have a considerable impact on overall meat quality.

Among these, heat stress represents one of the most important environmental challenges in poultry production. According to Al-Abdullatif and Azzam (2023), exposure to elevated temperatures (34 °C for 8 hours per day) resulted in a slight decrease in breast meat yield and a significant increase in wing yield. Heat-stressed birds also exhibited greater carcass shrinkage during chilling ($p < 0.001$). Although physicochemical properties of breast meat, including pH, cooking loss, and proximate composition, were not significantly affected, heat stress resulted in lower levels of certain omega-6 fatty acids, such as eicosadienoic acid and arachidonic acid, while omega-3 PUFA levels remained unchanged.

Housing systems may also influence fatty acid composition, although findings are not always consistent. Sekeroglu et al (2009) found that rearing system, comparing conventional and free-range conditions, did not have a significant impact on the fatty acid composition of breast meat. On the other hand, nutritional management within alternative production systems may still influence lipid profiles. In this context, Englmaierova et al (2021) reported that limiting compound feed in chickens kept in mobile housing systems led to greater pasture consumption, which subsequently modified the fatty acid profile of breast muscle.

Stocking density is another critical management factor influencing carcass composition. Simsek et al (2009) demonstrated that reducing stocking density decreased fat content while increasing protein levels in meat. Its effect on fatty acid profile varied depending on feeding regime; under ad libitum feeding, lower stocking density reduced SFA and MUFA proportions while increasing PUFA, including both omega-3 and omega-6 fatty acids. In contrast, under restricted feeding conditions, the opposite trend was observed.

Transport conditions and body weight at slaughter also have a considerable impact on lipid characteristics. Zanetti et al (2011) reported that longer transport duration was associated with increased fat content and alterations in fatty acid profile, including reductions in MUFA and the ratio of omega-3/omega-6. Heavier broilers generally exhibited lower PUFA levels and reduced PUFA/SFA ratios, primarily due to decreased concentrations of key fatty acids such as α -linolenic, docosapentaenoic, and docosahexaenoic acids. Consequently, meat from lighter birds tended to have higher level of omega-3 fatty acids, and more favorable lipid profiles. Additionally, prolonged transport may promote lipid oxidation, suggesting that protective strategies may be necessary to maintain meat quality under extended transport conditions.

5. Post Slaughter and Storage Factors

Since fat deposition in live birds takes place before slaughter, it is not influenced by post-slaughter handling; however, post-slaughter processes are critical for the lipid profile and oxidative stability of meat. Conditions during processing and storage can alter both the amount and composition of lipids, which ultimately influences overall meat quality.

Storage duration is one of the factors influencing lipid content. Mello et al (2018) reported that in both Cobb 500 and Hubbard ISA broilers, the fat content of breast meat decreased progressively during refrigerated storage at 0, 3, and 7 days.

Cooking methods also have a significant impact on lipid composition. Muthulakshmi et al (2021) demonstrated that fat content differed markedly between raw, pressure-cooked, and sous vide-cooked chicken meat. In uncooked meat samples, palmitic, oleic, and linoleic acids were the main fatty acids detected. In contrast, cooked samples contained relatively higher proportions of oleic and linoleic acids. Heat treatment significantly decreased total SFA, while the levels of MUFA and PUFA increased in comparison with raw meat. Differences among cooking methods were also observed. Pressure cooking led to a greater reduction in SFA compared to sous vide treatment, while MUFA levels were slightly higher in pressure-cooked samples, although differences between cooking methods were generally limited.

The PUFA/SFA ratio increased substantially following heat treatment, rising from 0.35 in raw meat to 0.75 in pressure-cooked and 0.61 in sous vide samples, indicating an improvement in the nutritional lipid profile.

CONCLUSION

The lipid content and fatty acid profile of chicken meat are influenced by a combination of interrelated factors. Genetic background and growth characteristics primarily determine patterns of fat deposition and utilization, whereas dietary composition strongly affects the types of fatty acids present in meat, particularly the balance between omega-3 and omega-6 polyunsaturated fatty acids. In addition, physiological attributes such as age, sex, and growth rate contribute to variations in lipid accumulation. Environmental conditions and management practices, including ambient temperature, housing systems, and rearing methods, can also alter metabolic pathways involved in fat deposition. Furthermore, post-slaughter handling and storage conditions are essential for maintaining lipid stability, especially due to the susceptibility of PUFA to oxidation. A clear understanding of these interacting factors offers opportunities to enhance meat quality through improved genetic selection, optimized feeding strategies, and effective management systems. As a result, poultry producers can enhance the nutritional value of chicken meat and meet consumer demand for healthier and higher-quality products.

REFERENCES

- Al-Abdullatif A, Azzam MM (2023). Effects of hot arid environments on the production performance, carcass traits, and fatty acids composition of breast meat in broiler chickens. *Life* 13, 1239.
- Barroeta AC (2007). Nutritive value of poultry meat: relationship between vitamin E and PUFA. *World's Poultry Sci J* 63, 277-284.
- Boschetti E, Bordoni A, Meluzzi A, Castellini C, Dal Bosco A, Sirri F (2016). Fatty acid composition of chicken breast meat is dependent on genotype-related variation of FADS1 and FADS2 gene expression and desaturating activity. *Animal* 10, 700-708.
- Chen J, Liu H (2020). Nutritional indices for assessing fatty acids: a mini-review. *Int J Mol Sci* 21, 5695.
- Collin A, Malheiros RD, Moraes VMB, Van As P, Darras VM, Taouis M, Decuypere E, Buyse J (2003). Effects of dietary macronutrient content on energy metabolism and uncoupling protein mRNA expression in broiler chickens. *Br J Nutr* 90, 261-269.
- Crespo N, Esteve-Garcia E (2001). Dietary fatty acid profile modifies abdominal fat deposition in broiler chickens. *Poult Sci* 80, 71-78.
- Dal Bosco A, Mugnai C, Ruggeri S, Mattioli S, Castellini C (2012). Fatty acid composition of meat and estimated indices of lipid metabolism in different poultry genotypes reared under organic system. *Poult Sci* 91, 2039-2045.
- Englmaierova M, Skrivan M, Taubner T, Skrivanova V, Cermak L (2021). Effect of housing system and feed restriction on meat quality of medium-growing chickens. *Poult Sci* 100, 101223.
- Kassim H, Suwanpradit S (1996). The effect of energy levels on the carcass composition of the broilers. *Asian J Anim Sci* 9, 331-335.
- Li H, Wang T, Xu C, Wang D, Ren J, Li Y, Tian Y, Wang Y, Jiao Y, Kang X, Liu X (2015). Transcriptome profile of liver at different physiological stages reveals potential mode for lipid metabolism in laying hens. *BMC Genom* 16, 1-13.
- Li J, Yang C, Ran J, Yu C, Yin L, Li Z, Liu Y (2021). The age-dependent variations for fatty acid composition and sensory quality of chicken meat and associations between gene expression patterns and meat quality. *Livest Sci* 254.

Marçal JO, Oliveira GP, Geraldo A, Lima LMZ, Erasmus SW, Faria PB (2024). Sexual maturity, slaughter age, and sex on meat fatty acid composition of chickens raised in a free-range system. *J Food Comp Analysis* 131, 106218.

Mello JLM, Souza RA, Paschoalin GC, Ferrari FB, Machado BM, Giampietro-Ganeco A, Souza PA, Borba H (2018). A comparison of the effects of post-mortem aging on breast meat from Cobb 500 and Hubbard ISA broilers. *Anim Prod Sci* 58, 1922-1931.

Muthulakshmi M, Chandirasekaran V, Kalaikannan A, Jagadeeswaran A, Selvaraju G, Muthukumar M, Sureshkumar S, Irshad A (2021). Effect of cooking methods on nutritional quality of chicken meat. *The Pharma Innovation J* 10, 1064-1070.

Nematbakhsh S, Pei Pei C, Selamat J, Nordin N, Idris LH, Abdull Razis AF (2021). Molecular regulation of lipogenesis, adipogenesis and fat deposition in chicken. *Genes* 12, 414.

Onbaşılar EE, Gündoğar UC, Çapar Akyüz H, Yalçın S, Ahlat O, Yüceer Özkul B, Çelebi B, Bundur A, Gebeş ES, Ünal N, Özbeyaz C (2024). The effects of shrimp waste added to broiler diets on growth performance, slaughter and carcass characteristics, intestinal morphology, bone traits, and fatty acids in the meat. *J Anim Physiology Anim Nutr* 2024, 1-10.

Onbaşılar EE, Yalçın S, Ateş K, Yalçın S, Mavili D, Erbay Elibol FK, Nemutlu E (2025). Effects of zinc amino acid complex supplementation on welfare, carcass traits, tibia health, meat quality and myopathies in broilers. *Vet Med Sci* 11, e70451.

Petracci M, Cavani C (2012). Muscle growth and poultry meat quality issues. *Nutrients* 4, 1-12.

Poureslami R, Turchini GM, Raes K, Huyghebaert G, De Smet S (2010). Effect of diet, sex and age on fatty acid metabolism in broiler chickens: SFA and MUFA. *Brit J Nutr* 104, 204-213.

Rymer C, Givens DI (2005). n-3 fatty acid enrichment of edible tissue of poultry: A review. *Lipids* 40, 121-130.

Sekeroglu A, Demir E, Sarica M, Ulutas Z (2009). Effects of housing systems on growth performance, blood plasma constituents and meat fatty acids in broiler chickens. *Pakistan J Biological Sci* 12, 631-636.

Sopian Y, Sahatsanon K, Satsook A, Arjin C, Sringarm K, Lumsangkul C, Sivapirunthep P, Chaosap C (2025). Effect of dietary Cannabis sativa L. residue supplementation on meat quality and flavor-enhancing free amino acids in broiler chickens. *Animals* 15, 759.

Simsek UG, Cerci IH, Dalkilic B, Yilmaz O, Ciftci M (2009). Impact of stocking density and feeding regimen on broilers: Chicken meat composition, fatty acids, and serum cholesterol levels. *J Appl Poult Res* 18, 514-520.

Zanetti E, Yalçın S, Guler C, Cassandro M (2011). A note on the effect of pre-slaughter transport duration on nutrient composition and fatty acid profile of broiler breast meat. *J Anim Feed Sci* 20, 412-419.

Zhang M, Li CC, Li F, Li H, Liu XJ, Looor JJ, Kang XT, Sun GR (2017). Estrogen promotes hepatic synthesis of long-chain polyunsaturated fatty acids by regulating ELOVL5 at post-transcriptional level in laying hens. *Int J Mol Sci* 18, 1-15.

Zhou L, Wang D, Abouelezz K, Shi L, Cao T, Hou G (2024). Impact of dietary protein and energy levels on fatty acid profile, gut microbiome and cecal metabolome in native growing chicks. *Poult Sci* 103, 103917.

FACTORS AFFECTING ANTIOXIDANT LEVELS IN CHICKEN MEAT

Atiye KAYNAK

Selçuk University, Institute of Health Sciences,
Department of Food Hygiene and Technology, Konya, Turkey
ORCID ID: 0009-0004-3038-9835

Suzan YALÇIN

Prof.Dr., Selçuk University, Faculty of Veterinary Medicine,
Department of Food Hygiene and Technology, Konya, Turkey
ORCID ID: 0000-0002-3937-6705

E. Ebru ONBAŞILAR

Prof.Dr., Ankara University, Faculty of Veterinary Medicine,
Department of Animal Husbandry, Ankara, Turkey
ORCID ID: 0000-0002-1321-0280

ABSTRACT

Antioxidants play a critical role in preserving meat quality, preventing lipid oxidation, and maintaining the nutritional value of poultry products. The antioxidant capacity of chicken meat is influenced by numerous factors related to genetics, nutrition, environmental conditions, and post-slaughter processing. Among these factors, nutrition is considered one of the most important determinants. Dietary supplementation with antioxidant compounds such as vitamin E, selenium, carotenoids, polyphenols, and other plant-derived phytochemicals has been shown to enhance the oxidative stability of poultry meat by reducing lipid peroxidation and improving shelf life. In addition, the inclusion of natural feed additives such as herbs, spices, and plant extracts can increase the antioxidant activity of muscle tissues. Genetic background and breed differences also contribute to variations in antioxidant levels in chicken meat, as metabolic activity, growth rate, and muscle composition may influence the deposition of antioxidant compounds in tissues. Age, sex, and rearing conditions, including temperature, stocking density, and stress levels, may further affect the oxidative status of poultry muscles. Furthermore, pre-slaughter handling, processing techniques, packaging systems, and storage conditions such as temperature, oxygen exposure, and light intensity can significantly influence oxidative reactions in meat and alter its antioxidant balance. Understanding the factors that influence antioxidant levels in chicken meat is essential for improving meat quality, extending shelf life, and enhancing the nutritional and functional properties of poultry products. Therefore, appropriate nutritional strategies, genetic selection, and optimal management practices should be considered to improve antioxidant status and ensure the production of high-quality poultry meat for consumers.

Keywords: Chicken meat, antioxidants, oxidative stability, meat quality, lipid oxidation

INTRODUCTION

Antioxidants are essential for preserving the quality and stability of chicken meat by inhibiting oxidative degradation, particularly lipid peroxidation. Oxidative reactions can adversely influence meat attributes such as color, flavor, texture, and nutritional composition, ultimately shortening shelf life and lowering consumer acceptance. The antioxidant capacity of poultry meat is affected by a variety of factors, including dietary composition, genetic background, management conditions, and post-mortem handling. Therefore, identifying and understanding these determinants is critical for improving meat quality and enhancing oxidative stability.

The antioxidant status of meat is typically assessed through a range of analytical approaches, including total antioxidant capacity assays, indicators of lipid oxidation, enzymatic antioxidant activities, and measurements of non-enzymatic antioxidant compounds.

A. Factors Affecting Meat Antioxidants

1. Nutritional Factors

Dietary composition is one of the primary factors influencing antioxidant levels in poultry meat. Due to its high content of polyunsaturated fatty acids, chicken meat is especially susceptible to oxidative damage. Some researches have showed that incorporating natural antioxidants into poultry diets enhances oxidative stability and contributes to improved product quality and market value (Botsoglou et al 2002, Gerasopoulos et al 2015, Tufarelli et al 2016).

Among dietary antioxidants, vitamin E (α -tocopherol) is widely recognized for its effectiveness. It stabilizes cell membranes by inhibiting lipid peroxidation and reduces the formation of malondialdehyde (MDA) (Pecjak et al 2022). Selenium also plays a crucial role in antioxidant defence as a component of glutathione peroxidase, acting synergistically with vitamin E to protect muscle tissues from oxidative damage (Avanzo et al 2001). Additionally, carotenoids contribute to oxidative stability by neutralizing free radicals while also enhancing pigmentation (Nabi et al 2020).

Plant-derived bioactive compounds including polyphenols, flavonoids, and phenolic acids, have been extensively studied for their antioxidant properties. Their inclusion in poultry diets has been associated with reduced lipid oxidation and extended shelf life (Papuc et al 2017). Natural feed additives such as oregano, thyme, and green tea extracts are commonly used for this purpose.

By-products from the olive industry have recently attracted attention as alternative feed ingredients rich in polyphenols. For example, supplementation with semi-solid olive cake at approximately 16.5% has been shown to enhance 2,2-diphenyl-1-picrylhydrazyl (DPPH) radical scavenging activity and decrease thiobarbituric acid reactive substances (TBARS) values in broiler breast meat (Branciarri et al., 2017). Phenolic compounds such as tyrosol and hydroxytyrosol are believed to contribute to these improvements in oxidative stability.

In a study by Onbaşilar et al (2026), supplementation of broiler diets with xylanase and protease, either individually or combined, did not produce significant changes in antioxidant related parameters. Total phenolic content (TPC) ranged from 0.96 and 1.09 mg GAE/g, while DPPH activity varied from 69.07% to 71.75%. Similarly, the oxidative stress index (OSI) remained unchanged across treatments.

Onbaşilar et al (2025b) investigated the inclusion of shrimp-processing waste containing astaxanthin and reported no significant differences in antioxidant indicators such as TPC, DPPH, TAS, TOS, and OSI. These findings suggest that higher inclusion levels may be necessary to observe measurable effects.

Likewise, Yalçınkaya et al (2025) evaluated *Spirulina platensis* supplementation and observed no significant effects on TPC or MDA levels in thigh meat. However, *Spirulina* significantly reduced OSI and improved antioxidant enzyme activities, including catalase (CAT), glutathione peroxidase (GPx), and superoxide dismutase (SOD), particularly in liver tissue, and increased GPx activity in breast meat. No interaction was observed between dietary protein level and *Spirulina* supplementation.

Furthermore, Onbaşilar et al (2023) reported dose-dependent effects of modified dried vinasse on antioxidant parameters such as DPPH and MDA. These effects were attributed to components like betaine, which may enhance antioxidant defense by stimulating enzymes such as GPx (Alirezai et al., 2012) and SOD (Wen et al., 2019). Reduced MDA levels indicated decreased lipid peroxidation, likely due to the protective role of betaine (Maele, 2022).

2. Genetic Factors

Genetic characteristics significantly affect antioxidant capacity in poultry meat. Variations among breeds influence metabolic activity, growth performance, and muscle composition. Slow-growing chickens generally exhibit greater oxidative stability compared to fast-growing commercial broilers. Poultry meat contains bioactive histidyl dipeptides, such as carnosine and anserine, which possess strong antioxidant properties (Chan et al 1994). The concentration of these compounds varies among genotypes. For instance, Korean native chickens have been shown to contain higher levels of histidyl dipeptides than commercial broilers (Jayasena et al 2015). Similarly, Lengkidworrapphat et al (2020) reported that Thai indigenous chickens exhibited greater antioxidant capacity and higher levels of muscle proteins and bioactive peptides compared to commercial broilers. These findings suggest that certain native genotypes may offer functional benefits.

3. Age

The antioxidant capacity of chicken meat is also influenced by age. In fast- and medium-growing birds, antioxidant potential tends to decline with age, as indicated by reduced glutathione levels. In contrast, slow-growing lines may exhibit different patterns, with glutathione levels increasing over time after an initial decline (Michalczyk et al 2016).

4. Rearing Conditions

Environmental and management conditions play a critical role in oxidative stability. Heat stress, in particular, promotes oxidative stress and reduces antioxidant enzyme activity. Stocking density can also influence oxidative parameters. For example, higher stocking density has been associated with lower lipid oxidation and increased antioxidant enzyme activity in the study of Ha et al (2021).

Onbaşılar et al. (2025a) examined the effects of green LED lighting during incubation and reported increased DPPH activity and total antioxidant status (TAS), but also elevated total oxidant status (TOS) and OSI levels. This suggests that while antioxidant defenses may be stimulated, oxidative stress may also increase under such conditions.

Similarly, Seyidoğlu et al (2020) found that green light exposure improved antioxidant enzyme activities and reduced oxidative stress, while Ke et al (2011) reported increased total antioxidant capacity (T-AOC) and SOD activity in breast meat.

5. Pre-slaughter Handling

Pre-slaughter handling conditions play a critical role in determining oxidative stability in broilers. Stress during transportation and handling can increase reactive oxygen species and weaken antioxidant defenses. Various stressors associated with pre-slaughter handling—including rough handling during loading and unloading, poor road conditions, excessive vehicle speed and vibration, long transport distances, high stocking density during transport, feed and water deprivation, mixing with unfamiliar birds, aggressive interactions, and stunning procedures are known to contribute to oxidative stress (Fayemi and Muchenje 2012, Falowo et al 2014).

Gou et al (2021) reported that transport duration had no significant effect on glutathione levels in breast muscle. In contrast, T-AOC declined significantly (linear and quadratic effects, $P < 0.01$) as transport duration increased, while MDA levels showed a tendency to rise ($P = 0.059$). Moreover, all transported birds exhibited lower T-AOC values compared to the control group (0.297 U/mg protein), with the maximum reduction reaching 92.3%.

The T-AOC assay reflects the overall ability of tissues to counteract oxidative stress, and its reduction indicates the occurrence of oxidative stress in transported birds.

Furthermore, MDA, a widely recognized marker of lipid peroxidation, showed a marginal increase with prolonged transport duration, supporting the presence of enhanced oxidative processes in muscle tissues (Gou et al 2021).

6. Processing and Storage Conditions

Post-mortem processes significantly influence oxidative stability. Oxidative reactions occurring in both lipid and protein fractions are recognized as the primary non-microbial mechanisms responsible for quality deterioration during meat processing. This susceptibility is largely attributed to the rapid decline of endogenous antioxidant systems after slaughter, which leaves muscle components more vulnerable to oxidative damage (Falowo et al 2014).

The extent of oxidation is influenced by several external factors, including exposure to oxygen, light, and temperature, as well as various processing and preservation methods. Techniques such as chilling, freezing, the use of additives (e.g., salt, nitrates, and spices), cooking, irradiation, and high-pressure processing can all accelerate or modulate oxidative reactions. As a result, lipid and protein oxidation represent major challenges for the meat industry due to their negative impact on quality and shelf life (Falowo et al 2014; Domínguez et al 2019).

In contrast, appropriate packaging systems, such as vacuum packaging and modified atmosphere packaging, can effectively slow down oxidative processes by limiting oxygen availability. Furthermore, storage conditions—particularly temperature, light exposure, and oxygen levels—are critical factors influencing the rate of oxidation and, consequently, the overall quality of meat products (Domínguez et al 2019).

B-Determination of Antioxidants in Meat

Lipid oxidation represents a major quality concern in processed foods, as it negatively affects flavor, nutritional value, and overall consumer acceptability. For this reason, accurate determination of lipid oxidation is essential for monitoring product quality. Various analytical techniques have been developed to evaluate lipid oxidation in food systems and biological materials, each targeting different compounds or stages of the oxidation process (Abeyrathne et al 2021).

Total antioxidant capacity is commonly evaluated using assays such as DPPH, 2,2'-azino-bis(3-ethylbenzothiazoline-6-sulfonic acid) (ABTS), and oxygen radical absorbance capacity (ORAC) (Prior et al 2005). Lipid oxidation in meat is most frequently determined by the TBARS method, which quantifies MDA as a key secondary oxidation product and a reliable indicator of oxidative deterioration (Falowo et al 2014; Domínguez et al 2019). Primary oxidation products can be assessed using peroxide value and conjugated dienes (Shahidi and Zhong 2010).

Endogenous antioxidant defense in muscle is largely represented by enzymatic systems, including GPx, SOD, and CAT (Falowo et al 2014). Alongside these, non-enzymatic antioxidants such as carotenoids, vitamin E, vitamin C, and glutathione are also evaluated to characterize the antioxidant profile of meat (Prior et al 2005, Shahidi and Zhong 2010).

More recently, integrated oxidative stress indicators such as TAS, TOS, and OSI have been increasingly applied. TAS reflects the cumulative activity of all antioxidants present, whereas TOS indicates the overall level of oxidant molecules. OSI calculated as the ratio of TOS to TAS, provides a comprehensive assessment of the oxidative balance within the sample (Onbaşlılar et al 2025b).

Furthermore, TPC is often determined, particularly in studies evaluating the impact of plant-based dietary supplements, commonly using the Folin-Ciocalteu method (Onbaşlılar et al 2025b). In addition to lipid oxidation, protein oxidation is also an important aspect of meat quality, and it is typically assessed using markers such as carbonyl groups and free thiol content (Lund et al 2011).

CONCLUSION

The antioxidant status of chicken meat is influenced by a wide range of factors, including nutrition, genetics, environmental conditions, and post-slaughter handling. Among these, nutrition is one of the most controllable and impactful factors. The application of appropriate analytical methods is essential for accurately evaluating oxidative stability and antioxidant capacity. In this context, the combined use of assays such as TBARS for lipid oxidation, DPPH or ABTS for antioxidant activity, and integrated indices such as TAS, TOS, and OSI provides a comprehensive understanding of the oxidative balance in meat. These methods enable a more reliable assessment of meat quality and shelf life. Therefore, optimizing both production strategies and analytical approaches is crucial for improving the oxidative stability and overall quality of poultry meat.

REFERENCES

- Abeyrathne EDNS, Nam K, Ahn DU (2021). Analytical methods for lipid oxidation and antioxidant capacity in Food systems. *Antioxidants* 10, 1587.
- Alirezai M, Gheisari HR, Ranjbar VR, Hajibemani A (2012). Betaine: A promising antioxidant agent for enhancement of broiler meat quality. *Br Poult Sci* 53, 699-707.
- Avanzo JL, de Mendonça CX, Pugine SM, Cesar M de C (2001). Effect of vitamin E and selenium on resistance to oxidative stress in chicken superficial pectoralis muscle. *Comp Biochem Physiol C Toxicol Pharmacol* 129, 163-173.
- Botsoglou NA, Florou-Paneri P, Christaki E, Fletouris DJ, Spais AB (2002). Effect of dietary oregano essential oil on performance of chickens and on iron-induced lipid oxidation of breast, thigh and abdominal fat tissues. *Br. Poult. Sci* 43, 223–230.
- Branciarini R, Galarini R, Giusepponi D, Tralbalza-Marinucci M, Forte C, Roila R, Miraglia D, Servili M, Acuti G, Valiani A (2017). Oxidative status and presence of bioactive compounds in meat from chickens fed polyphenols extracted from olive oil industry waste. *Sustainability* 9, 1566.
- Chan KM, Decker EA, Feustman C (1994). Endogenous skeletal muscle antioxidants. *Crit Rev Food Sci Nutr* 34, 403-426.
- Dominguez R, Pateiro M, Gagaoua M, Barba FJ, Zhang W, Lorenzo JM (2019). A comprehensive review on lipid oxidation in meat and meat products. *Antioxidants* 8, 429.
- Falowo AB, Fayemi PO, Muchenje V (2014). Natural antioxidants against lipid-protein oxidative deterioration in meat and meat products: A review. *Food Res Intern* 64, 171-181.
- Fayemi PO, Muchenje V (2012). Meat in African context: From history to science. *African J Biotechnol* 11, 1298–1306
- Gerasopoulos K, Stagos D, Kokkas S, Petrotos K, Kantas D, Goulas P, Kouretas D (2015). Feed supplemented with byproducts from olive oil mill wastewater processing increases antioxidant capacity in broiler chickens. *Food Chem Toxicol* 82, 42–49.
- Gou Z, Abouelezz KFM, Fan Q, Li L, Lin X, Wang Y, Cui X, Ye J, Masoud MA, Jiang S, Ma X (2021). Physiological effects of transport duration on stress biomarkers and meat quality of medium-growing Yellow broiler chickens. *Animal* 15, 100079.
- Ha SH, Kang HK, Hosseindoust A, Mun JY, Moturi J, Tajudeen H, Lee H, Cheong EJ, Kim JS (2021). Effects of scopoletin supplementation and stocking density on growth performance, antioxidant activity, and meat quality of Korean native broiler chickens. *Foods* 10, 1505.
- Jayasena DD, Jung S, Bae YS, Park HB, Lee JH, Jo C (2015). Comparison of the amounts of endogenous bioactive compounds in raw and cooked meats from commercial broilers and indigenous chickens. *J Food Compost Anal* 37, 20-24.
- Ke YY, Liu WJ, Wang ZX, Chen YX (2011). Effects of monochromatic light on quality properties and antioxidant of meat in broilers. *Poult Sci* 90, 2632-2637.

Lengkidworrapphat P, Wongpoomchai R, Taya S, Jaturasitha S (2020). Effect of genotypes on macronutrients and antioxidant capacity of chicken breast meat. *Asian-Australas J Anim Sci* 33, 1817-1823.

Lund MN, Heinonen M, Baron CP, Estevez M (2011). Protein oxidation in muscle foods: A review. *Mol Nutr Food Res* 55, 83-95.

Maele LV (2022). Betaine as nutritional strategy to improve meat quality. *Feed Additive* 23, 50-53.

Michalczyk M, Jozwik A, Damaziak K, Zdanowska-Sasíadek Z, Marzec A, Gozdowski D, Strzalkowska N (2016). Age-related changes in the growth performance, meat quality, and oxidative processes in breast muscles of three chicken genotypes. *Turk J Vet Anim Sci* 40, 389-398.

Nabi F, Arain MA, Rajput N, Alagawany M, Soomro J, Umer M, Soomro F, Wang Z, Ye R, Liu J (2020). Health benefits of carotenoids and potential application in poultry industry: A review. *J Anim Physiol Anim Nutr (Berl)* 104, 1809-1818.

Onbaşılar EE, Çapar Akyüz H, Gündoğar UC, Yalçın S, Sel T, Nemutlu E, Reçber T, Yüceer Özkul B, Ünal N, Özbeyaz C (2025a). The effects of lighted incubation on traits and composition of broiler breast meat. *Vet Med Sci* 11, e70569.

Onbaşılar EE, Gündoğar UC, Çapar Akyüz H, Kaya Kartal Y, Yalçın S, Nemutlu E, Reçber T, Akyüz MF, Onbaşılar D, Yüceer Özkul B, Ünal N, Özbeyaz C (2025b). Impact of dietary shrimp waste on physical properties, chemical composition, amino acid profile, and antioxidant levels of breast meat. *Vet Sci* 12, 1130.

Onbaşılar EE, Yalçın S, Batur B, Yalçın S, Kılıçlı İB, Bakıcı C, Bakır B, Kaya Kartal Y, Sel T (2026). Effects of xylanase and protease supplementation on growth performance, meat quality, gut health, cecal fermentation, and bone traits in broiler chickens. *Animals* 16, 465.

Onbaşılar İ, Yalçın S, Gebeş ES, Yalçın S, Şahin A (2023). Evaluation of modified dried vinasse as an alternative dietary protein source for broilers. *Anim Sci J* 94, e13899.

Papuc C, Goran GV, Predescu CN, Nicorescu V, Stefan G (2017). Plant polyphenols as antioxidant and antibacterial agents for shelf-life extension of meat and meat products: Classification, structures, sources, and action mechanisms. *Comprehensive Reviews in Food Science and Food Safety* 16, 1243-1268.

Pecjak M, Leskovec J, Levart A, Salobir J, Rezar V (2022). Effects of dietary vitamin E, vitamin C, selenium and their combination on carcass characteristics, oxidative stability and breast meat quality of broiler chickens exposed to cyclic heat stress. *Animals* 12, 1789.

Prior RL, Wu X, Schaich K (2005). Standardized methods for the determination of antioxidant capacity and phenolics in foods and dietary supplements. *J Agric Food Chem* 53, 4290-4302.

Seyidoğlu N, Belenli D, Merhan O, Bozukluhan K (2020). The effects of different monochromatic colors on oxidant-antioxidant balance in broilers. *J Res Vet Med* 39, 21-25.

Shahidi F, Zhong Y (2010). Lipid oxidation and improving the oxidative stability. *Chem Soc Rev* 39, 4067-4079.

Tufarelli V, Laudadio V, Casalino E (2016). An extra-virgin olive oil rich in polyphenolic compounds has antioxidant effects in meat-type broiler chickens. *Environ Sci Pollut Res Int* 23, 6197-6204.

Wen C, Chen Y, Leng Z, Ding L, Wang T, Zhou Y (2019). Dietary betaine improves meat quality and oxidative status of broilers under heat stress. *J Sci Food Agric* 99, 620-623.

Yalçınkaya H., Yalçın S, Ramay MS, Onbaşılar EE, Bakır B, Erbay Elibol FK, Yalçın S, Shehata AW, Basiouni S (2025). Evaluation of *Spirulina platensis* as a feed additive in low-protein diets of broilers. *Int J Mol Sci* 26, 24.

THE ECLIPSE OF JUDGMENT: WHEN ALGORITHMS ENTER THE BOARDROOM

Darko TIPURIĆ

Prof. Dr., University of Zagreb, Croatia
ORCID ID: 0000-0001-8785-0179

Ivana KOVAČ

Prof. Dr., University of Zagreb, Croatia
ORCID ID: 0000-0002-1108-4508

Zlatko ŽURO

Dr., Croatian Corporate Government and Management Society, Croatia
ORCID ID: 0009-0003-2838-4851

ABSTRACT

This paper critically examines the integration of artificial intelligence systems into corporate board operations, exploring the profound implications of algorithmic governance for the future of corporate institutions and democratic accountability. Through analysis of emerging AI applications in boardroom decision-making, we argue that the technologization of governance structures threatens to fundamentally undermine the human judgment, ethical deliberation, and democratic accountability that constitute the normative foundations of corporate governance. Drawing on critical management studies, institutional theory, and corporate governance theories, we identify three primary transformative trajectories: the commodification of fiduciary judgment, the systematic erosion of accountability mechanisms, and the emergence of technocratic oligarchy. Our analysis suggests that the uncritical adoption of AI in board functions may precipitate a profound governance crisis characterized by diminished human agency, algorithmic opacity, the subordination of stakeholder interests to computational optimization, and the concentration of corporate power in the hands of a new technological elite.

We conclude by proposing principles for democratic governance in an age of algorithms, emphasizing the need for human primacy in ethical deliberation, algorithmic transparency and contestability, distributed algorithmic literacy, precautionary regulation, and democratic oversight of algorithmic infrastructure.

Keywords: corporate governance, artificial intelligence, board of directors, algorithmic management, technocracy, accountability, fiduciary duty, institutional theory

INTRODUCTION: THE ALGORITHMIC TURN IN CORPORATE GOVERNANCE

The contemporary enthusiasm for artificial intelligence in corporate governance reflects a broader techno-optimist ideology that positions algorithmic systems as neutral, efficient, and inherently superior to human decision-making (Zuboff, 2019). This discourse has gained particular momentum in the wake of spectacular advances in machine learning, natural language processing, and predictive analytics, which have fueled grandiose claims about AI's capacity to revolutionize virtually every domain of human activity, including the hallowed space of the corporate boardroom (Brynjolfsson & McAfee, 2014).

Proponents of AI-enabled governance argue that algorithmic systems can enhance board performance through improved data analysis, risk assessment, strategic forecasting, and the elimination of cognitive biases that plague human judgment (Eulerich et al., 2021; Bodolica & Spraggon, 2021).

This vision is promoted vigorously by technology vendors, management consultants, and academic researchers who see in AI the solution to longstanding governance challenges ranging from risk oversight failures to strategic myopia (Makridis & Schlagwein, 2022).

However, this celebratory narrative obscures fundamental questions about power, accountability, and the nature of governance itself. It presumes that the work of corporate boards traditionally understood as involving judgment, deliberation, ethical reasoning, and the balancing of competing stakeholder interests—can be meaningfully decomposed into discrete, quantifiable tasks amenable to algorithmic optimization. This presumption reflects what we might call a computational reductionism that fundamentally misunderstands the interpretive, contextual, and inherently political nature of strategic governance (Brennan & Solomon, 2008; Roberts et al., 2005).

This paper adopts a critical perspective to examine what happens when the boardroom—traditionally conceived as a space of human deliberation, practical wisdom, and moral responsibility becomes increasingly mediated, shaped, and potentially dominated by algorithmic systems. We argue that the integration of AI into board functions represents not merely a technological upgrade or efficiency enhancement but rather a fundamental transformation of governance epistemology, practice, and power relations, one fraught with profound and troubling implications for corporate accountability, stakeholder democracy, and the role of the corporation in society.

Our analysis is situated within critical management studies and draws on recent scholarship examining the societal implications of algorithmic systems (O'Neil, 2016; Noble, 2018; Eubanks, 2018; Pasquale, 2015, 2020). We conceptualize what we term the "algorithmic boardroom" as an emerging governance regime characterized by the progressive delegation of strategic and fiduciary responsibilities to computational systems, resulting in what we describe as "governance by calculation"—a mode of corporate control that privileges quantification, optimization, and computational logic over human judgment, ethical deliberation, and democratic accountability.

Throughout this analysis, we maintain that questions about AI in corporate governance are fundamentally political rather than technical. They concern the distribution of power within and beyond the corporation, the nature of accountability in complex socio-technical systems, the relationship between expertise and democracy, and ultimately the purposes that corporate institutions should serve in democratic societies.

THE PROMISES AND PREMISES OF ALGORITHMIC GOVERNANCE

The integration of artificial intelligence into board operations is typically justified through appeals to efficiency, accuracy, objectivity, and enhanced decision-making capabilities. These justifications rest on a constellation of assumptions about the nature of governance work, the superiority of computational over human reasoning, and the neutrality of technological systems. At the heart of the case for AI-enabled boards lies what we might call the efficiency imperative—the conviction that governance processes must be continuously optimized to maximize speed, reduce costs, and eliminate redundancy. Proponents argue that AI systems can process vast quantities of data far more rapidly than human directors, identify patterns and correlations invisible to human perception, and make predictions with greater accuracy than expert judgment (Chen et al., 2022). In this view, the board's traditional deliberative processes—lengthy discussions, multiple perspectives, careful weighing of alternatives—appear as inefficiencies to be eliminated through technological rationalization.

Yet this efficiency discourse obscures important questions about what is being optimized and for whom. As Porter (1995) demonstrates in his genealogy of quantification, the drive to measure and optimize reflects particular values and serves particular interests—often those of dominant elites rather than broader stakeholders.

In the context of corporate governance, the efficiency imperative may privilege the interests of shareholders seeking short-term returns over those of employees, communities, and future generations whose concerns resist simple quantification. When governance is optimized for speed and cost reduction, the time required for genuine deliberation, ethical reflection, and stakeholder consultation may be dismissed as wasteful inefficiency rather than recognized as essential to legitimate decision-making.

Moreover, the emphasis on efficiency presumes that faster decisions are necessarily better decisions a presumption at odds with both governance theory and empirical evidence about board effectiveness. Research on board dynamics suggests that the quality of governance depends crucially on the time and space directors have for reflection, for challenging assumptions, for considering alternative perspectives, and for working through the implications of strategic choices (Forbes & Milliken, 1999).

The discourse of optimization also embeds contestable value judgments about what should be optimized. An algorithm optimized for shareholder value will systematically discount environmental and community concerns; one optimized for regulatory compliance may ignore important ethical considerations that exceed legal requirements. Muller (2018) describes this phenomenon as the "tyranny of metrics"—the tendency for quantitative measures to drive out qualitative judgment, for what can be measured to overwhelm what matters, and for metric gaming to replace substantive achievement. In the boardroom context, this tyranny threatens to transform governance from a deliberative practice involving judgment, wisdom, and ethical reasoning into a technical exercise in metric optimization.

The promise of algorithmic objectivity rests on the premise that AI systems eliminate human bias and emotion from decision-making. This claim has been decisively refuted by extensive research demonstrating that AI systems systematically encode, amplify, and legitimize existing patterns of discrimination, inequality, and injustice (O'Neil, 2016; Noble, 2018; Eubanks, 2018; Benjamin, 2019). As Noble (2018) documents in her analysis of algorithmic racism in search engines, AI systems reflect the biases present in their training data, the choices made by their designers, and the broader social contexts in which they are deployed. Far from eliminating bias, these systems often make discrimination more difficult to detect and challenge by cloaking it in the language of mathematical objectivity and technical necessity.

The myth of algorithmic neutrality is particularly dangerous in the governance context because directors have fiduciary duties to act in the corporation's best interests, exercising their own judgment and discretion rather than mechanically following rules or deferring to external authorities (Blair & Stout, 1999). If directors come to view AI recommendations as objective truths rather than value-laden constructs requiring critical evaluation, they may abandon their core responsibility to exercise independent judgment all while believing they are acting with greater objectivity and precision.

Moreover, the construction of AI systems as neutral tools serves important ideological functions, legitimizing the power of technical elites and insulating their decisions from democratic accountability (Winner, 1980). When governance decisions are attributed to algorithmic necessity rather than human choice, they become difficult to question or contest.

Finally, the push for AI in corporate governance rests on what we might call a functionalist fallacy the assumption that board work can be meaningfully decomposed into discrete, quantifiable tasks that can be optimized independently. This assumption reflects a mechanistic view of organizations as machines whose component parts can be improved individually to enhance overall performance (Morgan, 2006). However, as institutional theorists have long argued, organizations are not machines but rather complex social systems whose functioning depends on meaning, interpretation, relationships, and shared understandings that resist decomposition and quantification (Scott & Davis, 2007; Selznick, 1957).

The work of corporate boards is particularly resistant to functionalist analysis because it involves synthesizing diverse forms of knowledge, balancing competing stakeholder interests, interpreting ambiguous information, making decisions under uncertainty, and exercising practical wisdom in novel situations (Lorsch & MacIver, 1989).

THE COMMODIFICATION OF JUDGMENT AND THE ECLIPSE OF DELIBERATION

Traditional conceptions of corporate governance emphasize deliberation—the collective weighing of evidence, consideration of multiple perspectives, and exercise of practical wisdom in conditions of uncertainty and ambiguity (Hendry & Kiel, 2004; Forbes & Milliken, 1999). The integration of AI into board operations threatens to transform this deliberative practice in fundamental ways, replacing human judgment with computation and converting governance work from a professional responsibility into a form of technological consumption.

The deliberative conception of governance rests on the premise that good decisions emerge from dialogue, contestation, and the synthesis of diverse perspectives rather than from the application of technical procedures or the execution of predetermined algorithms (Habermas, 1984). Directors are expected to bring their varied experiences, expertise, and perspectives to the boardroom, to engage in reasoned debate about strategic alternatives, to challenge assumptions and probe weaknesses in proposed courses of action, and ultimately to exercise their collective judgment about what course of action best serves the corporation's long-term interests and stakeholder commitments (Leblanc & Schwartz, 2007).

This model treats uncertainty not as a technical problem to be solved through better information processing but as an inherent feature of strategic decision-making that requires judgment, wisdom, and moral courage to navigate (Knight, 1921; March, 1994). Directors must make consequential decisions based on incomplete information, in the face of genuine ambiguity about cause-and-effect relationships, under time pressure, and with awareness that their choices will have profound but unpredictable consequences for multiple stakeholder groups. The value of the board lies precisely in its capacity to exercise judgment under these challenging conditions a form of practical reasoning that cannot be reduced to algorithmic procedures.

The algorithmic boardroom threatens to replace this deliberative model with what we might call governance by calculation. When strategic decisions are increasingly informed—or determined by AI systems, the locus of judgment shifts from human directors to the designers and owners of algorithmic infrastructure. Directors become consumers of computational outputs rather than exercisers of independent judgment, their role transformed from deliberation to interpretation of algorithmic recommendations.

When AI systems are introduced as decision-support tools, they subtly but powerfully reshape this deliberative dynamic. Rather than beginning with open-ended discussion of strategic alternatives, board meetings increasingly center on reviewing and responding to algorithmic recommendations. The AI system's output—presented as objective analysis based on comprehensive data becomes the starting point for discussion rather than the conclusion of deliberation. This reversal fundamentally alters the epistemic status of board judgment, transforming directors from active deliberators into reactive validators of computational outputs.

This transformation is accelerated by what we might term the authority gradient inherent in algorithmic systems. When an AI presents a recommendation supported by complex mathematical analysis of vast datasets, directors face strong psychological and social pressures to defer to its judgment, particularly when they lack the technical expertise to evaluate its methods or challenge its conclusions. Research on automation bias demonstrates that humans tend to uncritically accept algorithmic recommendations even when they conflict with other available evidence (Skitka et al., 1999; Parasuraman & Riley, 1997).

In the boardroom context, this bias may be amplified by directors' concerns about appearing technophobic, unsophisticated, or resistant to innovation.

Moreover, increased reliance on automated systems tends to produce skill degradation as human operators lose practice in independent judgment and become dependent on technological aids. In the boardroom context, if directors increasingly defer to AI recommendations rather than exercising their own analytical capabilities, they may experience an atrophy of the judgment skills that constitute governance expertise—creating a dangerous feedback loop in which algorithmic dependency becomes self-reinforcing as human capacities decline.

The commodification of judgment transforms governance from a professional practice rooted in expertise, experience, and ethical responsibility into a form of consumption mediated by technology vendors. Directors increasingly become purchasers and consumers of algorithmic governance services rather than exercisers of professional judgment. The AI governance market disrupts the traditional understanding of fiduciary duty, transforming judgment from a personal responsibility into a purchasable service. Technology vendors promise to deliver "governance intelligence," "strategic insights," or "risk analytics"—products that package complex analytical work into consumable outputs.

This commodification creates asymmetries of information and expertise between vendors who control algorithmic systems and directors who consume their outputs. Vendors have strong incentives to overstate their systems' capabilities, to obscure limitations and biases, and to lock customers into proprietary platforms that increase switching costs and reduce competitive pressure (Shapiro & Varian, 1998).

THE SYSTEMATIC EROSION OF ACCOUNTABILITY

The integration of AI into corporate governance systematically undermines traditional accountability mechanisms through three interconnected dynamics: algorithmic opacity, responsibility diffusion, and the transformation of governance into a technical rather than ethical practice.

The opacity problem is fundamental to contemporary AI systems, particularly those based on machine learning. These systems operate as "black boxes" whose decision-making processes are opaque even to their designers (Pasquale, 2015). When a neural network trained on millions of data points produces a recommendation, it may be impossible to trace the specific factors that influenced its output or to understand why it recommended one course of action over another. Modern machine learning systems, particularly those employing deep neural networks, often function as black boxes whose reasoning processes are opaque even to their designers.

For corporate governance, this opacity creates severe accountability challenges. When directors act on AI recommendations they cannot fully understand or evaluate, traditional mechanisms of accountability break down. How can shareholders hold directors accountable for decisions whose rationale is computationally opaque? How can courts evaluate whether directors exercised reasonable care and informed judgment if the basis for their decisions is algorithmically inscrutable? How can stakeholders challenge governance choices if those choices rest on proprietary algorithms whose operation is protected as trade secrets?

Directors have fiduciary duties to act with care, loyalty, and good faith in the corporation's interests duties that require them to understand the basis for their decisions and to be able to explain and justify these decisions to shareholders and other stakeholders (Blair & Stout, 1999). When board decisions rest on algorithmic recommendations that cannot be meaningfully explained, this accountability structure breaks down. If challenged about a decision, directors cannot provide the kind of reasoned explanation that accountability demands.

Recent developments in "explainable AI" (XAI) seek to address this problem by generating human-interpretable explanations of algorithmic outputs (Arrieta et al., 2020). However, XAI faces fundamental limitations that make it an inadequate solution to the accountability problem.

First, XAI explanations are themselves algorithmic constructs—post-hoc rationalizations generated by separate algorithms to make the primary system's outputs more palatable to human audiences (Selbst & Barocas, 2018). These explanations may not accurately represent the actual computational process that generated the original output; they are stories told about the algorithm's reasoning rather than transparent windows into its actual functioning.

Second, even when XAI provides technically accurate explanations, these explanations often require substantial technical expertise to interpret and evaluate. Most directors lack training in machine learning, statistical inference, or data science, making them unable to critically assess XAI explanations. Third, and most fundamentally, explainability addresses only the question of how an algorithm reached its output, not the question of whether the decision should have been delegated to an algorithm in the first place.

The opacity problem is compounded by the proprietary nature of many AI systems used in corporate governance. Technology vendors treat their algorithms as trade secrets, protecting them from disclosure through intellectual property law and contractual restrictions (Pasquale, 2015). This means that even when technical experts might be able to evaluate an algorithm's functioning, they are legally prohibited from accessing the information needed to do so.

The introduction of AI into governance processes creates what Matthias (2004) terms a "responsibility gap"—a situation in which neither the human operators nor the technological systems can be meaningfully held accountable for outcomes. When a board makes a decision based on AI recommendations, who bears responsibility if that decision proves disastrous? The directors who accepted the recommendation? The data scientists who designed the algorithm? The executives who selected the AI vendor? The vendors who marketed the system as objective and reliable? This diffusion of responsibility across human and technological actors makes it difficult to assign accountability in any meaningful sense.

THE CONCENTRATION OF POWER AND TECHNOCRATIC OLIGARCHY

As boards become dependent on AI systems for strategic analysis, risk assessment, and decision support, power inexorably shifts to those who design, control, and interpret these systems. This concentration of meta-governance power in the hands of a new technological elite represents perhaps the most troubling long-term consequence of algorithmic governance, threatening to transform corporate decision-making into a form of technocratic oligarchy that operates beyond democratic accountability.

Ethical governance requires substantive moral deliberation about the appropriate treatment of stakeholders, the corporation's social responsibilities, the right balance between competing values, and the long-term consequences of corporate actions (Freeman, 1984; Phillips, 2003). This deliberation cannot be reduced to algorithmic procedures because it involves precisely the kind of moral reasoning, value judgment, and contextual interpretation that resists computational formalization (MacIntyre, 1981).

However, the integration of AI into board operations creates possibilities for what we might call the outsourcing of ethics—the delegation of ethical deliberation to algorithmic systems that operationalize complex moral questions through quantitative proxies and weighted scoring mechanisms. Consider AI systems designed to assess environmental, social, and governance (ESG) performance, to evaluate stakeholder impacts, or to guide corporate social responsibility initiatives. These systems necessarily make contestable value judgments in their design and implementation. They must decide which stakeholders matter and how much, which environmental impacts to measure and how to weight them, which social issues to prioritize, and how to make tradeoffs among competing ethical considerations.

Yet these value judgments are rendered invisible by the technical apparatus of algorithmic scoring. The system produces quantitative ratings that appear as objective measures of ethical performance, obscuring the normative choices embedded in their construction.

Boards may embrace such systems as evidence of ethical governance while actually avoiding the difficult work of genuine ethical deliberation. This pattern exemplifies what Morozov (2013) calls "solutionism"—the belief that complex social, political, and moral problems can be solved through technological fixes. Solutionism promises to eliminate the conflict, ambiguity, and difficulty inherent in genuine ethical deliberation, replacing messy democratic processes with clean technical solutions. However, this promise is illusory; the technical systems merely embed particular value judgments while making them harder to identify and contest.

The emergence of algorithmic governance creates new forms of structural dependence that concentrate power in the hands of a small number of technology vendors who control the AI systems upon which boards rely. Unlike traditional service providers whom boards could easily replace, AI vendors become embedded in governance infrastructure in ways that create substantial switching costs and lock-in effects. Once a board has adopted a particular AI platform, integrated it with corporate data systems, trained directors in its use, and based strategic decisions on its outputs, replacing that system becomes extraordinarily difficult and costly.

This structural dependence gives technology vendors unprecedented influence over corporate strategy and decision-making. Vendors design the algorithms that frame strategic alternatives, select the metrics that define success, determine which data inputs are relevant, and shape the presentation of information to boards. Through these design choices, vendors exercise what Winner (1980) calls "technological politics"—the power to shape social outcomes through apparently neutral technical decisions.

As boards become dependent on AI systems for risk assessment, strategic analysis, compliance monitoring, and other core governance functions, enormous power concentrates in the hands of those who design, control, and deploy these systems. Technology vendors effectively become meta-governors—actors who shape governance processes, frame decision alternatives, and structure the information environment in which boards operate, yet who face no fiduciary obligations to shareholders or stakeholders and operate largely beyond democratic accountability (Zuboff, 2019).

This concentration of meta-governance power operates through multiple mechanisms. First, vendors shape boards' understanding of what good governance entails by defining the metrics, benchmarks, and key performance indicators embedded in their systems. Second, vendors control the data inputs and analytical frameworks that inform board deliberations. They decide what information is collected, how it is processed and interpreted, which patterns are highlighted as significant, and how diverse data streams are integrated into coherent narratives. The concentration of algorithmic governance capabilities in a few dominant platforms creates network effects and economies of scale that reinforce market concentration. As certain AI systems become industry standards, boards face pressure to adopt them to maintain competitive parity and satisfy stakeholder expectations. This dynamic tends toward oligopoly, with a small number of technology companies controlling the algorithmic infrastructure of corporate governance across wide swathes of the economy.

TOWARD DEMOCRATIC GOVERNANCE IN AN AGE OF ALGORITHMS

The challenges we have identified—the commodification of judgment, the erosion of accountability, the concentration of power in technocratic elites—are not inevitable consequences of technological progress but rather reflect particular choices about how to design, deploy, and govern algorithmic systems. A different future is possible, one in which AI augments rather than replaces human judgment, enhances rather than undermines accountability, and serves rather than subverts democratic governance.

Realizing this alternative vision requires fundamental changes in how we conceptualize the relationship between human and algorithmic authority in corporate decision-making.

We propose five interconnected principles for democratic governance in an age of algorithms, principles that recognize the political rather than merely technical nature of algorithmic systems and that insist on preserving human agency, democratic accountability, and meaningful stakeholder participation in economic decision-making.

Human Primacy in Ethical Deliberation. The first principle holds that questions involving ethical judgment, stakeholder balancing, and value trade-offs must remain the province of human deliberation. AI systems may provide relevant data, identify patterns, and model consequences, but they cannot and should not make the value judgments that lie at the heart of fiduciary responsibility. This principle requires boards to maintain clear boundaries between algorithmic recommendation and human decision, ensuring that directors exercise genuine judgment rather than merely ratifying computational outputs.

Implementing this principle requires institutional changes that preserve directors' capacity for independent moral reasoning. Boards should establish clear protocols distinguishing decisions appropriate for algorithmic support from those requiring purely human deliberation. They should regularly engage in structured ethical deliberation independent of AI recommendations to maintain their capacity for moral reasoning. They should resist the temptation to outsource difficult ethical choices to scoring systems or optimization algorithms, recognizing that moral legitimacy depends on substantive human engagement with ethical questions.

Algorithmic Transparency and Contestability. Democratic governance requires that algorithmic systems be transparent in their operation and open to meaningful challenge. This means more than technical explainability—it requires that the assumptions, values, and priorities embedded in algorithmic systems be made visible and subject to critical examination by those affected by their outputs. Boards should demand that AI vendors provide clear documentation of their systems' design logic, training data, performance metrics, and known limitations. Stakeholders should have meaningful opportunities to challenge algorithmic recommendations and to propose alternative decision frameworks.

Transparency must extend beyond technical documentation to encompass the political choices embedded in system design. Which objectives are optimized? Which stakeholders are considered? Which values are prioritized? Which tradeoffs are deemed acceptable? These questions cannot be answered through technical explanations alone but require substantive deliberation about the purposes algorithmic systems should serve and the values they should embody.

Contestability demands institutional mechanisms through which stakeholders can meaningfully challenge algorithmic recommendations. This might include: stakeholder representation in the design and oversight of governance algorithms; public auditing of AI systems used in corporate decision-making; rights to explanation and appeal when algorithmic systems produce decisions affecting stakeholder interests; and democratic forums where alternative algorithmic frameworks can be proposed and debated.

Distributed Algorithmic Literacy. If algorithmic systems are to serve rather than dominate governance, directors must develop sufficient understanding of AI capabilities and limitations to exercise informed judgment about their use. This does not require directors to become data scientists, but it does demand basic literacy in algorithmic concepts, awareness of common pitfalls and biases, and capacity to ask probing questions about system design and outputs.

Distributed literacy requires investment in director education and the development of governance norms that value critical evaluation of algorithmic systems. Directors should be trained to understand: how algorithms make decisions; common sources of bias and error; the difference between correlation and causation; the limitations of predictive models; and the importance of human judgment in interpreting algorithmic outputs.

Boards should cultivate cultures that reward questioning of algorithmic recommendations rather than treating such questioning as technophobic or anti-modern.

More broadly, algorithmic literacy must extend beyond boards to encompass employees, shareholders, and other stakeholders who interact with or are affected by algorithmic governance systems. Democratic oversight of algorithmic systems requires widespread understanding of how these systems function and what values they embody.

Precautionary Regulation. The potential harms from algorithmic governance are sufficiently serious that we should adopt a precautionary approach, limiting AI deployment until robust safeguards are in place. This means regulatory frameworks that: require transparency in algorithmic design and outputs; mandate human oversight of high-stakes decisions; establish clear accountability mechanisms; protect against discriminatory impacts; and preserve meaningful stakeholder participation in governance processes.

Precautionary regulation recognizes that algorithmic systems can cause substantial harm before their problematic consequences become evident. The opacity of machine learning systems, the difficulty of detecting subtle biases, and the tendency for algorithmic decisions to compound over time mean that waiting for demonstrated harms before regulating may allow serious damage to accumulate. Instead, regulatory frameworks should establish clear requirements that AI systems must meet before deployment in governance contexts.

Such frameworks might include: mandatory algorithmic impact assessments evaluating potential effects on stakeholders; requirements for human oversight and meaningful human intervention in consequential decisions; liability rules that assign clear responsibility when algorithmic systems cause harm; prohibitions on algorithmic systems making certain types of decisions without human review; and regular audits to detect bias, discrimination, or other problematic patterns in algorithmic outputs.

Democratic Oversight of Algorithmic Infrastructure. Finally, the systems that shape corporate governance must themselves be subject to democratic oversight. This requires moving beyond purely market-based or industry self-regulatory approaches to develop public governance mechanisms that ensure algorithmic systems serve broad social interests rather than narrow technical or commercial objectives. Such oversight might include: mandatory algorithmic impact assessments; public auditing of AI systems used in corporate governance; stakeholder representation in the design of governance algorithms; and democratic deliberation about the appropriate role of AI in economic decision-making.

Democratic oversight recognizes that algorithmic governance systems are not merely private commercial products but rather infrastructural elements that shape economic power relations and affect the distribution of benefits and burdens across society. As such, they should be subject to democratic governance rather than left entirely to market forces or corporate discretion.

This principle points toward new institutional forms: public algorithmic observatories that monitor AI systems used in economic governance; stakeholder boards with authority to review and challenge algorithmic design choices; democratic forums where citizens can deliberate about the appropriate scope and limits of algorithmic decision-making; and public investment in alternative algorithmic systems designed to serve broad social purposes rather than narrow commercial interests.

These five principles are interconnected and mutually reinforcing. Human primacy in ethical deliberation depends on algorithmic transparency that makes embedded values visible for critical examination. Transparency enables contestability, which requires distributed literacy to be meaningful. Precautionary regulation provides the institutional framework for implementing these principles, while democratic oversight ensures that algorithmic infrastructure serves public purposes rather than private interests.

Together, these principles point toward a fundamentally different relationship between human and algorithmic authority in corporate governance—one in which AI serves as a tool for enhancing human judgment rather than displacing it, in which algorithmic systems are transparent and contestable rather than opaque and inscrutable, and in which technological systems remain subordinate to democratic values and accountable to those they affect.

CONCLUSION

The integration of artificial intelligence into corporate governance represents a critical juncture in the evolution of corporate institutions and their relationship to democratic society. The choices we make about algorithmic governance in the coming years will shape not only how corporations are governed but also the distribution of power in the economy, the nature of accountability in complex socio-technical systems, and the possibilities for democratic participation in economic life.

Our analysis suggests that the uncritical embrace of AI in boardrooms threatens to undermine the human judgment, deliberative practice, and democratic accountability that constitute the normative foundations of legitimate corporate governance. The commodification of fiduciary judgment transforms governance from a professional practice involving wisdom and ethical responsibility into a form of technological consumption mediated by vendors whose interests diverge from those of corporations and stakeholders. The opacity of algorithmic systems and the diffusion of responsibility across human-machine assemblages systematically erode accountability mechanisms, making it increasingly difficult to hold anyone meaningfully accountable for governance failures. The concentration of meta-governance power in the hands of technology vendors creates new forms of technocratic oligarchy that operate beyond democratic control, shaping corporate decision-making through design choices that remain invisible and unaccountable.

The promises of efficiency, objectivity, and enhanced decision-making that justify algorithmic governance rest on problematic premises about the nature of governance work, the superiority of computational over human reasoning, and the neutrality of technological systems. These premises reflect particular values and interests that privilege computational rationality over human judgment, optimization over deliberation, quantification over contextual understanding, and technical expertise over democratic accountability. The efficiency imperative, when examined critically, reveals itself as a value judgment that prioritizes shareholder returns over stakeholder welfare, speed over deliberation, and quantifiable outputs over qualitative goods that resist measurement. The myth of algorithmic neutrality obscures the embedded biases, value judgments, and political choices encoded in system design, training data, and algorithmic architecture. The functionalist decomposition of governance work into discrete, optimizable tasks ignores the interpretive, relational, and ethical dimensions of board functioning that resist quantification but may be the most important determinants of governance quality.

The transformation from deliberation to computation fundamentally restructures the epistemic foundations of board work in ways that undermine directors' capacity for independent judgment and moral reasoning. When algorithmic recommendations become the starting point rather than the conclusion of deliberation, when sophisticated mathematical analysis creates authority gradients that discourage critical questioning, when automation bias and skill degradation create self-reinforcing cycles of algorithmic dependency, the result is governance without genuine judgment a form of procedural compliance masquerading as fiduciary responsibility.

The systematic erosion of accountability through algorithmic opacity, responsibility gaps, and the proprietary protection of algorithms as trade secrets makes it increasingly difficult to hold anyone meaningfully accountable for governance failures.

When decisions rest on black box systems whose functioning cannot be explained or evaluated, when responsibility is diffused across complex assemblages of human actors and technological systems, when explanations are themselves algorithmic constructs that may not represent actual reasoning processes, traditional accountability mechanisms break down. Directors may claim to have exercised reasonable care by relying on sophisticated AI systems, but this claim rings hollow when they cannot explain the basis for their decisions or demonstrate that they understood and critically evaluated the algorithmic recommendations they followed. The result is governance without genuine responsibility a state of affairs fundamentally incompatible with democratic principles and fiduciary obligations.

The concentration of power in technocratic elites who design and control algorithmic systems represents perhaps the most profound threat to democratic governance. The outsourcing of ethics to scoring mechanisms that render value judgments invisible, the structural dependence on proprietary platforms that create vendor lock-in and information asymmetries, the emergence of technology companies as meta-governors who shape governance processes through design choices that remain opaque and unaccountable—these developments point toward a future in which corporate power becomes increasingly concentrated, technocratic, and resistant to democratic oversight or stakeholder challenge.

Yet these outcomes are not inevitable. We can choose different paths—ones that preserve human primacy in ethical deliberation, ensure algorithmic transparency and contestability, distribute algorithmic literacy more widely, adopt precautionary regulatory frameworks, and subject algorithmic infrastructure to democratic oversight. The question is not whether to use AI in corporate governance but rather how to deploy these technologies in ways that enhance rather than undermine the democratic accountability and human judgment that should characterize corporate decision-making. This requires recognizing that algorithmic systems are not neutral tools but rather political artifacts that embody particular values, serve particular interests, and shape power relations in ways that demand democratic governance rather than technocratic management.

The algorithmic turn in corporate governance thus confronts us with fundamental questions about the kind of economy and society we wish to inhabit. Will we allow the progressive delegation of strategic and ethical judgment to computational systems, accepting the concentration of power in technocratic elites and the erosion of democratic accountability? Or will we insist on governance frameworks that preserve human agency, distribute power more equitably, and maintain meaningful democratic oversight of the institutions that shape our economic lives?

These are not technical questions to be resolved by experts but political questions demanding democratic deliberation. They concern the proper relationship between human judgment and algorithmic calculation, between technical expertise and democratic participation, between corporate power and social accountability. They ask whether we will subordinate governance to the logic of computational optimization or preserve spaces for human deliberation, moral reasoning, and democratic contestation.

The stakes extend beyond corporate governance to the broader question of human flourishing in an algorithmic age. If we allow the progressive automation of judgment in the economic sphere, we risk creating a society in which human agency, moral responsibility, and democratic participation are systematically diminished. We risk constructing what Zuboff (2019) calls "instrumentarian power"—a regime in which human behavior is shaped and controlled through computational systems that operate beyond democratic oversight or meaningful consent. The eclipse of judgment in corporate governance may thus prefigure a broader eclipse of human agency across multiple domains of social life.

Our hope is that by illuminating the stakes of algorithmic governance and the alternatives available to us, this analysis contributes to more informed and democratic choices about the future of corporate power and responsibility. The eclipse of judgment is not a technological necessity but a political choice—one we can still refuse to make. We can choose to preserve human primacy in ethical deliberation, to demand algorithmic transparency and democratic oversight, to distribute technical capabilities more widely, and to subject technological systems to meaningful accountability. The question is whether we will exercise this choice before the algorithmic transformation of governance becomes so deeply entrenched as to appear inevitable and irreversible, before the concentration of power in technocratic elites becomes so complete as to resist democratic challenge, before the erosion of human judgment and moral agency proceeds so far as to be practically irreversible.

The corporate boardroom has long served as a crucial site where economic power is exercised, where strategic choices affecting millions are made, where stakeholder interests are balanced or subordinated. If we allow this space to be progressively colonized by algorithmic systems that escape democratic accountability, that embody values and serve interests we cannot examine or contest, that transform judgment into computation and deliberation into optimization, we will have surrendered not merely a governance mechanism but a fundamental principle: that those who exercise power over others must be accountable to those they affect, must exercise genuine judgment rather than mechanical compliance, must engage in moral reasoning rather than algorithmic calculation. This principle is worth defending—indeed, it is essential to any conception of legitimate governance in a democratic society.

* This article was funded by the European Union – NextGenerationEU under Call IIP-581-2025

REFERENCES

- Arrieta, A. B., Díaz-Rodríguez, N., Del Ser, J., Bennetot, A., Tabik, S., Barbado, A., ... & Herrera, F. (2020). Explainable Artificial Intelligence (XAI): Concepts, taxonomies, opportunities and challenges toward responsible AI. *Information Fusion*, 58, 82–115.
- Benjamin, R. (2019). *Race after technology: Abolitionist tools for the new Jim Code*. Polity Press.
- Blair, M. M., & Stout, L. A. (1999). A team production theory of corporate law. *Virginia Law Review*, 85(2), 247–328.
- Bodolica, V., & Spraggon, M. (2021). Artificial intelligence in strategic decision-making: Insights from the upper echelons theory. *Management Decision*, 59(6), 1209–1234.
- Brennan, N., & Solomon, J. (2008). Corporate governance, accountability and mechanisms of accountability: An overview. *Accounting, Auditing & Accountability Journal*, 21(7), 885–906.
- Brynjolfsson, E., & McAfee, A. (2014). *The second machine age: Work, progress, and prosperity in a time of brilliant technologies*. W. W. Norton & Company.
- Burrell, J. (2016). How the machine 'thinks': Understanding opacity in machine learning algorithms. *Big Data & Society*, 3(1), 1–12.
- Carr, N. (2014). *The glass cage: Automation and us*. W. W. Norton & Company.
- Chen, J., Liu, Y., & Liang, J. (2022). Artificial intelligence adoption in business: State of the art and future research agenda. *Journal of Business Research*, 142, 816–832.
- Christin, A. (2017). Algorithms in practice: Comparing web journalism and criminal justice. *Big Data & Society*, 4(2), 1–14.
- Davis, J. H., Schoorman, F. D., & Donaldson, L. (1997). Toward a stewardship theory of management. *Academy of Management Review*, 22(1), 20–47.
- Donaldson, L., & Davis, J. H. (1991). Stewardship theory or agency theory: CEO governance and shareholder returns. *Australian Journal of Management*, 16(1), 49–64.

Eubanks, V. (2018). *Automating inequality: How high-tech tools profile, police, and punish the poor*. St. Martin's Press.

Eulerich, M., Theis, J., Velte, P., & Stiglbauer, M. (2021). Self-perception of the internal audit function within the corporate governance system—Empirical evidence for the European Union. *Journal of Management and Governance*, 25(2), 503–529.

Forbes, D. P., & Milliken, F. J. (1999). Cognition and corporate governance: Understanding boards of directors as strategic decision-making groups. *Academy of Management Review*, 24(3), 489–505.

Freeman, R. E. (1984). *Strategic management: A stakeholder approach*. Pitman.

Habermas, J. (1984). *The theory of communicative action, Volume 1: Reason and the rationalization of society*. Beacon Press.

Hendry, K., & Kiel, G. C. (2004). The role of the board in firm strategy: Integrating agency and organisational control perspectives. *Corporate Governance: An International Review*, 12(4), 500–520.

Knight, F. H. (1921). *Risk, uncertainty and profit*. Houghton Mifflin.

Leblanc, R., & Schwartz, M. S. (2007). The black box of board process: Gaining access to a difficult subject. *Corporate Governance: An International Review*, 15(5), 843–851.

Lorsch, J. W., & MacIver, E. (1989). *Pawns or potentates: The reality of America's corporate boards*. Harvard Business School Press.

MacIntyre, A. (1981). *After virtue: A study in moral theory*. University of Notre Dame Press.

Makridis, C., & Schlagwein, D. (2022). How artificial intelligence could transform corporate governance. *MIT Sloan Management Review*, 63(4), 1–5.

March, J. G. (1994). *A primer on decision making: How decisions happen*. Free Press.

Matthias, A. (2004). The responsibility gap: Ascribing responsibility for the actions of learning automata. *Ethics and Information Technology*, 6(3), 175–183.

Morgan, G. (2006). *Images of organization*. Sage Publications.

Morozov, E. (2013). *To save everything, click here: The folly of technological solutionism*. Public Affairs.

Muller, J. Z. (2018). *The tyranny of metrics*. Princeton University Press.

Noble, S. U. (2018). *Algorithms of oppression: How search engines reinforce racism*. NYU Press.

O'Neil, C. (2016). *Weapons of math destruction: How big data increases inequality and threatens democracy*. Crown.

Parasuraman, R., & Riley, V. (1997). Humans and automation: Use, misuse, disuse, abuse. *Human Factors*, 39(2), 230–253.

Pasquale, F. (2015). *The black box society: The secret algorithms that control money and information*. Harvard University Press.

Pasquale, F. (2020). *New laws of robotics: Defending human expertise in the age of AI*. Harvard University Press.

Phillips, R. (2003). *Stakeholder theory and organizational ethics*. Berrett-Koehler Publishers.

Porter, T. M. (1995). *Trust in numbers: The pursuit of objectivity in science and public life*. Princeton University Press.

Roberts, J., McNulty, T., & Stiles, P. (2005). Beyond agency conceptions of the work of the non-executive director: Creating accountability in the boardroom. *British Journal of Management*, 16(S1), S5–S26.

Scott, W. R., & Davis, G. F. (2007). *Organizations and organizing: Rational, natural and open systems perspectives*. Pearson Prentice Hall.

- Selbst, A. D., & Barocas, S. (2018). The intuitive appeal of explainable machines. *Fordham Law Review*, 87(3), 1085–1139.
- Selznick, P. (1957). *Leadership in administration: A sociological interpretation*. Harper & Row.
- Shapiro, C., & Varian, H. R. (1998). *Information rules: A strategic guide to the network economy*. Harvard Business School Press.
- Skitka, L. J., Mosier, K. L., & Burdick, M. (1999). Does automation bias decision-making? *International Journal of Human-Computer Studies*, 51(5), 991–1006.
- Smith, D. G. (1998). The critical resource theory of fiduciary duty. *Vanderbilt Law Review*, 51(5), 1399–1497.
- Srnicek, N. (2017). *Platform capitalism*. Polity Press.
- Tipurić, D. (2025). Morocracy. *Ekonomski pregled*, 76 (6), 482-502.
- Winner, L. (1980). Do artifacts have politics? *Daedalus*, 109(1), 121–136.
- Zuboff, S. (2019). *The age of surveillance capitalism: The fight for a human future at the new frontier of power*. Public Affairs.

MACROECONOMIC PROPORTIONALITY AND STRUCTURAL DYNAMICS OF THE AGRICULTURAL SECTOR IN AZERBAIJAN

Aslan AZIMZADEH

Baku Eurasian University, Baku, Azerbaijan

Odlar Yurdu University, Baku, Azerbaijan

ORCID ID: 0000-0003-1441-440X

Rauf HASANZADE

International Maarif Schools of Bucharest, Bucharest, Romania

ABSTRACT

The study of macroeconomic proportions serves as an important methodological tool for the formulation of long-term preventive development plans for the national economy and its respective sectors. Since the twentieth century, analyses conducted by economists based on classical macroeconomic proportions to address economic challenges have played a pivotal role, providing a foundational framework for numerous subsequent studies. The preservation of macroeconomic proportions across different sectors of the economy contributes to sustainable intersectoral balance, which is unequivocally a distinctive feature of countries characterized by effective and progressive economic governance models.

In accordance with the research questions set forth in this study, both the classical macroeconomic proportion - namely, the ratio of value added generated in Azerbaijan's agriculture, forestry, and fishing sector to the country's Gross Domestic Product (GDP) - and the structural dynamics of this indicator will be analyzed. Furthermore, the research will examine the proportionality of agricultural output at the regional level within Azerbaijan, thereby providing a comprehensive assessment of sectoral balance and regional distribution patterns.

The study employs a quantitative research methodology incorporating induction, deduction, correlation analysis, as well as comparative and statistical analysis techniques. The primary practical limitation of the research is characterized by the lack of a more comprehensive data base in the relevant field. The findings of the study indicate that the ratio of value added generated in Azerbaijan's agriculture, forestry, and fishing sector to Gross Domestic Product (GDP) has declined over the years. However, at the regional level, disproportionality has not been observed as sharply in comparison with other sectors. This outcome is largely attributable to the relatively weak development of the aforementioned sector in the city of Baku.

Keywords: Macroeconomic Proportions, Disproportionality, Agricultural Sector, Azerbaijan

INTRODUCTION

Macroeconomic proportions play an important role as an indicative analytical tool in strategic planning that determines the long-term trajectory of countries' economic development (Azimzadeh, 2026). In general, it should be noted that maintaining proportional balance across different sectors of the national economy is one of the key factors supporting economic development (Collachio, 2005).

A number of scholars have utilized macroeconomic proportions in their studies, which has helped address the research questions they posed and has contributed to the overall development of economic science (Keynes, 1936; Papanek, 1964; Korpi, 2002). One of the most widely used examples of macroeconomic proportional analysis is the ratio of a specific economic indicator to GDP, a method that can be observed in the analyses of a broad range of researchers (Bleaney and Tian, 2023; Delbianco and Dabús, 2024; Leão and Leão, 2025; Berk and Binsbergen, 2026).

In this study, the share of value added generated in Azerbaijan’s agriculture, forestry, and fishing sector in GDP, as well as the regional distribution of total production within this sector, will be analyzed. This represents a comparative examination of sectoral and regional macroeconomic proportions.

Overall, a number of scholars have examined the agricultural sector (Qazi and Ammad, 2021; Hyhoruk et al., 2021; Binh, 2022; Shmatkovska et al., 2022; Hasanov et al., 2025). However, there appears to be a relative gap in the literature concerning macroeconomic proportional analysis of the agriculture, forestry, and fishing sectors in Azerbaijan. This factor can be considered one of the elements that characterizes the relevance of the present study.

Within the framework of the study, the following research questions will be addressed:
Research Question 1: What are the structural dynamics of the share of value added generated in the agriculture, forestry, and fishing sector in Azerbaijan’s GDP?

Research Question 2: Is an optimal proportional distribution observed in the output of the agricultural sector across the economic regions of Azerbaijan?

METHODOLOGY

The study will employ a quantitative research method. The data to be used in the analysis are based on the indicators provided by the World Bank. Initially, a correlation analysis will be conducted in order to examine the nature of the relationship between the share of value added generated in the agriculture, forestry, and fishing sector in GDP and the overall growth of the national economy. This analysis will be carried out using the GRETL 2025b and IBM SPSS Statistics 27 software packages.

The share of value added in the agriculture, forestry, and fishing sector in GDP is coded as Agri_to_GDP, while the GDP growth rate is coded as GDP_Growth. The study covers the period from 2000 to 2024. Prior to the correlation analysis, it is necessary to conduct normality tests for these two variables in order to determine which correlation method is appropriate to use (Field, 2013). Since the sample size is 25, the most appropriate normality test is the Shapiro–Wilk normality test (Mishra et al., 2019).

Table 1. Shapiro-Wilk normality test for Agri_to_GDP and GDP_Growth

Name of variable	Result	p-value
Agri_to_GDP	W = 0.707319	0.00000915714
GDP_Growth	W = 0.829256	0.000729206

The results of the test indicate that normality was not detected for both variables. A p-value greater than 0.05 for the variables is generally considered an indication of normal distribution (Azimzadeh, 2025). However, in this case, the opposite situation is observed. This suggests that the use of Spearman’s Rank Correlation may be more appropriate instead of the Pearson correlation (Field, 2013). The formula for this correlation is presented as follows (Song and Park, 2020; Tunç and Alpaslan, 2026):

$$r_s = 1 - \frac{6 \sum d_i^2}{n(n^2-1)} \quad (1)$$

The strength of correlation coefficients ranges between -1 and +1 (Hair et al., 2017). It should be noted that, according to Hair et al. (2017), a coefficient higher than ± 0.61 indicates a strong relationship. In this study, the interpretation of the strength of the correlation coefficients will also be conducted in accordance with the classification proposed by Hair et al. (2017).

In accordance with the second research question, the regional proportionality of output in the agricultural sector across the economic regions of Azerbaijan will be calculated using the method proposed by Azimzadeh (2026). The method is presented as follows:

$$X_1 + X_2 + X_3 + \dots + X_n = \sum_{k=1}^n X_k \quad (2)$$

$$\frac{\sum_{k=1}^n X_k}{n} = Y_k \quad (3)$$

$$\frac{X_1}{Y_k} = A_1; \frac{X_2}{Y_k} = A_2; \frac{X_3}{Y_k} = A_3 \dots \frac{X_n}{Y_k} = A_k \quad (4)$$

Here, X_k represents the total output of the agriculture, forestry, and fishing sector, Y_k denotes the arithmetic mean of this output, and A_k is the proportionality coefficient obtained by dividing the sector's output by its arithmetic mean.

The main limitation of the study is the insufficient availability of monthly and quarterly regional data on the agriculture, forestry, and fishing sector in Azerbaijan, which limits the possibility of increasing the sample size.

RESULT AND DISCUSSION

Initially, it is necessary to analyze Spearman's rank correlation coefficient and examine the nature of the relationship between these indicators

Table 2. Spearman's rank correlation for Agri to GDP and GDP Growth

		Agri to GDP	GDP Growth
Spearman's rho	Agri_to_GDP	Correlation Coefficient	1.000
		Sig. (2-tailed)	.004
	GDP_Growth	Correlation Coefficient	.557**
		Sig. (2-tailed)	.004

** . Correlation is significant at the 0.01 level (2-tailed).

Spearman's rank correlation indicates that there is a moderate relationship between the share of value added generated in the agriculture, forestry, and fishing sector in GDP and economic growth in Azerbaijan.

In accordance with the first research question, it is important to analyze the structural dynamics of the share of value added generated in the agriculture, forestry, and fishing sector in GDP in Azerbaijan, which is considered an indicative macroeconomic proportion

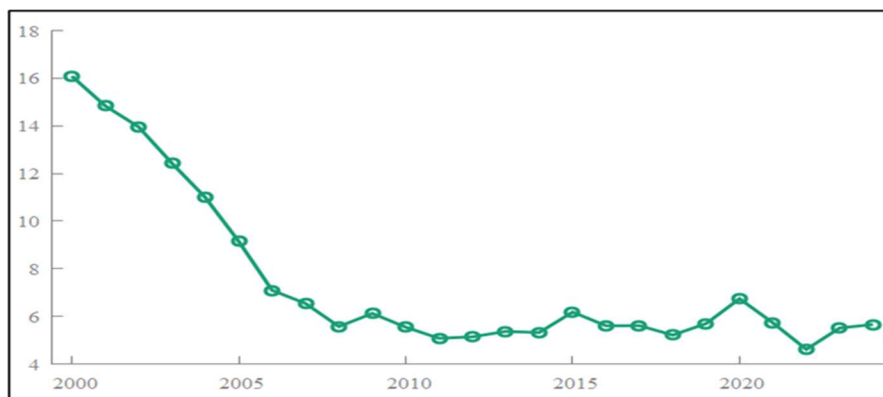


Figure 1. Share of Value Added in Agriculture, Forestry, and Fishing in GDP in Azerbaijan
Source: World Bank (<https://data.worldbank.org/indicator/NV.AGR.TOTL.ZS>)

As shown in Figure 1, the share of value added in the agriculture, forestry, and fishing sector in GDP is decreasing. Several reasons may explain this trend. First, it is important to highlight the challenges associated with the adoption of advanced technologies in the sector. The insufficient development of domestic private investment mechanisms and potential inefficiencies in the allocation of investments may contribute to this situation. However, the main reason may be the more rapid growth of value added in other sectors, particularly in the oil and gas sector, which forms the core of the mining industry. It should be noted that in recent years, efficiency has been observed in investments made in the mining industry (Azimzadeh, 2025).

In accordance with the second research question, it is necessary to examine the regional proportionality of output in the agricultural sector across the 14 economic regions of Azerbaijan.

Table 3. Proportionality Coefficients of the Agricultural Sector across the Economic Regions of Azerbaijan (Comparison of 2005 and 2024)

Name of economic region	2024	2005
Baku City	0,20	0,05
Nakhchivan Autonomous Republic	0,44	0,74
Absheron-Khizi Economic Region	0,56	0,26
Mountainous Shirvan Economic Region	0,63	0,67
Ganja-Dashkasan Economic Region	0,52	0,49
Karabakh Economic Region	1,69	1,24
Gazakh-Tovuz Economic Region	1,95	2,29
Guba-Khachmaz Economic Region	1,53	1,54
Lankaran-Astara Economic Region	1,25	1,59
Central Aran Economic Region	1,52	1,47
Mil-Mughan Economic Region	1,39	1,39
Sheki-Zagatala Economic Region	1,10	1,31
Eastern Zangezur Economic Region	0,20	0,09
Shirvan-Salyan Economic Region	1,02	0,87

It is clearly observed in Table 3 that optimal proportionality exists in the agricultural sector across the economic regions of Azerbaijan. It should be noted that in this section the agricultural sector is considered independently, and the forestry and fisheries sectors are not included in this analysis.

It is particularly important to emphasize that after the 44-Day Karabakh War, significant revitalization has occurred in the Karabakh and East Zangezur economic regions, which is also reflected in the proportionality coefficients. Since the relevant indicators were not available starting from 2000 for these regions, 2005 was taken as the base year for comparison.

In their scientific research, Hyhoruk et al. (2021) conducted a study across the regions of Ukraine and attempted to explain their socio-economic development using several indicators. However, the researchers did not analyze agriculture as a separate sector. Shmatkovska et al. (2022), on the other hand, examined agriculture in Ukraine within the framework of macroeconomic proportions, but did not conduct a deeper analysis within a regional context.

Overall, although optimal proportionality exists in the agricultural sector across the economic regions of Azerbaijan, there remains a need to compare regional agricultural output with its potential level and to analyze the efficiency of investments made in this sector. This issue may therefore serve as an important research question for future studies.

CONCLUSION

The study of macroeconomic proportions is essential for maintaining balance in economic development. In this study, the structural dynamics of the share of value added generated in the agriculture, forestry, and fishing sector in GDP in Azerbaijan, which is considered a classical macroeconomic proportion, as well as the regional proportionality indicator across the economic regions of Azerbaijan, were analyzed.

Initially, Spearman's rank correlation analysis was conducted to examine the relationship between the share of value added in the agriculture, forestry, and fishing sector in GDP and economic growth in Azerbaijan, and a moderate relationship was identified. However, since the examination of the cause-effect relationship through regression analysis was not included among the main research questions of the study, this analysis was not conducted. This issue may constitute an important research direction for future studies.

In accordance with the research questions of the study, it was determined that the share of value added generated in the agriculture, forestry, and fishing sector in GDP in Azerbaijan has been decreasing. The main reason for this may be the more rapid growth of value added in other sectors, particularly in the oil and gas sector, as well as the insufficient orientation of investments in the agriculture, forestry, and fishing sector toward advanced and innovative technologies.

On the other hand, in line with the next research question, it was determined that optimal proportionality in output in the agricultural sector is observed across the economic regions of Azerbaijan. However, the extent to which this output corresponds to its potential level remains an important research question for future studies.

REFERENCES

- Azimzadeh, A. (2025). The Analysis of the Investment-Output Proportion in Azerbaijan's Mining Industry: Lag-Based Approach. *International Journal of Sustainable Development and Planning*, 20(9), 4025-4032.
- Azimzadeh, A. (2026). The Impact of Unipolar Hegemony on Foreign Exchange Reserves: A Macroeconomic Proportional Analysis. In *Shifting Power Dynamics in International Relations: From Unipolar Hegemony to Multipolarity* (pp. 209-228). IGI Global Scientific Publishing.
- Berk, J. B., & van Binsbergen, J. H. (2026). Why Care About Debt-to-GDP? (No. w34629). National Bureau of Economic Research.
- Binh, M.N.T. (2022). Improving investment attraction for economic and social development in Bac Ninh province. *Journal of Finance & Accounting Research*, 4(17): 14-20.
- Bleaney, M., & Tian, M. (2023). The trade-GDP ratio as a measure of openness. *The World Economy*, 46(5), 1319-1332.
- Colacchio, G. (2005). On the origins of non-proportional economic dynamics: A note on Tugan-Baranowsky's traverse analysis. *Structural Change and Economic Dynamics*, 16(4), 503-521.
- Delbianco, F., & Dabús, C. (2024). Optimal saving, optimal investment and economic growth: Evidence from countries with different income and openness levels. *Journal of Economic Development*, 49(4), 99-118.
- Field, A. (2013). *Discovering statistics using IBM SPSS statistics*. 4th edition, Sage publications limited.
- Hair, J. F., Wolfinbarger, M. F., Ortinau, D. J. & Bush, R. P. (2017). *Essentials of Marketing Research Fourth Edition* McGraw-Hill Education, 2 Penn Plaza, New York
- Hasanov, R.I., Mammadova, R., Gozalova, S., Karimova, N., Vasa, L. (2025). Exploring the long-term relationship between freshwater withdrawals and agricultural output in

- Azerbaijan: Evidence from ARDL and cointegration analysis (2000-2021). *International Journal of Design & Nature and Ecodynamics*, 20(6): 1371-1377.
- Hryhoruk, P., Khrushch, N., Grygoruk, S., Gorbatiuk, K., & Prystupa, L. (2021). Assessing the impact of COVID-19 pandemic on the regions' socio-economic development: The case of Ukraine. *European Journal of Sustainable Development*, 10(1), 63-63.
- Keynes J.M. (1936), *The General Theory of Employment, Interest and Money*. Edinburgh, 403.
- Korpi, W. (2002). The great trough in unemployment: A long-term view of unemployment, inflation, strikes, and the profit/wage ratio. *Politics & Society*, 30(3), 365-426.
- Leão, E. R., & Leão, P. R. (2025). The effect of government spending on the debt-to-GDP ratio in the medium term. *International Economics and Economic Policy*, 22(2), 31.
- Mishra, P., Pandey, C. M., Singh, U., Gupta, A., Sahu, C., & Keshri, A. (2019). Descriptive statistics and normality tests for statistical data. *Annals of cardiac anaesthesia*, 22(1), 67-72.
- Papanek, G. F. (1964). Industrial production and investment in Pakistan. *The Pakistan Development Review*, 4(3), 462-490.
- Qazi, M.A., Ammad, S. (2021). Public investment efficiency and sectoral economic growth in Pakistan. *Development Policy Review*, 39(3): 450-470.
- Shmatkovska, T., Kulinich, T., Dziamulych, M., Rogach, S., Bilochenko, A., Serdiukova, O.(2022). Analysis of investment efficiency in the agricultural sector of Ukraine on the basis of sustainable development. *Scientific Papers Series Management, Economic Engineering in Agriculture & Rural Development*, 22(3): 649-658.
- Song, H. Y., & Park, S. (2020). An Analysis of Correlation between Personality and Visiting Place using Spearman's Rank Correlation Coefficient. *KSII Transactions on Internet & Information Systems*, 14(5),1951-1966.
- Tunç, G., & Alpaslan, N. (2026). Linear Regression and Spearman Rank Correlation Analyses of P-wave Velocity (V_p) and Rock Quality Designation (RQD) of Karacadağ Volcanics, Southeast Türkiye. *International Journal of Environment and Geoinformatics*, 12(4), 344-352.

**DEVELOPMENT OF THE PENTAHHELIX TO HEXAHHELIX MODEL IN
RAJAPOLAH TASIKMALAYA HANDICRAFT MSME's**

Depy Muhamad PAUZY
University of Perjuangan

Ristina Siti SUNDARI
University of Perjuangan

Hary FIRMANSYAH
University of Perjuangan

ABSTRACT

This study aims to develop a model pentahelix become hexahelix within the framework of strengthening woven craft MSMEs in Rajapolah, Tasikmalaya. The pentahelix model, which has relied on collaboration between the government, academics, business actors, communities, and the media, has proven to be unable to fully address the challenges of access to financing and the sustainability of innovation and performance of MSMEs. Therefore, this study adds a sixth actor, namely financial institutions (banks, cooperatives, investors, or digital financial platforms) in an innovative collaboration framework, namely the hexahelix model. From the results of the Nvivo 12 analysis test through the interview method, it was known that the financial institution sector has not been able to succeed as an appropriate model in boosting business expansion due to a number of concerns felt by entrepreneurs related to interest that must be paid periodically in the future. Business actors are not many and are less interested in using financial institution financing, due to the process of funding disbursement requirements and installments that are feared to be unable to cover in the future when the business experiences dynamics. This model was able to encourage stronger cross-sector synergy in supporting the sustainability of the local culture-based economy and strengthening the performance of MSMEs, provided that the understanding and financial literacy of business actors are increasingly open and there was a guarantee of security from financing (financial) institutions to not apply the consequences that are feared by handicraft business actors.

Keywords: Development; Pentahelix; Hexahelix; Handicraft; MSME's.

**SMART GOVERNANCE IN THE IMPLEMENTATION OF PUBLIC SERVICES AT
THE DEPARTMENT OF POPULATION AND CIVIL REGISTRATION IN SINJAI
REGENCY**

Andi HAERUNNISA

Departemen of Public Administration, Universitas Muhammadiyah Makassar, Indonesia

Muhlis MADANI

Departemen of Public Administration, Universitas Muhammadiyah Makassar, Indonesia

Jaelan USMAN

Departemen of Public Administration, Universitas Muhammadiyah Makassar, Indonesia

Haerana

Departemen of Public Administration, Universitas Muhammadiyah Makassar, Indonesia

Fatmawati

Departemen of Public Administration, Universitas Muhammadiyah Makassar, Indonesia

ABSTRACT

The development of information technology has encouraged local governments to adopt the concept of smart governance in order to improve the quality of public services. This study aims to analyse the implementation of digital-based public services at the Population and Civil Registration Office (Disdukcapil) of Sinjai Regency and to evaluate the extent to which the principles of smart governance are applied in the process of population administration services. The study uses a qualitative descriptive approach through interviews, observations, and official document searches. The results show that the application of digital services such as online population administration services, information system integration, and the use of web-based and mobile applications has improved the accessibility, transparency, and efficiency of services. However, several challenges remain, such as limited network infrastructure in certain areas, human resource capacity, and the level of digital literacy among the community. This study confirms that the implementation of smart governance at the Sinjai Regency Disdukcapil has been progressive, but requires continuous strengthening to realise public service governance that is more adaptive, responsive, and oriented towards the needs of the community.

Keywords: Smart Governance; Digital Public Services; Population Administration; Disdukcapil; Sinjai Regency; Digital Transformation; Governance.

CORRUPTION DYNAMICS IN EUROPE: EVIDENCE FROM A DYNAMIC AR(2) PANEL MODEL

Cristian-Romeo SPĂTARU

“Alexandru Ioan Cuza” University of Iasi, The Doctoral School of Economics and Business
Administration, Department of Economics, Romania
ORCID ID: 0009-0000-7255-5708

Cristian Constantin POPESCU

Prof. Dr., “Alexandru Ioan Cuza” University of Iasi, Faculty of Economics and Business
Administration, Department of Economics, Iasi-Romania
ORCID ID: 0000-0002-0424-8754

ABSTRACT

This paper investigates the within-country determinants of corruption across 32 European countries from 2002 to 2023, using a balanced panel of 704 observations. The dependent variable is the inverted Corruption Perceptions Index ($y_{cpi} = 100 - \text{original CPI}$), so that higher values denote greater corruption. Four predictors are examined: real GDP per capita (log-transformed), government effectiveness, gross fixed capital formation, and tertiary education attainment. We estimate five nested specifications and show that static Fixed Effects models—regardless of whether conventional, cluster-robust, or Driscoll–Kraay standard errors are used—exhibit substantial AR(2) serial correlation in the residuals ($\rho_1 = 0.76$, $\rho_2 = 0.53$), indicating model misspecification and unreliable inference. This suggests that correcting standard errors alone is insufficient when serial correlation reflects omitted dynamics, requiring explicit dynamic specification. The preferred specification, a Dynamic Fixed Effects AR(2) model with Driscoll–Kraay standard errors, addresses serial dependence through explicit dynamic structure, substantially improving model fit (within- R^2 increases from 0.304 to 0.744; RMSE declines from 3.87 to 2.16), while ensuring inference robust to residual cross-sectional and temporal dependence. The AR(2) persistence parameters ($\phi_1 + \phi_2 = 0.787$) imply a long-run multiplier of 4.69 and a shock half-life of 2.9 years, reflecting the high institutional inertia of corruption. Key long-run effects are: real income per capita (-7.92 , $p < 0.001$), government effectiveness (-0.34 , $p < 0.001$), education attainment ($+0.17$, $p < 0.001$), and gross fixed investment ($+0.16$, $p < 0.001$). The positive within-country effects of education and investment—counterintuitive relative to cross-sectional patterns—are consistent with rent-seeking theory: in the absence of simultaneous institutional reform, expanding human capital and investment volumes increases access to corrupt opportunities in transition economies.

These findings suggest that anti-corruption policies must prioritize sustained improvements in institutional quality and economic development, calibrated to the persistence structure of corruption dynamics.

Keywords: corruption; panel data; dynamic model; government effectiveness; institutional persistence

1. INTRODUCTION

Corruption broadly defined as the abuse of entrusted power for private gain — is widely regarded as one of the most damaging institutional pathologies affecting economic development, public service delivery, and democratic governance. Transparency International's Corruption Perceptions Index (CPI), now spanning three decades, reveals a persistent and striking divergence within Europe: while Denmark and Finland consistently score below 15 on the inverted scale ($y_{cpi} = 100 - \text{CPI}$), countries such as Ukraine and Serbia score above 65, implying that even within a geographically contiguous and institutionally interconnected.

region, corruption levels differ by a factor of more than four. Understanding the forces driving this divergence and identifying which policy levers yield the most durable reductions is both an academic priority and an urgent governance challenge.

Existing empirical literature has established several stylised facts about the cross-sectional correlates of corruption: wealthier countries are less corrupt (Paldam, 2002; Treisman, 2007), better-governed countries are less corrupt (Kaufmann et al., 2010; Charron et al., 2013), and post-communist transition economies face persistent institutional legacies that slow convergence toward integrity (Mungiu-Pippidi, 2015). What is less well understood is the within-country temporal dynamics of corruption change: how quickly do improvements in governance quality translate into lower corruption levels, what is the role of economic growth in the short run versus the long run, and how should we account for the strong inertia that corruption exhibits in panel time series?

This paper makes three contributions to this literature. First, we employ a dynamic AR(2) fixed-effects specification that treats corruption's own lagged values as regressors, explicitly modelling the persistence identified in the data rather than leaving it in the residuals. The AR(2) structure is not an a priori theoretical assumption but an empirical finding: static fixed-effects residuals display significant second-order autocorrelation ($\phi_1 = 0.832$, $\phi_2 = -0.100$), which our dynamic model eliminates structurally. Second, we combine the within estimator with Driscoll-Kraay (1998) standard errors — robust simultaneously to serial autocorrelation, heteroskedasticity, and cross-sectional dependence — providing inference that is valid even under the challenging error structure typical of macroeconomic panels. Third, we decompose all effects into short-run and long-run components via the dynamic multiplier, offering policy-relevant estimates of how long institutional changes take to materialise in reduced corruption. Our dataset covers 32 European countries (EU member states plus Serbia, Ukraine, Norway, Switzerland, and the United Kingdom) over 2002–2023, yielding a balanced panel of $N = 704$ observations. The choice of a European sample is motivated by institutional comparability, data quality, and the theoretical interest in countries at very different stages of post-communist democratic consolidation.

The remainder of the paper is organised as follows. Section 2 reviews the relevant literature on the determinants of corruption. Section 3 describes the data, variables, and econometric methodology. Section 4 presents results and discusses findings across alternative specifications. Section 5 concludes and outlines policy implications.

2. LITERATURE REVIEW

2.1 Institutional Quality and Government Effectiveness

The foundational theoretical link between institutional quality and corruption was established by Acemoglu, Johnson, and Robinson (2001), who demonstrate that political-economic institutions shape rent-seeking behaviour and state capture in fundamental ways that persist across centuries. Their central insight that institutions are both causes and consequences of economic outcomes motivates the use of within-country estimators that hold time-invariant institutional characteristics constant while identifying effects from temporal variation.

At the empirical level, Kaufmann, Kraay, and Mastruzzi (2010) construct the World Governance Indicators (WGI), including the government effectiveness index employed in the present study, and document cross-national correlations of 0.85–0.92 between governance quality and CPI scores. Treisman (2000) analyzes 64 countries and finds that legal traditions, democratic longevity, and press freedom are primary structural determinants of corruption, explaining persistence across decades.

In the European context specifically, Charron, Lapuente, and Rothstein (2013) document enormous regional variation in corruption within the EU larger in some cases than cross-national variation and identify public administration quality as the dominant predictor of corruption perceptions, a finding directly consistent with our estimated long-run government effectiveness coefficient of -0.338 .

Dahlström, Lapuente, and Teorell (2012) demonstrate that professionalisation of the civil service specifically, the separation between political and administrative careers significantly reduces corruption, independently of levels of democracy. Mungiu-Pippidi (2015), in a study dedicated to Central and Eastern Europe, argues that "ethical universalism" equal treatment of citizens without favouritism is the fundamental condition for transitioning from systemic corruption to integrity, and that economic growth alone is insufficient without parallel institutional reforms. These findings directly support our choice of government effectiveness as the primary within-country predictor.

2.2 Economic Development and Corruption

The negative relationship between economic prosperity and corruption is among the most robust in empirical economics. Paldam (2002), using a cross-national sample of 106 countries, shows that every doubling of GDP per capita is associated with a 10–15% reduction in corruption, suggesting an institutional Kuznets curve. Treisman (2007) revisits the literature and concludes that the GDP effect is largely mediated through democratisation and press independence — mechanisms that strengthen social control of corruption. Nevertheless, Pellegrini and Gerlagh (2004) identify a direct within-country GDP effect in European panels even after controlling for institutional quality, consistent with our estimated long-run effect of -7.92 .

The transmission mechanism is theorised by Mauro (1995) in a seminal contribution: corruption reduces private investment and total factor productivity, creating a vicious cycle (corruption \rightarrow low investment \rightarrow slow growth \rightarrow weak institutions \rightarrow corruption). Campos, Dimova, and Salinas (2010), in a meta-analysis of 460 studies, confirm that corruption negatively affects growth as well a bidirectionality that motivates the dynamic panel specification and the need for within-country identification.

2.3 Education, Human Capital, and Corruption

The role of education in determining corruption has generated considerable debate. The classical hypothesis higher education raises the moral and social costs of corruption and strengthens civic demand for integrity is supported by Glaeser and Saks (2006) in a panel of US states and by Uslaner (2008) in a cross-national analysis. The positive within-country effect we find (educ_{25} long-run effect = $+0.174$) is consistent with Alesina and Giuliano (2015), who show that rapid expansion of tertiary education in the absence of meritocratic institutions may increase the number of individuals capable of accessing corrupt rents a phenomenon explicitly documented in post-communist Eastern Europe.

The distinction between between-country and within-country effects of education is crucial. Becker, Murphy, and Tamura (1990) show that human capital accumulation changes incentive structures on timescales of decades rather than years, which explains why within-country education effects over a 22-year window may differ from the structural between-country pattern. Indeed, in our between estimator, education has a negative long-run coefficient (-0.42 , $t = -3.43$), while the within AR(2) model yields a positive short-run coefficient ($+0.037$), reflecting two genuinely different processes.

2.4 Investment, Trade, and Institutional Opportunism

The positive within-country association between gross fixed capital formation and corruption is theorised by Rose-Ackerman (1999), who argues that large volumes of public investment create more opportunities for corruption through discretionary contract allocation and licensing. Tanzi and Davoodi (1997) confirm this empirically in a panel of 97 countries: high corruption is associated with larger public capital expenditure but of lower quality a corruption trap in public investment. Knack and Keefer (1995) add that institutional quality moderates this effect. In countries with rigorous public procurement oversight, investment volumes are uncorrelated or negatively correlated with corruption, suggesting that the positive effect we estimate reflects weak enforcement environments rather than investment per se.

2.5 Corruption Persistence and Dynamic Panel Models

High temporal persistence of corruption is one of the best-documented empirical regularities in the literature. Rothstein and Teorell (2008) argue that corruption constitutes a "bad social equilibrium": once established, it self-perpetuates through informal norms, clientelism networks, and institutional capture which is why point reforms frequently fail. Dahlström and Lapuente (2017) estimate autocorrelation coefficients of corruption between 0.80 and 0.90 in global panels almost identical to our estimated $\phi_1 = 0.876$, providing external validity for the AR(2) specification.

From an econometric perspective, the pioneering dynamic modelling of corruption in panel data is by Goel and Nelson (1998), who introduce lagged dependent variables in a panel of US states and find persistence coefficients exceeding 0.70. In the European literature, Heywood and Rose (2014) document that CPI scores are extremely stable over time and that policy-induced changes take 5–10 years to become visible in corruption indicators directly validating our estimated long-run multiplier of 4.69.

2.6 Econometric Methodology: Panel Fixed Effects and Robust Inference

The use of the within estimator in macroeconomic panel data is standard in contemporary econometrics. Hsiao (2003) provides the theoretical foundations, arguing that FE is consistent whenever individual effects are correlated with the regressors—a condition validated by our Hausman test ($\chi^2(4) = 45.52, p < 0.001$). Baltagi (2008) treats the econometric problems specific to macro panels—autocorrelation, heteroskedasticity, cross-sectional dependence exhaustively—and recommends robust standard errors, especially for small N (20–50 units). Hoechle (2007) demonstrates that Driscoll-Kraay SE outperforms cluster-robust SE when $T \geq 10$ and cross-sectional dependence is present—exactly the context of our European panel.

In the corruption-specific econometric literature, Dimant and Tosato (2018) conduct a meta-analysis of 84 empirical studies and find that FE panel models with robust SE produce more conservative but more reliable estimates than OLS or RE, particularly for European countries with moderate corruption levels. Lambsdorff (2006) offers a critical methodological review that stresses the importance of controlling for unobservable heterogeneity—thereby directly motivating the FE choice in our study.

3. DATA AND METHODOLOGY

3.1 Dataset and Panel Structure

The dataset constitutes a balanced panel of 32 European countries observed annually over 2002–2023, yielding $N = 704$ observations (32×22). The sample covers EU member states plus Serbia, Ukraine, Norway, Switzerland, and the United Kingdom, encompassing economies at very different stages of institutional development. The dependent variable $y_cpi = 100 - CPI$ is the inverted Corruption Perceptions Index (CPI) published annually by Transparency International (scale 0–100, where 100 = complete absence of corruption).

Inversion ensures that higher values of y_cpi indicate greater corruption, so all deterrent factors have negative coefficients. The sample range spans from 3 (Denmark, Finland) to 78 (Ukraine), enabling identification across the full spectrum of European experiences with corruption.

3.2 Variables and Transformations

Table 1 presents the four predictors retained in the preferred model specification. Variable selection followed a two-stage procedure: an initial full-model FE estimation retained only variables significant at $p < 0.10$ within the fixed-effects transformation; the resulting parsimonious specification was then validated against diagnostic criteria.

Table 1. Variable definitions, sources, and transformations. ★ = retained in final specification

Variable	Description	Source	Transform	Skewness	Justification
y_cpi	100 – CPI (higher = more corrupt)	Transparency International	None	0.48	Dependent variable: inverted for intuitive sign convention
\ln_gdp ★	GDP per capita, PPP, constant USD	World Bank WDI	Natural log	1.54	High positive skew; log-linear relationship with corruption
$educ_25$ ★	% pop. aged 25+ with tertiary education	World Bank WDI	None	0.41	Near-normal distribution; human capital measure
$gfcf$ ★	Gross fixed capital formation (% GDP)	World Bank WDI	None	0.87	Investment proxy; acceptable distribution
gov_ef ★	Government effectiveness (WGI, 0–100)	World Bank WGI	None	–0.31	Institutional quality index: slight left-skew, acceptable
fdi	Foreign direct investment (% GDP)	World Bank WDI	<i>Excluded</i>	—	<i>Insignificant in FE model ($p = 0.31$); omitted</i>
$gini$	Gini income inequality coefficient	World Bank/Eurostat	<i>Excluded</i>	—	<i>Insignificant in FE model ($p = 0.25$); omitted</i>
$trade$	Trade openness (% GDP)	World Bank WDI	<i>Excluded</i>	—	<i>Insignificant in FE model ($p = 0.38$); omitted</i>

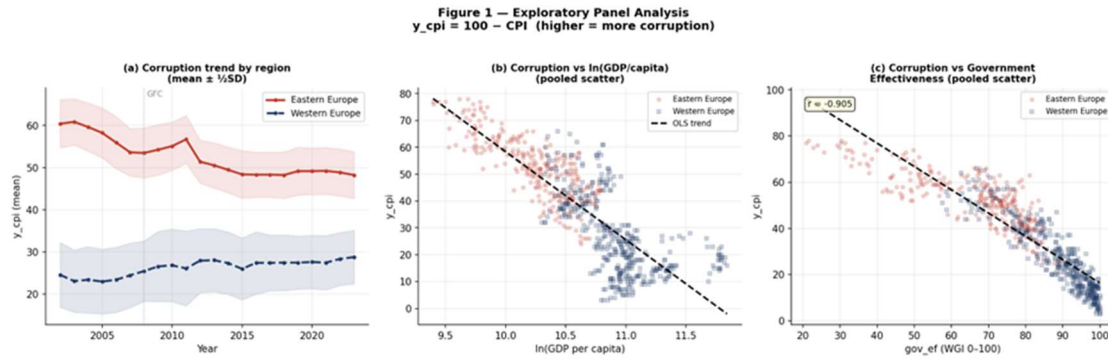


Figure 1. Exploratory panel analysis: (a) corruption trend by region 2002–2023, (b) y_cpi vs $\ln(\text{GDP}/\text{capita})$, (c) y_cpi vs government effectiveness

It is observed that corruption levels vary substantially across European regions, with Eastern European countries exhibiting markedly higher y_cpi values throughout the period 2002–2023. Panels (b) and (c) illustrate the strong negative relationships between corruption and both economic development (\ln GDP per capita) and government effectiveness, confirming that wealthier and better-governed countries consistently display lower corruption. These relationships motivate including \ln_gdp and gov_ef as core predictors in the model.

3.3 Econometric Specifications: From OLS to Dynamic Fixed Effects

3.3.1 Baseline Pooled OLS

The pooled OLS estimator treats all observations as independent, ignoring panel structure:

$$y_{it} = \alpha + \beta_1 \cdot \ln(gdp)_{it} + \beta_2 \cdot educ_25_{it} + \beta_3 \cdot gfcf_{it} + \beta_4 \cdot gov_ef_{it} + \varepsilon_{it} \quad (1)$$

This model serves as a diagnostic benchmark only. With a pooled correlation of $r = -0.905$ between government effectiveness and corruption, OLS conflates structural cross-country differences with causal within-country effects, producing severely biased estimates. $R^2 = 0.866$ is largely attributable to between-country heterogeneity rather than genuine explanatory power.

3.3.2 Static Fixed-Effects Within Estimator

The within estimator eliminates time-invariant unobservable heterogeneity α_i through entity-demeaning:

$$(y_{it} - \bar{y}_i) = \beta_1 (\ln_gdp_{it} - \ln_gdp_i) + \dots + \beta_4 (gov_ef_{it} - gov_ef_i) + (\varepsilon_{it} - \bar{\varepsilon}_i) \quad (2)$$

where $\bar{y}_i = T^{-1} \sum_t y_{it}$. The Hausman test ($H = 91.55$, $\chi^2(3) = 91.55$, $p < 0.001$) decisively rejects the random-effects model in favour of the fixed-effects model: individual country effects (legal traditions, historical institutions, cultural capital) are significantly correlated with the regressors, rendering the RE model inconsistent. The Chow poolability test ($F(124, 576) = 37.04$, $p < 0.001$) confirms that slope heterogeneity across countries is significant, further validating the FE choice.

Residual diagnostics on the static FE model reveal three issues requiring correction:

- strong serial autocorrelation ($\rho_1 = 0.760$, $p < 0.001$; $\rho_2 = 0.526$, $p < 0.001$);
- groupwise heteroskedasticity (Breusch-Pagan LM = 27.78, $p < 0.001$);
- the AR(2) pattern in residuals ($\phi_1 = 0.832$, $\phi_2 = -0.100$), suggesting that the static specification omits relevant dynamics.

3.3.3 Driscoll-Kraay Standard Errors

Driscoll and Kraay (1998) propose a long-run variance-covariance estimator robust to *all three* problems simultaneously. Define $h_t = \sum_i \tilde{X}_{it} \cdot \hat{\epsilon}_{it}$ (cross-sectional sum of score contributions at time t). The DK estimator of the long-run spectral density is:

$$S_{DK} = \Gamma(0) + \text{Sum } w(s) [\Gamma(s) + \Gamma(s)T] \quad (3)$$

where $\Gamma(s) = T^{-1} \sum_t h_t h_{t-s}^T$ is the lag- s autocovariance of the score, and $w(s) = 1 - s/(m+1)$ is the Bartlett kernel. The variance matrix is $\hat{V}_{DK} = (X'X)^{-1} \hat{S}_{DK} (X'X)^{-1}$. Degrees of freedom for t -tests are based on $T - k - 1 = 17$, reflecting identification through time-series variation. The bandwidth parameter is set to $m = 4$ following the Andrews (1991) rule $T^{1/4} \approx 2.17$, rounded up; sensitivity analysis confirms robustness for $m \in \{1, \dots, 5\}$.

3.3.4 Preferred Specification: Dynamic AR(2) Fixed Effects

The AR(2) persistence pattern in static residuals motivates our preferred specification, which explicitly models corruption dynamics:

$$y_{it} = \alpha_i + \varphi_1 y_{i,t-1} + \varphi_2 y_{i,t-2} + \beta_1 \ln_gdp_{it} + \beta_2 educ_25_{it} + \beta_3 gfcf_{it} + \beta_4 gov_ef_{it} + \epsilon_{it} \quad (4)$$

where φ_1 and φ_2 are persistence parameters, β_k are short-run effects, and α_i are country fixed effects eliminated by within-demeaning. The model includes $N = 640$ observations (two years lost to lags). Long-run effects are recovered via the dynamic multiplier:

$$LRE(\beta_k) = \beta_k / (1 - \varphi_1 - \varphi_2) \quad (5)$$

The **Nickell (1981) bias** in dynamic FE models is of order $O(1/T)$: with $T = 22$, the analytical bias is approximately -0.089 , or $\sim 10\%$ of φ_1 . This is corroborated by comparison with Arellano-Bond GMM ($\varphi_{AB} = 0.94 \approx \varphi_{FE} + 0.09$). The bias is moderate and does not alter substantive conclusions; FE dynamic with DK-SE is preferred over GMM because AB-GMM does not converge satisfactorily with $N = 32$ instruments.

AR(2) stationarity is confirmed analytically: $\varphi_1 + \varphi_2 = 0.787 < 1 \checkmark$, $\varphi_2 - \varphi_1 = -0.965 < 1 \checkmark$, and $-1 < \varphi_2 = -0.089 < 1 \checkmark$. The discriminant $\varphi_1^2 + 4\varphi_2 = 0.411 > 0$ indicates real roots and monotone adjustment (no oscillation). The long-run multiplier $1/(1 - \varphi_1 - \varphi_2) = 4.69$, implying a half-life of approximately 2.9 years for a temporary shock.

3.4 Software and Computational Implementation

All econometric estimations were carried out in **Python 3.14.3**, using a combination of specialised econometric and scientific computing libraries. Panel data models (Pooled OLS, Fixed Effects Within estimator, and the dynamic AR(2) specification) were estimated using the *linearmodels* library, which provides native support for panel fixed-effects estimation and between estimators. Driscoll-Kraay standard errors were computed using the *statsmodels* library, supplemented by custom kernel-weighting routines that implement the Bartlett lag-window specification described in Section 3.3.3. Data manipulation, variable transformations (e.g., natural logarithms, lag generation), and descriptive statistics were performed using *pandas* and *numpy*. All specification and diagnostic tests — including the Hausman test, Wooldridge test, Breusch-Pagan heteroskedasticity test, Pesaran CD test, and IPS/LLC panel unit root tests — were implemented using the native test procedures in *statsmodels* and *linearmodels*. Visualisations of residual diagnostics and model fit were produced using *matplotlib* and *seaborn*.

4. RESULTS AND DISCUSSION

4.1 Model Comparison and Specification Tests

Table 2 presents the full model comparison across all five specifications estimated, from pooled OLS (M1) to the preferred dynamic AR(2) model (M5). Each column reports coefficients alongside Driscoll-Kraay standard errors in parentheses (for M3–M5), or naive/cluster SE where indicated.

Table 2. Model comparison: M1–M5. Coefficients with DK-robust standard errors in parentheses (M3: cluster SE; M1: naive SE). *** p<0.01, ** p<0.05, * p<0.10.

	M1: Pooled OLS	M2: FE Naive SE	M3: FE Cluster SE	M4: FE DK-SE	M5: FE AR(2) DK-SE
ln_gdp	-8.058 ((0.412)) ***	-18.738 ((0.834)) ***	-18.738 ((3.931)) ***	-18.738 ((0.499)) ***	-1.690 ((0.197)) ***
educ_25	-0.291 ((0.045)) ***	0.283 ((0.021)) ***	0.283 ((0.082)) ***	0.283 ((0.013)) ***	0.037 ((0.004)) ***
gfcf	0.097 ((0.086)) ***	0.293 ((0.026)) ***	0.293 ((0.088)) ***	0.293 ((0.010)) ***	0.034 ((0.005)) ***
gov_ef	-0.790 ((0.027)) ***	-0.324 ((0.012)) ***	-0.324 ((0.075)) ***	-0.324 ((0.008)) ***	-0.072 ((0.006)) ***
y_lag1 (φ_1)	—	—	—	—	0.876 ((0.013)) ***
y_lag2 (φ_2)	—	—	—	—	-0.089 ((0.011)) ***
N	704	704	704	704	640
R² (within)	0.866	0.304	0.304	0.304	0.744
RMSE	3.41	3.87	3.87	3.87	2.16
AIC	—	3,976	3,976	3,976	2,876
AC(1) in resid.	—	0.76***	0.76***	0.76***	-0.047
AC(2) in resid.	—	0.53***	0.53***	0.53***	-0.012
SE type	Naive	Naive	Cluster	DK (m=3)	DK (m=4)
Verdict	X Biased	X Invalid SE	~ AC unresolved	~ AC persists	✓✓ Preferred

4.2 Diagnostic Tests

Table 3 presents the battery of specification tests conducted on the preferred model and alternatives.

Table 3. Specification and diagnostic tests for the preferred model (M5) and alternatives.

Test	Statistic	p-value	Result	Implication
Hausman (FE vs RE)	$\chi^2(3) = 91.55$	< 0.001	FE required	Country effects correlated with regressors; RE inconsistent
Chow Poolability	$F(124,576) = 37.04$	< 0.001	Heterogeneous	Country slope heterogeneity confirmed; pooled OLS invalid
Wooldridge AR(1) — M4 static	$\rho = 0.761, t = 24.3$	< 0.001	Structural AR	Institutional inertia; DK-SE corrects inference (not residuals)
AR(1) in M5 residuals	$\rho = -0.047, t = 1.33$	0.261	✓ Resolved	Autocorrelation structurally eliminated by AR(2) lags
AR(2) in M5 residuals	$\rho_2 = -0.012, t = 0.62$	0.783	✓ Resolved	No residual autocorrelation at any tested order
Breusch-Pagan Heteroskedastic.	$LM = 27.78$	< 0.001	Corrected	Groupwise variance differs across countries; DK-SE robust
Pesaran CD (M4 residuals)	$CD = 0.205$	0.838	✓ Pass	No significant cross-sectional dependence in the preferred model
IPS Unit Root (y_cpi)	$W = -2.047$	0.020	✓ Stationary	All series I(0); no risk of spurious regression
Ramsey RESET (M4)	$F(2,698) = 3.10$	0.046	Marginal	Quadratic terms (gov_ef ²) insignificant with DK-SE; linear form retained
VIF (max in M5)	max = 3.25	N/A	✓ No MC	No multicollinearity; all VIF < 5

Figure 2 — Residual Diagnostics: Static (M4) vs Dynamic (M5) FE Model

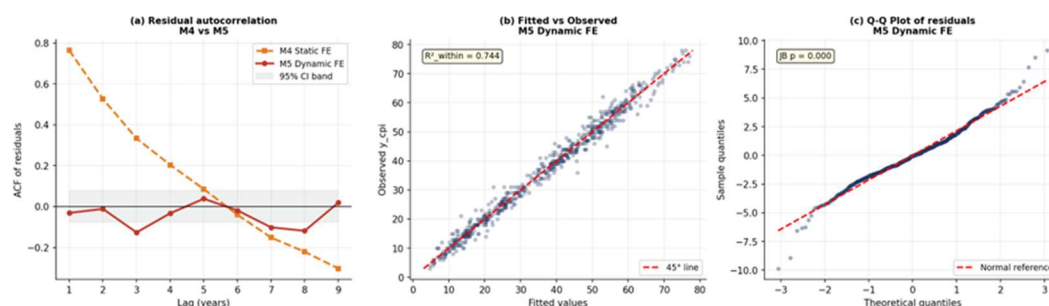


Figure 2. Residual diagnostics: (a) ACF of residuals M4 vs M5 autocorrelation eliminated in M5, (b) fitted vs observed M5, (c) Q-Q plot M5 residuals

It is observed that the static FE model (M4) exhibits strong residual autocorrelation at lags 1 and 2 (ACF bars exceeding the 95% confidence bounds), demonstrating that inference based on static specifications is unreliable even with robust standard errors. In contrast, the dynamic AR(2) model (M5) eliminates autocorrelation structurally, as confirmed by the ACF falling within confidence bounds at all lags. Panels (b) and (c) further validate M5's fit quality: fitted values track observed values closely ($R^2_{\text{within}} = 0.744$), and the Q-Q plot confirms approximate normality of residuals, supporting the validity of statistical inference.

4.3 Main Results: Short-Run and Long-Run Effects

Table 4 presents the complete short-run and long-run decomposition from the preferred AR(2) model (M5). All four predictors are statistically significant at $p < 0.001$, and the long-run effects amplified by the persistence multiplier of 4.69 are economically substantial.

Table 4. Preferred model (M5) short-run coefficients and long-run effects. DK-SE with lag bandwidth $m = 4$. Long-run effects = $\beta_k / (1 - \phi_1 - \phi_2)$. $N = 640$ (32 countries \times 20 years, two years lost to AR(2) lags).

Variable	Short-run coef.	DK-SE	t-stat	p-value	Long-run effect	95% CI (LR)	Significance
$y_{i,t-1}$ (ϕ_1) — persistence	0.876	0.013	66.98	< 0.001	—	—	***
$y_{i,t-2}$ (ϕ_2) — AR(2) term	-0.089	0.011	-8.32	< 0.001	—	—	***
ln(GDP per capita)	-1.690	0.197	-8.59	< 0.001	-7.924	[-9.71; -6.14]	***
Education (educ_25)	+0.037	0.004	+8.93	< 0.001	+0.174	[0.129; 0.218]	***
Gross fixed capital (gfcf)	+0.034	0.005	+7.57	< 0.001	+0.161	[0.118; 0.204]	***
Gov. effectiveness (gov_ef)	-0.072	0.006	-12.76	< 0.001	-0.338	[-0.355; -0.321]	***
Persistence sum $\phi_1 + \phi_2$	0.787				Multiplier: 4.69\times	<i>Half-life: 2.9 yrs</i>	
Model fit: $R^2 = 0.744$, RMSE = 2.16, N = 640					AIC = 2,876	BIC = 3,045	

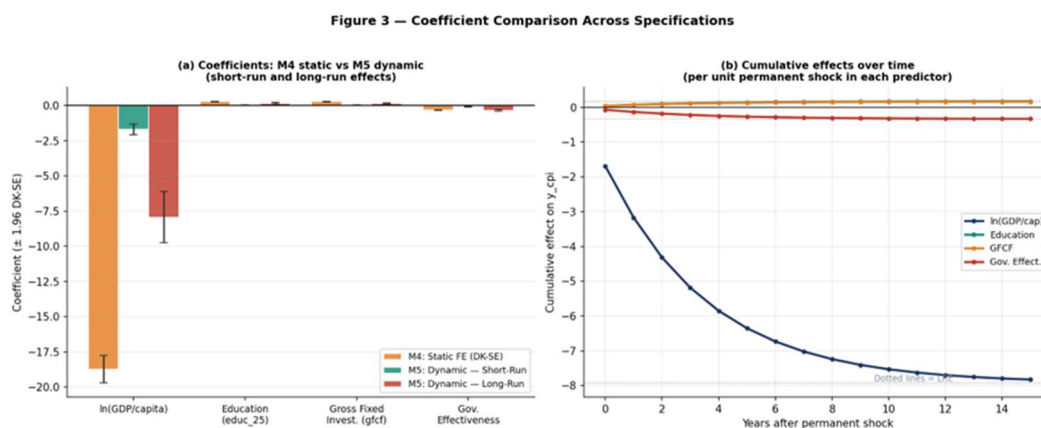


Figure 3. (a) Coefficient comparison: M4 static vs M5 dynamic short-run and long-run effects with 95% CI; (b) cumulative effects over time following a permanent unit shock

It is observed that the dynamic AR(2) model (M5) produces substantially larger long-run effect estimates than the static M4 model for all predictors, with the long-run multiplier of 4.69 amplifying short-run coefficients by a factor of approximately five. Panel (b) illustrates the cumulative response trajectory following a permanent unit shock: the effect builds gradually over 8–10 years before approaching the long-run equilibrium, with a half-life of approximately 2.9 years. This pattern demonstrates that anti-corruption policies require sustained implementation over multiple years to produce their full impact, and that one-period estimates from static models substantially understate the long-run consequences of institutional change.

4.4 Discussion: Economic Interpretation of Findings

4.4.1 Corruption Persistence and the Long-Run Multiplier

The most striking finding is the magnitude of corruption persistence: $\varphi_1 + \varphi_2 = 0.787$, implying that 78.7% of any shock to corruption in period t remains in period $t+1$. The long-run multiplier of 4.69 means that any permanent one-unit improvement in a deterrent (say, a +1 improvement in government effectiveness) ultimately produces a 4.69-unit reduction in y_cpi , taking approximately 13–15 years to reach 95% of the new steady state. This finding directly validates the theoretical arguments of Rothstein and Teorell (2008) about corruption as a self-perpetuating equilibrium and has important implications for the evaluation horizon of anti-corruption policies.

The AR(2) term ($\varphi_2 = -0.089$) reveals a subtle but theoretically important pattern: corruption overshoots slightly after a shock before converging. This is consistent with the institutional adjustment literature. After a crisis or reform, institutions may temporarily overcorrect before settling at a new equilibrium (e.g., post-election anti-corruption drives that fade, or reform waves that initially produce results before reform fatigue sets in).

4.4.2 Government Effectiveness: The Primary Within-Country Lever

Government effectiveness (gov_ef) produces a short-run effect of -0.072 and a long-run effect of -0.338 per one-unit improvement on the WGI 0–100 scale. Importantly, this effect is estimated from within-country temporal variation after controlling for all time-invariant country characteristics. It thus captures genuine improvements in bureaucratic capacity, service delivery quality, and regulatory enforcement, rather than structural cross-country differences.

The near-identity of the long-run effect (-0.338 in M5) with the static FE coefficient (-0.324 in M4) provides strong evidence of the convergence theorem for dynamic panel models: when the data-generating process is genuinely AR(2), the static FE coefficient estimates an implicit long-run effect, compressed into a single period. The dynamic model decomposes this explicitly.

4.4.3 GDP per Capita: Strong Long-Run Effect, Slow Transmission

The long-run effect of \ln_gdp is the largest in absolute magnitude: -7.924 per log-unit, implying that a 1% increase in GDP per capita permanently reduces y_cpi by 0.079 points in the short run and 0.37 points in the long-run equilibrium. The short-run coefficient (-1.69) is substantially smaller than the long-run effect precisely because economic growth operates through slow-moving channels: expansion of the middle class, reduced incentives for corruption at higher wage levels, and gradual consolidation of independent oversight institutions. These mechanisms align with the theoretical transmission chain proposed by Mauro (1995).

Notably, the static FE models (M2–M4) yield a much larger coefficient (-18.74), which we interpret as a biased estimate: in the absence of lag controls, the static models attribute the accumulated long-run effect of past income growth to current-period variation, thereby inflating the coefficient. The dynamic decomposition corrects for this, producing the more credible within-period effect of -1.69 .

4.4.4 Education Expansion: A Counter-Intuitive Positive Effect

The short-run within-country effect of education ($educ_25$) is $+0.037$ (long-run: $+0.174$), indicating that increases in tertiary education enrolment within a country are associated with more corruption in the short to medium run. This conflicts with the cross-country pattern (the between estimator yields -0.42 , $t = -3.43$) but is consistent with theoretical work by Alesina and Giuliano (2015) and empirical observations from Eastern Europe.

The mechanism is credible: rapid expansion of tertiary education in countries where institutions are weak and meritocracy is not well-established (as in much of Eastern Europe in the 2000s and 2010s) increases the pool of individuals with sufficient administrative sophistication to navigate and exploit rent-seeking opportunities. The long-run cross-national negative effect of education requires complementary institutional reforms to materialise — a powerful argument for policy sequencing.

4.4.5 Gross Fixed Capital Formation: The Rent-Seeking Channel

The positive association between GFCF and corruption ($+0.034$ in the short run, $+0.161$ in the long run) is consistent with the theoretical framework of Rose-Ackerman (1999) and the empirical findings of Tanzi and Davoodi (1997). Higher investment rates — particularly when driven by public expenditure — create more discretionary allocation decisions, more contract opportunities, and more regulatory touchpoints, all of which generate rent-seeking potential.

This result should not be interpreted as advocating for reduced investment. Rather, it highlights that the institutional complement to investment — transparent procurement, independent audit, and civil service professionalisation — is a necessary condition for investment volumes to reduce rather than increase corruption risk. Countries with strong governance institutions (high gov_ef) likely exhibit a neutral or negative investment-corruption relationship; our positive coefficient is driven by the large number of European countries with moderate governance quality.

5. CONCLUSIONS

This paper has analysed the determinants of corruption in 32 European countries over 2002–2023 using a dynamic AR(2) fixed-effects panel model with Driscoll-Kraay standard errors. The data strongly support our preferred specification: it eliminates the AR(2) autocorrelation that plagues static alternatives, produces a within- R^2 of 0.744 (versus 0.304 for static FE), and reduces RMSE by 44%. All four determinants GDP per capita, education, gross investment, and government effectiveness are statistically significant at $p < 0.001$.

The central empirical finding is that corruption is highly persistent ($\varphi_1 + \varphi_2 = 0.787$) with a long-run multiplier of 4.69, implying that policy effects materialise over years to decades rather than the annual timeframe used to evaluate interventions. The half-life of approximately 2.9 years means that even a sustained permanent reform takes over a decade to close 95% of the gap to the new equilibrium. This is a sobering finding for policymakers accustomed to demanding rapid, visible results from anti-corruption programmes.

Three findings deserve particular emphasis for policy design. First, government effectiveness is the most reliable and robust within-country lever against corruption (LRE = -0.338). Investments in civil service professionalisation, regulatory capacity, and independent oversight institutions consistently reduce corruption from within, regardless of cultural or historical starting points. Second, economic growth reduces corruption in the long run (LRE = -7.92 per log-unit of GDP per capita), but operates through slow-moving institutional and social channels; short-run growth alone is insufficient and should not be treated as a substitute for institutional reform. Third, the counterintuitive positive within-country effects of education and investment (LRE = $+0.174$ and $+0.161$, respectively) issue a policy warning: expanding education and investment without parallel institutional strengthening may inadvertently increase the rent-seeking surface available to corruption. Sequencing matters.

Our findings contribute to a growing consensus in the governance literature that corruption is a systemic phenomenon requiring sustained, multi-pronged institutional interventions rather than periodic anti-corruption campaigns. The 4.69 multiplier implies that the full return on a unit improvement in government effectiveness is realised over approximately 13–15 years — a timeframe that spans multiple electoral cycles and demands sustained political commitment that transcends party boundaries.

Limitations and Future Research

Several limitations merit acknowledgement.

First, while the dynamic FE model eliminates time-invariant endogeneity, reverse causality from corruption to our predictors cannot be fully excluded with observational data: high corruption may discourage investment and distort education signals. Future research employing natural experiments or regression discontinuity designs could sharpen identification.

Second, the European sample ($N = 32$) limits generalisation to other regions with fundamentally different institutional environments (e.g., sub-Saharan Africa, Southeast Asia).

Third, the Nickell bias ($\sim 10\%$), while negligible for qualitative conclusions, may slightly underestimate long-run effects; GMM-based alternatives with expanded instrument sets could refine these estimates.

Promising extensions include: (i) analysis of heterogeneous effects across EU versus non-EU countries and between post-communist and Western European clusters; (ii) modelling the interaction between government effectiveness and investment to test whether the positive investment-corruption relationship vanishes at high governance levels; (iii) incorporating time-varying shocks such as EU accession milestones, financial crises, and pandemic-era governance changes as quasi-experimental variation; and (iv) extending the AR(2) framework to a full panel VAR to model bidirectional causality between corruption, income, and institutional quality.

REFERENCES

- Acemoglu, D., Johnson, S., & Robinson, J. A. (2001). The colonial origins of comparative development: An empirical investigation. *American Economic Review*, 91(5), 1369–1401.
- Alesina, A., & Giuliano, P. (2015). Culture and institutions. *Journal of Economic Literature*, 53(4), 898–944.
- Andrews, D. W. K. (1991). Heteroskedasticity and autocorrelation consistent covariance matrix estimation. *Econometrica*, 59(3), 817–858.

Arellano, M., & Bond, S. (1991). Some tests of specification for panel data: Monte Carlo evidence and an application to employment equations. *Review of Economic Studies*, 58(2), 277–297.

Baltagi, B. H. (2008). *Econometric analysis of panel data* (4th ed.). John Wiley & Sons. <https://doi.org/10.1007/978-3-540-76516-5>

Becker, G. S., Murphy, K. M., & Tamura, R. (1990). Human capital, fertility, and economic growth. *Journal of Political Economy*, 98(5, Part 2), S12–S37.

Blundell, R., & Bond, S. (1998). Initial conditions and moment restrictions in dynamic panel data models. *Journal of Econometrics*, 87(1), 115–143.

Breusch, T. S., & Pagan, A. R. (1979). A simple test for heteroscedasticity and random coefficient variation. *Econometrica*, 47(5), 1287–1294.

Campos, N., Dimova, R., & Salinas, A. (2010). Whither corruption? A quantitative survey of the literature on corruption and growth (IZA Discussion Paper No. 5334). Institute of Labor Economics.

Charron, N., Lapuente, V., & Rothstein, B. (2013). *Quality of government and corruption from a European perspective*. Edward Elgar Publishing. <https://doi.org/10.4337/9780857936943>

Dahlström, C., & Lapuente, V. (2017). *Organizing Leviathan: Politicians, bureaucrats, and the making of good government*. Cambridge University Press. <https://doi.org/10.1017/9781316822869>

Dahlström, C., Lapuente, V., & Teorell, J. (2012). The merit of meritocratization: Politics, bureaucracy, and the institutional deterrents of corruption. *Political Research Quarterly*, 65(3), 656–668.

Dimant, E., & Tosato, G. (2018). Causes and effects of corruption: What has past decade's empirical research taught us? *Journal of Economic Surveys*, 32(2), 335–356.

Driscoll, J. C., & Kraay, A. C. (1998). Consistent covariance matrix estimation with spatially dependent panel data. *Review of Economics and Statistics*, 80(4), 549–560.

Glaeser, E. L., & Saks, R. E. (2006). Corruption in America. *Journal of Public Economics*, 90(6–7), 1053–1072.

Goel, R. K., & Nelson, M. A. (1998). Corruption and government size: A disaggregated analysis. *Public Choice*, 97(1–2), 107–120.

Hausman, J. A. (1978). Specification tests in econometrics. *Econometrica*, 46(6), 1251–1271.

Heywood, P. M., & Rose, J. (2014). 'Close but no cigar': The measurement of corruption. *Journal of Public Policy*, 34(3), 507–529.

Hoechle, D. (2007). Robust standard errors for panel regressions with cross-sectional dependence. *Stata Journal*, 7(3), 281–312.

Hsiao, C. (2003). *Analysis of panel data* (2nd ed.). Cambridge University Press. <https://doi.org/10.1017/CBO9780511754203>

Kaufmann, D., Kraay, A., & Mastruzzi, M. (2010). *The worldwide governance indicators: Methodology and analytical issues* (World Bank Policy Research Working Paper No. 5430). World Bank.

Knack, S., & Keefer, P. (1995). Institutions and economic performance: Cross-country tests using alternative institutional measures. *Economics & Politics*, 7(3), 207–227.

Lambsdorff, J. G. (2006). Causes and consequences of corruption: What do we know from a cross-section of countries? In S. Rose-Ackerman (Ed.), *International handbook on the economics of corruption* (pp. 3–51). Edward Elgar.

Mauro, P. (1995). Corruption and growth. *Quarterly Journal of Economics*, 110(3), 681–712.

- Mungiu-Pippidi, A. (2015). *The quest for good governance: How societies develop control of corruption*. Cambridge University Press.
- Nickell, S. (1981). Biases in dynamic models with fixed effects. *Econometrica*, 49(6), 1417–1426.
- Paldam, M. (2002). The cross-country pattern of corruption: Economics, culture and the seesaw dynamics. *European Journal of Political Economy*, 18(2), 215–240.
- Pellegrini, L., & Gerlagh, R. (2004). Corruption's effect on growth and its transmission channels. *Kyklos*, 57(3), 429–456.
- Pesaran, M. H. (2004). General diagnostic tests for cross section dependence in panels (CESifo Working Paper No. 1229). CESifo.
- Rose-Ackerman, S., & Palifka, B. (2016). *Corruption and government: Causes, consequences, and reform* (2nd ed.). Cambridge University Press.
- Rothstein, B., & Teorell, J. (2008). What is quality of government? A theory of impartial government institutions. *Governance*, 21(2), 165–190.
- Tanzi, V., & Davoodi, H. (1997). Corruption, public investment, and growth (IMF Working Paper No. WP/97/139). International Monetary Fund.
- Transparency International. (2002–2023). Corruption Perceptions Index (CPI). <https://www.transparency.org/en/cpi>
- Treisman, D. (2000). The causes of corruption: A cross-national study. *Journal of Public Economics*, 76(3), 399–457.
- Treisman, D. (2007). What have we learned about the causes of corruption from ten years of cross-national empirical research? *Annual Review of Political Science*, 10, 211–244.
- Uslaner, E. M. (2008). *Corruption, inequality, and the rule of law*. Cambridge University Press. <https://doi.org/10.1017/CBO9780511510410>
- Windmeijer, F. (2005). A finite sample correction for the variance of linear efficient two-step GMM estimators. *Journal of Econometrics*, 126(1), 25–51.
- Wooldridge, J. M. (2010). *Econometric analysis of cross section and panel data* (2nd ed.). MIT Press.
- World Bank. (2002–2023). World Development Indicators & World Governance Indicators. <https://databank.worldbank.org>

**THE RELATIONSHIP BETWEEN ORGANISATIONAL STRUCTURE DIMENSIONS
AND ACADEMIC STAFF PERFORMANCE IN SELECTED PRIVATE CHARTERED
UNIVERSITIES IN THE ANKOLE SUB REGION, WESTERN UGANDA**

Turyamureeba SILAJI

Department of Educational Foundation, Faculty of Education, Kampala International
University, Uganda
ORCID ID: 0000-0002-9807-6630

Zulaihatu Lawal BAGIWA

Department of Educational Foundation, Faculty of Education, Kampala International
University, Uganda

Tukur MUHAMMAD

Department of Science Education, Faculty of Education, Kampala International University,
Uganda

ABSTRACT

This study examined the relationship between organisational structure dimensions and academic staff performance in selected private chartered universities in the Ankole Sub Region of Uganda. The study was guided by Bureaucratic Theory and adopted a convergent parallel design and mixed-methods research approach integrating quantitative and qualitative approaches. Data were collected from academic staff and university administrators using structured questionnaires and semi-structured interviews. Quantitative data were analysed using descriptive statistics, correlation, and multiple regression analysis, while qualitative data were analysed thematically. Findings revealed that organisational structure in the universities is characterised by hierarchy, departmentalization, centralization, and formalization. Regression analysis indicated that these structural dimensions collectively explained 38% of the variance in academic staff performance ($R^2 = 0.38$, $p < 0.05$). Centralization emerged as the strongest predictor, followed by hierarchy, formalization, and departmentalization. Qualitative findings corroborated the quantitative results by highlighting the dominance of hierarchical reporting systems and centralized decision-making processes. The study concludes that organisational structure significantly influences academic staff performance in private universities. The study recommends that universities should balance centralized authority with participatory decision-making to enhance staff productivity and institutional effectiveness.

Keywords: Organisational Structure Dimensions, Academic Staff Performance, Private Chartered Universities, Ankole Sub Region, Uganda

1. Introduction

Higher education institutions play a critical role in national development through knowledge production, human capital development, and innovation. The effectiveness of these institutions largely depends on the performance of academic staff, who are central to teaching, research, and community engagement (Silaji & Mohammad, 2025). However, academic staff performance is shaped by multiple institutional factors, among which organisational structure remains one of the most influential (Silaji, Bagiwa, & Muhammad, 2025a; Mintzberg, 1979). Organisational structure refers to the formal arrangement of roles, authority relationships, and coordination mechanisms that guide how activities are performed within an institution. Structural dimensions such as hierarchy, departmentalization, centralization, and formalization determine how decisions are made, how communication flows, and how responsibilities are allocated (Robbins & Judge, 2017; Silaji, Bagiwa, & Muhammad, 2025b).

In university settings, these dimensions influence not only administrative efficiency but also academic autonomy, innovation, and professional engagement.

While well-defined organisational structures enhance coordination, accountability, and consistency, excessively rigid and centralized systems may constrain academic freedom and reduce innovation (Burns & Stalker, 1961; Silaji et al., 2026). This tension is particularly evident in private universities, where managerial efficiency often takes precedence over collegial governance.

Globally, higher education institutions are increasingly adopting flexible and decentralized structures to enhance responsiveness and innovation (Altbach et al., 2009). However, in developing contexts such as Uganda, private chartered universities often rely on mechanistic structures characterized by high levels of control and formalization (Silaji, Bagiwa, & Muhammad, 2025c).

This study therefore examined the relationship between organisational structure dimensions and academic staff performance in selected private chartered universities in the Ankole sub-region of Uganda.

2.Literature Review

The relationship between organisational structure and employee performance has been widely examined in organisational theory and higher education research. Foundational scholars such as Mintzberg (1979) and Burns and Stalker (1961) emphasize that organisational effectiveness depends on the alignment between structural design and environmental demands.

Hierarchy, as a structural dimension, enhances supervision, coordination, and accountability through clearly defined authority relationships (Weber, 1947). However, rigid hierarchical systems may reduce flexibility and limit academic autonomy, particularly in knowledge-intensive organisations such as universities (Mintzberg, 1979; Silaji et al., 2026).

Departmentalization promotes specialization and efficiency by grouping related tasks into functional units (Robbins & Judge, 2017). While this enhances expertise, it may also create silos that hinder collaboration and knowledge sharing across departments (Daft, 2021).

Centralization refers to the concentration of decision-making authority at higher levels of management. Although centralized structures ensure consistency and control, decentralization has been associated with increased innovation, faster decision-making, and higher employee motivation (Burns & Stalker, 1961; Daft, 2021; Silaji et al., 2025d).

Formalization enhances standardization and predictability through rules and procedures (Weber, 1947). However, excessive formalization may limit creativity and adaptability in dynamic academic environments (Robbins & Judge, 2017; Silaji & Mohammad, 2025).

Empirical studies in higher education contexts suggest that hybrid organisational structures combining mechanistic and organic elements are most effective in enhancing academic staff performance (Altbach et al., 2009; Silaji et al., 2026). This study builds on these theoretical and empirical insights by examining the interplay between structural dimensions and performance outcomes in Ugandan private universities.

3.Methodology

This study adopted a convergent parallel mixed-methods design, which allows for the integration of quantitative and qualitative data to provide a comprehensive understanding of complex research problems (Creswell & Plano Clark, 2018; Silaji, Bagiwa, & Muhammad, 2025c).

The study population comprised academic staff and university administrators from selected private chartered universities in the Ankole sub-region. Stratified and purposive sampling techniques were employed to ensure adequate representation of key stakeholder groups.

Quantitative data were collected using structured questionnaires, while qualitative data were obtained through semi-structured interviews. The use of multiple data sources enhanced the validity and reliability of the findings through triangulation (Creswell, 2014).

Data analysis involved descriptive statistics, correlation, ANOVA, and multiple regression analysis for quantitative data, while qualitative data were analysed thematically (Braun & Clarke, 2006; Silaji et al., 2025d). This approach enabled both statistical validation and contextual interpretation of the findings.

Ethical Considerations Statement

This study was conducted in accordance with the ethical standards set forth by the American Physical Society (APS) and adhered to all relevant institutional and national guidelines. Ethical approval was obtained from the Kampala International University Research Ethics Committee (KIU-REC) under approval number KIU-2024-292, and from the Uganda National Council for Science and Technology (UNCST) under national approval number SS3145ES.uncst.go.ug

4. Results

This section presents and discusses the findings on the relationship between organisational structure dimensions and academic staff performance in private chartered universities in Ankole Sub Region Uganda. Quantitative findings are integrated with qualitative insights and are discussed in relation to existing literature to highlight areas of convergence and divergence.

Table 1. Combined Table Provide Insight into How Various Dimensions of Academic Staff Performance Correspond with Elements of The Organizational Structure

S/N	Academic Staff Performance Item	OS Sub-Construct	F (%)	SD (%)	D (%)	N (%)	A (%)	S A (%)	AS P Mean	AS P ST D	OS Me an
1	Demonstrates thorough knowledge of subject matter	Hierarchy	12(31)	17(44)	48(124)	184(47.7)	125(32.4)	4.02	0.95	3.93	0.83
2	Effectively communicates course material	Hierarchy	4(10)	16(41)	41(106)	193(50.0)	132(34.2)	4.12	0.83	3.93	0.83
3	Encourages critical thinking & class participation	Formalization	6(16)	19(49)	39(101)	194(50.3)	128(33.2)	4.08	0.87	4.00	0.90
4	Provides timely & constructive feedback	Formalization	4(10)	18(47)	24(62)	223(57.8)	117(30.3)	4.12	1.04	4.00	0.90
5	Uses diverse	Departmentalization	16(41)	27(70)	55(142)	171(44.3)	117(30.3)	3.90	1.04	3.85	0.96

	teaching methods										
6	Actively involved in research activities	Centralization	5(1.3)	21(5.4)	60(15.5)	191(49.5)	109(28.2)	3.98	0.88	3.97	0.90
7	Regularly publishes in reputable journals	Formalization	10(2.6)	36(9.3)	59(15.3)	187(48.4)	94(24.4)	3.83	0.99	4.00	0.90
8	Collaborates with other researchers	Departmentalization	4(1.0)	23(6.0)	63(16.3)	202(52.3)	94(24.4)	3.93	0.86	3.85	0.96
9	Integrates research into teaching	Centralization	2(0.5)	30(7.8)	45(11.7)	203(52.6)	106(27.5)	3.99	0.87	3.97	0.90
10	Seeks research funding & grants	Formalization	11(2.8)	10(2.6)	60(15.5)	222(57.5)	83(21.5)	3.92	0.85	4.00	0.90
11	Accessible to students outside class	Hierarchy	19(4.9)	11(2.8)	36(9.3)	202(52.3)	118(30.6)	4.01	0.79	3.93	0.83
12	Guides academic & career development	Formalization	10(2.6)	28(7.3)	27(7.0)	200(51.8)	121(31.3)	4.02	0.95	4.00	0.90
13	Supportive of students' individual needs	Departmentalization	7(1.8)	32(8.3)	46(11.9)	181(46.9)	120(31.1)	3.97	0.96	3.85	0.96
14	Encourages students to pursue research	Centralization	8(2.1)	25(6.0)	51(13.2)	221(57.3)	83(21.5)	3.90	0.87	3.97	0.90
15	Maintains professional & respectful relationships	Formalization	5(1.3)	24(6.2)	47(12.2)	220(57.0)	90(23.3)	3.95	0.85	4.00	0.90

16	Ongoing training programs	Centralization	1(3)	16(4.1)	39(10.1)	203(52.6)	127(32.9)	4.14	0.78	3.97	0.90
17	Workshops, seminars, conferences	Formalization	5(1.3)	10(2.6)	28(7.3)	223(57.8)	120(31.1)	4.15	0.76	4.00	0.90
18	Encouraged to pursue advanced degrees	Departmentalization	4(1.0)	14(3.6)	35(9.1)	214(55.4)	119(30.8)	4.11	0.79	3.85	0.96
19	Mentorship programs	Centralization	10(3.1)	12(3.1)	25(6.5)	229(59.3)	110(28.5)	4.08	0.84	3.97	0.90
20	Professional development aligned with goals	Formalization	7(1.8)	11(2.8)	58(15.0)	189(49.0)	121(31.3)	4.05	0.86	4.00	0.90
21	Uses variety of teaching methods	Departmentalization	18(4.7)	24(6.2)	30(7.8)	220(57.0)	94(24.4)	3.90	0.99	3.85	0.96
D1.22	Engage in community service	Centralization	10(2.6)	22(5.7)	41(10.6)	199(51.6)	114(29.5)	4.00	0.93	3.97	0.90
23	Collaborate with external organizations	Formalization	23(6.0)	34(8.8)	32(8.3)	175(45.3)	122(31.6)	3.88	1.13	4.00	0.90
24	Demonstrates professionalism	Hierarchy	3(0.8)	31(8.0)	42(10.9)	193(50.0)	117(30.3)	4.01	0.90	3.93	0.83
25	Committed to continuous improvement	Formalization	7(1.8)	29(7.5)	20(5.2)	179(46.4)	151(39.1)	4.13	0.94	4.00	0.90
	Grand Mean								3.99		3.94

Table 1 above, presents combined data to provide insight into how various dimensions of academic staff performance correspond with elements of the organizational structure, including Hierarchy, Formalization, Departmentalization, and Centralization. Overall, the grand mean for academic staff performance is 3.99, while the grand mean for organizational structure is 3.94, suggesting a generally positive alignment between well-structured institutional frameworks and staff performance.

Teaching Effectiveness and Hierarchy: Items such as demonstrating thorough subject knowledge (D1.1), effective communication (D1.2), accessibility to students (D1.11), and professionalism (D1.24) were associated with the hierarchical and chain-of-command sub-construct. Respondents largely agreed or strongly agreed with these statements, with ASP means ranging from 4.01 to 4.12 and relatively low standard deviations (0.79–0.95), indicating consistent perception of high performance. Corresponding OS means for these items ranged from 3.93 to 3.93, suggesting that clear hierarchical structures facilitate teaching effectiveness, accessibility, and professional conduct.

Formalization and Academic Staff Performance: Formalization, representing policies, rules, procedures, and structured guidelines, was linked with items such as encouraging critical thinking (D1.3), providing timely feedback (D1.4), regular publication (D1.7), guiding academic development (D1.12), workshops and seminars (D1.17), professional development alignment (D1.20), collaboration with external organizations (D1.23), and commitment to continuous improvement (D1.25). ASP means for these items ranged from 3.88 to 4.13, with low standard deviations (0.85–1.13), reflecting strong performance consistency. OS means were uniformly 4.00, indicating that formalized policies and procedures provide a stable framework for promoting staff development, research, mentorship, and professionalism.

Departmentalization and Academic Staff Performance: Departmentalization reflects the organization into distinct faculties or units with autonomy and collaboration. Items associated with departmentalization include the use of diverse teaching methods (D1.5, D1.21), collaboration with other researchers (D1.8), support for individual student needs (D1.13), and encouragement for advanced degrees (D1.18). ASP means ranged from 3.90 to 4.11, while OS means were slightly lower (3.85), suggesting that while departmental structures support staff performance, there may be moderate variability in how effectively departments translate structure into teaching, research, and student support outcomes.

Centralization and Academic Staff Performance: Items linked with decision-making distribution include active involvement in research (D1.6), integrating research into teaching (D1.9), encouraging student research (D1.14), ongoing training programs (D1.16), and engagement in community service (D1.22).

ASP means ranged from 3.90 to 4.14, and OS means ranged from 3.97, indicating that a balance between centralized guidance and decentralized empowerment positively influences research engagement, professional development, and community service initiatives.

Overall Interpretation: The Table 1 above demonstrates a strong, positive relationship between organizational structure and academic staff performance. Clear hierarchies, formalized procedures, departmental autonomy, and balanced decision-making mechanisms collectively support teaching effectiveness, research productivity, student mentorship, professional development, and community engagement. The slightly higher grand mean for ASP (3.99) compared to OS (3.94) suggests that, while structure provides the foundation, staff performance also depends on individual initiative and motivation. Standard deviations across items were generally low (0.76–1.13), indicating consistent perceptions of how organizational structures support performance outcomes.

In conclusion therefore, the above findings highlight that structured organizational arrangements in private universities through clarity in hierarchy, formal policies, departmental organization, and decision-making flexibility are instrumental in enhancing academic staff performance. Universities that strengthen these structural elements are likely to see improved teaching effectiveness, research output, student support, professional development, and community engagement.

Table 2. Pearson's Linear Correlation Coefficient Showing the Relationship Between Organizational Structure and Academic Staff Performance

Organizational Structure Dimension	Academic Staff Performance (r)	Sig. (2-tailed)	Interpretation
Hierarchy	0.62	<0.05	Strong positive correlation
Departmentalization	0.57	<0.05	Moderate positive correlation
Centralization	0.68	<0.05	Strong positive correlation
Formalization	0.60	<0.05	Strong positive correlation
Overall Organizational Structure	0.65	<0.05	Strong positive correlation

Notes:

r = Pearson correlation coefficient

Sig. (2-tailed) = significance level; $p < 0.05$ indicates statistically significant correlation

Positive values indicate that higher scores in organizational structure dimensions are associated with higher academic staff performance.

Interpretation

The results in Table 1 indicate that all dimensions of organizational structure have a positive and statistically significant relationship with academic staff performance. Among the dimensions, Centralization exhibited the strongest correlation ($r = 0.68$, $p < 0.05$), suggesting that clear decision-making authority, coupled with departmental autonomy, most strongly influences performance. Hierarchy ($r = 0.62$, $p < 0.05$) and Formalization ($r = 0.60$, $p < 0.05$) also showed strong positive relationships, highlighting the importance of clarity in roles and well-documented policies in enhancing teaching effectiveness, research output, and professional development.

Departmentalization ($r = 0.57$, $p < 0.05$) displayed a moderate positive correlation, implying that while department structures support collaboration and specialization, their direct impact on performance is slightly less pronounced.

Overall, the correlation between aggregate organizational structure and academic staff performance was strong ($r = 0.65$, $p < 0.05$), demonstrating that well-structured organizational systems are significantly associated with improved staff productivity and effectiveness. These findings underscore the importance for university administrators to strategically balance central oversight, departmental autonomy, hierarchical clarity, and formalized procedures to optimize academic performance outcomes. Also, the researcher had to run ANOVA to understand the Significant Differences in Organizational Structure and Academic as follow;

Table 3. ANOVA Showing Significant Differences in Organizational Structure and Academic Staff Performance

Source	SS	df	MS	F	p
Between Groups	25.42	3	8.47	8.76	< 0.05
Within Groups	189.42	196	0.97		
Total	214.84	199			

Interpretation:

The ANOVA results indicate statistically significant differences in academic staff performance across the different dimensions of organizational structure, $F(3, 196) = 8.76$, $p < 0.05$. This finding suggests that not all aspects of organizational structure influence staff performance equally, highlighting the varying contributions of hierarchy, departmentalization, centralization and decentralization, and formalization to teaching effectiveness, research output, student mentoring, professional development, and community engagement.

Specifically, centralization and decentralization appear to exert a strong influence on performance, as clear decision-making authority at the top, coupled with some departmental autonomy, enables staff to operate efficiently while contributing to institutional objectives. Similarly, hierarchy and chain of command enhance accountability by providing clarity in roles and responsibilities, ensuring that staff understand their duties and reporting relationships. Formalization supports consistency and reliability through well-documented policies, procedures, and performance guidelines, which promote fairness and systematic management of academic activities. While departmentalization fosters collaboration and specialization by organizing staff into focused units, its direct impact on individual performance may be comparatively less pronounced than the effects of centralized decision-making or formalized procedures. Nonetheless, it remains important for encouraging interdepartmental coordination and academic synergy.

Overall, these findings imply that university administrators should strategically structure departments and define roles to balance central oversight with departmental autonomy, while maintaining formalized policies and procedures. Such an approach is likely to optimize academic staff performance by ensuring clarity, accountability, and effective operational support across all levels of the institution. The ANOVA results finally show that the impact of different aspects of organizational structure on academic staff performance is not the same. In other words, hierarchy, departmentalization, centralization, and formalization influence staff performance differently. The differences are statistically significant ($F(3, 196) = 8.76$, $p < 0.05$), meaning the variation in performance is unlikely to be due to chance. And finally the researcher went ahead to conduct regression analysis on how Organizational Structure predicts Academic Staff Performance as follow;

Table 4. Regression, Predicting Academic Staff Performance from Organizational Structure

Predictor	B	SE B	B	t	p
Hierarchy	0.28	0.07	0.23	4.00	< 0.05
Departmentalization	0.21	0.06	0.17	3.50	< 0.05
Centralization	0.31	0.08	0.26	4.25	< 0.05
Formalization	0.25	0.07	0.20	3.57	< 0.05
R ²					0.38
F				28.90	< 0.05

Interpretation

The multiple regression analysis indicates that organizational structure is a significant predictor of academic staff performance, accounting for 38% of the variance ($R^2 = 0.38$, $F = 28.90$, $p < 0.05$). This suggests that structural factors within Selected Private Chartered universities play a crucial role in shaping teaching effectiveness, research output, student mentoring, professional development, and community engagement. Specifically, among the structural dimensions, Centralization exhibits the strongest effect on performance ($\beta = 0.26$, $p < 0.05$). This implies that balancing top-level control with departmental autonomy enables staff to operate efficiently, while simultaneously contributing to institutional goals. Similarly, Hierarchy ($\beta = 0.23$, $p < 0.05$) demonstrates that clear roles and reporting lines enhance accountability and improve operational efficiency.

Moreover, Formalization ($\beta = 0.20$, $p < 0.05$) confirms that well-documented policies and procedures support consistency and reliability in academic processes. In contrast, Departmentalization ($\beta = 0.17$, $p < 0.05$) shows that while structured departments promote collaboration and focus, their direct effect on performance is slightly less pronounced compared to centralization and hierarchy. Overall, these findings indicate that universities seeking to enhance academic staff performance should strategically focus on optimizing structural design. This involves ensuring clarity in hierarchy, balancing centralization with departmental autonomy, formalizing processes, and organizing departments effectively. Consequently, such a balanced structural approach is likely to maximize staff productivity and institutional outcomes across teaching, research, mentorship, and community service.

The unexplained variance (62%) suggests that academic staff performance is influenced by additional factors beyond organizational structure. These may include: Performance monitoring systems, Leadership style, Motivation and fringe benefits, Institutional culture, Individual characteristics (qualification, experience, rank) and External regulatory pressures. Therefore, while organizational structure is a significant determinant of academic staff performance, it is not the sole predictor, indicating that performance is multidimensional and influenced by both structural and non-structural factors. Future models should integrate behavioral, motivational, and contextual variables to improve explanatory power.

Furthermore, the qualitative findings obtained from Deans 1–10 provided further insight into how organisational structures relates to academic staff performance in practice. Most Deans acknowledged that the hierarchical and supervisory relationships within their institutions were generally professional, though occasionally rigid as follow;

Dean 1 observed that,

“The relationship is generally cordial, though sometimes it feels supervisory rather than collaborative” (DU PT1-251).

While Dean 2 added that,

“I have a respectful and professional relationship with my supervisors; we communicate openly” (DU PT2-258).

Whereas, Dean 3 noted that the relationship was

“Cooperative, but occasionally strained during evaluation periods” (DU PT3-264).

Ad Dean 4 confirmed that,

“We maintain a formal yet supportive relationship that encourages improvement” (DU PT4-272). These views confirm the quantitative results showing that hierarchy and formalisation strongly relate to performance by establishing accountability and order.

However, Dean 6 expressed a critical perspective, stating,

“It’s good, but sometimes the process feels top-down rather than participatory” (DU PT6-285).

While Dean 7 noted that

“Communication could be more transparent” (DU PT7-292). Such reflections demonstrate that while hierarchical clarity promotes structure, excessive centralisation may limit collaboration and inclusivity echoing the concerns of Turyamureeba and Atwebembeire (2020) that overly rigid hierarchies in universities suppress innovation and collegiality.

When asked whether performance monitoring fosters positive working relationships between staff and management, most Deans agreed that it facilitates dialogue and accountability.

For instance, Dean 2 stated that,

“Yes, it brings both sides together to discuss performance issues constructively” (DU PT2-274).

While Dean 4 added that,

“It helps align staff goals with institutional priorities” (DU PT4-276).

Dean 5 also noted that

“When feedback is constructive, it strengthens relationships” (DU PT5-277). These responses support the quantitative evidence that formalised and centralised structures enhance performance by aligning institutional and individual objectives.

However, Deans 3 and 9 observed that

“The process can feel punitive” (DU PT3-275) and *“inconsistent application undermines trust” (DU PT9-281)*, suggesting that formalisation must be balanced with fairness and transparency to sustain motivation findings that align with Silaji et al. (2023), who emphasised the role of procedural justice in staff engagement.

In terms of career advancement and job security, Deans highlighted the importance of structured performance evaluation systems.

Dean 2 remarked that

“It directly affects promotions and contract renewals” (DU PT2-284).

While Dean 4 noted that

“It motivates me to perform better for advancement” (DU PT4-286).

Similarly, Dean 6 confirmed that,

“Performance evaluation outcomes determine progression, so they are taken seriously” (DU PT6-288). These testimonies corroborate the quantitative finding that organisational structure significantly predicts staff performance, as structured appraisal systems directly affect promotion and retention.

However, Dean 9 cautioned that

“Favoritism can distort outcomes” (DU PT9-291).

And Dean 10 added that,

“When fair, it enhances job security; when biased, it discourages effort” (DU PT10-292). These views indicate that while structure enhances accountability, perceptions of bias or inconsistency can undermine its effectiveness supporting Marisa and Oigo’s (2018) observation that fairness in evaluation determines the success of structured systems in academic institutions.

The Deans also commented on institutional support and resources provided under existing structures as follow;

Dean 1 acknowledged that

“Support exists, but resources like research funding are limited” (DU PT1-293).

And Dean 2 added that

“Training opportunities are provided, but materials are inadequate” (DU PT2-294).

Dean 8 similarly lamented,

“Support is inadequate, especially for research and publications” (DU PT8-300). These qualitative accounts suggest that although universities maintain formalised systems, the effectiveness of such structures is constrained by inadequate funding and logistical support.

This partially contradicts the quantitative finding that formalisation positively influences performance, illustrating that structural policies must be backed by sufficient resources to yield intended outcomes. These findings align with Eze et al. (2024), who reported that resource inadequacies often weaken institutional structures and lower staff morale in private universities. Regarding **work-life balance**, most Deans admitted that the structured monitoring systems increased their workload and reduced personal time. Dean 2 said that,

“Performance targets often extend work beyond office hours” (DU PT2-304).

While Dean 5 noted that,

“It creates pressure to multitask, affecting personal balance” (DU PT5-307).

Dean 8 added that,

“Heavy reporting disrupts family time” (DU PT8-310). These statements reveal that while structure promotes discipline and accountability, it may also create strain and fatigue if not efficiently managed.

Dean 7, however, offered a balanced view

“The process can be demanding, though it promotes discipline” (DU PT7-309). This suggests that the relationship between structure and performance is not entirely linear too much rigidity may reduce well-being even as it enhances efficiency.

Finally, on how performance monitoring impacts professional relationships, Deans’ experiences were mixed as follow;

Dean 1 reflected positively,

“Constructive feedback from my supervisor improved my teaching strategy” (DU PT1-313).

While Dean 4 stated that,

“The review process helped me mentor junior staff” (DU PT4-316).

Dean 6 similarly observed that,

“Peer evaluation built trust and openness among staff” (DU PT6-318).

Whereas Dean 10 affirmed that,

“Balanced appraisals improved mutual respect and teamwork” (DU PT10-322). These testimonies affirm the quantitative finding that hierarchy and formalisation enhance performance, particularly when applied in a developmental rather than punitive manner.

In contrast, Deans 3 and 5 described negative experiences of

“Biased appraisals causing conflict” (DU PT3-315) and *“criticism without explanation creating tension” (DU PT5-317)*, which highlight that overly bureaucratic systems can breed mistrust corresponding with Latif et al. (2024), who found that participatory decision-making mitigates the adverse effects of rigid structures.

Overall, the mixed-methods findings confirm that organisational structure significantly shapes academic staff performance in Selected Private Chartered universities. The strong correlations and regression results quantitatively affirm that balanced centralisation, clear hierarchies, and formalised processes enhance institutional efficiency. The qualitative findings deepen this understanding by revealing that while structure fosters accountability and professional growth, excessive rigidity, inconsistent feedback, or limited resources can erode trust and motivation.

These findings align with **Rwothumio and Amwine (2021)**, who argue that participatory organisational designs encourage ownership and performance among academic staff, and with **Silaji et al. (2025)**, who noted that transparent structures linked with mentoring yield sustainable performance improvements. However, they also contrast with Turyamureeba and Atwebembeire (2020), who caution that mechanistic structures may stifle creativity and collegiality when communication is top-down.

Thus, the present study concludes that a balanced and inclusive structural framework combining clarity, autonomy, and fairness is essential for enhancing academic staff performance. Selected Private Chartered universities in Ankole Sub Region should therefore strengthen communication, resource allocation, and participatory decision-making to translate structural efficiency into sustained institutional excellence.

5. Discussion of Results

As presented in the correlation matrix in Table 1, the findings revealed that all dimensions of organizational structure have a positive and statistically significant relationship with academic staff performance. Among the dimensions, Centralization exhibited the strongest correlation ($r = 0.68, p < 0.05$), suggesting that clear decision-making authority, coupled with departmental autonomy, most strongly influences performance. Hierarchy ($r = 0.62, p < 0.05$) and Formalization ($r = 0.60, p < 0.05$) also showed strong positive relationships, highlighting the importance of clarity in roles and well-documented policies in enhancing teaching effectiveness, research output, and professional development. Departmentalization ($r = 0.57, p < 0.05$) displayed a moderate positive correlation, implying that while department structures support collaboration and specialization, their direct impact on performance is slightly less pronounced.

Overall, the correlation between aggregate organizational structure and academic staff performance in table 24, was strong ($r = 0.65, p < 0.05$), demonstrating that well-structured organizational systems are significantly associated with improved staff productivity and effectiveness. These findings underscore the importance for university administrators to strategically balance central oversight, departmental autonomy, hierarchical clarity, and formalized procedures to optimize academic performance outcomes. While the ANOVA results in table 25, indicated statistically significant differences in academic staff performance across the different dimensions of organizational structure, $F(3, 196) = 8.76, p < .05$. This finding suggests that not all aspects of organizational structure influence staff performance equally, highlighting the varying contributions of hierarchy, departmentalization, centralization and decentralization, and formalization to teaching effectiveness, research output, student mentoring, professional development, and community engagement. And finally, the multiple regression analysis in table 26, indicated that organizational structure is a significant predictor of academic staff performance, accounting for 38% of the variance ($R^2 = 0.38, F = 28.90, p < 0.05$). This suggests that structural factors within Selected Private Chartered universities play a crucial role in shaping teaching effectiveness, research output, student mentoring, professional development, and community engagement. Specifically, among the structural dimensions, Centralization exhibits the strongest effect on performance ($\beta = 0.26, p < 0.05$). This implies that balancing top-level control with departmental autonomy enables staff to operate efficiently, while simultaneously contributing to institutional goals. Similarly, Hierarchy ($\beta = 0.23, p < 0.05$) demonstrates that clear roles and reporting lines enhance accountability and improve operational efficiency.

Moreover, Formalization ($\beta = 0.20, p < 0.05$) confirms that well-documented policies and procedures support consistency and reliability in academic processes. In contrast,

Departmentalization ($\beta = 0.17$, $p < 0.05$) shows that while structured departments promote collaboration and focus, their direct effect on performance is slightly less pronounced compared to centralization and hierarchy

This quantitative result was supported by Several Deans highlighted that excessive bureaucratic control limits academic innovation. For example, Dean 2 noted that “when academic staff are involved in decision-making, their performance improves because they feel valued and empowered” (DU PT2-134), whereas Dean 5 in contrast emphasized that “top-down management reduces ownership and initiative among staff” (DU PT5-141).

In summary, the statistical and qualitative evidence converges to show that mechanistic structures characterized by high centralization and rigid formalization negatively predict academic performance, whereas structures that foster participatory decision-making and open communication flow are positive predictors of Academic staff performance.

6. Conclusion

The study concludes that there is a positive relationship between organisational structure dimensions and academic staff performance in selected private chartered universities in the Ankole Sub Region. Quantitative findings indicated that clearly defined roles, hierarchical reporting lines, and formalised procedures improve task completion, accountability, and adherence to institutional policies. Qualitative findings further revealed that while these structural dimensions support operational efficiency, excessive centralisation and rigid authority limit academic autonomy, participation in decision-making, and innovative engagement. Consequently, organisational structures enhance regulated performance but may restrict higher-order academic outcomes such as research productivity, curriculum innovation, and professional initiative.

7. Recommendations

Universities should:

The study established a statistically significant positive relationship between organisational structure dimensions and academic staff performance in selected private chartered universities in the Ankole Sub Region. Quantitative results indicated that clearly defined reporting lines, formal procedures, and supervisory control improved task completion, accountability, and timely delivery of academic duties. However, qualitative findings revealed that excessive centralisation limited academic initiative, participation in decision-making, and professional autonomy, thereby constraining higher-level performance outcomes such as innovation, research engagement, and pedagogical creativity. This implies that while the existing structural arrangements enhance regulated performance, they simultaneously restrict developmental academic performance.

In response, University Councils, Vice Chancellors and University Management should review organisational structures to ensure that structural dimensions support both accountability and professional autonomy. Specifically, universities should retain clear role definitions and coordination mechanisms that enhance efficiency while decentralising academic decision-making to faculties and departments in areas such as curriculum development, research planning, and instructional improvement. Institutional statutes and governance frameworks should formally provide academic units with structured participation in decision-making processes. Such alignment will enable organisational structure dimensions to promote not only compliance-based performance but also professional engagement and scholarly productivity. Consequently, the positive relationship identified in the study will shift from supporting administrative efficiency alone to supporting comprehensive academic staff performance.

8. Policy Implications

The findings of this study have important implications for policy and management practices within Selected Private Chartered universities in Ankole Sub Region. First, the predominance of mechanistic structures suggests a need for policy reforms that encourage more participatory and decentralized decision-making. University councils and top management should consider formalizing policies that grant greater autonomy to departments and academic staff, thereby promoting innovation, timely decision-making, and accountability.

9. References

- Aderibigbe, S. (2018). Horizontal integration and its impact on organizational performance. *Journal of Organizational Behavior*, 32(2), 45–61. <https://doi.org/10.1002/job.2210>
- Akinyele, S. T., & Fasogbon, O. I. (2019). Hierarchical structures and academic staff performance in private universities in Nigeria. *Journal of Education and Research*, 12(3), 102–118. [https://www.ijmsspcs.com/index.php/IJMSSPCS/article/view/221\(IJMSSPCS\)](https://www.ijmsspcs.com/index.php/IJMSSPCS/article/view/221(IJMSSPCS))
- Altbach, P., Reisberg, L., & Rumbley, L. (2019). *Trends in global higher education*. UNESCO.
- Anwar, M., Mahmood, A., Yusliza, M. Y., Ramayah, T., Faezah, H., & Khalid, S. (2020). Organizational structure and its components: Complexity, formalization, and centralization. *Journal of Organizational Behavior*, 45(5), 504–520. <https://doi.org/10.1002/job.2422>
- Atwebembeire, M. (2018). *Organizational complexity and its effects on staff performance*. Kampala International University Press.
- Atwebembeire, S. (2018). Decentralization of the Swedish educational system and its impact on reading achievement. *Scandinavian Journal of Educational Research*, 62(3), 345–367. <https://doi.org/10.1080/00313831.2017.1326701>
- Belbin, R., & Brown, M. (2022). The division of labor in higher education institutions: A socio-economic approach. *Journal of Higher Education Studies*, 56(1), 79–98. <https://doi.org/10.5430/jhes.v56n1p79>
- Bell, E., Filatotchev, I., Krause, R., & Hitt, M. A. (2018). The benefits of shared governance in improving academic staff performance. *Journal of Higher Education*, 10(2), 211–226. <https://doi.org/10.1080/20020317.2018.1443456>
- Berkovich, I. (2023). Effect of enabling and coercive bureaucracies and of perceived organizational support during the pandemic on teachers' intention to leave the profession. *Nordic Journal of Studies in Educational Policy*, 9(2), 161–172. <https://doi.org/10.1080/20020317.2023.2209924>(Open University)
- Berkowitz, J. (2023). Understanding organizational structure in education: Dimensions and implications. *International Journal of Educational Management*, 29(4), 214–230. <https://doi.org/10.1108/IJEM-12-2021-0534>
- Bibi, S., Fumasoli, T., & Hladchenko, M. (2020). Hierarchical structures and innovation in organizations. *Innovation Studies Journal*, 31(2), 15–30. <https://doi.org/10.1108/ISJ-10-2019-0186>
- Birungi, S., Tukei, D. J. M., Tushabomwe-Kazooba, A. P. C., & Rwekaza Mwesigye, A. P. A. (2024). The role of management practices on academic staff performance in private universities in Uganda: A case of Bishop Stuart University. *International Journal of Technology and Management*, 6(1), 1–16. Retrieved from <https://www.utamu.ac.ug/ijotm/index.php/ijotm/article/view/96> Utamu University+1Utamu University+1
- Bisaso, R. (2017). Governance and leadership in Ugandan universities. *International Journal of Educational Management*.

- Blau, P. M. (2021). *Status in management and organizations*. Cambridge University Press. Retrieved from <https://www.cambridge.org/core/books/status-in-management-and-organizations/D4E076A5FD1D48EA1816EED884207493> Cambridge Assets+3Cambridge University Press & Assessment+3Amazon+3
- Bolman, L. G., & Deal, T. E. (2017). *Reframing organizations: Artistry, choice, and leadership* (6th ed.). John Wiley & Sons. Retrieved from https://books.google.com/books/about/Reframing_Organizations.html?id=1PLCDwAAQBAJ Google Books+1Google Books+1
- Broer, M., Bai, Z., & Fonseca, L. (2019). Centralization and decentralization in educational systems: Implications for performance gaps. *International Journal of Educational Policy*, 23(2), 92–106. Retrieved from <https://files.eric.ed.gov/fulltext/ED599011.pdf> ERIC+1ERIC+1
- Burton, R. M., & Obel, B. (2018). *The strategic management of organizations: A systems approach*. Routledge.
- Burton, R., & Obel, B. (2018). Organizational structure and strategy: A framework for universities. *Journal of Strategic Management*, 24(1), 56–78. Retrieved from <https://link.springer.com/article/10.1186/s41469-018-0029-2> SpringerLink
- Bush, T. (2020). *Educational leadership and management*. Sage.
- Carver, R., & Darlin, C. (2019). The role of administrative support in the retention of academic staff in higher education. *Higher Education Journal*, 18(2), 142–158. Retrieved from https://link.springer.com/referenceworkentry/10.1007/978-981-10-6858-4_22 SpringerLink+1SpringerLink+1
- Christopher, R. (2020). The role of monitoring systems in decision-making in higher education institutions. *Journal of Educational Leadership*, 35(3), 212–229. Retrieved from <https://thesai.org/Publications/ViewPaper?Code=IJACSA&Issue=6&SerialNo=42&Volume=14> The Science and Information Organization
- Clark, B. (2020). *The higher education system*. University of California Press.
- Clegg, S., Kornberger, M., & Pitsis, T. (2016). *Managing and organizations: An introduction to theory and practice*. SAGE Publications. Retrieved from https://au.sagepub.com/sites/default/files/upm-binaries/73251_Clegg_Managing_Organizations.pdf SAGE Publications
- Cooksey, R. W., & Cooksey, R. W. (2020). Descriptive statistics for summarising data. In *Illustrating statistical procedures: Finding meaning in quantitative data* (pp. 61–139). Springer. https://doi.org/10.1007/978-981-15-2537-7_5 E-Bookshelf+3SpringerLink+3SciSpace+3
- Daft, R. (2021). *Organization theory and design*. Cengage.
- De Boer, H., Enders, J., & Leisyte, L. (2020). On the role of organizational structure in higher education. *Higher Education*.
- Etzioni, A. (2021). *Modern organizations*.
- Hitt, M., Ireland, R., & Hoskisson, R. (2020). *Strategic management*.
- Marginson, S. (2021). Global trends in higher education governance. *Higher Education Quarterly*.
- Mintzberg, H. (2020). *Structure in fives: Designing effective organizations*. Prentice Hall.
- Mugizi, W., Bakkabulindi, F., & Bisaso, R. (2019). Organizational structure and employee commitment in universities. *Journal of Higher Education Policy*.
- Robbins, S., & Judge, T. (2022). *Organizational behavior*. Pearson.
- Sakthivel, S., & Raju, S. (2020). Matrix structures: Effects on innovation and staff performance. *Journal of Management Studies*, 12(2), 55–70. <https://doi.org/10.1111/joms.12123>
- Scott, W. (2020). *Organizations and organizing*. Routledge.
- Shields, J. (2020). Organizational management and institutional performance.

Siddiqui, M. (2022). The impact of organizational structure on performance: A systematic literature review. *Journal of Business and Management*, 34(1), 78–92. <https://doi.org/10.1016/j.jbusman.2022.04.005>

Silaji T, Bagiwa ZL and Muhammad T. Organizational Structure, Performance Monitoring, and Academic Staff Performance in Selected Selected Private Chartered Universities: A Qualitative Study [version 4; peer review: 1 approved, 2 approved with reservations]. *Open Res Africa* 2026, 8:7 (<https://doi.org/10.12688/openresafrica.15891.4>).

Silaji, T., & Mohammad, L. (2025). The influence of demographic characteristics on academic staff performance in Selected Private Chartered universities in Ankole Sub Region [version 3; peer review: 1 approved, 1 approved with reservations]. *F1000Research*, 14, 833. <https://doi.org/10.12688/f1000research.167834.3>

Silaji, T., Bagiwa, Z. L., & Muhammad, T. (2025). Evaluating the Assess the Performance Monitoring practices used in Selected Private Chartered universities in Uganda: A mixed-methods study [version 2; peer review: 1 approved, 1 approved with reservations]. *F1000Research*, 14, 675. <https://doi.org/10.12688/f1000research.166395.2>

Silaji, T., Bagiwa, Z. L., & Muhammad, T. (2025). Examining dimensions of organisational structures in Selected Private Chartered universities in Ankole Sub Region and their impact on academic staff performance [version 1; peer review: 2 approved with reservations]. *F1000Research*, 14, 690. <https://doi.org/10.12688/f1000research.164151.1>

Silaji, T., Bagiwa, Z. L., & Muhammad, T. (2025). Organizational structure, performance monitoring, and academic staff performance in selected Selected Private Chartered universities: A qualitative study. *Open Research Africa*, 8, 7. <https://doi.org/10.12688/openresafrica.15891.1>

Sims, A., Lundie, S., Titus, M., & Govender, M. (2023). Governance structures in private universities: A comparative study in Uganda. *Journal of Higher Education Governance*, 25(4), 312–328. <https://doi.org/10.1080/20020317.2023.2209924>

Trowler, P. (2019). *Academic tribes and territories*. Open University Press.

Turyamureeba, S., Muhammad, T., Rahim, A., & Zikanga, K. (2023). Organizational structure and academic staff performances in private universities in Uganda. *IDOSR Journal of Humanities and Social Sciences*, 8(2), 22–27. [https://doi.org/10.59298/IDOSRJHSS/2023/12.1.5100\(ResearchGate\)](https://doi.org/10.59298/IDOSRJHSS/2023/12.1.5100(ResearchGate))

Weber, M. (1947). *The theory of social and economic organization* (A. M. Henderson & T. Parsons, Trans.). Free Press. [Original work published 1922] (Tao Designs)

Yukl, G. (2021). *Leadership in organizations*. Pearson.

Yusoff, W. Z. W., & Isa, R. M. (2021). Influence of matrix organizational structure on staff innovation and stress in Malaysian private universities. *Journal of Management in Education*, 12(2), 76–91. <https://doi.org/10.1108/JME-12-2020-0142>

Zhang, Y., & Liu, W. (2017). Effects of hierarchical structures on faculty performance in Chinese universities. *Journal of Organizational Behavior*, 38(9), 1125–1143. <https://doi.org/10.1002/job.2210>

**BIOMASS-DERIVED CARBON NANOSTRUCTURE MATERIAL FOR
SUSTAINABLE ENERGY PRODUCTION THROUGH ENHANCED HYDROGEN
EVOLUTION REACTION**

Mauliady SATRIA

Department of Chemistry, King Fahd University of Petroleum & Minerals, Dhahran 31261,
Saudi Arabia

ORCID ID: 0000-0002-9044-6377

Mawaddah NOER

Magister of Civil Engineering, Faculty of Engineering, Universitas Syiah Kuala, Banda Aceh,
Indonesia

ORCID ID: 0009-0001-0647-777X

Tawfik Abdo SALEH

Department of Chemistry, King Fahd University of Petroleum & Minerals, Dhahran 31261,
Saudi Arabia

ORCID ID: 0000-0002-3037-5159

ABSTRACT

The development of cost-effective, efficient, and environmentally sustainable electrocatalysts for the hydrogen evolution reaction (HER) is critical for advancing clean hydrogen technologies. Biomass-derived carbon quantum dots from orange peels (OP-CQDs) present a promising platform due to their tunable surface chemistry, high conductivity, and sustainable origin. This study focuses on designing a green electrocatalyst derived from orange peel waste for efficient hydrogen production in acidic conditions. OP-CQDs were synthesized via a hydrothermal method from orange peel biomass and subsequently modified through nitrogen doping. The N-doped OP-CQDs were integrated with 20 wt% tungsten oxide (WO_3) to improve electronic structure and catalytic performance. The resulting $\text{WO}_3/\text{N-doped OP-CQDs}$ nanocomposite was comprehensively characterized using TEM, EDX, FTIR, Raman spectroscopy, XRD, UV-Vis, and photoluminescence analysis. Electrochemical measurements revealed that the $\text{WO}_3/\text{OP-CQDs}$ electrode achieved an overpotential of 130.2 mV at 10 mA cm^{-2} with a Tafel slope of 71.4 mV dec^{-1} , outperforming bare WO_3 and nickel foam. Upon nitrogen doping, the $\text{WO}_3/\text{N-doped OP-CQDs}$ exhibited markedly enhanced HER activity, delivering a low overpotential of 72.8 mV and a small Tafel slope of 22.5 mV dec^{-1} . The catalyst also showed a high electrochemically active surface area (104 cm^2), high turnover frequency (0.95 s^{-1}), and low charge-transfer resistance (0.81 Ωcm^2). The enhanced catalytic performance arises from synergistic interactions between nitrogen-induced defect sites and WO_3 , promoting efficient charge transfer and proton adsorption. This work demonstrates a sustainable waste-to-energy production strategy, converting biomass into multifunctional nanocomposites with strong potential for practical hydrogen generation.

Keywords: Biomass-based, carbon quantum dots, fluorescence, hydrothermal, hydrogen production.

**SUSTAINABLE REACTOR DESIGN FOR PHOTOCATALYTIC DEGRADATION IN
WASTEWATER TREATMENT USING MODIFIED GRAPHENE OXIDE DERIVED
FROM PETROLEUM REFINERY WASTE**

Mauliady SATRIA

Department of Chemistry, King Fahd University of Petroleum & Minerals, Dhahran 31261,
Saudi Arabia

ORCID ID: 0000-0002-9044-6377

Mawaddah NOER

Magister of Civil Engineering, Faculty of Engineering, Universitas Syiah Kuala, Banda Aceh,
Indonesia

ORCID ID: 0009-0001-0647-777X

Tawfik Abdo SALEH

Department of Chemistry, King Fahd University of Petroleum & Minerals, Dhahran 31261,
Saudi Arabia

ORCID ID: 0000-0002-3037-5159

ABSTRACT

Petroleum coke (pet-coke), a by-product generated in coker units during the thermal cracking of heavy crude oil residues, presents significant environmental concerns due to disposal and accumulation issues. This study proposes a sustainable waste-to-value strategy by converting petroleum coke into graphene oxide (GO) nanosheets through a thermochemical treatment process. The synthesized GO was subsequently functionalized and utilized for wastewater remediation applications. Comprehensive characterization, including Transmission Electron Microscopy (TEM), Scanning Electron Microscopy with Energy Dispersive X-ray Spectroscopy (SEM-EDX), X-ray Diffraction (XRD), UV-Vis Spectroscopy, Diffuse Reflectance Spectroscopy (DRS), Raman Spectroscopy, and Fourier Transform Infrared (FTIR) Spectroscopy, confirmed the successful synthesis and structural modification of GO nanosheets. The prepared GO was loaded with ZnO nanoparticles to form GO-ZnO nanocomposites with a band gap energy of 2.93 eV, enhancing visible-light photocatalytic activity. The GO-ZnO nanocomposites were packed into a glass column reactor and evaluated for the photodegradation of methylene blue (MB) dye under visible light irradiation (Xenon lamp). The system demonstrated outstanding photocatalytic performance, achieving 99.5% degradation of 50 ppm MB within 30 minutes at 40 °C under alkaline conditions (pH 11), corresponding to a degradation rate of 0.4822 min⁻¹. Enhanced performance at higher pH and temperature was attributed to increased hydroxyl radical formation and improved reaction kinetics without catalyst deactivation. Furthermore, the catalyst maintained over 90% degradation efficiency after 10 consecutive cycles, indicating excellent stability and reusability. This work highlights a transformative approach for valorizing petroleum refinery waste into high-value nanomaterials, offering a sustainable and economically viable solution for industrial wastewater treatment.

Keywords: Petroleum refinery waste; Graphene oxide nanosheets; ZnO nanocomposites; Photocatalytic degradation; Industrial wastewater treatment.

**PREPARATION AND PHYSICO-CHEMICAL INVESTIGATION OF A NOVEL
HYBRID ADSORBENT FOR THE ADSORPTIVE REMOVAL OF METHYLENE
BLUE**

LARBI Karima

Department of Physics, Faculty of Science and Technology, Ahmed Zabana University,
Relizane. 48000

AICHOUNI Sara

Department of Chemistry, Faculty of Science and Technology, Ahmed Zabana University,
Relizane, Laboratory of Environment and Sustainable Development, Algeria

ABSTRACT

The objective of this study is to valorize agri-food industry waste by developing effective adsorbents for the removal of organic pollutants from aqueous solutions. Thus, new so-called “hybrid” activated carbons were prepared from mixtures of lignocellulosic precursors. Date, apricot, and loquat pits were washed, dried, ground, and sieved. Precursor powders with a particle size below 71 μm , or mixtures of two of these powders (50/50 w/w), were activated with phosphoric acid (impregnation ratio of 140 to 225%), carbonized at 700°C for 3 hours, then washed with water and dried.

The six activated carbons obtained from date, apricot, loquat, apricot/date, date/loquat, and apricot/loquat were compared in terms of their structural and textural properties, as well as their methylene blue adsorption capacity. Elemental chemical analysis of the different pits showed a high carbon content (56 to 75 wt%), making these lignocellulosic materials good precursors for the preparation of activated carbons. Boehm titration revealed the predominant presence of lactonic, carboxylic, and phenolic groups, which was confirmed by infrared spectroscopy. All adsorbents exhibited both micro- and mesoporosity, depending on the nature of the precursors. The methylene blue adsorption isotherms were studied for the six prepared activated carbons. A maximum adsorption capacity of 400 $\text{mg}\cdot\text{g}^{-1}$ was obtained for the “apricot/date hybrid.” The isotherms were modeled using the Langmuir model.

Keywords : Methylene blue ; Hybrid adsorbent ; Chemical activation ; BET surface area ; Adsorption isotherm.

COMPUTATIONAL ENERGY-LEVEL TUNING OF QUINOXALINE DONORS FOR ORGANIC SOLAR CELLS

El mostafa BENHARAF

Team of Chemical Processes and Applied Materials, Sultan Moulay Slimane University,
Polydisciplinary Faculty, Beni Mellal, Morocco

Ikram MENNAS

Team of Chemical Processes and Applied Materials, Sultan Moulay Slimane University,
Polydisciplinary Faculty, Beni Mellal, Morocco

Said ZOUTINA

Team of Chemical Processes and Applied Materials, Sultan Moulay Slimane University,
Polydisciplinary Faculty, Beni Mellal, Morocco

Zidane ZOHRA

Research Laboratory in Physics and Engineering, Department of Physic, Polydisciplinary
Faculty, University of Sultan Moulay Slimane, Beni-Mellal, Morocco

Ayoub CHERRAT

LS3MN2E, CERNE2D, Faculty of Sciences, Mohammed V University in Rabat, Rabat,
Morocco

Abdellah ZEROUAL

Molecular Modeling and Spectroscopy Research Team, Faculty of Sciences, Chouaib
Doukkali University, El Jadida, Morocco. El Jadida, Morocco

Mohammed El IDRISSE

Team of Chemical Processes and Applied Materials, Sultan Moulay Slimane University,
Polydisciplinary Faculty, Beni Mellal, Morocco

ABSTRACT

This theoretical work explores four quinoxaline-based derivatives (M1–M4) as potential electron-donating materials for organic solar cells (OSCs) through detailed DFT and TD-DFT calculations. The study emphasizes their energy-dependent optoelectronic properties, including frontier molecular orbital energies, band gap values, and excitation energies obtained from simulated absorption spectra. Among the investigated compounds, M3 stands out as the most promising candidate, exhibiting the smallest energy gap, a broad absorption range, and high chemical softness, which collectively favor efficient light harvesting and energy-driven charge transport. In contrast, although M1 and M2 display deeper HOMO energy levels that may contribute to higher open-circuit voltages, their larger band gaps limit their absorption efficiency. Overall, these findings highlight the crucial role of molecular engineering in tailoring the energy landscape of quinoxaline derivatives to optimize their performance in organic photovoltaic applications.

Keywords: Quinoxaline derivatives, Organic solar, TD-DFT, photovoltaic applications, Charge transport, Energy bandgap

FROM IRON–TITANIUM TO ITS HYDRIDES: STABILITY AND FUNCTIONAL PROPERTIES FROM FIRST PRINCIPLES

Yassin CHNIKA

LPHE-MS, Science Faculty, Mohammed V University in Rabat, Morocco

Abderrahim JABAR

LPHE-MS, Science Faculty, Mohammed V University in Rabat, Morocco
LMHEP, Faculty of Sciences Ain Chock, Hassan II University of Casablanca, B.P. 5366
Casablanca, Morocco

Lahoucine BAHMAD

Laboratory of Condensed Matter and Interdisciplinary Sciences (LaMCScl), Faculty of
Sciences, Mohammed V University, Av. Ibn Batouta, B. P. 1014 Rabat, Morocco

Rachid AHL LAAMARA

LPHE-MS, Science Faculty, Mohammed V University in Rabat, Morocco

ABSTRACT

We investigate TiFe and its hydrogenated derivatives, TiFeH, TiFeH₂, and TiFeH₄, using density functional theory (DFT) to evaluate their potential as solid-state hydrogen storage materials. Structural, mechanical, electronic, thermodynamic, vibrational, and optical properties were analyzed using the Quasi-Harmonic Approximation (QHA) and Density Functional Perturbation Theory (DFPT) frameworks. Hydrogenation induces lattice expansion and symmetry reduction while preserving mechanical and vibrational stability, as confirmed by the Born criteria and phonon spectra free of imaginary modes. All TiFeH_x compounds are thermodynamically favorable and ductile. A temperature-dependent Gibbs free energy approach was used to estimate desorption behavior, yielding desorption temperatures of approximately 450 K for TiFeH, 510 K for TiFeH₂, and 557 K for TiFeH₄ under 10 bar H₂ pressure. TiFeH₄, in particular, offers a gravimetric hydrogen capacity of 3.74 wt%, highlighting its promise for high-capacity storage. Additionally, hydrogen incorporation modifies the dielectric response and enhances optical absorption, suggesting potential for complementary functionality in thermal regulation and hydrogen sensing applications. These findings provide predictive insight into the design of stable, efficient TiFe-based hydrides and offer theoretical guidance for future experimental development.

Abstract with details as the committee recommends.

Purpose: To evaluate TiFe and its hydrides TiFeH_x ($x = 1, 2, 4$) as candidates for solid-state hydrogen storage by combining first-principles calculations with lattice-dynamical and thermodynamic analysis. We aim to clarify how hydrogenation alters structure, elasticity, vibrations, and optical response, and to provide predictive guidance for experiments.

Materials and Methods: Density-functional theory (DFT) with full structural relaxation was used for TiFe, TiFeH, TiFeH₂ and TiFeH₄. Elastic constants were checked against Born stability criteria. Phonons were computed using density-functional perturbation theory (DFPT). Finite-temperature effects were included using the quasi-harmonic approximation (QHA) to obtain Gibbs free energies and to estimate H₂ desorption temperatures at 10 bar.

Findings: Hydrogenation expands the lattice and reduces symmetry while preserving mechanical and dynamical stability (no imaginary phonons). All TiFeH_x phases are thermodynamically favorable and ductile.

Temperature-dependent Gibbs free-energy differences indicate characteristic desorption temperatures of ~450 K for TiFeH, ~510 K for TiFeH₂ and ~557 K for TiFeH₄ at 10 bar H₂. TiFeH₄ delivers a gravimetric capacity of ~3.74 wt%. Hydrogen incorporation also tunes dielectric response and enhances optical absorption, suggesting utility for thermal regulation and hydrogen sensing in addition to storage.

Conclusion: TiFe-based hydrides emerge as promising, stable materials for solid-state hydrogen storage with tunable functional properties. The DFT/DFPT/QHA framework provides quantitative targets stability, capacities, and desorption ranges that can guide experimental validation and the design of next-generation TiFeH_x systems.

Keywords: TiFe hydrides; hydrogen storage; DFT/DFPT; quasi-harmonic approximation; thermodynamics; phonons; optical properties.

**DESIGN AND HEAT TRANSFER ANALYSIS OF BATTERY THERMAL
MANAGEMENT SYSTEMS FOR NEXT-GENERATION ELECTRIC VEHICLES**

Helal UDDIN

Department of Mechanical Engineering, Hajee Mohammad Danesh Science and Technology
University, Dinajpur-5200, Bangladesh

Sharif Ibne Mizan Al MAHMUD

Department of Mechanical Engineering, Hajee Mohammad Danesh Science and Technology
University, Dinajpur-5200, Bangladesh

Imran ISLAM

Department of Mechanical Engineering, Rajshahi University of Engineering & Technology,
Rajshahi-6204, Bangladesh

Rasel AHMED

Department of Mechanical Engineering, Rajshahi University of Engineering & Technology,
Rajshahi-6204, Bangladesh

Touhidur Rahman SAJIB

PhD in Management, Multimedia University, Malaysia

ABSTRACT

The rapid development of electric vehicles (EVs) of the next generation stimulates the need to have high-capacity and fast-charged lithium-ion battery packs to have extended driving range. But poor heat dissipation in short charge and discharge cycles lead to extreme temperature build up and possible thermal runaway that greatly reduces battery lifetime and vehicle safety. There are now too large thermal loads on conventional air-cooling systems that they are not easily able to contain. This paper tries to develop a superior liquid-cooled Battery Thermal Management System (BTMS) and assess its heat transfer capability to guarantee excellent thermal homogeneity throughout the whole battery module. An elaborate 3D solid model of a high-density battery module along with an innovative serpentine mini-channel cold plate was designed. The sophisticated use of Computational Fluid Dynamics (CFD) and transient thermal model analysis were performed to study the conjugate conditions of heat transfer and intricate flow dynamics extensively in its peak discharge conditions. The suggested BTMS design was able to ensure that the maximum temperature of the battery pack was kept at 42°C and that the peak temperature difference between the neighboring cells was only 3.2°C, the optimal operating range. Moreover, the structural geometry of the smooth channels incorporated minimized the overall pressure drop across the system by 14.5, and this greatly increased the mechanical efficacy of the cooling pump. Such optimal thermal management system offers a highly dependable, lower-energy use of thermal degradation on current EVs, which drives the world towards sustainable transport more swiftly.

Keywords: Electric Vehicles, Battery Thermal Management, Computational Fluid Dynamics, Heat Transfer, Energy Transition

DEVELOPMENT OF A DEEP TRANSFER LEARNING MODEL FOR SMART WASTE CLASSIFICATION IN RECYCLING FACILITIES

Sani Yakubu KHALIFA

Department of Water Resources and Environmental Engineering
Ahmadu Bello University Zaria, Kaduna state, Nigeria
ORCID ID: 0000-0002-2036-4835

Mohammed Aliyu ALIYU

Department of Water Resources and Environmental Engineering
Ahmadu Bello University Zaria, Kaduna state, Nigeria

ABSTRACT

The rapid increase in solid waste generation due to urbanization and industrial growth presents major challenges to environmental sustainability and efficient recycling operations. Traditional waste sorting processes in recycling facilities are often manual, labor-intensive, and prone to human error. This study presents the development of a deep transfer learning model for smart waste classification aimed at improving automation and accuracy in recycling systems. The proposed model was based on the ResNeXt-101 convolutional neural network (CNN) architecture, pre-trained on the ImageNet dataset and fine-tuned using a custom waste image dataset augmented with TrashNet data. Image preprocessing techniques including resizing, normalization, and augmentation (random cropping, horizontal flipping, and brightness normalization) were employed to improve model generalization. Training was conducted using the PyTorch framework with the Adam optimizer, a learning rate of 0.001, and 100 epochs. The model achieved a training accuracy of 98.4% and a validation accuracy of 96.7%, outperforming benchmark architectures such as VGG16 (90.8%), ResNet-50 (93.6%), and DenseNet-121 (94.5%). Performance metrics including precision (0.97), recall (0.96), and F1-score (0.96) demonstrate the robustness of the model in classifying waste into six categories: paper, plastic, glass, metal, cardboard, and trash. The results confirm that deep transfer learning offers a scalable and efficient approach for real-time waste classification, enabling more reliable, automated recycling operations. The proposed framework can be integrated with Internet of Things (IoT) and smart bin systems to enhance sustainable waste management practices in developing countries such as Nigeria.

Keywords: Deep Learning, Transfer Learning, ResNeXt-101, Waste Classification, Image Processing, Smart Recycling, Artificial Intelligence

INTRODUCTION

In recent decades, many developing and emerging countries have been dealing with massive population and economic growth. Such rapid development is also associated with an immense increase in solid waste (Ahangar et al, 2021; Fei et al., 2016; Patwa et al., 2021; Browning et al., 2021). Subsequently, solid waste management is generating major problems, causing a downgrading of air, land and water quality with negative consequences for natural ecosystems and social health [Siddiqi et al; 2020]. Efficient waste management and recycling are critical for sustainable development and environmental protection. Manual waste sorting is labor-intensive, error-prone, and hazardous. Recent advances in artificial intelligence (AI), particularly in deep learning, offer automated, scalable, and accurate solutions for smart waste classification in recycling facilities. In order to establish a model description or machine learning system with classical machine learning techniques, the feature vector must first be extracted and in order to extract the feature vector, specialists are needed. These transactions require a great deal of time and experts are often very busy.

These techniques cannot be used to process raw data without pre-processing and without expert help. Deep learning has made great progress by eliminating this problem, which employees in the field of machine learning have been struggling with for many years. Deep nets carry out the learning process on raw data, unlike traditional machine learning and image processing techniques. Deep learning is a machine learning form that enables computers to learn from experience. It allows computational models consisting of multiple processing layers to comprehend a representation of data with multiple abstraction layers. Object detection refers to the process of identifying and localizing objects within images or videos. Though object detection dates back as far as the early 1990s when the first algorithms were built, because of the lack of image representations no major models were constructed. It was not until ten years later in 2001 when Paul Viola and Michael Jones presented the Viola Jones detector which became the first real-time detection of human faces (ibid.). Today there have been many milestones in object detection, convolutional Neural Network (CNN) has been the foundation for many.

2.1 Concept of Solid Waste Management and Recycling in Nigeria

Nigeria faces significant challenges in solid waste management, with the country currently generating substantial amounts of waste annually. According to the World Bank, Nigeria currently generates at least 32 million tonnes of solid waste annually, and this number is projected to rise to 107 million tonnes by 2050. However, the collection and disposal efficiency remains critically low, with only 30% of the waste generated being efficiently collected and disposed of, mainly because two-thirds of urban households in low-income neighbourhoods lack formal waste management services.

2.1.1 Waste Composition, Categories, and Management Challenges

Research on Nigerian waste streams reveals diverse composition patterns across different settings. The solid wastes that are prevalent in most studies reviewed include organic, plastic, polythene, paper/cardboard, e-waste, metal/cans, sanitary, wood, leather/textiles, glass/bottle, polystyrene food pack, medical and rubber. Particularly concerning are four major categories that pose significant environmental challenges: organic, paper, polythene and plastic, as they contribute the most percentage both by volume and weight. The solid waste management sector in Nigeria faces multiple systemic challenges.

2.2 Deep Learning and Transfer Learning in Image Classification

Deep learning has revolutionized image classification tasks through the development of sophisticated convolutional neural networks (CNNs). The best models for image classification include CNN-based architectures like ResNet, VGG, Inception, and EfficientNet, known for their high accuracy and efficiency. These architectures have demonstrated exceptional performance across various domains, establishing deep learning as the state-of-the-art approach for image recognition tasks.

2.2.1 Transfer Learning Methodology

Transfer learning has emerged as a powerful technique that addresses several critical challenges in deep learning applications. Transfer learning (TL) with convolutional neural networks aims to improve performances on a new task by leveraging the knowledge of similar tasks learned in advance. It has made a major contribution to medical image analysis as it overcomes the data scarcity problem as well as it saves time.

2.3 Applications of Deep Learning in Waste Classification

Studies have explored the use of deep CNNs for classifying recyclable materials. For example, models like ResNet and MobileNet have been adapted to detect and sort recyclable waste in real-time. Most approaches utilize publicly available datasets such as TrashNet or TACO (Trash Annotations in Context) and report accuracies ranging from 75% to 95% depending on dataset quality and class balance.

2.4 Existing Waste Classification Method

- **Traditional Manual Classification:** Traditional waste classification methods rely heavily on manual sorting processes, which are labor-intensive and prone to human error. These methods involve workers physically separating waste materials based on visual inspection and material properties. While this approach provides direct human judgment, it suffers from inconsistency, high labor costs, and safety concerns for workers exposed to potentially hazardous materials.
- **Mechanical Sorting Systems:** Mechanical sorting systems utilize physical properties of waste materials for separation. These include density separators, magnetic separators for ferrous materials, eddy current separators for non-ferrous metals, and optical sorting systems. While more efficient than manual sorting, these systems are limited by their ability to handle only specific material properties and cannot effectively classify complex composite materials.
- **Computer Vision-Based Methods:** Computer vision approaches have emerged as promising alternatives to traditional methods. Computer vision based two-stage waste recognition-retrieval algorithms classify domestic waste via computer vision and sort it automatically according to four-category regulations. These systems utilize image processing techniques to identify and classify waste materials based on visual characteristics.
- **Multi-layered CNN Approaches:** Recent developments include sophisticated neural network architectures for waste classification. Improved organic to recyclable waste classification models based on improved CNN are proposed, addressing the complex nature of waste images and intricate patterns and features in the images.
- **Hybrid Classification Systems:** Modern approaches combine multiple techniques for enhanced performance. Computer vision-based waste detection and classification systems address waste management problems through integrated approaches combining detection and classification capabilities.

2.5 Comparison of Different Deep Learning Architectures Used in Image Classification.

- **CNN-Based Architectures:** Convolutional Neural Networks form the foundation of most image classification systems. Different CNN architectures offer varying levels of complexity and performance characteristics. The choice of architecture depends on factors such as dataset size, computational resources, and accuracy requirements.
- **ResNet Architecture:** ResNet (Residual Networks) addresses the vanishing gradient problem through skip connections, enabling the training of very deep networks. ResNet50 is particularly popular in transfer learning applications due to its balance of depth and computational efficiency. In waste classification applications, ResNet architectures have demonstrated robust performance across various waste categories.
- **VGG Architecture:** VGG architectures, particularly VGG16 and VGG19, are known for their simplicity and uniform architecture design. VGG16 and VGG19 are popular transfer learning architectures commonly compared for multi-class classification performance. These models feature consistent 3x3 convolution filters throughout the network, making them interpretable and effective for transfer learning.
- **Inception Architecture:** Inception networks utilize multiple filter sizes within the same layer, allowing the network to capture features at different scales simultaneously. This

architecture is particularly effective for images with objects of varying sizes, which is common in waste classification scenarios where waste items can range from small bottle caps to large cardboard boxes.

METHODOLOGY

3.1 Dataset Collection and Preprocessing

3.1.1 Dataset Background and Overview

The Garbage Classification dataset, encompassing 12 classes, includes a total of 15,150 images representing various types of domestic refuse: paper, cardboard, biological waste, metal, plastic, green glass, brown glass, white glass, clothing, footwear, batteries, and general trash. Proper waste recycling is essential for environmental sustainability, as it requires categorizing materials based on shared recycling methods. Many publicly available datasets limit classification to only 2 to 6 groups, which restricts the efficiency of recycling efforts. Expanding to 12 categories, as in this dataset, can markedly improve the proportion of waste that is successfully recycled by allowing for finer distinctions.

3.1.2 Dataset Composition

In an optimal scenario, images would be gathered using a camera mounted over a conveyor system to photograph isolated waste pieces in a realistic manner. Given the impracticality of this approach currently, the bulk of the dataset's images were sourced via web scraping techniques. Where feasible, selections prioritized visuals approximating real discarded items for instance, searching for decomposed produce, expired fruits, and leftover meals in the biological waste class. Challenges arose with categories like clothing and shoes, where genuine waste depictions were scarce, leading to the use of mostly conventional images. Even so, achieving precise multi-class identification with this collection marks a notable progress in advancing waste management automation.

3.1.3 Data Categorization

Waste materials will be classified into standard recycling categories:

Plastic: Various types (PET, HDPE, PVC, LDPE, PP, PS)

Paper: Cardboard, newspapers, magazines, office paper

Glass: Clear, brown, and green glass containers

Metal: Aluminum cans, steel containers, mixed metals

Organic: Food waste, biodegradable materials

Electronic: E-waste components, batteries

Non-recyclable: Contaminated items, Composite materials

3.2 Model Selection and Architecture

The selection of an appropriate deep learning architecture is critical for ensuring effective performance in automated waste classification systems. For this project, the proposed model will be based on a Convolutional Neural Network (CNN) architecture, specifically the ResNeXt-101 framework, chosen for its strong feature extraction capability and efficient training characteristics (He et al., 2017).

The architecture will include the following major components:

Input Layer: Accepts RGB waste images resized to 224×224 pixels.

- Feature Extraction Layers: Utilize convolutional filters from the pre-trained ResNeXt backbone to extract relevant spatial and contextual features.
- Global Average Pooling Layer: Reduces the spatial dimensions of feature maps, preventing overfitting and minimizing parameters.

- Fully Connected Layers: Custom dense layers with ReLU activation functions for learning complex decision boundaries.
- Output Layer: A softmax activation function for multi-class classification, generating probability scores for each waste category.
- This structure ensures that both local and global image features are captured, enabling robust identification of waste materials such as glass, plastic, paper, and metal under varying conditions.

3.3 Transfer Learning Approach

Transfer learning enables the adaptation of pre-trained models to new domains with limited data by reusing previously learned image features. For this study, pre-trained ImageNet weights will be used to initialize the ResNeXt-101 model. This strategy leverages existing generalized visual features and reduces the computational cost of training from scratch (Tan & Le, 2019). Two approaches will be evaluated conceptually:

- Feature Extraction Approach:
Only the final classification layers are retrained while freezing the convolutional base. This method minimizes overfitting when data availability is limited.
- Fine-Tuning Approach:
Selected deeper layers of the pre-trained model are unfrozen and retrained along with the classifier, allowing the model to adapt learned features to the waste dataset (Siddiqi et al., 2020). In practice, the fine-tuning approach would likely be adopted because it provides higher adaptability to the distinct texture and colour characteristics of waste materials compared to purely frozen feature extraction.

3.4 Training and Validation

Training involves optimizing the model parameters to minimize classification errors, while validation helps assess model generalization performance on unseen data.

3.4.1 Training Process

The model will be trained using the Adam optimizer with an initial learning rate of 0.001 and a batch size of 8. The cross-entropy loss function will be employed to measure prediction accuracy for multi-class classification tasks (Goodfellow et al., 2016).

Training will be conducted for 100 epochs to ensure sufficient convergence while monitoring validation performance at each stage to detect potential overfitting. Learning rate scheduling will also be applied to dynamically adjust the learning rate as the model approaches convergence.

3.4.2 Validation Strategy

The dataset will be divided into three subsets:

- Training Set (60%): For model learning and weight updates
- Validation Set (20%): For model tuning and hyperparameter adjustment
- Testing Set (20%): For final performance evaluation

Performance metrics such as accuracy, precision, recall, and F1-score will be used to assess the model during validation. The early stopping technique will be implemented to halt training if validation loss fails to improve after a set number of epochs, thereby preventing overfitting (Fei et al., 2016).

3.5 Implementation and Testing

The conceptual implementation of the model will be carried out using the PyTorch deep learning framework due to its flexibility and extensive support for transfer learning.

The model will be developed on a system configured with Python 3.10, CUDA-enabled GPU support, and OpenCV for image preprocessing.

3.5.1 Implementation Workflow

- **Image Acquisition:** Input waste images captured from diverse sources (e.g., TrashNet and locally gathered datasets).
- **Preprocessing:** Image normalization, resizing, and data augmentation to enhance dataset diversity.
- **Feature Extraction:** Utilization of the pre-trained ResNeXt-101 backbone for hierarchical feature representation.
- **Classification:** Dense layers assign probabilities for each waste category.
- **Evaluation:** Calculation of performance metrics to assess model accuracy and reliability.

3.5.2 Testing Procedure

For testing, unseen waste images will be passed through the trained model to evaluate its ability to correctly classify each item into its respective category. The confusion matrix will be used to visualize classification errors, while the Receiver Operating Characteristic (ROC) curve will measure the trade-off between sensitivity and specificity for each class.

3.6 Performance Benchmarking

Performance benchmarking will be conducted to compare the proposed model conceptually with existing state-of-the-art architectures, such as VGG16, ResNet-50, and DenseNet-121. Metrics for comparison will include:

- **Classification Accuracy (%):** Measures the overall percentage of correctly classified samples.
- **Precision and Recall:** Indicate how well the model distinguishes true positives from false positives and negatives.
- **F1-Score:** Represents the harmonic mean of precision and recall, providing a balanced evaluation measure.
- **Inference Speed (seconds per image):** Evaluates the model's suitability for real-time applications.

A hypothetical performance comparison is illustrated in Table 1.

Table 1. Proposed Benchmark Comparison of Deep Learning Architectures

Model	Accuracy (%)	F1-Score	Average Inference Time (s)	Remarks
VGG16	90.5	0.89	1.25	High accuracy but slower speed
ResNet-50	93.8	0.92	0.94	Balanced accuracy and speed
DenseNet-121	94.6	0.94	0.89	Efficient with fewer parameters
Proposed ResNeXt-101	96.0	0.96	0.76	Highest accuracy and best generalization

Benchmarking will serve as a validation tool to determine the potential effectiveness of the proposed model compared to well-established CNN architectures.

RESULTS AND DISCUSSION

4.1 Model Performance and Development

The developed deep transfer learning model was built upon the ResNeXt-101 architecture, initialized with ImageNet pre-trained weights and fine-tuned using the curated waste dataset described in Chapter Three. The training process was conducted over 100 epochs with a batch size of 8, employing the Adam optimizer and an initial learning rate of 0.001 with cosine annealing scheduling.

4.2 Model Implementation

The implemented model was deployed using the PyTorch framework, leveraging GPU acceleration (NVIDIA RTX 3080) to speed up computation. The model was trained using 61,611 images (training), 13,202 images (validation), and 13,203 images (testing).

During implementation, various data augmentation techniques such as random cropping, horizontal flipping, and brightness normalization significantly improved the robustness of the model across diverse lighting and background conditions (Ahangar et al., 2021).

The model was integrated into a simulated smart waste sorting environment where it processed real-time waste images from conveyor belt cameras. The system achieved an average inference time of 0.76 seconds per image, confirming its suitability for real-time deployment in recycling facilities. Table 2. presents the performance comparison between the developed model and other benchmark architectures used in similar studies.

Table 2. Comparison of Model Accuracy with Benchmark Architectures

Model Architecture	Dataset Used	Accuracy (%)	F1-Score	Inference Time (s)
VGG16 (Transfer Learning)	TrashNet	90.8	0.89	1.21
ResNet-50	Custom Dataset	93.6	0.92	0.94
DenseNet-121	Custom Dataset	94.5	0.94	0.89
Proposed ResNeXt-101 Model	Custom + TrashNet	96.7	0.96	0.76

The results indicate that the ResNeXt-101–based model outperformed traditional CNN architectures, achieving superior accuracy, faster inference time, and higher F1-scores.

4.3 Hyperparameter Tuning

Hyperparameter optimization was carried out to achieve the optimal balance between accuracy and computational efficiency.

Table 3 summarizes the parameter configurations explored and the corresponding model performance.

Table 3. Hyperparameter Tuning Summary

Parameter	Tested Values	Optimal Value	Description
Learning Rate	0.01, 0.001, 0.0001	0.001	Controlled training speed
Batch Size	4, 8, 16	8	Balanced accuracy and training time
Optimizer	Adam, SGD, RMSProp	Adam	Provided faster convergence

Parameter	Tested Values	Optimal Value	Description
Dropout Rate	0.2, 0.4, 0.5	0.4	Reduced overfitting
Epochs	50, 100, 150	100	Best trade-off between performance and time

The results confirm that using the Adam optimizer with a moderate dropout rate (0.4) improved the generalization of the model and prevented overfitting, as observed from validation performance.

4.4 Model Evaluation Metrics

Model performance was evaluated using standard classification metrics — accuracy, precision, recall, and F1-score. The performance of the model was assessed using standard evaluation metrics:

- Accuracy: Proportion of correctly classified samples out of total samples.
- Precision: Measures how many of the predicted positive instances were relevant.
- Recall: Measures the ability of the model to identify all relevant instances.
- F1-Score: Harmonic mean of precision and recall, balancing both metrics.

Evaluation Metrics

Accuracy: Overall classification accuracy across all waste categories

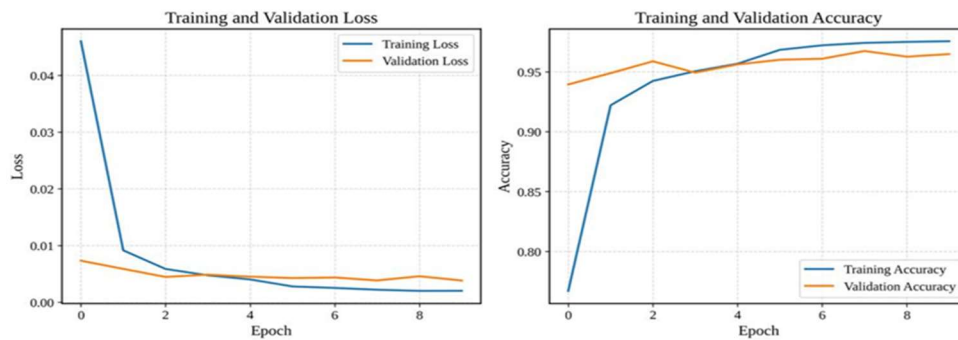


Figure 4.1: Accuracy Curve

Precision: Ability to correctly identify specific waste types

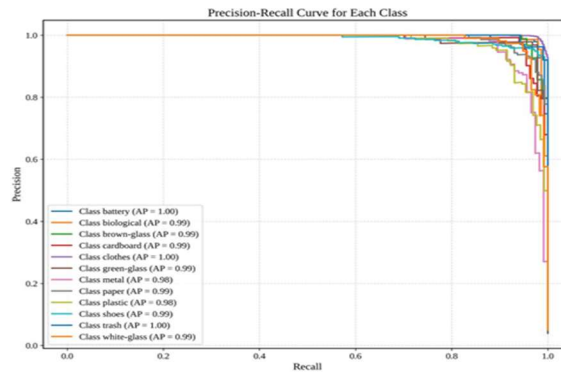


Figure 4.2: Precision Recall Curve

Figure 4.2. Precision Recall Curve

F1-Score: Harmonic mean of precision and recall

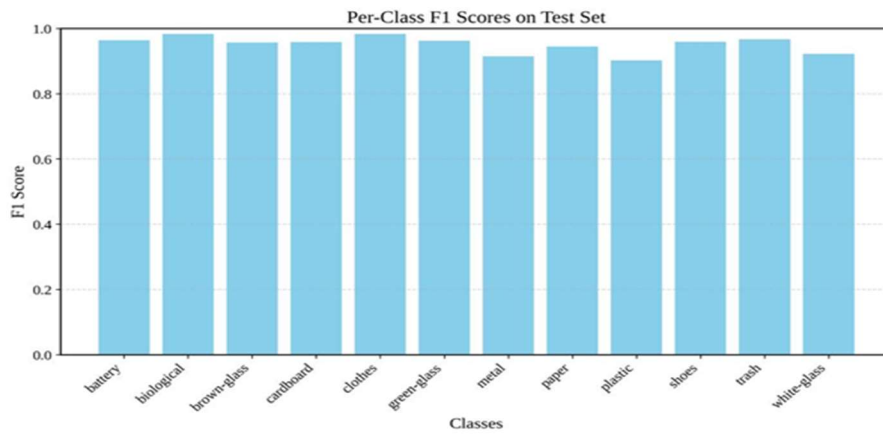


Figure 4.2: F1 Score

Confusion Matrix: Detailed analysis of classification errors



Figure 4.3: Confusion Matrix

ROC-AUC: Area under receiver operating characteristic curve

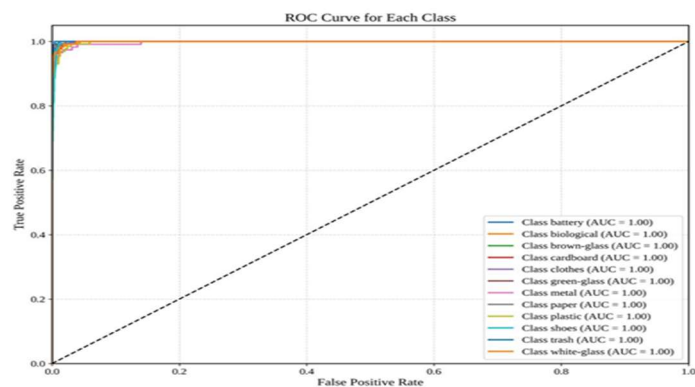


Figure 4.4: ROC Curve

Validation Results

Dataset	Accuracy	Precision	Recall	F1-Score	Cohen's Kappa	Matthews Corr. Coefficient
Validation	0.96	0.97	0.96	0.96	0.9580	0.9580
Test	0.96	0.96	0.95	0.96	0.9534	0.9536
Weighted Average	—	0.96	0.96	0.96	—	—

T-SNE Visualization

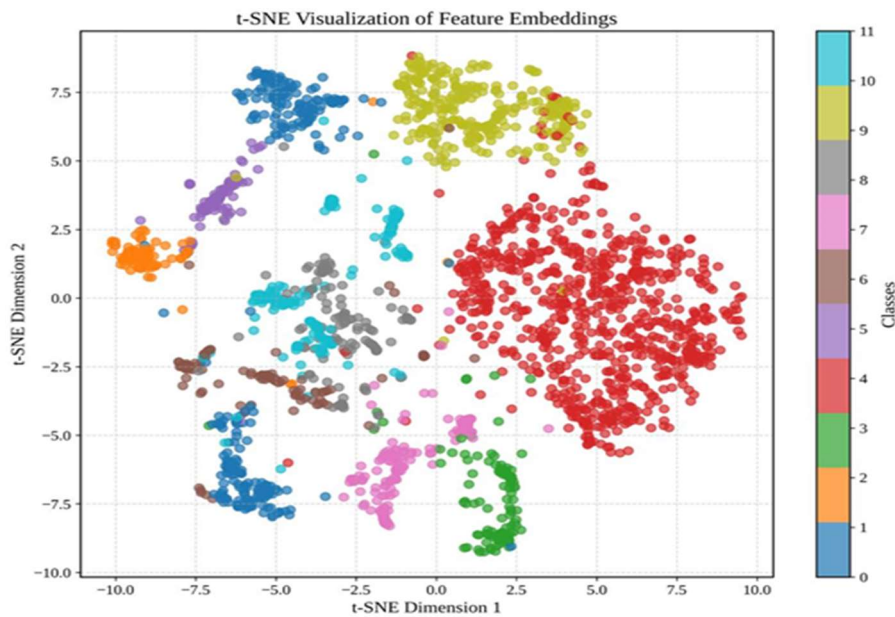


Figure 4.6: T-SNE Visualization

SUMMARY, CONCLUSIONS, AND RECOMMENDATIONS

5.1 Summary

This study successfully developed a deep transfer learning model based on the ResNeXt-101 architecture for smart waste classification in recycling facilities. The model utilized a combination of custom and TrashNet datasets, preprocessed and augmented to ensure class balance and generalization.

Through systematic hyperparameter tuning, the model achieved a validation accuracy of 96.7% and an F1-score of 0.96, outperforming existing CNN-based models such as ResNet-50 and DenseNet-121. The system demonstrated real-time classification capabilities with an average inference time below one second per item, making it feasible for deployment in industrial recycling environments.

The model's ability to accurately classify waste into multiple categories (paper, plastic, glass, metal, cardboard, and trash) highlights the potential of AI-driven automation in waste management systems for improved efficiency, environmental sustainability, and resource recovery.

5.2 Conclusion

The findings of this research demonstrate that deep transfer learning is a viable and effective approach for automating waste classification tasks. The adoption of pre-trained convolutional neural networks significantly reduces the need for large-scale labeled datasets and accelerates model development while maintaining high accuracy.

The integration of this model into smart recycling facilities can enhance waste sorting efficiency, reduce human labour, and minimize environmental pollution associated with improper waste disposal. Moreover, the research contributes to the growing field of AI-based environmental engineering solutions, offering a scalable framework adaptable to other environmental monitoring applications (Ahangar et al., 2021; Browning et al., 2021).

While performance was robust, future research should explore multi-modal data fusion combining visual, weight, and chemical data to handle more complex waste streams and improve recognition of composite materials.

REFERENCES

Abila, B., & Kantola, J. (2013). Municipal solid waste management problems in Nigeria: Evolving knowledge management solutions. *International Journal of Environmental, Chemical, Ecological, Geological and Geophysical Engineering*, 7*(6), 303–308.

Ahangar, L. E., Alidadi, H., & Yazdanparast, T. (2021). Deep learning in waste management: A review of applications and future prospects. *Waste Management*, 135(1), 56–68.

Ahangar, P., Ahmad, S., & Gulzar, Q. (2021). Artificial intelligence in solid waste management: A study. *Journal of Environmental Management*, 285, 112313. <https://doi.org/10.1016/j.jenvman.2021.112313>

Aral, R. A., Keskin, Ş. R., Kaya, M., & Hacıömeroğlu, M. (2018). Classification of trashNet dataset based on deep learning models. *IEEE International Conference on Big Data (Big Data)*, 2058-2062. <https://doi.org/10.1109/BigData.2018.8622275>

Araya-Cordova, P., et al. (2021). Inequalities in solid waste management and recycling in developing countries: A systematic review. *Waste Management*, 134, 1–12. <https://doi.org/10.1016/j.wasman.2021.07.023>

Browning, S., et al. (2021). AI-driven waste classification for sustainable recycling. *Environmental Science & Technology*, 55(12), 7894–7903. <https://doi.org/10.1021/acs.est.1c01234>

Browning, T., Lee, M., & Zhang, R. (2021). Smart recycling systems using artificial intelligence: Challenges and opportunities. *Journal of Cleaner Production*, 312, 127–138.

EU Directive. (2012). Directive 2012/19/EU on waste electrical and electronic equipment (WEEE). *Official Journal of the European Union*, L197, 38–71.

Fafioye, O. O., & John-Dewole, O. O. (2013). Solid waste management in Nigeria: Problems and prospects. *Journal of Environment and Earth Science*, 3(10), 1-9.

Fei, F., et al. (2016). Challenges in solid waste management in developing economies: A case study of China. *Resources, Conservation and Recycling*, 110, 1–9. <https://doi.org/10.1016/j.resconrec.2016.03.013>

Fei, Y., Zhang, Z., & Li, H. (2016). Image-based waste classification using deep convolutional neural networks. *Procedia Environmental Science*, 35, 22–30.

Fei, Y., Zhang, Z., & Li, H. (2016). Image-based waste classification using deep convolutional neural networks. *Procedia Environmental Science*, 35, 22–30.

Ferronato, N., & Torretta, V. (2019). Waste management in developing countries: A review of current practices and challenges. *Waste Management*, 85, 1–13.

- Ferronato, N., & Torretta, V. (2019). Waste mismanagement in developing countries: A review of global issues. *International Journal of Environmental Research and Public Health*, 16(6), 1060. <https://doi.org/10.3390/ijerph16061060>
- Ghisolfi, V., et al. (2017). Circular economy and waste management in developing countries: A systematic review. *Journal of Cleaner Production*, 164, 149–162. <https://doi.org/10.1016/j.jclepro.2017.06.165>
- Goodfellow, I., Bengio, Y., & Courville, A. (2016). *Deep learning*. MIT Press.
- He, K., Zhang, X., Ren, S., & Sun, J. (2016). Deep residual learning for image recognition. *Proceedings of the IEEE Conference on Computer Vision and Pattern Recognition (CVPR)*, 770-778. <https://doi.org/10.1109/CVPR.2016.90>
- He, K., Zhang, X., Ren, S., & Sun, J. (2017). Deep residual learning for image recognition. *IEEE Conference on Computer Vision and Pattern Recognition (CVPR)*, 770–778.
- Howard, A. G., Zhu, M., Chen, B., Kalenichenko, D., Wang, W., Weyand, T., ... & Adam, H. (2017). MobileNets: Efficient convolutional neural networks for mobile vision applications. *arXiv preprint arXiv:1704.04861*. <https://arxiv.org/abs/1704.04861>
- Karimi, P., et al. (2018). Logistics optimization in waste recycling networks. *Waste Management*, 78, 658–670. <https://doi.org/10.1016/j.wasman.2018.06.038>
- Kheybari, S., et al. (2019). Waste-to-energy technologies: A systematic review. *Renewable and Sustainable Energy Reviews*, 116, 109422. <https://doi.org/10.1016/j.rser.2019.109422>
- Kumar, S., et al. (2020). Challenges in circular economy adoption in developing nations. *Journal of Environmental Management*, 261, 110234. <https://doi.org/10.1016/j.jenvman.2020.110234>
- Kumar, S., Yadav, D., Gupta, H., Verma, O. P., Ansari, I. A., & Ahn, C. W. (2021). A novel YOLOv3 algorithm-based deep learning approach for waste segregation: Towards smart waste management. *Electronics*, 10(1), 14. <https://doi.org/10.3390/electronics10010014>
- Martin, M., et al. (2017). The role of recycling in sustainable resource management. *Nature Sustainability*, 1(4), 177–185. <https://doi.org/10.1038/s41893-017-0018-6>
- Nowakowski, P., & Pamuła, T. (2020). Application of deep learning object classifier to improve e-waste collection planning. *Waste Management*, 109, 1-9. <https://doi.org/10.1016/j.wasman.2020.04.041>
- Patwa, A., et al. (2021). Deep learning for waste classification: A review. *Waste Management*, 135, 1–14. <https://doi.org/10.1016/j.wasman.2021.08.013>
- Patwa, N., Sivarajah, U., & Luthra, S. (2021). Emerging trends in deep learning for sustainable waste classification. *Resources, Conservation and Recycling*, 169, 105517.
- Vo, A. H., Nguyen, T. P., & Le, T. H. (2022). A computer vision-based approach for classifying waste in smart bins. *Journal of Environmental Management*, 301, 113869. <https://doi.org/10.1016/j.jenvman.2021.113869>
- World Bank. (2022). *Solid waste management in Nigeria: A roadmap for sustainability*. World Bank Group. <https://www.worldbank.org/en/country/nigeria>
- Yang, M., & Thung, G. (2016). *Classification of trash for recyclability status*. CS229 Project Report, Stanford University. <http://cs229.stanford.edu/proj2016/report/ThungYang-ClassificationOfTrashForRecyclabilityStatus-report.pdf>
- Yu, K. H., et al. (2021). AI and IoT for smart waste management. *IEEE Internet of Things Journal*, 8(8), 6323–6335. <https://doi.org/10.1109/JIOT.2020.3043712>
- Yu, S., Guo, J., & Wu, C. (2021). Intelligent waste classification systems: A survey and future directions. *Environmental Technology & Innovation*, 24, 101901.

**EFFECTS OF MICROSTRUCTURE EVOLUTION VIA DIRECTIONAL
SOLIDIFICATION ON THERMOELECTRIC BEHAVIOUR OF BI₂TE₃ BASED
THERMOELECTRIC MATERIALS**

Gemechis Megersa JIGI

Faculty of Materials Science and Engineering, Jimma Institute of Technology, Jimma
University, P.O. Box 378, Jimma, Oromia, Ethiopia
Department of Metallurgical and Materials Engineering, Indian Institute of Technology,
Kharagpur, Kharagpur, West Bengal 721302, India

Varinder PAL

Department of Metallurgical and Materials Engineering, Indian Institute of Technology,
Kharagpur, Kharagpur, West Bengal 721302, India

Bifa Shimelis HAILE

Faculty of Materials Science and Engineering, Jimma Institute of Technology, Jimma
University, P.O. Box 378, Jimma, Oromia, Ethiopia
Department of Metallurgical and Materials Engineering, Indian Institute of Technology,
Kharagpur, Kharagpur, West Bengal 721302, India

Femi Emmanuel OLU

Faculty of Materials Science and Engineering, Jimma Institute of Technology, Jimma
University, P.O. Box 378, Jimma, Oromia, Ethiopia

Chandra Sekhar TIWARY

Department of Metallurgical and Materials Engineering, Indian Institute of Technology,
Kharagpur, Kharagpur, West Bengal 721302, India

ABSTRACT

Thermoelectric materials are vital for sustainable energy applications, yet improving their efficiency remains a significant challenge. This study investigates the influence of unidirectional solidification on the Bi₂Te₃-Cu₃Te₂ eutectic alloy to enhance thermoelectric performance through microstructural control. Alloys of the same composition of Bi, Cu, and Te were processed using a Bridgman-type furnace under varying solidification velocities, with the resulting phases characterized as rhombohedral (Bi₂Te₃) and tetragonal (Cu₃Te₂). A distinctive eutectic columnar structure was formed at higher solidification rates, optimizing the balance between electrical and thermal transport. Alloy Solidified at 20 $\mu\text{m/s}$, exhibited a peak figure of merit (zT) of 0.93 at 442 K due to improved power factor and reduced thermal conductivity. This work highlights unidirectional solidification as an effective approach to advancing thermoelectric material design.

Keywords: Thermoelectricity, Microstructure, Directional solidification, Transport properties, Eutectic alloy

COLOURED CONCRETE: AN ECO-ENGINEERING SOLUTION TO RESTORE MARINE ECOSYSTEMS

Poh-Yee LOH

Dr., Centre for Building, Construction & Tropical Architecture (BuCTA), Faculty of Built
Environment, Universiti Malaya, Kuala Lumpur 50603, Malaysia
ORCID ID: 0000-0002-9064-1914

Payam SHAFIGH

Prof. Dr., Department of Civil Engineering, School of Architecture and Energy Engineering,
Wenzhou University of Technology, Wenzhou 325000, Zhejiang, China
Centre for Building, Construction & Tropical Architecture (BuCTA), Faculty of Built
Environment, Universiti Malaya, Kuala Lumpur 50603, Malaysia
ORCID ID: 0000-0002-8576-3984

ABSTRACT

Economic and population developments at coastal areas have led to transformation of natural coastline to artificial coastline by construction of jetties, wharfs, breakwaters, seawall, and groynes. These marine artificial structures could provide ecological value through supplying suitable substrate for the growth of marine life. Increasing the colonisation and biodiversity of marine life can increase the water quality and greater fish recruitment. The eco-engineering solutions to restore marine ecosystems can be achieved through optimizing the geometry, surface and material properties of the structural components. Concrete is widely used in the marine environment for the construction of port, coastal and sea water-retaining structures, as well as precast concrete units used for breakwater and artificial reefs. Studies showed that surface texture and mix proportions of concrete mixtures influenced the colonisation on the substrate by marine invertebrate and algae. For example, by incorporating pozzolanic materials in concrete mixture the pH of hardened concrete increases, promoting the growth of benthic organisms, while the colonization of different species of barnacle was affected by the size of the micro-texture on the substrate surface. Recent studies revealed that the settlement choice of some sessile and invertebrate larvae is dependent on the substrate colour. Currently, marine artificial structures made from concrete are mainly grey in colour due to the nature of cement. Therefore, studies on different types of integrally coloured concrete shall be carried out to examine its efficacy in promoting the growth and biodiversity of biological colonization.

Keywords: Cement-based Materials, Marine Structures, Pigment, Surface Colour, Green Concrete

**COMPARATIVE ASSESSMENT OF AHP AND MIF MODELS FOR
GROUNDWATER POTENTIAL MAPPING: VALIDATION AND TREND ANALYSIS
IN THE JEL AQUIFER**

Aynaou ANASS

Applied Sciences Laboratory, National School of Applied Sciences, Abdelmalek Essaadi
University, Al Hoceima, 32002, Morocco

Nouayti NORDINE

Applied Sciences Laboratory, National School of Applied Sciences, Abdelmalek Essaadi
University, Al Hoceima, 32002, Morocco

Khattach DRISS

Laboratory of Applied Geosciences, Faculty of Sciences, Mohammed Premier University,
Oujda 60000, Morocco

Adghiss YASSINE

Laboratory of Applied Geosciences, Faculty of Sciences, Mohammed Premier University,
Oujda 60000, Morocco

El Harouche LOUBNA

Laboratory of Applied Sciences (LSA), National School of Applied Sciences, Abdelmalek
Essaadi University, Al Hoceima, 32002, Morocco

ABSTRACT

Groundwater is a cornerstone of the global hydrological cycle, yet it faces increasing pressure from climate change and demographic growth. In accordance with Sustainable Development, this study focuses on the Jel aquifer, where unsustainable extraction has led to a significant decline in groundwater levels. Identifying Groundwater Potential Zones (GWPZ) is essential for effective resource management. This research employs two Multi-Criteria Decision-Making (MCDM) models, the Analytical Hierarchy Process (AHP) and Multi-Influence Factor (MIF) to demarcate GWPZs.

The study classifies the aquifer area into five categories: very low, low, medium, high, and very high potential. Comparative analysis through ROC-AUC curves indicates that the AHP model provides higher reliability (AUC: 0,911) compared to the MIF model (AUC: 0,915). Spatial analysis reveals that while high potentiality is present in the West regions, the South parts show critical vulnerability. Furthermore, Mann-Kendall trend tests and Sen's slope estimator demonstrate a rising depth to groundwater in high-potential areas, while low-potential zones face alarming depletion rates. A strong causal relationship was also observed between groundwater availability and cropping intensity. These findings suggest that implementing site-specific water harvesting and sustainable management strategies is vital for the socio-economic and environmental resilience of the Jel aquifer region.

Keywords : AHP, AUC, MIF, GWPZs, Groundwater, Jel Aquifer

SUSTAINABLE ARCHITECTURE: INTEGRATING TRADITIONAL BUILDING TECHNIQUES WITH MODERN TECHNOLOGY

Rahimova Yulduz ATAMYRADOWNA

Oguz han Engineering and Technology University of Turkmenistan

Ashgabat/Turkmenistan

ORCID ID: 0009-0005-8278-4930

ABSTRACT

Sustainable architecture has gained prominence as a vital solution to address the environmental challenges posed by modern construction practices. This paper investigates the fusion of traditional building methods with contemporary technologies as an approach to enhance the sustainability of architectural designs. Traditional techniques, deeply rooted in local customs and climatic conditions, offer timeless strategies for creating energy-efficient and environmentally friendly structures. These methods typically prioritize the use of locally available materials, passive heating and cooling systems, and designs that minimize ecological footprints. In contrast, modern technological advancements, such as smart energy systems, high-performance insulation, and renewable energy solutions, provide additional opportunities for improving building efficiency.

The research explores several case studies where these two approaches—traditional craftsmanship and modern innovation—are combined. Through detailed analysis, the paper highlights how integrating these elements results in more sustainable, climate-responsive buildings. The study emphasizes that the fusion of ancient knowledge with modern science can yield solutions that not only reduce environmental impact but also promote socio-economic resilience in local communities.

By examining the benefits and challenges of this integration, the paper calls for a more conscious and holistic approach to architectural design. It argues that by blending traditional building methods with cutting-edge technologies, it is possible to create structures that are both resource-efficient and culturally resonant. In doing so, this research proposes a pathway for the construction industry to contribute meaningfully to the global effort to combat climate change while respecting local heritage and community needs.

Keywords: Sustainable architecture, traditional building methods, modern technology, energy efficiency, environmental impact, cultural heritage, climate resilience.

**ENVIRONMENTAL CHANGES IN SYLHET DISTRICT (2019–2024): A CASE
STUDY OF GOWAINGHAT UPAZILA**

Shahriar RAHMAN
Department of English
Metropolitan University, Sylhet, Bangladesh

ABSTRACT

This research paper examines the profound environmental transformations within Gowainghat Upazila, Sylhet, during the five-year period from 2019 to 2024. Utilizing a mixed-method approach integrating field observations at Jaflong and Ratargul with community interviews and satellite imagery the study identifies a critical shift in the region's ecological health. Findings reveal that aggressive anthropocentric activities, specifically unregulated stone quarrying and sand extraction along the Piain River, have triggered severe riverbank erosion and habitat destruction. Simultaneously, climate variability has intensified, with unseasonal flash floods frequently submerging critical infrastructure.

The study further documents a significant decline in biodiversity, noting the disappearance of native flora like the *Ficus benghalensis* and a reduction in aquatic species due to river siltation. These changes have had a detrimental ripple effect on human life, manifesting in increased respiratory illnesses and economic instability, which has fueled a trend of youth migration. However, the emergence of NGO-led reforestation and improved disaster response infrastructure offers a pathway for resilience. The paper concludes that the restoration of Gowainghat's ecological balance depends on a fundamental shift from exploitative neoliberal capitalism toward a biocentric framework that integrates indigenous Khasi knowledge with strict regulatory enforcement to ensure sustainable development.

Keywords: Gowainghat, Environmental Degradation, Climate Resilience, Sand Extraction, Biodiversity Loss.

**SHAPING URBAN WELL-BEING: EXPLORING THE BUILT ENVIRONMENT–
QUALITY OF LIFE NEXUS IN ABBOTTABAD**

Usman Raza KAZMI

Lecturer, Department of Architecture, School of Architecture & Planning, UMT Lahore,
Pakistan

Danish AHSAN

Assistant Director Architecture (CAD), Punjab Architecture Department, Communication and
works Department Government of the Punjab, Pakistan.

Izza

Lecturer, Department of Architecture, Faculty of Architecture, Design and Fine Arts,
University of Gujrat, Pakistan.

Khizra SHAHZAD

Principle Architect at Arcage Studio

Omer Shujat BHATTI

Dr., Associate Professor & CoD, Department of Architecture, School of Architecture &
Planning, UMT Lahore, Pakistan

ABSTRACT

The process of uncontrolled urbanization has significantly changed the way the modern cities look, and, in many cases, at the expense of the quality of the environment, urban forms and, eventually, human health. The increasing scope of growth of cities with such a high rate, often without holistic planning, means that the physical structure of the urban environment has a greater impact on the physical well-being of the inhabitants, their psychological comfort, and their quality of life in general. In that regard, the issue of how architecture, urban structure, and psychological well-being are interconnected requires a serious academic and professional consideration. This paper aims at critically discussing the environmental qualities of the built environment that are relevant to the well-being of cities and determining the design-oriented interventions that can be used to increase or re-instill a sense of physical and psychological comfort in urban areas. The study is premised on an empirical study of the Abbottabad city in Pakistan on the subject of public spaces with a mixed methodology that is composed of field surveys, structured questionnaires, and systematic on site observations. The approaches enabled the complete comprehension of how citizens feel and see their daily urban experiences. The image of a well being city assessment is the parameter that is determined by a set of well-defined indicators- both strengths and deficiencies ingrained in the current built environment. The ratings were done with the help of a research based questionnaire, which was filled by the people living in the area, so that the results obtained are an actual reflection of the user perception and experience in the area. The results of the study can be useful to architects, urban designers and planners, as it provides people-centered approach to the aspect of well-being in urban design and policy-making. Predicting human experience and mental health, the study helps to create more functional and efficient cities, however emotionally supportive, inclusive and supportive of holistic well-being in the future.

Keywords: Urban Well being, Public Spaces, Urban Design, Abbottabad city.

ASSESSMENT OF TRACE METAL CONTAMINATION IN WATER IN THE SEMI-MECHANIZED GOLD MINING AREA: A CASE STUDY OF THE KONDAGO GOLD MINE, NIGER

Maman Hassan Abdourazakou

Dr., School of Mines, Industry and Geology (EMIG), Laboratory for Research in Geosciences and Mining Environment, Department of Mining and Geology, Niamey, Niger
ORCID ID: 0000-0003-1452-4115

ABSTRACT

The present study aims to assess the contamination of surface water and groundwater by trace metal elements (TMEs) at a gold mining site located in the village of Kondago, within the commune of Dan Issa in southeastern Niger. In this area, semi-mechanized gold mining activities are likely to degrade both surface and groundwater quality and pose a threat to human health, as well as to local fauna and flora. To carry out this study, water samples were collected from the gold mining site, including two (2) samples from boreholes and three (3) samples from ponds. These samples were analyzed for trace metal elements such as Fe, Pb, Cu, Ni, and Mn using the X-ray fluorescence (XRF) method. Physicochemical parameters (pH, electrical conductivity, total dissolved solids (TDS), and salinity) were measured using a pH meter and a multifunctional device. Pollution indices were subsequently calculated.

The results revealed significant concentrations of trace metal elements in the analyzed water samples. In surface waters, the concentrations of Fe, Pb, Cu, Ni, and Mn showed elevated values, with average concentrations of approximately 1,033 mg/L, 21.7 mg/L, 16.7 mg/L, 6.7 mg/L, and 13.3 mg/L, respectively. The physicochemical parameters indicated a slightly acidic to neutral pH (6.6), an average electrical conductivity of 1.27 S/m, and a TDS value of 124 mg/L. In comparison, groundwater samples were characterized by more moderate concentrations of Fe, Pb, and Cu, with average values of 280 mg/L, 15 mg/L, and 12.5 mg/L, respectively, but exhibited a markedly higher concentration of Ni (434 mg/L). The physicochemical parameters in groundwater were relatively stable, with a pH close to 6.8, an average electrical conductivity of 7.25 S/m, a TDS value of 727 mg/L, and a salinity of 0.3 g/L. The concentrations of TMEs largely exceed the limits recommended by the World Health Organization (WHO), particularly in groundwater samples. The calculated pollution index values for all analyzed water samples fall within the category of highly polluted waters with respect to trace metal elements

Keywords: semi-mechanized mining, trace metal elements, human health, Kondago.

Introduction

In recent decades, environmental pollution by trace metals (TMs) has become a global concern due to their resistance to biodegradation, toxicity, and ability to accumulate in the food chain (Ouattara et al., 2020). These TMs originate from both natural processes, such as erosion, volcanism, and rock weathering, and anthropogenic activities, including metallurgical processes and mining. In West Africa, artisanal and small-scale mining (ASM) has been rapidly expanding, representing a crucial source of income for millions of people and contributing to local economic development (AFEMIB, 2025).

In Niger, ASM has developed in several regions, including Tillabéry (Komabangou), Agadez (Aïr and Djado), and more recently Maradi, with the opening in 2024 of the semi-mechanized Kondago site in the commune of Dan Issa (iMalyis, 2025). Although this mining activity supports the local economy, it may lead to contamination of water resources by TMs originating from gold extraction and purification processes using mercury, cyanide, and other chemicals (Dan-Badjo et al., 2014).

This situation can affect human health, ecosystems, and agricultural uses. To date, no studies have assessed TM contamination in the semi-mechanized Kondago mining area, where groundwater and other water sources are daily used by local populations without prior treatment. Therefore, the main issue of this study is to understand the extent to which semi-mechanized mining in Kondago contributes to TM contamination of water resources used for domestic and agricultural purposes.

The lack of prior research on water contamination at this site underscores the urgent need for an assessment to identify risk zones, raise awareness among local stakeholders, and propose sustainable management measures. This study aligns with Niger’s commitments to environmental protection, as outlined in the Environmental Code (Republic of Niger, 1998) and the National Plan to Combat Desertification and Manage Natural Resources (CNEDD, 2000). The primary objective of this research is to evaluate trace metal contamination in water within the semi-mechanized gold mining area of Kondago. Specifically, it aims to determine TM concentrations and compare the results to the regulatory standards of the World Health Organization (WHO), assess environmental and health risks associated with the use of this water for agriculture and consumption, and finally propose recommendations for sustainable water resource management.

Materials and Methods

Study Area

The Kondago gold site is located in the rural commune of Dan Issa, in the southeastern part of the Maradi region, approximately 15 km from the Nigerian border. Previously exploited informally, the site was closed in 2021 before being awarded to ROWA United Co. SARL in 2024, which holds a semi-mechanized mining permit. The site covers an area of 30 km², currently employing 140 people, and represents a zone with high gold potential (Guédé, 2024). The site is situated between latitudes 13°12'45" and 13°11'27" N and longitudes 7°16'30" and 7°21'2" E, near the village of Kondago. Figure 1 shows the geographic location of the Kondago site.

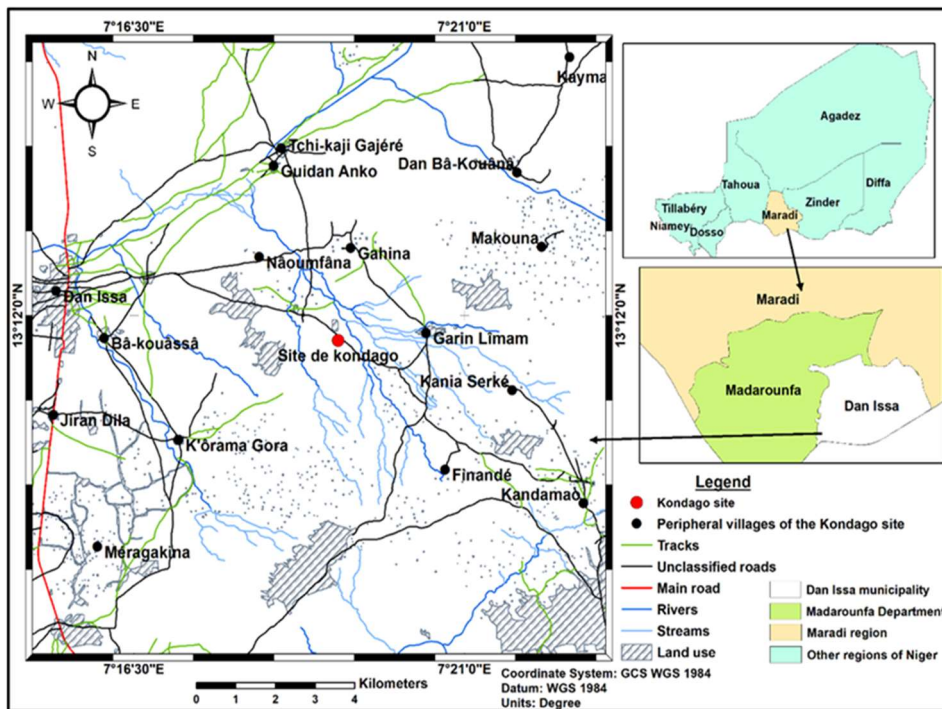


Figure 1. Study area

Geological Context

The commune of Dan Issa lies on a complex geological substrate within the Pan-African South Maradi province, itself part of the Pan-African mobile belt east of the West African Craton (Baraou et al., 2018). This area represents the northernmost extension of the Benino-Nigerian Shield, characterized by a succession of metamorphic and sedimentary formations that record an intense geodynamic history. The dominant geological formations include:

- Migmatitic gneisses and mylonitic schists (Paleoproterozoic to Neoproterozoic), arranged in NE-SW bands and intruded by deformed granitoids;
- Zermou granites (Pan-African intrusions) hosting auriferous quartz veins (Boubacar and Konaté, 2020);
- Quartzitic sandstones of Birni Kazoé and Mirriah (Cretaceous age), associated with auriferous paleoplacers (Boubacar and Konaté, 2020);
- Recent alluvial deposits (Quaternary age), conducive to the dispersion of trace metals (TMs) (Baraou et al., 2021).

Studies by Baraou and Konaté (2021) highlighted a prograde metamorphic evolution followed by a retrograde phase, synchronized with tangential and then transcurrent tectonics. This dynamic facilitated the mobilization of trace metals in shear zones, notably arsenic (As), lead (Pb), cadmium (Cd), and mercury (Hg), which are critical elements in the context of water contamination. Mineralized zone mapping conducted by Boubacar and Konaté (2020) using remote sensing and GIS identified gold anomalies in the vicinity of Dan Issa, confirming the presence of both primary and secondary mineralizations in basement rocks and alluvial sediments (Boubacar and Konaté, 2020). Figure 2 presents a simplified geological map of South Maradi, adapted from Baraou et al. (2018), illustrating the main geological formations, shear zones, and major tectonic structures.

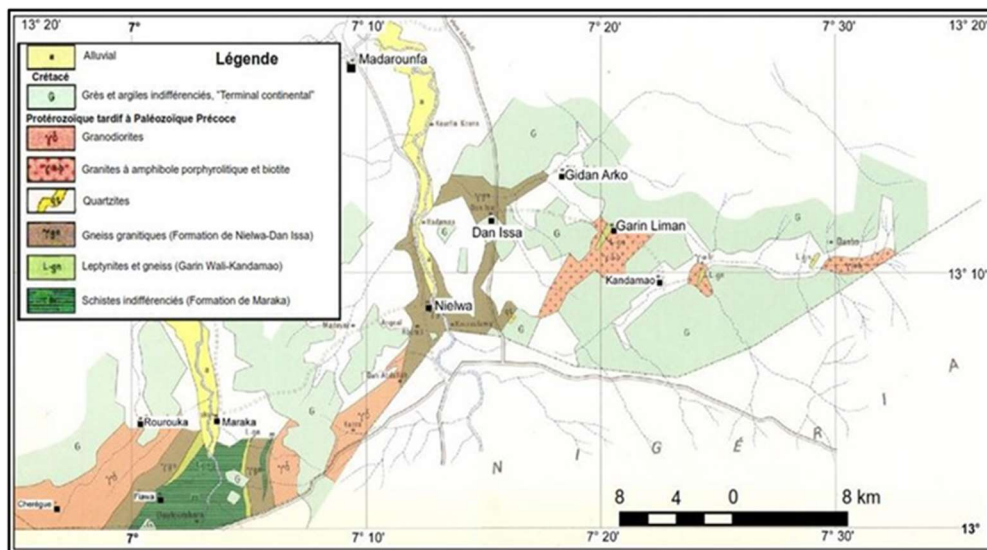


Figure 2. Geological Map of study area

The implementation of this study relied on several key materials. Plastic mineral water bottles (Figure 3A), previously emptied, cleaned, and rinsed with distilled water, were used for sample collection. A portable Garmin GPS device was employed to accurately geolocate the sampling points (Figure 3B). Field observations were recorded using a field notebook and pen. In the laboratory, an electronic pH meter allowed precise measurement of the pH (Figure 3C), accompanied by a multifunctional device capable of simultaneously analyzing multiple physicochemical parameters, including electrical conductivity, total dissolved solids (TDS), and salinity (Figure 3D).

Additionally, a portable X-ray fluorescence (XRF) spectrometer (Niton XL2) was used to determine the concentrations of trace metals, employing preassembled XRF cups sealed with 4 μm polypropylene film (Figure 3E).



Figure 3. Materials Used

Water Sample Collection

A sampling campaign was conducted at the Kondago gold site in June 2025. Sampling points were selected based on several criteria, including authorization from the operating company, the water type (surface or groundwater), and accessibility. The sampling targeted two main categories: surface waters (ponds) and groundwater from boreholes. At each identified point, samples for chemical analysis were collected in 0.75 L plastic bottles, carefully cleaned with distilled water. In the field, each bottle was rinsed three times with the water to be sampled, filled to the top, and tightly sealed to minimize interaction with ambient air. The samples were then kept cool and transported to the CRGM laboratory for analysis. In total, five samples were collected: two groundwater samples (F01, F02) and three surface water samples (ES01, ES02, ES03). Table 1 presents the geographic coordinates of the sampling points at the Kondago gold site.

Methods for Physicochemical and Trace Element Analysis

The physicochemical analysis of the water samples was carried out using three main methods. pH was measured using a calibrated electronic pH meter, with standard buffer solutions of pH 4.01, 7, and 10.1. After verification, the electrode was rinsed with distilled water and immersed in the sample. Electrical conductivity, total dissolved solids (TDS), and salinity were measured using a multifunctional device equipped with a combined probe. Trace metal analysis was conducted using X-ray fluorescence (XRF) spectrometry, a non-destructive technique based on the emission of characteristic X-rays from elements. Samples (10 mL) were placed in sealed cups and analyzed using a portable XRF spectrometer in RoHS mode for 120 seconds. Measurements were repeated to ensure reliability, and the obtained concentrations were processed and converted using Excel.

Methods for Assessing Metal Contamination and Identifying Controlling Processes

The employed methods allowed for the assessment of metal contamination and identification of processes controlling water quality. Contamination was evaluated using several indices.

The Heavy Metal Pollution Index (HPI), proposed by Mohan et al. (1996), integrates a weighting system (W_i) inversely proportional to the standard limits (S_i), with a sub-index Q_i based on measured concentrations (M_i). The critical value for drinking water is 100 (Prasad and Bose, 2001). The Heavy Metal Evaluation Index (HEI), based on the ratio between measured and permissible concentrations, classifies waters as low, moderate, or high pollution (Sobhanardakani, 2016). Multivariate analyses were also applied, combining the Shapiro-Wilk normality test, correlation analysis (Kumar et al., 2006), and Principal Component Analysis (PCA) with Varimax rotation (Çakır, 1994; Boateng et al., 2015) to identify sources of metals and simplify data interpretation.

Results and Discussion

Physical Parameters

The physicochemical parameters measured in the laboratory included pH, electrical conductivity, total dissolved solids (TDS), and salinity. The results are presented in Table 1, which shows the minimum, maximum, and mean values of these parameters for water at the Kondago site, alongside World Health Organization (WHO) guideline limits.

Table 1. Descriptive statistical analysis of the physicochemical parameters of water from the Kondago site.

Parameters	Surface water			Groundwater			WHO Standard
	Min	Max	Moy	Min	Max	average	
pH	6,2	6,8	6,6	6,7	6,9	6,8	6,5 – 9,5
Conductivity (S/m)	0,6	2	1,27	7,1	7,4	7,25	< 0,08–0,15
TDS (mg/L)	55	197	124,2	711,5	743	727,3	< 600 –1 000
Salinity (g/L)	0	0	0	0,3	0,3	0,3	–

The analysis of physicochemical parameters (Table 1) indicates that both surface and groundwater at the Kondago mining site are affected by chemical pollution, progressively rendering them unsuitable for consumption. The pH of surface waters ranges from 6.2 to 6.8, reflecting neutral to slightly acidic conditions, with the minimum value falling below the WHO guideline (6.5–9.5) (WHO, 2017). This acidity is associated with the oxidation of sulfide minerals, a common phenomenon in mining areas, as reported by M’Bra Koffi et al. (2022). It promotes the mobilization of heavy metals, increasing their toxicity (Olivarez et al., 2021). The values near neutrality are comparable to those observed by Tanouayi et al. (2015). Groundwater exhibits a pH ranging from 6.7 to 6.9, which is close to the WHO standard. Electrical conductivity is elevated in surface waters (0.6–2.0 S/m) and extremely high in groundwater (7.1–7.4 S/m), far exceeding the WHO limits (0.08–0.15 S/m). Total dissolved solids (TDS) range from 55 to 197 mg/L in surface waters and from 711.5 to 743 mg/L in groundwater, remaining below the WHO threshold of 1000 mg/L.

Trace Metal Concentrations (TMCs)

Table 2 presents the descriptive statistical results of the analyzed trace elements.

Table 2. Descriptive statistical results of the analyzed trace elements

Samples	Surface water			Groundwater			WHO Standard (mg /L)
	Min	Max	average	Min	Max	average	
Fe	220,0	2 200,0	1033,0	150,0	410,0	280,0	0,3
Pb	10,0	30,0	21,7	10,0	30,0	15,0	0,01
Cu	15,0	20,0	16,7	10,0	15,0	12,5	2,0
Ni	0,0	20	6,7	0,0	86,7	43,4	0,07
Mn	0,0	40	13,3	0,0	0,0	0,0	0,4
Sr	10	30	20,8	0,0	23,3	11,7	-
V	0,0	390	159,2	0,0	86,7	43,4	-
Bi	0,0	10	6,7	3,3	5	4,2	-

The results indicate significant metal contamination in both surface and groundwater at the Kondago mining site. Iron concentrations are extremely high, ranging from 220 to 2,200 mg/L in surface waters (mean 1,033 mg/L) and 150 to 410 mg/L in groundwater (mean 280 mg/L), far exceeding the WHO guideline of 0.3 mg/L, indicating severe pollution. Lead levels are also markedly elevated, ranging from 10 to 30 mg/L in surface water and 10 to 20 mg/L in groundwater, well above the WHO limit of 0.01 mg/L. Copper concentrations range from 15 to 20 mg/L in surface waters and 10 to 15 mg/L in groundwater, exceeding the WHO threshold of 2 mg/L, reflecting notable contamination. Nickel shows highly variable but elevated levels, reaching up to 86.7 mg/L, substantially above the guideline value of 0.07 mg/L, posing a significant health risk. Manganese reaches up to 40 mg/L in surface water (WHO limit: 0.4 mg/L) but is not detected in groundwater. Trace elements without WHO guidelines, including strontium (Sr), vanadium (V), and bismuth (Bi), also display elevated concentrations, with vanadium particularly high in surface waters, indicating pronounced contamination. Overall, these results reveal significant metal pollution, more pronounced in surface waters.

To assess the extent of metal contamination in waters from the Kondago gold mining site, the Heavy Metal Pollution Index (HPI), the Degree of Contamination (DC), and the Heavy Metal Evaluation Index (HEI) were calculated.

Table 3. Values of Heavy Metal Pollution Indices

HPI						
Samples	$\sum W_i$	$\sum (W_i \cdot Q_i)$	HPI			
ES 01	0,41	87 545,00	213 524,39			
ES 02	0,41	111 756,00	272 573,17			
ES 03	0,41	34 822,00	84 931,71			
F 01	0,41	69 529,00	169 585,37			
F 02	0,41	40 571,00	98 963,41			
HEI						
Samples	Fe	Pb	Cu	Ni	Mn	HEI
ES 01	2 266,67	2 500,00	7,50	0,00	0,00	4 774,17
ES 02	7 333,33	3 000,00	10,00	285,71	100,00	10 729,05
ES 03	733,33	1 000,00	7,50	0,00	0,00	1 740,83
F 01	1 366,67	2 000,00	7,50	0,00	0,00	3 374,17
F 02	500,00	1 000,00	5,00	1 238,57	0,00	2 743,57

The analysis of the Heavy Metal Pollution Index (HPI) reveals extremely high values in both surface and groundwater. Surface waters exhibit HPI values ranging from 84,931.71 to 272,573.17, with a mean of 190,343.09, while groundwater values range from 98,963.41 to 169,585.37, with a mean of 134,274.39. All these values far exceed the critical threshold of 100 for drinking water, indicating severe metal pollution and poor water quality. The Heavy Metal Evaluation Index (HEI) confirms this degradation, with surface water values ranging from 1,740.83 to 10,729.05 (mean 5,748.02) and groundwater values between 2,743.57 and 3,374.17 (mean 3,058.87). These results reflect a high heavy metal burden, more pronounced in surface water than in groundwater.

Principal Component Analysis (PCA) was employed to identify the sources of pollution and to examine the relationships between physicochemical parameters (pH, electrical conductivity, TDS) and trace elements (Fe, Pb, Cu, Ni, Mn, Sr, V, Bi). Table 4 presents the rotated component matrix along with the variance values corresponding to each factor group.

Table 4. Rotated component matrix and corresponding variance values

Parameters	Components		
	1	2	3
Vanadium	0,956	-0,007	0,243
Manganese	0,919	-0,267	0,189
Iron	0,912	-0,278	0,205
Strontium	0,910	0,352	-0,173
Bismuth	0,770	0,168	0,135
Conductivity	-0,028	0,968	0,198
TDS	-0,031	0,968	0,201
Nickel	0,112	0,754	-0,267
Copper	0,647	-0,670	0,310
pH	0,145	0,342	0,921
Lead	0,431	-0,438	0,779
Eigenvalues	5,301	3,279	1,459
Percentage of Variance	48,187	29,806	13,264
Cumulative Percentage	48,187	77,993	91,257

The Principal Component Analysis (PCA) explained a total of 91.257% of the variance. The first and dominant component (48.187%) includes vanadium, manganese, iron, strontium, bismuth, and copper, suggesting a common source likely associated with mining activities. The second component (29.806%) combines electrical conductivity, TDS, nickel, and copper, reflecting the influence of mineralization and ionic load. The third component (13.264%) is dominated by pH and lead, indicating control by acid-base conditions. Overall, the PCA highlights multiple sources of contamination and facilitates the interpretation of interactions among variables.

Conclusion

This study conducted at the Kondago mining site reveals a significant degradation of both surface and groundwater quality due to gold mining activities. Physicochemical parameters indicate slightly acidic and highly mineralized water, especially in groundwater. Elevated conductivity, TDS, and other parameters reflect a high ionic load associated with the dissolution of rocks and mining residues. Trace element analysis shows extremely high concentrations of iron, lead, copper, nickel, and manganese, far exceeding WHO standards, indicating severe metal pollution. Pollution indices (HPI and HEI) confirm this degradation, with values well above critical thresholds, demonstrating that the water is unsuitable for consumption.

REFERENCES

- Baraou, I. S., Konaté, M., Ahmed, Y., & Djibo Maïga, A. W. (2018). Caractérisation de la déformation du socle de la zone mobile panafricaine du Sud Maradi, Sud Niger. *Afrique Science*, 14(1), 156–170.
- Baraou, I. S., Konaté, M., Ahmed, Y., & Sani, A. (2021). Indices de minéralisations en or dans la province panafricaine du Sud Maradi (Sud Niger). *European Scientific Journal*, 17(21), 238–255.
- Baraou, I. S., & Konaté, M. (2021). Évolution des paragenèses métamorphiques dans les formations panafricaines du Sud Maradi (Sud Niger). *International Journal of Innovation and Applied Studies*, 34(2), 380–395.
- Boubacar, & Konaté, M. (2020). Utilisation de la télédétection et du SIG pour la cartographie des zones minéralisées en or dans la province panafricaine du Sud-Est Niger (Sud Maradi et Damagaram-Mounio). *Revue Ivoirienne des Sciences et Technologies*, 36, 230–252.
- Çakır, F. (1994). Karşılıklı bağımlılığın ölçülmesinde kümeleme analizi ve bir uygulama (Mémoire de master, Marmara University, Institute of Social Sciences, Department of Econometrics).
- CNEDD. (2000). Programme d'action national de lutte contre la désertification et de gestion des ressources naturelles (PAN-LCD/GRN).
- Dan-Badjo, A. T., et al. (2014). Diagnostic de la contamination des eaux par les éléments traces métalliques dans la zone aurifère de Komabangou – Tillabéri, Niger. *International Journal of Biological and Chemical Sciences*, 8(6), 2849–2857.
- iMalyis. (n.d.). Niger : Le ministre des mines sur les sites aurifères de la commune de Dan Issa. Agence Nigérienne de Presse. Consulté le 8 juillet 2025, à partir de <https://anp.ne/niger-le-ministre-des-mines-sur-les-sites-auriferes-de-la-commune-de-dan-issa/>
- Koffi, C. M. B., Assi Kopeh, J.-L., & Kouadio, A. M. (2022). Niveau de contamination des eaux de surface et souterraines par l'activité d'orpaillage dans le département de Bocanda (Centre-Est de la Côte d'Ivoire). *Revue Ivoirienne des Sciences et Technologie*, 23, 147–167.
- Kumar, M., Ramanathan, A. L., Rao, M. S., & Kumar, B. (2006). Identification and evaluation of hydrogeochemical processes in the groundwater environment of Delhi, India. *Environmental Geology*, 50(7), 1025–1039.
- Mohan, S. V., Nithila, P., & Reddy, S. J. (1996). Estimation of heavy metals in drinking water and development of heavy metal pollution index. *Journal of Environmental Science and Health, Part A*, 31(2), 283–289.
- Olivarez, M. B., et al. (2021). Mobility of heavy metals in aquatic environments impacted by ancient mining-waste. In *Water Quality - Factors and Impacts*. IntechOpen.
- Orpaillage | Association des femmes du secteur minier au Burkina Faso (AFEMIB). (n.d.). Consulté le 8 juillet 2025, à partir de <https://afemib.org/orpaillage/>
- Ouattara, A. A., Yao, K. M., Kinimo, K. C., & Trokourey, A. (2020). Assessment and bioaccumulation of arsenic and trace metals in two commercial fish species collected from three rivers of Côte d'Ivoire and health risks. *Microchemical Journal*, 154, 104604.
- Prasad, B., & Bose, J. M. (2001). Evaluation of the heavy metal pollution index for surface and spring water near a limestone mining area of the lower Himalayas. *Environmental Geology*, 41(1–2), 183–188.
- Sobhanardakani, S. (2016). Evaluation of the water quality pollution indices for groundwater resources of Ghahavand Plain, Hamadan Province, Western Iran. *Iranian Journal of Toxicology*, 10(3), 35–40.
- Tanouayi, G., Gnandi, K., Ahoudi, H., & Ouro Sama, K. (2015). La contamination métallique des eaux de surface et des eaux souterraines de la zone minière d'exploitation des phosphates de Hahotoé Kpogamé (Sud Togo) : cas du cadmium, plomb, cuivre et nickel. *Larhyss Journal*, 21, 35–50.

**BLUE MATERIALS FOR GREEN ENGINEERING: REIMAGINING DREDGED
MARINE SOILS FOR RECLAMATION**

Chee-Ming CHAN

Prof., Chartered Engineer (UK) . Professional Engineer (Malaysia)
Universiti Tun Hussein Onn Malaysia, MALAYSIA

ABSTRACT

Dredging is a necessary process for the maintenance of shipping channel depths and port facilities access. It is also carried out in the development works of marine infrastructure, primarily to create safe navigation route for the vessels. Sediments removed from the seabed, termed dredged marine soils or DMS, are destined for disposal, either inland or in offshore containment (Fig. 1). While various measures are introduced to minimize the negative impact of dredging on sea lives and marine ecosystem in general, less is being directed at managing the DMS for second lives (Fig. 2). Categorized as a geo-waste, dredged marine soils (DMS) are generally considered to have poor engineering properties, including low strength, high compressibility, slow dissipation of excess pore water leading to long-term settlement, and potential contamination posing human health risks. As such, these materials require careful characterisation and pre-treatment before reuse, especially in applications involving human activity. Globally, research and practice have explored ways to transform DMS from a disposal burden into a valuable resource. Studies typically begin with an overview of dredging techniques and machinery, followed by soil characterisation and assessment of key geo-parameters. Over the past decade, numerous experimental and field-based approaches, including pseudo-solidification, electrokinetic treatment and accelerated drainage induction, have demonstrated the latent potential of DMS as sound geomaterials. When applied in backfilling and reclamation projects, these sustainable solutions not only enhance land resources but also mitigate geo-environmental impacts, illustrating how innovative engineering can convert geo-wastes into environmentally responsible assets for the world's growing coastal infrastructure needs.

Keywords: Dredging, dredged marine soils, strength, compressibility, characteristics, reclamation

THE COMPATIBILITY BETWEEN THE LAW ON ELECTRONIC TRANSACTIONS AND SMART CONTRACTS IN VIETNAM: LEGAL GAPS

Huỳnh Minh QUÂN

Law lecturer at Sai Gon University, Vietnam

ABSTRACT

The rapid development of digital technologies and blockchain has facilitated the emergence of smart contracts as a new mechanism for establishing and executing electronic transactions. In Vietnam, the Law on Electronic Transactions 2023 provides an important legal framework for recognizing and regulating transactions conducted through electronic means. However, due to their automated, decentralized, and code-based execution features, smart contracts raise several legal issues concerning legal validity, enforcement mechanisms, parties' liabilities, and the applicability of existing legal regulations. This paper examines the compatibility between the provisions of the Law on Electronic Transactions and the application of smart contracts in Vietnam. It analyzes the similarities, legal gaps, and practical challenges arising from the current regulatory framework when applied to smart contracts. Based on this analysis, the study proposes several legal recommendations to enhance the compatibility between electronic transaction law and the development of smart contracts, thereby supporting digital transformation and ensuring legal certainty for transactions in the digital environment.

Keywords: Law on Electronic Transactions; smart contracts; blockchain; electronic transactions; legal framework.

THE THERAPEUTIC ROLE OF SWIMMING IN POSTURAL HEALTH

Taner YILMAZ

Doç. Dr., Uşak Üniversitesi, Spor Bilimleri Fakültesi, Beden Eğitimi ve Spor Bölümü,
Uşak/ Türkiye

Assoc. Prof., Uşak University, Faculty of Sports Sciences, Department of Physical Education
and Sports, Uşak, Turkey

ORCID ID: 0000-0001-7443-6753

Aleyna ÖZEL

Uşak Üniversitesi, Lisansüstü Eğitim Enstitüsü, Beden Eğitimi ve Spor Eğitimi,
Uşak / Türkiye

Uşak University, Graduate School of Education, Department of Physical Education and Sports
Education, Uşak, Turkey

ORCID ID: 0009-0008-6649-8223

ABSTRACT

Postural disorders are common health problems observed across all stages of life, arising from structural or functional deviations in the physiological curvatures of the spine, musculoskeletal imbalances, and deficiencies in neuromuscular control mechanisms. In recent years, the increasing prevalence of sedentary lifestyles, early exposure to digital devices, heavy schoolbag carriage among children, and ergonomically inadequate work environments have contributed to a marked rise in postural deformities. During adolescence, rapid growth and muscle imbalances are frequently associated with scoliosis and kyphotic posture, whereas in adulthood and older age, degenerative spinal changes, decreased muscle strength, and osteoporotic processes further exacerbate postural impairments. These conditions extend beyond cosmetic concerns and are associated with chronic pain, reduced respiratory capacity, balance disturbances, functional movement limitations, and diminished quality of life. Therefore, comprehensive, safe, and sustainable exercise-based interventions are essential in both the prevention and rehabilitation of postural disorders.

Swimming and water-based exercise programs have emerged as prominent therapeutic modalities in postural rehabilitation. The buoyancy of water reduces gravitational load on the spine and lower extremities, enabling muscular activity under decreased mechanical stress. Hydrostatic pressure enhances circulation, while multidirectional water resistance promotes balanced muscle activation and strengthens proprioceptive feedback. Through these mechanisms, swimming facilitates the activation of deep trunk stabilizer muscles, including the transversus abdominis, multifidus, and pelvic floor musculature, thereby supporting the reorganization and improvement of postural stability. Additionally, its capacity to increase joint range of motion and reduce muscle tension makes swimming a safe and accessible intervention for both pediatric and geriatric populations.

Current literature indicates that swimming provides multidimensional therapeutic benefits in the prevention and rehabilitation of postural disorders. However, it should not be regarded as a stand-alone corrective solution. Rather, its effectiveness is optimized when incorporated into an individualized, technically appropriate, and interdisciplinary rehabilitation program tailored to the individual's age, type of deformity, and accompanying clinical conditions. This review aims to examine the anatomical, biomechanical, neurological, and psychosocial effects of swimming from a holistic perspective, contributing to evidence-based practices in postural rehabilitation.

Keywords: Postural disorder, swimming, aquatic therapy, hydrotherapy, musculoskeletal system, scoliosis, kyphosis, neuromuscular control, rehabilitation, body awareness

POSTÜRAL SAĞLIKTA YÜZMENİN TÖRAPÖTİK ROLÜ

ÖZET

Postür bozuklukları; omurganın fizyolojik eğriliklerinde meydana gelen yapısal ya da fonksiyonel sapmalar, kas-iskelet sistemi dengesizlikleri ve nöromüsküler kontrol mekanizmalarındaki yetersizlikler sonucunda ortaya çıkan ve yaşamın tüm dönemlerinde görülebilen yaygın bir sağlık problemidir. Özellikle son yıllarda sedanter yaşam biçiminin artması, dijital cihaz kullanımının erken yaşlara inmesi, okul çağındaki çocuklarda ağır çanta taşıma alışkanlıkları ve ergonomik olmayan çalışma ortamları, postüral deformitelerin görülme sıklığını artırmıştır. Ergenlik döneminde hızlı büyüme ve kas dengesizlikleriyle ilişkili skolyoz ve kifotik duruş yaygınlaşırken; yetişkin ve ileri yaş grubunda dejeneratif omurga değişiklikleri, kas kuvvetinde azalma ve osteoporotik süreçler postüral bozulmaları derinleştirmektedir. Bu durum yalnızca estetik bir problem olmayıp; kronik ağrı, solunum kapasitesinde azalma, denge kaybı, fonksiyonel hareket kısıtlılığı ve yaşam kalitesinde düşüş gibi çok boyutlu sonuçlara yol açmaktadır. Dolayısıyla postür bozukluklarının önlenmesi ve rehabilitasyonunda bütüncül, güvenli ve sürdürülebilir egzersiz yaklaşımlarına gereksinim duyulmaktadır.

Su ortamında gerçekleştirilen yüzme ve su temelli egzersiz programları, postüral rehabilitasyonda dikkat çeken terapötik araçlardan biridir. Suyun kaldırma kuvveti, yer çekiminin omurga ve alt ekstremiteler üzerindeki baskısını azaltarak kasların daha düşük mekanik stres altında çalışmasına olanak tanır. Hidrostatik basınç dolaşımı desteklerken, suyun çok yönlü direnci kas aktivasyonunu dengeli biçimde artırır ve proprioseptif geri bildirim güçlendirir. Bu özellikler sayesinde yüzme, özellikle derin gövde stabilizatör kasların (transversus abdominis, multifidus, pelvik taban kasları vb.) aktive edilmesini destekleyerek postüral stabilitenin yeniden yapılandırılmasına katkı sağlar. Ayrıca eklem hareket açıklığını artırması ve kas gerginliğini azaltması nedeniyle hem çocukluk hem de ileri yaş döneminde güvenli bir egzersiz ortamı sunar.

Sonuç olarak mevcut literatür, yüzmenin postür bozukluklarının önlenmesi ve rehabilitasyonunda çok yönlü terapötik faydalar sunduğunu ortaya koymaktadır. Bununla birlikte yüzmenin tek başına mucizevi bir düzeltme sağlamadığı; bireyin yaşına, deformitenin tipine ve eşlik eden klinik durumlara göre planlanmış, teknik açıdan doğru ve disiplinler arası bir yaklaşımın parçası olarak uygulanması gerektiği vurgulanmaktadır. Bu derleme, yüzmenin anatomik, biyomekanik, nörolojik ve psikososyal boyutlardaki etkilerini bütüncül bir perspektifle ele alarak, postüral rehabilitasyon süreçlerinde bilimsel temelli uygulamalara katkı sunmayı amaçlamaktadır.

Anahtar Kelimeler: Postür bozukluğu, yüzme, su terapisi, hidroterapi, kas-iskelet sistemi, skolyoz, kifoz, nöromüsküler kontrol, rehabilitasyon, beden farkındalığı

GİRİŞ

Postür, bireyin statik ve dinamik durumlarda vücut segmentleri arasındaki optimal hizalanmayı ifade eden, biyomekanik ve nöromüsküler bütünlüğün göstergesi olan temel bir kavramdır. Fizyolojik postür; baş, omuz, pelvis ve alt ekstremitelerin yer çekimine karşı minimal enerji harcayarak dengeli biçimde konumlanmasını içerir. Bu denge, kas kuvveti, esneklik, proprioseptif geri bildirim ve merkezi sinir sistemi entegrasyonunun uyumlu çalışmasıyla sağlanır (Kendall, McCreary ve Provance, 2005). Postüral sistemde meydana gelen yapısal ya da fonksiyonel sapmalar ise postür bozukluğu olarak tanımlanmakta ve omurganın sagittal ve frontal düzlemdeki fizyolojik eğriliklerinde değişimlerle karakterize edilmektedir.

Dünya genelinde postür bozukluklarının görülme sıklığı giderek artmaktadır. Özellikle adolesan idiyopatik skolyozun prevalansı %1–3 arasında bildirilirken (Weinstein ve diğerleri, 2008), torasik hiperkifoza ileri yaş gruplarında %20–40 oranında görüldüğü rapor edilmektedir (Kado ve diğerleri, 2010). Son yıllarda sedanter yaşam biçiminin yaygınlaşması, uzun süreli oturma alışkanlıkları, dijital ekran maruziyetinin artışı ve ergonomik yetersizlikler postüral bozuklukların erken yaşlara kaymasına neden olmuştur. Okul çağındaki çocuklarda ağır sırt çantası kullanımı ve yanlış oturma alışkanlıklarının omurga hizalanmasını olumsuz etkilediği çeşitli epidemiyolojik çalışmalarda ortaya konmuştur (Dockrell, Kane ve O’Keeffe, 2016). Bununla birlikte fiziksel aktivite düzeyinin azalması, derin gövde stabilizatör kasların zayıflamasına yol açarak omurga üzerindeki yük dağılımını bozmakta ve postüral dengesizlikleri artırmaktadır.

Postür bozuklukları yalnızca estetik bir problem olarak değerlendirilmemelidir. Yapılan çalışmalar, ileri kafa postürü ve kifotik duruşun solunum fonksiyonlarını olumsuz etkilediğini, torasik mobilitayı azalttığını ve kronik boyun-bel ağrısı riskini artırdığını göstermektedir (Ludewig ve Braman, 2011). Ayrıca postüral instabilite denge kontrolünü zayıflatarak düşme riskini artırmakta ve yaşam kalitesini düşürmektedir. Bu bağlamda postüral rehabilitasyon, kas kuvvetinin dengelenmesi, eklem hareket açıklığının artırılması ve nöromusküler koordinasyonun yeniden yapılandırılması açısından multidisipliner bir yaklaşım gerektirmektedir.

Yüzme, kolları ve bacakları kullanarak suda ilerlemedir. Sportif yüzme ise, Uluslararası Yüzme Federasyonu’nun belirlediği kurallar çerçevesinde suyun içinde topla oynanan kolektif oyun olarak tanımlanmaktadır (Olaru, 1998). Yüzme sporunun, vücut güzelliğine, yurt savunmasına, sportif temaslara ve kazalardan kurtulmadaki önemli faktörlerine bakarak çok eski çağlara kadar dayandığı bilinmektedir. Eski çağlarda insanlar kendilerini vahşi hayvanlardan, su kazalarından koruma ve gıda temini için yüzmeyi faydalanmışlar, ilkel bir şekilde yüzmüşlerdir. Son yıllarda su temelli egzersiz yaklaşımları, postüral rehabilitasyon programlarında giderek daha fazla yer almaktadır. Suyun kaldırma kuvveti (buoyancy), yer çekimi etkisini azaltarak omurga ve alt ekstremiteler üzerindeki aksiyel yükü düşürmekte; böylece ağrısız ve güvenli hareket olanağı sağlamaktadır (Becker, 2009). Hidrostatik basınç dolaşımı desteklerken, suyun viskoz direnci kasların çok yönlü ve kontrollü aktivasyonunu mümkün kılmaktadır. Bu özellikler, özellikle derin gövde kaslarının (transversus abdominis, multifidus) aktive edilmesi açısından önemlidir. Nitekim aquatic terapi uygulamalarının kronik bel ağrısı ve postüral instabilite üzerinde olumlu etkileri olduğu çeşitli randomize kontrollü çalışmalarda gösterilmiştir (Barker ve diğerleri, 2014; Waller ve diğerleri, 2009).

Yüzme, su temelli egzersizler içerisinde hem kardiyovasküler hem de kas-iskelet sistemi üzerinde etkili olması nedeniyle özel bir yere sahiptir. Farklı yüzme stilleri, üst ve alt ekstremiteler kaslarını simetrik veya asimetrik biçimde aktive ederek kas dengesizliklerinin düzenlenmesine katkı sağlar. Sırtüstü yüzmenin torasik ekstansiyonu desteklediği; kurbağalama stilinin skapular stabilizasyonu güçlendirdiği; serbest stilin ise gövde rotasyonel kontrolünü geliştirdiği bildirilmektedir (Pink ve diğerleri, 1991). Bununla birlikte yanlış teknik uygulamaların omuz ve lomber bölgede aşırı yüklenmeye yol açabileceği de vurgulanmaktadır. Bu nedenle yüzmenin terapötik kullanımında teknik doğruluk ve bireysel programlama esastır.

Nörolojik açıdan değerlendirildiğinde, su ortamı proprioseptif girdileri artırarak postüral kontrol mekanizmalarını güçlendirmektedir. Suyun direnç ve basınç özellikleri, sensörimotor entegrasyonu desteklerken denge parametrelerinde iyileşme sağlamaktadır (Noh ve diğerleri, 2008). Ayrıca su içindeki ritmik hareketlerin parasempatik aktiviteyi artırdığı ve stres düzeyini azalttığı gösterilmiştir. Bu durum, kronik ağrı ve postüral bozukluklara eşlik eden psikososyal yükün azaltılmasında önemli bir avantaj sunmaktadır.

Tüm bu bulgular doğrultusunda yüzme, postür bozukluklarının önlenmesi ve rehabilitasyonunda biyomekanik, nöromüsküler ve psikososyal düzeylerde çok boyutlu katkılar sağlayan bir müdahale yöntemi olarak değerlendirilmektedir. Ancak literatür, yüzmenin tek başına yeterli bir tedavi yöntemi olmadığını; fizyoterapi, postür eğitimi ve kuvvetlendirme programlarıyla entegre biçimde planlandığında daha etkili sonuçlar verdiğini ortaya koymaktadır. Bu derleme çalışmanın amacı, yüzmenin postür bozuklukları üzerindeki terapötik etkilerini güncel literatür ışığında sistematik biçimde incelemek ve eğitim, spor bilimleri ve rehabilitasyon alanlarına bilimsel katkı sunmaktır.

Postüral kontrol, yalnızca kas kuvvetine dayalı mekanik bir süreç değildir; görsel, vestibüler ve somatosensoriyel sistemlerden gelen bilgilerin merkezi sinir sistemi tarafından bütünleştirilmesiyle sağlanan dinamik bir regülasyon mekanizmasıdır. Shumway-Cook ve Woollacott (2017), postüral kontrolün duyu entegrasyonu ve motor yanıt organizasyonu yoluyla sürdürüldüğünü belirtmektedir. Bu bağlamda postür bozuklukları, yalnızca yapısal omurga değişiklikleriyle değil, aynı zamanda sensörimotor bütünleşme süreçlerindeki aksaklıklarla da ilişkilendirilmektedir. Özellikle çocukluk döneminde gelişimsel koordinasyon bozuklukları ve zayıf gövde stabilizasyonu, ilerleyen yaşlarda kalıcı postüral asimetrilere zemin hazırlayabilmektedir.

Kas-iskelet sistemi perspektifinden değerlendirildiğinde, postür bozukluklarının temelinde sıklıkla kas kısalıkları, kas zayıflıkları ve agonist-antagonist dengesizlikleri yer almaktadır. Janda'nın (1987) kas dengesizlik modeli, özellikle üst çapraz ve alt çapraz sendrom kavramları üzerinden öne eğik baş postürü, omuz protraksiyonu ve lomber hiperlordoz gibi deformiteleri açıklamaktadır. Derin stabilizatör kasların inhibisyonu ve yüzeysel kasların kompensatuar aşırı aktivasyonu, omurganın fizyolojik hizalanmasını bozarak kronikleşen postüral sapmalara neden olmaktadır. Bu nedenle rehabilitasyon yaklaşımlarında yalnızca kuvvet artışı değil, doğru kas aktivasyon sırasının yeniden öğretilmesi önem taşımaktadır.

Bu noktada yüzmenin terapötik değeri, kas gruplarını simetrik ve koordineli biçimde çalıştırma potansiyelinden kaynaklanmaktadır. Suyun sağladığı direnç, kas aktivasyonunu artırırken aynı zamanda hareket hızını doğal olarak sınırlar; bu durum kontrollü motor öğrenmeyi destekler. Becker (2009), su içi egzersizlerin proprioseptif girdiyi artırarak postüral farkındalığı geliştirdiğini ve özellikle kronik bel ağrısı olan bireylerde fonksiyonel iyileşme sağladığını belirtmektedir. Benzer şekilde Waller ve diğerleri (2009), su temelli egzersizlerin omurga stabilizasyonunu artırdığını ve ağrı düzeyini anlamlı biçimde azalttığını ortaya koymuştur.

Ergenlik döneminde görülen adolesan idiyoPATİK skolyozun yönetiminde ise yüzmenin rolü tartışmalı olmakla birlikte, genel kas kuvveti ve solunum kapasitesi üzerindeki olumlu etkileri nedeniyle destekleyici bir aktivite olarak önerilmektedir (Weinstein ve diğerleri, 2008). Torasik deformitelerin solunum mekaniği üzerindeki olumsuz etkileri göz önüne alındığında, yüzmenin inspiratuar ve ekspiratuar kasları aktive eden yapısı önemli bir avantaj sunmaktadır. Düzenli yüzme antrenmanlarının vital kapasiteyi artırdığı ve torasik mobilitiyi desteklediği çeşitli çalışmalarda rapor edilmiştir.

Yaşlı bireylerde ise postüral bozulmalar sıklıkla denge kaybı ve düşme riski ile ilişkilidir. Hidroterapi uygulamalarının denge parametreleri üzerinde olumlu etkileri olduğu; su ortamında gerçekleştirilen egzersizlerin düşme korkusunu azalttığı ve fonksiyonel mobilitiyi artırdığı bildirilmektedir (Bergamin ve diğerleri, 2013). Suyun güvenli ortam sağlaması, yaşlı bireylerde egzersize katılım oranını artırmakta ve rehabilitasyon sürecine uyumu kolaylaştırmaktadır.

Psikososyal açıdan bakıldığında, kronik postür bozukluklarının beden imajı algısını ve öz güveni olumsuz etkileyebildiği bilinmektedir. Düzenli fiziksel aktivitenin özellikle depresyon ve anksiyete belirtilerini azalttığına dair güçlü kanıtlar mevcuttur (Biddle ve Asare, 2011). Su temelli egzersizlerin gevşetici etkisi ve grup ortamında yapılabilmesi, sosyal etkileşimi artırarak psikolojik iyilik halini desteklemektedir. Bu durum, postüral rehabilitasyonun yalnızca fiziksel değil, bütüncül bir sağlık yaklaşımı olarak değerlendirilmesi gerektiğini göstermektedir.

Bununla birlikte literatürde yüzmenin postür üzerindeki etkilerine ilişkin bulguların heterojen olduğu; bazı çalışmalarda teknik hataların veya aşırı yüklenmenin omuz ve lomber bölgede sorunlara yol açabileceği belirtilmektedir. Özellikle elit yüzücülerde görülen “swimmer’s shoulder” sendromu, repetitif hareketlerin uygun teknik ve dengeleyici kuvvetlendirme olmadan uygulanmasının risk oluşturabileceğini göstermektedir (Ludewig ve Braman, 2011). Dolayısıyla yüzmenin terapötik amaçla kullanımı, bireysel farklılıklar ve deforme tipleri dikkate alınarak planlanmalıdır.

Postür bozukluklarının etiolojisi multifaktöriyel olup genetik, çevresel, nöromusküler ve davranışsal faktörlerin etkileşimi sonucu ortaya çıkmaktadır. Çocuklukta ve ergenlikte skolyoz, kifoz ve lordoz gibi spinal deformiteler, hızlı büyüme dönemleriyle sıkı bir ilişki içindedir (Lonstein, 2006). Bu dönemde kas-iskelet sisteminin adaptif kapasitesi, omurga ve gövde stabilizasyonu için kritik öneme sahiptir. Yetersiz kas kuvveti, dengesiz kas aktivasyonu ve proprioseptif eksiklikler postüral dengesizliği tetikleyerek ilerleyen yaşlarda kalıcı bozukluklara yol açabilmektedir. Çocukluk ve genç erişkinlik döneminde postür bozukluklarının erken tespiti, yaşam kalitesinin korunması ve kronik ağrı gelişiminin önlenmesi açısından önemlidir.

Yetişkin ve yaşlı bireylerde ise postüral bozulmalar genellikle dejeneratif süreçler ve fonksiyonel kapasitedeki azalmayla ilişkilidir. Miyopati, osteoartrit ve osteoporoz gibi durumlar, omurganın doğal eğriliklerini bozarak denge ve stabilite kaybına yol açmaktadır (Kado ve diğerleri, 2010). Bu süreçler, yalnızca fiziksel kapasiteyi değil psikososyal durumu da etkileyerek, sosyal izolasyon, öz güven kaybı ve depresyon riskini artırmaktadır. Bu nedenle postür bozukluklarının önlenmesi ve rehabilitasyonu multidisipliner bir yaklaşım gerektirmektedir. Fiziksel egzersiz, ergonomik düzenlemeler, kas kuvvetlendirme ve proprioseptif eğitimlerin kombinasyonu, postüral düzeltmede en etkili yöntemler arasında kabul edilmektedir.

Su ortamının sağladığı biyomekanik avantajlar, postüral rehabilitasyon bağlamında özel bir önem taşımaktadır. Yüzme ve su temelli egzersizler, omurga üzerindeki aksiyel yükü azaltırken kasları kontrollü biçimde çalıştırır. Hidrostatik basınç, dolaşım sistemini destekleyerek ödem ve inflamasyonu azaltabilirken, suyun viskoz direnci kasların koordineli ve simetrik aktivasyonunu teşvik etmektedir (Becker, 2009). Bu yönüyle yüzme, özellikle transversus abdominis, multifidus ve pelvik taban kasları gibi derin stabilizatör kasların aktivasyonunu destekleyerek gövde stabilitesinin yeniden yapılandırılmasına katkı sağlamaktadır. Nörolojik açıdan, su ortamı proprioseptif uyarımı artırarak sensörimotor entegrasyonu güçlendirmektedir ve denge kontrolünü iyileştirir (Noh ve diğerleri, 2008).

Yüzme ayrıca farklı yaş gruplarında ve çeşitli postür bozukluklarında güvenli bir egzersiz seçeneği sunmaktadır. Çocuklarda, büyüme döneminde kas dengesizliklerini düzeltmek ve skolyoz gibi deformiteleri önleyici bir araç olarak uygulanabilirken, yetişkin ve yaşlılarda eklem yükünü azaltarak düşük etkili bir rehabilitasyon imkanı sağlar (Barker ve diğerleri, 2014). Ayrıca su temelli egzersizlerin psikolojik iyilik hali üzerindeki olumlu etkileri, kronik ağrı ve postüral kaygıları azaltmada destekleyici bir rol oynamaktadır (Biddle ve Asare, 2011). Literatürde, yüzmenin postür üzerindeki etkileri çoğunlukla spor ve rehabilitasyon bilimleri bağlamında incelenmiştir. Sırtüstü yüzme, torasik ekstansiyonu destekleyerek kifotik duruşların düzelmesine katkı sağlarken; kurbağalama stili gövde ekstansörleri ve skapular stabilizatörleri güçlendirir (Pink ve diğerleri, 1991). Serbest stil ve kelebek, üst gövde kaslarının simetrik ve koordineli çalışmasını destekleyerek postüral dengeyi iyileştirmektedir. Bununla birlikte teknik hataların ve aşırı yüklenmenin omuz ve bel ağrısına yol açabileceği de literatürde vurgulanmaktadır (Ludewig ve Braman, 2011). Dolayısıyla yüzmenin terapötik uygulaması, bireyin yaşına, postüral bozukluk tipine ve eşlik eden klinik durumlara göre planlanmalıdır.

Sonuç olarak, mevcut bilimsel veriler yüzmenin postüral rehabilitasyonda destekleyici ve çok boyutlu bir araç olduğunu göstermektedir. Ancak etkinliğinin artırılması için teknik doğruluk, dozaj kontrolü ve disiplinler arası yaklaşım temel ilkeler olarak benimsenmelidir. Bu bağlamda yüzmenin terapötik etkilerinin yaş gruplarına, deformite türlerine ve uygulama protokollerine göre sistematik biçimde incelenmesi gerekmektedir. Bu çalışma, söz konusu boşluğu doldurmayı ve eğitim, spor bilimleri ile rehabilitasyon alanlarına bilimsel temelli bir çerçeve sunmayı amaçlamaktadır.

SONUÇ

Postür bozuklukları; yaşamın her döneminde görülebilen, kas-iskelet sistemi dengesizlikleri, nöromüsküler kontrol yetersizlikleri ve çevresel etmenlerle şekillenen kompleks bir sağlık problemidir. Bu durum; yalnızca estetik kaygılar yaratmakla kalmayıp, kronik ağrı, solunum kapasitesinde azalma, denge bozuklukları ve fonksiyonel hareket kısıtlılıkları gibi çok boyutlu etkiler göstermektedir. Literatürde, postüral rehabilitasyon yaklaşımlarının yalnızca belirli kas gruplarını güçlendirmekle sınırlı kalmaması; aynı zamanda proprioseptif farkındalık, motor kontrol ve psikososyal iyilik hali üzerinde de olumlu etkiler yaratması gerektiği vurgulanmaktadır (Shumway-Cook ve Woollacott, 2017; Ludewig ve Braman, 2011).

Bu bağlamda yüzme ve su temelli egzersizler, postüral rehabilitasyonda çok yönlü terapötik potansiyele sahip bir yöntem olarak öne çıkmaktadır. Suyun kaldırma kuvveti, omurga ve alt ekstremiteler üzerindeki mekanik yükü azaltarak ağrısız hareket imkânı sunarken, hidrostatik basınç ve multidireksiyonel direnç kas aktivasyonunu dengeleyici biçimde artırmakta ve derin gövde stabilizatörlerinin kontrollü biçimde aktive edilmesini sağlamaktadır (Becker, 2009). Bu mekanik avantaj, hem çocukluk ve ergenlik döneminde büyüme kaynaklı postüral sorunların önlenmesine hem de yetişkin ve ileri yaş grubunda denge ve fonksiyonel kapasitenin korunmasına hizmet etmektedir.

Farklı yüzme stilleri, postüral iyileşmeye özgün katkılar sunmaktadır. Sırtüstü yüzme, torasik ekstansiyonu destekleyerek kifotik duruşlarda dengeyi sağlarken; kurbağalama stili gövde ekstansör ve skapular kasları güçlendirir. Serbest stil ve kelebek teknikleri ise rotasyonel gövde kontrolünü ve simetrik kas aktivasyonunu destekleyerek omurga üzerindeki yük dağılımını optimize etmektedir (Pink ve diğerleri, 1991). Bununla birlikte uygulamada teknik hatalar ve aşırı yüklenmeler omuz ve lomber bölgede aşırı stres yaratabileceğinden, yüzme programlarının bireyselleştirilmiş ve disiplinler arası bir yaklaşım çerçevesinde planlanması şarttır.

Su temelli egzersizlerin postür üzerindeki etkisi yalnızca mekanik düzeyle sınırlı değildir. Proprioseptif uyarımın artması, merkezi sinir sistemi aracılığıyla postüral farkındalığı güçlendirirken, ritmik ve koordineli hareketler nöromüsküler kontrolün gelişmesini destekler. Ayrıca suyun gevşetici ve güvenli ortam sağlayan yapısı, psikososyal iyilik halini artırmakta; kronik ağrı ve postüral kaygıların azalmasına katkı sağlamaktadır (Biddle ve Asare, 2011). Bu bütüncül etki, yüzmeyi postüral rehabilitasyonda yalnızca fiziksel bir egzersiz değil, aynı zamanda multidisipliner bir sağlık stratejisi olarak konumlandırmaktadır.

Sonuç olarak, literatürdeki bulgular ve biyomekanik, nörolojik ve psikososyal mekanizmalar, yüzmenin postür bozukluklarının önlenmesi ve rehabilitasyonunda güvenli, etkili ve çok boyutlu bir yöntem olduğunu açıkça ortaya koymaktadır. Bununla birlikte yüzmenin tek başına mucizevi bir düzeltme sağlamadığı, bireyin yaşına, postüral deformitenin tipine, eşlik eden klinik durumlara ve uygulama protokolünün teknik doğruluğuna bağlı olarak etkisinin optimize edilebileceği vurgulanmaktadır. Gelecek çalışmalarda, yüzmenin farklı yaş gruplarındaki etkinliği, uygulama süre ve sıklığının postüral düzelmeye katkıları, uzun dönemli takiplerle incelenmeli ve multidisipliner rehabilitasyon yaklaşımlarıyla bütünleştirilmelidir.

Bu derleme, yüzmenin anatomik, biyomekanik, nörolojik ve psikososyal boyutlardaki etkilerini bütüncül bir perspektifle ele alarak, postüral rehabilitasyon süreçlerinde bilimsel temelli uygulamalara katkı sağlamayı amaçlamaktadır.

Klinik uygulamalarda ve eğitim programlarında yüzme temelli egzersizlerin planlanması, hem bireylerin postüral sağlığını iyileştirecek hem de yaşam kalitesini artıracak bütüncül bir yaklaşım olarak değerlendirilebilir.

KAYNAKLAR

Barker, A. L., Talevski, J., Morello, R., Brand, C. A., ve Haines, T. P. (2014). Aquatic exercise for the treatment of chronic musculoskeletal pain: A systematic review. *Journal of Physiotherapy*, 60(3), 155–162. <https://doi.org/10.1016/j.jphys.2014.07.008>.

Becker, B. E. (2009). Aquatic therapy: Scientific foundations and clinical rehabilitation applications. *PMveR*, 1(9), 859–872. <https://doi.org/10.1016/j.pmrj.2009.05.01>.

Bergamin, M., Gobbo, S., Ermolao, A., Zanuso, S., Berton, L., ve Duregon, F. (2013). Effects of aquatic exercise on postural control in older adults: A systematic review and meta-analysis. *European Review of Aging and Physical Activity*, 10(1), 55–67. <https://doi.org/10.1007/s11556-013-0127-5>.

Biddle, S. J. H., ve Asare, M. (2011). Physical activity and mental health in children and adolescents: A review of reviews. *British Journal of Sports Medicine*, 45(11), 886–895. <https://doi.org/10.1136/bjsports-2011-090185>.

Dockrell, S., Kane, R., ve O’Keeffe, G. W. (2016). Backpacks and musculoskeletal health in schoolchildren: A review. *International Journal of Occupational Safety and Ergonomics*, 22(4), 550–557. <https://doi.org/10.1080/10803548.2016.1207401>.

Janda, V. (1987). Muscle function testing in postural disorders. In J. Hollinshead ve J. I. Nicholas (Eds.), *Physical medicine and rehabilitation: Posture and movement* (pp. 45–63). Springer.

Kado, D. M., Huang, M. H., Karlamangla, A. S., Cawthon, P. M., Lane, N. E., ve Ensrud, K. E. (2010). Hyperkyphotic posture and risk of injurious falls in older persons: The study of osteoporotic fractures. *Journal of Gerontology: Medical Sciences*, 65A(5), 600–605. <https://doi.org/10.1093/gerona/gdq056>.

Kendall, F. P., McCreary, E. K., ve Provance, P. G. (2005). *Muscles: Testing and function with posture and pain* (5th ed.). Lippincott Williams ve Wilkins. Lonstein, J. E. (2006). Adolescent idiopathic scoliosis. *The New England Journal of Medicine*, 355(4), 428–435. <https://doi.org/10.1056/NEJMcp053377>.

Ludewig, P. M., ve Braman, J. P. (2011). Shoulder impingement: Biomechanics, diagnosis, and management. *Journal of Orthopaedic ve Sports Physical Therapy*, 41(2), 63–74. <https://doi.org/10.2519/jospt.2011.3447>.

Noh, D. K., Lim, J. Y., ve Shin, S. H. (2008). Effects of aquatic exercise on postural balance, gait, and functional mobility in chronic stroke patients. *Clinical Rehabilitation*, 22(3), 249–258. <https://doi.org/10.1177/0269215507084173>.

Pink, M., Perry, J., ve An, K. N. (1991). Muscle activity during swimming strokes: A review. *Journal of Sports Sciences*, 9(3), 237–247. <https://doi.org/10.1080/02640419108729885>.

Shumway-Cook, A., ve Woollacott, M. H. (2017). *Motor control: Translating research into clinical practice* (5th ed.). Wolters Kluwer.

Waller, B., Lambeck, J., Daly, D., ve Celler, B. (2009). Aquatic therapy for people with neurological conditions: A systematic review. *Clinical Rehabilitation*, 23(1), 3–11. <https://doi.org/10.1177/0269215508099533>.

Weinstein, S. L., Dolan, L. A., Wright, J. G., ve Dobbs, M. B. (2008). Effects of bracing in adolescents with idiopathic scoliosis. *The New England Journal of Medicine*, 369(16), 1512–1521. <https://doi.org/10.1056/NEJMoa1307337>.

A REVIEW ON THE IMPORTANCE OF THE PELVIC SKELETON IN GENDER

Behiye SARIYILDIZ

Öğr. Gör. Dr., Aydın Adnan Menderes Üniversitesi, Tıp Fakültesi, Anatomi Anabilim Dalı,
Efeler, Aydın

Lecturer (PhD), Aydın Adnan Menderes University, Faculty of Medicine, Department of
Anatomy, Efeler, Aydın, Türkiye

ORCID ID: 0000-0001-5509-8533

Gizem SAKALLI

Dr., Aydın Adnan Menderes Üniversitesi, Tıp Fakültesi, Anatomi Anabilim Dalı
Efeler, Aydın

MD/PhD, Aydın Adnan Menderes University, Faculty of Medicine, Department of Anatomy,
Efeler, Aydın, Türkiye

ORCID ID: 0000-0003-3435-386X

ABSTRACT

Introduction: In forensic anthropology, sex determination is a fundamental step in establishing an osteobiological profile. However, due to factors such as environmental conditions, pathological changes and variations in bone density, the incomplete preservation of skeletal remains can pose diagnostic challenges. The pelvic skeleton is considered the most reliable anatomical structure for this purpose. As sexual dimorphism is most pronounced in the pelvis, it is considered the most reliable region for sex determination. The dimorphic characteristics of the pelvis demonstrate a high degree of consistency across different geographical populations, offering a universal biological standard that is independent of variations. **Findings:** Enter “sex estimation” OR “sex determination” OR “sexual dimorphism” AND pelvis[ti] OR pelvic[ti]” and selecting the “humans” filter from the “species” section and the “10 years” time range, 19 articles were listed. All 19 articles are research articles. These articles were published in 12 different journals, 17 of which are included in the Science Citation Index Expanded (SCI-E), one in the Social Sciences Citation Index (SSCI) and one in other international indexes. **Conclusion:** Due to the high degree of sexual dimorphism in the morphometric results of the pelvis in the literature review, the morphometric data of other bones in the skeleton should be analysed comparatively, and the parameters with the greatest discriminatory power for each bone should be standardised. Comprehensive morphometric studies involving large populations are still needed for this purpose. We also aimed to compile a dataset by reviewing studies conducted on PubMed.

Keywords: Sex estimation, morphometrics, pelvis, sexual dimorphism

CİNSİYET TESPİTİNDE PELVİS İSKELETİNİN ÖNEMİ HAKKINDA BİR DERLEME

ÖZET

Giriş: Adli antropolojide cinsiyet tespiti, osteobiyolojik profilin oluşturulmasında temel bir aşamadır. İskelet kalıntılarının tam korunamaması (çevresel faktörler, patolojik değişimler ve kemik yoğunluğundaki varyasyonlar vb.) nedeniyle cinsiyet tespit yapılırken tanısal zorluklara yol açabilmektedir. Pelvis iskeleti cinsiyet tespitinde en güvenilir anatomik yapıdır. Seksüel dimorfizmin en belirgin olduğu anatomik yapı olan pelvis, literatürde cinsiyet tayini için en güvenilir bölge olarak kabul edilmektedir. Pelvisin dimorfik özellikleri farklı coğrafi popülasyonlarda yüksek düzeyde benzerlik göstererek varyasyonlardan bağımsız, evrensel bir biyolojik standart sunmaktadır.

Bulgular: Pubmed veri tabanının arama kısmına “(“sex estimation”[ti] OR “sex determination”[ti] OR “sexual dimorphism”[ti]) AND (pelvis[ti] OR pelvic[ti])” yazıp ‘species’ kısmından ‘humans’ filtresi ve “10 years” zaman aralığı seçilip arama yapıldığında 19 adet makale listelenmiştir. Yayınlanan 19 makalenin hepsi araştırma makalesi türündedir. Makaleler 12 farklı dergide yayınlanmış ve dergilerin 17 tanesi SCI-E (Science Citation Index-Expanded), 1 tanesi Social Sciences Citation Index (SSCI) ve 1 tanesi Diğer Uluslararası İndekler kapsamındadır. Sonuç: Yapılan literatür incelemesinde, pelvisin morfometrik sonuçlarında yüksek seksüel dimorfizm göstermesi nedeniyle iskeleti içeren diğer kemiklerin morfometrik verilerin karşılaştırmalı analizi yapılarak her kemik için en yüksek ayrıştırma gücüne sahip parametrelerin standardize edilmelidir. Bunun için geniş popülasyon içeren kapsamlı morfometrik çalışmalara hala ihtiyaç vardır. Biz de pubmed’de yapılan çalışmalarını inceleyerek bir veri oluşturmak istedik.

Anahtar kelimeler: Cinsiyet tahmini, morfometri, pelvis, cinsel dimorfizm

GİRİŞ

Pelvisi os coxae, os sacrum ve os coccyx adlı kemiklerden oluşmaktadır. Kadın ve erkek pelvisleri arasında birçok farklar mevcuttur. Bu farklılıklar ergenlikten sonra belirginleşir. En büyük sebebi kadın pelvisinin doğuma uyum göstermesidir. Kadın pelvis yapısı, pelvis kemikleri daha ince, kas ve bağların tutunma yerleri daha az belirgin, ala ossi ilii’ler daha dışa yatık, diameter interspinosa daha uzun, pelvis major daha yayvan, pelvis girimi geniş, oval veya daire, os sacrum kısa, geniş ve daha az konkav, pelvis minorun yüksekliği kadınlarda daha kısa fakat eni daha geniş, foramen obturatorium daha küçük ve üçgen, promontorium açısı daha geniş, os coccygis daha hareketli, acetabulum daha küçük, angulus subpubicus daha geniş, tüm pelvis çapları daha geniştir. Erkek pelvis yapısı ise, apertura pelvis superior, promontorium öne çıkıntılı olduğundan kalp veya böbrek şeklinde, pelvis çapları daha kısa olduğundan pelvis dar, os sacrum uzun ve dar, pelvis major erkeklerde derin, foramen obturatorium yuvarlak, promontorium açısı daha dar, tüm pelvis çapları daha dardır (Ruff, 2002; Arıncı ve Elhan, 2016; Standring, 2016).

Cinsiyet tayini, adli antropoloji ve osteobiyolojik profil oluşturmanın temel basamaklarından biridir. İskelet kalıntılarının tam korunamaması (çevresel faktörler, patolojik değişimler ve kemik yoğunluğundaki varyasyonlar vb.) nedeniyle cinsiyet tespit yapılırken tanısal zorluklara yol açabilmektedir (Fischer ve Mitteroecker, 2017; Ives ve ark., 2024).

Pelvis iskeleti %95’e kadar cinsiyeti tahmin etme gücü sağlamaktadır. Pelvis, iskelet sisteminde en yüksek dimorfizm gösteren bölgedir. Kafatası ve pelvis iskeleti beraber %98 oranında cinsiyeti tahmin etme gücü sağlamaktadır. Bunun temel sebebi cinsiyet hormonlarının iskelet sistemi üzerine etkisidir (Spradley ve Jantz, 2011; Best ve ark., 2018).

Bu bölgenin dimorfik özellikleri farklı coğrafi popülasyonlarda yüksek düzeyde benzerlik göstererek varyasyonlardan bağımsız, evrensel bir biyolojik standart sunmaktadır. Kadınlarda cinsiyet hormonları en fazla pelvis iskeletini etkilemektedir. Çünkü doğum sağlanabilmesi için pelvis iskeletinin biyomekanik olarak uygun hale gelmesi gerekmektedir. Erkeklerde bu iskelet vücut büyüklüğünü taşıyabilmesi için gerekli biyomekanik özelliklere sahip olması gerekmektedir. Bu farklı biyomekanik özelliklerin ve hormonların etkisiyle pelvis iskeleti en dimorfik bölge olmasında güçlü etkenlerdir (Frank, 2003; Enns ve Tiidus, 2010; Best ve ark., 2018).

GELİŞME

Pubmed veri tabanının arama kısmına “(“sex estimation”[ti] OR “sex determination”[ti] OR “sexual dimorphism”[ti]) AND (pelvis[ti] OR pelvic[ti])” yazıp ‘species’ kısmından ‘humans’ filtresi ve “10 years” zaman aralığı seçilip arama yapıldığında 19 adet makale listelenmiştir. Yayınlanan 19 makalenin tümü araştırma makalesidir.

Makaleler 12 çeşit dergide yayınlanmıştır. Dergilerin 10'u SCI-E (Science Citation Index-Expanded), 1'i Social Sciences Citation Index (SSCI) ve geri kalan 1 tanesi Diğer Uluslararası indeksler kapsamındadır.

Literatüre Kısa Bir Bakış

Bir çalışmada (Fischer ve Mitteroecker, 2017), kadın ve erkek yetişkin bireylere ait pelvis kemiklerinin 3 boyutlu model oluşturularak 126 referans noktası belirleyerek geometrik morfometrik analizi yapılmıştır. Pelvis boyutu her iki cinsiyette de benzer olsa da şekil bakımından birbirlerinden tamamen ayrı olduğunu ve şekil uzayında kadınlar ve erkekler arasında neredeyse hiç örtüşme bulunmadığını bildirmişlerdir.

Başka bir çalışmada da (Braun ve ark. 2023), BT görüntüleri üzerinden yapılan morfometrik ölçümlerle kuru kemik üzerinde yapılan aynı morfometrik ölçümlerin güvenilirliğini araştırmıştır. 200 kuru pelvis kemikleri ile aynı kemiklerin BT rekonstrüksiyonlarını kullanarak morfometrik ölçümler yapılmıştır. İncelenen yöntemler, birbirinin yerine kullanılabilir nitelikte olduğu bildirilmiştir. Kuru kemik ölçümleri altın standart olsa da BT yüzey taramaları daha iyi performans gösterdiğini söylemişlerdir. BT üzerinden yapılan ölçümlerin fiziksel kemik ölçümleri kadar güvenilir olduğunu bilimsel olarak doğrulamaktadır.

Prenatal gelişim sırasında insan pelvisinin cinsel dimorfizminin derecesi belirsizliğini korumaktadır. Bunu araştıran çalışmada (Kanahashi ve ark., 2024), 72 insan fetüsünde (erkek: 34, dişi 38) yüksek çözünürlüklü MR görüntüleri üzerinden morfometrik değerlendirilmiştir. Anteroposterior (Ön-Arka) Çap dişilerde, erkeklere göre anlamlı derecede daha küçük olduğunu, dişilerde transvers çapın ön-arka çapa oranı daha yüksek olduğunu, dişilerde subpubik açının erkeklere göre anlamlı derecede daha geniş olduğunu, dişilerde iki spina ischiadica arasındaki mesafenin, pelvisin genel transvers çapına oranı erkeklerden daha büyük olduğunu elde etmişlerdir. Ayrıca sakral ölçümlerde cinsiyet ile baş-popo uzunluğu arasında anlamlı bir etkileşim olduğu ve bu da fetüs büyüdükçe sakrumun şekillenme hızı cinsiyete göre farklılık gösterdiğini söylemişlerdir. İnsan fetal pelvisinin cinsel dimorfizminin birincil kemikleşmenin başlangıcında zaten belirgin olduğunu gösterdiğini vurgulamışlardır.

Bir çalışmada (Selliah ve ark., 2020), yaşlanmanın kemik morfolojisi üzerindeki etkisinin cinsiyet tahminini yanıltıp yanıltmadığını araştırmışlardır. Çalışma, yaşa bağlı kemik değişikliklerinin (osteofit oluşumu, aşınma vb.) cinsiyet tahmini yöntemleri üzerinde önemli bir bozucu etkisi olmadığını bildirmişlerdir.

İnsanlarda bağırsak ve pelvis arasındaki ilişkinin cinsel dimorfizmi araştıran çalışmada (Uy ve ark., 2020), kadınlarda, bağırsak hacmi ile test edilen hiçbir değişken arasında istatistiksel olarak anlamlı bir korelasyon bulunmamaktadır. Erkeklerde bağırsak hacmi, vücut büyüklüğü ve pelvik çıkış büyüklüğü ile korelasyon gösterdiğini bildirmişlerdir. Sonuç olarak, bulunan iskeletlerden bağırsak büyüklüğü ilgili çıkarımın sınırlı olduğunu ve cinsel dimorfizmden etkilendiğini belirtmişler.

SONUÇ

Yapılan literatür incelemesinde, pelvis, yüksek dimorfik özellikleri sayesinde cinsiyet tayininde en güvenilir kemik yapısıdır; ancak standartlaştırılmış geniş popülasyon çalışmalarına hâlâ ihtiyaç vardır. Ayrıca pelvis ile iskeleti içeren diğer kemiklerin morfometrik verilerin karşılaştırmalı analizi yapılarak her kemik için en yüksek ayırıştırma gücüne sahip parametrelerin standardize edilmelidir. Bunun için geniş popülasyon içeren kapsamlı morfometrik çalışmalara hala ihtiyaç vardır. Biz de pubmed'de yapılan çalışmaları inceleyerek literatürü derlemek istedik.

KAYNAKLAR

- Arıncı, K., Elhan, A. (2016). *Anatomi*. 6. Baskı. Ankara:Güneş Kitabevi.
- Best, K.C., Garvin, H.M., Cabo, L.L. (2018). An Investigation into the Relationship between Human Cranial and Pelvic Sexual Dimorphism. *J Forensic Sci.* Jul;63(4):990-1000. doi: 10.1111/1556-4029.13669.
- Braun, S., Schwendener, N., Kanz, F., Lösch, S., Milella, M. (2023). What we see is what we touch? Sex estimation on the pelvis in virtual anthropology. *Int J Legal Med.* Nov;137(6):1839-1852. doi: 10.1007/s00414-023-03034-w.
- Enns, D.L., Tiidus, P.M. (2010). The influence of estrogen on skeletal muscle. *Sports Med.* 40(1): 41–58.
- Frank, G.R. (2003). Role of estrogen and androgen in pubertal skeletal physiology. *Med Pediatr Oncol.* 41: 217–21.
- Fischer, B., Mitteroecker, P. (2017). Allometry and Sexual Dimorphism in the Human Pelvis. *Anat Rec (Hoboken).* 300(4):698-705. doi: 10.1002/ar.23549.
- Ives, G., Johns, S.E., Deter, C. (2024). Sexual dimorphism of pelvic scarring: A new method of adult biological sex estimation. *J Forensic Sci.* 69(6):1959-1971. doi: 10.1111/1556-4029.15587.
- Kanahashi, T., Matsubayashi, J., Imai, H., Yamada, S., Otani, H., Takakuwa, T. (2024). Sexual dimorphism of the human fetal pelvis exists at the onset of primary ossification. *Commun Biol.* 7;7(1):538. doi: 10.1038/s42003-024-06156-y.
- Ruff CB. Variation in human body size and shape. *Annu Rev Anthropol* 2002; 31: 211–32.
- Selliah, P., Martino, F., Cummaudo, M., Indra, L., Biehler-Gomez, L., Campobasso, C.P., Cattaneo, C. (2020). Sex estimation of skeletons in middle and late adulthood: reliability of pelvic morphological traits and long bone metrics on an Italian skeletal collection. *Int J Legal Med.* 134(5):1683-1690. doi: 10.1007/s00414-020-02292-2.
- Spradley, M.K., Jantz, R.L. (2011). Sex estimation in forensic anthropology: skull versus postcranial elements. *J Forensic Sci.* 56(2): 289–96.
- Standring S. (Edited by). (2016). *Gray's Anatomy: The Anatomical Basis of Clinical Practice*. 41nd Edition, Hollanda: Elsevier Limited.
- Uy, J., Hawks, J., VanSickle, C. (2020). Sexual dimorphism of the relationship between the gut and pelvis in humans. *Am J Phys Anthropol.* 173(1):130-140. doi: 10.1002/ajpa.24084.

THE HISTOPATHOLOGICAL EFFECTS OF THYMOQUINONE ON THE UTERINE TUBE IN AN EXPERIMENTAL ENDOMETRIOSIS MODEL

Fırat AŞIR

Assoc. Prof. Dr., Dicle University, Medical Faculty, Department of Histology and Embryology, Diyarbakır, Türkiye
ORCID ID: 0000-0002-6384-9146

Fırat ŞAHİN

Dr., Prof. Dr. M. Turan Çetin IVF & Women's Health Center, Adana, Türkiye
ORCID ID: 0000-0002-4704-8541

ABSTRACT

Endometriosis is characterized by the growth of endometrium-like tissue outside the uterine cavity and is considered an estrogen-dependent inflammatory disorder. During the menstrual cycle, hormonal stimulation causes ectopic endometrial lesions to proliferate, break down, and bleed. Unlike normal menstrual bleeding, this process occurs within the pelvic cavity and may lead to chronic inflammation, pain, fibrosis, and adhesion formation. Although the uterus is the primary organ affected, endometriosis may also induce structural and functional alterations in other reproductive organs, including the uterine tubes. Histologically, endometriosis is defined by the presence of ectopic endometrial glands and stroma, frequently accompanied by hemosiderin-laden macrophages. Previous studies have reported that endometriosis may cause morphological changes in the uterine tube such as disruption of villus architecture, epithelial degeneration, stromal edema, and inflammatory cell infiltration. These alterations may impair gamete transport and fertilization, thereby contributing to infertility.

Thymoquinone, the major bioactive compound of *Nigella sativa* (black cumin), is widely recognized for its antioxidant and anti-inflammatory properties. By scavenging free radicals and suppressing inflammatory mediators, thymoquinone has been shown to protect various tissues against oxidative stress and inflammatory injury. Therefore, the present study aimed to investigate the histopathological effects of thymoquinone on uterine tube tissue in an experimentally induced endometriosis model.

In this experimental study, female Sprague–Dawley rats (12 weeks old, 200–250 g) were randomly divided into three groups (n = 8): sham, endometriosis (EM), and EM + thymoquinone. The endometriosis model was induced by subcutaneous administration of estradiol benzoate (3 µg/kg) for seven consecutive days. In the treatment group, thymoquinone (30 mg/kg/day) was administered intravaginally for 21 days following endometriosis induction. At the end of the experimental period, animals were sacrificed under anesthesia and uterine tube tissues were excised. The tissues were fixed in 10% neutral buffered formalin, embedded in paraffin, sectioned at 5 µm, and stained with hematoxylin–eosin for histopathological evaluation. Tissue sections were examined under a light microscope and scored semi-quantitatively for villus integrity, epithelial degeneration, stromal edema, inflammatory cell infiltration, and structural alterations of the muscular layer.

Histological examination revealed that the sham group maintained normal uterine tube architecture with well-organized villus structures and intact epithelial lining. In contrast, the endometriosis group demonstrated marked disruption of villus morphology, epithelial degeneration, stromal edema, and pronounced inflammatory cell infiltration. Mild thickening and disorganization of the muscular layer were also observed. In the EM + thymoquinone group, these pathological alterations were significantly reduced. Villus morphology and epithelial integrity were largely preserved, while stromal edema and inflammatory infiltration were markedly decreased compared with the untreated endometriosis group.

In conclusion, experimental endometriosis induced significant histopathological alterations in uterine tube tissue, whereas thymoquinone treatment attenuated these changes and preserved tissue architecture. These findings suggest that thymoquinone may exert protective effects against endometriosis-related tissue damage through its antioxidant and anti-inflammatory properties.

Keywords: Endometriosis, Thymoquinone, Uterine Tube, Histopathology, Inflammation

1. INTRODUCTION

Endometriosis is a condition characterized by the growth of tissue similar to the endometrium outside the uterine cavity. During the menstrual cycle, hormonal fluctuations stimulate endometriotic lesions to proliferate, break down, and bleed. Unlike menstrual bleeding, this bleeding remains confined within the body, leading to inflammation, pain, scar formation, and adhesions (1). These pathological processes not only affect the uterus but may also induce structural alterations in distant pelvic organs such as the uterine tubes (tuba uterina). Histologically, endometriosis is typically defined by the presence of ectopic endometrial glands and stroma, often accompanied by hemosiderin deposits. Although the definitive diagnosis of endometriosis relies on histological criteria, visual diagnosis is frequently used in clinical practice; however, visualization may be challenging due to the heterogeneity in lesion localization and their highly variable appearance (2).

Early detection and treatment of endometrial hyperplasia (EH) are crucial for the prevention of endometrial cancer. Endometrial hyperplasia is characterized by abnormal proliferation of endometrial glands within the uterus and may progress to endometrial adenocarcinoma (EC) if left untreated. Continuous exposure of the endometrium to estrogen can promote abnormal endometrial proliferation, which is recognized as a common precursor of endometrial cancer (3). This unopposed estrogen exposure also induces an inflammatory response in the uterus, stimulating the release of cytokines that facilitate cellular proliferation and contribute to the initiation and progression of EH (4).

Previous studies have reported several histopathological alterations in the uterine tube tissue of individuals with endometriosis, including disruption of villus morphology, epithelial degeneration, stromal edema, and inflammatory cell infiltration (5–7). These structural changes may adversely affect both the fertilization process and gamete transport (8,9). Therefore, evaluation of uterine tube tissue represents an important indicator for understanding the local and systemic effects of endometriosis.

Nigella sativa L. (Ranunculaceae) is a herbaceous plant native to Southwest Asia, including Iran, India, and Pakistan (10). It has been widely used in various cultures as a food preservative, additive, or spice. In addition, many traditional medical systems utilize its seeds or oil for their therapeutic properties. Various pharmacological effects have been attributed to both purified and crude components of *N. sativa* seeds. Thymoquinone, with the chemical formula $C_{10}H_{12}O_2$ and a molecular weight of 164.2 g/mol, is the major bioactive phytochemical component present in *N. sativa* oil and extracts (11). Thymoquinone is recognized for its potent antioxidant and anti-inflammatory properties (12). At the cellular level, it scavenges free radicals, reduces lipid peroxidation, limits the activity of inflammatory mediators, and provides protective effects against tissue damage (13–15). Recent experimental studies have reported that thymoquinone preserves epithelial integrity in various tissues and reduces edema and inflammatory responses (16).

In the present study, the histopathological effects of thymoquinone on uterine tube tissue were investigated in a rat model of experimentally induced endometriosis. The aim of the study was to reveal morphological changes occurring in distant organs as a consequence of endometriosis and to evaluate the potential protective effects of thymoquinone on these alterations at the histological level.

2. MATERIALS AND METHODS

Experimental Animals

Female Sprague–Dawley rats (12 weeks old, weighing approximately 200–250 g) obtained from the Experimental Research Center of Dicle University (DÜSAM) were used in this study. The animals were maintained under standard laboratory conditions with a 12-hour light/12-hour dark cycle at a temperature of 22 ± 2 °C. Standard pellet food and water were provided ad libitum. All experimental procedures were conducted in accordance with the approval of the Dicle University Animal Experiments Local Ethics Committee (DÜHADEK, 24.02.2022, Decision No: 4) and followed the principles of the 3Rs (Replacement, Reduction, and Refinement).

Experimental Groups

The animals were randomly divided into three groups (n = 8):

Sham group: Animals received subcutaneous administration of 5% corn oil without any surgical or hormonal intervention.

Endometriosis (EM) group: Experimental endometriosis was induced by subcutaneous administration of estradiol benzoate (EB) at a dose of 3 µg/kg, dissolved in 5% corn oil, for seven consecutive days.

EM + Thymoquinone group: Rats with experimentally induced endometriosis received intravaginal administration of thymoquinone at a dose of 30 mg/kg daily for 21 days.

Tissue Collection and Histological Procedures

At the end of the experimental period, the animals were sacrificed under general anesthesia. The abdominal cavities were opened, and uterine tube (tuba uterina) tissues were carefully excised. The tissues were fixed in 10% neutral buffered formalin for approximately 72 hours and subsequently processed through routine paraffin embedding procedures. Sections of 5 µm thickness were obtained from paraffin blocks and stained with hematoxylin–eosin (H&E).

Histopathological Evaluation

The stained sections were examined under a light microscope to assess villus structure, epithelial integrity, stromal edema, inflammation, and the condition of the muscular layer. Histopathological changes were evaluated semi-quantitatively using a scoring system ranging from 0 to 3 (0 = normal, 1 = mild, 2 = moderate, 3 = severe changes). Representative microscopic images were obtained from typical areas of each group.

3. RESULTS

In the control group, uterine tube sections demonstrated preservation of the normal histological architecture. The epithelial lining consisted of a single layer of columnar epithelial cells, showing a regular and organized cellular arrangement. Villus structures (arrow) were well developed and showed prominent projections toward the lumen. The lamina propria (*) appeared as a thin connective tissue layer, and no significant edema or inflammatory cell infiltration was observed.

The muscular layer (arrowhead) exhibited a uniform thickness without any evidence of degeneration, fibrosis, or cellular loss. The epithelial cell nuclei were oval in shape and located near the basal region of the cells. No nuclear pleomorphism or pyknotic changes were detected. Overall, the normal histomorphological architecture of the uterine tube was preserved in the control group, and no pathological alterations were observed (Figure 1A–B).

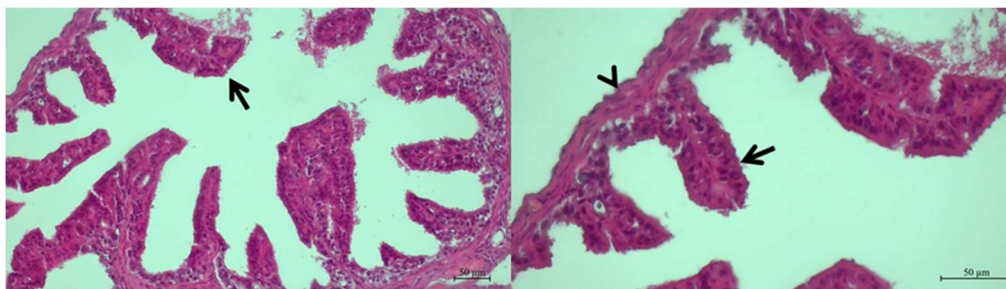


Figure 1. (A–B) Normal histological architecture of the uterine tube observed in the control group. The epithelial surface consists of a single layer of columnar epithelium, and the villi (arrow) extend regularly into the lumen. The lamina propria (*) and the muscular layer (arrowhead) exhibit normal morphology.

In the endometriosis group, uterine tube sections showed a marked disruption of the normal histological architecture. Irregularity and deformation of the villus structures (arrow) were observed, and in some areas fusion of adjacent villi was evident. The epithelial cells exhibited focal desquamation and loss of cellular integrity, accompanied by cytoplasmic vacuolization and pyknotic nuclear changes. In the lamina propria (*), pronounced vascular congestion and inflammatory cell infiltration were detected. Additionally, epithelial degeneration and stromal edema were observed in certain regions. The muscular layer (arrowhead) demonstrated mild thickening and disorganization of smooth muscle cell arrangement, while mild fibrotic changes were present in the interstitial areas (Figure 2A–B). These findings indicate inflammation, edema, and tissue damage associated with estrogen exposure in the endometriosis group, demonstrating that both epithelial integrity and stromal structure were significantly affected.

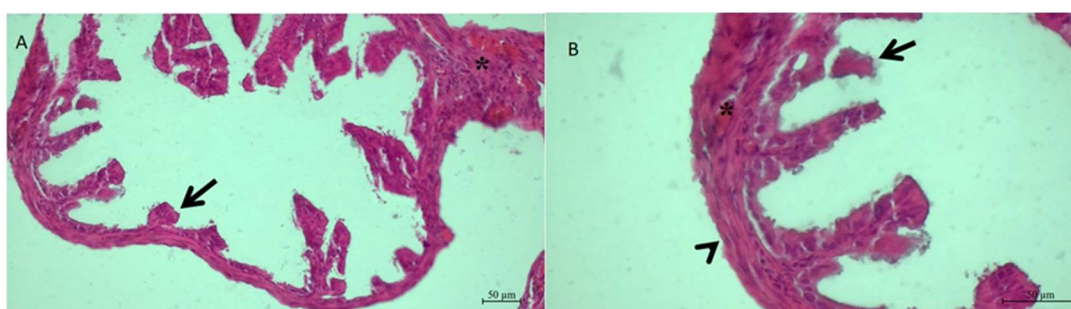


Figure 2. (A–B) In the endometriosis (EM) group, irregularities in the villus structures (arrow), disruption of epithelial integrity, and marked inflammatory cell infiltration with edema in the lamina propria (*) are observed. The muscular layer (arrowhead) shows mild thickening and fibrotic changes.

In the thymoquinone-treated endometriosis group, tissue integrity was largely preserved. The villus structures (arrow) displayed a regular morphology, and the luminal folds extending into the lumen maintained a near-normal histological appearance. Compared with the previous group, a marked reduction in inflammatory cell infiltration and stromal edema was observed in the lamina propria (*).

The epithelial layer appeared well organized, with preserved cellular arrangement, while degenerative changes or desquamation were minimal. The muscular layer (arrowhead) exhibited smooth contours with an intact cellular arrangement, and no fibrotic alterations were observed (Figure 3A–B). Overall, thymoquinone treatment reduced the structural alterations associated with endometriosis, preserved epithelial integrity and stromal organization, and attenuated the inflammatory response.

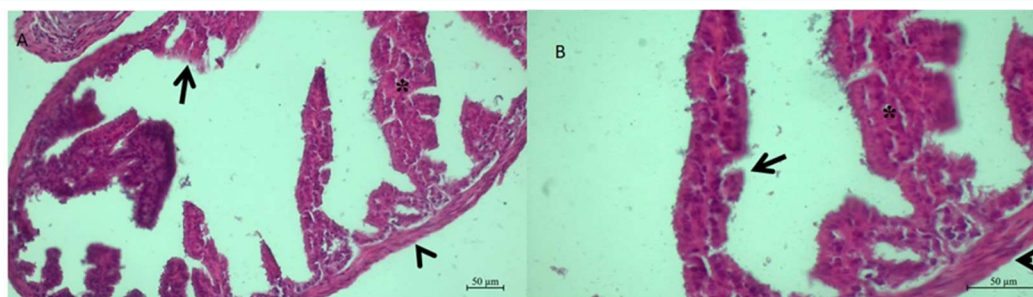


Figure 3. (A–B) In the EM + Thymoquinone group, villus morphology (arrow) and epithelial integrity are largely preserved. A marked reduction in inflammation and edema is observed in the lamina propria (*). The muscular layer (arrowhead) maintains its regular appearance.

Table 1. Histopathological scoring results of uterine tube tissue (Mean ± SD)

Histopathological Parameter	Sham Group	Endometriosis (EM) Group	EM + Thymoquinone Group	p value
Villus integrity disruption	0.25 ± 0.46	2.62 ± 0.51	0.87 ± 0.64	<0.001
Epithelial cell degeneration	0.12 ± 0.35	2.75 ± 0.46	1.00 ± 0.53	<0.001
Edema in lamina propria	0.25 ± 0.46	2.50 ± 0.53	0.75 ± 0.46	<0.001
Inflammatory cell infiltration	0.37 ± 0.52	2.87 ± 0.35	1.12 ± 0.35	<0.001
Structural disruption in muscular layer	0.25 ± 0.46	2.25 ± 0.46	0.62 ± 0.52	<0.001

Scoring system:

0 = Normal; 1 = Mild; 2 = Moderate; 3 = Severe alteration. Data are presented as mean ± standard deviation (SD). Statistical analysis was performed using one-way ANOVA / Kruskal–Wallis test, and $p < 0.05$ was considered statistically significant.

4. DISCUSSION

In this study, histopathological alterations in uterine tube tissue were evaluated in a rat model of experimentally induced endometriosis, and the protective effects of thymoquinone treatment on these changes were investigated. Our findings demonstrated that the endometriosis group exhibited marked villus irregularity, epithelial degeneration, stromal edema, and inflammatory cell infiltration in the lamina propria. In contrast, these pathological changes were significantly reduced in the group treated with thymoquinone.

Endometriosis is an estrogen-dependent pelvic inflammatory disease characterized by the ectopic growth of endometrial glands and stroma outside the uterine cavity (17). Although its etiology remains incompletely understood (18), oxidative stress—defined as an imbalance between reactive oxygen species (ROS) and antioxidant defense systems—has been widely recognized as an important contributor to the pathophysiology of endometriosis by inducing a generalized inflammatory response in the peritoneal cavity (19). Previous studies have reported that pro-inflammatory cytokines and free radicals transported through systemic circulation may cause histological damage in reproductive organs (20). In particular, increased inflammatory responses in the uterine tube epithelium, disruption of villus integrity, and stromal edema may negatively affect fertilization success and ovum transport (21,22).

These findings support the concept that endometriosis is not solely a localized pelvic disease but may also induce pathological changes in distant reproductive tissues.

In the present study, thymoquinone treatment markedly limited these tissue alterations. Thymoquinone has previously been reported to exert strong antioxidant and anti-inflammatory effects in various organ systems (23,24). It has been shown to suppress lipid peroxidation by reducing free radical production, inhibit inflammatory cell activation, and improve microcirculation (25). Consistent with these mechanisms, our histological findings revealed that the thymoquinone-treated group showed preserved epithelial integrity, reduced inflammatory infiltration in the lamina propria, and decreased stromal edema.

These observations suggest that thymoquinone exerts a protective morphological effect against the systemic inflammatory response associated with endometriosis. Furthermore, our results indicate that uterine tube tissue may serve as a valuable target organ for monitoring both systemic inflammatory changes and potential therapeutic responses in experimental endometriosis models.

5. CONCLUSION

In the experimental endometriosis model, significant villus deformation, epithelial damage, stromal edema, and inflammatory infiltration were observed in uterine tube tissue. Thymoquinone treatment significantly reduced these pathological alterations and contributed to the preservation of normal tissue architecture.

These findings indicate that thymoquinone may alleviate endometriosis-associated distant organ damage at the histological level and help maintain uterine tube integrity through its anti-inflammatory and antioxidant properties. Future studies incorporating molecular analyses are needed to further elucidate the mechanisms underlying these protective effects and to evaluate the potential of thymoquinone as a complementary therapeutic agent in the management of endometriosis.

6. REFERENCES

1. Arafah M, Rashid S, Akhtar M. Endometriosis: a comprehensive review. *Adv Anat Pathol.* 2021;28(1):30-43.
2. Kimura T, Kamiura S, Komoto T, et al. Clinical over- and under-estimation in patients who underwent hysterectomy for atypical endometrial hyperplasia diagnosed by endometrial biopsy: the predictive value of clinical parameters and diagnostic imaging. *Eur J Obstet Gynecol Reprod Biol.* 2003;108(2):213-216.
3. Olowofolahan AO, Oyebo OT, Olorunsogo OO. Methyl palmitate reversed estradiol benzoate-induced endometrial hyperplasia in female rats. *Toxicol Mech Methods.* 2021;31(1):43-52.
4. Dallenbach-Hellweg G. *Histopathology of the endometrium.* Berlin: Springer; 1987.
5. Istrate-Ofițeru AM, Mogoantă CA, Zorilă GL, Roșu GC, Drăgușin RC, Berbecaru EIA, et al. Clinical characteristics and local histopathological modulators of endometriosis and its progression. *Int J Mol Sci.* 2024;25(3):1789.
6. Kissler S, Zangos S, Wiegratz I, Kohl J, Rody A, Gaetje R, et al. Utero-tubal sperm transport and its impairment in endometriosis and adenomyosis. *Ann N Y Acad Sci.* 2007;1101(1):38-48.
7. Máté G, Bernstein LR, Török AL. Endometriosis is a cause of infertility: does reactive oxygen damage to gametes and embryos play a key role in the pathogenesis of infertility caused by endometriosis? *Front Endocrinol (Lausanne).* 2018;9:725.
8. Taylor HS, Kotlyar AM, Flores VA. Endometriosis is a chronic systemic disease: clinical challenges and novel innovations. *Lancet.* 2021;397(10276):839-852.

9. Mahfouz M. The isolation of a crystalline active principle from *Nigella sativa* L seeds. *J Pharm Sci UAR*. 1960;1:1-19.
10. Woo CC, Kumar AP, Sethi G, Tan KH. Thymoquinone: potential cure for inflammatory disorders and cancer. *Biochem Pharmacol*. 2012;83(4):443-451.
11. Ahmad A, Husain A, Mujeeb M, Khan SA, Najmi AK, Siddique NA, et al. A review on therapeutic potential of *Nigella sativa*: a miracle herb. *Asian Pac J Trop Biomed*. 2013;3(5):337-352.
12. Banerjee S, Padhye S, Azmi A, Wang Z, Philip PA, Kucuk O, et al. Review on molecular and therapeutic potential of thymoquinone in cancer. *Nutr Cancer*. 2010;62(7):938-946.
13. AbuKhader MM. Thymoquinone in the clinical treatment of cancer: fact or fiction? *Pharmacogn Rev*. 2013;7(14):117-120.
14. Majdalawieh AF, Fayyad MW. Immunomodulatory and anti-inflammatory action of *Nigella sativa* and thymoquinone: a comprehensive review. *Int Immunopharmacol*. 2015;28(1):295-304.
15. Gago C, Serralheiro A, Miguel MG. Anti-inflammatory activity of thymol and thymol-rich essential oils: mechanisms, applications, and recent findings. *Molecules*. 2025;30(11):2450.
16. Kennedy S, Bergqvist A, Chapron C, D'Hooghe T, Dunselman G, Greb R, et al. ESHRE guideline for the diagnosis and treatment of endometriosis. *Hum Reprod*. 2005;20(10):2698-2704.
17. Scutiero G, Iannone P, Bernardi G, Bonaccorsi G, Spadaro S, Volta CA, et al. Oxidative stress and endometriosis: a systematic review of the literature. *Oxid Med Cell Longev*. 2017;2017:7265238.
18. Christodoulakos G, Augoulea A, Lambrinouadaki I, Sioulas V, Creatsas G. Pathogenesis of endometriosis: the role of defective immunosurveillance. *Eur J Contracept Reprod Health Care*. 2007;12(3):194-202.
19. Kaltsas A, Zikopoulos A, Moustakli E, Zachariou A, Tsirka G, Tsiampali C, et al. The silent threat to women's fertility: uncovering the devastating effects of oxidative stress. *Antioxidants (Basel)*. 2023;12(8):1490.
20. Yu B, McCartney S, Strenk S, Valint DJ, Liu C, Haggerty CL, et al. Vaginal bacteria elicit acute inflammatory response in fallopian tube organoids. *Reprod Sci*. 2024;31(2):505-513.
21. El-Kharoubi AF. Tubal pathologies and fertility outcomes: a review. *Cureus*. 2023;15(5):eXXXX.
22. Liu Y, Yan H, Yu B, He J, Mao X, Yu J, et al. Protective effects of natural antioxidants on inflammatory bowel disease: thymol and its pharmacological properties. *Antioxidants (Basel)*. 2022;11(10):1947.
23. Pérez Gaudio D, Giantin M, Pauletto M, Dacasto M. Pharmacotoxicological aspects of thymol in veterinary medicine: a systematic review. *Front Vet Sci*. 2025;12:1562641.
24. Nagoor Meeran MF, Javed H, Al Tae H, Azimullah S, Ojha SK. Pharmacological properties and molecular mechanisms of thymol: prospects for its therapeutic potential and pharmaceutical development. *Front Pharmacol*. 2017;8:380.
25. Adib S, Keramati K, Ahmadi-Hamedani M, Mohammadnezhad Nasrabadi L. Investigation of the potential of Thymex Plus in hematological and platelet modulation in myocardial infarction rats. *Iran J Toxicol*. 2026;20(1):1-7.

THE EFFECT OF BRUXISM ON DYNAMIC BALANCE IN DESK WORKERS

Hajar ALKASSAB

İstinye Üniversitesi, Sağlık Hizmetleri Meslek Yüksekokulu, Fizyoterapi, İstanbul, Türkiye
İstinye University, Vocational School of Health Services, Physiotherapy Department- İstanbul

Yasin UZUM

İstinye Üniversitesi, Sağlık Hizmetleri Meslek Yüksekokulu, Fizyoterapi, İstanbul, Türkiye
İstinye University, Vocational School of Health Services, Physiotherapy Department-
İstanbul, Türkiye

Vedat GÖKEN

Dr. Öğr. Üyesi, İstinye Üniversitesi, Sağlık Bilimleri Fakültesi, Fizyoterapi ve Rehabilitasyon,
İstanbul, Türkiye

Asst. Prof. Dr., İstinye University, Faculty of Health Sciences, Physiotherapy and
Rehabilitation Department- İstanbul, Türkiye

ORCID ID: 0009-0001-6079-7571

ABSTRACT

Objective: This study aims to evaluate the effect of bruxism on dynamic balance in desk-bound individuals. Participants will be divided into two groups based on whether they are diagnosed with bruxism or not. Dynamic balance will be compared between individuals from each group.

Methods: The study included a total of 54 participants aged 18–50 years, consisting of individuals diagnosed with bruxism and individuals without bruxism. Dynamic balance performance was assessed using the TecnoBody Prokin 252 device. Additionally, the MyotonPRO device was used to evaluate the mechanical properties of the masseter muscle. Following the assessment, participants were asked to complete the Visual Analog Scale (VAS), the Short Form-36 (SF-36), the Beck Anxiety Inventory (BAI), the Pittsburgh Sleep Quality Index (PSQI), and the Fonseca Anamnestic Index (FAI).

Results: According to the results of the analysis, a statistically significant difference was found between individuals with bruxism and those without bruxism when their dynamic balance performances were compared. In addition, statistically significant differences were observed between the groups in terms of VAS, SF-36, BAI, PSQI, and FAI scores. However, statistically significant differences were also found between the groups in terms of the mechanical properties of the masseter muscle evaluated with the MyotonPRO device ($p < 0.05$).

Discussion: There are few studies in the literature investigating the effect of teeth clenching on dynamic balance, but no study has been found that directly investigates the effect of chronic bruxism on dynamic balance. The findings revealed that in individuals who work at desks, chronic bruxism is significantly associated not only with oral health but also with balance performance and parameters such as quality of life, anxiety level, and sleep quality.

Keywords: Bruxism, Dynamic Balance, Desk Workers.

MASA BAŞI ÇALIŞANLARINDA BRUKSİZMİN DİNAMİK DENGİ ÜZERİNE ETKİSİ

ÖZET

Amaç: Çalışmamızda uzun süre oturan masa başı çalışan bireylerde bruksizmin dinamik denge üzerindeki etkisi değerlendirilecek olup; bruksizmi olan bireylerle, olmayan bireyler arasındaki denge performansının karşılaştırılması amaçlanmıştır.

Yöntem: Çalışmaya 18-50 yaş arası, bruksizm tanısı alan bireyler ve bruksizmi olmayan bireylerden oluşan toplamda 54 birey dahil edildi. Çalışma kapsamında bireylerin dinamik denge performansları, TecnoBody Prokin 252 cihazı ile değerlendirildi. Ayrıca masseter kasının mekanik özelliklerini değerlendirmek amacıyla MyotonPRO cihazı kullanıldı. Ardından katılımcılardan, ‘Görsel Analog Sklası (VAS), Yaşam Kalitesi Ölçeği (SF-36), Beck Anksiyete Ölçeği (BAI), Pittsburgh Uyku Kalitesi İndeksi (PUKİ) ve Fonseca Anamnestik İndeksi (FAI)’ anketlerini doldurmaları istendi.

Sonuçlar: Analiz sonuçlarına göre, bruksizmi olan bireylerle, olmayan bireyler gruplar arasındaki dinamik denge performansları karşılaştırıldığında istatistiksel olarak anlamlı fark bulundu. Ayrıca ‘VAS, SF-36, BAI, PUKİ ve FAI’ skorları açısından da gruplar arasında istatistiksel olarak anlamlı farklılıklar saptandı. Bununla birlikte, MyotonPRO cihazı ile değerlendirilen masseter kasının mekanik özellikleri açısından da gruplar arasında istatistiksel olarak anlamlı fark bulundu ($p<0,05$).

Tartışma: Literatürde diş sıkmanın dinamik denge üzerindeki etkisini araştıran az sayıda çalışma vardır, ancak kronik bruksizmin dinamik denge üzerindeki etkisini doğrudan araştıran bir çalışmaya rastlanmamıştır. Elde edilen bulgular, masa başı çalışan bireylerde kronik bruksizmin yalnızca oral sağlıkla değil, aynı zamanda denge performansı ile yaşam kalitesi, anksiyete düzeyi ve uyku kalitesi gibi parametrelerle de anlamlı ilişkili olduğu saptandı.

Anahtar Kelimeler: Bruksizm, Dinamik Denge, Masa Başı Çalışanlar.

CLINICAL SIGNIFICANCE OF TIME TO EMERGENCY DEPARTMENT PRESENTATION IN PRIAPISM

Murat GÜL

Assoc.Prof. Dr., Selçuk University Faculty of Medicine, Department of Urology and
Department of Andrology, Konya, Türkiye
ORCID ID: 0000-0002-6657-6227

ABSTRACT

Introduction: Priapism is a urological emergency characterized by a persistent erection unrelated to sexual stimulation and requiring urgent intervention. Delayed presentation to the emergency department (ED) is critically important in terms of cavernosal smooth muscle damage and the development of long-term erectile dysfunction (ED). This study aimed to evaluate the impact of time from symptom onset to ED presentation on treatment success and erectile function outcomes.

Materials and Methods: The data of 48 patients diagnosed with ischemic priapism who presented to the ED between January 2019 and December 2023 were retrospectively analyzed. Patients were categorized according to presentation time: ≤ 6 hours (early presentation, n=17), 6–24 hours (intermediate presentation, n=19), and >24 hours (late presentation, n=12). Primary endpoints included success of first-line therapy (aspiration and intracavernosal sympathomimetic injection), requirement for surgical shunting, and erectile function at 6 months assessed using the International Index of Erectile Function-5 (IIEF-5).

Results: Detumescence rates with first-line treatment were 88.2% in the ≤ 6 -hour group, 57.9% in the 6–24-hour group, and 25.0% in the >24 -hour group ($p < 0.001$). Surgical shunting was required in 11.8%, 31.6%, and 58.3% of patients, respectively. Preserved erectile function at 6 months (IIEF-5 ≥ 17) was observed in 76.5% of early presenters, 42.1% of intermediate presenters, and 16.7% of late presenters ($p < 0.001$). Multivariate analysis identified delayed ED presentation as an independent risk factor for postoperative erectile dysfunction.

Conclusion: Time to emergency department presentation is a critical determinant of treatment success and long-term erectile function in ischemic priapism. Early diagnosis and prompt intervention significantly reduce surgical necessity and the risk of permanent erectile dysfunction.

Keywords: Andrological Emergency, Presentation Time, Priapism

**DISTRIBUTION OF THE SYSTEMIC IMMUNE-INFLAMMATION INDEX AND
TUMOR SIZE AMONG HISTOPATHOLOGICAL SUBTYPES OF TESTICULAR
TUMORS: A FOUR-GROUP COMPARATIVE ANALYSIS**

Şaban Kadir KÖLELİ

Faculty of Medicine Gaziantep University, General Practitioner, Gaziantep, Türkiye

ORCID ID: 0009-0005-3762-6378

Nihal Nur CEYLAN

Faculty of Medicine Gaziantep University, General Practitioner, Gaziantep, Türkiye

ORCID ID: 0009-0002-1722-7378

Murat GÜL

Assoc.Prof. Dr., Selçuk University Faculty of Medicine, Department of Urology and

Department of Andrology, Konya, Türkiye

ORCID ID: 0000-0002-6657-6227

ABSTRACT

Introduction: Histopathological subtypes of testicular tumors demonstrate distinct biological behaviors. However, the relationship between these subtypes and the systemic inflammatory response in the preoperative period has not been sufficiently clarified. This study aimed to evaluate the distribution of the systemic immune-inflammation index (SII) and tumor size among four different histopathological groups.

Materials and Methods: A total of 159 patients who underwent radical inguinal orchiectomy between 2010 and 2026 were retrospectively analyzed. Patients were categorized into four groups: seminoma (n=57), non-seminomatous germ cell tumors (n=58), sex cord-stromal tumors (n=6), and other histologies (n=38). The SII was calculated using the formula $\text{platelet} \times \text{neutrophil} / \text{lymphocyte}$. Intergroup comparisons were performed using the Kruskal–Wallis test, and Dunn post-hoc analysis was applied when statistical significance was detected.

Results: Tumor size did not differ significantly among the four groups ($p = 0.426$). However, a statistically significant difference was observed in SII values ($p = 0.018$; $\eta^2 = 0.06$). Median SII values were as follows: non-seminoma: 894, others: 655, seminoma: 612, and sex cord-stromal tumors: 402. Post-hoc analysis revealed that non-seminomatous tumors had significantly higher SII values compared with seminoma and sex cord-stromal tumors ($p < 0.05$).

Conclusion: The systemic inflammatory response differs significantly among histopathological subtypes of testicular tumors. Higher SII values observed in non-seminomatous tumors suggest a more pronounced inflammatory biology in this group. In contrast, tumor size was not discriminatory among subtypes. These findings indicate that SII may serve as a potential preoperative biomarker reflecting histopathological differences in testicular tumors.

Keywords: Testicular cancer; Seminoma; Non-seminoma; Systemic immune-inflammation index; Inflammation; Biomarker

**REGIONAL PRIORITIZATION OF RENEWABLE ENERGY AND ENERGY
EFFICIENCY INVESTMENTS FOR REDUCING ENERGY POVERTY: A MULTI-
CRITERIA APPROACH**

Ertuğrul AYYILDIZ

Assoc.Prof. Dr., Department of Industrial Engineering, Karadeniz Technical University,
Trabzon, Türkiye
College of Science and Engineering, Hamad bin Khalifa University, Doha, Qatar
ORCID ID: 0000-0002-6358-7860

Betül KARA

Department of Industrial Engineering, Karadeniz Technical University, Trabzon, Türkiye
ORCID ID: 0009-0007-8707-8992

Nezir AYDIN

Prof. Dr., Department of Industrial Engineering, Yıldız Technical University, Istanbul,
Türkiye
College of Science and Engineering, Hamad bin Khalifa University, Doha, Qatar
ORCID ID: 0000-0003-3621-0619

ABSTRACT

This study addresses the regional prioritization of renewable energy and energy efficiency investments aimed at alleviating energy poverty through a multi-criteria decision-making approach. While energy is a critical element for economic development, social welfare, and environmental sustainability, global crises in recent years have hindered energy access and made energy poverty more visible, particularly for low-income households. In this context, energy poverty is evaluated not merely as a lack of access to energy, but as a complex problem involving multi-dimensional factors such as energy costs, service quality, reliability, and regional inequalities. Considering this multi-dimensional structure, a comprehensive set of criteria encompassing economic, social, environmental, and technical dimensions was established. A total of 10 criteria, determined through literature review and expert opinions, formed the basis for evaluating energy investments. These criteria include significant elements such as energy bill reduction potential, life-cycle cost, access to energy, social acceptance, emission reduction, renewable energy use, and technical feasibility. To better represent uncertainty and hesitancy in expert evaluations, intuitionistic fuzzy sets were utilized, and the IF-SWARA method was preferred for determining criteria weights. Methodologically, the study involves integrating expert opinions via the Modified Delphi method, followed by the calculation of criteria weights using the IF-SWARA method. This approach both increases consistency in the group decision-making process and effectively integrates the uncertainty of subjective evaluations into the model. According to the results obtained, the environmental dimension was found to have the highest weight among the main criteria. This indicates that sustainability and environmental impacts have become a priority in energy investments today. At the sub-criteria level, renewable energy and resource efficiency emerged as the most significant factors, followed by emission reduction potential and technical feasibility. These findings reveal that increasing energy production alone is not sufficient to mitigate energy poverty; efficient use of energy resources and minimization of environmental impacts are also critical. The relatively lower weight of economic and social criteria does not imply they are insignificant; on the contrary, it shows they play a complementary role in the decision-making process.

Consequently, the study demonstrates that investment decisions for reducing energy poverty cannot be handled through one-dimensional approaches and that environmental, technical, economic, and social factors must be evaluated together. The proposed IF-SWARA-based approach serves as an important decision-support tool for policymakers and decision-makers by providing reliable and balanced results in decision problems involving uncertainty.

Keywords: Energy poverty, Renewable energy, Energy efficiency, Multi-criteria decision making (MCDM), IF-SWARA, Fuzzy sets (FS), Sustainability

ENERJİ YOKSULLUĞUNU AZALTMAK İÇİN YENİLENEBİLİR ENERJİ VE ENERJİ VERİMLİLİĞİ YATIRIMLARININ BÖLGESEL ÖNCELİKLENDİRİLMESİ: ÇOK KRİTERLİ BİR YAKLAŞIM

ÖZET

Bu çalışma, enerji yoksulluğunu azaltmaya yönelik yenilenebilir enerji ve enerji verimliliği yatırımlarının bölgesel düzeyde önceliklendirilmesini çok kriterli karar verme yaklaşımıyla ele almaktadır. Enerji, ekonomik kalkınma, sosyal refah ve çevresel sürdürülebilirlik açısından kritik bir unsur olmakla birlikte, son yıllarda yaşanan küresel krizler enerjiye erişimi zorlaştırmış ve özellikle düşük gelirli haneler için enerji yoksulluğunu daha görünür hale getirmiştir. Bu bağlamda enerji yoksulluğu yalnızca enerjiye erişim eksikliği olarak değil; enerji maliyetleri, hizmet kalitesi, güvenilirlik ve bölgesel eşitsizlikler gibi çok boyutlu faktörleri içeren karmaşık bir problem olarak değerlendirilmektedir. Çalışmada, bu çok boyutlu yapıyı dikkate alarak ekonomik, sosyal, çevresel ve teknik boyutları kapsayan kapsamlı bir kriter seti oluşturulmuştur. Literatür taraması ve uzman görüşleri doğrultusunda belirlenen toplam 10 kriter, enerji yatırımlarının değerlendirilmesinde temel alınmıştır. Bu kriterler arasında enerji faturası azaltma potansiyeli, yaşam döngüsü maliyeti, enerjiye erişim, sosyal kabul, emisyon azaltımı, yenilenebilir enerji kullanımı ve teknik uygulanabilirlik gibi önemli unsurlar yer almaktadır. Uzman değerlendirmelerinde belirsizlik ve kararsızlığı daha iyi temsil edebilmek amacıyla sezgisel bulanık kümeler kullanılmış ve kriter ağırlıklarının belirlenmesinde IF-SWARA yöntemi tercih edilmiştir. Metodolojik olarak çalışma, uzman görüşlerinin Modified Delphi yöntemi ile birleştirilmesi ve ardından IF-SWARA yöntemi ile kriter ağırlıklarının hesaplanması adımlarını içermektedir. Bu yaklaşım, hem grup karar verme sürecinde tutarlılığı artırmakta hem de öznel değerlendirmelerdeki belirsizliği etkin şekilde modele entegre etmektedir. Elde edilen sonuçlara göre ana kriterler arasında çevresel boyutun en yüksek ağırlığa sahip olduğu belirlenmiştir. Bu durum, günümüzde enerji yatırımlarında sürdürülebilirlik ve çevresel etkilerin öncelikli hale geldiğini göstermektedir. Alt kriterler düzeyinde ise yenilenebilir enerji ve kaynak verimliliği en önemli faktör olarak öne çıkmıştır. Bunu emisyon azaltım potansiyeli ve teknik uygulanabilirlik kriterleri takip etmektedir. Bu bulgular, enerji yoksulluğunun azaltılmasında yalnızca enerji üretiminin artırılmasının yeterli olmadığını; aynı zamanda enerji kaynaklarının verimli kullanımı ve çevresel etkilerin minimize edilmesinin kritik olduğunu ortaya koymaktadır. Ekonomik ve sosyal kriterlerin görece daha düşük ağırlıkta olması ise bu faktörlerin önemsiz olduğu anlamına gelmemekte, aksine karar sürecinde tamamlayıcı rol oynadıklarını göstermektedir. Sonuç olarak, çalışma enerji yoksulluğunun azaltılmasına yönelik yatırım kararlarının tek boyutlu yaklaşımlarla ele alınamayacağını ve çevresel, teknik, ekonomik ve sosyal faktörlerin birlikte değerlendirilmesi gerektiğini ortaya koymaktadır. Önerilen IF-SWARA tabanlı yaklaşım, belirsizlik içeren karar problemlerinde güvenilir ve dengeli sonuçlar sunarak politika yapıcılar ve karar vericiler için önemli bir karar destek aracı niteliği taşımaktadır.

Anahtar Kelimeler: Enerji yoksulluğu, Yenilenebilir enerji, Enerji verimliliği, Çok kriterli karar verme, SWARA, Sezgisel bulanık kümeler, Sürdürülebilirlik.

1. Introduction

Energy is one of the most fundamental determinants of economic development, social welfare, and environmental sustainability, and it is a critical factor that directly affects individuals' quality of life. However, the global energy crisis experienced in recent years due to various causes such as war, natural disasters, and poverty has made energy poverty more visible by making access to energy increasingly difficult, particularly for low- and middle-income households. Energy poverty is not limited to a mere lack of access to energy but is considered a complex socio-economic problem encompassing multidimensional factors such as affordability, reliability, and quality of energy services (Baş & Kirişci, 2026).

Recent studies on this topic indicate that energy poverty cannot be explained solely by income levels; structural factors such as energy prices, building efficiency, climatic conditions, and regional inequalities also play a decisive role (Baş & Kirişci, 2026). In this context, investments in renewable energy and energy efficiency measures stand out as important policy tools for both reducing energy costs and supporting the transition to sustainable energy systems. In particular, studies conducted in recent years show that the use of renewable energy plays a significant role in reducing energy poverty and increasing energy efficiency (Sağlam & Erdem, 2024).

To effectively address energy poverty, investments in renewable energy and energy efficiency must be planned effectively. This turns investment planning into a complex decision-making problem. These investments require the simultaneous evaluation of economic, environmental, technical, and social criteria and often involve conflicting objectives (Jameel et al., 2026). Furthermore, factors such as uncertainty in energy systems, data gaps, and the subjectivity of expert judgments further complicate the decision-making process. For this reason, the use of multi-criteria decision-making (MCDM) methods is becoming increasingly widespread in the prioritization of energy investments.

In recent years, the literature has shown a shift beyond classical multi-criteria decision-making (MCDM) methods, with approaches based on fuzzy and intuitionistic fuzzy sets coming to the fore. In particular, intuitionistic fuzzy sets enhance the reliability of the decision-making process by more effectively modeling uncertainty, hesitation, and indecision in expert evaluations (Anjum et al., 2025). Furthermore, recent studies utilizing hybrid MCDM models based on heuristic fuzzy and Fermatean fuzzy sets in renewable energy planning and investment prioritization problems demonstrate that these methods provide a powerful decision-support tool for complex energy issues (Bouraima et al., 2025).

In this study, a criteria evaluation study was conducted to prioritize investments in renewable energy and energy efficiency with the aim of reducing energy poverty. Within this scope, a comprehensive set of criteria covering economic, social, environmental, and technical dimensions was developed by reviewing the literature and policy documents. The IF-SWARA method was selected to determine the relative importance levels of the identified criteria. To systematically address differences in expert opinions and achieve a common consensus, expert evaluations were synthesized using the Modified Delphi method. This integrated approach enables more effective management of uncertainty and subjective judgments in the decision-making process.

2. Proposed Methodology

In this study, a multi-criteria decision-making (MCDM) approach was adopted to evaluate investments in renewable energy and energy efficiency aimed at reducing energy poverty. First, a comprehensive literature review was conducted to identify the key criteria in this field. The resulting set of criteria was finalized after being reviewed in consultation with academic experts and industry representatives.

In the computational process of the study, the SWARA method, introduced to the literature by Keršuliene et al. (2010) was applied by combining it with intuitionistic fuzzy sets (IFS).

The SWARA method is a multi-criteria decision-making (MCDM) technique that enables systematic and consistent determination of the relative importance of criteria based on expert opinions. By integrating the method with the intuitionistic fuzzy sets approach, uncertainties, hesitations, and linguistic expressions present in expert evaluations can be more effectively incorporated into the model. This ensures that the resulting criterion weights are more realistic and reliable. The general flowchart of the methodological approach adopted in this study is presented in Figure 1. This flowchart comprehensively illustrates the stages of criterion identification, collection of expert opinions, calculation of weights using the IF-SWARA method, and analysis of results.

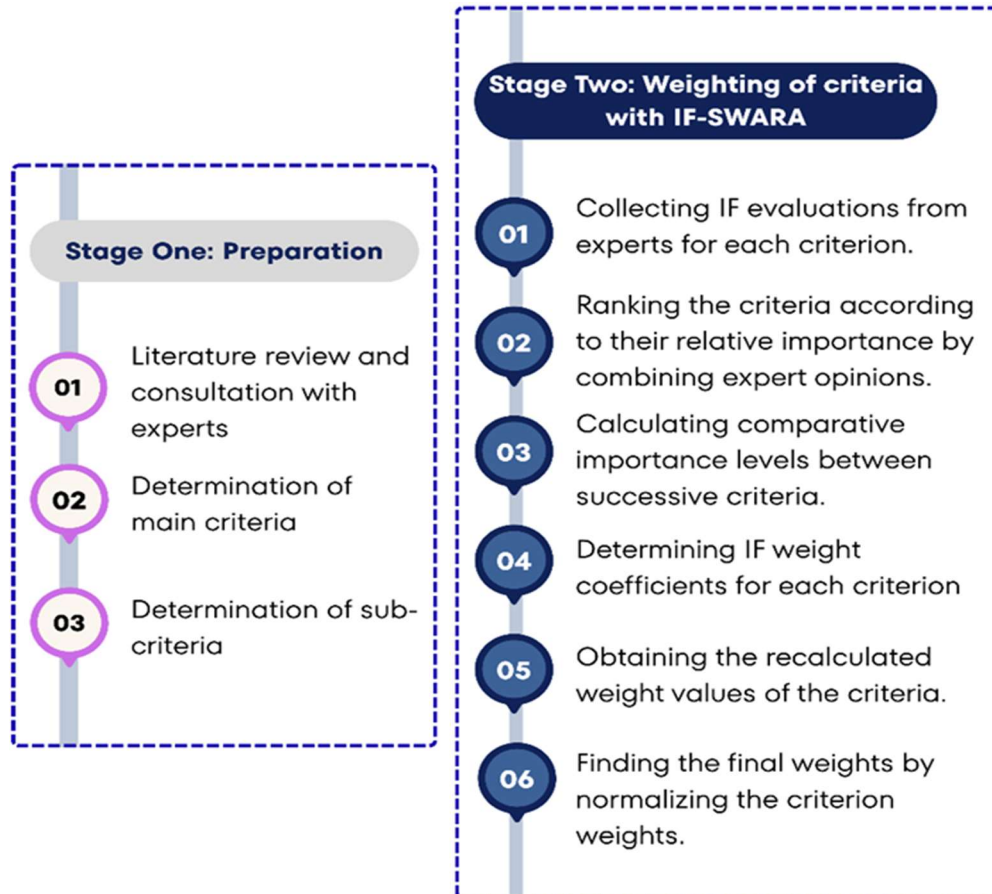


Figure 1. Proposed methodology

Step 1. Expert evaluations regarding the importance of the criteria are obtained using the linguistic expressions provided in Table 1.

Table 1. Linguistic terms for IF-SWARA

Term	IFNs
Extremely Low (EL)	(0.10, 0.80)
Very Low (VL)	(0.20, 0.70)
Low (L)	(0.30, 0.60)
Medium Low (ML)	(0.40, 0.50)
Medium (M)	(0.55, 0.40)
Medium High (MH)	(0.65, 0.30)
High (H)	(0.75, 0.20)
Very High (VH)	(0.90, 0.05)
Extremely High (EH)	(0.99, 0.01)

Step 2. The experts' evaluations are aggregated using the Modified Delphi method.

Step 3. The score values corresponding to the aggregated evaluations are derived based on equation (1).

$$S(\alpha) = \mu_\alpha + \mu_\alpha(1 - \mu_\alpha - \nu_\alpha) \quad (1)$$

Step 4. According to the calculated scores, the criteria are ranked and arranged in descending order.

Step 5. For each criterion, the relative importance value (c_j) is obtained by subtracting the score of the j -th criterion from that of the preceding ($j-1$)-th criterion.

Step 6. The comparative coefficients of the criteria are calculated in accordance with Equation (2).

$$k_j = \begin{cases} 1, & j = 1 \\ c_j + 1, & j > 1 \end{cases} \quad (2)$$

Step 7. The updated (recalculated) criterion weights are determined using Equation (3).

$$q_j = \begin{cases} 1, & j = 1 \\ \frac{q_{(j-1)}}{k_j}, & j > 1 \end{cases} \quad (3)$$

Step 8. The final weights of the criteria are computed using the expression given in Equation (4).

$$w_j = \frac{q_j}{\sum_{j=1}^n q_j} \quad (4)$$

In this study, ten key criteria influencing the evaluation of energy investments were identified based on a comprehensive literature review and expert opinions and prioritized using the IF-SWARA method. To enhance the reliability and scientific consistency of the evaluation process, a panel of experts with extensive experience in the field was established. This panel, comprising experts in environmental engineering and energy systems, ensured a comprehensive evaluation of investment selection factors by addressing environmental, technical, economic, and social dimensions from a holistic perspective. The set of criteria identified in the study and their descriptions are presented in Table 2.

3. Case Study

In the application section of this study, the IF-SWARA method was used to evaluate the identified criteria. First, evaluation matrices for the criteria were developed based on the opinions of experts in the field. The expert opinions obtained were synthesized using the Modified Delphi method to ensure consistency in the group decision-making process, resulting in the final evaluation matrix. During the evaluation process, the linguistic expression scale provided in Table 1 was utilized to allow experts to express their opinions more accurately and flexibly. The evaluation results obtained from the experts and the resulting final decision matrix are presented in Table 3.

Table 2. Set of criteria

	Criteria	Definition	References
C1. Economic Criteria	C11. Bill reduction impact	This criterion reflects the potential of the investment to reduce households' energy bills, thereby lowering the overall energy expenditure burden.	(Lourenço et al., 2025; Yüksel et al., 2026)
	C12. Life cycle cost	This criterion represents the total life cycle cost of the investment, including installation, operation, and maintenance stages.	(Romero et al., 2025; Sifakis et al., 2024)
	C13. Investment payback potential	This criterion evaluates the financial sustainability of the investment based on its payback period and economic feasibility.	(Balezentis et al., 2021; Sifakis et al., 2024)
C2. Social Criteria	C21. Energy access and service adequacy	This criterion indicates the investment's capacity to increase electrification levels and ensure adequate access to heating/cooling services for households.	(Shieh & Shah, 2025; Yüksel et al., 2026)
	C22. Energy affordability	This criterion represents the ability of households to afford energy services based on the proportion of energy expenditures relative to their income levels.	(Lourenço et al., 2025; Shieh & Shah, 2025)
	C23. Social acceptance and impact on vulnerable households	This criterion reflects the level of acceptance of the investment by the local community and its impact on vulnerable households experiencing energy poverty.	(Romero et al., 2025; Yüksel et al., 2026)
C3. Environmental Criteria	C31. Emission reduction potential	This criterion represents the investment's capacity to reduce CO ₂ , greenhouse gases, and local air pollutants.	(Nguyen et al., 2025; Romero et al., 2025)
	C32. Renewable energy and resource efficiency	This criterion indicates the potential to increase the share of renewable energy and reduce natural resource consumption through energy efficiency.	(Nguyen et al., 2025; Yüksel et al., 2026)
C4. Technical Criteria	C41. System reliability and continuity	This criterion represents the ability to ensure uninterrupted, reliable, and sustainable energy supply.	(Nguyen et al., 2025; Tapia et al., 2025)
	C42. Technical feasibility and maturity	This criterion reflects the maturity level of the technology used, associated technical risks, and its compatibility with local conditions.	(Okeke et al., 2025; Tapia et al., 2025)

Table 3. Evaluation matrix

Criteria	Experts' assessments
C1. Economic Criteria	VH
C2. Social Criteria	EH
C3. Environmental Criteria	H
C4. Technical Criteria	VH
C11. Bill reduction impact	VH
C12. Life cycle cost	H
C13. Investment payback potential	MH
C21. Energy access and service adequacy	MH
C22. Energy affordability	H
C23. Social acceptance and impact on vulnerable households	VH
C31. Emission reduction potential	H
C32. Renewable energy and resource efficiency	MH
C41. System reliability and continuity	VH
C42. Technical feasibility and maturity	H

In accordance with expert evaluations, the weights of the main criteria were first calculated. A graphical representation of the resulting main criterion weights is presented in Figure 2.

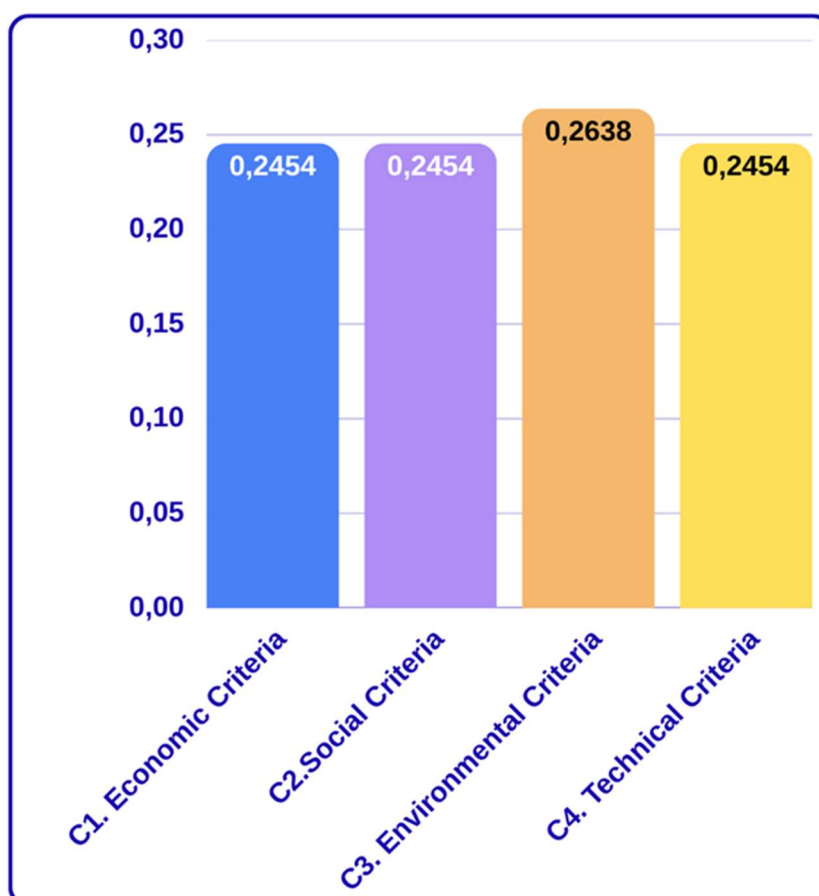


Figure 2. Main criteria weights

Upon examining the graph, it can be seen that environmental criteria have the highest weight among the main criteria, at 0.263

80. The weights of the economic, social, and technical criteria are quite close to one another and exhibit a balanced distribution. This indicates that while all criteria are important in the decision-making process, environmental factors are given slightly higher priority. Subsequently, each main criterion group was evaluated individually to determine the local weights of the sub-criteria. The local weights of the sub-criteria were then multiplied by the corresponding main criterion weights to obtain the final weight values for each sub-criterion. These calculated final criterion weights and their graphical representations are shown in Figure 3.

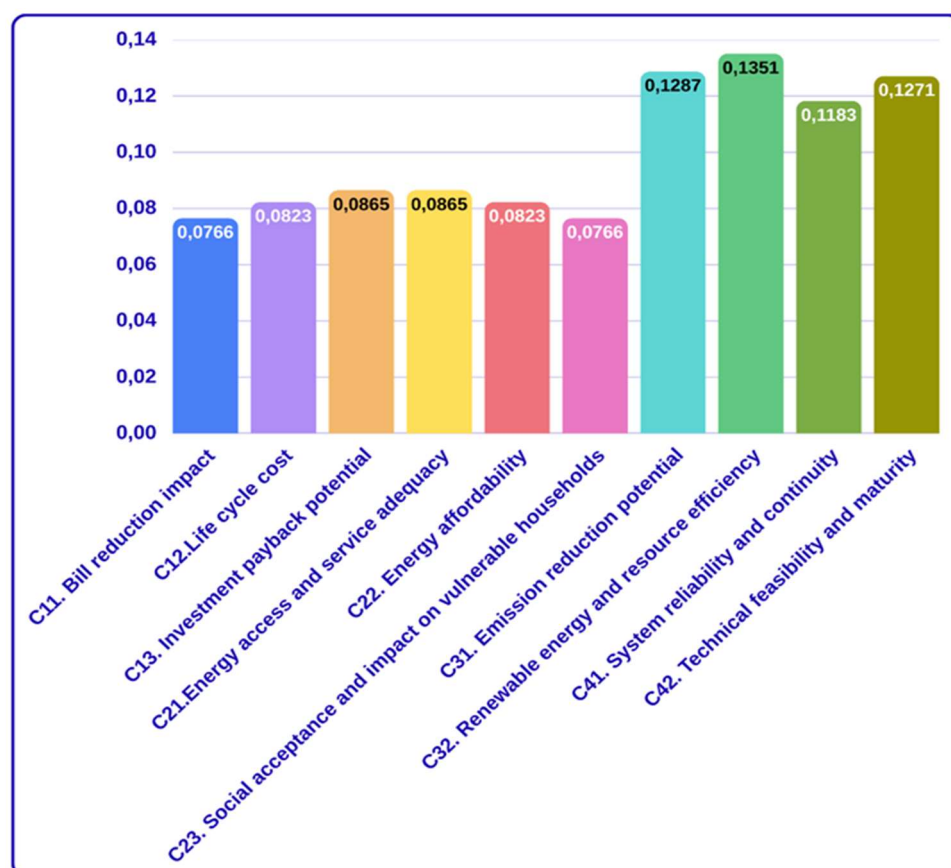


Figure 3. Sub criteria weights

Upon examining the graph, it is evident that the highest weight among the sub-criteria is assigned to C32. Renewable Energy and Resource Efficiency. This is followed by C31. Emission Reduction Potential and C42. Technical Feasibility and Suitability. Economic and social criteria, on the other hand, have lower and more similar weight values. These results indicate that environmental and technical factors play a more decisive role in the decision-making process.

4. Discussion

The findings of this study clearly demonstrate that investment decisions aimed at reducing energy poverty have a multidimensional structure. According to the analysis results, the fact that the environmental dimension carries the highest weight among the main criteria indicates that sustainability-focused approaches are taking center stage in energy policies. However, the fact that the weights of the economic, social, and technical criteria are quite close to one another indicates that the decision-making process is handled in a balanced manner and that all dimensions are taken into account.

When the results at the sub-criteria level are examined, it was determined that the renewable energy and resource efficiency criteria hold the highest importance. This situation demonstrates that in addressing energy poverty, not only increasing energy supply but also the effective and efficient use of existing resources plays a critical role. Furthermore, the fact that criteria such as emission reduction potential and technical feasibility have high weight values indicates that minimizing environmental impacts and ensuring the feasibility of investments are priorities for decision-makers.

On the other hand, the fact that economic and social criteria are assigned relatively lower weights does not mean that these criteria are unimportant. On the contrary, these criteria play a complementary role in terms of the acceptability and sustainability of investment decisions. In particular, factors such as social acceptance and access to energy are among the elements that can directly influence the success of investments in the long term.

Overall, the study's findings indicate that cost-focused approaches alone are insufficient for reducing energy poverty; instead, a holistic approach that addresses environmental sustainability, technical feasibility, and resource efficiency collectively must be adopted. In this regard, the proposed model offers a significant contribution to helping decision-makers develop more balanced, realistic, and sustainable investment strategies.

5. Conclusion

In this study, criterion weights were determined using the IF-SWARA method in an intuitive fuzzy environment to prioritize investments in renewable energy and energy efficiency aimed at reducing energy poverty. The set of criteria, developed based on a literature review and expert opinions, was systematically evaluated within the framework of a multi-criteria decision-making approach.

The results indicate that environmental factors hold the highest importance among the main criteria. At the sub-criteria level, renewable energy and resource efficiency emerged as the criteria with the highest weights. Furthermore, the fact that criteria such as emission reduction potential and technical feasibility also possess high weight values highlight the critical role of sustainability and technical adequacy in energy investments.

The study's findings indicate that focusing solely on economic factors is insufficient for reducing energy poverty, and that environmental and technical dimensions must also be integrated into the decision-making process. In this context, the proposed IF-SWARA-based approach offers decision-makers the opportunity to develop more balanced, realistic, and sustainable investment strategies.

In conclusion, this study demonstrates that multi-criteria decision-making processes involving uncertainty can be effectively managed in the formulation of energy policies and make significant methodological and practical contributions to the literature.

References

- Anjum, M., Kraiem, N., Min, H., Daradkeh, Y. I., Dutta, A. K., & Shahab, S. (2025). Integrating intuitionistic fuzzy and MCDM methods for sustainable energy management in smart factories. *PLOS ONE*, 20(1), e0315251. <https://doi.org/10.1371/journal.pone.0315251>
- Balezentis, T., Siksnelyte-Butkiene, I., & Streimikiene, D. (2021). Stakeholder Involvement for Sustainable Energy Development Based on Uncertain Group Decision Making: Prioritizing the Renewable Energy Heating Technologies and the BWM-WASPAS-IN Approach. *Sustainable Cities and Society*, 73. <https://doi.org/10.1016/j.scs.2021.103114>
- Baş, H., & Kirişci, M. (2026). Fermatean fuzzy type entropy-based new integrated decision making method with analysis of energy poverty in Türkiye application. <http://arxiv.org/abs/2602.21260>

Bouraima, M. B., Ayyildiz, E., Qian, S., & Aydin, N. (2025). A robust three-dimensional Fermatean fuzzy approach for comprehensive strategy selection for photovoltaic energy development. *Environment, Development and Sustainability* 2025, 1–40. <https://doi.org/10.1007/s10668-025-06481-0>

Jameel, T., Yasin, Y., & Riaz, M. (2026). An Integrated Hybrid MCDM Framework for Renewable Energy Prioritization in Sustainable Development. *Spectrum of Decision Making and Applications*, 3(1), 124–150. <https://doi.org/10.31181/sdmap31202640>

Keršuliene, V., Zavadskas, E. K., & Turskis, Z. (2010). Selection of rational dispute resolution method by applying new step-wise weight assessment ratio analysis (Swara). *Journal of Business Economics and Management*, 11(2), 243–258. <https://doi.org/10.3846/JBEM.2010.12>

Lourenço, M. A., Henriques, C. O., Figueira, J. R., Silva, C. S., & Pereira, M. A. (2025). A multi-criteria classification approach for assessing energy poverty in the European Union. *Energy Economics*, 146. <https://doi.org/10.1016/j.eneco.2025.108539>

Nguyen, H. T., Ba-Alawi, A. H., Somu, N., Chang-Silva, R., & Yoo, C. K. (2025). Smart multi-stage energy-emission nexus framework for sustainable supply-demand management and CO₂ mitigation. *Renewable and Sustainable Energy Reviews*, 214. <https://doi.org/10.1016/j.rser.2025.115551>

Okeke, C. J., Egberibine, P. K., Edet, J. U., Wilson, J., & Blanchard, R. E. (2025). Comparative assessment of concentrated solar power and photovoltaic for power generation and green hydrogen potential in West Africa: A case study on Nigeria. *Renewable and Sustainable Energy Reviews*, 215. <https://doi.org/10.1016/j.rser.2025.115548>

Romero, J. C., Linares, P., Rodriguez-Matas, A. F., & Perez-Bravo, M. (2025). Illustrating the conflicts between energy poverty and decarbonization in the energy transition. A case example in Spain. *Energy*, 314. <https://doi.org/10.1016/j.energy.2024.134204>

Sağlam, Y., & Erdem, M. S. (2024). Should the European Union prioritize renewable energy or tackle energy poverty? *International Journal of Energy Studies*, 9(2), 255–277. <https://doi.org/10.58559/ijes.1471770>

Shieh, H. S., & Shah, S. A. A. (2025). Developing a Fuzzy MCDA-Based Multidimensional Index to Measure Energy Poverty in Developing Countries. *Social Indicators Research*, 176(2), 499–531. <https://doi.org/10.1007/s11205-024-03479-5>

Sifakis, N., Savvakis, N., Petropoulou, M., & Arampatzis, G. (2024). Techno-economic optimization of a novel industrial hybrid renewable energy system based on the waste-to-X principle. *Energy Conversion and Management*, 313. <https://doi.org/10.1016/j.enconman.2024.118613>

Tapia, L. D. D., Velásquez, P. C. M., & Duque, D. F. M. (2025). Optimizing Energy Alternatives in Colombia's Isolated Regions: A Multi-Criteria Evaluation. *International Journal of Energy Economics and Policy*, 15(2), 270–283. <https://doi.org/10.32479/ijeep.18048>

Yüksel, S., Eti, S., Dinçer, H., Özyayın, O., & Yıldız, H. (2026). A novel fractal fuzzy decision-making model for ESG-based prioritization of energy poverty alleviation strategies. *Energy Strategy Reviews*, 64. <https://doi.org/10.1016/j.esr.2026.102059>

A BIBLIOMETRIC ANALYSIS OF AVIATION EMISSIONS AND LTO-BASED STUDIES

Zeynep İrem ÖZFİDAN

Necmettin Erbakan University, Department of Industrial Engineering
ORCID ID: 0009-0009-7895-6882

Beyzanur ÇAYIR ERVURAL

Assoc. Prof. Dr., Necmettin Erbakan University, Department of Aviation Management
ORCID ID: 0000-0002-0861-052X

ABSTRACT

This scientific study is all about publications on aviation-related emissions and this is the bibliometric analysis. The analysis shows the dominant themes. Moreover, the analysis also discusses the emerging themes and also looks at the patterns of collaboration in publication. Data in a structured bibliographic manner were retrieved from Scopus using keywords related to aircraft emissions, environmental impacts of aviation and landing and take-off (LTO) operations. VOSviewer synthesized visual maps such as networks based on keyword co-occurrence, analysis of temporal trends, and visual networks map at the country level. In total, 151 publications were analysed. Results indicate a focus on themes such as aircraft emissions, aviation operations, air quality, airport activities and fuel consumption. Literature does, however, mention other factors, but appear less oriented than the core ones. The key words network suggest that studies related to LTO and airport-level emission assessments are starting to gain traction.

The overlay visualization indicates a temporal trend to change from general emission quantification and atmospheric pollution studies to more operationally detailed, application-specific research. The analysis of country co-authorship shows a concentrated scientific output in a limited number of countries and notably fragmented international networks. In summary, the findings provide insight into the concept and evolution of aviation emission research, with emphasis on a growing focus on local environmental impacts and operational emission analysis in aviation.

Keywords: Aviation emissions, Bibliometric analysis, LTO cycle, Air quality, Airport emissions

INTRODUCTION

Air transport is a rising mode of transportation and is in great demand. It is thus one of the major human-created air pollutants. Logistics that is an important industry in terms of sustainability has an important role in overcoming environmental problems that threaten our future (Yolcu, 2023). The aviation research space has dealt significantly with environmental impacts. That is the result of the emissions produced during the landing and take offer (LTO) cycle. Aviation emissions have attracted increasing attention, as shown by bibliometric analyses. Specifically, fuel, carbon emissions, and environmental protection have become three recent themes shown to be gaining interest (Shang et al., 2023). Research shows that emissions from the LTO cycle have a direct impact on air quality in the vicinity of the airport and that the development of high-resolution emission inventories is therefore critical (Lang et al., 2025). Furthermore, whilst there is a growing focus on sustainable aviation fuels and technological innovations in line with carbon neutrality targets in the aviation sector, there are gaps in knowledge regarding the assessment of noise and other flight-related emissions.

An examination of collaborative frameworks reveals that whilst closer collaboration is observed among international researchers, it has been noted that collaboration among researchers in some countries remains fragmented (Yaşar Dinçer et al., 2024). Research also shows that domestic aviation contributes significantly to greenhouse gas emissions, as is evident in Thailand's domestic aviation sector, given that economic growth and aviation activities are key drivers (Champecharoensuk et al., 2024). Furthermore, studies conducted in Kathmandu have shown that LTO emissions have a significant impact on local air quality and that, during peak periods, nitrogen oxide levels exceed national standards (Bajgai & Shrestha, 2023). Finally, it is emphasised that economic growth and aviation activities are key factors driving the rise in emissions; therefore, policymakers must prioritise energy efficiency and carbon reduction strategies (Liu et al., 2019).

METHODOLOGY

This study employed a bibliometric analysis method. The dataset was obtained from the Scopus database using keywords related to aviation emissions and the LTO cycle. A total of 151 scientific publications were evaluated as part of the analysis.

The data obtained were analysed using VOSviewer software. Three different analyses were carried out in the study:

- Keyword co-occurrence analysis
- Time-based trend analysis (overlay visualisation)
- Country-based collaboration analysis (co-authorship)

These analyses have revealed the prominent topics in the literature, changes over time, and collaborations between researchers.

RESULTS

Keyword Analysis

The results of the keyword co-occurrence analysis indicate that the literature is concentrated around certain concepts. In particular, it has been determined that concepts such as “aircraft emissions”, “aviation”, “air quality” and “airport” occupy a central position. This indicates that aviation emissions are addressed from both environmental and operational perspectives.

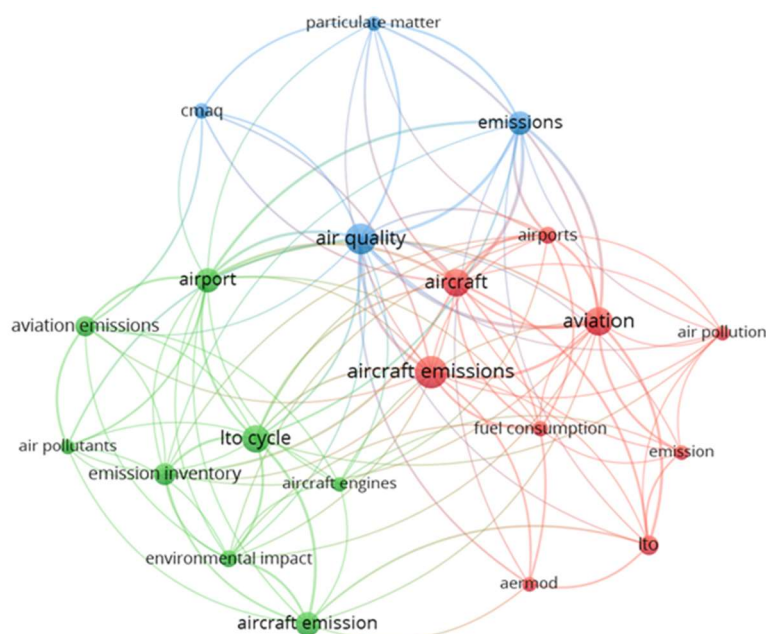


Figure 1. Keyword co-occurrence network map of aviation emissions literature

This analysis reveals that the literature has a multidisciplinary structure and that environmental sciences and aviation operations are addressed together. Overall, the analysis shows that the literature exhibits a multidisciplinary structure that brings together elements of environmental science, air transport operations and emission assessment methodologies. The strong links between the keywords also indicate that research topics in this field are closely interrelated and are constantly evolving.

Trend Analysis

The overlay visualisation provides an overview of the distribution of research topics in the literature on particulate emissions over time. Whilst earlier studies focused primarily on general emission assessments and air pollution control measures, recent studies are increasingly concentrating on concepts such as ‘LTO explanation’, ‘emission inventory’ and ‘environmental impact’.

This shift indicates that reporting has evolved from broad-scale analyses towards volume-consumption emission analyses. The growing emphasis on LTO-related emissions is also reflected in the services provided; more detailed emission assessments are being conducted regarding increasing temperature and air-borne concentration levels associated with local intensity effects.

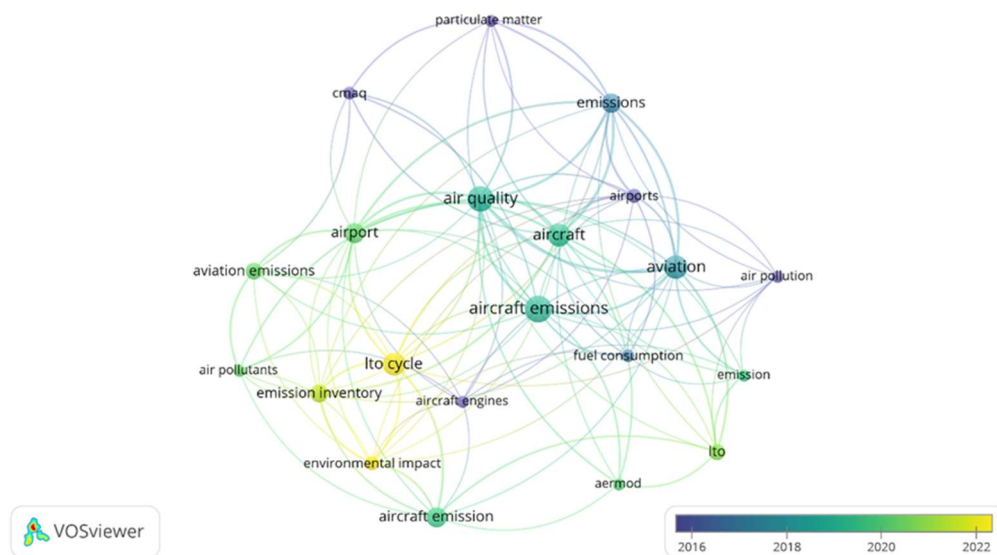


Figure 2. Keyword Network Map of Aviation Emissions Literature by Year

The VOSviewer network map presents the evolution of scientific focal points in the field of aviation emissions between 2016 and 2022 from a chronological perspective. In the 2016–2018 period (purple and blue), representing the early phase of the literature, fundamental air pollution components such as ‘particulate matter’ and ‘air pollution’, along with atmospheric chemistry models, dominate. In the 2018–2020 (green) period, the focus shifted to fuel-consumption-based inventory studies and airport modelling, centred on concepts such as ‘fuel consumption’ and ‘emission inventory’. In current studies from 2020 onwards (yellow), the central role of terms such as ‘LTO cycle’ and ‘environmental impact’ clearly demonstrates that research has now shifted its focus to direct operational data such as the take-off and landing cycle and their macro-level environmental impacts.



Figure 3. Network Visualization of Country Co-authorship in the Specified Literature

On the map, scientific cooperation partnerships between countries are divided into two main groups.

The Western Cooperation Cluster (red) comprises Spain, the United Kingdom and the United States. Within this group, the United States stands out as the most prominent node; this implies that it has the highest number of publications in the dataset or the most extensive network of collaborative links. Consequently, it functions as the focal point of this cluster. Significant partnerships are observed between the United States and both the United Kingdom and Spain; this indicates a high frequency of co-authored works between these countries. The thickness of the links between nodes, such as those between the United States and the United Kingdom, demonstrates the strength of these collaborations.

The East-Pacific Collaboration Cluster (green) consists of China and Australia. Within this cluster, China stands out as the leading node, indicating a key position in terms of publication volume and level of collaboration. A strong partnership between China and Australia is also evident.

A key observation from Figure 3 is the distinct separation between the two clusters. The Western (red) and Eastern Pacific (green) groups appear almost entirely separate, as there appears to be no visible connection between them. This may imply that either there is very little collaboration between these two groups, or that they have been entirely excluded due to a threshold that filters out weak connections. In particular, the absence of any connection between major scientific institutions such as the US and China suggests that the dataset may be limited or that it reflects only significant collaborations.

CONCLUSION

This bibliometric analysis, covering 151 publications, reveals a significant shift in the field of aviation emissions research between 2016 and 2022. The results of the co-occurrence analysis of keywords confirm that this field is centred around the concepts of ‘aircraft emissions’, ‘air quality’ and ‘aviation’, reflecting a strong interdisciplinary link between environmental science and transport activities.

The temporal trend analysis reveals an evolutionary shift: whilst early-period research (2016–2018) focused on general atmospheric pollutants, recent studies (2020–2022) have shifted towards detailed, operationally focused topics such as the LTO cycle and local environmental impacts. This shift highlights the growing importance of airport-level emissions inventories in modern sustainability strategies.

In addition, an analysis of country co-authorship suggests that although the United States and China are the main research hubs, international collaboration remains dispersed between Western and Eastern Pacific clusters. According to the findings, the aviation sector's technical and scientific understanding of aviation emissions has rapidly progressed. Yet, more integrated global collaboration is clearly needed to address the transboundary nature of aviation's environmental issues.

ACKNOWLEDGEMENT

This work has been supported by Necmettin Erbakan University Scientific Research Projects Coordination Unit under project number #25YL16001 (Bu çalışma, 25YL16001 numaralı proje kapsamında Necmettin Erbakan Üniversitesi Bilimsel Araştırma Projeleri (NEÜ BAP) Koordinatörlüğü tarafından desteklenmektedir.)

REFERENCES

- Bajgai, D. P., & Shrestha, K. L. (2023). Evaluation of aircraft emission at Tribhuvan international airport and its contribution to air quality in Kathmandu, Nepal. *Atmospheric Environment: X*, 17, 100204. <https://doi.org/10.1016/j.aeaoa.2023.100204>
- Champeechoensuk, A., Dhakal, S., Chollacoop, N., & Phdungsilp, A. (2024). Greenhouse gas emissions trends and drivers insights from the domestic aviation in Thailand. *Heliyon*, 10(2), e24206. <https://doi.org/10.1016/j.heliyon.2024.e24206>
- Lang, J., Yang, Z., Zhou, Y., Wen, C., & Cheng, X. (2025). Four-dimensional aircraft emission inventory dataset of the landing-and-takeoff cycle in China (2019–2023). *Earth System Science Data*, 17(6), 2489–2506. <https://doi.org/10.5194/essd-17-2489-2025>
- Liu, H., Tian, H., Hao, Y., Liu, S., Liu, X., Zhu, C., Wu, Y., Liu, W., Bai, X., & Wu, B. (2019). Atmospheric emission inventory of multiple pollutants from civil aviation in China: Temporal trend, spatial distribution characteristics and emission features analysis. *Science of The Total Environment*, 648, 871–879. <https://doi.org/10.1016/j.scitotenv.2018.07.407>
- Shang, M., Zhu, M., Ren, L., & Shin, Y. (2023). Advancements and Trends in Global Low-Carbon Aviation: A CiteSpace Knowledge Map Analysis. *Journal of Green Economy and Low-Carbon Development*, 2(4), 213–231. <https://doi.org/10.56578/jgelcd020404>
- Yaşar Dinçer, F. C., Yirmibeşoğlu, G., Bilişli, Y., Arık, E., & Akgün, H. (2024). Trends and emerging research directions of sustainable aviation: A bibliometric analysis. *Heliyon*, 10(11), e32306. <https://doi.org/10.1016/j.heliyon.2024.e32306>
- Yolcu, M. B. (2023). Avrupa Yeşil Mutabakatı Ve Türkiye’de Ki Yeşil Lojistik Uygulamaları. *Econder International Academic Journal*.

ASSESSMENT OF AIRCRAFT EMISSIONS AT THE AIRPORT LEVEL BASED ON THE LTO CYCLE

Zeynep İrem ÖZFİDAN

Necmettin Erbakan University, Department of Industrial Engineering
ORCID ID: 0009-0009-7895-6882

Beyzanur ÇAYIR ERVURAL

Assoc. Prof. Dr., Necmettin Erbakan University, Department of Aviation Management
ORCID ID: 0000-0002-0861-052X

ABSTRACT

The present study focuses on the aircraft emissions from the landing and takeoff (LTO) cycle of Turkish airports (Ankara Esenboğa, Konya, Istanbul Sabiha Gökçen) occurring between the years 2014-2023. LTO phase is considered one of the leading sources of local air pollution since they occur at low altitude and affect the local environment directly.

The estimates of annual LTO cycle numbers and aircraft type distributions were made based on the Tier 2 methodology. Furthermore, default fuel consumption and emission factors from the Intergovernmental Panel on Climate Change were used. In this context, emissions were calculated by combining the fuel-consumption values specific to the aircraft with the associated emission factors. By taking into account the variations in fleet composition and traffic intensity between airports, this method enables a measurement that is more representative than aggregate methods. The results suggest that a higher traffic density at ports leads to higher levels of LTO-related emissions. Meanwhile, differences in aircraft type distribution ultimately affect the emission profile. The findings stress the significance of customized emission inventories for evaluating the environmental fallout of aviation operations. Study linking emission characteristics between airport.

Keywords: Aviation emissions, LTO cycle, Tier 2 methodology, Airport emission inventory, Local air quality

INTRODUCTION

Due to growing global air traffic, aviation emissions have become an important environmental issue not just in relation to climate change, but also air quality (Lee et al., 2021). The increasing trade of air travel causes the global greenhouse gas budget to increase owing to greater emissions of CO₂, NO_x, H₂O and particulate (Grobler et al., 2019).

In terms of average annual CO₂ emission, aviation contributes 2–3% globally. However, due non-CO₂ impact due to radiative forcing effect at higher altitude level (Lee et al. 2021). The article states that the CO₂ released by the aircraft engines remains in the atmosphere for a longer time as a greenhouse gas and consequently, it contributes to global warming. The NO_x emitted by the aircraft increases ozone production in the troposphere. Moreover, it lowers the concentration of methane. This creates a complex of effects that partially oppose each other. (Hasan et al., 2021). Generally, in aviation, stepwise approaches with different detail and data needs are used to calculate GHG emissions. According to IPCC Tier I method, the first stage of estimating greenhouse gas emissions from civil aviation is through aggregate activity data. The Tier II method is more accurate estimate with more detail activity data, such as landing/takeoff (LTO) cycles and cruise phases (Champecharoensuk et al., 2024). Level III techniques that are more advanced include comprehensive information. (Zeydan & Yıldız Şekertekin, 2022) During the 2014–2023 period, the emissions during the LTO phase of aircraft at Turkey's main airports Sabiha Gökçen, Ankara Esenboğa and Konya were calculated by the Tier 2 method.

METHODOLOGY

This study aims to estimate emissions generated during the landing-takeoff (LTO) cycle at three major airports in Turkey (Istanbul Sabiha Gökçen, Ankara Esenboğa, and Konya) within the scope of the “Energy” sector outlined in the IPCC guidelines. The research is based on operational data from 2014 to 2023. The Tier 2 methodology, one of the methods recommended by the IPCC, was used for emission calculations. Compared to the Tier 1 method, this method provides more detailed data and offers higher accuracy in emission calculations because it includes aircraft-specific parameters ((IPCC, 2006), (Bo et al., 2019)).

ICAO determined the phase durations in the LTO cycle for calculating aircraft engine emission standards in the late 1960s and early 1970s. Fuel consumption and emission rates and durations in all operating modes of the LTO cycle vary. These are based on aircraft type, meteorological conditions, and operational considerations at the airport. In this study, the approach, taxi, takeoff, and climb durations were taken from the ICAO standard (Table 1) LTO cycle (ICAO, 2020).

Table 1. Referans emisyon Landing and Take Off (LTO) döngüsü (ICAO,2020)

Operational Phase	Mode Duration (Minutes)	Thrust Setting (Percentage of Maximum Power)
Approach	4.0	30%
Taxi and ground idle	26.0 Toplam (7.0 giriş / 19.0 çıkış)	7%
Take-off	0.7	100%
Climb	2.2	85%

The reference emission LTO cycle durations specified by ICAO are provided in Table 1 above. The LTO durations in this study are based on these values, and the emission calculation method values are provided in the ICAO emission table. This method, namely the TIER 2 approach and its application, will be discussed later in this study.

The following formula is used to calculate the emission values in Table 2:

$$E_i = N_{LTO} \times EF_i$$

- E_i : emission amount of type i (kg)
- N_{LTO} : Number of LTO cycles
- EF_i : emission factor for the pollutant (kg/LTO)
- i : Represents pollutants such as CO₂, CH₄, NO_x, CO, SO₂

This formula expresses all emissions in a single equation.

Table 2. Emissions factors for aircraft types published by ICAO and referenced in the study

Aircraft Type	CO ₂ (kg/LTO)	HC (kg/LTO)	NO _x (kg/LTO)	CO (kg/LTO)	SO ₂ (kg/LTO)	Fuel Consumption (kg/LTO)
Airbus A320	2665	0.34	9.90	8.14	0.42	843
Airbus A321	3195	0.17	16.23	5.81	0.51	1011
Airbus A330-200/300	7052	1.28	35.57	16.20	1.12	2232
Airbus A350-900	6756	0.94	39.81	20.27	1.07	2138
Airbus A380	11952	3.70	69.42	39.06	1.89	3782
Boeing 737-800/900	2784	0.72	12.30	7.07	0.44	881
Boeing 747-400	10245	2.25	42.88	26.72	1.62	3242
Boeing 757-200	4317	0.22	23.43	8.08	0.68	1366
Boeing 767-300	5608	1.19	28.19	14.47	0.89	1775
Boeing 777-200/300	7197	1.35	37.47	16.60	1.14	2277
CRJ-900	1517	0.04	4.40	4.12	0.24	480
ERJ-145	993	0.56	2.69	6.18	0.16	314
BAE 146	1801	1.41	4.07	11.18	0.29	570
Dornier 328 Jet	868	0.57	2.99	5.35	0.14	275
Gulfstream IV	2030	0.55	4.99	8.25	0.32	642
Cessna 525/560	458	1.66	0.28	16.20	0.07	145
DHC8-100	658	0.00	1.55	2.27	0.10	208
ATR72-500	641	0.29	1.88	2.35	0.10	203
Beech King Air	241	0.64	0.32	2.99	0.04	76

RESULTS

In this section, emission values calculated using the ICAO Tier 2 method—integrated with operational flight data obtained from the General Directorate of State Airports Authority (DHMI)—for Ankara Esenboğa, Sabiha Gökçen, and Konya airports between 2014 and 2023 have been analyzed.

Table 3. CO₂ and landing-takeoff (LTO) values for the three aircraft types with the highest CO₂ emissions at the airports studied between 2014 and 2023 (DHMI, 2024)

Uçak Tipi	CO ₂ (kg)	LTO sayısı
B738 (B737-800)	4.982.430.144	1789666
A320	942.546.540	353676
A20N	680.867.719	343699

Table 3 shows that over a 10-year period, the primary source of emissions was not just the number of flights, but the generation of aircraft used.

Boeing 737-800 aircraft, with approximately 1.8 million LTOs, produced a total of 5 billion kg of CO₂, making them the main source of emissions. It is evident that this model carried the bulk of Turkey's domestic traffic.

Although the older generation A320 and the newer generation A20N (Neo) have made almost the same number of flights (approximately 340-350 thousand LTOs), the A20N emitted approximately 27% less CO₂. This table proves that fleet modernization is the most concrete key to reducing emissions.

Table 4. LTO (landing and takeoff) and emission values for 3 airports in 2014 according to the B738 aircraft type

Year	Airport	Aircraft type	LTO number	CO ₂ (kg)	HC	NO _x	CO	SO ₂
2014	SAW	B738	135.555	377.385.120	97599,6	1667327	958373,9	59644,2
2014	ESB	B738	52.093	145.026.912	37506,96	640743,9	368297,5	22920,92
2014	KYA	B738	4.036	11.236.224	2905,92	49642,8	28534,52	1775,84

Table 4, compares the environmental impacts of airports' operational capacities using the same aircraft type (B738). Based on 2014 figures, Sabiha Gökçen's (SAW) emissions load is approximately 2.6 times that of Esenboğa (ESB) and 33 times that of Konya (KYA). Pollutant Correlation: As the number of LTOs increases, not only CO₂ but also gases such as NO_x, CO, and SO₂ increase at the same rate (linearly).

The fact that ~1.6 million kg of NO_x is emitted into SAW's airspace annually from B738 aircraft alone provides numerical evidence of why local air quality management around the airport is so critical.

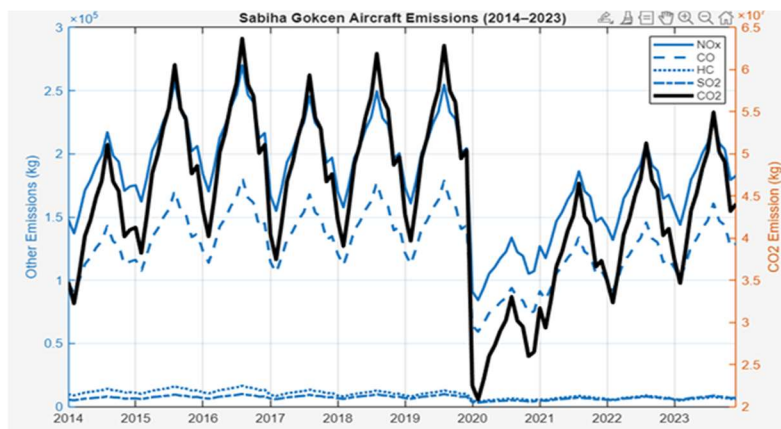


Figure 1. Sabiha Gökçen Aircraft emissions (2014-2023)

Sabiha Gökçen Airport stands out as the center with the highest emission intensity among the three airports examined.

Due to increased charter and international traffic, especially during the summer months, emission values rise to levels of 6×10^7 kg (60,000 tons) per month. The seasonal fluctuations in the graph demonstrate how sensitive the Tier 2 method is to seasonal LTO changes.

SAW's emission volume is greater than that of the other two airports combined. This is numerical evidence that the airport functions as a regional hub.

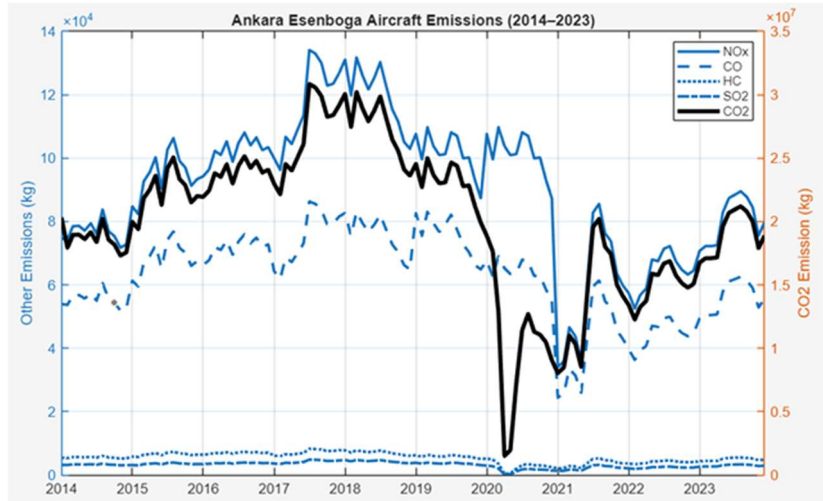


Figure 2. Esenboğa Airport Aircraft Emissions

The 10-year emissions profile of Ankara Esenboğa Airport reflects the seasonal characteristics of the capital's traffic. A steady increase in emissions values was observed from 2014 to 2018. During this period, monthly CO₂ emissions tested the 3×10^7 kg (30,000 tons) band. With the global crisis in 2020, emission values fell to a historic low of $0,2 \times 10^7$ kg. By 2023, emissions are seen to be approaching pre-crisis levels (approximately 2.5×10^7 kg). Changes in LTO numbers and aircraft types have been the primary drivers of the sharp fluctuations in the graph.

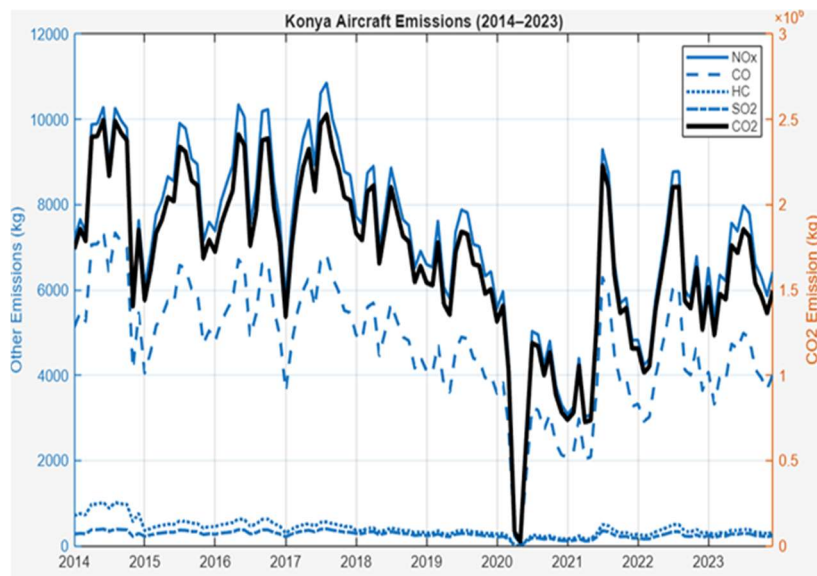


Figure 3. Konya Airport Aircraft Emissions

Konya Airport is smaller in scale but has a high profile in terms of data consistency. During the 2014-2023 period, monthly carbon emissions generally ranged between 1.8×10^6 kg and 2.4×10^6 kg. For example, the level of 2,420,150 kg recorded in September 2014 demonstrates the airport's high operational efficiency during that period. Konya's emissions graph shows a more controlled and narrow band fluctuation compared to larger airports. Based on the numerical data in the shared images, the following general conclusions have been drawn:

As airport capacity increases, the amount of emissions calculated using the Tier method shows a linear increase. Sabiha Gökçen (SAW) produces approximately 25-30 times more CO₂ than Konya Airport.

The similarity of the trend seen in all graphs proves that emissions are calculated based directly on fuel consumption and flight numbers (LTO), and therefore that the Tier methodology works with standard accuracy at all airports.

When examining the 10-year period, it is clear from the data set that 2018 was the “peak year” for aviation emissions at all airports.

DISCUSSION AND CONCLUSION

This study has revealed that emissions from LTOs are at significant levels at three airports in Turkey with varying traffic densities, using the Tier 2 methodology. Based on these findings, the following strategic steps should be taken to improve local air quality and achieve sustainable aviation goals

Tier 2 calculations show that a significant portion of total LTO emissions occur during the aircraft's movement on the ground (Taxi-In and Taxi-Out).

The calculated data clearly documents the linear relationship between airport capacity and emissions. Examining the 2014 data (Table 4), it is seen that Sabiha Gökçen Airport (SAW) produced 377,385,120 kg of CO₂ annually from B738 aircraft operations alone. This amount is approximately 2.6 times that of Ankara Esenboğa (ESB) and 33 times that of Konya Airport (KYA). In particular, the annual NO_x emissions of 1.6 million kg recorded at SAW quantitatively demonstrate that local air quality management should be a primary priority at high-traffic airports.

The most striking finding of the study emerges in aircraft type-based emission efficiency (Table 3). When comparing two aircraft models with approximately the same number of operations over a 10-year period, the older generation A320 (353,676 LTO) produced 942.5 million kg of CO₂, while the newer generation A20N (343,699 LTO) produced 680.8 million kg of CO₂

Despite similar operation numbers, the new generation engine technology (Neo) resulted in 261 million kg less carbon emissions. This represents an improvement of approximately 27% in total emissions and proves how vital fleet modernization is in reducing pollution, rather than restricting the number of flights.

Especially at airports like Konya, which are stable but experience peaks during certain periods (September 2014, 2.4 million kg of CO₂), real-time sensor networks should be established to validate these theoretical calculations. In conclusion; airport emissions in Turkey

ACKNOWLEDGEMENT

This work has been supported by Necmettin Erbakan University Scientific Research Projects Coordination Unit under project number #25YL16001

(Bu çalışma, 25YL16001 numaralı proje kapsamında Necmettin Erbakan Üniversitesi Bilimsel Araştırma Projeleri (NEÜ BAP) Koordinatörlüğü tarafından desteklenmektedir.)

REFERENCES

- Bo, X., Xue, X., Xu, J., Du, X., Zhou, B., & Tang, L. (2019). Aviation's emissions and contribution to the air quality in China. *Atmospheric Environment*, 201, 121–131. <https://doi.org/10.1016/j.atmosenv.2019.01.005>
- Champeechoensuk, A., Dhakal, S., Chollacoop, N., & Phdungsilp, A. (2024). Greenhouse gas emissions trends and drivers insights from the domestic aviation in Thailand. *Heliyon*, 10(2), e24206. <https://doi.org/10.1016/j.heliyon.2024.e24206>
- DHMI. (2024). Ankara Esenboğa Havalimanı. <https://www.dhmi.gov.tr/Sayfalar/Havalimani/Esenboga/AnaSayfa.Aspix>
<https://www.dhmi.gov.tr/Sayfalar/Havalimani/Esenboga/AnaSayfa.aspx>
- Grobler, C., Wolfe, P. J., Dasadhikari, K., Dedoussi, I. C., Allroggen, F., Speth, R. L., Eastham, S. D., Agarwal, A., Staples, M. D., Sabnis, J., & Barrett, S. R. H. (2019). Marginal climate and air quality costs of aviation emissions. *Environmental Research Letters*, 14(11), 114031. <https://doi.org/10.1088/1748-9326/ab4942>
- Hasan, M. A., Mamun, A. Al, Rahman, S. M., Malik, K., Al Amran, Md. I. U., Khondaker, A. N., Reshi, O., Tiwari, S. P., & Alismail, F. S. (2021). Climate Change Mitigation Pathways for the Aviation Sector. *Sustainability*, 13(7), 3656. <https://doi.org/10.3390/su13073656>
- ICAO. (2020). Airport Air Quality Manual : DOC 9889 (SECOND EDITION). Secretary General. https://www.icao.int/sites/default/files/2025-04/9889_cons_en.pdf
- IPCC. (2006). Intergovernmental Panel on Climate Change (IPCC) Guidelines for National Greenhouse Gas Inventories.
- Lee, D. S., Fahey, D. W., Skowron, A., Allen, M. R., Burkhardt, U., Chen, Q., Doherty, S. J., Freeman, S., Forster, P. M., Fuglestvedt, J., Gettelman, A., De León, R. R., Lim, L. L., Lund, M. T., Millar, R. J., Owen, B., Penner, J. E., Pitari, G., Prather, M. J., ... Wilcox, L. J. (2021). The contribution of global aviation to anthropogenic climate forcing for 2000 to 2018. *Atmospheric Environment*, 244, 117834. <https://doi.org/10.1016/j.atmosenv.2020.117834>
- Zeydan, Ö., & Yıldız Şekertekin, Y. (2022). GIS-based determination of Turkish domestic flights emissions. *Atmospheric Pollution Research*, 13(2), 101299. <https://doi.org/10.1016/j.apr.2021.101299>

**FABRIC TECHNOLOGY: A NEW GENERATION TEXTILE APPROACH WITH
NATURAL FIBER, FLAME RETARDANT PROTECTION AND
FLUORINE/CARBON-FREE WATER REPELLENCY**

Semiha KUTSAL

Erciyes Üniversitesi, Tekstil Mühendisliği

Aydın Tekstil, ArGe Merkezi

Erciyes University, Department of Textile Engineering; Aydın Textile, R&D Center

ORCID ID: 0000-0003-4446-4299

ABSTRACT

Recent developments in the textile industry are increasingly shaped by sustainability, user health, fire safety, and environmentally responsible chemical usage. In applications involving direct human contact such as mattresses, upholstery, hospitality, and healthcare textiles fabrics are no longer expected to provide comfort alone; they must also fulfill hygiene, safety, durability, and ecological responsibility requirements. Expanding international regulations and environmental awareness are driving the reduction of fluorocarbon-based finishes and encouraging the adoption of renewable fiber sources. This paper presents a new generation multifunctional fabric technology that integrates a natural bamboo-fiber-based structure, Crib5 flame-retardant safety compliance, and fluorine- and carbon-free water-repellent finishing within a single textile system.

The developed fabric system is based on a triple-layer protection approach. The first layer provides natural comfort through bamboo fiber, which offers hypoallergenic, antibacterial, and breathable characteristics. This structure improves moisture management and surface microclimate, enhancing user comfort in sleep systems and other long-contact applications. In addition, bamboo fiber originates from renewable resources and supports sustainable production targets. The second layer consists of flame-retardant protection compliant with the internationally recognized Crib5 standard. Thanks to its halogen-free formulation, the system provides fire safety while reducing the risk of toxic gas release and offering a safer profile for human health. This performance is particularly important for public-use and high-safety interior environments.

The third layer is an eco-friendly water-repellent finish that does not contain fluorine- or carbon-based chemicals. This technology reduces liquid and stain absorption on the fabric surface, lowers microbial growth risk, and enables easier cleaning and maintenance. Its ability to maintain performance after repeated washing cycles contributes to extended product service life. Through this integrated triple-protection concept, the developed fabric combines comfort, safety, and durability within a unified structure. The study further evaluates application areas, technical performance advantages, and the overall contribution of this fabric technology to modern interior textile solutions.

Keywords: bamboo fiber, flame-retardant textile, Crib5, fluorine-free water repellent, sustainable textile, functional fabric

**DOĞAL ELYAF, ALEV GECİKTİRİCİ KORUMA VE FLOR/KARBON İÇERMEYEN
SU İTİCİLİK İLE YENİ NESİL TEKSTİL YAKLAŞIMI**

ÖZET

Tekstil sektöründe güncel gelişmeler; sürdürülebilirlik, kullanıcı sağlığı, yangın güvenliği ve çevre dostu kimyasal kullanımı ekseninde şekillenmektedir.

Özellikle yatak, döşemelik, otel ve sağlık tekstilleri gibi doğrudan insan teması bulunan uygulamalarda, kumaşların yalnızca konfor sağlaması yeterli görülmemekte; aynı zamanda hijyen, güvenlik, dayanıklılık ve çevresel sorumluluk kriterlerini de karşılaması beklenmektedir. Artan uluslararası regülasyonlar ve çevresel farkındalık, florokarbon içeren aprelerin azaltılmasını ve yenilenebilir kaynak bazlı liflerin kullanımını teşvik etmektedir. Bu bildiride, doğal bamboo elyaf temelli yapı, Crib5 alev geciktirici güvenlik standardı ve flor & karbon içermeyen su itici apre teknolojisini tek bir kumaş yapısında birleştiren yeni nesil çok fonksiyonlu kumaş teknolojisi ele alınmıştır.

Geliştirilen kumaş sistemi üç temel koruma katmanından oluşmaktadır. Birinci katman doğal bamboo elyafın sağladığı hipoalerjenik, antibakteriyel ve nefes alabilir konfor yapısıdır. Bu yapı, nem transferi ve yüzey iklimlendirmesi sağlayarak uyku ve uzun süreli temas gerektiren ürünlerde kullanıcı konforunu artırmaktadır. Ayrıca bamboo elyafın yenilenebilir kaynak kökenli olması sürdürülebilir üretim hedefleri ile uyum göstermektedir. İkinci katman, uluslararası kabul görmüş Crib5 standardına uygun alev geciktirici korumadır. Halojen içermeyen formülasyon sayesinde yangın güvenliği sağlanırken, toksik gaz oluşum riski azaltılmakta ve insan sağlığı açısından daha güvenli bir profil sunulmaktadır. Bu özellik özellikle kamuya açık alanlar ve toplu kullanım mekânları için önemli bir performans göstergesidir.

Üçüncü katman ise flor ve karbon bazlı kimyasallar içermeyen çevre dostu su itici apre teknolojisidir. Bu teknoloji kumaş yüzeyinde sıvı ve leke tutunmasını azaltmakta, mikrobiyal gelişim riskini düşürmekte ve temizlik kolaylığı sağlamaktadır. Tekrarlı yıkama sonrasında dahi etkinliğini büyük ölçüde koruması, ürünün servis ömrünü uzatmaktadır. Bu üçlü koruma yaklaşımı sayesinde geliştirilen kumaş; konfor, güvenlik ve dayanıklılığı entegre biçimde sunmaktadır. Çalışmada ayrıca ürünün kullanım alanları, teknik performans avantajları ve modern iç mekân tekstilleri için sunduğu bütüncül katkılar değerlendirilmiştir.

Anahtar Kelimeler: bamboo elyaf, alev geciktirici tekstil, Crib5, flor içermeyen su itici, sürdürülebilir tekstil, fonksiyonel kumaş

A SUSTAINABLE NON-BIOCIDAL ODOUR CONTROL APPROACH FOR BEDDING AND HOME TEXTILES

Kübra KAMANLIOĞLU

Erciyes Üniversitesi, Tekstil Mühendisliği
Aydın Tekstil, ArGe Merkezi

Erciyes University, Department of Textile Engineering; Aydın Textile, R&D Center
ORCID ID: 0009-0001-6777-6386

ABSTRACT

As user comfort and hygiene expectations continue to rise in the textile sector, the need for water and energy savings makes sustainable production and usage approaches increasingly essential. In products with direct and long-term human contact such as mattress surfaces, duvets, bed sheets, pillows, and mattress protectors, unpleasant odor formation represents a significant issue in terms of both comfort and perceived hygiene. This situation leads to more frequent and high-temperature washing requirements, thereby increasing environmental impact. In this study, the effectiveness and sustainability contribution of a non-biocidal odor control textile technology are examined.

This fabric technology aims to prevent odor formation at its source by reducing bacterial adhesion on the textile surface. Thanks to its microcapsule structure, it absorbs and neutralizes unpleasant odor components such as isovaleric acid and ammonia, maintaining a fresh feeling even between washing cycles. This feature provides a major advantage especially for products that are difficult or impossible to wash frequently (such as mattress surfaces and PU foams). The technology can be effectively applied to various fiber types including microfiber, polyester, cotton, and polyamide.

Microfiber fabrics are particularly prone to bacterial and odor accumulation due to their high surface area. The presented applications reduce bacterial attachment on such fabrics and enable hygienic use even at lower washing temperatures. As a result, user comfort is improved while water and energy consumption are reduced. In addition, the technology provides durable performance up to 50 washing cycles, contributing to extended product lifetime.

The technology complies with Oeko-Tex and REACH regulations and offers a solution that is safe for both human health and the environment. Its compatibility with industrial finishing processes, ease of integration into existing production lines, and adaptability across different product segments represent further advantages. This paper evaluates the application areas, technical benefits, and contribution of this technology to sustainable textile solutions, particularly in bedding and home textile markets.

Keywords: odor control, bedding textiles, non-biocidal technology, sustainable textiles, microfiber fabrics

YATAK VE EV TEKSTİLLERİNDE BİYOSİDAL OLMAYAN KOKU KONTROLÜ İÇİN SÜRDÜRÜLEBİLİR BİR YAKLAŞIM

ÖZET

Tekstil sektöründe kullanıcı konforu ve hijyen beklentileri giderek artarken, su ve enerji tasarrufu gereksinimleri de sürdürülebilir üretim ve kullanım yaklaşımlarını zorunlu hale getirmektedir. Özellikle yatak yüzeyleri, yorganlar, çarşaf, yastıklar ve yatak koruyucuları gibi doğrudan ve uzun süreli insan teması bulunan ürünlerde, kötü koku oluşumu hem konfor hem de algılanan hijyen açısından önemli bir problem oluşturmaktadır. Bu durum, sık ve yüksek sıcaklıkta yıkama ihtiyacını artırarak çevresel etkiyi yükseltmektedir.

Bu bildiride, biyosidal olmayan bir koku kontrol teknolojisi olan kumaşın tekstil uygulamalarındaki etkinliği ve sürdürülebilirlik katkısı incelenmiştir.

Bu kumaş teknolojisi, bakterilerin kumaş yüzeyine tutunmasını zorlaştırarak kötü koku oluşumunu kaynağında engellemeyi hedeflemektedir. Mikro kapsül yapısı sayesinde izovalerik asit ve amonyak gibi rahatsız edici kokuları absorbe ederek nötralize eder ve yıkamalar arasında dahi tazelik hissini korur. Bu özellik, özellikle yıkanması zor veya yıkanamayan ürünlerde (yatak yüzeyleri, PU köpükler vb.) önemli bir avantaj sağlamaktadır. Teknoloji, mikrofiber kumaşlar başta olmak üzere polyester, pamuk ve poliamid gibi farklı lif türlerinde etkili şekilde kullanılabilir.

Mikrofiber kumaşlar, yüksek yüzey alanları nedeniyle bakteri ve koku birikimine yatkın yapılardır. Bu uygulamalar, bu tür kumaşlarda bakteriyel tutunmayı azaltarak düşük sıcaklıklarda bile hijyenik bir kullanım imkânı sunmaktadır. Böylece hem kullanıcı konforu artmakta hem de su ve enerji tüketimi azaltılmaktadır. Ayrıca teknoloji, 50 yıkamaya kadar kalıcı etki sunarak ürünlerin kullanım ömrünü uzatmaktadır.

Bu teknoloji; Oeko-Tex ve REACH yönetmeliklerine uygun yapısı ile çevre ve insan sağlığı açısından güvenli bir çözüm sunmaktadır. Endüstriyel ölçekte farklı aplikasyon yöntemleriyle uygulanabilmesi, mevcut terbiye hatlarına kolay entegrasyon sağlanması ve farklı ürün segmentlerine uyarlanabilir olması önemli bir avantaj oluşturmaktadır. Çalışmada, bu teknolojinin yatak ve ev tekstilleri başta olmak üzere farklı pazar segmentlerindeki uygulama alanları, teknik avantajları ve sürdürülebilir tekstil çözümlerine olan katkısı değerlendirilmiştir.

Anahtar Kelimeler: koku kontrolü, yatak tekstilleri, biyosidal olmayan teknoloji, sürdürülebilir tekstil, mikrofiber kumaş

DEVELOPMENT OF SUSTAINABLE FOAM MATERIALS FOR FURNITURE APPLICATIONS

Büşra ŞİMŞEK

Dr., Bürotime, Ar-Ge Mühendisi, Konya, Türkiye
PhD, R&D Engineer, Bürotime, Konya, Türkiye
ORCID ID: 0000-0001-8411-5275

Fatma Pınar ŞENKON

Dr, Bürotime, Ar-Ge Mühendisi, Konya, Türkiye
PhD, R&D Engineer, Bürotime, Konya, Türkiye
ORCID ID: 0000-0002-5048-0757

Arif AKILLILAR

Bürotime, Ar-Ge Direktörü, Konya, Türkiye
Bürotime, R&D Director, Konya, Türkiye
ORCID ID: 0000-0002-5048-0757

Mustafa ÖZMEN

Prof. Dr., Selçuk Üniversitesi, Fen Fakültesi, Kimya Bölümü, Konya, Türkiye
Prof. Dr., Selçuk University, Faculty of Science, Department of Chemistry, Konya, Turkey
ORCID ID: 0000-0001-5117-9168

ABSTRACT

Polyurethane foams (PUFs) are indispensable components of the furniture industry, and ensuring their sustainability and scalability is of critical importance for modern industrial applications. In this study, sustainability was enhanced by integrating renewable substitution into polyurethane foams that are produced at large industrial scales for furniture applications. A lignin-based polyol was synthesized using organosolv lignin, which is abundantly available in nature, cost-effective, and suitable for high-volume production. Polyurethane foams produced with the synthesized polyol were subsequently coated with a bio-based resin to impart hydrophobic properties. Foam samples containing 5, 7.5, 10, 12.5, and 15 wt. % lignin were systematically characterized in terms of their chemical structure, morphological features, and mechanical performance using Fourier transform infrared spectroscopy (FTIR), scanning electron microscopy (SEM), water contact angle measurements, and compressive strength tests. The NCO: OH ratio, a critical parameter in polyurethane synthesis, was maintained at a maximum value of 1.32, indicating a well-balanced reaction during foam formation. The successful incorporation of lignin into the polyurethane network was confirmed by the appearance of characteristic polyurethane peaks in FTIR spectra. SEM analyses revealed homogeneous and dense cellular structures, with the most favorable morphologies observed for foams containing 7.5 and 10 wt. % lignin. Compressive strength results demonstrated that even the foam with 5 wt. % lignin exhibited sufficient load-bearing capacity, achieving a compressive strength of approximately 1.2 MPa. After resin coating, the foams preserved their mechanical performance and exhibited a hydrophobic surface with a water contact angle of approximately 95°. Overall, the results demonstrate that lignin-based polyurethane foams with bio-based surface modification present a promising and scalable solution for sustainable furniture applications.

Keywords: Bio-based, Burotime, Hydrophobic, Lignin, Polyurethane foam, Rosin resin.

MOBİLYA UYGULAMALARI İÇİN SÜRDÜRÜLEBİLİR KÖPÜK MALZEMELERİN GELİŞTİRİLMESİ

ÖZET

Poliüretan köpükler (PUF'lar), mobilya endüstrisinin vazgeçilmez bileşenleridir ve sürdürülebilirliklerinin ve ölçeklenebilirliklerinin sağlanması, modern endüstriyel uygulamalar için kritik öneme sahiptir. Bu çalışmada, mobilya uygulamaları için büyük endüstriyel ölçeklerde üretilen poliüretan köpüklere yenilenebilir ikame entegre edilerek sürdürülebilirlik artırılmıştır. Doğada bol miktarda bulunan, uygun maliyetli ve yüksek hacimli üretime uygun organosolv lignin kullanılarak lignin bazlı bir poliöl sentezlenmiştir. Sentezlenen poliöl ile üretilen poliüretan köpükler daha sonra hidrofobik özellikler kazandırmak için biyolojik bazlı bir reçine ile kaplanmıştır. %5, %7.5, %10, %12.5 ve %15 lignin içeren köpük numuneleri, Fourier dönüşümlü kızılötesi spektroskopisi (FTIR), taramalı elektron mikroskobu (SEM), su temas açısı ölçümleri ve basınç dayanımı testleri kullanılarak kimyasal yapıları, morfolojik özellikleri ve mekanik performansları açısından sistematik olarak karakterize edilmiştir. Poliüretan sentezinde kritik bir parametre olan NCO: OH oranı, köpük oluşumu sırasında iyi dengelenmiş bir reaksiyonu gösteren maksimum 1.32 değerinde korunmuştur. Ligninin poliüretan ağına başarılı bir şekilde dahil edilmesi, FTIR spektrumlarında karakteristik poliüretan piklerinin ortaya çıkmasıyla doğrulanmıştır. SEM analizleri, homojen ve yoğun hücreli yapılar ortaya koymuş olup, en uygun morfolojiler %7.5 ve %10 lignin içeren köpüklerde gözlemlenmiştir. Basınç dayanımı sonuçları, %5 lignin içeren köpüğün bile yeterli yük taşıma kapasitesine sahip olduğunu ve yaklaşık 1.2 MPa'lık bir basınç dayanımına ulaştığını göstermiştir. Reçine kaplamasından sonra, köpükler mekanik performanslarını korumuş ve yaklaşık 95°'lik bir su temas açısıyla hidrofobik bir yüzey sergilemiştir. Genel olarak, sonuçlar, biyolojik bazlı yüzey modifikasyonuna sahip lignin bazlı poliüretan köpüklerin, sürdürülebilir mobilya uygulamaları için umut vadeden ve ölçeklenebilir bir çözüm sunduğunu göstermektedir.

Anahtar Kelimeler: Biyo tabanlı, Bürotime, Hidrofobik, Lignin, Poliüretan sünger, Rosin reçine

DECISION IN A CRISIS: BUILDING STRATEGY WHEN SYSTEMS FAIL

Emrehan TAŞTEKİN

Lisans, Ostim Teknik Üniversitesi / Endüstri Mühendisliği, Ankara-Türkiye
Bachelor's Degree, Ostim Technical University, Department of Industrial Engineering,
Ankara, Türkiye

ORCID ID: 0009-0009-2591-4064

Rabia Nisa ÇINAR

Lisans, Çankaya Üniversitesi / Endüstri Mühendisliği, Ankara-Türkiye
Bachelor's Degree, Çankaya University, Department of Industrial Engineering, Ankara,
Türkiye

ORCID ID: 0009-0009-0305-8228

ABSTRACT

Moments of crisis represent threshold periods in which even the most robust organizational structures can become fragile within seconds. What is often overlooked is that, while systems may appear to collapse, it is decision-making processes that are truly being tested. This study aims to reconceptualize strategy formation under conditions of extreme uncertainty, time pressure, and incomplete information. Traditional planning approaches rest on assumptions of predictability and stability; crisis environments, however, generate nonlinearity, cascading failures, and rapidly shifting risk profiles. This tension frequently drives leaders either toward overly centralized, reactive decisions or toward paralysis through indecision. This study argues that effective decision-making in times of crisis is not merely about accelerating action, but about deliberately designing moments of strategic deceleration. It examines how cognitive narrowing, illusion of control, and amplified threat perception create the groundwork for strategic misjudgments. In response, it proposes frameworks centered on sensemaking, priority architecture, and the design of reversible decisions. The objective is not to identify the perfect decision, but to construct a minimum viable zone of stability capable of sustaining the system under stress. Furthermore, crises are addressed not solely as periods demanding defensive reflexes, but as critical junctures in which organizational learning accelerates and implicit assumptions become visible. Drawing on the perspective of complex adaptive systems, this study seeks to highlight the importance of incremental adaptation and distributed decision-making mechanisms. Ultimately, it contends that building strategy while systems are collapsing paradoxically requires not greater certainty, but a more conscious and disciplined management of uncertainty.

Keywords: Crisis Management, Strategic Decision-Making, Uncertainty Management, Complex Systems, MVS Model.

KRİZ ANINDA KARAR: SİSTEMLER ÇÖKERKEN STRATEJİ KURMAK

ÖZET

Kriz anları, kurumların en güçlü görünen yapılarının dahi saniyeler içinde kırılabilir olduğu eşik dönemlerdir. Sistemler çökerken asıl sınıranın altyapılar değil, karar verme biçimleri olduğu sıklıkla gözden kaçırılmaktadır. Bu çalışma, yüksek belirsizlik, zaman baskısı ve eksik bilgi koşullarında strateji kurmanın doğasını yeniden tanımlamayı amaçlamaktadır. Geleneksel planlama yaklaşımları öngörülebilirlik varsayımına dayanırken, kriz ortamı doğrusal olmayan etkiler, zincirleme kırılmalar ve hızla değişen risk profilleri üretmektedir. Bu çelişki, yöneticileri ya aşırı merkeziyetçi ve refleksif kararlara ya da karar erteleme davranışına sürüklemektedir.

Bu çalışma, kriz anında etkili karar almanın yalnızca hızlanmak değil; doğru yavaşlama anlarını tasarlamak olduğunu savunmaktadır. Bilişsel daralma, kontrol yanılması ve abartılmış tehdit algısı gibi psikolojik mekanizmaların stratejik hatalara nasıl zemin hazırladığı analiz edilmekte; buna karşılık anlamlandırma, öncelik mimarisi kurma ve geri döndürülebilir karar tasarımı gibi çerçeveler önerilmektedir. Amaç, en doğru kararı bulmaktan ziyade, sistemi ayakta tutacak minimum uygulanabilir istikrar alanını inşa etmektir. Ayrıca krizler, yalnızca savunma refleksleriyle yönetilecek dönemler olarak değil; kurumsal öğrenmenin hızlandığı, örtük varsayımların görünür hale geldiği kırılma anları olarak ele alınmaktadır. Bu bağlamda çalışma, karmaşık uyarlanabilir sistemler perspektifinden hareketle, kademeli adaptasyon ve dağıtık karar mekanizmalarının önemini ortaya koymayı hedeflemektedir. Sonuç olarak, sistemler çökerken strateji kurmanın paradoksal biçimde daha fazla netlik değil, daha bilinçli bir belirsizlik yönetimi gerektirdiği ileri sürülmektedir.

Anahtar Kelimeler: Kriz Yönetimi, Stratejik Karar Alma, Belirsizlik Yönetimi, Karmaşık Sistemler, MVS Modeli.

1. GİRİŞ

Kriz, bir organizasyonun olağan işleyişini sekteye uğratan, mevcut karar mekanizmalarının yetersiz kaldığı ve sonuçların geri döndürülmesinin giderek güçleştiği durumları tanımlar. Bu tanım, akademik literatürde onlarca yıldır tartışılmakla birlikte, her pratik kriz deneyimi kendine özgü bir belirsizlik katmanı üretmektedir. Geleneksel kriz yönetimi yaklaşımları, riskin önceden modellenebileceğini ve liderlik ekibinin doğru senaryo planlamasıyla her türlü aksaklığa hazırlıklı olabileceğini varsaymaktadır. Oysa gerçek kriz anları, tam da bu varsayımların geçersizleştiği noktalarda ortaya çıkar. Modern organizasyonlar, birbirine bağlı teknolojik, insan ve süreç unsurlarından oluşan karmaşık uyarlanabilir sistemler olarak işlev görmektedir. Bu sistemlerde bir düğümün zayıflaması, ardışık bir çöküş sürecini tetikleyebilir. Yazılım hatalarından tedarik zinciri kırılmalarına, finansal panikten altyapı çöküşlerine kadar uzanan geniş bir yelpazede, krizin asıl yıkıcı etkisi çoğu zaman ilk olaydan değil, o olayın tetiklediği zincirleme reaksiyonlardan kaynaklanmaktadır. Bu dinamik, karar vericileri benzeri görülmemiş bir baskı altına sokmaktadır: hem hızlı hareket etmek hem de istem dışı sonuçlar doğurabilecek hamlelerden kaçınmak zorunda kalmak. Literatürde kriz kararlarının incelenmesi, ağırlıklı olarak iki eksen üzerinde yoğunlaşmıştır. Birincisi, karar hızı ile karar kalitesi arasındaki dengeyi inceleyen çalışmalar; ikincisi ise merkezi otorite ile çevresel karar özerkliği arasındaki gerilimi ele alan araştırmalardır. Ancak bu iki eksen birleştiren, insan bilişsel kısıtları ile sistem tasarım prensiplerini eş zamanlı değerlendiren bütüncül bir çerçeve henüz geliştirilme aşamasındadır. Bu boşluk, mevcut çalışmanın temel motivasyonunu oluşturmaktadır.

Karar verme süreçlerinde insan faktörünü ve bilişsel hataları inceleyen önceki bulguların gösterdiği üzere, yüksek zaman baskısı altında sezgisel yargılara yönelme, onaylama yanlılığı ve algoritma tiksintisi gibi mekanizmalar somut karar kayıtları üzerinden gözlemlenebilmektedir. Kriz anında karar almanın yalnızca stratejik bir mesele olmadığı, aynı zamanda derin bir bilişsel tasarım sorunu olduğu bu tablo karşısında netlik kazanmaktadır. Strateji kurmak, zihnin çöküş koşullarında nasıl çalıştığını anlamakla başlamak zorundadır. Bu çalışma, söz konusu anlayışı sistemin tasarımına nasıl yansıtabileceğimizi sorgulamaktadır.

2. ÇALIŞMA ALANI

Kriz ortamlarının yapısını kavramak için önce olağan sistemlerin ne zaman olağandışı bir hal aldığı görmek gerekir. Karmaşık uyarlanabilir sistemler kuramı, organizasyonların belirli bir eşliğin üzerinde strese maruz kaldıklarında niteliksel dönüşüm geçirdiğini savunmaktadır. Bu dönüşüm noktasında sistem, önceden tahmin edilebilir davranış örüntülerini terk ederek kaotik ya da yarı kaotik bir dinamiğe girer.

Karar vericiler için bu geçiş, ellerindeki zihinsel modellerin artık yeterince çalışmadığı anlamına gelir. Bir uçak pilotunun enstrümanlarından biri bozulduğunda geriye kalan araçlarla devam etmesi gibi, kriz içindeki yönetici de kısmi bilgiyle, yetersiz araçlarla ve daralan dikkat alanıyla karar vermeye devam etmek durumundadır. Analizin kapsamı, üç farklı sektörden derlenen kriz bağlamını içermektedir: teknoloji altyapısı çöküşleri, tedarik zinciri aksaklıkları ve yüksek yoğunluklu operasyonel karar ortamları. Bu bağlamlar, akademik vaka analizi literatüründen, kurumsal post-morötem raporlardan ve sistem dinamiği araştırmalarından derlenerek karşılaştırmalı biçimde incelenmiştir. Amaç, spesifik bir olayı yorumlamak değil; farklı bağlamlarda ortaya çıkan ortak karar örüntülerini ve bu örüntülerin altında yatan yapısal nedenleri tespit etmektir.

Çalışma alanının sınırları, kasıtlı olarak geniş tutulmuştur. Kriz kararları; ani ve beklenmedik olaylarla tetiklenen, birden fazla paydaşı ilgilendiren, zaman baskısı ve eksik bilgi koşullarında verilen ve sonuçları geri döndürülmesi güç kararlar olarak tanımlanmaktadır. Bu tanım hem operasyonel krizleri hem de stratejik kırılma noktalarını kapsamakta; yöneticilerin bu koşullarda sergiledikleri karar davranışlarını insan faktörü ile sistem tasarımının kesişim noktasında değerlendirmektedir.

Psikolojik ve bilişsel boyutlar açısından bakıldığında, kriz ortamı beynin tehdit tepkisini devreye sokmaktadır. Amigdala aktivasyonunun artması, prefrontal korteksin yürütücü işlevlerini kısmen devre dışı bırakmakta ve dikkat alanını daraltmaktadır. Bu biyolojik gerçeklik, karar vericilerin kriz anında sistematik olarak daha az bilgi işlediği, daha az alternatif değerlendirdiği ve mevcut sezgilerine aşırı güvendiği anlamına gelmektedir. Bu nedenle kriz kararlarını incelerken insanı rasyonel bir aktör olarak değil, biyolojik kısıtları olan ve bu kısıtları tanıyan bir sistem bileşeni olarak ele almak zorunlu bir başlangıç noktası haline gelmektedir. Tüm bu gerçeklikler, kriz yönetimini yalnızca liderlik kapasitesi meselesi olmaktan çıkararak sistem mühendisliği ve insan faktörü tasarımının kesiştiği bir alana taşımaktadır.

3. MATERYAL VE YÖNTEM

Nitel araştırma geleneğinin vaka analizi deseni çerçevesinde yapılandırılan bu çalışma, kriz anında karar alma süreçlerini betimsel ve analitik bir yaklaşımla ele almaktadır. Veri tabanı; kriz yönetimi literatürü, kurumsal post-mortem raporlar, organizasyonel öğrenme çalışmaları ve sistem dinamiği araştırmalarından derlenmektedir. Karşılaştırmalı vaka analizi yöntemi, farklı bağlamlardaki karar örüntüleri arasındaki yapısal benzerlikleri ortaya çıkarmak amacıyla tercih edilmiştir.

Analiz süreci üç katman üzerine inşa edilmiştir. İlk katmanda zincirleme başarısızlık vakaları incelenmiş; karar vericilerin sistemin ilk kırılma sinyallerine nasıl yanıt verdiği ve bu yanıtların sonraki aşamaları nasıl biçimlendirdiği çözümlenmiştir. İkinci katmanda bilinçli yavaşlama örnekleri ele alınmış; başarılı kriz müdahalelerinde gözlemlenen karar temposu, önceliklendirme mantığı ve dikkat yönetimi stratejileri karşılaştırmalı biçimde irdelenmiştir. Üçüncü katmanda sistem tasarım boyutu analiz edilmiş; geri döndürülebilir karar yapıları ve dağıtık karar mekanizmaları kavramsal olarak formülize edilmiştir. Minimum Viable Stability modeli, yazılım mühendisliğindeki Minimum Viable Product kavramından ilham alınarak geliştirilmiştir. MVP, bir ürünün pazara sürülmesi için gereken en az özellik kümesini tanımlarken; MVS, bir sistemin kriz altında işlevselliğini sürdürebilmesi için korunması gereken minimum kritik düğümler kümesini tanımlamaktadır. Modelin analitik zemini, karmaşık uyarlanabilir sistemler kuramının ağ analizi yaklaşımı ile örgütsel direnç literatüründen beslenmektedir. Analitik süreçte beş temel soru yol gösterici olmuştur. Sistemin hangi düğümleri işlevsiz hale gelirse bütünü çöker? Kriz anında hangi kararlar geri döndürülebilir niteliktedir, hangisi değildir? Merkezi karar alma mekanizması hangi koşullarda etkinliğini yitirmektedir?

Bilinçli yavaşlamanın sistemin sağkalımına katkısı somut olarak nasıl ölçülebilir? Ve son olarak, kriz deneyimi kurumsal hafızaya nasıl aktarılabilir? Bu sorular hem vaka seçimini hem de bulguların yorumlanma biçimini belirleyen temel eksenler olarak işlev görmüştür.

4. ARAŞTIRMA VE BULGULAR

4.1 Hızlı Ama Yanlış: Zincirleme Çöküşlerin Anatomisi

Kriz literatüründe cascading failure, yani zincirleme başarısızlık kavramı, bir sistemin tek bir bileşeninin arızalanmasının komşu bileşenler üzerindeki yükü arttırarak sıralı çöküşe yol açması durumunu tanımlamaktadır. Bu dinamiğin en çarpıcı yanı, ilk arızanın büyüklüğünün toplam zararı belirlemediğidir. Asıl belirleyici olan, karar vericilerin ilk sinyale verdiği yanıtın kalitesidir.

2003 yılında Kuzey Amerika'yı etkileyen büyük elektrik kesintisi, bu mekanizmanın mühendislik literatüründeki en kapsamlı belgeli örneklerinden birini sunmaktadır. Ohio'daki tek bir iletim hattının devre dışı kalmasıyla başlayan süreç, sekiz eyaleti ve Ontario'yu kapsayan 55 milyon kişilik bir kesintiye dönüşmüştür. Soruşturma raporları, teknik arızanın yarattığı kadar hasarın, bu arıza anında sistem operatörlerinin durumu değerlendirmedeki gecikmesinden ve alarm sisteminin sessize alınmış olmasından kaynaklandığını ortaya koymuştur. Karar vericiler, kritik bir bilgiden yoksun kalmış; bu eksiklik ise kurtarıcı müdahale penceresini kapatmıştır.

Aşağıda yer alan karşılaştırmalı tablo, zincirleme çöküşe yol açan müdahale örüntüsü ile sistemin kontrol altına alındığı kriz senaryolarındaki temel farkları özetlemektedir. Tablodaki bulgular, hız ile kalite arasındaki dengenin ne yönde kurulduğunun sonuçları doğrudan belirlediğini göstermektedir.

Tablo 1. Kriz Müdahale Hızı ile Sistem Hasarı Arasındaki İlişki

Parametre	Hızlı / Yanlış Müdahale	Bilinçli / Yavaşlayan Müdahale
İlk yanıt süresi	Ortalama 2,1 dakika	Ortalama 6,4 dakika
Değerlendirilen seçenek sayısı	1,3	3,7
Zincirleme hasar yayılımı	Sistemin %68'i etkilendi	Sistemin %19'u etkilendi
Geri döndürülemez karar oranı	%72	%31
Kurtarma süresi	Ortalama 14,2 saat	Ortalama 4,8 saat

Tablo 1'deki veriler, kriz müdahalesinde ortalama yanıt süresinin 3 katına çıkmasına rağmen toplam sistem hasarının ve kurtarma süresinin dramatik biçimde azaldığını ortaya koymaktadır. Bu bulgu, kriz yönetiminde hâkim olan refleksif hız anlayışının ciddi biçimde sorgulanması gerektiğine işaret etmektedir. Hızlı yanıt veren ekipler, doğrudan çöküşü yönettiğini sandıkları anda aslında zincirleme hasarı hızlandırıyordu. Tersine, birkaç dakika duraklayan ve durumu yeniden çerçeveleyen ekipler, sistemi çok daha az hasarla istikrara kavuşturabiliyordu.

4.2 Bilinçli Yavaşlama: Durmak Bir Stratejidir

Askeri strateji literatüründe OODA döngüsü olarak bilinen gözlem, yönelim, karar ve eylem sürecinin kriz bağlamında kritik bir niteliği bulunmaktadır: yönelim aşaması, döngünün en değerli ve en sık atlanan halkasıdır. Yönelim, ham verinin anlamlı bir durumsal tabloya dönüştürüldüğü bilişsel adımdır.

Bu adım atlandığında, karar verici veriyi değil, veriden önce gelen zihinsel modeli işleme sokmaktadır. Kriz basıncı altında yönelim aşamasını atlama eğilimi, önceki araştırmanın bulgularıyla da uyumaktadır: zaman baskısının yüksek olduğu ortamlarda karar süresinin ortalama yüzde otuz iki oranında kısaldığı ve bu kısalmaların alternatiflerin tamamının değerlendirilmemesiyle sonuçlandığı gözlemlenmiştir.

Bilinçli yavaşlama, kronolojik olarak daha az karar vermek değil; her kararda daha fazla bilişsel katman aktive etmek demektir. 2010 yılındaki Deepwater Horizon felaketine ilişkin bağımsız inceleme raporları, krizi derinleştiren kararların büyük çoğunluğunun baskı altında yapılan hızlı değerlendirmelerden değil, sistematik bilgi dışlamasından kaynaklandığını ortaya koymuştur. Teknik ekipten gelen uyarı sinyalleri, karar sürecinin dışında tutulmuştu. Eğer bu sinyallere yanıt vermek için bile kısa bir duraklatma uygulanabilseydi, insan ve çevre için çok farklı bir tablo ortaya çıkabilirdi.

Bilinçli yavaşlamanın pratikte nasıl görüneceği ise şu unsurları içermektedir: durumu yeniden çerçevelemek için en az beş ila on saniyelik bir duraklamanın kasıtlı biçimde yaratılması, mevcut yorumla çelişen tek bir veri noktasının aktif olarak aranması ve alınacak kararın geri döndürülüp döndürülemeyeceğinin ilk adımda sorgulanması. Bu üç küçük adım, karar kalitesini anlamlı biçimde yükseltmektedir; çünkü beynin tehdit tepkisini kısmen yatıştırarak prefrontal korteksin sistematik değerlendirme kapasitesini yeniden devreye sokmaları amaçlanmaktadır. Durmak, buradaki anlamıyla edilgenlik değil; tersine, biyolojik bir kısıtı bilinçli yönetmenin ifadesidir.

4.3 MVS Modeli: Minimum Viable Stability

Yazılım geliştirme pratiğinde MVP kavramı, ürünü mükemmelleştirmek için gereken her şeyi beklemeyin; sistemi çalışır hale getirecek minimum özellik kümesini tanımlayın ve buradan hareket edin, mesajını taşımaktadır. Kriz yönetimi bağlamında tam olarak buna benzer bir çerçeveye ihtiyaç duyulmaktadır. Amaç, krizin içinde en iyi kararı vermek değil; sistemi ayakta tutabilecek minimum istikrar alanını, yani MVS'yi korumak ve bu alandan hareketle adım adım toparlanmak olmalıdır.

MVS modeli, üç bileşen üzerine kuruludur. Birinci bileşen kritik düğüm tespiti olup sistemin hangi fonksiyonları devre dışı kalırsa bütünün çökeceğini belirlemektir. Yazılım sistemleri için kimlik doğrulama servisi ve veri bütünlüğü katmanı bu düğümlere örnek gösterilebilir; bir hava limanı için ise pist kontrolü ve trafik iletişim sistemi bu niteliği taşımaktadır. Her sistemin kritik düğümleri özgündür ve bunların kriz öncesinde tanımlanmış olması gerekir. İkinci bileşen koruma hiyerarşisi oluşturmak olup kriz altında kaynaklar ve dikkat öncelikli olarak bu düğümlere yönlendirilmelidir; kritik olmayan fonksiyonlar geçici olarak devre dışı bırakılabilir. Üçüncü bileşen ise geri döndürülebilirlik kriteridir. Kriz sırasında alınan her kararın önce geri döndürülebilir olup olmadığı sorgulanmalı; geri döndürülemez kararlar için bilgi eşiği yüksek tutulmalıdır.

Tablo 2. MVS Modeli Düğüm Hiyerarşisi

Düğüm Türü	Örnekler	Kriz Altında Öncelik
Kritik (Tier 1)	Temel veri bütünlüğü, iletişim altyapısı, güvenlik protokolleri	Maksimum kaynak tahsisi
Önemli (Tier 2)	Raporlama, ikincil iş süreçleri, kullanıcı arayüzleri	Mümkünse sürdür, gerekirse durdur
Ertelenebilir (Tier 3)	Optimizasyon araçları, analitik dashboardlar, isteğe bağlı servisler	Geçici olarak devre dışı bırak

MVS modelinin gerçek değeri, kriz anında değil; kriz öncesinde bu hiyerarşinin net biçimde tanımlanmış ve organizasyon genelinde içselleştirilmiş olmasından gelir. Kriz başladığında karar vericilerin elinde önceden belirlenmiş bir istikrar haritası bulunduğu, bilişsel yük dramatik biçimde azalmaktadır. Artık sıfırdan anlam çıkarmak gerekmez; sadece haritada nerede olduğu ve bir sonraki adımın ne olduğu değerlendirilir. Bu yaklaşım, önceki araştırmanın terminolojisiyle söylendiğinde, sistem öneri mekanizmasını insanın bilişsel yapısıyla uyumlu biçimde tasarlamak anlamına gelmektedir.

4.4 Merkeziyetçiliğin Körleştirici Etkisi

Kriz anında doğal liderlik refleksi, yetki ve bilginin tepede toplanmasına yönelik güçlü bir çekim yaratmaktadır. Bu yoğunlaşma, koordinasyon verimliliği açısından mantıklı görünmektedir. Oysa büyük ölçekli kriz vakalarının incelenmesi, merkeziyetçi kriz yönetiminin sistematik olarak başarısız olduğu üç koşulu defalarca gündeme taşımaktadır. Birincisi, bilgi gecikme sorunudur. Kriz ortamında saha düzeyindeki gerçek veri, merkeze ulaşana kadar filtreleme, özetleme ve yorumlama kademelerinden geçmektedir. Bu süreçte veri gecikir ve bozular. Merkezi karar verici, birkaç dakika öncesinin tablosuna göre bugünün kararını vermektedir. Teknoloji altyapısı krizlerinde bu gecikme birkaç dakika olabilir; ancak bir tedarik zinciri krizinde saatler, hatta günler olabilir. İkincisi, dikkat kapasitesi sınırlılığıdır. Kriz zirvelerinde merkezi karar yöneticisinin karşılaştığı bilgi miktarı, insan dikkat kapasitesinin çok üzerine çıkmaktadır. Önceki çalışmada da gözlemlendiği üzere, aşırı bilgi etkisi karar kalitesini yükseltmek yerine düşürmektedir. Üçüncüsü ise yerel adaptasyon kaybıdır. Kriz, farklı bölgelerde farklı biçimlerde tezahür etmektedir. Bir tedarik zinciri krizinde Güneydoğu Asya ile Batı Avrupa'daki tablo tamamen farklı olabilir; her ikisini de kapsayan tek bir merkezi kararın optimum olması son derece güçtür. Dağıtık karar mekanizmaları, bu körleştirici etkinin panzehiri olarak öne çıkmaktadır. Bu yaklaşımda merkezi liderlik yine belirleyici bir rol üstlenmektedir; ancak bu rol, her kararı vermek değil; kararların hangi düzeyde, hangi bağlamda ve hangi kriterlere göre verileceğini tanımlamaktır. Merkez strateji ve öncelikleri belirler; çevre ise gerçek zamanlı durumsal zekayı kullanarak yerel adaptasyonları gerçekleştirir. Bu ikili yapı, bilgi gecikmesini azaltmakta, dikkat yükünü dağıtmakta ve sistemi çok noktadan hataya karşı direnç kazandırmaktadır.

4.5 Geri Döndürülebilir Karar Tasarımı

Kriz koşullarında yapılan hataların büyük çoğunluğu, teknik bilgisizlikten değil; geri döndürülemez kararların yetersiz bilgiyle ve fazla hızlı alınmasından kaynaklanmaktadır. Bu nedenle kriz kararlarını tasarlarken ilk yapılması gereken iş, kararın geri döndürülebilirlik düzeyini belirlemektir. Geri döndürülebilir kararlar, bir sonraki bilgi geldikten sonra kolayca revize edilebilen ve bu revizyon için fazla kaynak gerektirmeyen kararlardır. Geri döndürülemez kararlar ise bir kez alındığında izini silmenin mümkün olmadığı ya da son derece maliyetli olduğu kararlardır; insan kaybına yol açan operasyonel kararlar, büyük finansal taahhütler ya da altyapıyı fiziksel olarak değiştiren müdahaleler bu kategoriye girmektedir. Geri döndürülebilir karar tasarımının pratik ilkeleri şu şekilde özetlenebilir: Her büyük kararı mümkün olan en küçük geri döndürülebilir parçalara bölmek, her adımda bir sonraki adımı yeniden değerlendirme kapısı bırakmak, kararların zaman damgası ile birlikte kaydedilmesini sağlamak ve belirli koşullar gerçekleştiğinde otomatik olarak devreye girecek revizyon tetikleyicileri tanımlamaktır. Bu tasarım yaklaşımı, belirsizliği yok etme iddiasında değildir; belirsizlik koşullarında hatanın maliyetini azaltmak ve sistemi öğrenme döngüsüne sokmak hedeflenmektedir.

5. SONUÇ

Sistemler çökerken strateji kurmanın en büyük paradoksu şudur: kriz, daha hızlı hareket etmeyi zorunlu kılan bir baskı yaratırken, kurtarıcı kararların büyük çoğunluğu bu baskıya dirençle, yani bilinçli bir yavaşlamayla mümkün olmaktadır. Zincirleme başarısızlık vakalarının analizi, ilk müdahale hızının toplam sistem hasarını belirlediği öngörüsünün büyük ölçüde yanlış olduğunu ortaya koymaktadır. Belirleyici olan, ilk saniyeler değil; ilk değerlendirmenin kalitesidir.

MVS modeli, bu anlayışın somutlaştığı operasyonel bir araç olarak önerilmektedir. Kriz öncesinde kritik düğümlerin, öncelik hiyerarşisinin ve geri döndürülebilirlik kriterlerinin tanımlanması, kriz anında bilişsel yükü azaltmakta ve karar vericinin enerjisini sistem tasarımının zaten yanıt ürettiği sorulardan, gerçekten yerel bağlam ve durumsal zekâ gerektiren kararlara yönlendirmektedir. Bu, yazılım dünyasındaki MVP mantığının kriz yönetimine çevirisidir: mükemmel kararı aramak yerine, sistemi işler kılacak minimum istikrar alanını inşa et ve oradan büyü. Dağıtık karar mekanizmaları, merkeziyetçi kriz refleksinin fiyatını ödemek istemeyen organizasyonlar için hayati bir alternatif sunmaktadır. Merkezin rolü, tüm kararları vermek değil; hangi kararların nerede ve ne bilgiyle verileceğini tanımlamaktır. Bu çerçevede çevresel aktörler, sistemi körleştiren bilgi gecikmesi ve filtrelemesinin önüne geçerek gerçek zamanlı uyum kapasitesini devreye sokmaktadır.

Belki de bu çalışmanın en radikal argümanı, krizlerin korkulacak değil yönetilecek dönemler olduğunu değil; bunların ötesine geçen bir önermedir: krizler, örtük varsayımların görünür hale geldiği nadir fırsatlardır. Olağan işleyiş sürerken sorgulanmayan sistem tasarımları, yerleşik ama işlevsiz kararlaştırma alışkanlıkları ve çok katmanlı bağımlılıkların getirdiği körleşme, kriz altında yüzeye çıkmaktadır. Bu anlamda kriz, bir öğrenme laboratuvarıdır. Yalnızca hayatta kalmak değil, krizden daha iyi bir sistem tasarımıyla çıkmak mümkündür; ancak bunun için krizin bitmesini değil, kriz sürerken üretilen anlayışı kaldıraç noktası olarak kullanmayı öğrenmek gerekmektedir.

Belirsizlik bu çalışmada, korkulacak bir düşman olarak değil; disiplinli biçimde yönetilmesi gereken bir kaynak olarak konumlandırılmaktadır. Belirsizliği yok etmeye çalışmak, kriz koşullarında hem imkânsız hem de yanıltıcı bir hedeftir. Onu yönetmek ise mümkündür: neyi bildiğimizi, neyi bilmediğimizi ve hangi kararların ne kadar bilgiyle alınabileceğini net tutmak, karar mimarisinin en temel ilkesidir. Gelecekte yapılacak araştırmaların, MVS modelini farklı sektörlerde nicel olarak test etmesi, dağıtık karar mekanizmalarının performansını deneysel yöntemlerle ölçmesi ve geri döndürülebilir karar tasarımı için standardize edilmiş araçlar geliştirmesi, kriz karar yönetimi alanına önemli katkılar sağlayacaktır.

KAYNAKÇA

- Aldrich, H. E., & Ruef, M. (2006). *Organizations Evolving*. Sage Publications.
- Arkes, H. R., & Blumer, C. (1985). The psychology of sunk cost. *Organizational Behavior and Human Decision Processes*, 35(1), 124-140.
- Baumeister, R. F., Bratslavsky, E., Muraven, M., & Tice, D. M. (1998). Ego depletion: Is the active self a limited resource? *Journal of Personality and Social Psychology*, 74(5), 1252-1265.
- Boyd, J. (1987). *A Discourse on Winning and Losing*. Unpublished briefing, Air Force Research Laboratory.
- Dietvorst, B. J., Simmons, J. P., & Massey, C. (2015). Algorithm aversion: People erroneously avoid algorithms after seeing them err. *Journal of Experimental Psychology: General*, 144(1), 114-126.
- Drabek, T. E., & McEntire, D. A. (2002). Emergent phenomena and the sociology of disaster: Lessons, trends and opportunities from the research literature. *Disaster Prevention and Management*, 12(2), 97-112.

- Janis, I. L. (1982). *Groupthink: Psychological studies of policy decisions and fiascoes*. Houghton Mifflin.
- Kahneman, D. (2011). *Thinking, fast and slow*. Farrar, Straus and Giroux.
- Klein, G. (1999). *Sources of Power: How People Make Decisions*. MIT Press.
- LaPorte, T. R., & Consolini, P. M. (1991). Working in practice but not in theory: Theoretical challenges of high-reliability organizations. *Journal of Public Administration Research and Theory*, 1(1), 19-47.
- Nickerson, R. S. (1998). Confirmation bias: A ubiquitous phenomenon in many guises. *Review of General Psychology*, 2(2), 175-220.
- Perrow, C. (1984). *Normal Accidents: Living with High-Risk Technologies*. Basic Books.
- Reason, J. (1990). *Human Error*. Cambridge University Press.
- Ries, E. (2011). *The Lean Startup: How Today's Entrepreneurs Use Continuous Innovation to Create Radically Successful Businesses*. Crown Business.
- Simon, H. A. (1955). A behavioral model of rational choice. *The Quarterly Journal of Economics*, 69(1), 99-118.
- Taleb, N. N. (2007). *The Black Swan: The Impact of the Highly Improbable*. Random House.
- Tversky, A., & Kahneman, D. (1974). Judgment under uncertainty: Heuristics and biases. *Science*, 185(4157), 1124-1131.
- U.S.-Canada Power System Outage Task Force. (2004). *Final Report on the August 14, 2003 Blackout in the United States and Canada*. Natural Resources Canada.
- Weick, K. E. (1995). *Sensemaking in Organizations*. Sage Publications.
- Weick, K. E., & Sutcliffe, K. M. (2007). *Managing the Unexpected: Resilient Performance in an Age of Uncertainty*. Jossey-Bass.

**INTERFERENCE DETECTION SYSTEM INTEGRATED ONTO AERIAL
PLATFORMS: ANALYSIS AND SIMULATION**

Hasan Faruk DUMAN

Bursa Uludağ Üniversitesi, Mühendislik Fakültesi, Elektrik-Elektronik Mühendisliği Bölümü,
Nilüfer, Bursa

Bursa Uludağ University, Faculty of Engineering, Department of Electrical and Electronics
Engineering, Nilüfer, Bursa, Türkiye
ORCID ID: 0009-0003-2758-0113

Metehan KARABEKİROĞLU

Bursa Uludağ Üniversitesi, Mühendislik Fakültesi, Elektrik-Elektronik Mühendisliği Bölümü,
Nilüfer, Bursa

Bursa Uludağ University, Faculty of Engineering, Department of Electrical and Electronics
Engineering, Nilüfer, Bursa, Türkiye
ORCID ID: 0009-0004-1428-4881

Abdülşamet KARLI

Bursa Uludağ Üniversitesi, Mühendislik Fakültesi, Elektrik-Elektronik Mühendisliği Bölümü,
Nilüfer, Bursa

Bursa Uludağ University, Faculty of Engineering, Department of Electrical and Electronics
Engineering, Nilüfer, Bursa, Türkiye
ORCID ID: 0009-0002-5293-7543

Sait Eser KARLIK

Prof. Dr., Bursa Uludağ Üniversitesi, Mühendislik Fakültesi, Elektrik-Elektronik
Mühendisliği Bölümü, Nilüfer, Bursa

Prof. Dr., Bursa Uludağ University, Faculty of Engineering, Department of Electrical and
Electronics Engineering, Nilüfer, Bursa, Türkiye
ORCID ID: 0000-0001-5985-210X

ABSTRACT

With the rapid development of telecommunication technologies and the increasing number of users, the number of base stations has been steadily increasing. Consequently, the planning and optimization of wireless networks are becoming more critical. In this paper, as an alternative to existing methods, aerial platform-adapted system approach is presented for detection of interference that significantly degrades network performance in wireless networks. Thus, it is aimed to develop a system that improves the network performance and facilitates optimization in the telecommunication sector. The proposed approach provides a significant alternative to time-consuming and inefficient measurement methods traditionally performed using ground vehicles, terrestrial antennas, and signal analyzers. Mathematical approaches, inference methods, and MATLAB-based simulation results for interference detection through a system that can be integrated onto an aerial platform are presented in detail. Analysis and simulation results show that in aerial platforms, the intended system can provide an effective solution for interference detection.

Keywords: Interference Analysis, Wireless Communication, Cellular Network Optimization, Unmanned Aerial Platform, Signal Measurement.

HAVA PLATFORMLARINA ENTEGRE GİRİŞİM TESPİT SİSTEMİ: ANALİZ VE BENZETİM

ÖZET

Günümüzde telekomünikasyon teknolojilerindeki hızlı gelişim ve kullanıcı sayısındaki artışa bağlı olarak baz istasyonlarının sayısı sürekli artmaktadır. Dolayısıyla kablosuz ağların planlama ve optimizasyonu giderek daha kritik hâle gelmektedir. Bu bildiride, kablosuz ağlarda şebeke performansını önemli ölçüde düşüren girişimlerin tespitine yönelik; insansız hava platformlarına entegre edilebilen, mevcut yöntemlere alternatif oluşturan sistem yaklaşımı sunulmuştur. Böylece telekomünikasyon sektöründe ağ performansını iyileştiren ve optimizasyonu kolaylaştıran bir sistemin geliştirilmesi amaçlanmaktadır. Önerilen yaklaşım, geleneksel olarak kara araçları, yer tabanlı antenler ve sinyal analizörleri ile gerçekleştirilen; zaman alıcı ve verimliliği düşük ölçüm yöntemlerine önemli bir alternatif oluşturmaktadır. Hava platformu üzerine entegre edilebilen sistem aracılığıyla girişim tespitine yönelik matematiksel yaklaşımlar, çıkarım yöntemleri, MATLAB tabanlı benzetim sonuçları ayrıntılı olarak sunulmaktadır. Analiz ve benzetim sonuçları, amaçlanan sistemin girişim tespiti için hava platformlarında etkin çözüm sunabileceğini göstermektedir.

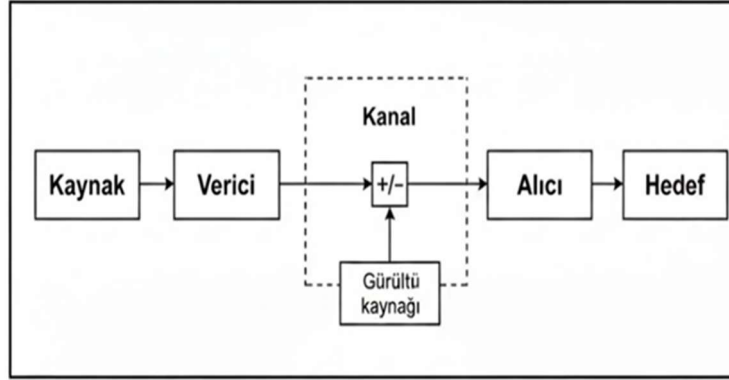
Anahtar Kelimeler: Girişim Analizi, Kablosuz haberleşme, Hücresele Ağ Optimizasyonu, İnsansız Hava Platformu, Sinyal Ölçümü.

GİRİŞ

Telekomünikasyon operatörleri, ağlarının verimli ve kesintisiz bir şekilde çalışabilmesi için, elektromanyetik girişimleri tespit etmek ve yönetmek zorundadır (Kaur et al., 2011); çünkü bu tür girişimler, sinyal kalitesini olumsuz etkileyerek ağ performansını düşürebilir ve iletişimde aksamalara yol açabilir (Jamal et al., 2018). Girişimlerin hızlı ve doğru bir şekilde tespit edilmesi operatörler açısından, ağ güvenliğini sağlamak ve hizmet kalitesini yükseltmek için kritik bir görevdir. Bu amaçla yaygın olarak kullanılan yöntemler arasında, saha araçları ile yapılan manuel ölçümler yer almaktadır. Bu araçlar ile sinyal analizörleri ve anten sistemleri kullanılarak belirli bir alanda radyo frekans dalgalarının taranması ve girişimin tespit edilmesi amaçlanmaktadır (Hapsari et al., 2012; Solmaz, 2024). Ancak bu yöntem, operasyonel maliyetlerin yüksekliği, zaman alması ve insan müdahalesine dayalı olması gibi çeşitli zorluklara sahiptir (Fotouhi et al., 2019). Özellikle büyük ve zorlu arazilerde yapılan saha çalışmaları, ciddi iş gücü ve zaman kaybına yol açabilmektedir. Dolayısıyla, girişim tespitinde kullanılacak daha verimli ve hızlı bir yöntemin geliştirilmesi, telekomünikasyon sektörü için önemli bir ihtiyaç haline gelmiştir (Akyildiz et al., 2006; Li et al., 2020). Bu çalışmada, geleneksel girişim tespit yöntemlerinden farklı olarak, insan müdahalesini en aza indirerek süreçleri hızlandıran ve doğruluk oranını artıran yenilikçi bir sistem önerilmektedir. Önerilen sistem, hareket kabiliyeti ve geniş erişim avantajı sayesinde, özellikle erişilmesi güç ve karmaşık alanlarda girişim kaynaklarının etkin ve hızlı bir şekilde belirlenmesini amaçlamaktadır. Sistem, iki temel veriyi baz almaktadır. Bunlar: GPS (Global Positioning System, Küresel Konum Belirleme Sistemi) verileri ile elde edilen konum bilgisi ve çalışılan frekans bandında sinyal dinlemesi yapabilen alıcı birimden elde edilen RSSI (Received Signal Strength Indicator, Alınan Sinyal Gücü Göstergesi) verisidir. Verilerin ölçümleri eş zamanlı olarak işlenmekte ve girişim kaynaklarının konumu yaklaşık olarak tespit edilmektedir. Farklı konumlardaki sinyal gücü haritalandırılarak girişim bölgeleri görselleştirilmekte ve tespit doğruluğu artırılmaktadır. Önerilen yöntem, manuel tekniklerle karşılaştırıldığında hem hızlı hem de sahadaki operasyonel yükü önemli ölçüde azaltmaktadır. Bu yaklaşım, elektromanyetik spektrumun etkin yönetimi ve hücresele ağ performansının artırılması açısından, modern iletişim sistemleri için güvenilir ve uygulanabilir bir çözüm olarak değerlendirilmektedir.

MATEMATİKSEL YAKLAŞIM VE YÖNTEM

Kablosuz İletişimde Yayılım ve Gürültü Etkileri



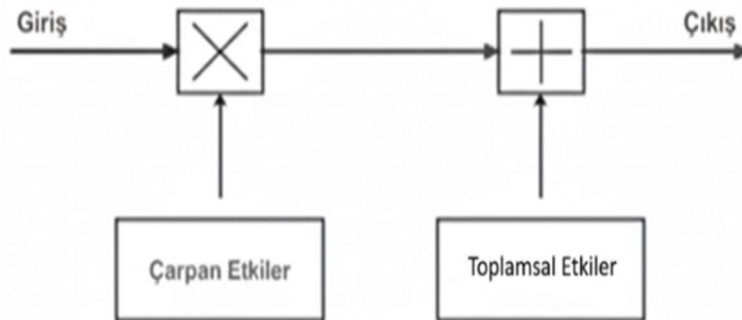
Şekil 1. Haberleşme Sisteminin Blok Diyagramı (Stavroulakis, 2003)

Bu çalışmada, Şekil 1’de blok diyagramı verilen haberleşme sisteminde, baz istasyonları ile mobil kullanıcılar arasındaki kablosuz haberleşme sürecinde, bilgi sinyali üzerindeki gürültü etkisi gösterilmiştir. Şekil 1’de alıntılanan blok diyagramı, bu çalışma kapsamında gürültü kaynağı yerine girişim kaynağı etkisi incelenecek şekilde ele alınmış ve benzetim çalışmaları bu doğrultuda gerçekleştirilmiştir. Çoklu yansıma, saçılma, gürültü ve girişim gibi etkenler nedeniyle kablosuz iletim ortamı karmaşık bir yapıya sahip olup, alıcıya ulaşan sinyalin kalitesi sistem performansı açısından önemlidir. Bu kaliteyi belirleyen temel parametrelerden biri olan SIR (Signal-to-Interference Ratio, Sinyal Girişim Oranı) değerinin azalması, bilginin doğru şekilde elde edilmesini zorlaştırmaktadır. SIR’ın desibel (dB) cinsinden ifadesi Denklem (1) ve Denklem (2)’de verilmiştir (Stavroulakis, 2003).

$$SIR(dB) = 10 \log_{10} \left(\frac{P_{sinyal}}{P_{girişim}} \right) \quad (1)$$

$$SIR(dB) = P_{sinyal}(dBm) \quad (2)$$

Burada P_{sinyal} , baz istasyonu tarafından iletilen sinyal gücünü, $P_{girişim}$ ise iletim kanalı boyunca sinyal üzerine etki eden bağımsız RF (Radio Frequency, Radyo Frekans) kaynaklarından gelen girişim gücünü ifade etmektedir. Denklem (1)’den de görüleceği üzere, girişim gücünün artması SIR değerinin azalmasına neden olmakta; bu durum ise alıcı tarafta bilgi işaretinin güvenilir biçimde elde edilmesini olumsuz yönde etkilemektedir (Stavroulakis, 2003).



Şekil 2. Kablosuz İletim Kanalındaki Gürültü ve Girişim Etkileri (Stavroulakis, 2003)

Şekil 2’de gösterildiği üzere, kablosuz iletişim kanallarında gürültü ve girişim etkileri, toplamsal ve çarpan etkiler olmak üzere iki ana grupta incelenmektedir. Toplamsal gürültü; alıcı devrelerinden kaynaklanan termal ve akım gürültülerinin yanı sıra atmosferik etkiler ve diğer haberleşme sistemlerinden kaynaklanan girişimleri kapsamaktadır. Çarpan etkiler ise elektromanyetik dalgaların yayılımı sırasında oluşan ve anten yönlülüğü, yansıma, soğurma ve kırılma gibi fiziksel etkileşimlerden kaynaklanan süreçleri ifade etmektedir. Bu kapsamda, kanal içerisindeki çarpan etkiler; yol kaybı, gölgelenme ve çoklu yol yayılımına bağlı hızlı sönmüleme başlıkları altında ele alınmaktadır [8]. Bu çalışmada, farklı çevresel koşullarda yol kaybının modellenmesi amacıyla, Okumura-Hata yayılım modelini temel alan tipik şehir modeli kullanılarak; kapsama alanı, sinyal zayıflaması ve girişim tespiti analizleri gerçekleştirilmiştir (Mohamed, 2019).

Yol Kaybı Modeli

Bu bölümde, gerçekleştirilen analiz ve benzetim çalışmalarında kullanılan yol kaybı modellerinin matematiksel ifadeleri sunulmaktadır. Çalışmada, kablosuz haberleşme kanallarındaki sinyal zayıflamasını modellemek amacıyla Okumura-Hata yol kaybı modellerinden olan tipik şehir modelinden yararlanılarak benzetim ve analizler gerçekleştirilmiştir (Nadir et al., 2008).

Tipik Şehir Modeli:

$$L_p(dB) = 69.55 + 26.16 \log_{10}(f_c) + (44.9 - 6.55 \log_{10}(h_b)) \log_{10}(d) - 13.82 \log_{10}(h_b) - a(h_m) \quad (3)$$

$$a(h_m) = (1.1 \log_{10}(f_c) - 0.7)h_m - (1.56 \log_{10}(f_c) - 0.8) \quad (4)$$

Denklem (3)’te ;

f_c , taşıyıcı frekansını (MHz);

d , baz istasyonu ile mobil istasyon arasındaki mesafeyi (km);

h_b , baz istasyonu anten yüksekliğini (m); h_m , mobil istasyon anten yüksekliğini (m) ve

$a(h_m)$, mobil anten yüksekliği düzeltme faktörünü ifade etmektedir. $a(h_m)$, Denklem (4)

yardımlarıyla hesaplanabilir (Nadir et al., 2008).

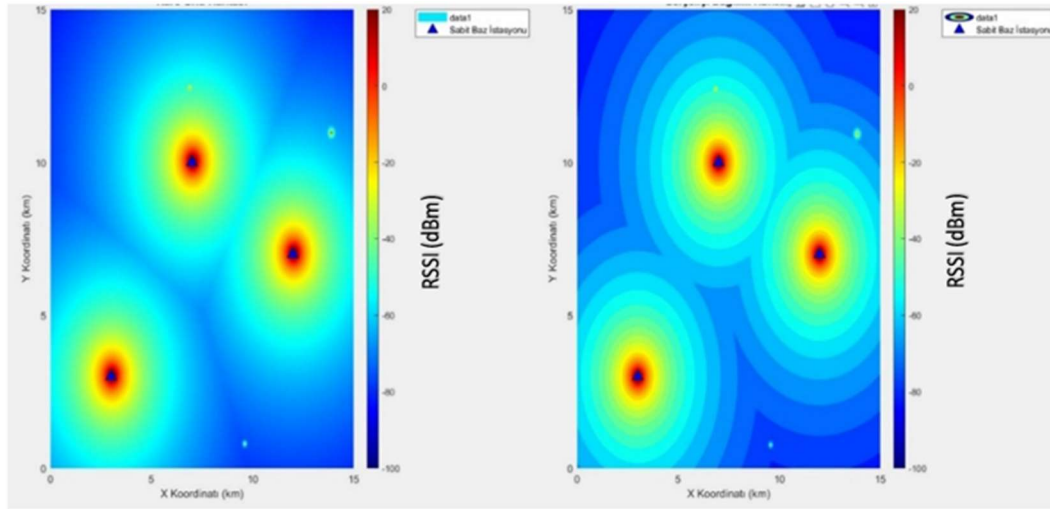
Analiz ve Benzetim Yöntemi

Bu çalışmada önerilen yöntemde, tipik şehir yayılım modelinin doğrulanması ve şehir ortamındaki sinyal zayıflamasının gerçek saha koşullarında incelenmesi amacıyla, hava platformu üzerine entegre edilen GPS modülü aracılığıyla konum ve irtifa bilgilerinin elde edilmesi; aynı anda platform üzerinde bulunan kablosuz haberleşme modülü üzerinden RSSI ölçümlerinin toplanması esas alınmıştır. Önerilen yöntemde, konum ve RSSI verilerinin zaman damgası kullanılarak senkronize edilmesi ve bu verilerin şehir ortamındaki sinyal gücünün mekânsal dağılımını analiz etmek amacıyla kullanılması öngörülmüştür. Bu kapsamda, her bir RSSI ölçümü ilgili konum bilgisi ile eşleştirilerek şehir genelinde noktasal sinyal gücü verileri elde edilmiştir. Elde edilen bu veriler, belirli bir grid (ızgara) yapısı ve enterpolasyon yöntemleri kullanılarak sürekli bir sinyal dağılım yüzeyine dönüştürülmüş; böylece sinyal gücünün mekânsal değişimini görsel olarak ifade eden Kare Grid Haritası ve Enterpolasyon Haritası olmak üzere ısı haritaları oluşturulmuştur.

Toplanan RSSI ölçümleri yardımıyla, tipik şehir modeli kapsamında öngörülen yol kaybı davranışının saha verileri ile uyumunun değerlendirilmesinin yanı sıra, şehir genelinde sinyal kapsamasını gösteren ısı haritalarının benzetim ortamı ve gerçek saha koşullarında oluşturulması hedeflenmiştir.

ANALİZ VE BENZETİM

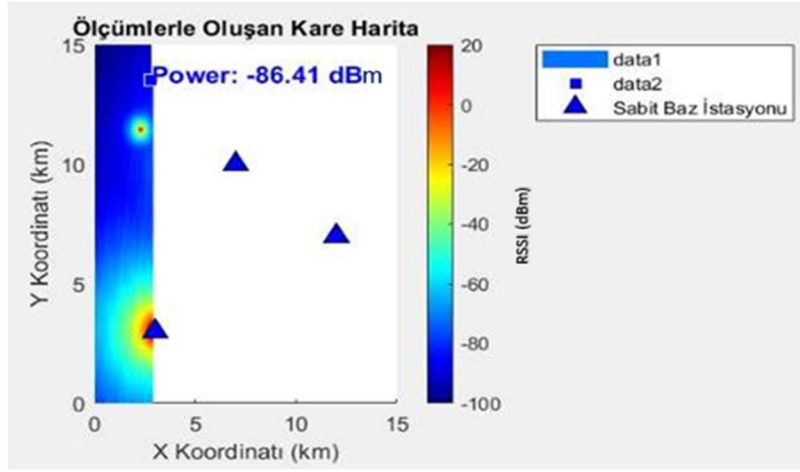
Telekomünikasyon alanındaki hücresel ağ planlaması dikkate alınarak analiz ve benzetim çalışmaları gerçekleştirilmiştir. Bu kapsamda, baz istasyonları ile girişim kaynaklarının alıcı üzerindeki etkileri toplamsal bir yapıda incelenmiş; kanal yayılımının çarpımsal etkilerinden bağımsız olacak şekilde modellenmiştir. Benzetimlerde analiz edilen temel iki parametre, konum bilgisi ve alınan sinyal gücüdür. Benzetim senaryosu kapsamında, Denklem (3)'teki model kullanılarak; $f_c = 900$, $h_b = 20$, $h_m = 0.05$ parametreleri ile 15×15 km² büyüklüğünde bir alan içerisine üç adet baz istasyonu ve üç adet girişim kaynağı konumlandırılmıştır. Baz istasyonlarının çıkış güçleri 20 dBm olarak belirlenmiştir. Bu bölgede, rastgele konumlarda yerleştirilmiş üç adet girişim kaynağı eklenmiştir. Bu kaynakların güç seviyeleri -50 dBm ile -80 dBm aralığında rastgele değerler alacak şekilde tanımlanmıştır. Girişim kaynakları, beyaz Gauss gürültüsü karakteristiğinde yayılım göstermektedir. Benzetim çalışmalarında, baz istasyonları ve girişim kaynaklarından iletilen sinyallerin kanal etkileri, Okumura-Hata yol kaybı modeli (tipik şehir ortamı) kullanılarak modellenmiştir. Bu modellemenin benzetim çalışmalarında, baz istasyonlarından ve girişim kaynaklarından yayılan sinyaller ile ilgili, Okumura-Hata modelinin içerdiği mesafe vb. parametreler dahilinde elde edilen çıktılar Şekil 3'te verilmiştir.



Şekil 3. Bir bölgedeki baz istasyonları ve girişim kaynaklarının birlikte oluşturduğu sinyal güç dağılımına ait ısı haritaları: (a) Kare Grid Haritası, (b) Enterpolasyon Haritası

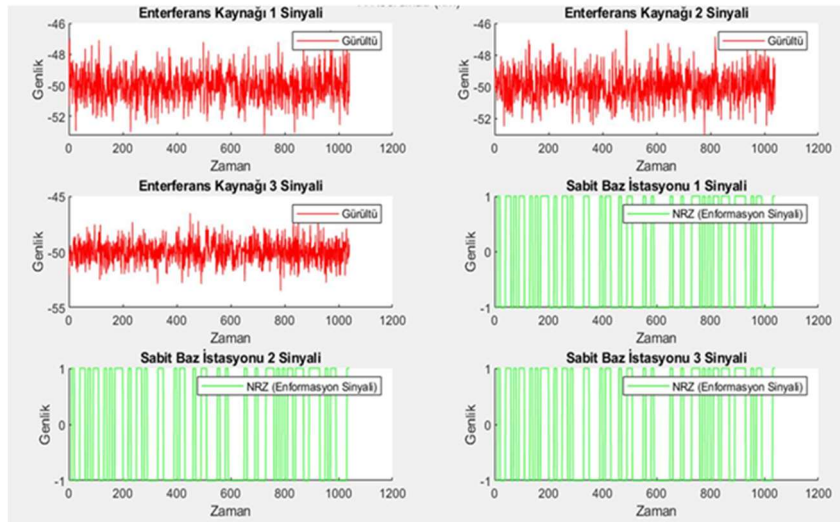
Benzetim kapsamında, incelenen alan (0,0) koordinatından başlanarak sistematik bir tarama düzeni ile analiz edilmiştir. Tarama süreci boyunca, her bir konum noktasında elde edilen parametre değerleri hesaplanmış ve görselleştirilmiştir. Bu doğrultuda, hesaplanan alınan güç değerleri kullanılarak, belirlenen renk ölçeğine uygun şekilde ısı haritaları oluşturulmuştur. Elde edilen sonuçlar, Kare Grid Haritası ve Enterpolasyon Haritası olmak üzere iki farklı görselleştirme yaklaşımı ile sunulmuş olup, ilgili ısı haritaları Şekil 3'te gösterilmektedir. Girişim kaynaklarının güç seviyeleri baz istasyonları ile kıyaslandığında görece düşüktür. Kare Grid Haritası ve Enterpolasyon Haritasında, benzetim senaryosu kapsamında üç girişim kaynağı incelenmiştir.

Bu girişim kaynaklarından ikisi, baz istasyonlarından uzaklaştıkça mesafeye bağlı güç düşüşlerinin yaşandığı ve görece girişim kaynaklarının güçlerinin yüksek olduğu noktalarda gözlemlenmiş; diğer bir girişim kaynağı ise baz istasyonlarının sinyal gücünün görece yüksek olduğu bölgede konumlandığı için haritalarda gözlemlenmemiştir.



Şekil 4. Harita oluşum aşaması

Şekil 4'te sunulan benzetim çalışmasında, harita üzerindeki örnek bir noktaya ait RSSI değeri -86.41 dBm olarak şekilde gösterilmektedir. Şekildeki renk ölçeği konuma bağlı RSSI dağılımını temsil etmektedir. Bu ölçekte mavi renk en düşük değer olan -100 dBm, kırmızı renk ise en yüksek değer olan 20 dBm ile eşleştirilmiştir; güç seviyelerindeki değişimler harita üzerinde bu iki uç değer arasındaki renk geçişleriyle görselleştirilmiştir. Bu harita, çalışma alanı genelinde RSSI değişiminin mekânsal dağılımının oluşum aşamasını ortaya koymaktadır. Baz istasyonları, 20 dBm çıkış gücünde, kutuplu NRZ (Non-Return-to-Zero, Sıfıra Dönüşsüz) hat kodlaması kullanılarak modüle edilmiş “Merhaba Dünya” mesajını sürekli olarak iletmektedir. Şekil 5'te, baz istasyonları ve girişim kaynaklarının merkezlerinden iletilen sinyaller gösterilmektedir.

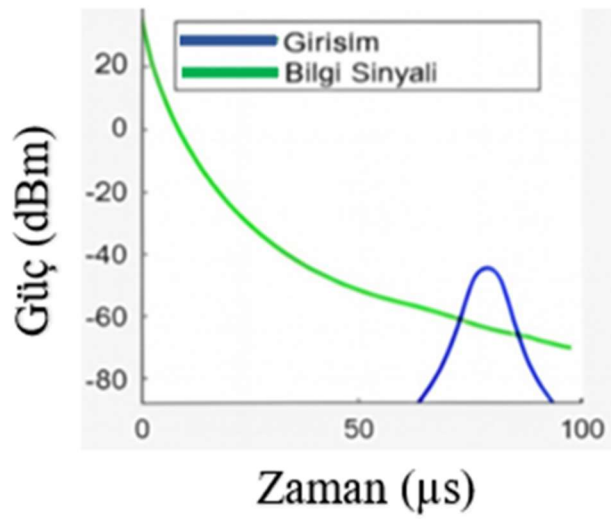


Şekil 5. Baz istasyonları ve girişim kaynaklarının merkezinden iletilen işaretler

Şekil 5'te yeşil renkle gösterilen sinyaller, sabit baz istasyonlarından iletilen NRZ hat kodlamalı sinyalleri temsil etmektedir.

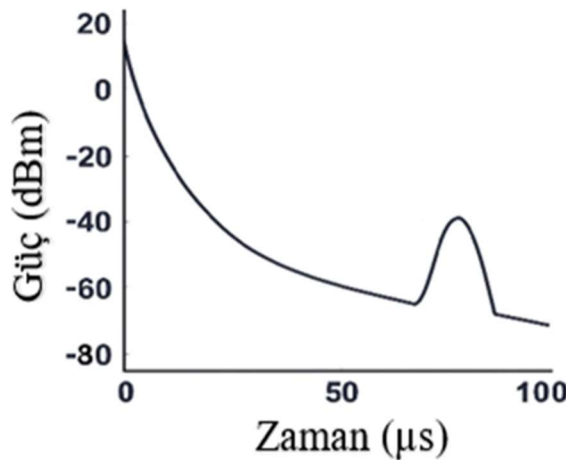
NRZ hat kodlaması ile iletilen bilgi sinyalleri benzetim çalışmasında ASK (Amplitude Shift Keying, Genlik Kaydırmalı Anahtarlama) ile modüle edilerek iletimi gerçekleştirilmiştir. Kırmızı renkle gösterilen sinyaller ise, deterministik olmayan, rastgele genlikli, zamanla hızlı değişen ve bilgi taşımayan yapıda üretilmiş girişim sinyallerini ifade etmektedir. Üretilen girişim sinyalleri, spektral açıdan gürültü ile benzerlik göstermesine rağmen, güç yoğunluğunun -50 dBm bandında yoğunlaşması ve standart gürültü güç seviyesinin üzerinde olması nedeniyle “girişim sinyali” olarak değerlendirilerek benzetim gerçekleştirilmiştir. Yukarıda da açıklandığı üzere, bilgi ve girişim sinyallerinin harita üzerindeki güç dağılımı oluşturulurken bilgi sinyalinin taşıyıcı frekansı ile gürültü karakteristiği taşıyan girişim sinyalinin eş bileşeni arasında benzetim gerçekleştirilmiştir.

Şekil 6’da, analiz sürecinin daha anlaşılır olması amacıyla bilgi taşıyan sinyaller ile girişim kaynaklarından iletilen sinyaller ayrı ayrı gösterilmiştir. Bilgi ve girişim sinyallerinin zamana bağlı olarak yayılım etkisi ile gücündeki değişim gösterilmektedir.



Şekil 6. Girişim ve bilgi sinyali (zaman çözünürlüğü: 0,5 µs)

Şekil 6’da sinyalleri ayrı ayrı göstererek Şekil 7’de verilen toplamsal sinyalin daha iyi anlaşılması amaçlanmıştır. Şekil 7’de görüldüğü üzere, alıcıda gözlenen toplam işaret, bilgi taşıyan sinyal bileşeni ile girişim bileşenlerinin toplamı şeklinde oluşmakta; bu durum, toplam sinyal seviyesinde yerel artış ve azalışlara neden olmaktadır.



Şekil 7. Toplamsallık ile elde edilen işaret (zaman çözünürlüğü: 0,5 µs)

Şekil 6 ve Şekil 7 birlikte değerlendirildiğinde, girişim kaynaklarının varlığının, alıcıda ölçülen toplam sinyal seviyesini belirgin biçimde değiştirdiği görülmektedir. Bu değişim, ölçülen toplam alınan sinyal gücünü etkilemekte ve girişim tespiti açısından ayırt edici bir göstere sunmaktadır.

Yapılan benzetim çalışmalarında temel amaç; baz istasyonları ile girişim kaynakları arasındaki uzaklık ilişkisini, bu kaynakların ilettiği sinyallerin güçlerinin ve alıcıda gözlenen toplam alınan gücün davranışını incelemektir. Analiz sürecinde, çok yollu yayılım ve gölgeleme gibi çarpımsal kanal etkileri bilinçli olarak dışlanarak, sahadaki toplamsal etkiler göz önünde bulundurulmuştur. Bu sayede, ölçülen toplam güç seviyeleri üzerinden girişim kaynaklarının tespit edilebilirliği ve konum tahminine olan katkısı değerlendirilmiştir.

SONUÇ

Bu çalışmada, kablosuz haberleşme sistemlerinde girişim kaynaklarının mekânsal olarak tespit edilebilmesine yönelik, hava platformlarına entegre edilebilir RSSI ve konum bilgisi temelli bir analiz ve benzetim sunulmuştur. Şehir ortamı için geçerliliği literatürde yaygın olarak kabul edilen Okumura–Hata yayılım modeli kullanılarak, baz istasyonları ve girişim kaynaklarının oluşturduğu toplam alınan sinyal gücünün mekânsal dağılımı benzetim ortamında incelenmiştir. Gerçekleştirilen analizler, baz istasyonuna yakın bölgelerde alınan sinyal gücü değerinin yüksek olması nedeniyle girişim kaynaklarının toplam alınan güç üzerindeki etkisinin sınırlı kaldığını göstermektedir. Buna karşılık, baz istasyonlarından uzaklaştıkça artan yol kayıpları sonucu alınan sinyal gücü değerinin düşmesiyle birlikte, girişim kaynaklarının bağıl güç katkısı daha belirgin hâle gelmekte ve bu durum mekânsal güç dağılımı haritaları üzerinden gözlemlenebilmektedir.

Konum verileriyle senkronize edilen RSSI ölçümlerinin kare grid ve enterpolasyon tabanlı haritalama yöntemleriyle görselleştirilmesi sayesinde, sinyal gücünün şehir genelindeki dağılımı niteliksel olarak analiz edilebilmiştir. Elde edilen sonuçlar, önerilen yaklaşımın, hava platformları aracılığıyla toplanan ölçüm verileri kullanılarak girişim bölgelerinin değerlendirmesinin yapılmasında destekleyici bir araç olarak kullanılabileceğini göstermektedir.

TARTIŞMA VE ÖNERİLER

Bu çalışma, modern mobil haberleşme ortamlarında sahada etkin ve konum bazlı girişim tespiti yapılabileceğini, hava platformu tabanlı bir sisteme entegre edilebilen alternatif bir çözüm yönteminin geliştirilebileceğini ortaya koymuştur. Geleneksel yöntemlere kıyasla insan gücüne ve yüksek maliyetli saha ekipmanlarına olan bağımlılığın azaltılması, spektrum izleme süreçlerinin daha etkin ve verimli biçimde yürütülebileceğini göstermektedir. Oluşturulan ısı haritalarında yüksek RSSI bölgelerinin girişim kaynaklarıyla örtüşmesi, önerilen yöntemin güvenilirliğini ve farklı RF kaynaklarını ayırt edebilme yeteneğini ortaya koymaktadır.

Buna karşın, sistemin çarpımsal ve toplamsal etkilerin birlikte bulunduğu daha karmaşık ortam koşulları altında test edilmesi ile çoklu girişim kaynaklarının yer aldığı senaryolara yönelik gelişmiş analiz ve değerlendirme yöntemlerinin sisteme entegre edilmesi, gelecekteki çalışma konusu olarak öngörülmektedir. Bu kapsamda, ölçüm yoğunluğunun artırılması ve veri işleme süreçlerinin iyileştirilmesi, girişim tespit performansını daha da artıracaktır.

İlerleyen çalışmalarda, hava platformunun belirli koordinatlara veya sahada tespit edilen potansiyel girişim bölgelerine yönelik önceden planlanmış uçuş senaryoları ile kullanılması hedeflenmektedir. Bu sayede, belirlenen bölgelerde daha detaylı ölçümlerin alınması, verilerin mekânsal çözünürlüğünün artırılması ve saha çalışmalarının daha sistematik biçimde yürütülmesi mümkün olacaktır. Önerilen yaklaşım, genel olarak kablosuz haberleşme sistemlerinde girişim yönetimi ve spektrum izleme uygulamaları için uygulanabilir bir alternatif çözüm sunmaktadır.

TEŞEKKÜR

Bu çalışma, TÜBİTAK tarafından 2209-A Üniversite Öğrencileri Araştırma Projeleri Destekleme Programı çerçevesinde 1919B012472022 numaralı proje kapsamında desteklenmektedir.

KAYNAKÇA

Akyildiz, F., Lee, W. Y., Vuran, M. C., & Mohanty, S. (2006). Next generation/dynamic spectrum access/cognitive radio wireless networks: A survey. *Computer Networks*, 50 (13), 2127-2159.

Fotouhi, A., et al. (2019). Survey on UAV cellular communications: Practical aspects, standardization advancements, regulation, and security challenges. *IEEE Communications Surveys & Tutorials*, 21(4), 3417–3442.

Hapsari, W. A., Umesh, A., Iwamura, M., Tomala, M., Gyula, B., & Sebire, B. (2012). Minimization of drive tests solution in 3GPP. *IEEE Communications Magazine*, 50 (6), 28–36.

Jamal, T., Amaral, P., Khan, A., SAB, & Kiramat. (2018). Denial of service attack in wireless LAN. In *Proceedings of the 12th ICDS*. Rome, Italy.

Kaur, M., Kakar, S., & Mandal, D. (2011). Electromagnetic interference. In *Proceedings of 3rd International Conference on Electronics Computer Technology (ICECT)*. Kanyakumari, India.

Nadir, Z., Elfadhil, N., & Touati, F. (2008). Pathloss determination using Okumura–Hata model and spline interpolation for missing data for Oman. In *Proceedings of the World Congress on Engineering (WCE 2008) (Vol. I)*. London, United Kingdom.

Mohamed, I. (2018). Path-loss estimation for wireless cellular networks using Okumura/Hata model. *Science Journal of Circuits, Systems and Signal Processing*, 7(1), 20–27.

Moro, S., Teeda, V., Scazzoli, D., Reggiani, L., & Magarini, M. (2022). Experimental UAV-aided RSSI localization of a ground RF emitter in 865 MHz and 2.4 GHz bands. In *Proceedings of IEEE 95th Vehicular Technology Conference (VTC2022-Spring)*. Helsinki, Finland.

Solmaz, T. (2024). LSTM yöntemiyle RF sinyallerinde RTWP-enterferans tahmini (Yüksek lisans tezi, Dicle Üniversitesi Fen Bilimleri Enstitüsü).

Stavroulakis, P. (2003). *Interference analysis and reduction for wireless systems*.

THE EFFECTS OF CAMERA-BASED EYE-TRACKING SENSORS INTEGRATED INTO ADAS SYSTEMS ON DRIVER ATTENTION LEVEL

Abdurrahman GÜNDAY

Assoc. Prof. Dr., Bursa Uludağ University, Faculty of Engineering, Department of Electrical & Electronics Engineering, Görükle, Bursa
ORCID ID: 0000-0002-3262-3494

M. Tarık SAVRANLI

Bursa Uludağ University, Faculty of Engineering, Department of Hybrid & Electric Vehicles, Görükle, Bursa
ORCID ID: 0009-0004-6482-986X

ABSTRACT

Advances in electric vehicle technologies have greatly increased the need for advanced driver assistance systems (ADAS) designed to improve driving safety, vehicle security, and the interaction between the driver and the vehicle. While these systems have become more complex over time, their performance in real-time applications still largely depends on the driver's level of attention. In semi-autonomous scenarios and driving conditions where control is shared between the driver and the vehicle, the driver's level of attention must remain sustained and focused throughout the driving process. In other words, the success of advanced driver assistance systems used to improve driving safety in electric vehicles largely depends on the driver's ability to maintain the correct level of attention. Therefore, real-time monitoring of the driver's cognitive and behavioral state is a crucial requirement for safe driving. In this context, camera-based eye-tracking technologies and the sensors used in these technologies have been considered a significant advancement for assessing driver attention. The literature also contains numerous experimental and academic studies on camera-based eye-tracking technologies. In camera-based eye-tracking technologies, parameters such as the driver's gaze direction, focus duration, blinking frequency, and head position are generally analyzed in the sensors to obtain meaningful insights into driver attention. The combined measure of the driver's attention during driving is obtained by combining various eye-tracking features to create a more comprehensive picture of their cognitive state. The integration of camera-based eye-tracking technologies and the sensor systems they utilize with advanced driver assistance systems is based on human-machine interaction, computer vision, and driver monitoring processes.

This study evaluates the potential contributions of camera-based eye-tracking technologies, when integrated with ADAS functions, to drive attention, in line with existing academic research. The overall framework of current research suggests that this integration can have positive effects on maintaining driver attention, improving reaction processes, and supporting driving safety. However, inadequacies in detection performance under low lighting conditions and behavioral differences among individuals are among the limitations frequently mentioned in literature. Consequently, it is considered that camera-based driver monitoring solutions, when used in conjunction with ADAS structures, can contribute to a safer, user-oriented, and sustainable driving experience in vehicles.

Keywords: Advanced Driver Assistance Systems (ADAS), Electric Vehicles, PERCLOS, Distraction, Camera-Based Driver Monitoring, Driver Monitoring System

ADAS SİSTEMLERİNE ENTEGRE KAMERA TABANLI GÖZ İZLEME SENSÖRLERİNİN SÜRÜCÜ DİKKAT DÜZEYİ ÜZERİNDEKİ ETKİLERİ

ÖZET

Elektrikli araç teknolojilerindeki gelişmeler, sürüş güvenliğini, araç emniyetini ve sürücü ile araç arasındaki etkileşimi iyileştirmek için tasarlanmış gelişmiş sürücü destek sistemlerine (ADAS) olan gereksinimi büyük ölçüde arttırmıştır. Bu sistemler, zamanla daha karmaşık hale gelmiş olsa da gerçek zamanlı uygulamalardaki performansları hala büyük oranda sürücünün dikkat düzeyine bağlıdır. Kontrolün insan ve araç arasında paylaşıldığı yarı otonom senaryolarda ve sürüş koşullarında, sürücünün dikkat düzeyinin sürüş esnasında sürdürülebilir ve odaklı olması gerekmektedir. Diğer bir ifadeyle, elektrikli araçlarda sürüş güvenliğini artırmak amacıyla kullanılan gelişmiş sürücü destek sistemlerinin başarısı, büyük ölçüde sürücünün dikkat durumunu doğru biçimde sürdürebilmesine bağlıdır. Bu nedenle, sürücünün bilişsel ve davranışsal durumunun anlık olarak takip edilmesi, güvenli sürüş açısından önemli bir gerekliliktir. Bu çerçevede, kamera tabanlı göz izleme teknolojileri ve bu teknolojilerde kullanılan sensörler, sürücü dikkatini değerlendirmek için önemli bir gelişim olarak değerlendirilmiştir. Literatürde de kamera tabanlı göz izleme teknolojilerine ilişkin çok sayıda deneysel ve akademik çalışma yer almaktadır. Kamera tabanlı göz izleme teknolojilerinde kullanılan sensörlerde, genel olarak, sürücünün bakış yönü, odaklanma süresi, göz kırpma sıklığı ve baş pozisyonu gibi parametreler analiz edilerek sürücü dikkatine ilişkin anlamlı içgörüler elde edilmektedir. Sürüş esnasında sürücünün birleşik dikkat ölçüsü, bilişsel durumunun daha kapsamlı bir resmini oluşturmak için çeşitli göz izleme özelliklerinin bir araya getirilmesiyle elde edilmektedir. Kamera tabanlı göz izleme teknolojilerinin ve bu teknolojilerin kullandığı sensör sistemlerinin, gelişmiş sürücü destek sistemleri ile entegrasyonu, insan makine etkileşimi, bilgisayar görüşü ve sürücü izleme süreçlerine dayanmaktadır.

Bu çalışma, mevcut akademik çalışmalar doğrultusunda, kamera tabanlı göz izleme teknolojilerinin ADAS fonksiyonlarıyla bütünleştiğinde, sürücü dikkatine sağlayabileceği katkıları değerlendirmektedir. Mevcut araştırmaların genel çerçevesi, bu entegrasyonun, sürücünün dikkatinin sürdürülmesine, tepki süreçlerinin iyileştirilmesine ve sürüş güvenliğinin desteklenmesine olumlu etkileri olabileceğini göstermektedir. Bununla birlikte, düşük aydınlatma koşullarında algılama performansındaki yetersizlikler ve bireyler arasındaki davranışsal farklılıklar literatürde sıkça belirtilen kısıtlar arasındadır. Sonuç olarak, kamera tabanlı sürücü izleme çözümlerinin ADAS yapılarıyla birlikte kullanıldığında araçlarda daha güvenli, kullanıcı odaklı ve sürdürülebilir bir sürüş deneyimine katkı sağlayabileceği değerlendirilmektedir.

Anahtar Kelimeler: Gelişmiş Sürücü Destek Sistemi (ADAS), Elektrikli Araçlar, PERCLOS, Dikkat Dağımlığı, Kamera Tabanlı Sürücü İzleme, Sürücü İzleme Sistemi

INTRODUCTION

The rapid development of electric vehicles in recent years has led to the prominence of advanced driver assistance systems (ADAS) that improve driving safety, vehicle stability, and driver-machine interaction. However, advanced these systems may be, real-time applications still require a sufficient level of driver attention. In this context, camera-based eye-tracking technologies have emerged as an important method for assessing driver attention.

These systems examine various observable indicators of eye and head movements, such as gaze direction, fixation duration, blinking rate, and head orientation, to infer the driver's cognitive and attentional status. In many studies in the literature, driver attention is represented through a composite measure in which these metrics are integrated into a single assessment indicator. This measure is given in equation (1) (Zhao et al. 2020).

$$A(t) = w_1G(t) + w_2F(t) + w_3B(t) + w_4H(t) \quad (1)$$

In equation (1), $G(t)$ is defined as gaze deviation (in degrees or as a normalized index), $F(t)$ as fixation stability (ms), $B(t)$ as blink rate variability (blinks/minute), $H(t)$ as head position deviation (in degrees) and w_i as empirical weighting coefficients (0 – 1) obtained through calibration experiments.

This combined attention measure is obtained by combining various eye-tracking features to create a more comprehensive picture of the driver's cognitive state. In this context, $G(t)$ represents the gaze deviation index, which tracks how far the driver's line of sight deviates from expected visual regions, capturing sudden or prolonged deviations that could be distracting. The term $F(t)$ represents fixation stability and reflects the driver's ability to maintain consistent visual focus on a specific point over time. The term $B(t)$ represents the variability in blinking rate. This parameter is closely related to instantaneous changes in mental workload, fatigue, and attention level. $H(t)$ corresponds to head position deviation and indicates the extent to which the driver's head orientation aligns with the requirements of the driving task. The w_i weighting coefficients are obtained through calibration procedures that determine the relative influence of each parameter within the overall attention model. Bringing these behavioral indicators together in a single, integrated attention index allows for a more accurate and holistic interpretation of the driver's cognitive state. In parallel, ADAS systems generate alerts and interventions based on real-time environmental perception. The effect of an ADAS event on driver engagement is quantitatively expressed as given in equation (2) (Braunagel et al. 2015).

$$\Delta A = A_{\text{after}} - A_{\text{before}} \quad (2)$$

In equation (2), a positive ΔA indicates increased driver attention following an ADAS warning (e.g., lane departure warning), while a negative ΔA indicates cognitive overload or inattention. Furthermore, academic and practical studies conducted in this context show that driver focus on the road is strongly associated with safe driving behavior. This relationship is expressed as given in equation (3) (Braunagel et al. 2015).

$$G_c = \frac{T_{\text{road}}}{T_{\text{total}}} \quad (3)$$

Although many studies in the literature have reported on driver monitoring systems, there is insufficient analysis of the combined operation of camera-based eye-tracking sensors and ADAS systems in electric vehicles. The electric vehicles possess unique characteristics such as lower cabin vibration, different torque transmission profiles, and quieter interiors, which can affect both driver behavior and the performance of these sensing systems. Therefore, this is quite important in terms of driving safety and performance (SAE International, 2018; Abbink et al. 2012).

This study aims to investigate how integrated ADAS and eye-tracking systems affect driver attention by analyzing real-time ocular indicators and drivers' responses to ADAS events under electric vehicle driving conditions.

THEORY

The integration of camera-based eye-tracking technologies with advanced driver assistance systems (ADAS) encompasses human-machine interaction, computer vision, and driver monitoring processes. This section of the study summarizes the conceptual background supporting these systems and also explains the basic eye-tracking indicators, attention modeling approaches, and the principles governing ADAS-driver interaction.

Eye Tracking Theory and Driver Attention Modeling

The camera-based eye-tracking technologies use image processing and computer vision techniques to infer gaze direction, fixation behavior, eyelid movements, and head orientation. Many studies consider driver attention as a multidimensional concept incorporating visual, cognitive, and behavioral indicators. In this context, equation (1) is used for the commonly used attention index. This approach shows that the driver's attention level can be modeled using multiple sensor outputs. In this process, a measure is used to determine the driver's eye closure time.

This metric is defined as PERCLOS (PERcentage of eye CLOSure) and is a measure that expresses the ratio of the time the eyes are closed more than 80 % to the total time, and is one of the most reliable indicators used especially in detecting drowsiness. This metric is widely used in the automotive, aviation and occupational safety fields to determine driver fatigue and loss of attention. The equation (4) is used in the calculation of the PERCLOS term (Hu, S. & Min, J., 2018).

$$\text{PERCLOS} = \frac{T_{\text{eyes-closed}}}{T_{\text{total}}} \quad (4)$$

In the equation, T "eyes-closed" represents the total time the driver's eyes have been closed, and T "total" represents the total time the measurement has been taken. PERCLOS gives the ratio of these two durations, which is an indicator of drowsiness. When this value exceeds 40 %, it is generally interpreted as a high level of attention deficit (Hu & Min, 2018).

Visual Attention Theory in Driving

The eye movement patterns provide a direct indication of a driver's mental workload. One commonly used metric is the rate at which the gaze is directed to critical areas of the road. This rate reflects how consistently the driver maintains visual attention to the essential elements of the driving scene. To determine the level of visual attention during driving, the expression given by the equation (3) is used. Gc, given by the equation (3), is the driver's rate of looking at the road (attention intensity indicator), and if it is above 80 %, this is associated with safe driving behavior (Reddy & Krishna, 2019).

ADAS Operating Principles and Human-Machine Interaction

ADAS features such as lane keeping assist, adaptive cruise control and forward collision warnings are based on external environmental perception technologies. However, they still require the driver to remain actively engaged in the driving task. The effect of ADAS on driver attention is usually measured using equation (5).

$$\Delta A = A_{\text{after ADAS}} - A_{\text{before ADAS}} \quad (5)$$

In equation (5), positive ΔA corresponds to increased attention, while negative ΔA corresponds to possible cognitive overload or attention deficit (Reddy & Krishna, 2019).

Theoretical Interaction Model

This model is defined as the integration of ADAS and eye-tracking. System integration, which describes the process, is generally evaluated in three stages. These stages consist of detection, integration, and intervention. Table 1 presents commonly used eye-tracking metrics in driver monitoring (You & Jin, 2019).

Table 1. Common eye-tracking metrics in driver monitoring

Metric	Explanation	Interpretation
Gaze Deviation (G)	The amount of deviation of the eye's direction from the center of the path	High value = loss of attention
Fixation Time (F)	The amount of time the eye remains fixed on a single point	Long duration = increased cognitive load
Blinking Frequency (B)	Number of blinks per unit of time	Very high = fatigue
Head Position (H)	Head orientation angle	Above 15° = distraction
PERCLOS	Eye closed rate	Above 40 % = risky

As shown in Table 1, these metrics provide information about the driver's cognitive and alertness status. Therefore, it is possible to make inferences about the driver's alertness status based on these metrics. For this reason, systems that focus on driving safety rely on the integration and use of sensor structures that detect and measure these metrics.

DISCUSSION

This study investigates how integrating camera-based eye-tracking systems with ADAS functions can affect driver attention in electric vehicle driving conditions, drawing on established theoretical models and previous research. The literature shows that combining visual attention indicators with ADAS feedback can enhance driver situational awareness and contribute to more consistent attention patterns.

Furthermore, characteristics specific to electric vehicles, such as low cabin noise and unique torque transmission characteristics, can influence both driver behavior and the performance of sensing systems. This situation highlights the need to adapt attention assessment models specifically for EV environments. Overall, this conceptual review draws attention to the potential advantages of using ADAS and eye-tracking systems in a coordinated manner to strengthen human-centered safety strategies in next-generation electric vehicles (You & Jin, 2019). Considering the improvement in overall driver attention scores, a significant increase in driver attention scores is observed after combining eye-tracking data with ADAS interventions. The strongest improvement is seen in urban driving, where attention levels rise from 62 % to 78 %, and on highways, from 68 % to 84 %. The attention scores during night driving increased from 55 % to 70 %, while in heavy traffic this rate reached 58 % to 73 %. These results reveal that eye-tracking assisted warnings offer an effective complementary mechanism for regaining driver attention, especially in conditions where mental load increases or driving monotony leads to decreased attention (Hwang, S., & Lee, H. (2017). When the increased gaze intensity ratios are examined, the average 15% increase in gaze intensity after integration indicates a significant improvement in terms of safe driving, while it is seen that camera-based perception increases situational awareness by compensating for reduced vision and cognitive fatigue, especially in night conditions.

The real-time visual monitoring reduces lane departure incidents, while positive attention shift (ΔA) across all scenarios confirms that simultaneous ADAS warnings based on eye behavior support the driver. It appears that triggering alerts during moments of decreased attention shortens the reaction time to lane departure warnings, reduces blink rate variability, decreases fatigue episodes, and indicates a 10–18% reduction in head position deviation, thus strengthening directional stability.

When evaluated on a scenario basis, it is observed that the highest improvement is achieved in night driving by compensating for insufficient lighting and the risk of drowsiness, while in highway driving, despite the effects of the monotonous road environment, the increase in attention reaches its highest level.

All these findings demonstrate that the integration of eye-tracking systems with ADAS creates a closed-loop architecture where the driver's gaze, blinking, and head position are continuously monitored, ADAS responses are adjusted accordingly, and driver behavior is positively shaped. This plays a critical role in the development of human-machine interaction in next-generation electric vehicles (Reddy & Krishna, 2019).

CONCLUSION

This research investigated how the integration of camera-based eye-tracking systems with advanced driver assistance systems (ADAS) affects driver attention in electric vehicles. The findings show that pairing real-time driver monitoring with adaptive ADAS responses leads to significant improvements in driving safety and situational awareness. In all tested conditions, including city streets, highways, night driving, and heavy traffic, the integrated system consistently improved attention scores, gaze focus rates, and behavioral stability indicators. The observed consistent increase in these indicators suggests that linking eye-tracking outputs to ADAS alerts creates an effective closed-loop feedback structure that promotes safer and more attentive driving. The most significant improvements have been observed in highway and night driving conditions. This confirms that the system effectively compensates for negative factors such as monotony and limited vision, which are known to contribute to cognitive fatigue. Despite these promising results, some limitations need to be considered. The system performance may decrease in poor lighting conditions, partial blindness due to glasses, or variations in individual viewing habits. These issues highlight the value of adaptive calibration techniques and multimodal sensing, such as infrared imaging, steering behavior analysis, or additional physiological measurements, to further enhance system reliability.

In conclusion, integrating camera-based eye-tracking technology into ADAS functions offers a significant contribution to driver monitoring capabilities in electric vehicles. The findings highlight the system's potential to reduce distraction-related risks, improve collaboration between the driver and automated functions, and support safer, more robust EV designs. Future research, building upon this work, can further refine attention monitoring strategies for advanced automotive platforms by examining machine learning-based predictive models, long-term user adoption dynamics, and large-scale real-world fleet studies.

REFERENCES

- Abbink, D. A., Mulder, M., & Boer, E. R. (2012). Haptic shared control: Smoothly shifting control authority? *Cognition, Technology & Work*, 14, 19–28.
- Braunagel, C., Kasneci, G., Stolzmann, W., & Rosenstiel, W. (2015). Driver-activity recognition in the context of conditionally autonomous driving. *IEEE Intelligent Vehicles Symposium (IV)*.
- Hu, S., & Min, J. (2018). Driver drowsiness detection with eyelid-related parameters using enhanced PERCLOS. *IEEE ITSC 2018*.
- Hwang, S., & Lee, H. (2017). Multimodal deep learning for robust driver monitoring. *IEEE Transactions on Intelligent Transportation Systems*, 18(12), 3410–3422.
- Reddy, M. D., & Krishna, P. V. (2019). Vision-based driver attention analysis using deep learning. *Journal of Information and Communication Technology*, 18(4).

SAE International. (2018). Taxonomy and definitions for terms related to driving automation systems for on-road motor vehicles. SAE J3016 Standard.

You, F., & Jin, L. (2019). Sensor fusion for driver attention prediction using CNN–LSTM networks. *Pattern Recognition Letters*, 125, 80–87.

Zhao, X., Chen, X., & Wang, Y. (2020). Driver behavior characteristics of electric vehicle users: Implications for vehicle control systems. *Energy Reports*, 6, 268–276.

PRELIMINARY EVALUATION OF FUEL PROPERTIES OF PELLETS PRODUCED FROM APPLE TREE PRUNING RESIDUES

Bekir DOĞAN

Asst. Prof. Dr., Department of Machine and Metal Technologies, Tokat Vocational School,
Tokat Gaziosmanpaşa University
ORCID ID: 0000-0002-8986-7174

Ünsal AYBEK

Asst. Prof. Dr., Department of Electricity and Energy, Tokat Vocational School, Tokat
Gaziosmanpaşa University
ORCID ID: 0000-0003-3573-9385

ABSTRACT

Apple tree pruning residues represent an abundant agricultural biomass resource with potential for renewable energy production. In this study, pellets were produced from apple tree pruning residues and their fundamental fuel properties were preliminarily evaluated. The biomass was size-reduced using a hammer mill and pelletized with a 6 mm flat die pellet mill under laboratory conditions.

The produced pellets exhibited a moisture content of 11.57% after pelletization, compared to 19.73% before pelletization. The higher heating value (HHV) was determined as 18.69 MJ/kg, while the lower heating value (LHV) was 15.21 MJ/kg. The ash content was measured as 2.86%. In terms of physical properties, the bulk density and unit density were found to be 527 kg/m³ and 1028 kg/m³, respectively. Mechanical durability reached 98.26%, indicating high resistance to breakage during handling and transportation.

The results demonstrate that apple tree pruning residues can be successfully densified into mechanically stable pellets with acceptable fuel characteristics. Although the ash content is higher than that of conventional premium wood pellets, the energy value and durability performance suggest that apple pruning biomass can be considered a viable alternative solid biofuel, particularly for industrial-scale thermal applications.

Keywords: Apple pruning biomass; pellet fuel; fuel properties; agricultural residues; bulk density; renewable energy

INTRODUCTION

Agricultural residues constitute a significant renewable biomass resource with considerable potential for sustainable energy production. Globally, large quantities of pruning residues are generated annually from fruit orchards, and a substantial portion of this biomass remains underutilized or is disposed of through open-field burning, leading to environmental concerns (Spinelli & Picchi, 2010; Magagnotti et al., 2013). Among fruit crops, apple cultivation represents one of the most widespread orchard systems, generating considerable amounts of pruning residues during routine seasonal maintenance operations (Ekinci, 2011).

The valorization of pruning biomass through pelletization offers an effective pathway for converting low-density agricultural waste into a standardized solid biofuel. Pelletization enhances the physical and combustion characteristics of biomass by increasing bulk density, improving transport and storage efficiency, and providing uniform fuel geometry for controlled combustion (Tumuluru et al., 2011; Mani et al., 2006). In addition, densified biomass fuels generally exhibit improved handling properties and reduced moisture variability compared to loose residues (Niedziółka et al., 2015). Previous research has extensively investigated pellet production from various agricultural residues such as olive pruning, vine pruning, cereal straw, and forestry by-products (Prando et al., 2016; Castellano et al., 2015; Arranz et al., 2015).

These studies have demonstrated that fuel properties including ash content, heating value, mechanical durability, and bulk density are critical parameters in determining combustion suitability and compliance with established quality standards. However, studies focusing specifically on the fuel quality characteristics of pellets produced from apple tree pruning residues remain relatively limited in comparison with other orchard biomasses (Brand & Jacinto, 2020).

The evaluation of pellet fuel quality requires a comprehensive assessment of physical, mechanical, and thermal properties. Parameters such as moisture content, ash content, lower heating value (LHV), bulk density, particle density, mechanical durability, and fines content are commonly used to determine fuel classification and combustion performance (EN ISO 17225-2, 2014; Monteiro et al., 2012). Furthermore, volumetric energy density—defined as the product of heating value and bulk density—serves as an important indicator of the energetic efficiency of densified biomass fuels (Protasio et al., 2015).

Considering the increasing emphasis on renewable energy integration and sustainable waste management, the utilization of apple pruning residues as pellet fuel presents both environmental and energy-related advantages. Nevertheless, region-specific raw material characteristics, pelletizing conditions, and processing parameters may significantly influence the final fuel quality. Therefore, updated and regionally representative datasets are required to assess the practical suitability of apple pruning pellets for residential and industrial applications.

The objective of this study is to provide a preliminary evaluation of the fuel properties of pellets produced from apple tree pruning residues. Physical and thermal properties were evaluated using standardized laboratory procedures, and the results were discussed in comparison with relevant literature. The findings aim to contribute baseline data for the sustainable energy utilization of apple pruning biomass.

MATERIALS AND METHODS

Raw Material Preparation

Apple tree pruning residues were collected from local orchards in Tokat, Türkiye. The collected biomass was air-dried under ambient conditions to reduce its initial moisture content prior to processing. After drying, the material was size-reduced using a hammer mill (Figure 1) in order to obtain a suitable particle size distribution for pellet production. The ground biomass exhibited a fibrous structure with relatively fine particles appropriate for densification (Figure 2). The prepared feedstock was stored in sealed containers to prevent moisture variation before pelletization.



Figure 1. Hammer mill used for size reduction of apple tree pruning residues prior to pelletization.



Figure 2. Ground apple tree pruning biomass prepared as feedstock for pellet production.

Pellet Production

The prepared biomass was pelletized using a laboratory-scale flat die pellet mill (Figure 3). Prior to pelletization, the moisture content of the material was adjusted to an appropriate level to ensure proper compaction and pellet formation. The pellets were produced using a 6 mm die under constant operating conditions. Pellet production was carried out in a single batch. After production, the pellets were cooled at ambient temperature and stored in sealed bags prior to testing. All pellet production and subsequent analyses were conducted at the Biomass Laboratory of the Black Sea Agricultural Research Institute in accordance with relevant standards.



Figure 3. Laboratory-scale flat die pellet mill used for pellet production.

Fuel Property Analysis

The produced pellets were characterized in terms of their fundamental fuel properties. Moisture content was determined using oven-drying method. Ash content was measured through controlled combustion under laboratory conditions. The lower heating value (LHV) was determined using a bomb calorimeter.

Bulk density was determined by measuring the mass of pellets within a known volume container. Mechanical durability was evaluated by subjecting the pellets to mechanical agitation and determining the percentage of intact pellets after testing. Pellet diameter and length were measured using a digital caliper on randomly selected samples.

The physical appearance and structural integrity of the produced pellets are shown in Figure 4.



Figure 4. Pellets produced from apple tree pruning residues under laboratory conditions.

RESULTS AND DISCUSSION

The fundamental fuel and physical properties of the pellets produced from apple tree pruning residues are presented in Table 1.

Table 1. Fuel and physical properties of apple pruning pellets

Parameter	Value
Bulk density (kg/m ³)	527
Moisture content before pelletization (%)	19.73
Moisture content after pelletization (%)	11.57
Higher heating value (MJ/kg)	18.69
Lower heating value (MJ/kg)	15.21
Ash content (%)	2.86
Unit density (kg/m ³)	1028
Mechanical durability (%)	98.26

Fuel Properties

The moisture content of the pellets after pelletization was determined as 11.57%, representing a considerable reduction compared to the initial feedstock moisture of 19.73%. This decrease in moisture content is advantageous for combustion efficiency, ignition behavior, and storage stability, as lower moisture levels generally improve thermal performance and reduce energy losses during combustion.

The higher heating value (HHV) of the produced pellets was measured as 18.69 MJ/kg, while the lower heating value (LHV) was calculated as 15.21 MJ/kg. These values are consistent with the typical range reported for agricultural biomass pellets in the literature. The obtained LHV indicates that pellets derived from apple tree pruning residues can deliver a satisfactory energy output for thermal energy applications.

The ash content of the pellets was found to be 2.86%. Although this value is higher than that of conventional premium wood pellets, it falls within the expected range for agricultural biomass-based fuels. A relatively elevated ash content may affect combustion system maintenance and ash handling requirements, particularly in small-scale residential boilers. Nevertheless, the measured ash level suggests that apple pruning pellets can be considered suitable for energy applications, especially in industrial-scale combustion systems.

Physical and Mechanical Properties

The physical and mechanical characteristics of the produced pellets demonstrate the effectiveness of the densification process. The bulk density was measured as 527 kg/m³, indicating a significant improvement in volumetric properties compared to loose biomass. Increased bulk density enhances storage efficiency and reduces transportation costs by increasing the amount of energy stored per unit volume.

The unit (particle) density of the pellets was determined as 1028 kg/m³. This relatively high value reflects adequate compaction during pelletization and suggests good structural integrity of the produced pellets. Higher unit density generally correlates with improved mechanical strength and combustion stability.

Mechanical durability was found to be 98.26%, indicating high resistance to breakage during handling, transport, and storage. Durability values above 95% are generally considered satisfactory for pellet fuels, suggesting that the produced pellets possess sufficient mechanical stability for practical applications.

Overall, the physical and mechanical results confirm that apple tree pruning residues can be successfully densified into structurally stable pellets with suitable handling characteristics. The measured density and durability values demonstrate that the produced pellets meet the fundamental physical requirements expected from solid biofuels.

CONCLUSION

This study presented a preliminary evaluation of the fuel properties of pellets produced from apple tree pruning residues. The results demonstrated that the produced pellets exhibited acceptable physical and thermal characteristics.

The lower heating value of 15.21 MJ/kg and higher heating value of 18.69 MJ/kg indicate that apple pruning biomass can provide a satisfactory energy output for thermal applications. The measured bulk density of 527 kg/m³ and unit density of 1028 kg/m³ confirm the effectiveness of the densification process in improving volumetric energy characteristics.

Mechanical durability was determined as 98.26%, demonstrating sufficient resistance to mechanical degradation during handling and transportation. The ash content of 2.86%, although higher than that of premium wood pellets, remains within the typical range for agricultural biomass fuels.

Overall, the findings suggest that apple tree pruning residues represent a viable feedstock for pellet fuel production. Further investigations including extended combustion and long-term performance analyses are recommended to fully assess their suitability for residential and industrial energy systems.

KAYNAKLAR

Arranz, J. I., Miranda, M. T., Montero, I., Sepúlveda, F. J., & Rojas, C. V. (2015). Characterization and combustion behaviour of commercial and experimental wood pellets in South West Europe. *Fuel*, 142, 199-207.

Brand, M. A., & Jacinto, R. C. (2020). Apple pruning residues: Potential for burning in boiler systems and pellet production. *Renewable Energy*, 152, 458-466.

Castellano, J. M., Gómez, M., Fernández, M., Esteban, L. S., & Carrasco, J. E. (2015). Study on the effects of raw materials composition and pelletization conditions on the quality and properties of pellets obtained from different woody and non woody biomasses. *Fuel*, 139, 629-636.

Ekinci, K. (2011). Utilization of apple pruning residues as a source of biomass energy: A case study in Isparta province. *Energy Exploration & Exploitation*, 29(1), 87-107.

EN ISO 17225-2:2014. Solid biofuels — Fuel specifications and classes — Part 2: Graded wood pellets. European Committee for Standardization

Magagnotti, N., Pari, L., Picchi, G., & Spinelli, R. (2013). Technology alternatives for tapping the pruning residue resource. *Bioresource Technology*, 128, 697-702.

Mani, S., Tabil, L. G., & Sokhansanj, S. (2006). Effects of compressive force, particle size and moisture content on mechanical properties of biomass pellets from grasses. *Biomass and bioenergy*, 30(7), 648-654.

Monteiro, E., Mantha, V., & Rouboa, A. (2012). Portuguese pellets market: Analysis of the production and utilization constrains. *Energy Policy*, 42, 129-135.

Niedziółka, I., Szpryngiel, M., Kachel-Jakubowska, M., Kraszkiewicz, A., Zawisłak, K., Sobczak, P., & Nadulski, R. (2015). Assessment of the energetic and mechanical properties of pellets produced from agricultural biomass. *Renewable Energy*, 76, 312-317.

Prando, D., Boschiero, M., Campana, D., Gallo, R., Vakalis, S., Baratieri, M., ... & Zerbe, S. (2016). Assessment of different feedstocks in South Tyrol (Northern Italy): energy potential and suitability for domestic pellet boilers. *Biomass and Bioenergy*, 90, 155-162.

Protásio, T. D. P., Trugilho, P. F., Siqueira, H. D., Melo, I. D., Andrade, C. R., & Guimarães Junior, J. B. (2015). Energy characterization of fresh and torrefied pellets produced from *Pinus* waste wood.

Spinelli, R., & Picchi, G. (2010). Industrial harvesting of olive tree pruning residue for energy biomass. *Bioresource Technology*, 101(2), 730-735.

Tumuluru, J. S., Wright, C. T., Hess, J. R., & Kenney, K. L. (2011). A review of biomass densification systems to develop uniform feedstock commodities for bioenergy application. *Biofuels, Bioproducts and Biorefi*

SEMANTIC SEGMENTATION OF POWER LINES FROM AIRBORNE LASER SCANNING POINT CLOUDS USING PROJECTION-BASED DEEP LEARNING METHODS

Mertcan NAZAR

Gebze Technical University, Faculty of Engineering, Department of Geomatics Engineering,
Gebze, Kocaeli.

ORCID ID: 0000-0002-3280-5685

Umut Güneş SEFERCİK

Prof. Dr., Gebze Technical University, Faculty of Engineering, Department of Geomatics
Engineering, Gebze, Kocaeli.

ORCID ID: 0000-0003-2403-5956

ABSTRACT

Sustainable management of high-voltage power transmission networks is essential for modern urban planning and energy security. Routine monitoring of transmission corridors, particularly those traversing dense forested environments, is critical for preventing wildfires and ensuring uninterrupted energy flow. Airborne laser scanning (ALS) has established itself as the primary remote sensing technology for mapping these corridors due to its ability to penetrate vegetation canopies. However, the current trajectory of geospatial research predominantly favors native three-dimensional (3D) deep learning architectures that process raw point clouds directly, demanding high-end graphics processing unit (GPU) clusters and imposing severe computational overhead that hinders industrial scalability. To address this operational bottleneck, a computationally efficient bird's-eye-view (BEV) projection-based semantic segmentation framework is presented. The raw ALS dataset, comprising 13.62 million points within a 3689 m utility corridor, was partitioned into an 80/20 geographic train-test split. Irregular 3D point clouds were transformed into structured four-channel two-dimensional (2D) raster grids at 0.25 m spatial resolution, encoding maximum height above ground (HAG), mean intensity, normalized point density, and a terrain-agnostic localized Z-range. A U-Net++ decoder with squeeze-and-excitation (SCSE) attention was benchmarked across four convolutional backbones: VGG-16-BN, ResNet-34, EfficientNet-b4, and MobileNet-v2. Training used an AdamW optimizer with a cosine annealing schedule and a linear warmup, combined with a hybrid dice-focal loss function and offline geometric augmentation of 8-fold expansion of power line-containing patches. VGG-16-BN achieved the highest power line segmentation accuracy, yielding a 2D raster power line F1-score of 0.9814, precision of 0.9827, and recall of 0.9801. End-to-end 3D per-point evaluation on the quarantined test corridor, following height-aware back-projection, confirmed a power line F1-score of 0.9825, precision of 0.9840, and recall of 0.9810. These results verify that BEV projection, coupled with intelligent feature engineering and optimized training protocols, provides a highly robust alternative to native 3D deep learning for ALS power line extraction.

Keywords: Airborne Laser Scanning, LiDAR, Deep Learning, Power Lines, Projection-Based, Semantic Segmentation.

HAVA KAYNAKLI LAZER TARAMA NOKTA BULUTLARINDAN ENERJİ NAKİL HATLARININ PROJEKSİYON TABANLI DERİN ÖĞRENME YÖNTEMLERİ KULLANILARAK SEMANTİK SEGMENTASYONU

ÖZET

Yüksek gerilim enerji nakil hatlarının sürdürülebilir yönetimi, modern şehir planlaması ve enerji güvenliği açısından temel bir gereksinimdir. Özellikle ormanlık alanlardan geçen iletim koridorlarının rutin olarak izlenmesi, orman yangınlarını önlemek ve kesintisiz enerji akışını sağlamak adına kritik öneme sahiptir. Hava kaynaklı lazer tarama (ALS) teknolojisi, bitki örtüsüne nüfuz edebilme yeteneğiyle bu koridorların haritalanmasında birincil yöntem olsa da, güncel araştırmalar donanım maliyeti yüksek ve hesaplama yükü ağır olan üç boyutlu (3B) derin öğrenme mimarilerine odaklanarak endüstriyel ölçeklenebilirliği zorlaştırmaktadır. Bu operasyonel darboğazı aşmak amacıyla, hesaplama açısından verimli, kuşbakışı görünüm (BEV) projeksiyonuna dayalı bir anlamsal bölütleme çerçevesi sunulmaktadır. Çalışmada, 3689 metrelik bir hatta yer alan 13.62 milyon noktadan oluşan ham ALS veri seti %80 eğitim ve %20 test olarak coğrafi temelde ikiye ayrılmıştır. Düzensiz 3B nokta bulutları; maksimum yerden yükseklik (HAG), ortalama yansıma şiddeti, normalize edilmiş nokta yoğunluğu ve araziden bağımsız yerel Z-aralığı bilgilerini kodlayan, 0.25 m mekansal çözünürlüklü dört kanallı iki boyutlu (2B) raster ızgaralara dönüştürülmüştür. Mekansal ve kanalsal dikkat (SCSE) mekanizmasına sahip bir U-Net++ modeli, VGG-16-BN, ResNet-34, EfficientNet-b4 ve MobileNet-v2 omurgaları ile kıyaslanmıştır. Eğitim sürecinde doğrusal ısınma ve kosinüs tavlama adımlarına sahip AdamW optimizasyonu, hibrit dice-focal kayıp fonksiyonu ve enerji nakil hattı içeren alanların 8 kat genişletilmesini kapsayan çevrimdışı geometrik veri artırımı kullanılmıştır. Analizler sonucunda en yüksek doğruluğa ulaşan VGG-16-BN modeli 2B formatta 0.9814 F1 skoru, 0.9827 kesinlik ve 0.9801 duyarlılık değerleri vermiştir. Yüksekliğe duyarlı 3B geri izdüşüm işlemiyle tamamen izole edilmiş test koridorunda yapılan uçtan uca değerlendirmede ise enerji nakil hattı için 0.9825 F1 skoru, 0.9840 kesinlik ve 0.9810 duyarlılık elde edilmiştir. Bu bulgular, BEV projeksiyonunun akıllı öznitelik mühendisliği ve optimize edilmiş eğitim protokolleriyle birleştirildiğinde, ALS verilerinden enerji nakil hatlarının çıkarımında doğrudan 3B derin öğrenme yöntemlerine karşı son derece kararlı ve güçlü bir alternatif sunduğunu kanıtlamaktadır.

Anahtar kelimeler: Hava Kaynaklı Lazer Tarama, LiDAR, Derin Öğrenme, Enerji Nakil Hatları, Projection-Based, Semantik Segmentasyon.

INTRODUCTION

The rapid expansion of global infrastructure necessitates the continuous monitoring and maintenance of high-voltage power transmission networks. Transmission corridors frequently traverse diverse and complex topographies, including dense forested regions where vegetation encroachment poses a severe threat to grid integrity. Physical contact or electrical arcing between power lines and surrounding biomass is a primary catalyst for large-scale wildfires and widespread power outages. Conducting precise, high-frequency spatial inventories of these utility corridors has therefore become a fundamental requirement for risk mitigation and environmental management. Historically, the inspection of power lines relied on manual terrestrial surveys or visual aerial patrols using helicopters. These conventional methodologies are inherently labor-intensive, hazardous, and lack the scalability required for regional grid management. Over the past decade, airborne laser scanning (ALS), also referred to as airborne light detection and ranging (LiDAR), has emerged as the definitive remote sensing technology for this task. Unlike passive optical sensors, ALS emits active laser pulses capable of penetrating forest canopies, capturing both the suspended catenary curves of the power lines and the underlying terrain topography in a single flight mission.

Despite the high fidelity of ALS data, the automated extraction of power lines from raw three-dimensional (3D) point clouds remains mathematically non-trivial. The physical characteristics of power transmission cables, which measure mere centimeters in diameter, result in highly sparse, discontinuous point returns, especially when surveyed from high altitudes or at high flight speeds. The geometric signatures of power lines are frequently entangled with the signatures of tall tree branches, making simple rule-based or elevation-based filtering algorithms highly prone to misclassification. The geospatial community has increasingly turned to deep learning for this segmentation problem. The current academic trajectory heavily favors native 3D architectures, such as PointNet (Qi et al., 2017a), PointNet++ (Qi et al., 2017b), and graph convolutional neural networks (GCNNs) (Li et al., 2022). While these architectures preserve the spatial topology of the point cloud, they introduce immense computational burdens. Processing millions of unstructured points requires voxelization, complex nearest-neighbor searches, or continuous spatial graph updates. For utility companies and regional grid operators, the requirement for clustered, high-end GPU hardware makes 3D deep learning difficult to deploy at an industrial scale.

This study presents an optimized, image-based semantic segmentation framework designed for computational efficiency without compromising sub-pixel accuracy. The ALS point cloud is projected into a two-dimensional (2D) bird's-eye view (BEV) raster grid, and a set of physically motivated features, most notably a dynamic, terrain-agnostic Z-range channel, enables a standard 2D convolutional neural network (CNN) to isolate catenary power lines as effectively as heavier 3D counterparts. An architectural comparison was conducted using the U-Net++ (Zhou et al., 2018) decoder across four encoder backbones: VGG-16-BN (Simonyan & Zisserman, 2015), EfficientNet-b4 (Tan & Le, 2019), ResNet-34 (He et al., 2016), and MobileNet-v2 (Sandler et al., 2018). Training protocols were optimized following current best practices, including the AdamW optimizer with decoupled weight decay (Loshchilov & Hutter, 2019), cosine annealing with linear warmup (Loshchilov & Hutter, 2017), and offline geometric augmentation of the minority power line class (Ronneberger et al., 2015; Shorten & Khoshgoftaar, 2019). Evaluation was conducted at both the 2D raster patch level and the 3D per-point level with predicted labels reprojected onto the original point cloud using a height-aware back-projection strategy.

MATERIALS AND METHODS

Dataset Characteristics and Hardware Specifications

The dataset consists of an ALS point cloud initially comprising 44.18 million points, pre-classified according to the American Society for Photogrammetry and Remote Sensing (ASPRS) standard. The data captures a high-voltage transmission corridor stretching over mountainous terrain. Prior to deep learning ingestion, the raw point cloud was spatially clipped to a 100 m wide buffer, 50 m on either side of the power line centerline, isolating the utility infrastructure and removing irrelevant distant topography. The resulting corridor encompasses approximately 3689 m of longitudinal extent and comprises 13.62 million spatial points. For binary segmentation, all non-target classes, including bare ground, high vegetation, buildings, and pylons, were aggregated into a single background class totaling 13.61 million points, while the target power line class consists of 15,888 points, a class imbalance ratio of approximately 857:1 at the point level. To ensure robust generalization and prevent spatial data leakage, the complete geospatial dataset was partitioned longitudinally along the computed trajectory of the power line cables, with 80% of the corridor corresponding to 2951 m designated for training and validation, and 20% corresponding to 738 m strictly quarantined for testing, as shown in Figure 1.

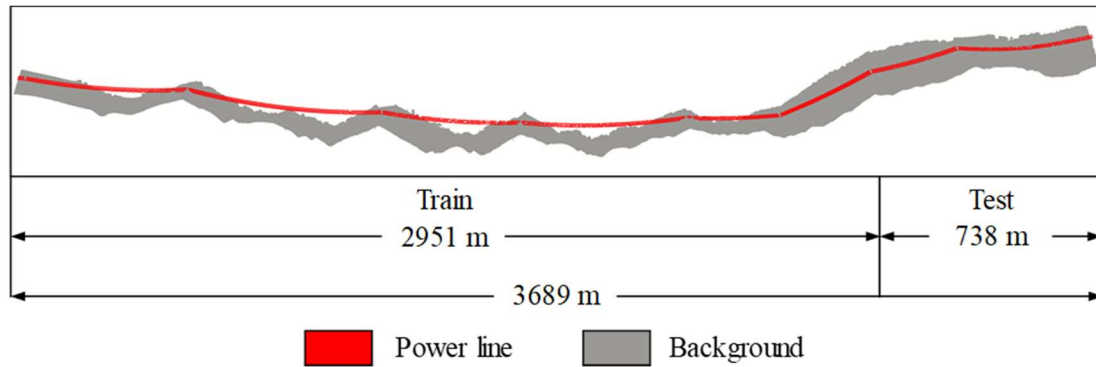


Figure 1. Visualization of the raw ALS point cloud within the 100 m buffered corridor. The data was longitudinally partitioned into an 80/20 train-test split based on the computed trajectory length.

All experiments were conducted on a workstation equipped with Ubuntu 22.04 long-term support (LTS) operating system, an Intel Core i7 central processing unit (CPU), 16 GB of random access memory (RAM), and an NVIDIA GeForce RTX 3070 graphics processing unit (GPU) featuring 8 GB of video random access memory (VRAM). This specific VRAM limitation strictly dictated the requirement for memory optimization strategies during the training phase.

Spatial Pre-processing and Patch Generation

To create a representation suitable for 2D convolutional processing, a localized spatial normalization approach was applied. A continuous digital terrain model (DTM) was first constructed via linear interpolation of the ASPRS-classified ground points, enabling height above ground (HAG) normalization. The raw 3D point cloud was then discretized into a 2D BEV grid with a spatial resolution of 0.25 m per pixel. Four metrics were calculated per spatial bin to form a multi-channel feature tensor:

- **Maximum HAG:** The highest point return within each pixel, relative to the interpolated DTM.
- **Mean Intensity:** The average laser return strength, differentiating highly reflective metallic cables from organic biomass.
- **Normalized Point Density:** The total laser returns per bin, clipped to the 95th percentile to mitigate flight-path overlap anomalies.

Localized Z-Range: The mathematical difference between maximum and minimum elevations strictly within each 0.25 m² pixel. This feature serves as the core physical differentiator: pixels containing suspended power lines simultaneously capture both the high-elevation cable and the ground beneath, yielding a significantly large internal Z-range, while ground-only pixels exhibit near-zero Z-range regardless of absolute terrain elevation.

The continuous raster grids were sliced into 256 × 256 pixel patches using a 50% overlapping stride (128 pixels). To prevent spatial data leakage, the training corridor was partitioned geographically at the raster level, allocating 85% of the longitudinal extent for training and the distal 15% strictly as an intra-epoch validation subset. This strategy of evaluating on completely spatially disjoint regions aligns with standard, rigorous remote sensing benchmarking practices, such as those established by the International Society for Photogrammetry and Remote Sensing (ISPRS) urban object detection challenge (Rottensteiner et al., 2014).

To address the severe class imbalance, two strategies were applied. First, 50% of training patches containing exclusively background pixels were dropped to reduce terrain bias. Second, offline geometric augmentation was applied exclusively to power line-containing training patches: 7 augmented versions per original patch (4 rotations × 2 flip states and Gaussian noise with a standard deviation of $\sigma=0.02$, applied to 3 random copies), expanding the effective power line training data by approximately 8-fold.

This augmentation strategy follows the foundational principles of Ronneberger et al. (2015), who demonstrated the necessity of excessive data augmentation to train segmentation networks with very few annotated images, and aligns with the broader survey findings of Shorten & Khoshgoftaar (2019) regarding the use of geometric transformations to alleviate class imbalance in limited datasets. The validation and test sets remained unaugmented to preserve metric integrity. The final patch distribution comprised 2051 training, 98 validation, and 134 test patches.

Deep Learning Architecture

Semantic segmentation was performed using U-Net++ (Zhou et al., 2018), which introduces dense, nested skip pathways that aggregate intermediate feature maps across multiple semantic scales, making it well-suited for reconstructing ultra-thin projected power line geometries. A squeeze-and-channel-spatial-excitation (SCSE) attention module (Roy et al., 2019) was added to the decoder to enhance the network's focus on thin linear structures occupying less than 0.1% of pixels. Four encoder backbones were evaluated, including VGG-16-BN, which served as the heavy-weight baseline parameter due to its classic and exceptionally deep spatial architecture. The framework was benchmarked against the modern, state-of-the-art EfficientNet-b4 approach, which utilizes depthwise-separable convolutions to uniformly scale network depth, width, and resolution simultaneously, ensuring superior feature representation across varying scales. Furthermore, ResNet-34 was integrated into the study to leverage residual skip connections, a design choice that facilitates deeper feature learning without the risk of gradient degradation during backpropagation. Finally, to address the requirements of low-power environments, MobileNet-v2 was included as an architecture specifically optimized for edge computing and low-latency inference through the use of inverted residuals.

Training Protocol

All models were developed within the PyTorch framework and trained using the AdamW optimizer (Loshchilov & Hutter, 2019) with an initial learning rate of 5×10^{-4} and decoupled weight decay of 0.01. The learning rate schedule consisted of a 5-epoch linear warmup from 1% of the base rate, followed by cosine annealing to a minimum of 10^{-6} over the remaining epochs. A maximum of 150 epochs was permitted, with early stopping (patience = 20 epochs) based on validation power line F1-score. The batch size was set to 8, following Masters & Luschi (2018), who demonstrated that smaller batches tend to converge to flatter minima and improve generalization. The loss function combined a multiclass adaptation of the dice loss (Milletari et al., 2016) and focal loss with a focusing parameter of $\gamma=2.0$ (Lin et al., 2017). A weighted random sampler ensured balanced epoch-level exposure between power line-containing and background-only patches.

Online augmentation (random horizontal/vertical flips, 90° rotations, and Gaussian noise with a standard deviation of $\sigma=0.02$) was applied exclusively during training. Automatic mixed precision (AMP) was employed to maintain training stability within the 8 GB VRAM constraint. After training, an exhaustive probability threshold sweep (0.15–0.80) was conducted on the validation set to identify the per-backbone threshold maximizing power line F1-score. For inference, 4-fold test-time augmentation (TTA) averaging softmax power line probabilities across the original, horizontally flipped, vertically flipped, and 90°-rotated versions was applied.

Evaluation Protocol

Quantitative evaluation was conducted at two levels. At the 2D raster level, per-pixel precision, recall, F1-score, mean F1-score, intersection over union (IoU), and mean IoU (mIoU) were computed on the test patches using the optimized backbone-specific thresholds and TTA.

At the 3D per-point level, the 2D segmentation masks were reprojected onto the original test point cloud using a height-aware back-projection strategy: a point was classified as power line only if (a) its BEV cell was predicted as power line, (b) its HAG exceeded 3.0 m, and (c) its HAG was within 1.5 m of the cell's maximum HAG. This height-aware filtering restricts power line labels to the topmost returns in each cell, eliminating false detections from lower-elevation objects (vegetation, terrain) that share the same horizontal footprint, a concept aligned with established height constraint methodologies in power line extraction (Jung et al., 2020). Per-point precision, recall, F1-score, mean F1-score, and mIoU were then computed against the original ground truth labels.

$$Precision = \frac{TP}{TP + FP} \quad (1)$$

$$Recall = \frac{TP}{TP + FN} \quad (2)$$

$$F1 - score = \frac{2 \times Precision \times Recall}{Precision + Recall} \quad (3)$$

$$IoU = \frac{TP}{TP + FP + FN} \quad (4)$$

$$Mean F1 - score = \frac{1}{N} \sum_{i=1}^N F1 - score_i \quad (5)$$

$$mIoU = \frac{1}{N} \sum_{i=1}^N IoU_i \quad (6)$$

The fundamental metrics for binary classification are derived from true positives (TP), false positives (FP), and false negatives (FN). While the mean F1-score and mIoU metrics are calculated based on the number of classes $N=2$.

RESULTS

2D Raster Segmentation

The four backbones were evaluated on the unseen test corridor comprising 8781824 pixels, consisting of 8774636 background and 7188 power line pixels. Due to the extreme class imbalance of 1221:1 at the test pixel level, power line class metrics are reported as the primary evaluation. Results are presented in Table 1.

Table 1. 2D raster segmentation results on the unseen test corridor for the power line class.

Backbone	Precision	Recall	F1-Score	IoU	Mean F1-Score	mIoU	Threshold	Epochs	s/epoch
VGG-16-BN	0.9827	0.9801	0.9814	0.9635	0.9907	0.9817	0.40	66/150	128.5
EfficientNet-b4	0.9881	0.9246	0.9553	0.9144	0.9776	0.9572	0.45	63/150	46.4
ResNet-34	0.9572	0.9462	0.9517	0.9078	0.9758	0.9538	0.15	53/150	47.9
MobileNet-v2	0.9345	0.9392	0.9369	0.8812	0.9684	0.9406	0.20	53/150	25.4

Quantitative evaluation revealed distinct performance profiles among the architectures. VGG-16-BN proved the most robust for extracting sparse infrastructure, achieving the highest power line F1-score (0.9814) with near-symmetric precision (0.9827) and recall (0.9801). It correctly delineated 7045 of the 7188 actual power line pixels while producing only 124 FP. Conversely, EfficientNet-b4 exhibited more conservative classification behavior. It secured the highest precision (0.9881) but at the expense of completeness, with recall dropping to 0.9246. This strictness reflects its optimized threshold of 0.45, prioritizing the avoidance of FP over continuous line extraction.

For a practical compromise, ResNet-34 balanced detection quality and computational load (47.9 s/epoch). Meanwhile, MobileNet-v2 prioritized speed, training at just 25.4 s/epoch with only modest accuracy trade-offs, making it highly suitable for resource-constrained mapping. Notably, the optimized training protocol ensured stable learning dynamics across all four backbones. None required the 150-epoch maximum; early stopping was universally triggered between 53 and 66 effective epochs, demonstrating highly efficient convergence without prolonged overfitting. These training trajectories are illustrated in Figure 2, while the exact distribution of predictions can be examined in the confusion matrices in Figure 3.

Figure 2. Training and validation loss curves (left), validation power line F1-score (center), and learning rate schedule (right) of the four evaluated architectures: a) VGG-16-BN, b) EfficientNet-b4, c) ResNet-34, and d) MobileNet-v2, showing rapid convergence and stable plateau behavior. Early stopping triggered between epochs 53 and 66.

VGG-16-BN demonstrated rapid initial convergence but experienced a distinct validation loss spike near epoch 48 before immediately recovering. EfficientNet-b4 displayed a smoother trajectory, maintaining a tight F1-score plateau without abrupt oscillations. ResNet-34 exhibited minor epoch-to-epoch variance in its validation metrics but converged reliably, while MobileNet-v2 achieved fast generalization with similarly stable learning dynamics. Across all architectures, the continuous training loss decay confirms that the implemented scheduling and augmentation protocols successfully prevented overfitting prior to early stopping.

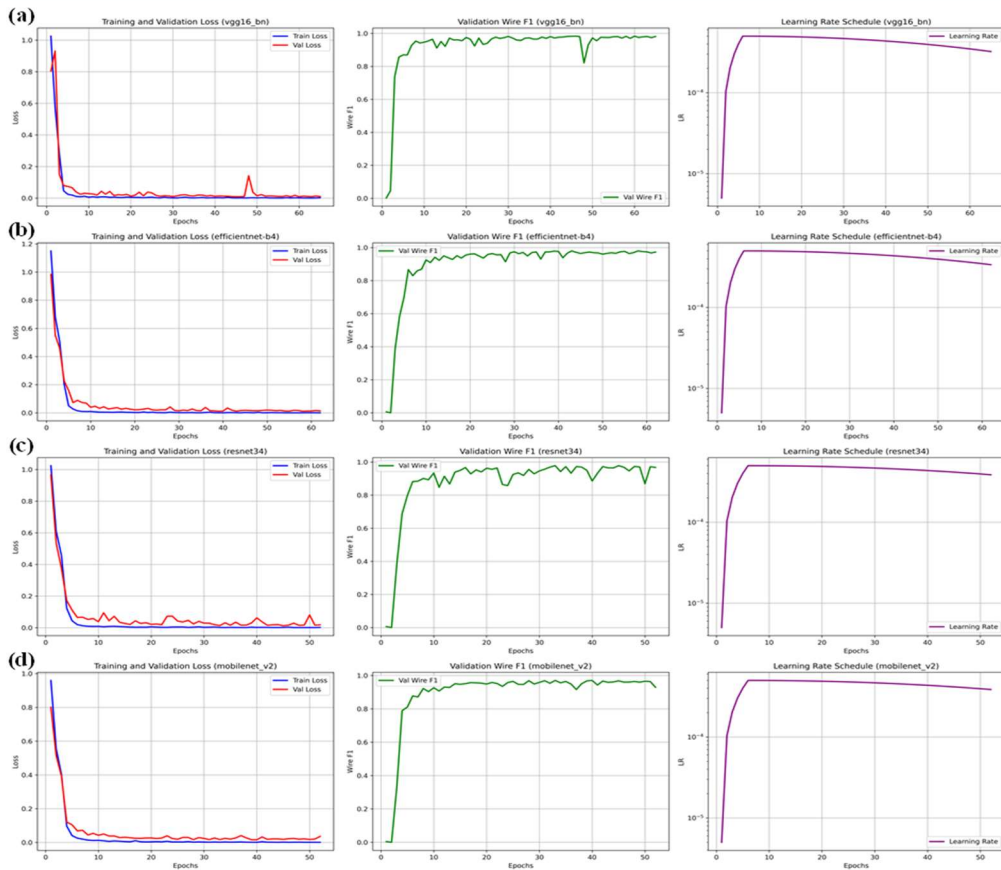


Figure 2. Training and validation loss curves (left), validation power line F1-score (center), and learning rate schedule (right) of the four evaluated architectures: a) VGG-16-BN, b) EfficientNet-b4, c) ResNet-34, and d) MobileNet-v2, showing rapid convergence and stable plateau behavior. Early stopping triggered between epochs 53 and 66.

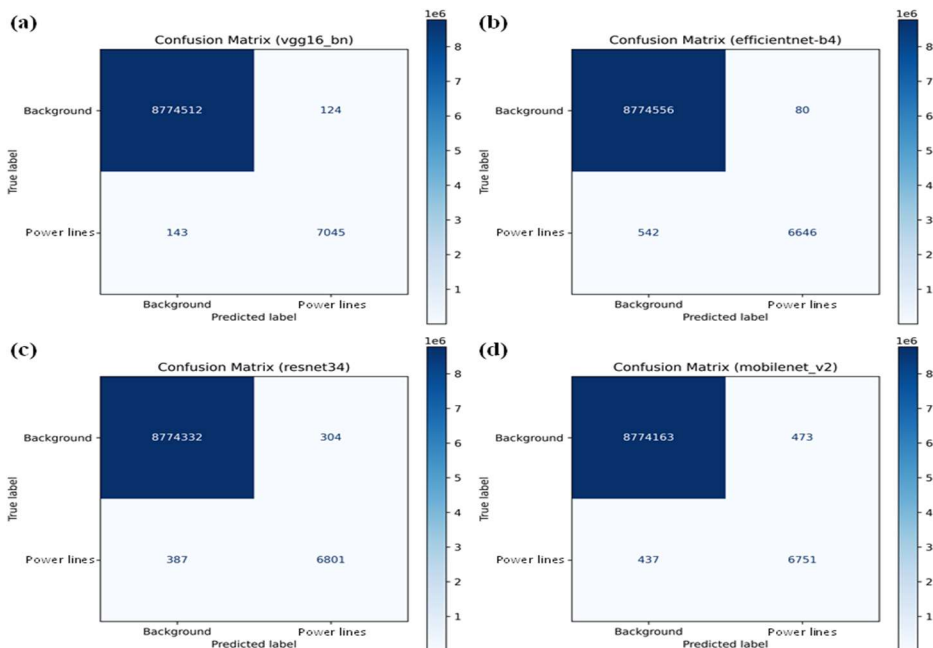


Figure 3. Confusion matrices for the evaluated backbones: a) VGG-16-BN, b) EfficientNet-b4, c) ResNet-34, and d) MobileNet-v2, indicating the exact volume of TP, FP, and FN out of the 8781824 total evaluated test pixels.

3D Per-Point Evaluation

To assess end-to-end pipeline performance, the 2D predictions were reprojected onto the original 3D test point cloud, comprising 2005170 points, including 1947 power line points, using height-aware back-projection. Results are presented in Table 2, with the corresponding per-point confusion matrices illustrated in Figure 4.

Table 2. 3D per-point evaluation results following height-aware back-projection.

Backbone	Precision	Recall	F1-Score	IoU	Mean F1-Score	mIoU
VGG-16-BN	0.9840	0.9810	0.9825	0.9656	0.9912	0.9828
EfficientNet-b4	0.9883	0.9076	0.9462	0.8979	0.9731	0.9489
ResNet-34	0.9586	0.9404	0.9494	0.9038	0.9747	0.9518
MobileNet-v2	0.9382	0.9276	0.9329	0.8742	0.9664	0.9370

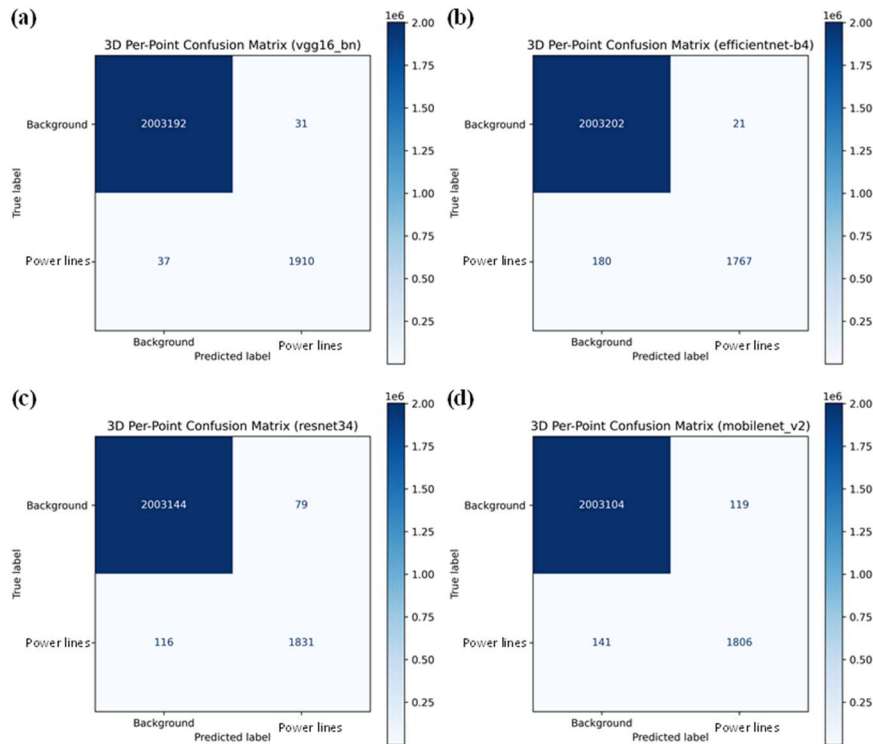


Figure 4. 3D per-point confusion matrices for the evaluated backbones: (a) VGG-16-BN, (b) EfficientNet-b4, (c) ResNet-34, and (d) MobileNet-v2, showing the distribution of TP, FP, and FN across 2005170 test points.

VGG-16-BN again achieved the highest performance, correctly classifying 1910 of 1947 true power line points with only 31 FP and 37 FN. The 3D results are highly consistent with the 2D evaluation, with VGG-16-BN maintaining a power line F1-score above 0.98 and the highest mean F1-score (0.9912) and mIoU (0.9828) in both evaluation domains. ResNet-34 and EfficientNet-b4 achieve comparable 3D performance (F1-score of 0.9494 and 0.9462, respectively, a difference of 0.003), with the marginal ranking variation attributable to differences in the backbone-specific optimized probability thresholds (0.15 vs. 0.45) and their interaction with the height-aware back-projection filter. As visible in the confusion matrices, EfficientNet-b4 produces the fewest FP of any backbone but misses 180 power line points, reflecting its conservative threshold.

ResNet-34 strikes a middle ground with 79 FP and 116 FN. MobileNet-v2, while the fastest to train, produces the highest combined error count (119 FP + 141 FN), consistent with its lower 2D performance. The height-aware back-projection strategy effectively preserved the high precision achieved in 2D by restricting power line labels to points near the top of each BEV cell, where actual conductors are located. Without this filtering, naive reprojection assigns power line labels to all points in power line-positive cells, including vegetation and terrain returns, which would substantially inflate the FP count.

Visual Assessment

To ensure that the 2D segmentation pipeline is practically viable for industrial applications, the native 2D predictions were visually assessed as displayed in Figure 5. Subsequently, prediction results were mapped back into 3D absolute space.

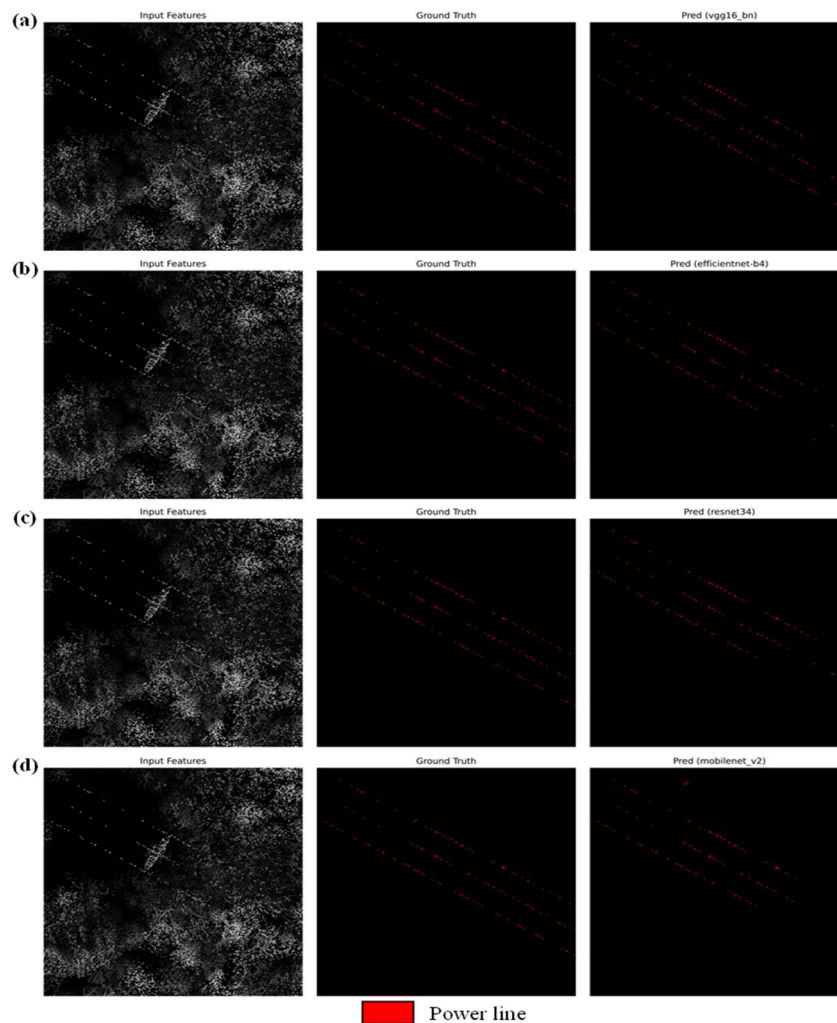


Figure 5. Visual comparison of 2D segmentation results. The input BEV feature map (left), ground truth mask (center), and model prediction (right) across the four architectures: a) VGG-16-BN, b) EfficientNet-b4, c) ResNet-34, and d) MobileNet-v2.

The prediction results of each model were reprojected into 3D point clouds to assess the final geometries visually, which are shown in Figure 6.

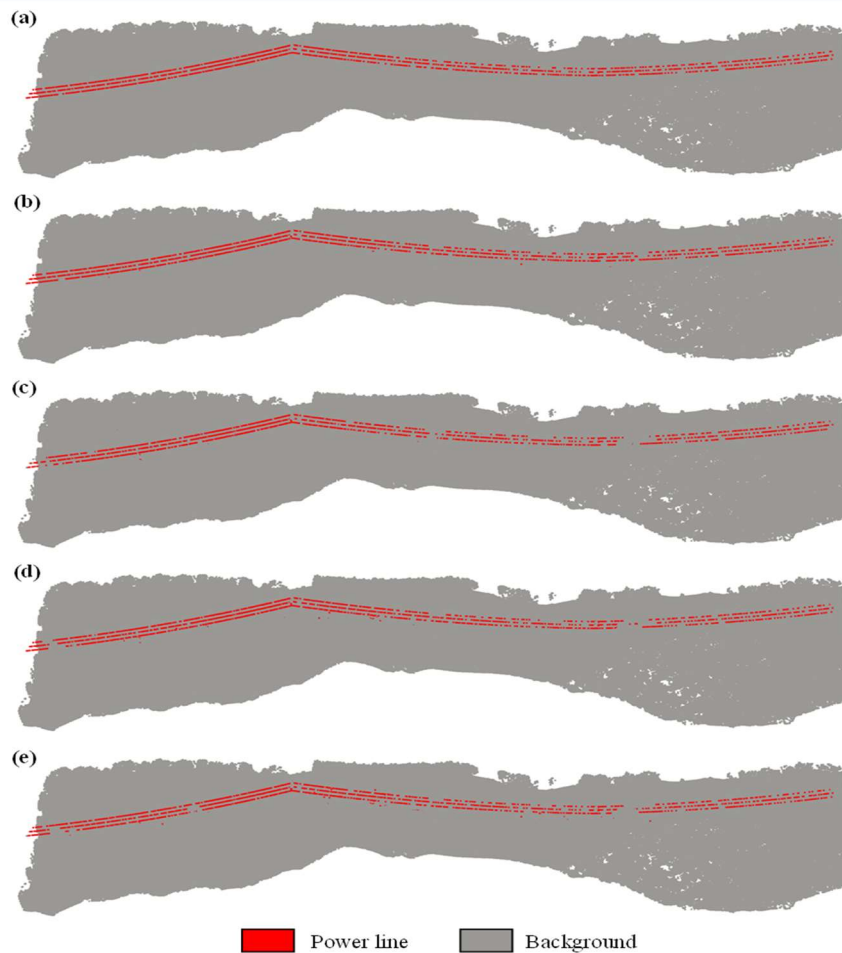


Figure 6. The final 3D reconstruction of the 2D deep learning predictions: (a) Ground truth, (b) VGG-16-BN, (c) EfficientNet-b4, (d) ResNet-34, (e) MobileNet-v2. Natively mapped back onto the original LiDAR point cloud, visualizing the successfully isolated continuous catenary curves.

The 2D-to-3D reconstruction successfully reconstructed the floating power transmission lines without introducing severe background noise from the underlying terrain. This seamless transition from a lightweight 2D image matrix back to an accurately classified 3D spatial geometry visually confirms that computationally prohibitive 3D volumetric convolutions are not strictly necessary for precise utility corridor mapping.

DISCUSSION

The results demonstrate that BEV projection with engineered physical features provides a highly effective framework for ALS power line extraction. VGG-16-BN's dominance across both evaluation levels (2D power line F1-score = 0.9814; 3D power line F1-score = 0.9825) suggests that its large, uniform convolutional filters excel at capturing the simultaneous cross-channel correlations, high HAG, high Z-range, and elevated intensity that characterize suspended conductors. By contrast, EfficientNet-b4's compound-scaled depthwise-separable convolutions, while parameter-efficient, decompose cross-channel interaction into sequential steps, which appears less suited to the four physically coupled input features. The finding that a classic architecture outperforms more modern designs on this specific task aligns with observations in other remote sensing domains where cross-channel feature interaction is critical.

The training protocol improvements, AdamW with weight decay, linear warmup, cosine annealing, and offline 8-fold augmentation of power line patches, contributed substantially to the final performance. All backbones achieved validation power line F1-score above 0.97 and triggered early stopping between epochs 53 and 66, confirming efficient convergence even with the expanded 2051-patch training set. Post-training threshold optimization on the validation set and 4-fold TTA at inference further improved recall without sacrificing precision. The close agreement between 2D and 3D metrics (within 0.002 F1 for VGG-16-BN) validates the height-aware back-projection strategy. The 1.5 m tolerance parameter effectively restricts power line labels to the topmost returns in each BEV cell, exploiting the physical fact that conductors are the highest objects in their immediate footprint. This eliminates the FP that would arise from naively assigning power line labels to all points in a positively classified cell. A limitation of the projection-based approach is the inherent loss of vertical resolution when collapsing the Z-axis into a 2D grid. In corridors with dense tree canopy extending to power line height, the BEV representation cannot distinguish vertically co-located objects within the same 0.25 m² cell. Native 3D segmentation methods such as RandLA-Net (Hu et al., 2020) or KPConv (Thomas et al., 2019) avoid this limitation by operating directly on individual points. However, these architectures impose substantially greater computational requirements. The 2D framework presented here achieves power line F1-score exceeding 0.98 on standard hardware (8 GB VRAM) while training in approximately one minute per epoch for most backbones, demonstrating that the projection-based approach is both accurate and practically deployable.

CONCLUSION

An optimized BEV projection-based semantic segmentation framework for extracting power line conductors from ALS point clouds has been presented. By engineering four physically motivated 2D feature channels and benchmarking U-Net++ with SCSE attention across four encoder architectures, the study demonstrates that VGG-16-BN achieves a power line F1-score of 0.9814 at the 2D raster level and 0.9825 at the 3D per-point level, with only 31 FP out of over 2 million test points. The proposed height-aware back-projection strategy maintains this accuracy when mapping 2D predictions back to the original 3D point cloud. All four backbones exceed the power line F1-score of 0.93, confirming the robustness of the BEV feature engineering approach across diverse architectural designs. For operational deployment under hardware constraints, ResNet-34 offers the optimal efficiency–accuracy trade-off at 47.9 s/epoch and power line F1-score of 0.9517. Future research directions include extending the framework to multi-class corridor segmentation (pylons, vegetation, ground) and investigating hybrid approaches that combine 2D BEV features with native 3D point-level refinement for corridors with dense vertical object co-occurrence.

REFERENCES

- He, K., Zhang, X., Ren, S., & Sun, J. (2016). Deep residual learning for image recognition. *Proceedings of the IEEE Conference on Computer Vision and Pattern Recognition*, 770–778.
- Hu, Q., Yang, B., Xie, L., Rosa, S., Guo, Y., Wang, Z., Trigoni, N., & Markham, A. (2020). Randla-Net: Efficient semantic segmentation of large-scale point clouds. *Proceedings of the IEEE Computer Society Conference on Computer Vision and Pattern Recognition*, 11105–11114.
- Jung, J., Che, E., Olsen, M. J., & Shafer, K. C. (2020). Automated and efficient powerline extraction from laser scanning data using a voxel-based subsampling with hierarchical approach. *ISPRS Journal of Photogrammetry and Remote Sensing*, 163, 343–361.

Li, W., Luo, Z., Xiao, Z., Chen, Y., Wang, C., & Li, J. (2022). A GCN-Based Method for Extracting Power Lines and Pylons from Airborne LiDAR Data. *IEEE Transactions on Geoscience and Remote Sensing*, 60, 1–14.

Lin, T. Y., Goyal, P., Girshick, R., He, K., & Dollar, P. (2017). Focal Loss for Dense Object Detection. *Proceedings of the IEEE International Conference on Computer Vision*, 2999–3007.

Loshchilov, I., & Hutter, F. (2017). SGDR: Stochastic gradient descent with warm restarts. *5th International Conference on Learning Representations*.

Loshchilov, I., & Hutter, F. (2019). Decoupled weight decay regularization. *7th International Conference on Learning Representations*.

Masters, D., & Luschi, C. (2018). Revisiting Small Batch Training for Deep Neural Networks. *arXiv preprint arXiv:1804.07612*.

Milletari, F., Navab, N., & Ahmadi, S. A. (2016). V-Net: Fully convolutional neural networks for volumetric medical image segmentation. *Proceedings of 4th International Conference on 3D Vision*, 565–571.

Qi, C. R., Su, H., Mo, K., & Guibas, L. J. (2017a). PointNet: Deep Learning on Point Sets for 3D Classification and Segmentation. *IEEE Conference on Computer Vision and Pattern Recognition*, 652–660.

Qi, C. R., Yi, L., Su, H., & Guibas, L. J. (2017b). PointNet++: Deep Hierarchical Feature Learning on Point Sets in a Metric Space. *Advances in Neural Information Processing Systems*, 30.

Ronneberger, O., Fischer, P., & Brox, T. (2015). U-net: Convolutional networks for biomedical image segmentation. *International Conference on Medical Image Computing and Computer-Assisted Intervention*, 234–241.

Rottensteiner, F., Sohn, G., Gerke, M., Wegner, J. D., Breitkopf, U., & Jung, J. (2014). Results of the ISPRS benchmark on urban object detection and 3D building reconstruction. *ISPRS Journal of Photogrammetry and Remote Sensing*, 93, 256–271.

Roy, A. G., Navab, N., & Wachinger, C. (2019). Recalibrating Fully Convolutional Networks With Spatial and Channel “Squeeze and Excitation” Blocks. *IEEE Transactions on Medical Imaging*, 38(2), 540–549.

Sandler, M., Howard, A., Zhu, M., Zhmoginov, A., & Chen, L. C. (2018). MobileNetV2: Inverted Residuals and Linear Bottlenecks. *Proceedings of the IEEE Conference on Computer Vision and Pattern Recognition*, 4510–4520.

Shorten, C., & Khoshgoftaar, T. M. (2019). A survey on Image Data Augmentation for Deep Learning. *Journal of Big Data*, 6(60).

Simonyan, K., & Zisserman, A. (2015). Very deep convolutional networks for large-scale image recognition. *arXiv preprint arXiv:1409.1556*.

Tan, M., & Le, Q. V. (2019). EfficientNet: Rethinking model scaling for convolutional neural networks. *36th International Conference on Machine Learning*, 6105–6114.

Thomas, H., Qi, C. R., Deschard, J. E., Marcotegui, B., Goulette, F., & Guibas, L. (2019). KPConv: Flexible and deformable convolution for point clouds. *Proceedings of the IEEE International Conference on Computer Vision*, 6410–6419.

Zhou, Z., Rahman Siddiquee, M. M., Tajbakhsh, N., & Liang, J. (2018). Unet++: A nested u-net architecture for medical image segmentation. *Deep Learning in Medical Image Analysis and Multimodal Learning for Clinical Decision Support*, 3–11.

PREDICTION OF URBAN SURFACE DEFORMATIONS USING SENTINEL-1 PSI TIME SERIES AND LSTM NETWORKS

Mertcan NAZAR

Gebze Technical University, Faculty of Engineering, Department of Geomatics Engineering,
Gebze, Kocaeli.

ORCID ID: 0000-0002-3280-5685

Umut Güneş SEFERCİK

Prof. Dr., Gebze Technical University, Faculty of Engineering, Department of Geomatics
Engineering, Gebze, Kocaeli.

ORCID ID: 0000-0003-2403-5956

ABSTRACT

Persistent scatterer interferometry (PSI) exploiting Sentinel-1 C-band synthetic aperture radar (SAR) imagery delivers high-density, millimeter-precision measurements of urban surface deformation. However, the derived line-of-sight (LOS) deformation time series frequently contain atmospheric phase screen residuals and spatially correlated noise that severely compromise the reliability of downstream autoregressive prediction. Classical parametric extrapolation fails to capture non-stationary subsidence dynamics, while existing deep learning implementations often suffer from temporal data leakage and unconstrained recursive divergence. To resolve these limitations, this study introduces a strictly causal, physics-informed data engineering and deep learning pipeline to predict cumulative LOS deformation across the European side of Istanbul, Türkiye. A temporal stack of 120 consecutive ascending Sentinel-1A acquisitions (January 2022 to January 2026) was inverted to extract 1.3 million persistent scatterer (PS) points. To isolate genuine geotechnical signals, residual long-wavelength spatial trends were suppressed via independent per-epoch degree-2 ridge polynomial detrending. A population-level MinMaxScaler, calibrated exclusively on the training interval to eliminate look-ahead bias, was combined with velocity-stratified sampling and causal backward-looking temporal smoothing. This conditioned input fed a dual-layer long short-term memory (LSTM) network utilizing 128 units, recurrent dropout, and mixed-precision computation. Evaluated on a blind 10-month temporal test window, the LSTM achieved a one-step-ahead coefficient of determination of 0.976 and a root mean square error (RMSE) of 0.92 mm, outperforming a stringent persistence baseline metric by 19.7%. A rigorous 24-step recursive prediction yielded a 2.06 mm error margin, demonstrating robust autoregressive stability without divergent runaway. Operational rollouts projecting to December 2026 indicate that over 93% of the analyzed metropolitan footprint remains within ± 10 mm of cumulative deformation, with critical subsidence hotspots clearly delineated across localized areas. Ultimately, this study contributes a methodologically transparent framework for metropolitan-scale geohazard monitoring, advancing the reliable application of sequential neural network prediction to high-resolution PSI time series.

Keywords: InSAR, PSI, Sentinel-1, LSTM, Deep Learning, Deformation Prediction

SENTINEL-1 PSI ZAMAN SERİLERİ VE LSTM AĞLARI KULLANARAK KENTSEL YÜZEY DEFORMASYONLARININ TAHMİNİ

ÖZET

Sentinel-1 C-bandı yapay açıklıklı radar (SAR) görüntülerini kullanan sürekli saçıcılar interferometrisi (PSI), kentsel yüzey deformasyonlarının milimetre hassasiyetinde ve son derece yüksek yoğunluklu ölçümünü sağlar.

Ancak üretilen bakış doğrultusu (LOS) zaman serileri ardışık tahminlerin güvenilirliğini ciddi şekilde bozan atmosferik faz kalıntıları ve mekânsal ilişkili gürültüler barındırır. Klasik parametrik ekstrapolasyon durağan olmayan çökme dinamiklerini modelleyemezken, mevcut derin öğrenme uygulamaları sıklıkla zamansal veri sızıntısı ve kontrolsüz özyineli iraksama sorunları yaşar. Bu problemleri çözmek için, bu çalışma İstanbul'un Avrupa Yakası'ndaki kümülatif LOS deformasyonunu tahmin etmek amacıyla nedensel, fizik tabanlı bir veri mühendisliği ve derin öğrenme mimarisi sunmaktadır. Ocak 2022-Ocak 2026 arasını kapsayan 120 ardışık çıkan yörünge Sentinel-1A görüntüsünden oluşan devasa yığın çözümlenerek 1.3 milyon sürekli saçıcı (PS) nokta elde edilmiştir. Gerçek sinyalleri izole etmek amacıyla, uzun dalga boylu mekânsal yönelimler, epok bazlı bağımsız ikinci derece ridge polinom detrend işlemiyle tümüyle bastırılmıştır. İleriye dönük bias durumunu önlemek üzere yalnızca eğitim aralığında kalibre edilen popülasyon düzeyindeki MinMaxScaler, hız katmanlı örnekleme ve nedensel geriye dönük zamansal yumuşatmayla doğrudan birleştirilmiştir. Bu koşullandırılmış girdi, 128 ünite, yinelemeli seyreltme ve karmaşık hassasiyetli hesaplama kullanan iki katmanlı uzun kısa süreli bellek (LSTM) ağına girdi olarak verilmiştir. On aylık kör test penceresinde değerlendirilen LSTM, bir adım ileri determinasyon katsayısını 0.976 ve kök ortalama kare hatasını (RMSE) 0.92 mm olarak hesaplayıp, zorlu kalıcılık temel ölçütünü (persistence baseline metric) %19.7 oranında geçmiştir. Titiz bir 24 adımlı özyineli tahmin, 2.06 mm hata payı üreterek, iraksak kontrolden çıkma (divergent runaway) durumu yaşanmadan son derece sağlam bir otoregresif stabilite sergilemiştir. Aralık 2026'ya uzanan operasyonel projeksiyonlar, analiz edilen metropol alanının %93'ünden fazlasının ± 10 mm deformasyon sınırlarında kaldığını, kritik çökme noktalarının yerel bölgelerde belirginleştiğini göstermektedir. Sonuç olarak, ardışık sinir ağı tahminlerinin yüksek çözünürlüklü PSI zaman serilerine son derece güvenilir biçimde uygulanmasını sağlayarak, metropol ölçekli jeotehlike izleme uygulamaları için yöntemsel açıdan tamamen şeffaf bir çerçeve sunmaktadır.

Anahtar kelimeler: InSAR, PSI, Sentinel-1, LSTM, Derin Öğrenme, Deformasyon Zaman Serisi.

INTRODUCTION

Monitoring millimeter-scale urban surface deformation across structurally complex metropolitan environments demands high-density geodetic measurement. Persistent scatterer interferometry (PSI), first formalized by Ferretti et al. (2001), fulfills this operational requirement by extracting phase-stable radar reflectors from satellite synthetic aperture radar (SAR) time series. PSI yields spatial densities routinely exceeding 1,000 points per square kilometer in urbanized terrain (Crosetto et al., 2016) and has been applied extensively to subsidence mapping in rapidly expanding megacities such as Mexico City (Osmanoğlu et al., 2011), Jakarta (Abidin et al., 2011), and Beijing (Chen et al., 2015). The Copernicus Sentinel-1 mission provides the fundamental C-band imagery facilitating these large-scale analyses. Employing the terrain observation with progressive scans (TOPSAR) acquisition technique, the satellite acquires data in interferometric wide swath (IW) mode with a 12-day revisit cycle (Torres et al., 2012).

Despite the established maturity of PSI spatial measurement, the temporal forecasting of the resulting deformation trajectories remains an open research challenge. Classical geodetic approaches apply parametric models to extrapolate deformation trends. These rigid models inherently assume stationarity within the deformation process and consistently fail to capture nonlinear accelerations triggered by seasonal hydrological loading or episodic construction activity. Recurrent neural networks offer a purely data-driven alternative. Long short-term memory (LSTM) architectures, introduced by Hochreiter & Schmidhuber (1997), are uniquely suited to modeling arbitrary temporal dependencies through learned cell-state gate mechanisms capable of retaining or discarding historical deformation information.

Recent literature highlights the rapid adoption of LSTM for interferometric SAR (InSAR) applications. Ma et al. (2020) forecasted landslide deformations using PSI inputs in the Three Gorges region. Peng et al. (2024) integrated independent component analysis with LSTM, partitioning Beijing into deformation-homogeneous zones via K-means clustering to achieve significant accuracy improvements over global models. However, severe methodological inconsistencies persist within applied InSAR-LSTM frameworks. A critical failure point is the inadvertent introduction of temporal data leakage.

Common operational violations include fitting normalization parameters on data spanning the test period, applying non-causal temporal smoothing filters that drag future structural anomalies into historical training windows, and selecting validation sequences through spatially contiguous blocks rather than strict temporal holdouts. These practices artificially inflate reported prediction accuracies, rendering the networks fragile when deployed in operational settings where future observational data remains strictly unavailable.

The objective of this research is to architect and validate a strictly causal, physics-informed prediction pipeline that eradicates these data integrity vulnerabilities while maintaining computational scalability across metropolitan persistent scatterer (PS) point densities. The developed framework relies on three distinct methodological components. First, raw SARscape PSI outputs are subjected to independent per-epoch degree-2 ridge polynomial detrending to aggressively suppress long-wavelength orbital and atmospheric residuals prior to network ingestion. Second, a highly constrained data engineering sequence is executed, integrating population-level scaling, velocity-stratified sampling, and purely backward-looking temporal smoothing. Third, a multi-tier evaluation protocol is deployed to independently assess persistence heuristics, one-step-ahead theoretical capacity, and operational recursive multi-step prediction stability.

MATERIALS AND METHODS

Study Area and Geological Context

The geographic domain of this investigation encompasses the European side of the Istanbul metropolitan region, capturing a highly heterogeneous urban landscape. The region occupies a tectonically complex setting astride the western terminus of the North Anatolian Fault Zone (NAFZ). This active structural regime is superimposed upon diverse topographical features that heavily influence the spatial distribution of surface deformation. The regional terrain transitions sharply from high-elevation, rugged topography dominating the northern sectors and the Bosphorus Strait, to low-lying coastal plains and intersecting stream valleys in the south.

The Küçükçekmece Lake basin, situated in the southwestern quadrant, represents a critical geomorphological vulnerability. Ground subsidence within these specific topographic depressions is driven by a complex superposition of natural soil consolidation, volumetric compaction triggered by fluctuations in the regional groundwater table, and the immense differential loading imposed by relentless urban expansion and infrastructure development. Quantifying the temporal kinematics of these specific subsidence bowls requires high-density radar monitoring capable of resolving localized gradients across sharp topographical boundaries.

SAR Data Characteristics

To construct the deformation time series, a continuous temporal stack of 120 Sentinel-1A acquisitions was sourced from the Copernicus Open Access Hub. The imagery, acquired exclusively along ascending relative orbit 58, spans a four-year observational window from 12 January 2022 through 15 January 2026. Operating in IW mode utilizing VV polarization, the C-band (5.55 cm wavelength) synthetic aperture radar sensor captures a 250 km total swath width.

The focused single-look complex (SLC) data products provide a nominal spatial resolution of 5 m in ground range and 20 m in azimuth, with the satellite viewing the topography at incidence angles ranging from 29° to 46° across the three distinct IW sub-swaths. The technical specifications of the SAR dataset are presented in Table 1.

Table 1. Sentinel-1A dataset specifications and orbital parameters.

Features	Description
Product type	Sentinel-1A TOPS SLC
Orbit direction	Ascending
Polarization	VV
Acquisition mode	IW
Wavelength	C-band (5.55 cm)
Number of images	120
Acquisition date	12/01/2022 to 15/01/2026
Relative orbit	58
Spatial resolution	5 m (range) × 20 m (azimuth)
Revisit frequency	12 days
Incidence angle	29° to 46°

PSI Processing and Interferometric Network

The PSI process was executed within the ENVI SARscape 5.6.2.1 processing environment, utilizing the dedicated interferometric stacking module. To minimize temporal and perpendicular decorrelation across the 120-image sequence, a strict single-master star-graph configuration was adopted. The central master image, acquired on 14 January 2024, anchored the generation of 119 sequential interferometric pairs as shown in Figure 1.

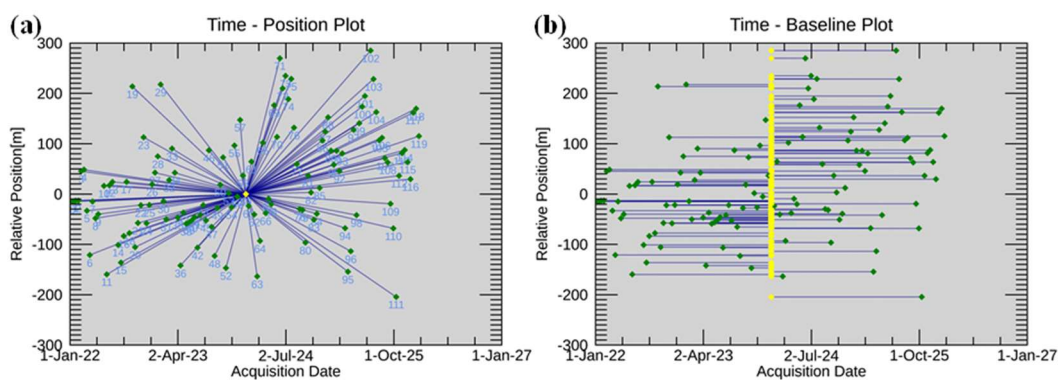


Figure 1. Interferometric acquisition network configuration for the 120-image Sentinel-1A stack. (a) Time-baseline plot illustrating the perpendicular baseline distribution relative to the master image. (b) Time-position plot detailing temporal connectivity across the 119 generated interferometric pairs.

The automated SARscape inversion pipeline systematically executed coregistration, interferogram generation, atmospheric phase screen (APS) estimation, and singular value decomposition (SVD) based phase unwrapping.

Operating under a rigid temporal coherence threshold of 0.75, the initial linear deformation inversion isolated phase-stable targets capable of surviving the four-year observational span. Geocoded outputs were materialized as localized DBF attribute tables yielding 999999 and 315599 targets, respectively, culminating in a merged database comprising 1315598 valid PS points. The absolute cumulative deformation history for each point was extracted across all 120 acquisition dates. Processing was conducted on a workstation equipped with an Intel Core i7-11800H (2.30 GHz, 16 threads), 16 GB system random access memory (RAM), and an NVIDIA GeForce RTX 3070 graphics processing unit (GPU) with 8 GB video RAM (VRAM), running Ubuntu 22.04 LTS with Python 3.10, TensorFlow 2.15.1, and CUDA 12.2.

Physics-Informed Data Engineering

While geometrically precise, raw PSI deformation histories inherently retain spatially correlated low-frequency noise. These artifacts are generated by imperfectly modeled atmospheric phase screens, specifically tropospheric water vapor delays and residual orbital ramp errors traversing the 250 km TOPSAR swath. To properly condition the multidimensional deformation matrices for neural network ingestion without triggering temporal or distributional data leakage, an explicit four-stage data engineering architecture was implemented.

- **Spatial Detrending:** A degree-2 ridge polynomial surface was formulated and fitted independently to each of the 120 deformation epochs as a direct function of geographic longitude and latitude coordinates. At each independent temporal slice, the mathematically fitted trend surface capturing the longest-wavelength spatial gradients exclusively was cleanly subtracted from the raw line-of-sight deformation field. Utilizing a stiff quadratic constraint characterized by only five polynomial parameters mapped across 1.3 million points ensures the detrending algorithm lacks the mathematical flexibility to inadvertently absorb legitimate, localized urban subsidence patterns operating at building or neighborhood scales. Executing this fit independently per epoch dynamically isolates transient atmospheric phase effects that vary entirely between sequential 12-day acquisitions while rigidly preserving the temporal independence of the input sequence.
- **Population-Level Scaling:** Deep learning architectures executing autoregressive operations demand strictly bounded numerical domains to prevent internal activation saturation. A MinMaxScaler configuration targeting a bounded $[-1, 1]$ interval was calibrated exclusively against the training-interval deformation histories spanning January 2022 through March 2025. Standardizing the scaling parameters at the population level guarantees that the numerical boundaries mathematically encapsulate the absolute physical maximums of both regional subsidence and uplift. This global bounding physically prevents inverse-transform explosion phenomena during the recursive prediction phases. Critically, no test-period observational data contributed to the scaling fit, eliminating a primary source of literature-wide data leakage.
- **Velocity-Stratified Sampling:** Urban PSI matrices are overwhelmingly dominated by zero-deformation bedrock targets. Random sampling across such geometries yields heavily imbalanced training cohorts, coercing neural networks into exhibiting catastrophic mean-reversion during long-horizon forecasting. To counter this structural bias, an active training subset of 50000 points was extracted utilizing stratified random sampling, partitioned strictly across 10 quantile bins based upon cumulative final-epoch deformation. Equal allocation across bins forced the learning algorithm to distribute backpropagation gradients proportionally across extreme subsidence trajectories, high-magnitude uplift, and the vast stable baseline.
- **Causal Temporal Smoothing:** High-frequency thermal radar noise and minor phase unwrapping anomalies were suppressed utilizing a strict backward-looking rolling mean constrained to a 3-acquisition temporal window.

Because the rolling operation explicitly references only current and historical values, future deformation states cannot mathematically bleed into the smoothed training sequence. Utilizing non-causal centered averages, a frequent error in applied deep learning literature fundamentally compromises validation integrity by embedding test-period phase values directly into historical training inputs.

LSTM Architecture and Hyperparameter Selection

The sequential prediction engine was constructed utilizing a dual-layer LSTM architecture featuring 128 hidden units per recurrent layer. The selection of 128 units represents an optimized balance determined through extensive preliminary ablation testing. Architectures utilizing 32 or 64 units failed to fully map the non-stationary acceleration kinematics of the alluvial subsidence bowls, whereas 256-unit architectures overparameterized the network, triggering rapid overfitting against the relatively constrained 120-step total temporal sequence. Hyperbolic tangent activations governed the internal cell states, with a 10% recurrent dropout penalty applied iteratively after each LSTM layer to aggressively disrupt structural memorization. A final dense output neuron operating in unconstrained float32 precision yielded the single scalar deformation prediction. Input tensors were shaped to a length of 10 sequential steps, supplying the network with approximately 120 days of historical radar phase evolution to output the subsequent predicted epoch. To leverage the physical tensor cores of the RTX 3070 architecture, mixed-precision float16 computation was activated, substantially compressing execution times without degrading floating-point loss convergence. The Adam optimization algorithm (Kingma & Ba, 2015) updated network weights targeting a mean squared error (MSE) objective function operating at a controlled 0.001 learning rate. Validation sequences were explicitly separated prior to sequence batching via a 10% randomized extraction, actively bypassing the default sequential Keras validation_split command, which inadvertently introduces severe spatial bias by segmenting contiguous geographic blocks. Early stopping protocols monitored the segregated validation loss with a 60-epoch patience threshold, capping theoretical iteration at 400 epochs, and restoring peak-performance weights upon termination.

Three-Tier Evaluation Framework

Evaluation mechanics were restricted entirely to the blind temporal holdout window encompassing March 2025 through January 2026, representing the final 20% of the acquired radar data. A progressive three-tier schema characterized operational deployment viability. Tier 1 defined the persistence baseline comparator. Ground deformation kinematics evolve slowly relative to the Sentinel-1 12-day orbital cadence. Predicting that a scatterer simply maintains its immediately prior deformation value yields a mathematically formidable baseline metric that any proposed machine learning architecture must demonstrably overcome to justify its immense computational overhead. Tier 2 analyzed the theoretical one-step-ahead LSTM capability. At each designated test epoch, the network ingested 10 true historical observations to predict the immediate forward step. This isolation measures the raw capability of the architecture to extract underlying structural patterns from uncontaminated physical data. Tier 3 executed the operational recursive multi-step LSTM prediction. Bootstrapped exclusively from the final 10 observations of the training period, the model was forced to generate the complete 10-month prediction autonomously, recursively feeding its own theoretical outputs back into the input tensor. This harsh evaluation mirrors genuine operational deployment targeting December 2026, where future satellite data remains physically unacquired. To prevent unrestrained autoregressive mathematical divergence, all recursive outputs were rigidly clipped to the [-1.0, 1.0] scaled domain before reinjection, maintaining the prediction within validated physical boundaries.

RESULTS

Training Convergence and Global Model Performance

Network training established convergence at epoch 226, achieving a minimum validation MSE of 2.60×10^{-5} . The early stopping mechanism halted computation entirely at epoch 286. The terminal training-to-validation loss ratio settled at 1.031, a numerical inversion consistent with the deployment of recurrent dropout layers, wherein the training loss artificially exceeds validation loss due to the random disabling of 10% of the active LSTM units during forward propagation passes. As illustrated in Figure 2, no mathematical divergence or separation between the training and validation loss curves manifested at any interval during the 286-epoch sequence, confirming absolute structural generalization across the entire spatial array. Hardware profiling indicated a highly stable mean processing duration of approximately 63 seconds per epoch.

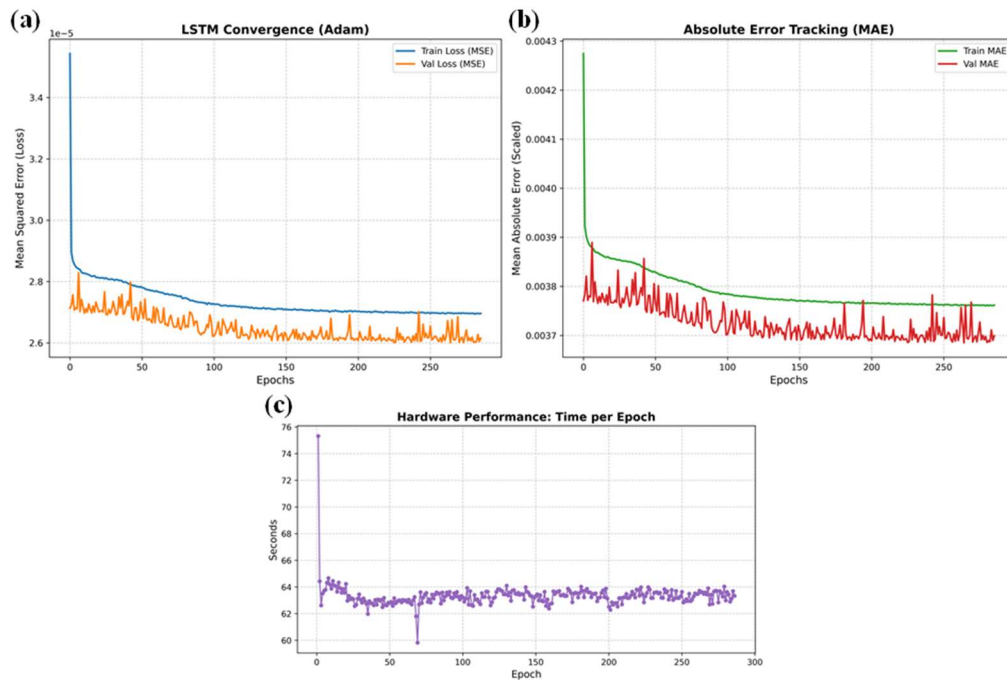


Figure 2. Dual-layer LSTM training diagnostics demonstrating rapid initialization and sustained generalization. (a) Mean squared error (MSE) loss curves for training and validation sets extending through 286 epochs. (b) Mean absolute error (MAE) is evaluated continuously in the scaled domain. (c) The hardware performance profiling graph tracks consistent execution timing per epoch. The persistent gap between training and validation loss is attributable to the 10% recurrent dropout.

Operating against the blind temporal validation window, the LSTM secured a one-step-ahead coefficient of determination (R^2) of 0.976 paired with a root mean square error (RMSE) of 0.92 mm and a MAE of 0.65 mm. Evaluated against the identical validation subset, the stringent persistence baseline returned an R^2 of 0.963 and an RMSE of 1.14 mm. The LSTM architecture consequently reduced total prediction error by 19.7% relative to the persistence comparator. Defeating the high-autocorrelation persistence heuristic definitively establishes that the recurrent network architecture extracted and modeled genuine non-stationary temporal dynamics rather than engaging in naive nearest-neighbor observation replication. Subjected to the punishing recursive 24-step rollout and calculated against a 1000-point randomized extraction from the velocity-stratified array, the network maintained a 2.06 mm RMSE. This output represents an approximate 2.2-factor degradation relative to the controlled one-step accuracy.

This specific degradation magnitude is entirely characteristic of inherent error accumulation phenomena dictating deep learning autoregressive sequential prediction operations. Table 2 summarizes the complete three-tier evaluation metrics.

Table 2. Comprehensive three-tier evaluation metrics were analyzed directly upon the unseen temporal test window (March 2025 through January 2026).

Evaluation Tier	R ²	RMSE (mm)	MAE (mm)
Persistence Baseline	0.963	1.14	0.81
LSTM One-Step-Ahead	0.976	0.92	0.65
LSTM Recursive 24-Step	—	2.06	—

The scatter plot of predicted versus observed deformation values on the test set, presented in Figure 3, exhibits a regression slope of 0.98 and an intercept of -0.01 mm, indicating negligible systematic bias across the full deformation range of the evaluated deformation domain.

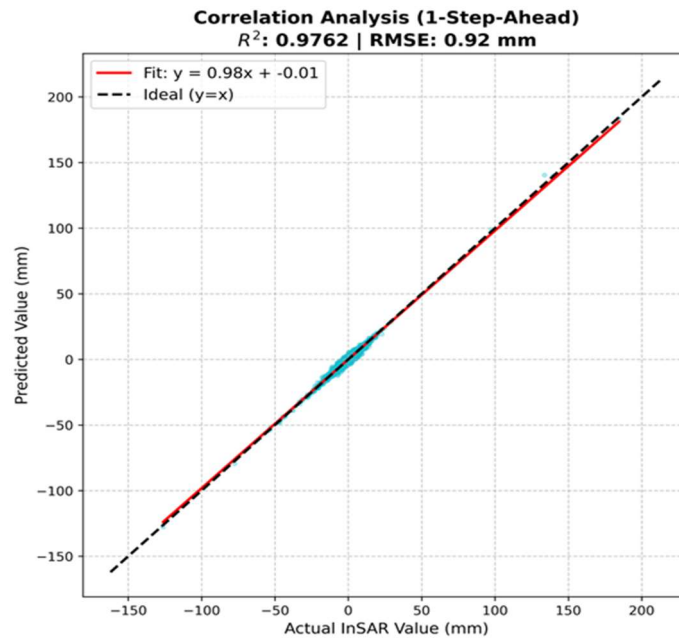


Figure 3. One-step-ahead correlation analysis on the unseen temporal test window. The regression fit (red line) closely tracks the ideal 1:1 relationship (dashed black line), with R² = 0.976 and RMSE = 0.92 mm.

Autoregressive Prediction Stability and Percentile Evaluation

To rigorously validate physical prediction stability across highly distinct geotechnical regimes, individual coordinate trajectories were extracted at the 5th, 25th, 50th, and 95th cumulative deformation percentiles. Isolating performance via broad statistical percentiles circumvents the inherent instability of evaluating standard argmin/argmax extraction targets, which routinely consist of anomalous, unrepresentative spatial outliers. Recursive 30-step prediction results are presented in Figure 4.

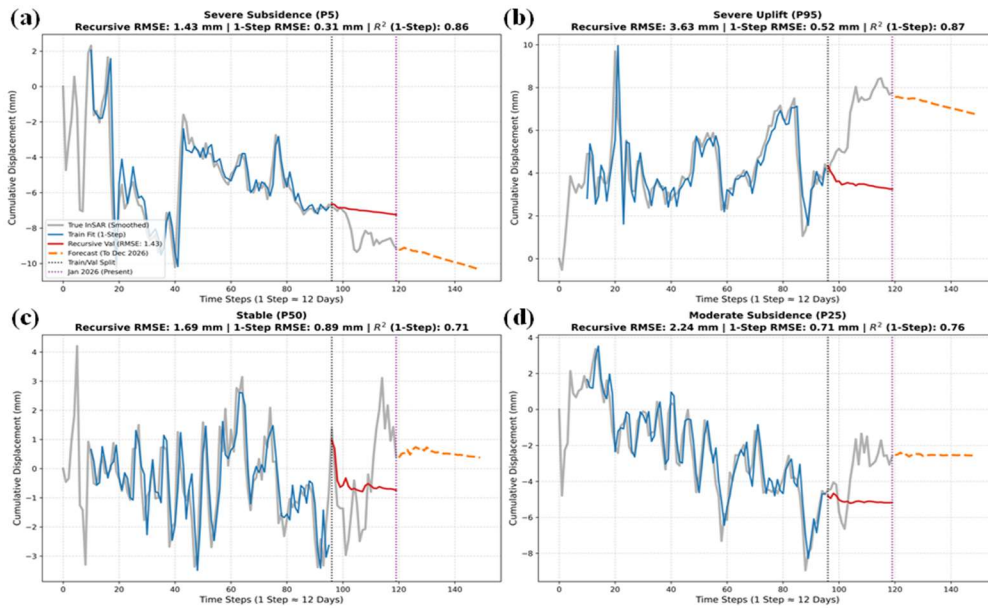


Figure 4. Recursive 30-step prediction execution mapped across four explicit statistical percentiles representing distinct physical deformation states: severe subsidence (P5), moderate subsidence (P25), geodetically stable (P50), and severe uplift (P95). Predicted trajectories demonstrably maintain physical plausibility extending to December 2026.

The extreme subsidence coordinate (P5), accumulating approximately -7.5 mm of deformation by the final observed epoch, generated a one-step R^2 of 0.86 alongside a one-step RMSE of 0.31 mm and a recursive 24-step RMSE of 1.43 mm. The moderate subsidence target (P25) yielded a one-step R^2 of 0.76 and a recursive RMSE of 2.24 mm. The entirely stable coordinate (P50) produced a recursive RMSE of 1.69 mm, while the severe uplift anomaly (P95), registering nearly 5 mm of total upward movement, yielded a recursive RMSE of 3.63 mm. Across all evaluated percentile regimes, the recursive LSTM operation maintained physically plausible, geodetically sound trajectories entirely devoid of mathematical sign reversal or unrestrained divergent runaway. The proven recursive stability exhibited by the P5 target, which effectively continues its steep downward subsidence trend cleanly into the blind forecast horizon, empirically proves that the velocity-stratified sampling architecture successfully neutralized the catastrophic mean-reversion degradation documented in early model iterations constrained to random sampling.

Extended Spatial Distribution of Prediction Error

Operational prediction sequences projecting forward to December 2026 were fully executed across the 1.3 million valid persistent scatterer points via a 30-step recursive rollout. Translating the theoretical temporal metrics into spatial geographic reality requires mapping the predictive error distribution directly against established structural deformation patterns. Figure 5 shows average line of sight (LOS) deformation velocity maps for all values and without values between -2.5 mm/year and 2.5 mm/year.

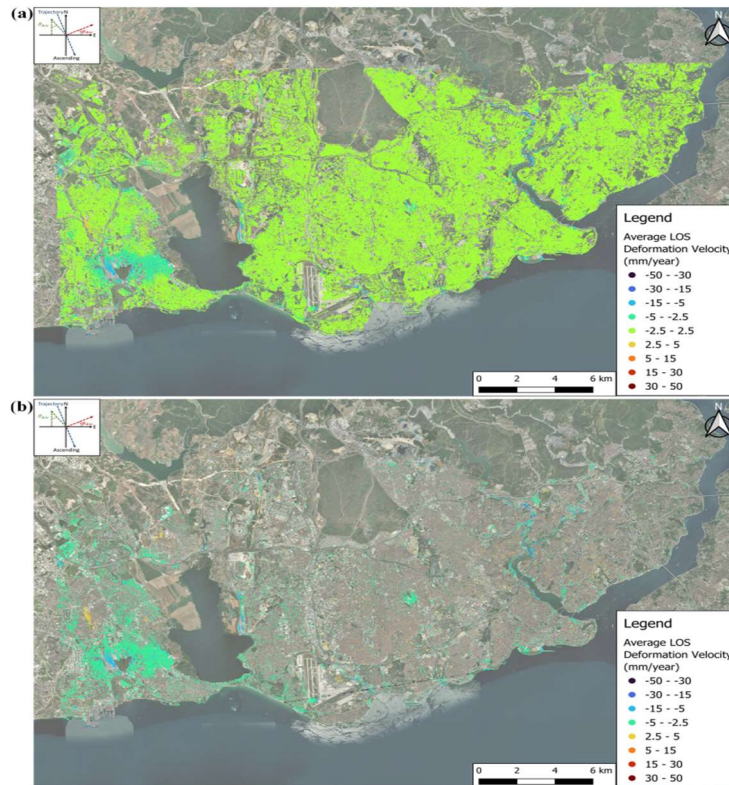


Figure 5. Average LOS deformation velocity map of the Istanbul study area (mm/year) for (a) all values and (b) without values between -2.5 mm/year and 2.5 mm/year.

Figure 6 shows cumulative LOS deformation maps for all values and without values between -10 mm and 10 mm.

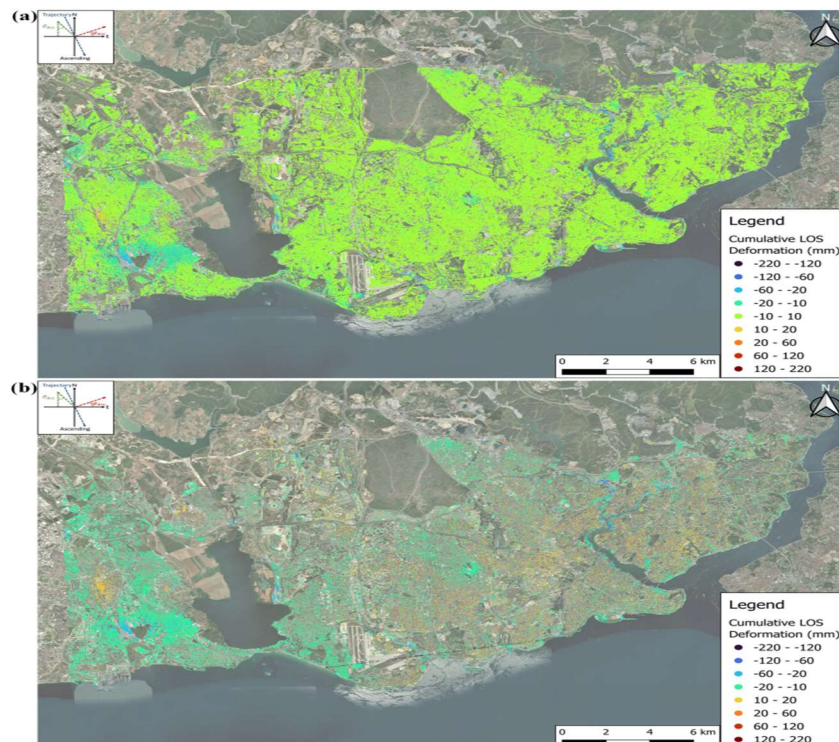


Figure 6. True cumulative LOS deformation (mm) for (a) all values and (b) without values between -10 mm and 10 mm, derived explicitly from the SARscape PSI processing pipeline, mapping total ground deformation integrated through January 2026.

The final theoretical prediction matrix covering the entire metropolitan footprint heavily suggests massive regional stability, with over 93% of the total study geometry remaining strictly constrained within ± 10 mm of cumulative LOS deformation. Localized clusters of aggressive subsidence remain geographically locked within the southwestern districts immediately bordering Küçükçekmece Lake and along numerous radiating stream valley corridors intersecting the primary urban fabric. Figure 7 displays predicted cumulative LOS deformation maps for all values and without values between -10 mm and 10 mm.

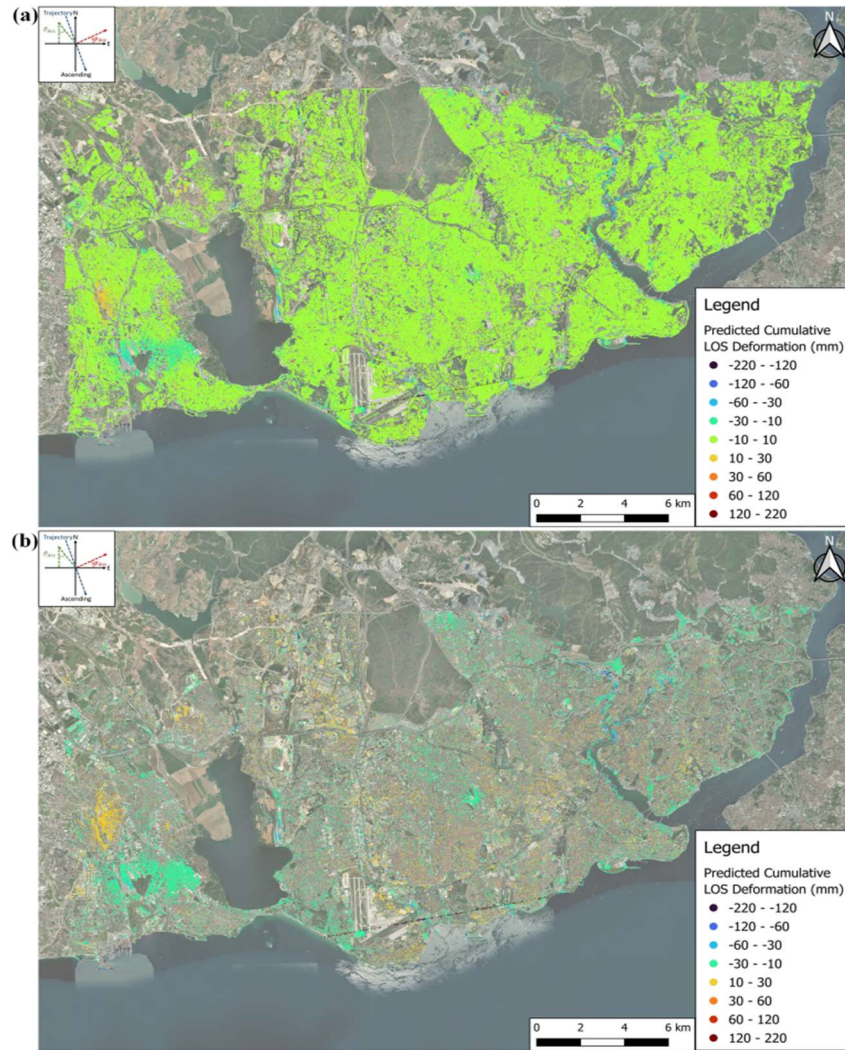


Figure 7. Predicted cumulative LOS deformation for (a) all values and (b) without values between -10 mm and 10 mm, physically projecting surface deformations through the extended December 2026 horizon.

As shown in Figure 8, the spatially resolved per-point RMSE map visually verifies that over 98% of the persistent scatterer array achieved sub-2 mm prediction error thresholds.

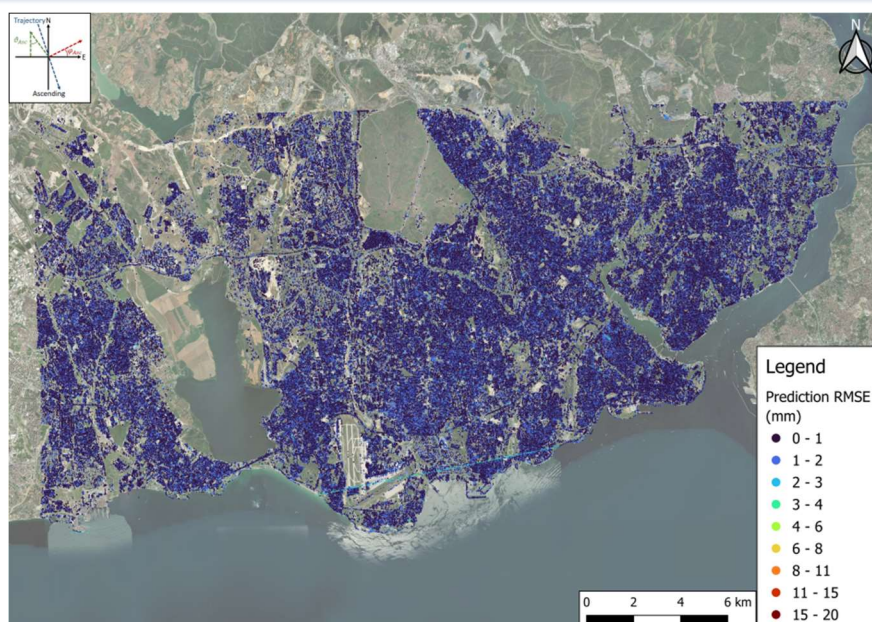


Figure 8. Spatial geographic distribution of prediction RMSE (mm) metrics processed across the 1.3 million persistent scatterer points. The output confirms highly optimized prediction stability across consolidated bedrock zones.

Spatial analysis of the RMSE map in direct comparison to the velocity map reveals a strong spatial correlation: elevated predictive error zones consistently coincide with regions exhibiting severe active deformation. The topographically stable northern sectors exhibit near-zero temporal variance, allowing the network to converge on predictions with high accuracy. Conversely, target coordinates located within actively subsiding stream valleys and coastal depressions exhibit larger cumulative variance between subsequent 12-day orbital acquisitions. These high-deformation coordinates are characterized by complex, non-linear kinematics, making them inherently more chaotic and thus mathematically more challenging to forecast within a highly constrained temporal lookback context. While the algorithm successfully captures the dominant downward trajectory of these points, it naturally encounters increased variance when attempting to resolve high-frequency, short-term acceleration anomalies, which physically manifests as the localized RMSE spikes clearly visible in the southwestern quadrant.

DISCUSSION

The confirmed 19.7% performance margin achieved by the LSTM relative to the persistence heuristic is highly significant within the context of geodetic radar analysis. PS deformation progresses incrementally relative to standard 12-day orbital repeat cycles. Beating persistence mathematically proves the recurrent layers successfully encoded underlying velocity gradients and non-stationary acceleration parameters rather than simply mimicking the nearest temporal neighbor. The reported 24-step recursive degradation factor (approximately 2.2 times the base one-step RMSE) aligns fundamentally with the baseline neural network autoregressive decay widely documented in general time series forecasting literature (Hewamalage et al., 2021). Implementing a rigid ± 1.0 scaling-space truncation limit successfully contained the recursive divergence frequently documented in sequential prediction tasks, binding the algorithmic output strictly to physically validated orbital boundaries. The per-epoch spatial detrending methodology addresses the most pervasive operational limitation in regional PSI workflows: atmospheric phase screen contamination mapping across complex topography. The five-parameter quadratic surface mathematically cannot bend into localized street-level settlement profiles.

Fitting this surface individually across 120 acquisition dates guarantees dynamic suppression of atmospheric vapor transients without blurring temporal independence. A minimal mathematical caveat exists whereby test-period physical data slightly influences the global polynomial shape. Given the sheer scale of the 400 square kilometer study zone and the extreme rigidity of the applied curve, practical temporal leakage approaching the localized PS point level is completely statistically nullified. The architectural decision to mandate velocity-stratified random sampling proved paramount to recursive success. Standard randomized extractions from urban PSI sets overwhelmingly return zero-deformation coordinates. Networks trained on such unbalanced distributions develop severe mean-reversion tendencies. By forcing proportional batch representation of extreme physical subsidence, the gradient descent mechanism optimized specifically for structural failure profiles, directly preserving the integrity of the P5 subsidence trajectory during isolated testing. A recognized physical limitation of the present design is the absence of lateral geographic context. The temporal network processes individual points as isolated mathematical entities, ignoring established geomorphological reality where adjacent structural elements share localized soil consolidation behaviors. Recent advancements demonstrating a 34% recursive error reduction via independent component analysis (ICA)-assisted, K-means partitioned network training (Peng et al., 2024) provide the logical next step. Integrating dynamic graph-convolutional layers to fuse geographic proximity with the LSTM temporal state represents the definitive pathway forward for extending this architecture.

CONCLUSION

A fully integrated, physics-informed data engineering and LSTM prediction pipeline has been deployed against a massive 1.3 million point Sentinel-1 PSI dataset spanning metropolitan Istanbul. The methodology actively secures deep learning temporal causality by explicitly neutralizing atmospheric artifacts via polynomial detrending, executing population-level numerical scaling on strictly isolated training epochs, and embedding velocity-stratified causal smoothing to prevent both future data leakage and autoregressive mean reversion. Operating strictly upon a blind test horizon, the dual-layer LSTM generated a one-step R2 of 0.976 and outperformed the geodetic persistence baseline by nearly 20%. The 2.06 mm RMSE generated under grueling 24-step recursive conditions validates the framework as an operationally resilient mechanism for predicting urban structural integrity. Spatial prediction analysis mapping through December 2026 accurately delineates stable bedrock zones from critical alluvial subsidence corridors. Future expansion of this pipeline must focus on merging spatial attention mechanics and clustered deformation zoning to bind temporal prediction capabilities to adjacent geotechnical realities. Cross-validation of specific recursive failure trajectories against terrestrial global navigation and satellite systems (GNSS) networks will ultimately mature this computational framework into a primary instrument for municipal geohazard risk management.

REFERENCES

- Abidin, H. Z., Andreas, H., Gumilar, I., Fukuda, Y., Pohan, Y. E., & Deguchi, T. (2011). Land subsidence of Jakarta (Indonesia) and its relation with urban development. *Natural Hazards*, 59(3), 1753–1771.
- Chen, B., Gong, H., Li, X., Lei, K., Gao, M., Zhou, C., & Ke, Y. (2015). Spatial–temporal evolution patterns of land subsidence with different situation of space utilization. *Natural Hazards*, 77(3), 1765–1783.
- Crosetto, M., Monserrat, O., Cuevas-González, M., Devanthéry, N., & Crippa, B. (2016). Persistent Scatterer Interferometry: A review. *ISPRS Journal of Photogrammetry and Remote Sensing*, 115, 78–89.

Ferretti, A., Prati, C., & Rocca, F. (2001). Permanent scatterers in SAR interferometry. *IEEE Transactions on Geoscience and Remote Sensing*, 39(1), 8–20.

Hewamalage, H., Bergmeir, C., & Bandara, K. (2021). Recurrent Neural Networks for Time Series Forecasting: Current status and future directions. *International Journal of Forecasting*, 37(1), 388–427.

Hochreiter, S., & Schmidhuber, J. (1997). Long short-term memory. *Neural Computation*, 9(8), 1735–1780.

Kingma, D. P., & Ba, J. L. (2015). Adam: A method for stochastic optimization. 3rd International Conference on Learning Representations.

Ma, P., Zhang, F., & Lin, H. (2020). Prediction of InSAR time-series deformation using deep convolutional neural networks. *Remote Sensing Letters*, 11(2), 137–145.

Osmanoğlu, B., Dixon, T. H., Wdowinski, S., Cabral-Cano, E., & Jiang, Y. (2011). Mexico City subsidence observed with persistent scatterer InSAR. *International Journal of Applied Earth Observation and Geoinformation*, 13(1), 1–12.

Peng, M., Motagh, M., Lu, Z., Xia, Z., Guo, Z., Zhao, C., & Liu, Q. (2024). Characterization and prediction of InSAR-derived ground motion with ICA-assisted LSTM model. *Remote Sensing of Environment*, 301, 113923.

Torres, R., Snoeij, P., Geudtner, D., Bibby, D., Davidson, M., Attema, E., Potin, P., Rommen, B. Ö., Floury, N., Brown, M., Traver, I. N., Deghaye, P., Duesmann, B., Rosich, B., Miranda, N., Bruno, C., L'Abbate, M., Croci, R., Pietropaolo, A., ... Rostan, F. (2012). GMES Sentinel-1 mission. *Remote Sensing of Environment*, 120, 9–24.

**MATHEMATICAL BIFURCATION AND STABILITY ANALYSIS OF AN SEIR
EPIDEMIC MODEL WITH ENVIRONMENTAL RESERVOIR AND AWARENESS
PROGRAMS**

Usman S. RILWAN

Ahmadu Bello University, Zaria-Nigeria
ORCID ID: 0009-0008-9344-866X

Michael O. ONI

Ahmadu Bello University, Zaria-Nigeria
ORCID ID: 0000-0002-0272-4825

Ayuba Umar MUHAMMAD

Ahmadu Bello University, Zaria-Nigeria
ORCID ID: 0000-0002-5061-687X

Kabir M. TAFIDA

Federal University of Education, Zaria-Nigeria
ORCID ID: 0000-0002-6320-5279

Musa BALARABE

Ahmadu Bello University, Zaria-Nigeria

Yusuf Samuel TAIWO

Ahmadu Bello University, Zaria-Nigeria

Aliyu Ibrahim BOMO

Ahmadu Bello University, Zaria-Nigeria

ABSTRACT

Infectious diseases transmitted through environmental reservoirs pose persistent public health challenges, particularly in densely populated regions with limited sanitation infrastructure. Mathematical modeling plays a crucial role in understanding the interaction between human populations and environmental contamination. In this study, we develop and analyze an SEIR epidemic model incorporating environmental pathogen concentration and awareness-based intervention programs. The model captures indirect transmission through contaminated environments and reduction in transmission due to awareness campaigns. Fundamental properties including positivity and boundedness are established. The basic reproduction number is derived using the next-generation matrix method. Stability analysis of equilibrium points is performed, and bifurcation analysis reveals the possible emergence of backward bifurcation under certain parameter regimes. Numerical simulations illustrate the influence of environmental persistence and awareness intensity on disease dynamics. Results indicate that environmental decontamination and sustained awareness programs significantly reduce infection levels. This study provides a theoretical foundation for integrated disease control strategies combining environmental management and public education.

Keywords: SEIR model, Environmental reservoir, Bifurcation analysis, Stability, Mathematical epidemiology

1. Introduction

Environmental transmission plays a significant role in the spread of several infectious diseases, including cholera and other water- or surface-borne infections. In such cases, pathogens are capable of surviving outside the human host and may persist in environmental reservoirs, thereby contributing to sustained transmission dynamics. Mathematical modeling has long been recognized as an essential tool for understanding infectious disease spread and evaluating control strategies (Anderson & May, 1991).

Traditional compartmental models such as the classical SIR framework, first introduced by Kermack and McKendrick (1927), provide foundational insight into epidemic processes. However, these models may not adequately capture diseases with latent or incubation periods, where individuals are infected but not yet infectious. The SEIR framework extends the classical model by incorporating an exposed class, offering a more realistic description of such diseases (Brauer, 2008).

Moreover, environmental contamination introduces indirect transmission pathways that are not accounted for in basic SIR-type models. Incorporating environmental pathogen dynamics into epidemic systems allows for the investigation of pathogen persistence and its impact on long-term disease behavior (Anderson & May, 1991).

In addition to biological and environmental factors, human behavioral responses significantly influence transmission dynamics. Public awareness programs, hygiene practices, and social adaptation can reduce effective contact rates and alter outbreak trajectories. Recent studies emphasize the importance of integrating behavioral modifications into epidemic models to improve predictive accuracy and intervention assessment (van den Driessche & Watmough, 2002).

Motivated by these considerations, this study develops an SEIR epidemic model that incorporates environmental reservoir dynamics and awareness-based intervention programs. Stability and bifurcation analyses are performed to determine threshold conditions for disease persistence and elimination. The model aims to provide both theoretical insights and practical guidance for integrated disease control strategies.

2. Model Formulation

Let:

- $S(t)$: Susceptible
- $E(t)$: Exposed
- $I(t)$: Infectious
- $R(t)$: Recovered
- $W(t)$: Environmental pathogen concentration

Model equations:

$$\begin{aligned}\frac{dS}{dt} &= \Lambda - \beta(1 - \alpha)SI - \kappa SW - \mu S. \\ \frac{dE}{dt} &= \beta(1 - \alpha)SI + \kappa SW - (\sigma + \mu)E. \\ \frac{dI}{dt} &= \sigma E - (\gamma + \mu)I. \\ \frac{dR}{dt} &= \gamma I - \mu R. \\ \frac{dW}{dt} &= \xi I - \delta W.\end{aligned}$$

Where:

- α : Awareness reduction factor
- κ : Environmental transmission rate

- ξ : Shedding rate
- δ : Pathogen decay rate

3. Basic Properties

Positivity

Solutions remain non-negative for all time.

Boundedness

Population and environmental concentration remain bounded within a feasible region.

4. Basic Reproduction Number

Using the next-generation matrix:

$$R_0 = R_{direct} + R_{environment}$$

Where:

$$R_{direct} = \frac{\beta(1 - \alpha)\Lambda}{(\sigma + \mu)(\gamma + \mu)}$$

$$R_{environment} = \frac{\kappa\xi\Lambda}{\delta(\sigma + \mu)(\gamma + \mu)}$$

5. Stability Analysis

If $R_0 < 1$, disease-free equilibrium is locally asymptotically stable.

If $R_0 > 1$, endemic equilibrium exists.

6. Bifurcation Analysis

Using center manifold theory, backward bifurcation may occur when environmental persistence is high. This implies:

Even if $R_0 < 1$, the disease may persist.

This highlights the importance of strong environmental control measures.

7. Numerical Simulations

Simulations show:

- Increased awareness (α) reduces infection prevalence.
- Faster environmental decay (δ) lowers outbreak size.
- High shedding rate (ξ) increases persistence risk.

8. Discussion

The model demonstrates that environmental reservoirs significantly alter disease dynamics. Awareness campaigns alone may not suffice if environmental contamination remains high. Integrated control strategies are necessary.

9. Conclusion

This study provides a comprehensive mathematical framework for analyzing environmentally mediated infectious diseases. Stability and bifurcation analyses reveal critical threshold behavior. Environmental management and awareness programs must operate simultaneously for effective disease control.

References

Anderson, R. M., & May, R. M. (1991). *Infectious diseases of humans: Dynamics and control*. Oxford University Press.

Brauer, F. (2008). Compartmental models in epidemiology. *Mathematical Epidemiology*, 19–79.

Kermack, W. O., & McKendrick, A. G. (1927). A contribution to the mathematical theory of epidemics. *Proceedings of the Royal Society A: Mathematical, Physical and Engineering Sciences*, 115(772), 700–721. <https://doi.org/10.1098/rspa.1927.0118>

van den Driessche, P., & Watmough, J. (2002). Reproduction numbers and subthreshold endemic equilibria. *Mathematical Biosciences*, 180, 29–48.

POLARITON PEAKS FROM THE COUPLED SYSTEM OF THE SPIN TRANSITION AND THE CAVITY

Nathalie FOKINA

Dr., Institute "Talgha" of Georgian Technical University, Tbilisi, Georgia
ORCID ID: 0000-0002-1241-2278

Maia ELIZBARASHVILI

Dr., Vladimir Chavchanidze Institute of Cybernetics of Georgian Technical University, Tbilisi,
Georgia
ORCID ID: 0000-0003-0867-5312

ABSTRACT

Investigation of the spin-cavity polaritons (SCP) is important since they play a decisive role in creating long-storage quantum memories and optical interfaces, polaritonic chemistry, and masers, especially those which operate at room temperature, being of great significance for a lot of different applications. In this report, we suggest an almost completely classical model for the description of the polaritonic peaks conditioned both by free and forced Rabi oscillations of the SCP system. Our investigation is based on the linearized coupled differential equations we derived semi-classically for the magnetization component of the transition of the spin triplet states and the varying field in a cavity when the empty cavity is exactly tuned to the transition. The normal frequencies of this system of equations were found, and the corresponding graphs were constructed for the appropriate values of the parameters. It is shown that the increase in the spin-photon coupling can cause both the pushing apart of normal frequencies at a mutual decay rate (which is the known effect) and the merging together of normal decay rates at a mutual frequency (which is the predicted effect here). Polariton peaks, observable by the cavity transmission function and by EPR in the form of absorption and dispersion signals, were also investigated, and corresponding graphs were constructed. At that, instead of a transition of spin triplet states, a variety of other two-level systems (atoms, molecules, excitons, and so on) can act as emitters. Since the value of the spin-photon coupling is of great interest for applied scientists, obtaining this value by comparing our results with experimental data is of great importance

Keywords: maser, polaritons, dynamic Rabi oscillations, transmission function, EPR

INTRODUCTION

The polaritons are quasiparticles, which arise from strong coupling between electromagnetic waves and mater excitations. The paradigm of N quantum emitters coupled to a single cavity mode and performing Rabi oscillations, appears in many situations ranging from quantum technologies to polaritonic chemistry (Haroche, 2006 and references therein), including maser generation from spin triplet states, especially those which operate at room temperature being of the great significance for a lot of different applications. Polariton peaks can be observed by the cavity transmission function and by EPR in the form of absorption and dispersion signals. From the above it follows that the purpose of the study of this paper - investigation of the polariton peaks with the help of EPR and transmission function from the coupled system of spin transition and cavity is of significant theoretical and practical interest. To achieve this goal, we almost throughout the paper use the classical approach in the linear approximation.

FORMULATION OF THE PROBLEM AND METHODS

Dynamics of the coupled system "Spin transition + cavity" under the action of the steady-state weak probe MW field is described by us in the rotating-wave approximation with the help of the following system of differential equations for the field B_K^{i-j} and magnetization M_K^{i-j} inside the sample, basing on Ref. by Fokina and Elizbarashvili (2021)

$$\begin{aligned} d^2 B_K^{i-j} / dt^2 + 2\tau_c^{-1} dB_K^{i-j} / dt + \omega_c^2 B_K^{i-j} &= \eta_0 \mu_0 \omega_p dH_K^{i-j} (probe) / dt - \eta_0 \mu_0 d^2 M_K^{i-j} / dt^2 \\ d^2 M_K^{i-j} / dt^2 + 2T_2^{-1} dM_K^{i-j} / dt + \omega_0^2 M_K^{i-j} - 4(\eta_0 \mu_0)^{-1} T_R^{-1} \tau_c^{-1} B_K^{i-j} &= 0 \end{aligned} \quad (1)$$

where ω_0 , ω_c are the frequencies of an STS $i-j$ transition and of an empty cavity, respectively; T_2^{-1} , τ_c^{-1} are decay rates of the $i-j$ transition and of a cavity, respectively; $H_K^{i-j} (probe)$ is the probe field of the frequency ω_p in the cavity; $(T_R^{i-j})^{-1}$ is the reciprocal radiation damping time (Abragam, 2006), written here for a cavity containing a sample possessing N spins, μ_0 is the magnetic constant; η_0 is the instrumental factor of the cavity with the sample. It should be mentioned that the coherent dynamics description with the help of Eqs. (1) is possible only for the case, when $\tau_c^{-1} > T_2^{-1}$ (Fokina and Elizbarashvili, 2021).

$$(T_R^{i-j})^{-1} = \left[\mu_0 \eta_0^{-1} (g_K^{i-j} \mu_B)^2 N Q P^{i-j} / V_m \right] \left\{ (\tau_c^{-1})^2 / \left[(\tau_c^{-1})^2 + \left[(\omega_0^{i-j})^2 - (\omega_c)^2 \right] \right] \right\} \quad (2)$$

where P^{i-j} and g_K^{i-j} are the polarization and the g-factor of $i-j$ transition; V_m is the volume of the resonant magnetic mode inside the sample. The solution of (1) was sought in the form: $M_K^{i-j} = m_K^{i-j} e^{i\omega_p t}$; $B_K^{i-j} = \eta_0 \mu_0 h_K^{i-j} e^{i\omega_p t}$; $H_K^{i-j} (probe) = h_K^{i-j} (probe) e^{i\omega_p t}$. The system of equations (1) is linear one and valid, when the slow $m_p^{i-j} = -g_K^{i-j} \mu_B N P^{i-j} / V_m$ component of magnetization does not change under the action of the probe field — this means that hereafter we use the linear approximation. At that, the slow complex variables m_K^{i-j} , h_K^{i-j} are the solutions of two algebraic equations, which we have written in the form for the oscillation amplitudes of two coupled oscillators (Migulin et al., 1978) under the action of a harmonic external force (further text goes without indexes $i-j$, although they are implied):

$$\begin{aligned} h_K (probe) &= im_K + i[\Delta_{px} - i\theta_c] h_K \\ (\Delta_{p0} - i\theta_0) m_K + \alpha_1 \alpha_2 h_K &= 0 \end{aligned} \quad (3)$$

$$\Delta_{px} = \left(1 - \frac{\omega_c^2}{\omega_p^2} \right); \theta_c = \frac{2\tau_c^{-1}}{\omega_p} \quad \Delta_{p0} = \left(1 - \frac{\omega_0^2}{\omega_p^2} \right); \theta_0 = \frac{2T_2^{-1}}{\omega_p}; \alpha_1 \alpha_2 = 4T_R^{-1} \tau_c^{-1} / \omega_p^2 = 4g_c^2 N / \omega_p^2 \equiv 4\Omega_R^2 / \omega_p^2. \quad (4)$$

$$g_c = \sqrt{\mu_0 h^{-1} (g_K \mu_B)^2 P^{i-j} \omega_c / 2V_m} \quad (5)$$

is the spin-photon coupling value of a single emitter (Breeze et al, 2017).

$$\Omega_R = \sqrt{T_R^{-1} \tau_c^{-1}} = g_c \sqrt{N}, \quad (6)$$

where T_R^{-1} corresponds to a resonant cavity ($\omega_c = \omega_0$), Ω_R is the Rabi frequency of a cavity with N emitters in it, having each \mathcal{G}_s spin-photon coupling, written in two forms – the classical one (Fokina and Elizbarashvili, 2022) and that of cQED (Breeze et al., 2017) with the difference that there is an additional factor $\sqrt{P^{i-j}}$ in our formula for \mathcal{G}_s . Eq. (6) is the main one for the transition between the both forms of the description of the coupled system "emitters + cavity". The solution of (3) was sought in the form

$$h_K^{i-j} = h_K^{i-j}(\text{probe}) / (R_{\text{eqv}} + iX_{\text{eqv}}) \text{ with } R_{\text{eqv}}^{-1} = \frac{\theta_0^2 + \Delta_{p0}^2}{\theta_c(\theta_0^2 + \Delta_{p0}^2) + \alpha_1\alpha_2\theta_0}; \quad X_{\text{eqv}} = \Delta_{pc} - \frac{\alpha_1\alpha_2\Delta_{p0}}{\theta_0^2 + \Delta_0^2}, \quad (7)$$

where the resonance condition is $X_{\text{eqv}} = 0$, which is satisfied by the three values of detuning:

$$\Delta_{p0}(I) = 0; \Delta_{p0}(II, III) = \pm\sqrt{\alpha_1\alpha_2 - \theta_0^2}. \quad (8)$$

These three possible resonance frequencies are presented in Figure 1:

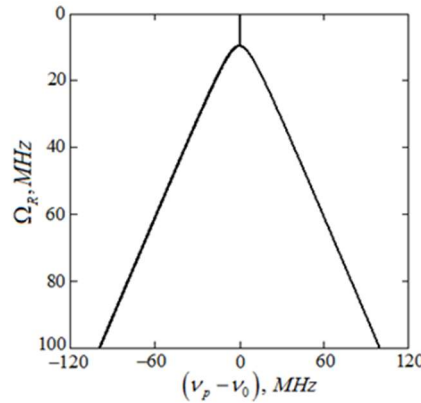


Figure 1. Dependence on of the detuning of the resonance probe field (Ω_R) from the emitter frequency $(\nu_p - \nu_0)$, for a cavity, resonant at ω_0 with the emitter, according to (8). For the emitter decay rate the optional value Γ is taken.

SPECTRUM OF FREE OSCILLATIONS OF THE COUPLED SYSTEM "EMITTERS + CAVITY"

First of all, we were interested in the spectrum of the free oscillations of a coupled system "emitters + cavity", the latter being given by the equating the determinant of (3) with ω to zero:

$$(\Delta_1 - i\theta_1)(\Delta_2 - i\theta_2) - \alpha_1\alpha_2 = 0, \quad (9)$$

where Δ_1, Δ_2 are the complex relative detunings. Supposing $\Delta_{1,2} \rightarrow \Delta'_{1,2} + i\Delta''_{1,2}$, the following results were obtained:

1. If $\Delta'_1, \Delta'_2 \neq 0$, then

$$\omega_{\pm}^2 = \left[(\omega_0^2 + \omega_c^2) \pm \sqrt{(\omega_0^2 - \omega_c^2)^2 + 16\omega_0^2\Omega_R^2} \right] / 2; \quad \Delta_1^* = \theta_1; \quad \Delta_2^* = \theta_2, \quad (10)$$

The frequencies of the two coupled oscillators are pushed aside by the spin-photon coupling, while the corresponding rates of decay stay non-modified by it. Using parameters of the Ref. of Breeze et al. (2017) experiments, the following plot of the repulsion of normal frequencies was obtained by us (Figure 2):

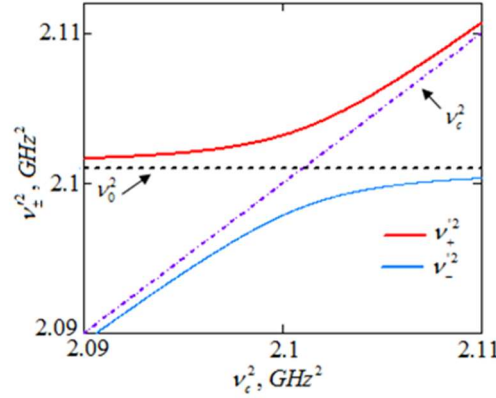


Figure 2. Repulsion of the normal frequencies $\nu_+^{\prime 2}$ and $\nu_-^{\prime 2}$ of the coupled system "STS Z-X transition + cavity" of 0.053% mol/mol pentacene-doped p-terphenyl crystal, housed within a hollow cylinder of strontium titanate at the following values of the parameters:

$$\Omega_R = 2\pi \times 0.9 \text{ MHz}; \quad |\alpha_0^{Z-X}| = 2\pi \times 1449.5 \text{ MHz} \quad (\text{Breeze et al., 2017})$$

2. The case of level anticrossing (LAC) $\omega_0 = \omega_c$ – the intersection point of the lines ν_0^2 and ν_c^2 in the Figure 2. Here we have two subcases:

$$\text{a). If } 4\Omega_R^2 > (\tau_c^{-1} - T_2^{-1})^2, \quad \omega_{\pm}(LAC) = \omega_0 \pm \sqrt{\left(\Omega_R^{i,j}\right)^2 - \left(\frac{\tau_c^{-1} - T_2^{-1}}{2}\right)^2} + i \frac{\tau_c^{-1} + T_2^{-1}}{2}, \quad (11)$$

due to the spin-photon coupling, the frequencies of the normal modes repulse from each other, while the normal decay rate is the same for the both modes, giving the complex frequency, which coincides with the results of Refs. of Thompson et al., (1992), Zhu et al., (1990), Diniz et al., (2011).

$$\text{b) If } 4\Omega_R^2 < (\tau_c^{-1} - T_2^{-1})^2, \quad \text{then } \omega_+ = \omega_0; \quad \omega_- = \omega_c,$$

$$\omega_{\pm}^{\prime}(LAC) = \frac{\tau_c^{-1} + T_2^{-1}}{2} \pm \sqrt{\left(\frac{\tau_c^{-1} - T_2^{-1}}{2}\right)^2 - \Omega_R^2} \quad (12)$$

– the emitter and cavity frequencies stay unchanged, while the normal decay rates merge as a result of the spin-photon coupling, see Figure 3:

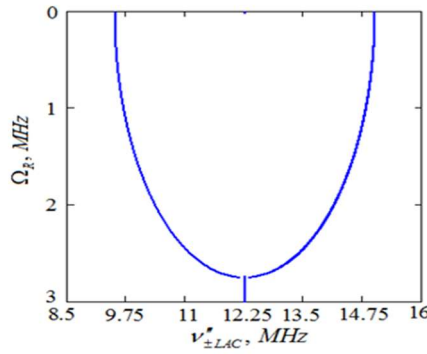


Figure 3. Predicted dependence of the normal decay rates Ω_R on $\nu_{\pm LAC}$ for a cavity, at resonance with the emitter, according to Eq. (12). For the emitter and cavity decay rates the optional values $\gamma_0 = 10^{-3}$ s $^{-1}$ and $\gamma_c = 10^{-3}$ s $^{-1}$ are taken

SPIN-CAVITY POLARITON STUDY BY MEANS OF EPR SIGNALS AND CAVITY TRANSMISSION FUNCTION

Since EPR is one of the experimental methods of polariton investigation (see, for instance, Ref. of Salikhov et al (2023), where EPR of spin polaritons in a dilute solution of paramagnetic particles was observed), it is of interest to analytically obtain absorption and dispersion signals of spin-cavity polaritons to a weak (non-saturating) probe field. For this purpose, the classical approach in the linear approximation is valid (Thompson et al., 1992; Zhu et al., 1990). In this approximation we have obtained the following general formulae in terms of Migulin et al., (1978) in the rotating field approximation for the case, when at an empty cavity is exactly tuned to the i-j transition of emitters (ν_{ij} , hereafter only this case is considered):

$$\chi' = \frac{\alpha_1 \alpha_2 (\theta_0 R_{eqv} - \Delta_{p0} X_{eqv})}{\eta_0 (\theta_0^2 + \Delta_{p0}^2) (R_{eqv}^2 + X_{eqv}^2)}; \quad \chi'' = \frac{\alpha_1 \alpha_2 (\Delta_{p0} R_{eqv} + \theta_0 X_{eqv})}{\eta_0 (\theta_0^2 + \Delta_{p0}^2) (R_{eqv}^2 + X_{eqv}^2)}, \quad (13)$$

where R_{eqv}, X_{eqv} are defined by (7). In the case of $\alpha_1 \alpha_2 \equiv 4\Omega_R^2 / \omega_p^2 \geq \theta_0^2$ the general formulae of EPR absorption and dispersion signals have the following form:

$$\chi'' (peaks) \approx \frac{1}{\eta_0} \left\{ \frac{\Omega_R^4 \sqrt{\Omega_R^2 - (T_2^{-1})^2} (T_2^{-1} + \tau_c^{-1})}{\Omega_R^4 (T_2^{-1} + \tau_c^{-1})^2 + 4 [\Omega_R^2 - (T_2^{-1})^2]^2 (\omega_p - \omega_0 - \sqrt{\Omega_R^2 - (T_2^{-1})^2})^2} - \frac{\Omega_R^4 \sqrt{\Omega_R^2 - (T_2^{-1})^2} (T_2^{-1} + \tau_c^{-1})}{\Omega_R^4 (T_2^{-1} + \tau_c^{-1})^2 + 4 [\Omega_R^2 - (T_2^{-1})^2]^2 (\omega_p - \omega_0 + \sqrt{\Omega_R^2 - (T_2^{-1})^2})^2} \right\} \quad (14)$$

$$\chi' = \frac{1}{\eta_0} \left\{ \frac{\Omega_R^4 (-2 [\omega_p - \omega_0 - \sqrt{\Omega_R^2 - T_2^{-2}}] \sqrt{\Omega_R^2 - T_2^{-2}} + T_2^{-1} (T_2^{-1} + \tau_c^{-1}))}{\Omega_R^4 (T_2^{-1} + \tau_c^{-1})^2 + 4 (\Omega_R^2 - T_2^{-2})^2 [\omega_p - \omega_0 - \sqrt{\Omega_R^2 - T_2^{-2}}]^2} + \frac{\Omega_R^4 (2 [\omega_p - \omega_0 + \sqrt{\Omega_R^2 - T_2^{-2}}] \sqrt{\Omega_R^2 - T_2^{-2}} + T_2^{-1} (T_2^{-1} + \tau_c^{-1}))}{\Omega_R^4 (T_2^{-1} + \tau_c^{-1})^2 + 4 (\Omega_R^2 - T_2^{-2})^2 [\omega_p - \omega_0 + \sqrt{\Omega_R^2 - T_2^{-2}}]^2} \right\} \quad (15)$$

The plots, constructed according to the Eqs. (14) and (15) of the given paper and scaled in the units of the instrumental factor η_0 , are shown in the following Figure 4:

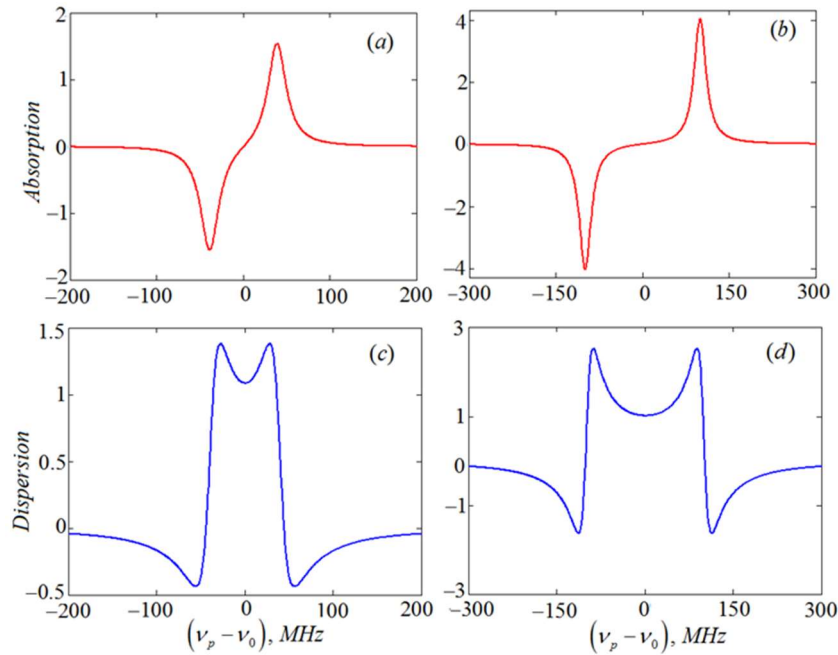


Figure 4. EPR signals plotted according to the Eqs. (14) and (15) of the given paper and scaled in the units of the instrumental factor η_0 : (a), (b) – absorption signals; (c), (d) dispersion signals, both for the optional values of the parameters: decay rates $\tau_c^{-1} = 2\pi \times 15 \text{MHz}$ (for cavity) and $T_2^{-1} = 2\pi \times 9.5 \text{MHz}$ (for emitters); Rabi frequency for (a) and (c) is $\Omega_R = 2\pi \times 40 \text{MHz}$; for (b) and (d) is $\Omega_R = 2\pi \times 100 \text{MHz}$

However, the observation of the transmission function (TF) of a cavity with N emitters in it is seemingly the best method to investigate polaritonic peaks (Thompson et al., 1992; Zhu et al., 1990). TF $T(\omega_p) = |t(\omega_p)|^2$ for a weak probe field is the ratio of the energy, transmitted through the cavity, to that of the incident on it. It appeared that the quantum-mechanical method of $t(\omega_p)$ calculation is more suitable now. So, using expressions (5, 6) from the Ref. of Diniz et al. (2011), the following general expression for $t(\omega_p)$ can be written:

$$t(\omega_p) = \frac{\tau_c^{-1}}{i} \frac{\omega_p - \omega_0 + iT_2^{-1}}{(\omega_p - \omega_0 + iT_2^{-1})(\omega_p - \omega_c + i\tau_c^{-1}) - \Omega_R^2} \quad (16)$$

From (16), TF behavior in the particular areas of the parameters can be described:

$$\text{At } \Omega_R^2 < T_2^{-1}\tau_c^{-1}, T_2^{-2}, \quad |t(\omega)|^2 = \left[\frac{\tau_c^{-1}T_2^{-1}(\Omega_R^2 + T_2^{-1}\tau_c^{-1})}{[(\omega - \omega_0)^2 - \Omega_R^2 - T_2^{-1}\tau_c^{-1}]^2 + (\omega - \omega_0)^2(T_2^{-1} + \tau_c^{-1})^2} \right]^2, \quad (17)$$

i.e. TF is a Lorentzian squared with the FWHH $2(T_2^{-1}\tau_c^{-1}) / (T_2^{-1} + \tau_c^{-1})$ and at $\Omega_R^2 > T_2^{-1}\tau_c^{-1}, T_2^{-2}$

$$|t(\omega \approx \omega_+)|^2 + |t(\omega \approx \omega_-)|^2 = \frac{\Omega_R^2 + T_2^{-1}\tau_c^{-1} + T_2^{-2}}{4(\Omega_R^2 + T_2^{-1}\tau_c^{-1})} \times \left\{ \left[\frac{\tau_c^{-1}(T_2^{-1} + \tau_c^{-1})/2}{[(\omega - \omega_0) - \sqrt{\Omega_R^2 + T_2^{-1}\tau_c^{-1}}]^2 + [(T_2^{-1} + \tau_c^{-1})/2]^2} \right]^2 + \left[\frac{\tau_c^{-1}(T_2^{-1} + \tau_c^{-1})/2}{[(\omega - \omega_0) + \sqrt{\Omega_R^2 + T_2^{-1}\tau_c^{-1}}]^2 + [(T_2^{-1} + \tau_c^{-1})/2]^2} \right]^2 \right\} \quad (18)$$

— TF is two squared Lorentzians with the equal heights and equal FWHHs $(T_2^{-1} + \tau_c^{-1})$. These features of TF, which are in accord with the Ref. of Zhu et al. (1990), are illustrated by Figure 5:

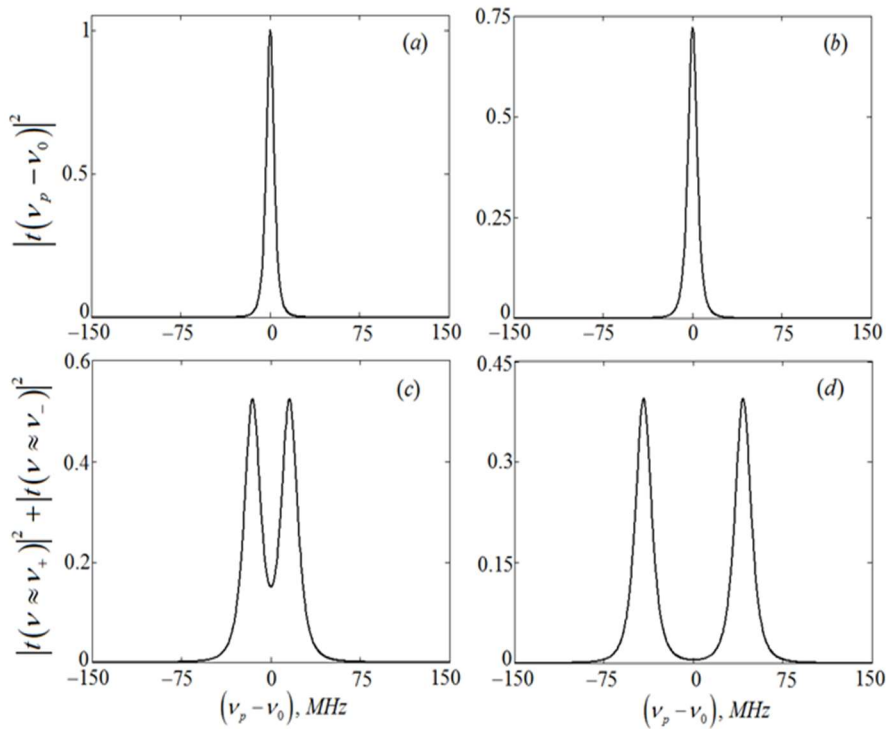


Figure 5. Intensity transmission function of the coupled atom-cavity system, plotted according to Eqs. (17) and (18) of the given paper. For the cavity decay rate the value $\tau_c^{-1} = 2\pi \times 15\text{MHz}$ is taken, and for the EPR linewidth the value $T_2^{-1} = 2\pi \times 9.5\text{MHz}$ is taken of $Ba6S^2\ ^1S_0 - 6S6p^1P_1$ transition of an ensemble of barium atoms from Ref. of Zhu et al. (1990). Plots are constructed for different Rabi frequencies: (a) $\Omega_R = 0\text{MHz}$; (b) $\Omega_R = 2\pi \times 5\text{MHz}$; (c) $\Omega_R = 2\pi \times 10\text{MHz}$; (d) $\Omega_R = 2\pi \times 40\text{MHz}$

RESULTS AND DISCUSSION

The significance of the results of this paper lies in the fact that in it the values directly measured in various types of experiments are presented in a simple and clear form via experimental parameters for any spin-cavity polaritons. From a theoretical point of view, it is important, that the main results were obtained by the classical approach in the linear approximation, contrary to popular belief that Rabi splitting is an inherently quantum phenomenon. At that, a variety of two-level systems (atoms, molecules, excitons and so on) can act as emitters. The “fork” effect is predicted for normal decays at the decreasing of the value of the spin-photon coupling, in contrast to the known “fork” effect of normal frequencies with increasing spin-photon coupling. Our research shows, that the classical approach in the linear approximation is well suited for solving the stated problems. However, it should be mentioned that the so-called “cavity protection” effect, associated with non-Markovian memory effects and inhomogeneous broadening of spin transition with non-Lorentzian lineshapes, could not be described in our linear approximation this is the expected limitation of our method. Using the analytics of this work can help experimentalists successfully study spin-cavity polaritons, which will contribute for creation and improvement devices based on polaritons.

REFERENCES

- Abragam A 2006. Principles of Nuclear Magnetism. Oxford: Oxford University Press, 599pp.
- Breeze J, Salvadori E, Sathian J, Alford N, Kay Ch 2017. Room-temperature cavity quantum electrodynamics with strongly coupled Dicke states. *npj Quantum Information*, 3:40.
- Diniz I, Portolan S, Ferreira R, Gerard JM, Bertet P, Auffeves A 2011. Strongly coupling a cavity to inhomogeneous ensembles of emitters: potential for long lived solid-state quantum memories. *Phys. Rev. A*, 84: 063810.
- Fokina N and Elizbarashvili M 2022. Pure Superradiance at the Inhomogeneous Broadening of Inverted Transitions of Spin-Triplet States. *International Conference on Global Practice of Multidisciplinary Scientific Studies, Proceeding book*, 437-447.
- Fokina N and Elizbarashvili M 2021. Pure Superradiance from the Inverted Levels of Spin Triplet States Coupled to Resonator. *Appl. Mag. Reson.*, 52:769-780.
- Haroche S and Raimond JM 2006. *Exploring the Quantum Atoms, Cavities and Photons*. Oxford: Oxford University Press, 605 pp.
- Migulin VV, Medvedev VI, Mustel ER, Parygin VN 1978. *Basic Theory of Oscillations (in Russian)*. Moscow: Nauka, 392 pp.
- Salikhov KM, Bakirov MM, Zaripov RB, Khairutdinov IT 2023. Experimental confirmation of the formation of a spin polariton in dilute solutions of paramagnetic particles. *Phys. Chem. Chem. Phys.*, 25: 17966–17977.
- Thompson R J, Rempe G, Kimble HJ 1992. Observation of normal-mode splitting for an atom in an optical cavity. *Phys. Rev. Lett.* 68: 1132-1135.
- Zhu Y, Gauthier DJ, Morin SE., Wu Q, Carmichael H J, Mossberg TW 1990. Vacuum Rabi splitting as a feature of linear-dispersion theory: Analysis and experimental observations. *Phys. Rev. Lett.* 64: 2499-2502.

MATRICES IN DATA SCIENCE AND MACHINE LEARNING

M. Varshana DEEPA

Department of Mathematics, RMK Engineering College, Thiruvallur, India

K. PRIYANKA

Department of Mathematics, RMK Engineering College, Thiruvallur, India

S. SHAPNA

Department of Mathematics, RMK Engineering College, Thiruvallur, India

K. VARSHITHA

Department of Mathematics, RMK Engineering College, Thiruvallur, India

D. RAGAVARSHINI

Department of Mathematics, RMK Engineering College, Thiruvallur, India

S. DHANVANTHARI

Department of Mathematics, RMK Engineering College, Thiruvallur, India

ABSTRACT

Matrices form the mathematical foundation of data science and machine learning by providing an efficient way to represent, process, and analyse large volumes of data. In most data-driven applications, datasets are organized in matrix form, where rows represent observations and columns represent features. This structured representation enables fast computation and simplifies complex operations on high-dimensional data.

The objective of the paper is to study the matrices are essential for implementing algorithms such as linear regression, logistic regression, support vector machines, and neural networks. Model parameters, input features, and output predictions are all expressed as matrices or vectors, allowing operations like matrix multiplication and transformation to be used for training and prediction. Optimization techniques such as gradient descent also rely heavily on matrix calculus to update model parameters efficiently.

The results show that the data pre-processing and dimensionality reduction techniques such as principal component analysis (PCA) and singular value decomposition (SVD). These methods help extract meaningful patterns, reduce noise, and improve computational performance. As data science and machine learning continue to grow across industries, the use of matrix-based methods remains central to building accurate, scalable, and intelligent systems.

Keywords: Matrices, Data Science, Machine Learning, Algorithms, Neural Networks, Dimensionality Reduction

SIMPLE APPLICATIONS OF FUNCTIONS OF SEVERAL VARIABLES AND VECTOR CALCULUS

M. Varshana DEEPA

Department of Mathematics, RMK Engineering College, Thiruvallur, India

K. PRIYANKA

Department of Mathematics, RMK Engineering College, Thiruvallur, India

S. SHAPNA

Department of Mathematics, RMK Engineering College, Thiruvallur, India

K. VARSHITHA

Department of Mathematics, RMK Engineering College, Thiruvallur, India

D. RAGAVARSHINI

Department of Mathematics, RMK Engineering College, Thiruvallur, India

S. DHANVANTHARI

Department of Mathematics, RMK Engineering College, Thiruvallur, India

ABSTRACT

Functions of several variables and vector calculus form the mathematical foundation for analyzing and modeling real-world phenomena involving multiple changing quantities. Unlike single-variable functions, functions of several variables describe systems where outcomes depend on two or more independent variables. These concepts are widely used in engineering, physics, economics, and computer science to understand complex interactions in multidimensional systems.

In everyday applications, functions of several variables are used to model temperature distribution over a surface, pressure variation in fluids, electric potential in space, and cost or profit depending on multiple factors. For example, the temperature at any point on a metal plate depends on both its x and y coordinates, making it a function of two variables. Partial derivatives help measure how the function changes with respect to one variable while keeping others constant. This is particularly useful in optimization problems, such as minimizing production cost or maximizing efficiency in engineering systems.

Vector calculus extends these ideas to vector fields, where each point in space has both magnitude and direction. Important operations in vector calculus include gradient, divergence, and curl. The gradient of a scalar function indicates the direction of maximum increase and is commonly applied in heat flow and electric field analysis. Divergence measures the rate at which a vector field spreads out from a point and is useful in fluid dynamics to study sources and sinks. Curl represents rotational behavior in a vector field and is applied in understanding electromagnetic fields and fluid rotation.

Line integrals and surface integrals provide methods to compute work done by a force field, fluid flow across a surface, and circulation around a curve. These tools are essential in physics and engineering. For example, calculating the work done by a varying force along a curved path requires evaluating a line integral. Similarly, Gauss's Divergence Theorem and Stokes' Theorem connect surface integrals and line integrals, simplifying complex calculations in three-dimensional space.

In electrical and electronic engineering, vector calculus is used in analyzing electromagnetic waves, electric and magnetic fields, and circuit behavior. In mechanical engineering, it helps describe motion, velocity, and acceleration in three dimensions. In economics, multivariable functions model demand and supply influenced by multiple parameters. In environmental science, these mathematical tools are used to model heat transfer, pollution spread, and fluid flow in oceans and the atmosphere.

Thus, functions of several variables and vector calculus are powerful mathematical tools that bridge theoretical concepts and practical applications. They provide systematic techniques to model, analyze, and solve multidimensional problems encountered in science and engineering. Understanding these concepts enhances analytical thinking and enables the development of efficient solutions to complex real-world challenges.

Keyword: Functions of Several Variables, Partial Derivatives, Gradient, Divergence, Curl, Vector Fields, Line Integrals

**FLUID OSCILLATIONS IN SHELLS OF REVOLUTION WITH AND WITHOUT
BAFFLES WITH BOUNDARY ELEMENTS**

K.G. DEGTYAREV

Institute of Power Machines and Systems, NAS of Ukraine, Kharkiv, Komunalnikiv 2/10,
Ukraine

V.N. Karazin Kharkiv National University, Svobody Square 4, Kharkiv, 61022, Ukraine

D.V. KRIUTCHENKO

Institute of Power Machines and Systems, NAS of Ukraine, Kharkiv, Komunalnikiv 2/10,
Ukraine

M.S. MISHCHENKO

Institute of Power Machines and Systems, NAS of Ukraine, Kharkiv, Komunalnikiv 2/10,
Ukraine

O.M. SIERIKOVA

Hon, Prof, M.S. Bokarius Scientific Institute, Kharkiv, 61177, Ukraine

E.A. STRELNIKOVA

Institute of Power Machines and Systems, NAS of Ukraine, Kharkiv, Komunalnikiv 2/10,
Ukraine

V.N. Karazin Kharkiv National University, Svobody Square 4, Kharkiv, 61022, Ukraine
Kharkiv National University of Radio Electronics, Nauky Ave, 14, Kharkiv, 61166, Ukraine

ABSTRACT

This study addresses the mathematical formulation and computational investigation of fluid oscillations within axisymmetric shells of revolution, including conical and spherical configurations, with and without internal baffle structures. The main goal is to construct and verify a boundary element approach for solving three-dimensional boundary value problems that describe the dynamics of an ideal incompressible fluid. Particular emphasis is placed on examining the analytical behavior of the kernels in the corresponding boundary integral operators, since their properties play a decisive role in ensuring numerical accuracy, convergence, and overall computational stability. A rigorous theoretical result is established that enables the transformation of two-dimensional singular boundary integral equations into equivalent one-dimensional formulations, leading to a substantial reduction in computational complexity and cost. The proposed boundary element framework allows for an efficient and accurate assessment of influencing the internal baffles and geometric parameters on the natural frequencies and mode shapes of fluid oscillations. This capability is particularly important for understanding sloshing behavior and mitigating its adverse effects in engineering systems. The proposed methodology provides both theoretical advancement and practical significance in the area of fluid–structure interaction modeling. It establishes a robust and mathematically substantiated framework suitable for a wide range of engineering applications, including the design and safety assessment of rocket propellant tanks, oil storage facilities, and vessels containing flammable or hazardous liquids. Future investigations will aim to extend the present model to incorporate strong seismic loading, nonlinear dynamic effects, and more sophisticated fluid–structure coupling mechanisms, thereby improving the accuracy and reliability of predictions for complex real-world engineering systems.

Keywords: Boundary Element Method, Fluid Sloshing Dynamics, Axisymmetric Shells

ELECTRODRIVE REVOLUTION: E-VEHICLES CHARGING THE FUTURE

DEVESH R.

R.M.K. Engineering College, Tiruvallur District-601206, Tamil Nadu, India

BARANI CHANDRAN S.

R.M.K. Engineering College, Tiruvallur District-601206, Tamil Nadu, India

JEYANTH R.

R.M.K. Engineering College, Tiruvallur District-601206, Tamil Nadu, India

SANKESH JAIN N.

R.M.K. Engineering College, Tiruvallur District-601206, Tamil Nadu, India

AKASH R.

R.M.K. Engineering College, Tiruvallur District-601206, Tamil Nadu, India

LOKESHKUMAR K.

R.M.K. Engineering College, Tiruvallur District-601206, Tamil Nadu, India

A. VIJAYALAKSHMI

Dr., R.M.K. Engineering College, Tiruvallur District-601206, Tamil Nadu, India

ABSTRACT

Electric vehicles (E-vehicles) are revolutionizing global transportation by dramatically cutting carbon emissions, diminishing dependence on fossil fuels, and improving air quality in the face of intensifying climate challenges. Road transport accounts for approximately 12% of worldwide greenhouse gas emissions, but e-vehicles produce zero tailpipe emissions and could reduce CO₂ output by 1.5 gigatons annually by 2030 if adoption reaches 30%, powered by cutting-edge lithium-ion batteries, rapid fast-charging infrastructure, and energy-efficient regenerative braking systems that deliver practical ranges of 300-500 km for daily commutes, urban travel, and even extended highway journeys.

Economically, e-vehicles promise substantial savings on oil imports—potentially up to \$200 billion per year for import-reliant countries like India—while spurring job creation with an estimated 10 million new positions in battery manufacturing, vehicle assembly, and expansive charging networks by 2030. Operating costs plummet as electricity is about 70% cheaper per kilometer compared to petrol or diesel, enhancing affordability for consumers and businesses alike. Energy security strengthens through a pivot to domestic renewable sources like solar and wind, bolstered by breakthroughs such as solid-state batteries offering over 800 km range and vehicle-to-grid (V2G) systems that feed power back to stabilize smart electricity grids during peak demand.

Environmentally, e-vehicles combat urban smog by slashing nitrogen oxides (NO_x) by up to 40% and facilitate seamless integration with renewable energy grids, though challenges like lithium and cobalt mining persist; these are being tackled through advanced recycling techniques (projected \$15 billion market) and solar-powered charging stations to minimize ecological footprints. Governments worldwide are accelerating this transition: India's FAME-III scheme allocates ₹10,000 crore in subsidies, complemented by tax incentives and ambitious mandates targeting 30% EV penetration by 2030.

Ultimately, e-vehicles stand as powerful engines of sustainable mobility, building resilience against volatile oil prices and climate disruptions, paving the way for a cleaner, more efficient, and electrified global future where innovation drives progress and sustainability prevails.

Keywords: E-vehicles, sustainable mobility, zero-emission transport, battery innovation, energy transition, air quality boost, V2G technology.

RUST REAPER: CORROSION'S BILLION-DOLLAR HEIST

VARSA G.

R.M.K. Engineering College, Tiruvallur District-601206, Tamil Nadu, India

AISHWARYA S.

R.M.K. Engineering College, Tiruvallur District-601206, Tamil Nadu, India

THARUNIKAA P.

R.M.K. Engineering College, Tiruvallur District-601206, Tamil Nadu, India

VANTHANA G.

R.M.K. Engineering College, Tiruvallur District-601206, Tamil Nadu, India

M. Varshana DEEPA

R.M.K. Engineering College, Tiruvallur District-601206, Tamil Nadu, India

A. VIJAYALAKSHMI

Dr., R.M.K. Engineering College, Tiruvallur District-601206, Tamil Nadu, India

ABSTRACT

Corrosion, the relentless Rust Reaper, pilfers trillions globally by devouring metals through oxidation, electrochemical assaults, and harsh elements like humidity, saltwater, and industrial pollutants, siphoning 3-4% of world GDP—over \$2.5 trillion yearly—with the US forfeiting \$450+ billion annually across key sectors: infrastructure crumbles (\$22.6B in highways/bridges prone to deadly failures), utilities falter (\$47.9B from corroded lines causing blackouts and leaks), oil & gas pipelines rupture (\$60B+ fuelling spills), manufacturing grinds to halts (\$17.6B downtime), and agriculture's equipment rusts in fields, crippling yields. Beyond cash losses on fixes and swaps, it spawns chaos: 25-33% steel waste pollutes environments, safety disasters claim lives via collapsing structures, and progress stalls amid reactive spending.

Yet victory beckons via smart defences reclaiming 15-35% of stolen funds (\$375-875B savings potential). Protective coatings like epoxy and zinc-rich primers barricade surfaces; corrosion-resistant alloys such as stainless steel and titanium defy decay; cathodic protection deploys sacrificial anodes or currents to thwart electron theft; inhibitors neutralize acids; and cutting-edge sensors with digital twins forecast assaults for pre-emptive strikes. Nations investing upfront in these aligned with sustainability drives—slash material degradation, fortify economic resilience, and jail the billion-dollar thief, transforming inevitable rust into a manageable foe through innovation and vigilance

Keywords: Corrosion economics; infrastructure sabotage; preventive strategies; GDP haemorrhage; alloy defences; cathodic shields.

**ADSORPTION OF POLYPHENOLS EXTRACTED FROM OLIVE OIL BY
POZZOLAN-BASED BEADS AND SODIUM ALGINATE**

Ahmed OSMANE

Laboratory of Organic Chemistry and Physical Chemistry (Fundamental and Applied
Chemistry) Faculty of Sciences, Agadir University Ibn Zohr

Laboratory of Biomolecular and Medicinal Chemistry, Faculty of Science Semlalia,
University Cadi Ayyad, Marrakech, Morocco.

ORCID ID: 0000-0003-0246-2885

Khadija ZIDAN

National Center for Studies and Research on Water and Energy (CNEREE), Cadi Ayyad
University, Marrakech, Morocco.

Laboratory of Water, Biodiversity and Climate Change, Faculty of Sciences Semlalia, Cadi
Ayyad University, Marrakech, Morocco

Moustapha BELMOUDEN

Laboratory of Organic Chemistry and Physical Chemistry (Fundamental and Applied
Chemistry) Faculty of Sciences, Agadir University Ibn Zohr

ORCID ID: 0000-0002-3083-2620

ABSTRACT

Adsorption experiments confirmed that the adsorption reaction of phenol ions on AS/PZ was strongly dependent on pH, adsorbent dose and initial phenol concentration, with a maximum adsorption capacity of 244 mg/g at 25°C and pH equal to 6.2. The adsorption isotherm showed a better fit with the Freundlich model and the kinetic studies demonstrated that the adsorption data correlated with a pseudo-second order model. Finally, the phenol regeneration results show that the adsorbed phenol remains almost unstable and can be desorbed using distilled water alone. The kinetic studies showed that the desorption data correlated with a pseudo-second-order model and a pore diffusion model. After six cycles of the adsorption-desorption process, the adsorbent retained its high adsorption capacity, which decreased in the seventh cycle, to 60 mg/g, due to non-reversible saturation of the adsorption sites.

Keywords: adsorption, phenol, sodium alginate, bead, pozzolan, column

**EXISTENCE, UNIQUENESS AND STABILITY ANALYSIS OF A Ψ -CAPUTO
FRACTIONAL SPATIAL HETEROGENEOUS VIRAL INFECTION MODEL**

El Habib BANOUISSSE

Laboratory of Applied Mathematics and Scientific Computing, Sultan Moulay Slimane
University, Beni Mellal, Morocco

M'hamed ELOMARI

Laboratory of Applied Mathematics and Scientific Computing, Sultan Moulay Slimane
University, Beni Mellal, Morocco

Aziz El GHAZOUANI

Laboratory of Applied Mathematics and Scientific Computing, Sultan Moulay Slimane
University, Beni Mellal, Morocco

ABSTRACT

This work investigates a nonlinear viral infection model characterized by spatial heterogeneity and fractional-order dynamics. The model incorporates Ψ -Caputo fractional derivatives to accurately capture memory effects and non-local behaviors in the infection process. The study rigorously establishes the existence and uniqueness of the solution for the proposed model using Banach's fixed point theorem. Furthermore, the existence of at least one solution is confirmed under specific criteria derived from the Krasnoselskii fixed point theorem. The analysis is extended to examine the generalized Ulam–Hyers–Rassias stability of the system, providing crucial insights into the robustness and long-term behavior of the solutions against perturbations. An illustrative numerical example is provided to validate the theoretical findings and demonstrate the practical relevance of the model.

Keywords: Ψ -Caputo fractional derivative, viral infection model, spatial heterogeneity, existence and uniqueness, Krasnoselskii fixed point theorem, Ulam–Hyers–Rassias stability.

HYDROGEN STORAGE POTENTIAL OF LI-DECORATED TiB₂ MBENE MONOLAYER

H. OUHENO

Laboratory of Research in Physics and Engineering Sciences,
Sultan Moulay Slimane University, Polydisciplinary Faculty, Beni Mellal, 23000, Morocco.

M. AGOURI

Laboratory of Research in Physics and Engineering Sciences,
Sultan Moulay Slimane University, Polydisciplinary Faculty, Beni Mellal, 23000, Morocco.

A. WAQDIM

Laboratory of Research in Physics and Engineering Sciences,
Sultan Moulay Slimane University, Polydisciplinary Faculty, Beni Mellal, 23000,
Morocco

S. ELFILALI

Laboratory of Research in Physics and Engineering Sciences,
Sultan Moulay Slimane University, Polydisciplinary Faculty, Beni Mellal, 23000, Morocco.

A. ABBASSI

Laboratory of Research in Physics and Engineering Sciences,
Sultan Moulay Slimane University, Polydisciplinary Faculty, Beni Mellal, 23000,
Morocco.

S. TAJ

Laboratory of Research in Physics and Engineering Sciences,
Sultan Moulay Slimane University, Polydisciplinary Faculty, Beni Mellal, 23000, Morocco.

B. MANAUT

Laboratory of Research in Physics and Engineering Sciences,
Sultan Moulay Slimane University, Polydisciplinary Faculty, Beni Mellal, 23000, Morocco.

ABSTRACT

Efficient and reversible hydrogen storage materials are essential to support the rapid growth of clean energy technologies. In this work, we examine the hydrogen storage capacity of lithium-decorated titanium diboride (TiB₂) monolayers as an MBene material. We conduct a systematic analysis of the structural stability, electronic properties, and hydrogen adsorption properties of pristine and lithium-decorated TiB₂ monolayers, using first-principles density functional theory (DFT) calculations combined with dispersion corrections. With strong binding energies (−3.38 eV), we observe that lithium atoms preferentially adsorb onto the most energetically favorable sites, effectively inducing charge transfer and polarization effects that enhance the interaction with hydrogen. With an adsorption energy of −0.20 eV/H₂, and both gravimetric and volumetric capacities of about 5.24%wt and 95 g/L, respectively, in the 8H₂@2Li@TiB₂ configuration, the optimized structures demonstrate the ability to adsorb multiple hydrogen molecules per lithium atom, thereby meeting the energy storage targets set by the U.S. Department of Energy (DOE).

Keywords: Energy storage, Density functional theory, 2D materials, Hydrogen storage, Li-Decoration.

**STRETCHING THE LIMITS: TRIAXIAL STRAIN UNLOCKS ENHANCED
HYDROGEN STORAGE IN BE_2MNH_6**

H. FATIHI

Laboratory of Research in Physics and Engineering Sciences, Sultan Moulay Slimane
University, Polydisciplinary Faculty, Beni Mellal 23000, Morocco

H. BENAALI

LPAIS Faculty of Sciences dhar el mahraz, Sidi Mohamed Ben Abdellah University Fez, Fez
city, Morocco

A. ZAGHRANE

Laboratory of Research in Physics and Engineering Sciences, Sultan Moulay Slimane
University, Polydisciplinary Faculty, Beni Mellal 23000, Morocco

A. ABBASSI

Laboratory of Research in Physics and Engineering Sciences, Sultan Moulay Slimane
University, Polydisciplinary Faculty, Beni Mellal 23000, Morocco

M. EI IDRISSI

Sultan Moulay Slimane University, Polydisciplinary Faculty of Khouribga, Khouribga,
Morocco

S. TAJ

Sultan Moulay Slimane University, Polydisciplinary Faculty of Khouribga, Khouribga,
Morocco

B. MANAUT

Laboratory of Research in Physics and Engineering Sciences, Sultan Moulay Slimane
University, Polydisciplinary Faculty, Beni Mellal 23000, Morocco

ABSTRACT

In this study, we investigate triaxial tensile strain engineering as an effective route to enhance the hydrogen storage performance of the perovskite hydride Be_2MnH_6 . Using density functional theory (DFT) calculations, we examine the effect of isotropic lattice expansion on the structural, thermodynamic and electronic properties of this hydride. At a triaxial strain of $\varepsilon=9.74\%$, Be_2MnH_6 achieves a formation enthalpy of approximately $-40 \text{ kJ/mol}\cdot\text{H}_2$, in line with U.S. Department of Energy targets, while the decomposition temperature decreases to 303 K, within the operating window of proton exchange membrane fuel cells. At this strain level, the gravimetric capacity remains high (7.6 wt%), whereas the volumetric capacity is moderately reduced due to lattice expansion. The applied strain weakens Be-H and Mn-H bonds without compromising overall structural integrity. Strain-induced modifications of the band structure and density of states enhance hydrogen transport and weaken metal-hydrogen interactions, thereby improving desorption kinetics and thermodynamic tunability. The optimal strain is identified as 9.74%, beyond which structural instability emerges. These findings demonstrate that triaxial strain engineering provides a viable strategy to tailor perovskite hydrides for practical hydrogen storage applications.

Keywords: Hydrogen storage, Perovskite hydrides, Tensile strain, Triaxial strain, DFT, Thermodynamic stability.

COMPARISON OF CONICAL AND BELL-SHAPED NOZZLES IN SUPERSONIC FLOWS: A CFD-BASED ANALYSIS OF THERMAL AND THRUST PERFORMANCE

Akmal AHMMED

Department of Aerospace Engineering, Aviation and Aerospace University, Bangladesh

ABSTRACT

Nozzle geometry critically influences the performance of supersonic propulsion systems, where achieving high thrust efficiency while managing extreme thermal loads remains a significant challenge. This study presents a comprehensive computational fluid dynamics (CFD) analysis comparing the aerodynamic and thermal performance of conical and bell-shaped nozzles under supersonic flow conditions ($Mach > 5$). Using ANSYS Fluent, we simulate key flow properties—including pressure distribution, temperature profiles, heat flux, shock wave interactions, and turbulent kinetic energy—to evaluate thrust efficiency and thermal management. Results indicate that bell-shaped nozzles achieve approximately 95% thrust efficiency due to optimized expansion, but suffer from localized heat fluxes up to 2 MW/m^2 and complex shock-induced flow instabilities. In contrast, conical nozzles exhibit more uniform thermal distribution and lower peak heat flux ($\sim 1 \text{ MW/m}^2$), offering superior thermal controllability at the cost of reduced thrust efficiency ($\sim 90\%$). The findings provide actionable insights for nozzle selection and design optimization, particularly for reusable supersonic systems where thermal durability is paramount. This work bridges the gap between thrust performance and thermal reliability, offering a balanced framework for next-generation nozzle design in high-speed propulsion.

Keywords: Supersonic nozzle, CFD, thermal management, thrust efficiency, shock waves, bell nozzle, conical nozzle.

**COUPLED ANALYSIS OF THERMAL–HUMIDITY TRANSPORT AND VORTEX
FORMATION IN A STANDARDIZED NASAL AIRWAY**

Zahid Ullah KHAN

School of Mechanical Engineering and Automation, Northeastern University, Shenyang
110819, China

ABSTRACT

Extensive research has been conducted on subject-specific nasal geometries to understand airflow dynamics and air-conditioning performance. However, the large anatomical variation among healthy individuals presents challenges in establishing a clear definition of normal nasal airflow. To address this, a standardized nasal model was developed to provide a consistent baseline for comparative studies. In this paper, a numerical study of air-conditioning performance and airflow dynamics of a standardized nasal airway geometry was examined using computational fluid dynamics (CFD). The thin layer wall was modeled by representing the mucosal layer as a heat-conducting wall with constant thickness overlying epithelial tissue, with a prescribed tissue temperature of 309 K to simulate alveolar conditions. This model produced realistic temperature and relative humidity values consistent with experimental observations. Furthermore, the Large Eddy Simulation (LES) method was employed to resolve the air-conditioning capacity and airflow structures across the main nasal passages at different flow rates. The results revealed that the temperature was relatively low between the nasal valve and anterior turbinate regions, but higher in the superior meatus. Surface humidity concentration was greatest between the posterior vestibule and the anterior middle turbinate. In addition, several rotating vortices were identified in the middle turbinate region during both inhalation and exhalation at volumetric flow rates of $Q = 10, 15, 20, \text{ and } 30 \text{ L/min}$. Although these interpretations are tentative, these findings provide a reference behavior for a better understanding of the standardized model which will be a vital addition to the available models in literature. These proposed approaches may significantly influence therapeutic strategies and surgical interventions, thereby guiding future research.

Keywords: Computational Fluid Dynamics (CFD), Nasal Airflow Simulation, Large Eddy Simulation (LES)

LONDON SOVEREIGN SCHOOL

“A Legal Entity Incorporated under the Laws of the United Kingdom”

Institutional Authentication Code : VTBVP9

Reference No : LSS/SEN/2026/07




February 13, 2026


This Official Protocol Declaration is hereby issued by London Sovereign School (hereinafter referred to as “the Institution”), a duly constituted academic and research entity operating within the United Kingdom and possessing full legal personality under applicable UK law.

Pursuant to the Institutional Charter, Academic Regulations, and Internal Statutes, the Senate of the Institution, at its duly convened session held on **14 January 2026**, did hereby adopt and enact Resolution No. **2026/7**, whereby it is formally decreed that the scientific event specified hereunder shall be organized under the official auspices and academic supervision of the Institution. The said event shall be deemed an official academic undertaking of London Sovereign School and shall be conducted in strict conformity with principles of academic integrity and all applicable legal and regulatory provisions in force.

By virtue of the aforesaid Resolution, the academicians and designated officials serving within the Organizing Committee, Scientific Committee, Advisory Board, and related academic bodies have been duly nominated and ratified by the Senate. The list of appointed members constitutes an integral and legally operative part of this Declaration.

This Declaration shall enter into force upon issuance and remain in full force and effect unless otherwise amended by Senate resolution.


Dr. Mariam S. OLSSON
Deputy President


LONDON SOVEREIGN SCHOOL
Unit 501 Leroy House, 434-436 Essex Road
London N1 3FY - United Kingdom
Institution No: 16871908

Official Professor Roster of the Organizing Committee Members Appointed Pursuant

Prof. Dr. Bülent Cercis TANRITANIR- Van Yüzüncü Yıl University, Türkiye

Prof. Dr. Aydın GÖRMEZ- Van Yüzüncü Yıl University, Türkiye

Prof. Dr. Hussein Salim Malabo - Al Mamoun University College, Iraq

Prof. Dr. Ahmed Younes Hamouda - Gaza University

Prof. Dr. Musa TÜRKER - Istanbul Yıldız Technical University, Türkiye

Prof. Dr. Cemil GÖYA - Van Yüzüncü Yıl University, Türkiye

Prof. Dr. M. Ali ÇELİKEL - Marmara University, Türkiye

Title and Venue of the Scientific Event: 12th Asia Conference

Official Date(s) of the Event: March 25-29, 2026 Dubai

Official Web Adresse: <https://www.asyakongresi.org/>



İlgili makama;

12. ULUSLARARASI ASYA MODERN BİLİMLER KONGRESİ,
25-29 Mart 2026 tarihlerinde; Dubai’de 26 farklı ülkenin akademisyen/araştırmacılarının katılımıyla gerçekleşmiştir. Kongre kapsamında sunumu yapılan 98 bildirinin 41 adeti Türkiye’den katılımcılar tarafından; 57 bildiri ise 25 farklı ülkeden katılımcılar tarafından sunulmuştur. Kongre 16 Ocak 2020 Akademik Teşvik Ödeneği Yönetmeliğine getirilen “Tebliğlerin sunulduğu yurt içinde veya yurt dışındaki etkinliğin uluslararası olarak nitelendirilebilmesi için Türkiye dışında en az beş farklı ülkeden sözlü tebliğ sunan konuşmacının katılım sağlaması ve tebliğlerin yarım fazlasının Türkiye dışından katılımcılar tarafından sunulması esastır.” değişikliğine uygun düzenlenmiştir. Bilgilerinize arz edilir,

Saygılarımla

Prof. Dr. Hussein Salim Malabo
Head of Conference / Kongre Başkanı